

Evaluación de la comparabilidad de datos sobre DDPC, DFPC y BPC coplanares en la atmósfera obtenidos por las redes de monitoreo atmosférico de América del Norte

Autores: Comisión para la Cooperación Ambiental

Contribuyentes: Henry Wöhrnschimmel y Yuan Yao

Fecha de publicación: Julio 2014



cec.org

Citar como:

CCA (2013), *Evaluación de la comparabilidad de datos sobre DDPC, DFPC y BPC coplanares en la atmósfera obtenidos por las redes de monitoreo atmosférico de América del Norte*, Comisión para la Cooperación Ambiental, Montreal, 253 pp.

El presente informe fue inicialmente elaborado por Yuan Yao y luego completado por Henry Wöhrnschimmel, por encargo del Secretariado de la Comisión para la Cooperación Ambiental (CCA) de América del Norte. La información que contiene es responsabilidad de los autores y no necesariamente refleja los puntos de vista de la CCA o de los gobiernos de Canadá, Estados Unidos o México.

Se permite la reproducción total o parcial de este documento, en cualquier forma o medio, con propósitos educativos y sin fines de lucro, sin que sea necesario obtener autorización expresa por parte del Secretariado de la CCA, siempre y cuando se haga con absoluta precisión y se cite debidamente la fuente. La CCA apreciará que se le envíe una copia de toda publicación o material que utilice este trabajo como fuente.

A menos que se indique lo contrario, el presente documento está protegido mediante licencia de tipo “Reconocimiento - No comercial - Sin obra derivada”, de Creative Commons



© Comisión para la Cooperación Ambiental, 2014

Particularidades de la publicación

Tipo: informe de proyecto

Fecha: julio de 2014

Idioma original: inglés

Procedimientos de revisión y aseguramiento de calidad:

Revisión final de las Partes:

diciembre de 2013–enero de 2014

QA12.32

Available in English – Disponible en français (Sommaire de rapport)

Depósito legal – Bibliothèque et Archives nationales du Québec, 2014

Depósito legal – Library and Archives Canada, 2014

Si desea obtener más información sobre ésta y otras publicaciones de la CCA, diríjase a:

Comisión para la Cooperación Ambiental

393 rue St-Jacques ouest, bureau 200
Montreal (Quebec), Canadá, H2Y 1N9
t 514.350.4300 f 514.350.4372
info@cec.org / www.cec.org

Commission for Environmental Cooperation



Índice

Acrónimos, siglas y abreviaturas	iv
Cronología de las redes de monitoreo atmosférico de dioxinas de América del Norte	vi
Agradecimientos	vii
Sinopsis	viii
Resumen ejecutivo	viii
1. Introducción a las redes de monitoreo atmosférico de dioxinas de América del Norte	10
2. Historia, diseño y operación	11
2.1 Vigilancia nacional de la contaminación atmosférica	11
2.1.1 Historia de la red	11
2.1.2 Sitios de muestreo	11
2.1.3 Estrategias de muestreo y análisis	14
2.1.4 Aseguramiento y control de calidad	18
2.2 Red Nacional de Monitoreo Atmosférico de Dioxinas	18
2.2.1 Historia de la red	18
2.2.2 Sitios de muestreo	19
2.2.3 Estrategias de muestreo y análisis	19
2.2.4 Aseguramiento y control de calidad	23
2.3 Red Mexicana de Monitoreo de Dioxinas y Furanos en Aire Ambiente	24
2.3.1 Historia de la red	24
2.3.2 Sitios de muestreo	25
2.3.3 Estrategias de muestreo y análisis	27
2.3.4 Aseguramiento y control de calidad	28
2.4 Resumen comparativo	29
3. Resultados del monitoreo	34
3.1 Variabilidad dentro de cada red de monitoreo	34
3.1.1 Red Nacional de Vigilancia de la Contaminación Atmosférica	34
3.1.2 Red Nacional de Monitoreo Atmosférico de Dioxinas	37
3.1.3 Red Mexicana de Monitoreo de Dioxinas y Furanos en Aire Ambiente	42
3.2 Comparación de los datos entre las redes de monitoreo	45
3.2.1 Concentraciones y tendencias temporales	45
3.2.2 Composición	46
3.3 Comparación con las otras redes de monitoreo	53

4.	Recomendaciones	53
5.	Referencias	53
6.	Apéndice.....	57
6.1	Fotos de sitios de muestreo.....	63
6.1.1	NAPS	63
6.1.2	NDAMN	64
6.1.3	RMMDFAA.....	65
6.2	Conjuntos de datos sobre dioxinas en el aire ambiente	71
6.2.1	NAPS	71
6.2.2	NDAMN	227
6.2.3	RMMDFAA.....	228

Cuadros y gráficas

Cuadro 1.	Ubicaciones de los sitios y sus clasificaciones para la NAPS	12
Cuadro 2.	Condiciones del CGAR-EMAR usado por la NAPS para el análisis de DDPC/DFPC16	
Cuadro 3.	Condiciones de la CG/EM usada para el análisis de BPC-sD por la NAPS	17
Cuadro 4.	Ubicaciones y clasificaciones de los sitios de la NDAMN.....	20
Cuadro 5.	Condiciones del CGAR-EMAR usado para el análisis de DDPC/DFPC y BPC-Co por la NDAMN.....	24
Cuadro 6.	Ubicaciones y clasificaciones de los sitios de la RMMDFAA	25
Cuadro 7.	Diseño y operación de las tres redes de monitoreo de dioxinas en América del Norte	30
Cuadro 8.	Métodos de muestreo en las tres redes de monitoreo de dioxinas de América del Norte ..	31
Cuadro 9.	Métodos analíticos (DDPC/DFPC y BPC-Co) de las tres redes de monitoreo de dioxinas en América del Norte.....	32
Cuadro 10.	Métodos analíticos (DDPC/DFPC) de las tres redes de monitoreo de dioxinas en América del Norte	33
Cuadro 11.	Métodos analíticos (BPC-Co) de las tres redes de monitoreo de dioxinas en América del Norte.....	33
Cuadro 12.	Comparación de las cuatro concentraciones individuales más altas medidas versus el promedio del sitio en donde se midió esa concentración (para cada sitio, la fecha corresponde a mes/año —1/2000— en comparación con el promedio del sitio —PROM; todos los valores en fg/m ³).....	41
Cuadro 12.	(cont.)	42
Gráfica 1.	Ubicación de los sitios de muestreo de la NAPS (este de Canadá)	13
Gráfica 2.	Ubicación de los sitios de muestreo de la NAPS (oeste de Canadá)	13

Gráfica 3. Ensamble del equipo de muestreo de DDPC/DFPC y BPC del ministerio de Medio Ambiente de Canadá	15
Gráfica 4. Ubicaciones de los sitios de muestreo de la NDAMN.....	21
Gráfica 5. Muestreador con relleno de EPU PS-1 para DDPC/DFPC y BPC-Co	21
Gráfica 6. Ubicaciones de los sitios de muestreo de la RMMDFAA	26
Gráfica 7. Concentraciones atmosféricas de $EqT_{DDPC/DFPC}$ y EqT_{BPC-Co} (fg/m^{-3}) en todos los sitios de muestreo de la NAPS durante 1989-2009	35
Gráfica 8. Perfil de los congéneres de DDPC/DFPC promedio en aire, porcentaje de DDPC/DFPC totales, en sitios rurales, suburbanos y urbanos de la NAPS durante 1989-2009	36
Gráfica 9. Comparación de perfiles de muestras con alta concentración <i>versus</i> perfiles típicos para dos sitios de la NAPS	37
Gráfica 10. Concentraciones atmosféricas de $EqT_{DDPC/DFPC}$ y EqT_{BPC-Co} (fg/m^{-3}) en todos los sitios de muestreo de la NDAMN durante 1999-2004.....	39
Gráfica 11. Perfil de los congéneres de DDPC/DFPC promedio en aire, porcentaje de DDPC/DFPC totales, en sitios remotos, rurales y urbanos de la NDAMN durante 1999-200	40
Gráfica 12. Concentraciones atmosféricas de $EqT_{DDPC/DFPC}$ y EqT_{BPC-Co} (fg/m^{-3}) en todos los sitios de monitoreo de la RMMDFAA durante 2008-2010 (2008-2012 para los sitios de muestreo de Perote y Celestún).....	43
Gráfica 13. Perfil de los congéneres de DDPC/DFPC promedio en aire, porcentaje de DDPC/DFPC totales, en sitios de referencia, rurales, semirurales y urbanos de la RMMDFAA durante 2008-2012.....	44
Gráfica 14. Comparación de perfiles de muestras con alta concentración <i>versus</i> perfiles típicos para dos sitios de la RMMDFAA.....	45
Gráfica 15. Series temporales de las concentraciones de BPC-Co y DDPC/DFPC en los sitios de monitoreo de referencia de América del Norte	47
Gráfica 16. Series temporales de las concentraciones de BPC-Co y DDPC/DFPC en sitios de monitoreo rurales de América del Norte	48
Gráfica 17. Series temporales de las concentraciones de BPC-Co y DDPC/DFPC en sitios de monitoreo suburbanos y semirurales de América del Norte	49
Gráfica 18. Series temporales de las concentraciones de BPC-Co y DDPC/DFPC en sitios de monitoreo urbanos de América del Norte	50
Gráfica 19. Composición promedio (perfiles de los receptores) de las concentraciones de DDPC/DFPC en los sitios de monitoreo de referencia de América del Norte.....	51
Gráfica 20. Composición promedio (perfiles de los receptores) de las concentraciones de BPC-Co en los sitios de monitoreo de referencia de América del Norte.....	52

Acrónimos, siglas y abreviaturas

AC/CC	aseguramiento y control de calidad
AQRD	División de Investigación sobre Calidad del Aire (<i>Air Quality Research Division</i>) de Environment Canada
BPC	bifenilos policlorados
BPC-Co	bifenilos policlorados coplanares
BPC-sD	BPC similares a dioxinas
CCA	Comisión para la Cooperación Ambiental
Cenica	Centro Nacional de Investigación y Capacitación Ambiental
CG	cromatografía de gases
CGAR-EMAR	cromatógrafo de gases de alta resolución/espectrómetro de masas de alta resolución
CG-EM	cromatógrafo de gases/espectrómetro de masas
DCM	diclorometano
DDPC	dibenzo- <i>p</i> -dioxinas policloradas
DDPC/DFPC	dibenzo- <i>p</i> -dioxinas y dibenzofuranos policlorados
DER	desviación estándar relativa
DFPC	dibenzofuranos policlorados
DPR	diferencia porcentual relativa
ECB	División de Química Ambiental (<i>Environmental Chemistry Branch</i>) de la EPA
EM	espectrometría de masas
EPA	Agencia de Protección Ambiental (<i>Environmental Protection Agency</i>) de Estados Unidos
EPU	espuma de poliuretano
EqT	equivalente tóxico
EqT _{BPC}	equivalente tóxico para bifenilos policlorados
EqT _{DF}	equivalente tóxico para dioxinas y furanos
FFC	filtro de fibra de cuarzo
FFV	filtro de fibra de vidrio
FR	factor de respuesta
IE	impacto electrónico
INE	Instituto Nacional de Ecología
LDC	límite de cuantificación
LDM	límite de detección del método
MASQ	manejo adecuado de las sustancias químicas
MCL	muestra de control de laboratorio
SIM	monitoreo selectivo de iones (del inglés: <i>selected ion monitoring</i>)

NAPS	Red Nacional de Vigilancia de la Contaminación Atmosférica (<i>National Air Pollution Surveillance</i>) de Canadá
NDAMN	Red Nacional de Monitoreo Atmosférico de Dioxinas (<i>National Dioxin Air Monitoring Network</i>) de Estados Unidos
OCDD	octaclorodibenzo- <i>p</i> -dioxina
OCDF	octaclorodibenzofurano
OMS	Organización Mundial de la Salud
PARAN	Plan de Acción Regional de América del Norte
PNI	Plan Nacional de Instrumentación
PNO	procedimiento normalizado de operación
RMMDFAA	Red Mexicana de Monitoreo de Dioxinas y Furanos en Aire Ambiente
S/R	relación señal-ruido
TCDD	tetraclorodibenzo- <i>p</i> -dioxinas
TCDF	tetraclorodibenzofuranos

Cronología de las redes de monitoreo atmosférico de dioxinas de América del Norte

- 1963 Se aprueba la Ley de Aire Limpio (*Clean Air Act*, CAA) de Estados Unidos.
- 1970 Se instituye la Red Nacional de Vigilancia de la Contaminación Atmosférica (*National Air Pollutants Surveillance*, NAPS) de Canadá.
- 1971 Se firma el Acuerdo Canadá-Ontario (*Canada-Ontario Agreement*).
- 1972 Se firma el Acuerdo para la Calidad del Agua de los Grandes Lagos (*Great Lakes Water Quality Agreement*, GLWQA) entre Canadá y Estados Unidos.
- 1988 Se aprueba la Ley Canadiense de Protección Ambiental (*Canadian Environmental Protection Act*, CEPA).
- 1989 La NAPS lanza el Monitoreo Atmosférico de Dioxinas.
- 1990 Se aprueban las enmiendas a la Ley de Aire Limpio de Estados Unidos referidas a contaminantes atmosféricos tóxicos.
- 1997 Se instituye la Red Nacional de Monitoreo Atmosférico de Dioxinas (*National Dioxin Air Monitoring Network*, NDAMN) de Estados Unidos.
- 1999 Se revisa la Ley Canadiense de Protección Ambiental.
- 2001 Se instituye el Plan de Acción Regional de América del Norte (PARAN), el cual incluye la determinación de las concentraciones regionales de DDPC/DFPC en el aire ambiente como una prioridad máxima.
- 2003 Se elabora el diseño preliminar de la Red Mexicana de Monitoreo de Dioxinas y Furanos en Aire Ambiente (RMMDFAA).
- 2007 Se elabora el diseño final de la RMMDFAA y se establece la estrategia de monitoreo.
- 2008 La RMMDFAA pone en marcha el monitoreo atmosférico de dioxinas.
- 2011 Se instituye la Estrategia para Catalizar la Cooperación en América del Norte sobre Dioxinas, Furanos y Hexaclorobenceno.

Agradecimientos

Este trabajo se integró con datos de la Red Nacional de Vigilancia de la Contaminación Atmosférica (*National Air Pollution Surveillance*, NAPS) de Canadá, la Red Nacional de Monitoreo Atmosférico de Dioxinas (*National Dioxin Air Monitoring Network*, NDAMN) de Estados Unidos y la Red Mexicana de Monitoreo de Dioxinas y Furanos en Aire Ambiente (RMMDFAA). Agradecemos a Lorraine Seed, Anita Wong, Paul Almodóvar, Dale Evarts, Beatriz Cárdenas, Roberto Basaldud, May Siu, Céline Audette, Tom Dann y John Schaum por su apoyo para la obtención de la información y datos con que se integró el informe, y a Matthew Lorber por su revisión crítica. Los valiosos comentarios de Beatriz Cárdenas y Roberto Basaldud contribuyeron en forma considerable a mejorar el documento.

Sinopsis

En el presente informe se lleva a cabo, por primera vez, una comparación de la historia, estrategia de muestreo y resultados de la Red Nacional de Vigilancia de la Contaminación Atmosférica (*National Air Pollution Surveillance*, NAPS) de Canadá y la Red Nacional de Monitoreo Atmosférico de Dioxinas (*National Dioxin Air Monitoring Network*, NDAMN) de Estados Unidos respecto de las concentraciones de dioxinas y furanos policlorados (DDPC/DFPC) correspondientes a los periodos 1989-2009 y 1999-2002, respectivamente, así como de bifenilos policlorados coplanares (BPC-Co) en los periodos 2005-2009 y 1999-2002, respectivamente. Se incluyen en el análisis datos de la Red Mexicana de Monitoreo de Dioxinas y Furanos en Aire Ambiente (RMMDFAA) correspondientes al periodo 2008 a 2012.

Resumen ejecutivo

Al elaborarse en 2001 el Plan de Acción Regional de América del Norte (PARAN) sobre Dioxinas, Furanos y Hexaclorobenceno e integrarse el Equipo de Tarea para Dioxinas y Furanos, se previó una evaluación regional de las concentraciones de dioxinas atmosféricas que comprendería la obtención de datos de monitoreo comparables en América del Norte. La Red Nacional de Vigilancia de la Contaminación Atmosférica (*National Air Pollution Surveillance*, NAPS) de Canadá y la Red Nacional de Monitoreo Atmosférico de Dioxinas (*National Dioxin Air Monitoring Network*, NDAMN) de Estados Unidos han estado en operación desde la década de 1990 y, con el lanzamiento de la Red Mexicana de Monitoreo de Dioxinas y Furanos en Aire Ambiente (RMMDFAA) en 2008, esta visión comenzó a hacerse realidad. En la actualidad, la NAPS y la NDAMN han proporcionado datos sobre las concentraciones de dioxinas y furanos policlorados (DDPC/DFPC) referentes a los periodos 1989-2009 y 1999-2002, respectivamente. Además, se cuenta con datos sobre bifenilos policlorados coplanares (BPC-Co) correspondientes a los periodos 2005-2009 y 1999-2002, respectivamente. La RMMDFAA ha registrado datos correspondientes al periodo 2008-2012, con mediciones en curso.

El objetivo del presente informe es llevar a cabo, por primera vez, una comparación de la historia, estrategias de muestreo y resultados de las tres redes de monitoreo. Una parte considerable de este informe es una adaptación o guarda paralelos con un proyecto previo para comparar los resultados de las iniciativas de monitoreo canadienses y estadounidenses (CCA, 2010, documento interno) y, a efecto de integrar el nuevo documento, se incluyó información específica sobre México y se volvió a redactar el apartado correspondiente a los resultados.

A partir de los resultados del monitoreo canadiense se detectó una disminución en la tendencia de las concentraciones de dioxinas atmosféricas a lo largo de las últimas dos décadas. Esto demuestra la efectividad de las medidas para el control de dioxinas que se han tomado en Canadá, lo que también se refleja en las tendencias registradas por inventarios consecutivos de emisiones. Los datos disponibles de la NDAMN y la RMMDFAA son todavía muy escasos para poder identificar tendencias en el tiempo. Sin embargo, la superposición de datos de medición en Canadá y Estados Unidos, correspondientes a un periodo de cuatro años, mostró concentraciones comparables de DDPC/DFPC y BPC-Co en poblaciones rurales. Las concentraciones en poblaciones rurales mexicanas fueron unas diez veces menores que las que mostraron las mediciones canadienses correspondientes. En cambio, para poblaciones urbanas,

los sitios de monitoreo mexicanos registraron valores de un orden de magnitud mayor, aproximadamente, que los registrados en sitios canadienses, lo que semejó las condiciones en Canadá de hace unas dos décadas. Las medidas de regulación —actuales y futuras— que se aplican en México de acuerdo con el Plan Nacional de Instrumentación de 2007 podrían llevar a reducciones similares en las concentraciones atmosféricas de dioxinas, como se ha observado en Canadá. Las composiciones de DDPC/DFPC y BPC-Co fueron similares en todos los sitios dentro de la NAPS y la NDAMN. En México, la composición se vio más influida aún por los furanos, en particular en las poblaciones urbanas, lo que podría indicar la presencia de fuentes de emisión específicas del país.

Para asegurar la sustentabilidad de las iniciativas de monitoreo atmosférico de dioxinas en América del Norte y proporcionar datos de gran calidad también en el futuro, los sitios de muestreo actualmente en operación necesitan reforzarse mediante actividades de capacitación y auditoría continuas. También es preciso otorgar los recursos financieros necesarios para los gastos operativos. En particular se requieren datos de monitoreo atmosférico a largo plazo de la NDAMN y la RMMDFAA, así como investigar las probables relaciones entre las fuentes urbanas y los sitios receptores remotos mediante estudios de modelización. Además, sería deseable una expansión del monitoreo a regiones en Centroamérica y América del Sur, con base en iniciativas locales y con la colaboración de la Estrategia para Catalizar la Cooperación en América del Norte sobre Dioxinas, Furanos y Hexaclorobenceno (antes PARAN).

1. Introducción a las redes de monitoreo atmosférico de dioxinas de América del Norte

Las dibenzo-*p*-dioxinas policloradas (DDPC) y los dibenzofuranos policlorados (DFPC) son una familia de más de 200 compuestos químicos con estructuras similares, conocidos colectivamente como dioxinas. Aunque DDPC y DFPC se pueden formar como resultado de ciertos procesos naturales, como erupciones volcánicas e incendios forestales, la principal fuente de emisión de dioxinas en América del Norte es la combustión de desechos. También se pueden producir en el blanqueo de pulpa y papel a base de cloro, ciertos tipos de procesamiento y fabricación, incluida la fabricación de algunos plaguicidas, y otras actividades industriales. Los bifenilos policlorados (BPC) son una clase de 209 congéneres con uno a diez átomos de cloro unidos a los anillos de bifenilo. Los BPC coplanares (BPC-Co) tienen una estructura bastante rígida, con los dos anillos de fenilo en el mismo plano, una estructura similar a la de DDPC/DFPC. Todos estos compuestos son sustancias tóxicas persistentes y bioacumulables, y tienen el potencial para transportarse a grandes distancias. En mayo de 2001, más de cien países firmaron el Convenio de Estocolmo sobre Contaminantes Orgánicos Persistentes, en el cual DDPC, DFPC y BPC fueron designados como tres compuestos de la “docena sucia” de los contaminantes orgánicos persistentes escogidos para la acción global.

El Grupo de Trabajo para el Manejo Adecuado de las Sustancias Químicas (MASQ) de la Comisión para la Cooperación Ambiental (CCA) de América del Norte estableció en 2000 el Equipo de Tarea sobre Dioxinas, Furanos y Hexaclorobenceno de América del Norte. El mandato del Equipo de Tarea fue formular y poner en práctica un Plan de Acción Regional de América del Norte (PARAN) sobre Dioxinas, Furanos y Hexaclorobenceno orientado hacia el manejo eficaz de estas sustancias químicas en América del Norte. Canadá y Estados Unidos han obtenido datos sobre DDPC, DFPC y BPC-Co similares a dioxinas en el aire ambiente mediante sus respectivas redes de monitoreo atmosférico: la Red Nacional de Vigilancia de la Contaminación Atmosférica (*National Air Pollution Surveillance*, NAPS) y la Red Nacional de Monitoreo Atmosférico de Dioxinas (*National Dioxin Air Monitoring Network*, NDAMN), desde la primera década de los años noventa. En 2008, con el apoyo de estos dos países, entró en operación la Red Mexicana de Monitoreo de Dioxinas y Furanos en Aire Ambiente (RMMDFAA). En abril de 2011 estaba ya disponible el conjunto de datos validado de los tres primeros años de operación de la RMMDFAA. En 2013, las mediciones seguían en curso.

La meta de este proyecto es llevar a cabo una evaluación para establecer un conjunto de datos comparable y compatible regionalmente con la información relativa a las concentraciones atmosféricas de dioxinas y compuestos similares a dioxinas en América del Norte. Adicionalmente, este informe resume las tendencias a largo plazo y la distribución espacial de las concentraciones de DDPC, DFPC y BPC-Co en la atmósfera canadiense y estadounidense, y las compara con las encontradas en los datos obtenidos durante los tres primeros años en México.

2. Historia, diseño y operación

En este capítulo se hace una caracterización de las tres redes de monitoreo atmosférico de dioxinas de América del Norte, incluidos su historia, objetivos, distribución de sitios de monitoreo, métodos de muestreo y análisis, así como sus respectivas medidas de aseguramiento y control de calidad (AC/CC) (apartados 2.1 a 2.3). En el apartado 2.4 se presenta un resumen comparativo de las redes.

2.1 Vigilancia nacional de la contaminación atmosférica

2.1.1 Historia de la red

En Canadá, en 1969, los gobiernos federal, provinciales, territoriales y municipales establecieron conjuntamente la Red Nacional de Vigilancia de la Contaminación Atmosférica (*National Air Pollution Surveillance*, NAPS). La División de Investigación sobre Calidad del Aire (*Air Quality Research Division*, AQRD) del ministerio de Medio Ambiente de Canadá tiene la importante función en obtener y evaluar los datos de la calidad del aire ambiente en todo el país. Originalmente, el programa de la red se concentró en monitorear los contaminantes de criterio. La sección de la AQRD encargada del análisis de la calidad del aire ha desarrollado nuevas técnicas para medir los potenciales contaminantes atmosféricos tóxicos. Con el apoyo de las agencias de la red se han usado estas técnicas mejoradas para monitorear contaminantes orgánicos volátiles y semivolátiles, incluidos DDPC, DFPC y BPC-Co similares a dioxinas.

Los propósitos de la iniciativa de monitoreo son: 1) apoyar las evaluaciones de sustancias prioritarias en la Ley Canadiense de Protección Ambiental (*Canadian Environmental Protection Act*, CEPA) mediante el suministro de información sobre la exposición de la población canadiense a las concentraciones atmosféricas de sustancias tóxicas; 2) proporcionar datos sobre las tendencias en las concentraciones atmosféricas de contaminantes tóxicos y, por lo tanto, medir el éxito de las iniciativas llevadas a cabo conforme a la Política de Manejo de Sustancias Tóxicas y al Acuerdo entre Canadá y Ontario respecto del ecosistema de la cuenca de los Grandes Lagos; 3) caracterizar componentes potencialmente tóxicos de partículas finas suspendidas; 4) identificar y caracterizar las principales fuentes de sustancias tóxicas y determinar la importancia del transporte a grandes distancias *versus* emisiones locales en términos de concentraciones ambientales medidas, y 5) proporcionar mejor información sobre el destino, transporte y deposición de las sustancias tóxicas.

2.1.2 Sitios de muestreo

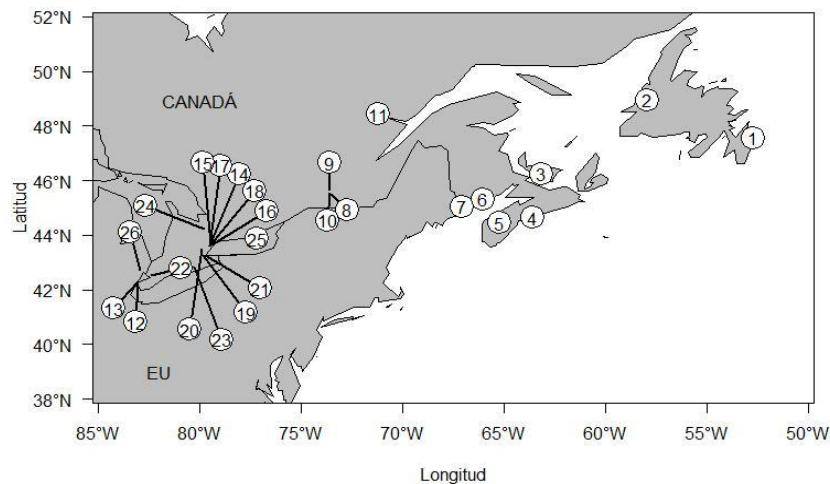
La NAPS inició su operación en 1989 con dos sitios de muestreo: Walpole Island y Windsor (éste último como parte del Programa de Monitoreo del Incinerador de Detroit). Con el tiempo se establecieron sitios adicionales, algunos de los cuales operaron solamente durante un número limitado de años. El número máximo de sitios de muestreo operando simultáneamente (23) se alcanzó en 1995. El programa de la NAPS suspendió el monitoreo de DDPC/DFPC en 2012, año en que se obtuvieron muestras de un total de 43 sitios diferentes, clasificados como sitios rurales, suburbanos y urbanos (véanse el Cuadro 1, las Gráfica 1 y Gráfica 2, y las fotos incluidas en el apartado 6.1).

Cuadro 1. Ubicaciones de los sitios y sus clasificaciones para la NAPS

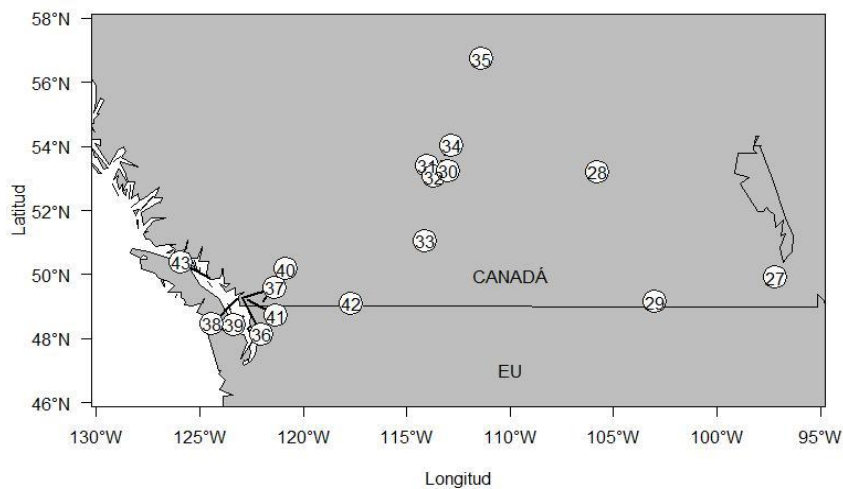
Sitio núm.	Nombre	Latitud (°N)	Longitud (°W)	Operación	Clasificación
1	St. John's, NL	47.56	52.71	1999-2002	Urbano
2	Corner Brook, NL	48.95	57.95	2005-2011	Urbano
3	Charlottetown, PEI	46.24	63.13	1995	Urbano
4	Halifax, NS	44.65	63.57	1995	Urbano
5	Kejimikujik, NS	44.44	65.21	1994-2009	Rural
6	Saint John, NB	45.31	66.01	1994-2011	Suburbano
7	St. Andrews, NB	45.05	67.07	1994-2001	Rural
8	Montréal, QC	45.52	73.56	1992-2008	Urbano
9	Montréal, QC	45.65	73.57	1999-2011	Urbano
10	Montréal, QC	45.54	73.57	2008-2011	Urbano
11	Jonquière, QC	48.43	71.19	1991-2011	Urbano
12	Windsor, ON	42.31	83.04	1989-1995	Urbano
13	Windsor, ON	42.29	83.07	1990-2011	Urbano
14	Toronto, ON	43.62	79.52	1998-2000	Urbano
15	Toronto, ON	43.67	79.45	1991-2004	Urbano
16	Toronto, ON	43.66	79.40	2000-2011	Urbano
17	Toronto, ON	43.62	79.52	2001-2008	Urbano
18	Toronto, ON	43.61	79.52	2009-2011	Urbano
19	Hamilton, ON	43.26	79.86	1991-2011	Urbano
20	Hamilton, ON	43.48	79.92	1999-2002	Urbano
21	Hamilton, ON	43.25	79.75	1999-2002	Urbano
22	Walpole Island, ON	42.54	82.41	1989-1995	Rural
23	Simcoe, ON	42.85	80.27	1996-2011	Rural
24	Egbert, ON	44.23	79.78	1998-2010	Rural
25	Point Petre, ON	43.86	77.15	1996-2011	Rural
26	Burnt Island, ON	42.70	82.95	2003-2011	Rural
27	Winnipeg, MB	49.90	97.15	1995-2011	Urbano
28	Prince Albert, SK	53.20	105.75	1995	Urbano
29	Estevan, SK	49.14	103.00	1994-1996	Rural
30	Edmonton, AB	53.55	113.37	1994-2011	Suburbano
31	Edmonton, AB	53.54	113.50	1995	Urbano
32	Edmonton, AB	53.49	113.46	2006-2011	Urbano
33	Calgary, AB	51.05	114.08	2006-2011	Urbano
34	Fort Saskatchewan, AB	53.71	113.22	1994-1995	Suburbano
35	Fort McMurray, AB	56.73	111.39	1995	Urbano

36	Vancouver, BC	49.28	122.97	1996-1998	Suburbano
37	Vancouver, BC	49.28	122.85	1996	Suburbano
38	Vancouver, BC	49.26	123.16	1996	Urbano
39	Victoria, BC	48.43	123.36	1995	Urbano
40	Vancouver, BC	49.16	121.94	1995	Suburbano
41	Pitt Meadows, BC	49.21	122.71	1994-1995	Rural
42	Trail, BC	49.10	117.70	1994-1995	Suburbano
43	Powell River, BC	49.88	124.52	1996-1998	Urbano

Gráfica 1. Ubicación de los sitios de muestreo de la NAPS (este de Canadá)



Gráfica 2. Ubicación de los sitios de muestreo de la NAPS (oeste de Canadá)



2.1.3 Estrategias de muestreo y análisis

2.1.3.1 Obtención de las muestras

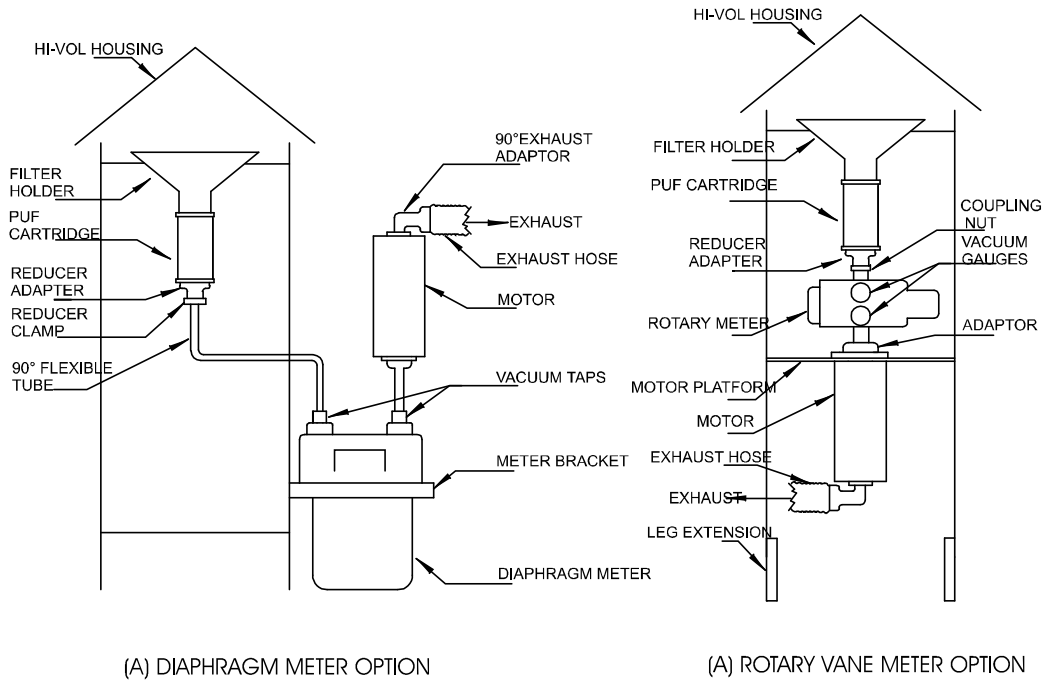
En el periodo de 1989 a 2009 se tomaron en la NAPS entre 1 y 28 (típicamente 6) muestras cada año. De esta forma, se recolectaron un total de 2,201 muestras. La mayor parte se obtuvo en periodos de muestreo de 24 horas (de media noche a media noche) con un típico volumen de muestreo de 600-800 m³, aunque en 1990 y 1991 se realizaron algunos muestreos de 48 horas en los sitios del área de Windsor, así como en Powell River.

Se usó un sistema de muestreo con filtro sorbente para obtener DDPC/DFPC y BPC en fase sólida y fase gaseosa, como se muestra en la Gráfica 3. El sistema de muestreo se hizo con un equipo de muestreo de gran volumen, que fue modificado por el personal de la NAPS a fin de incluir un gasómetro o un contador de paletas rotatorias para registrar el volumen total de la muestra. El equipo de muestreo contaba con un filtro de fibra de vidrio (FFV) marca Pallflex de 20 × 25 cm recubierto con teflón y sorbente de espuma de poliuretano (EPU) colocado en un cartucho sorbente de 7.5 cm de diámetro y una profundidad de lecho de 15 cm (dos rellenos de EPU de 7.5 cm de profundidad).

Se usaron los filtros tal y como se recibieron del fabricante. Previamente se colocaron los rellenos de EPU en el extractor Soxhlet durante 16 a 20 horas con metanol seguido por ciclohexano. En los últimos ocho años, la extracción de los rellenos de EPU se realizó con acetona y hexano mediante un sistema de extracción acelerada de solvente. Posteriormente, se secaron los rellenos extraídos con aire en una campana de extracción de gases u horno de vacío y se insertaron en el ensamble del cartucho antes del embarque al campo.

En el campo se montaron los filtros y los cartuchos, y se revisó que el equipo de muestreo no tuviera fugas antes de cada muestreo. Por lo general, los equipos de muestreo se configuraban para obtener de manera automática una muestra de 24 horas en el día de muestreo preestablecido. Por lo regular se instalaban los filtros y cartuchos de uno a seis días antes del muestreo y se retiraban de uno a seis días después de realizado éste. Después del muestreo se enviaron los filtros y espumas por servicio de mensajería al laboratorio de la AQRD en Ottawa, donde se sellaron y colocaron en un congelador hasta la extracción. Se recibieron las hojas de datos correspondientes a cada muestra, donde se indicaba el volumen total de la muestra, el vacío del gasómetro, identificación de la muestra y estación, y la fecha y tiempo transcurridos.

Gráfica 3. Ensamble del equipo de muestreo de DDPC/DFPC y BPC del ministerio de Medio Ambiente de Canadá



DIAPHRAGM METER OPTION:	OPCIÓN DE CONTADOR DE DIAFRAGMA
ROTARY VANE METER OPTION:	OPCIÓN DE CONTADOR DE PALETAS ROTATORIAS
HI-VOL HOUSING:	BASTIDOR DE GRAN VOLUMEN
FILTER HOLDER:	SOSTÉN DEL FILTRO
PUF CARTRIDGE:	CARTUCHO DE EPU
REDUCER ADAPTER:	ADAPTADOR REDUCTOR
REDUCER CLAMP:	ABRAZADERA REDUCTORA
90° FLEXIBLE TUBE:	TUBO FLEXIBLE DE 90°
90° EXHAUST ADAPTOR:	ADAPTADOR DE ESCAPE DE 90°
EXHAUST:	ESCAPE
EXHAUST HOSE:	MANGUERA DE ESCAPE
MOTOR:	MOTOR
VACUUM TAPS:	TAPAS DE VACÍO
METER BRACKET:	MÉNSULA DEL CONTADOR
DIAPHRAGM METER:	CONTADOR DE DIAFRAGMA
ROTARY METER:	CONTADOR ROTATORIO
MOTOR PLATFORM:	PLATAFORMA DEL MOTOR
LEG EXTENSION:	PATA DE EXTENSIÓN
COUPLING NUT:	TUERCA DE ACOUPLE
VACUUM GAUGES:	MEDIDORES DE VACÍO
ADAPTOR:	ADAPTADOR

2.1.3.2 Análisis de las muestras

Se enriqueció cada muestra con 2-4 ng de los nueve isómeros 2, 3, 7, 8-sustituidos de DDPC/DFPC marcados con ^{13}C y 8 μg de cada uno de los doce BPC similares a dioxinas (BPC-sD) marcados con ^{13}C . Se extrajo la muestra durante 16-20 horas con tolueno. El extracto bruto se dividió en dos fracciones: se usó una mitad para la limpieza y análisis de DDPC/DFPC y se usó la otra mitad para la limpieza y análisis de BPC-sD.

i) Análisis de DDPC/DFPC

Se extrajeron el filtro y los rellenos de EPU juntos para medir la cantidad total (fase sólida y gaseosa) de DDPC/DFPC de cada muestra. Se dobló el filtro en cuatro y se colocó en el fondo de una cámara de extracción de Soxhlet grande y limpia, y se colocaron los rellenos de EPU. Se enriqueció la muestra con 1-2 ng de nueve congéneres 2, 3, 7, 8-sustituidos de DDPC/DFPC marcados con ^{13}C . Posteriormente se extrajo la muestra durante 16-20 horas con tolueno. Se filtró el extracto de la muestra a través de sulfato de sodio anhidro, concentrado a ~2 ml, cambiado a hexano y reconcentrado a ~2 ml. Se limpió el extracto concentrado y se pasó a través de una columna rellena de silicio con recubrimiento ácido, recubrimiento básico y recubrimiento de nitrato de plata para eliminar compuestos orgánicos y sulfurosos fácilmente oxidables, y, posteriormente, a través de una segunda columna con alúmina básica para aislar DDPC/DFPC de posibles interferencias. Se concentró el extracto hasta secar bajo una corriente suave de nitrógeno y se volvió a disolver en 20 μl de una solución patrón de recuperación con 50 $\text{pg } \mu\text{l}^{-1}$ de isómeros 1, 2, 3, 4-sustituidos de TCDD marcados con ^{13}C e isómeros 1, 2, 3, 7, 8, 9-sustituidos de hexaclorodibenzo-*p*-dioxinas marcados con ^{13}C . Se analizaron los extractos finales en un cromatógrafo de gases de alta resolución/espectrómetro de masas de alta resolución (CGAR-EMAR) que se operó en los modos de impacto electrónico (EI, en inglés) y monitoreo selectivo de iones (MSI o SIM, en inglés). Se incluyen las condiciones analíticas del CGAR-EMAR en el Cuadro 2.

Cuadro 2. Condiciones del CGAR-EMAR usado por la NAPS para el análisis de DDPC/DFPC

Instrumento	CGAR-EMAR Waters Ultima
Columna	DB-5 (o equivalente) (60 m de largo \times 0.25 mm de diámetro interno, 0.25 μm de espesor de la película)
Modo de ionización	IE (28-40 eV)
Modo de adquisición	SIM
Resolución	5,000-10,000
Inyección	2 μl , con o sin división de flujo o sobre la columna
Programa de temperatura del horno	100 $^{\circ}\text{C}$ (con o sin división de flujo) o 70 $^{\circ}\text{C}$ (sobre la columna) por 1 min, 40 $^{\circ}\text{C}/\text{min}$ a 200 $^{\circ}\text{C}$, 3 $^{\circ}\text{C}/\text{min}$ a 235 $^{\circ}\text{C}$ y mantener por 10 min, posteriormente 8 $^{\circ}\text{C}/\text{min}$ a 310 $^{\circ}\text{C}$ y mantener por 15 minutos

Se usó el método del patrón interno para cuantificar los congéneres de DDPC/DFPC con base en el uso del factor de respuesta (FR) relativo promedio sobre el intervalo de calibración representado por las soluciones patrón. Para los patrones nativos, el FR relativo fue el cociente

del factor de respuesta del analito al factor de respuesta del correspondiente isómero sustituto marcado. Usando estos FR relativos se pudieron calcular directamente las concentraciones de DDPC/DFPC corregidas en función de la recuperación en las muestras. Se usó el FR relativo del factor de respuesta del isómero sustituto al factor de respuesta del correspondiente patrón de recuperación para calcular las recuperaciones del isómero sustituido en las muestras. Se obtuvieron los límites de detección del método (LDM) mediante el análisis por duplicado del material de referencia certificado (polvo urbano 1649). Con base en una muestra de aire de 1,000 m³ y un volumen final de 20 µl, los LDM para DDPC/DFPC variaron de 1 a 4 fg m⁻³ por analito.

ii) Análisis de BPC-Co

Antes de la extracción en el extractor Soxhlet, cada muestra se enriqueció con una solución del isómero sustituido. El extracto de la muestra se dividió y se purificó la fracción de BPC con una columna de sílice modificada. Se concentró el extracto de BPC y se filtró a través de un filtro de jeringa de politetrafluoroetileno (0.45 µm). El extracto fue posteriormente concentrado a 100 µl y fraccionado por cromatografía de líquidos de alta resolución. Se usó un cromatógrafo de líquidos de alta resolución equipado con una columna de fase inversa COSMOSIL 5PYE (5 µm de tamaño de partícula, 4.6 mm de diámetro interno × 150 mm, Phenomenex) para separar los congéneres de BPC sustituidos orto, mono-orto y di-orto tóxicos de los BPC no-orto-clorados. Se concentró la fracción de BPC-sD de la cromatografía de líquidos de alta resolución hasta secar y se enriqueció con 20 µl de la solución patrón de recuperación (100 pg µl⁻¹ de BPC-101 marcado con ¹³C). Se analizó el extracto purificado final mediante CG/EM con las condiciones de operación que se muestran en el Cuadro 3.

Se usó una calibración de seis puntos para establecer el intervalo dinámico lineal del instrumento. Se usó el método del patrón interno para cuantificar los BPC-sD con base en los FR de un patrón de calibración del punto medio. Para los patrones nativos, el FR relativo fue el cociente del factor de respuesta del analito al factor de respuesta del correspondiente congénere sustituido marcado. Las concentraciones del analito se corrigieron con la recuperación. Se usó el patrón de recuperación BPC-101 marcado con ¹³C, para calcular las recuperaciones del isómero sustituido en la muestra.

Cuadro 3. Condiciones de la CG/EM usada para el análisis de BPC-sD por la NAPS

Instrumento	CG/EM Agilent (6890N/5975)
Columna	DB-XLB (30 m de largo × 0.25 mm de diámetro interno, 0.25 µm de espesor de la película)
Modo de ionización	IQN
Modo de adquisición	SIM
Inyección	1 µl, sobre la columna.
Programa de temperatura del horno	90 °C por 2 min, 15 °C/min a 105 °C, 5 °C/min a 275 °C, después 15 °C/min a 325 °C y mantener por 8 minutos

2.1.4 Aseguramiento y control de calidad

El AC/CC en el campo incluyó la recuperación de blancos de campo que se obtuvieron en cada sitio, al montar filtros y espuma limpios en el equipo de muestreo y dejarlos allí durante un periodo de tiempo similar al de una muestra activa. Sólo la octaclorodibenzo-*p*-dioxina (OCDD) se detectó rutinariamente en los blancos del campo con concentraciones mensurables por lo general menores a 60 fg m⁻³ en sitios urbanos y menores a 20 fg m⁻³ en los sitios rurales. Se realizó un estudio por separado sobre la comparación entre equipos de muestreo, y se estimó que la precisión general de las mediciones de DDPC/DFPC era de entre 10 y 20 por ciento para concentraciones mayores a 5 fg m⁻³.

El AC/CC en laboratorio para DDPC y DFPC incluyó estándares de calibración, isómeros sustituidos marcados para calcular la recuperación, blancos de método y muestras de control. Las concentraciones de los isómeros de DDPC o DFPC en los blancos del método se encontraron debajo de los límites de detección (1 a 4 fg m⁻³). Los límites de detección para BPC-Co variaron de 0.010 a 0.050 ng por muestra. La recuperación de BPC-Co en las muestras debía estar dentro del intervalo de 50 a 120 por ciento, y en las muestras de control de laboratorio, dentro del intervalo de 75 a 125 por ciento del valor de referencia.

Se generaron curvas de calibración para DDPC/DFPC antes del análisis de las muestras para confirmar la linealidad entre 0.25 y 100 pg µl⁻¹. Se verificaron las curvas de calibración establecidas al menos cada doce horas de operación al inyectar un patrón con concentración media. Como una verificación de la exactitud, se analizó periódicamente un patrón de referencia como el EN 1948 de los laboratorios Wellington.

Para los BPC-Co se tenía que verificar la calibración establecida al analizar un patrón de verificación calibración de nivel medio al menos una vez después de cada diez muestras inyectadas y antes y después de cada secuencia. Para confirmar la presencia de analitos objetivo en la muestra tenían que cumplirse estos criterios: a) la respuesta de los dos iones característicos debía exceder el nivel de ruido de fondo en un mínimo de 3:1; b) el cociente de la abundancia del primer ion de confirmación (m/z) debía estar dentro de 40 por ciento de los cocientes correspondientes en la solución patrón; c) el valor máximo para cada ion característico específico debía coincidir dentro de un lapso de tres segundos. El tiempo de retención del analito de la muestra debía estar dentro de un lapso de tres segundos del tiempo de retención del componente patrón correspondiente.

2.2 Red Nacional de Monitoreo Atmosférico de Dioxinas

2.2.1 Historia de la red

En junio de 1998, la Agencia de Protección Ambiental (*Environmental Protection Agency*, EPA) de Estados Unidos instituyó la NDAMN para determinar la variabilidad temporal y geográfica de DDPC, DFPC y BPC-sD atmosféricos en las áreas rurales, remotas y urbanas de Estados Unidos. La meta global de la NDAMN es proporcionar información que pueda vincular las fuentes con las exposiciones humanas a los compuestos similares a dioxinas. Para alcanzar esta meta, la NDAMN se centra en tres propósitos primarios: 1) proporcionar mediciones de las concentraciones atmosféricas de referencia de compuestos similares a dioxinas en diversas regiones geográficas de Estados Unidos, y 2) determinar las concentraciones atmosféricas de compuestos similares a

dioxinas en áreas agrícolas donde se críen ganado, aves de corral y cultivos de alimentos para animales.

2.2.2 *Sitios de muestreo*

La NDAMN inició operaciones en 1998 con nueve sitios de monitoreo. Este número se incrementó con el tiempo, hasta que en 2004 un total de 34 sitios estuvieron en operación a lo largo de Estados Unidos. Estas ubicaciones se clasificaron, para fines de la red de monitoreo, como lugares remotos, rurales y urbanos (véanse el Cuadro 4 y la Gráfica 4).

Se seleccionaron sitios remotos y rurales que cumplieran con algunos criterios específicos: 1) que no estuvieran afectados por fuentes cercanas de compuestos similares a dioxinas; 2) que estuvieran rodeados por terrenos en que se cultivara predominantemente alimento para animales; 3) que tuvieran condiciones climáticas variables en términos de temperatura, humedad y precipitación, y 4) que estuvieran ubicados en diferentes regiones geográficas (Riggs *et al.*, 2003). Los sitios remotos fueron también seleccionados con base en la ausencia de asentamientos humanos y en que se ubicaran al menos a 100 km de distancia de probables fuentes de dioxinas (es decir, de entornos urbanos, suburbanos o industriales). Los sitios urbanos se ubicaban a poca distancia de áreas urbanizadas pequeñas (con poblaciones menores a veinte mil habitantes), y, en el caso de Fort Cronkhite, a unos cuantos kilómetros de la zona habitada de San Francisco (Lorber *et al.*, 2013).

2.2.3 *Estrategias de muestreo y análisis*

2.2.3.1 *Obtención de las muestras*

Entre 1998 y 2004, las muestras en la NDAMN se obtuvieron trimestralmente, de forma que se recolectaron un total de 685 muestras en 25 momentos de muestreo (Lorber *et al.*, 2013). Cada momento de muestreo consistió en 20-24 días de muestreo activo en un periodo de 28 días, con un programa semanal de cinco o seis días de operación continua seguidos por uno o dos días de inactividad. De esta manera, aproximadamente 6,000-8,000 m³ de aire pasaron a través del ensamble del portafiltro.

Cada estación consta de un equipo de monitoreo de alto volumen PS-1 con relleno de EPU (Gráfica 5). El medio de muestreo tiene dos componentes: un filtro de fibra de cuarzo (FFC) para recolectar y retener partículas suspendidas ($\geq 0.1 \mu\text{m}$), y un relleno de EPU para recolectar y retener compuestos en fase gaseosa.

Cada semana se retiraban los FFC y se colocaba uno nuevo en el equipo de monitoreo, para sumar cuatro FFC por cada momento de muestreo. Esto se hizo para prevenir la saturación y obstrucción de los medios del filtro con las partículas recolectadas. Otro beneficio de cambiar los FFC fue el potencial de reducir la pérdida por volatilización de dioxinas unidas a las partículas. Se recolectaron los rellenos de EPU al final del momento de muestreo.

Las muestras se empacaron con bolsas de gel refrigerante y se enviaron durante la noche al Laboratorio de Química Ambiental de la EPA de Estados Unidos para su análisis (Cleverly *et al.*, 2000). Se verificó que todas las muestras hubieran llegado frías, inspeccionadas, registradas y almacenadas en un congelador hasta su análisis.

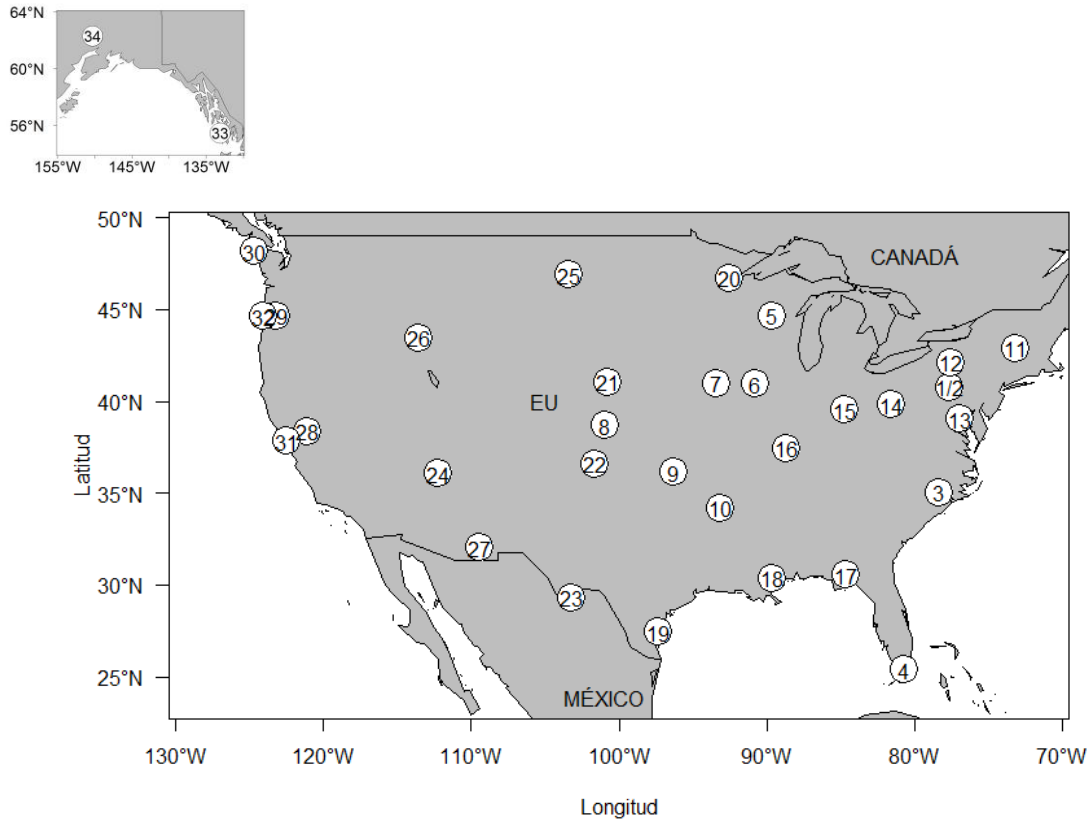
Cuadro 4. Ubicaciones y clasificaciones de los sitios de la NDAMN

Número de sitio	Nombre	Latitud (°N)	Longitud (°W)	Clasificación
1	Penn Nursery, PA	40.78	77.62	Rural
3	Clinton Crops, NC	35.02	78.28	Rural
4	Everglades, FL	25.39	80.68	Rural
5	Lake Dubay, WI	44.66	89.65	Rural
6	Monmouth, IL	40.93	90.72	Rural
7	McNay, IA	40.96	93.39	Rural
8	Lake Scott, KS	38.67	100.92	Rural
9	Bixby, OK	36.14	96.26	Rural
9	Lake Keystone, OK	34.18	93.10	Rural
10	Arkadelphia, AR	42.88	73.16	Rural
11	Bennington, VT	42.11	77.54	Rural
12	Jasper, NY	39.02	76.95	Rural
13	Beltsville, MD	39.79	81.53	Urbano
14	Caldwell, OH	39.53	84.72	Rural
15	Oxford, OH	37.44	88.67	Rural
16	Dixon Springs, IL	30.55	84.60	Rural
17	Quincy, FL	30.37	89.62	Rural
18	Bay St. Louis, MS	27.43	97.30	Rural
19	Padre Island, TX	46.71	92.51	Rural
20	Fond Du Lac, MN	41.06	100.75	Rural
21	North Platte, NE	36.59	101.62	Rural
22	Goodwell, OK	29.30	103.18	Rural
23	Big Bend, TX	36.06	112.18	Remoto
24	Grand Canyon, AZ	46.89	103.38	Remoto
25	T. Roosevelt N.P., ND	43.46	113.55	Remoto
26	Craters Moon, ID	32.01	109.39	Remoto
27	Chiricahua, AZ	38.34	121.11	Remoto
28	Rancho Seco, CA	44.63	123.19	Urbano
29	Hyslop Farms, OR	48.08	124.63	Rural
30	Ozette Lake, WA	37.83	122.53	Remoto
31	Fort Cronkhite, CA	44.62	124.04	Urbano
32	Newport, OR	55.45	133.09	Urbano
33	Craig, AK	62.32	150.31	Rural
34	Trapper Creek, AK	44.68	124.07	Remoto
35	Yaquina Head, OR	40.78	77.62	Rural
2	Sitio de duplicado móvil			

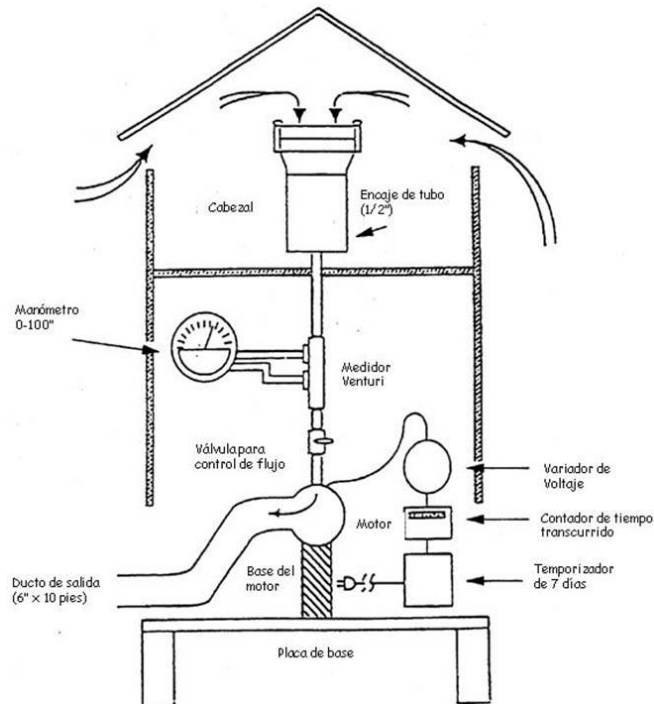
Nota: Los sitios 9 y 29 fueron cambiados a otra ubicación dentro de la misma región de muestreo en 2002 y 2004, respectivamente.

Fuente: US EPA, 2013.

Gráfica 4. Ubicaciones de los sitios de muestreo de la NDAMN



Gráfica 5. Muestreador con relleno de EPU PS-1 para DDPC/DFPC y BPC-Co



2.2.3.2 Análisis de las muestras

Se procesaron las muestras en conjuntos analíticos compuestos por un grupo de doce: nueve muestras, una muestra de control de laboratorio enriquecida y dos blancos del método. Se combinaron los FFC de cada muestra del campo o blanco del campo individuales con su EPU correspondiente en un extractor Soxhlet, enriquecido con los 17 isómeros 2, 3, 7, 8-sustituidos de DDPC/DFPC marcados con ^{13}C y siete BPC-Co marcados con ^{13}C (los doce BPC-Co de la Organización Mundial de la Salud [OMS] fueron analizados después de 2002) y se extrajeron durante 24 h con tolueno. Se redujo el volumen a 50 ml y se cambió el solvente a hexano. Se agitaron los extractos durante tres horas con 50 g de sílice acidificado y se pasaron a través de gel de sílice acidificado y básico. Posteriormente se redujo el volumen a menos de 1 ml en un Zymark Turbovap II™ y se fraccionó en carbón grafitado PX-21. Se limpió la alúmina neutra de la fracción de dioxina antes del análisis. Se prepararon todos los reactivos de acuerdo con los procedimientos detallados en el Método 1613 de la EPA (US EPA, 1994).

Los análisis y los procedimientos y umbrales de AC/CC fueron congruentes con aquellos descritos en el método con varios ajustes importantes:

- 1) Se prepararon las soluciones patrón de calibración en concentraciones menores. Para la NDAMN, el menor patrón de calibración contenía 50 fg de TCDD y $5 \text{ pg } \mu\text{l}^{-1}$ de isómeros sustituidos marcados con ^{13}C ; el menor patrón de calibración del Método 1613 contiene 500 fg y $100 \text{ pg } \mu\text{l}^{-1}$ de isómeros sustituidos. Las muestras obtenidas con la NDAMN se enriquecieron para dar $5 \text{ pg } \mu\text{l}^{-1}$, mientras que el Método 1613 da $100 \text{ pg } \mu\text{l}^{-1}$ a partir del mismo volumen final de 20 μl . La menor concentración de enriquecimiento del isómero sustituido marcado con ^{13}C permite una aproximación más realista de la recuperación real de los analitos nativos en una concentración de subpartes por billón (ppb) y se aproxima mejor al comportamiento de las concentraciones traza de los compuestos nativos durante el procesamiento y análisis de las muestras.
- 2) Se usó una columna DB-5MS en lugar de la DB-5 especificada por el Método 1613. La columna DB-5MS tiene una separación superior de las 2, 3, 7, 8-TCDD de otros tetraisómeros y resuelve mejor los isómeros 2, 3, 7, 8-sustituidos de DDPC/DFPC.
- 3) El Método 1613 usa una mezcla de AX21-celita de carbón grafitado mientras que la NDAMN usó una mezcla formada por 0.5 g de gel de sílice BioSil y 0.5 g de carbón activado PX-21 de Amoco.
- 4) Los solventes eluyentes y el fraccionamiento también son diferentes. Se acondicionó la columna con 10 ml de benceno-diclorometano (DCM) en proporción 50/50, 10 ml de tolueno y 5 ml de hexano. Se agregó la muestra a la columna en 0.5 ml de hexano seguido de dos enjuagues con 0.5 ml. Se eluyó la fracción 1, que contenía la mayor parte de los orto-BPC, con 4.5 ml de DCM-hexano en proporción 25/75. La fracción 2, recolectada en un recipiente, consistió de 5.5 ml de DCM y contenía los mono-orto-BPC y 11.5 ml de benceno-DCM que contenían los no-orto-BPC. Se sometió la columna a la fase inversa y se recolectaron DDPC/DFPC con 13 ml de tolueno. Se redujeron las fracciones a menos de 10 μl , se cambió el solvente por hexano y se almacenaron en el congelador hasta su análisis.

Todos los análisis se realizaron mediante CGAR-EMAR de acuerdo con el Método 1613 de la EPA. El Cuadro 5 muestra las condiciones analíticas. Se determinaron las

concentraciones atmosféricas para cada momento de muestreo en cada sitio, y posteriormente se calcularon los promedios anuales para cada sitio.

2.2.4 Aseguramiento y control de calidad

El AC/CC en el campo se garantizó a través del procedimiento normalizado de operación (PNO) para muestreo del aire ambiental, que fue desarrollado por Battelle. La precisión de las concentraciones promedio fue de 9 a 56 por ciento para congéneres individuales (con una mediana de 20 por ciento) (Lorbet *et al.*, 2013a).

El AC/CC en el laboratorio incluyó estándares de calibración, isómeros sustituidos marcados para calcular la recuperación, blancos de método, blancos de matriz y muestras de control. Los límites de detección analítica variaron de 0.5 pg para TCDD/TCDF a 20 pg para OCDD/OCDF, y de 1 pg (BPC-169) a 500 pg (BPC-118) para BPC-sD individuales. Las recuperaciones de los análogos marcados con ^{13}C fueron de 30-150 por ciento.

Se analizaron entre cuatro y seis patrones de calibración con concentraciones del analito nativo que agrupaba las concentraciones del analito esperadas antes de analizar las muestras. Los análisis de los patrones de calibración permitieron determinar el FR como una función de la concentración mediante regresión lineal. Se calculó el FR para cada analito nativo en cada concentración en relación con su análogo marcado con ^{13}C . La desviación estándar relativa (DER) para el FR promedio para cada uno de los analitos nativos debía ser <20 por ciento. De manera similar, se calculó también el FR para cada isómero sustituido de recuperación marcado con ^{13}C en relación con el patrón interno apropiado. La DER para el FR promedio para cada isómero sustituido marcado con ^{13}C debía ser <35 por ciento. Se usaron los FR promedio para las cuantificaciones siguientes. Antes del análisis de las muestras se verificó la linealidad de la curva de calibración al analizarse la solución de calibración 2 (200 fg de TCDD) y calcularse el FR como se describió anteriormente. La diferencia porcentual entre el FR nuevo y el promedio debía ser <20 por ciento para los analitos nativos y <35 por ciento para los isómeros sustituidos de recuperación marcados con ^{13}C . Asimismo, se examinó el cromatograma de masas para asegurar que todos los congéneres 2, 3, 7, 8-sustituidos estuvieran claramente separados. Si los valores de la relación señal-ruido (S/R) eran ≥ 10 , la proporción de abundancia de los iones era ± 15 por ciento de los valores teóricos, y el FR y las separaciones de los isómeros estaban dentro de los límites especificados, entonces se seguía adelante con los análisis de las muestras. En los días en que se analizaban las muestras, se agregaban 10 μl de la solución patrón interna (20 $\text{pg } \mu\text{l}^{-1}$) a cada muestra, y se ajustaba el volumen final a 20 μl . Se determinaron las concentraciones del analito nativo mediante dilución isotópica. Se usaron las áreas máximas de los iones característicos para cada analito nativo y su análogo marcado con ^{13}C en conjunción con los FR de los datos de la calibración interna para determinar las concentraciones directamente. Se calcularon de forma similar las recuperaciones de los isómeros sustituidos marcados usando un método del patrón interno. Los criterios de identificación del valor máximo fueron los siguientes: $S/R \geq 3.5$; la proporción de isótopos de los dos iones característicos para cada clase de congeneres dentro de 15 por ciento del valor teórico; el valor máximo de los iones del agregado molecular coincide dentro de 2 s, y los analitos nativos eluyen dentro ± 3 s de sus correspondientes análogos marcados con ^{13}C . Se examinó la presencia de sustancias interferentes en los blancos del método. Para DFPC se monitoreó un ion del éter de difenilo clorado adecuado y se examinó el cromatograma del ion para asegurar la ausencia de contaminación de éter de difenilo clorado.

Cuadro 5. Condiciones del CGAR-EMAR usado para el análisis de DDPC/DFPC y BPC-Co por la NDAMN

Instrumento	Hewlett Packard 6890 Series II CGAR/Kratos Concept o Micromass Ultraspec EMAR
Columna	DB-5MS (60 m de largo × 0.32 mm de diámetro interno, 0.25 µm de espesor de la película)
Modo de ionización	IE (~35 eV)
Modo de adquisición	SIM
Resolución	≥10,000
Inyección	2 µl, sin división de flujo
Temperatura del inyector	270 °C
Temperatura de la interfaz	275 °C
Temperatura de la fuente de iones	250 °C
Programa de temperatura del horno	Tiempo 1: 1 min; tasa 1: 5 °C/min; tiempo 2: 15 min; tasa 2: 6 °C/min; temperatura 3: 295 °C

2.3 Red Mexicana de Monitoreo de Dioxinas y Furanos en Aire Ambiente

2.3.1 Historia de la red

La Red Mexicana de Monitoreo de Dioxinas y Furanos en Aire Ambiente (RMMDFAA) fue creada en 2007 a raíz de una iniciativa conjunta de los gobiernos de Canadá, Estados Unidos y México. Comenzó sus operaciones a principios de 2008 con la coordinación y supervisión del Instituto Nacional de Ecología (INE) de México como parte del PARAN sobre Dioxinas, Furanos y Hexaclorobenceno, el cual se convirtió en la Estrategia para Catalizar la Cooperación en América del Norte sobre Dioxinas, Furanos y Hexaclorobenceno. Canadá proporcionó seis de los nueve equipos de monitoreo atmosférico y capacitación técnica a México, y Estados Unidos se comprometió a analizar las muestras en el Laboratorio de Química Ambiental de la EPA de Estados Unidos. México cubrió los gastos de la operación para el muestreo mediante los recursos financieros del INE y en colaboración con instituciones participantes académicas mexicanas. Las actividades relacionadas están documentadas en INE-UABC (2007), INE-Cinvestav (2008; 2009), INE-Cimav (2010), Gamatek (2011) e INE-UAM (2012).

Los objetivos de la red son: 1) generar información de referencia sobre dioxinas y compuestos similares a dioxinas en aire ambiente tanto para el Plan Nacional de Instrumentación (PNI) del Convenio de Estocolmo como para la Iniciativa Regional; 2) evaluar el riesgo que implica para los humanos y ecosistemas la presencia de estos contaminantes tóxicos, y 3) evaluar el comportamiento del transporte a grandes distancias de estos compuestos.

México ha notificado de manera constante el progreso de la RMMDFAA al Equipo de Tarea para Dioxinas y Furanos durante sus reuniones periódicas y conferencias telefónicas (CCA, 2012b). Además, se han comunicado los resultados al público en general y la comunidad científica en los informes antes mencionados, a través de talleres organizados por el Equipo de Tarea (Cárdenas, 2009, 2010 y 2011), así como en foros científicos (Márquez *et al.*, 2007; Wöhrnschimmel *et al.*, 2008a y 2008b; Cárdenas *et al.*, 2010 y 2011). Los datos de los tres primeros años estuvieron disponibles en 2011 en el XXXI Simposio Internacional sobre Contaminantes Orgánicos Halogenados Persistentes (*31st International Symposium on Halogenated Persistent Organic Pollutants*) y posteriormente en el taller del Equipo de Tarea en México (Cárdenas *et al.*, 2011).

2.3.2 Sitios de muestreo

En 2008, la RMMDFAA inició el monitoreo con un total de nueve sitios de muestreo en diferentes regiones y ecosistemas del país (véanse el Cuadro 6 y la Gráfica 6). Siete de estos sitios de muestreo fueron seleccionados originalmente como representativos de concentraciones rurales o con antecedentes rurales, y dos se seleccionaron como sitios de referencia urbana. En 2011, la RMMDFAA se redujo a dos sitios de muestreo, Celestún y Cofre de Perote, con el propósito de continuar el monitoreo de las tendencias a largo plazo de dioxinas y furanos en la atmósfera, además de las concentraciones de referencia que ya se obtenían en estos sitios.

Los sitios de muestreo de la RMMDFAA se seleccionaron por consenso de un grupo de expertos mexicanos coordinados por el INE. Se escogieron los puntos de muestreo con base en los criterios adoptados por las redes de monitoreo atmosférico de dioxinas de Estados Unidos y Canadá, los cuales incluyen una distancia mínima a fuentes directas de emisión, posible impacto sobre la salud humana y los ecosistemas, y la representatividad para el transporte atmosférico regional y a grandes distancias (Wöhrnschimmel *et al.*, 2008a).

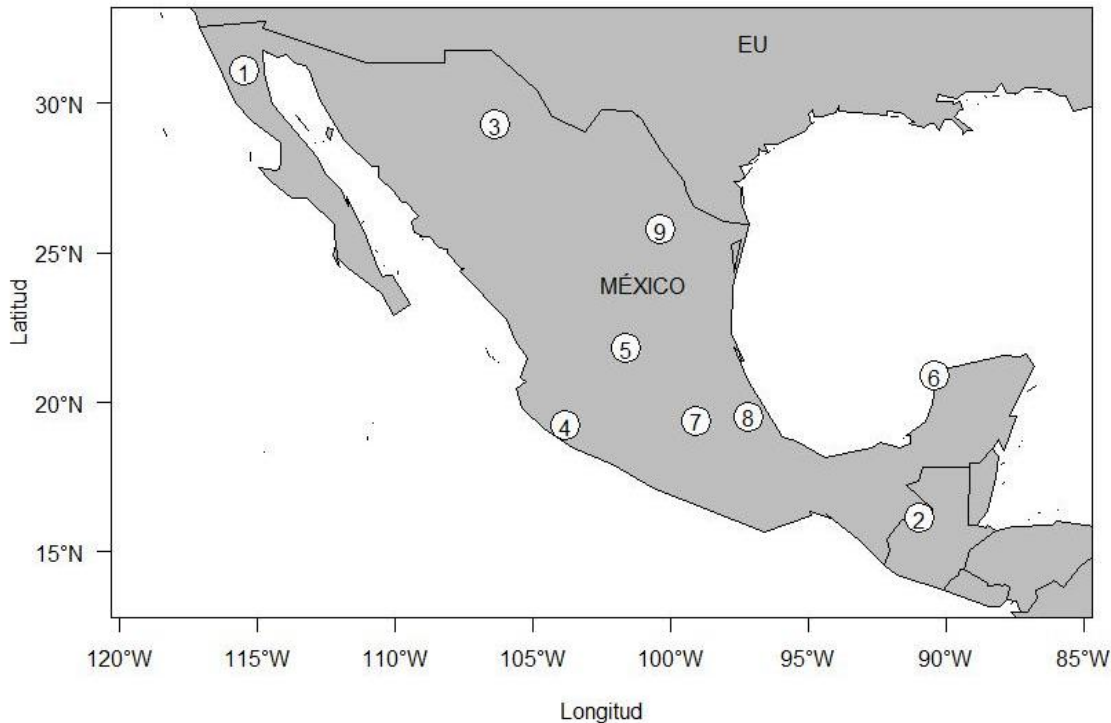
Cuadro 6. Ubicaciones y clasificaciones de los sitios de la RMMDFAA

Número de sitio	Nombre	Latitud (°N)	Longitud (°W)	Altitud	Clasificación
1	San Pedro Mártir, B.C.	31.05	115.47	2830 m	Remoto
2	Montes Azules, Chis.	16.12	90.93	150 m	Rural
3	La Campana, Chih.	29.27	106.35	1559 m	Rural
4	Coquimatlán, Col.	19.22	103.80	370 m	Semirrural
5	Vaquerías, Jal.	21.78	101.62	2100 m	Rural
6	Celestún, Yuc.	20.87	90.40	3 m	Semirrural
7	Distrito Federal	19.37	99.07	2240 m	Urbano
8	Perote, Ver.	19.50	97.15	4231 m	Remoto
9	Monterrey, N.L. ¹	25.75	100.35	554 m	Urbano

Fuente: Cárdenas *et al.*, 2011.

¹ Monterrey reemplazó a Nuestra Señora en el estado de Sinaloa como sitio de muestreo después del segundo momento de muestreo, cuando fue evidente que no se encontraría una solución duradera a los inesperados problemas con el suministro de energía eléctrica a Nuestra Señora.

Gráfica 6. Ubicaciones de los sitios de muestreo de la RMMDFAA



Se tomaron en cuenta aquellas fuentes directas de emisión incluidas en los inventarios de emisiones preparados por la EPA de Estados Unidos y el ministerio de Medio Ambiente de Canadá, que también son parte del inventario de emisiones preliminar de 2007 mexicano. El posible impacto en la salud humana se dividió en: a) afectación mediante inhalación de dioxinas y BPC-sD en el aire ambiente, en particular en regiones con alta densidad poblacional (como el Distrito Federal y Monterrey), y b) afectaciones por ingestión, indicadas por la producción de ganado, cerdo, pollo y pescado, y la posible deposición atmosférica en sus alimentos (por ejemplo, en Cofre de Perote, Vaquerías y San Pedro Mártir). Se evaluó el posible impacto sobre los ecosistemas tomando como punto de referencia ecosistemas vulnerables o frágiles, con presencia de especies endémicas y composición de flora y fauna propia de la zona (por ejemplo, de San Pedro Mártir, Cofre de Perote, Celestún y Montes Azules). Se evaluó el transporte atmosférico en los ámbitos local y regional mediante los vientos de superficie y vientos sinópticos, con base en datos proporcionados por las estaciones meteorológicas en superficie y los resultados de los modelos MM5 y Hysplit de la Administración Nacional Oceánica y Atmosférica (*National Oceanic and Atmospheric Administration*, NOAA). En particular, los sitios de San Pedro Mártir y Cofre de Perote son de gran interés para el análisis del transporte atmosférico a grandes distancias debido a la altitud de sus montañas (INE-UABC, 2007).

Después de analizar los resultados y las observaciones de los primeros tres momentos de muestreo fue evidente que dos sitios, Coquimatlán y Montes Azules, entre las siete ubicaciones no urbanas, estaban recibiendo interferencia de fuentes locales de compuestos similares a dioxinas. Alrededor del perímetro del sitio de Coquimatlán se identificaron varias fuentes de emisión en un estudio realizado en 2009 y 2010. El sitio de Montes Azules se localiza en una región donde son comunes los incendios forestales (accidentales e inducidos), así como la quema intencional de desechos agrícolas. Se considera que las emisiones en el área de Montes

Azules son características de toda la región mesoamericana, por lo que la inclusión de este sitio es importante para la representatividad de la red en el país. Por otra parte, no se espera que el sitio de Cofre de Perote, aunque esté ubicado en una región con actividad industrial, se vea afectado por emisiones regionales, debido a su gran altitud. Más bien, Cofre de Perote puede considerarse un sitio representativo de concentraciones de fondo global (CCA, 2012a).

2.3.3 Estrategias de muestreo y análisis

2.3.3.1 Obtención de las muestras

En la RMMDFAA se obtuvieron las muestras trimestralmente desde el 2008, con mediciones que siguen en curso. Hasta julio del 2012 se recolectaron un total de 110 muestras a lo largo de 16 momentos de muestreo. Las muestras se recolectaron durante cuatro periodos de seis días cada uno, empezando a media noche, y con un día de inactividad posterior a cada periodo. De esta forma se muestrearon entre 6,000 y 8,000 m³ de aire.

Se usó el sistema de muestreo modelo PS-1 (Gráfica 5) junto con un FFC para la fracción sólida y un filtro sorbente de espuma de poliuretano (EPU) para la fracción gaseosa. Se usó un medidor de flujo tipo venturi con indicador magnehélico para controlar la tasa de flujo del muestreo.

En el campo se montaron los filtros y cartuchos por lo general el día anterior al muestreo programado. Cada semana se retiraba el FFC y se colocaba un FFC nuevo en el equipo de monitoreo hasta un total de cuatro FFC por momento de muestreo. Esto se hizo para prevenir la saturación y obstrucción de los medios del filtro con las partículas recolectadas y para reducir las posibles pérdidas de dioxinas unidas a partículas por volatilización. Se recolectó el relleno de EPU al final del momento de muestreo, por lo general al día siguiente de terminar el muestreo.

El Laboratorio de la División de Química Ambiental de la EPA en Misisipi envió por mensajería los medios de muestreo limpios y refrigerados a las oficinas del Centro Nacional de Investigación y Capacitación Ambiental (Cenica) del INE en la Ciudad de México. Después de verificar los medios de muestreo recibidos y cambiar las bolsas con refrigerante, éstos fueron distribuidos por mensajería a los sitios de muestreo de México. Después de cada momento de muestreo, todas las muestras se enviaban de regreso a las oficinas del Cenica bajo las mismas condiciones, verificadas, reempacadas y enviadas a la EPA junto con la documentación correspondiente.

2.3.3.2 Análisis de las muestras

Los análisis de las muestras de aire fueron realizados por la División de Química Ambiental (*Environmental Chemistry Branch*, ECB) de la EPA en el Stennis Space Center, Misisipi. La metodología y aseguramiento de la calidad para el análisis de las muestras está descrita en los Métodos 1613 y TO-9A de la EPA de Estados Unidos, y el procedimiento normalizado de operación para la extracción y aislamiento de DDPC/DFPC y BPC coplanares de muestras de aire de la NDAMN de la ECB, como se describe en el apartado 2.2.3.2.

2.3.4 Aseguramiento y control de calidad

Se garantizó el AC/CC en el campo mediante las medidas que se incluyen en el manual de PNO para muestreo de aire ambiental. La versión original de este PNO fue elaborada por Battelle para la Red Nacional de Monitoreo Atmosférico de Dioxinas de Estados Unidos y fue adaptada por el personal del Cenica, incluidos los procedimientos de aseguramiento de la calidad internos y consideradas las características especiales de la RMMDFAA. Se distribuyó una versión en español entre el equipo de operadores del monitoreo antes del primer momento de muestreo y se actualizó en 2011 (INE, 2008, 2011).

Las medidas para el AC/CC previo a cada momento de muestreo incluyeron una prueba por fugas en el muestreador y una calibración de los flujos de muestreo; se anotaron la presión barométrica y la temperatura ambiental. Además, se aplicó un blanco de campo durante el manejo de las muestras. Asimismo, se realizó una calibración del muestreador al final de cada momento de muestreo. La cadena de custodia, firmada por el operador de campo, acompañó las muestras al ser devueltas éstas bajo condiciones de enfriamiento al Cenica. Se cambiaron los motores y carbones de los muestreadores de acuerdo con el programa establecido. No se obtuvieron muestras por duplicado.

El aseguramiento de la calidad durante el análisis fue realizado de acuerdo con el Plan de Aseguramiento de la Calidad del Proyecto (US EPA-INE, 2008), y se cuantificó la precisión, exactitud y sensibilidad de los datos del monitoreo.

Para determinar la precisión del laboratorio, las muestras de control de laboratorio (MCL) fueron enriquecidas de tres a cinco veces el límite de cuantificación (LDC) y se determinó la diferencia porcentual relativa (DPR) de los duplicados de las MCL. Se estableció una DPR de 25 por ciento como la desviación máxima tolerable.

Se garantizó la exactitud mediante el uso de patrones de calibración internos, blancos de método y de campo, y la verificación de las MCL enriquecidas. Se analizaron al menos tres (en la mayoría de los casos seis) patrones de calibración con concentraciones de analito nativo agrupando las concentraciones del analito esperadas antes de analizar las muestras. Las soluciones patrón de calibración también contenían los patrones de recuperación marcados con ^{13}C y los dos patrones internos marcados con ^{13}C . Los patrones se adquirieron como soluciones en los laboratorios Cambridge Isotope Laboratories y Wellington Laboratories Inc., con certificación de su pureza, concentración y autenticidad. Se obtuvo un blanco de campo (tanto EPU como FFC) con cada muestreo, y se analizó un blanco de método en cada conjunto de diez muestras. Se restaba el valor de fondo a las muestras si la concentración de un congénere particular en los blancos era 10 por ciento o más que las concentraciones de las muestras. Si las cantidades para congéneres específicos en los blancos de campo individuales contenían más de 30 por ciento de la cantidad encontrada en las muestras, los resultados de la muestra eran designados como fallas del AC. Las EPU del muestreo fueron enriquecidas con BPC 81 y 1, 2, 3, 4-TCDF marcadas con ^{13}C , y se analizó una MCL enriquecida con cada conjunto de muestras. La exactitud de los analitos nativos enriquecidos tenía que estar dentro de ± 25 por ciento de las concentraciones esperadas para 94 por ciento de los analitos nativos. También se usó la MCL para el control de la curva de calibración al inicio de cada día de trabajo. Las recuperaciones de los isómeros sustituidos marcados con ^{13}C debían estar entre 25 y 150 por ciento.

La sensibilidad se analizó por medio de muestras enriquecidas, blancos de campo, blancos del método y el LDC. Este último se definió como 50 fg para dioxinas y furanos tetraclorados; 100 fg para dioxinas y furanos penta, hexa y heptaclorados, y 1 pg para dioxinas y furanos octaclorados.

2.4 Resumen comparativo

Los Cuadro 7 a Cuadro 11 presentan un resumen de la información incluida en los apartados 2.1 a 2.3 sobre las tres redes de monitoreo de dioxinas en América del Norte: diseño y operación, métodos de muestreo y métodos analíticos (generales y específicos a DDPC/DFPC y BPC-Co).

Cuadro 7. Diseño y operación de las tres redes de monitoreo de dioxinas en América del Norte

	NAPS	NDAMN	RMMDFAA
Establecido	1969	1998	2007
Objetivos			
Determinar concentraciones de fondo de dioxinas en aire		✓	(✓)
Determinar niveles en áreas rurales	(✓)	✓	(✓)
Determinar la referencia para el PNI/Convenio de Estocolmo			✓
Caracterizar la exposición de la población	✓	(✓)	✓
Caracterizar el riesgo para ecosistemas			✓
Evaluar las tendencias a largo plazo	✓		(✓)
Caracterizar la materia particulada	✓		
Identificar fuentes de emisión	✓		
Caracterizar el transporte a gran distancia	✓		✓
Evaluar el comportamiento ambiental, transporte y deposición	✓		
Sitios de muestreo (cantidad y definición)	43	34	9
Urbano	27; basado en datos sobre uso de suelo	4; cerca de áreas urbanas	2; dentro de grandes áreas urbanas
Suburbano /semirural	7; basado en datos sobre uso de suelo	0	2; rural con influencia urbana
Rural	9; basado en datos sobre uso de suelo	23; áreas con cultivos y ganado	3; producción de ganado, cerdo, pollo y pescado
Remoto	0	7; relativamente libre de asentamientos humanos y a una distancia mayor a 100 km de fuentes probables de dioxinas	2; sitio de gran altura sin asentamientos humanos
Disponibilidad de datos	1989-2009	1999-2004	2008-2012
Estatus de operación	Suspendido en 2012 para DDPC/DFPC y BPC-Co (en curso para HAP)	Suspendido en 2004	En curso

Nota: (✓) = objetivo derivado del diseño, sin ser explícitamente señalado como objetivo de la red; HAP = hidrocarburos aromáticos policíclicos

Cuadro 8. Métodos de muestreo en las tres redes de monitoreo de dioxinas de América del Norte

	NAPS	NDAMN	RMMDFAA
Método			
Muestreador	Alto volumen	Tisch Environmental® TE1000 PUF (muestreador PS-1)	Tisch Environmental® TE1000 PUF (muestreador PS-1)
Medio de muestreo	1 x FFV + 1 x EPU	4 x FFC + 1 x EPU	4 x FFC + 1 x EPU
Volumen de muestreo	600-800 m ³	6,000-8,000 m ³	6,000-8,000 m ³
Duración de muestreo	24 horas	20-24 días	24 días
Frecuencia de muestreo	1-28 (típicamente 6) veces por año	3-6 veces por año	4 veces por año
AC/CC			
Duplicados en campo	✓	✓	Ninguno
Blanco de campo	✓	✓	✓
Cadena de custodia	✓	✓	✓
Transporte bajo condiciones de enfriamiento	/ N/D	✓	✓
Criterios para invalidación de muestras en campo	Volumen de muestreo < 500 m ³ o bien > 1200 m ³ ; duración de muestreo < 23 h o bien > 25 h	Volumen de muestreo < 2000 m ³	Ninguno

Cuadro 9. Métodos analíticos (DDPC/DFPC y BPC-Co) de las tres redes de monitoreo de dioxinas en América del Norte

	NAPS	NDAMN	RMMDFAA
Laboratorio	Laboratorio de la División de Investigación sobre Calidad del Aire de Environment Canada, Ottawa	Laboratorio de la División de Química Ambiental de la EPA de Estados Unidos, Misisipi	Laboratorio de la División de Química Ambiental de la EPA de Estados Unidos, Misisipi
AC/CC			
Sustracción de blanco		Si el nivel del blanco > 10% del nivel de la muestra	Si el nivel del blanco > 10% del nivel de la muestra
Falla de AC		Si el nivel del blanco > 30% del nivel de la muestra	Si el nivel del blanco > 30% del nivel de la muestra
Estándar interno de calibración	✓	✓	✓
Patrón de recuperación	✓	✓	✓
Muestras de control	✓ (1/20)	✓ (1/12)	✓ (1/12)
Isómeros sustituidos en la muestra	¹³ C	¹³ C	¹³ C
Criterios para invalidación de muestras en laboratorio	Recuperación fuera del rango 50-120%	N/D	Cantidad de un congénere en el blanco de campo > 30% de la cantidad en la muestra
Potencial contaminación en el laboratorio	Ninguna	N/D	N/D

Nota: N/D = no disponible; (n/m) = n de cada m muestras.

Cuadro 10. Métodos analíticos (DDPC/DFPC) de las tres redes de monitoreo de dioxinas en América del Norte

	NAPS	NDAMN	RMMDFAA
Número de congéneres	17	17	17
Método	CGAR-EMAR	CGAR-EMAR	CGAR-EMAR
AC/CC			
Calibración + verificación inicial	✓ (5 estándares multipunto)	✓ (4-6 puntos)	✓ (3-6 puntos)
Precisión	10-20% para conc. > 5 fg/m ³ (a partir del muestreo lado a lado)	<20% (a partir de factores de respuesta) , 9-36% (a partir del muestreo lado a lado)	< 25% (a partir de réplicas del MCL)
Blanco de método (blanco de laboratorio)	✓ (1/10, sólo OCDD > LDM)	✓ (1/12)	✓ (1/12)
Blanco de matriz	Ninguno	✓	✓
LDM (por analito)	0.3-4 pg	0.5-20 pg	0.5-20 pg
LDC (por analito)	1-10 pg	50 fg (TCDD/TCDF), 100 fg (Pe-, Hx-, Hp-CDD/Hp-CDF), 1 pg (OCDD/OCDF)	50 fg (TCDD/TCDF), 100 fg (Pe-, Hx-, Hp-CDD/Hp-CDF), 1 pg (OCDD/OCDF)
% de muestras < LDM	0-52%	0-26%	0-23%

Nota: N/D = no disponible; (n/m) = n de cada m muestras; Hp-CDD = heptaclorodibenzo-*p*-dioxinas; Hp-CDF = heptaclorodibenzofuranos; Hx-CDD = hexaclorodibenzo-*p*-dioxinas; Hx-CDF = hexaclorodibenzofuranos; Pe-CDD = pentaclorodibenzo-*p*-dioxinas

Cuadro 11. Métodos analíticos (BPC-Co) de las tres redes de monitoreo de dioxinas en América del Norte

	NAPS	NDAMN	RMMDFAA
Número de congéneres	12	7 (12 partir de 2002)	12
Método	GC/MS	CGAR-EMAR	CGAR-EMAR
AC/CC			
Calibración + verificación inicial	✓ (6 puntos)	✓ (4-6 puntos)	✓ (3-6 puntos)
Precisión	7-12% (a partir de réplicas del MCL)	<20% (a partir del muestreo lado a lado), 16-45% (a partir del muestreo lado a lado)	<25% (a partir de réplicas del MCL)
Blanco de método (blanco de laboratorio)	✓ (1/10)	✓ (1/12)	✓ (1/12)
Blanco de matriz	Ninguno	✓	✓
LDM (por analito)	0.3-3 pg	1-500 pg	1-500 pg
LDC (por analito)	1-10 pg	25-100 fg/uL	25-100 fg/uL
% de muestras < LDM (por analito)	0-22%	0-17%	0-23%

Nota: N/D = no disponible; (n/m) = n de cada m muestras.

3. Resultados del monitoreo

En este apartado se comparan los resultados del monitoreo de las tres redes de monitoreo atmosférico de dioxinas de América del Norte. Se tratará particularmente la variabilidad de las concentraciones dentro de cada red de monitoreo y se hará una comparación de las tendencias temporales y composición de los congéneres entre las redes de monitoreo. Los datos usados en este análisis se incluyen en los cuadros del apartado 7.2 del apéndice. La base de datos completa de la NDAMN está disponible en la página web de la US EPA (US EPA, 2013).

Las concentraciones de los equivalentes tóxicos (EqT) presentadas en este análisis se basan en los factores de equivalencia tóxica en humanos y mamíferos de dioxinas y BPC-sD establecidos por la OMS en 2005 (Van den Berg *et al.*, 2006). La abreviatura para EqT derivados de DDPC/DFPC es “EqT_{DDPC/DFPC}” y para los EqT derivados de BPC-Co es “EqT_{BPC-Co}”.

3.1 Variabilidad dentro de cada red de monitoreo

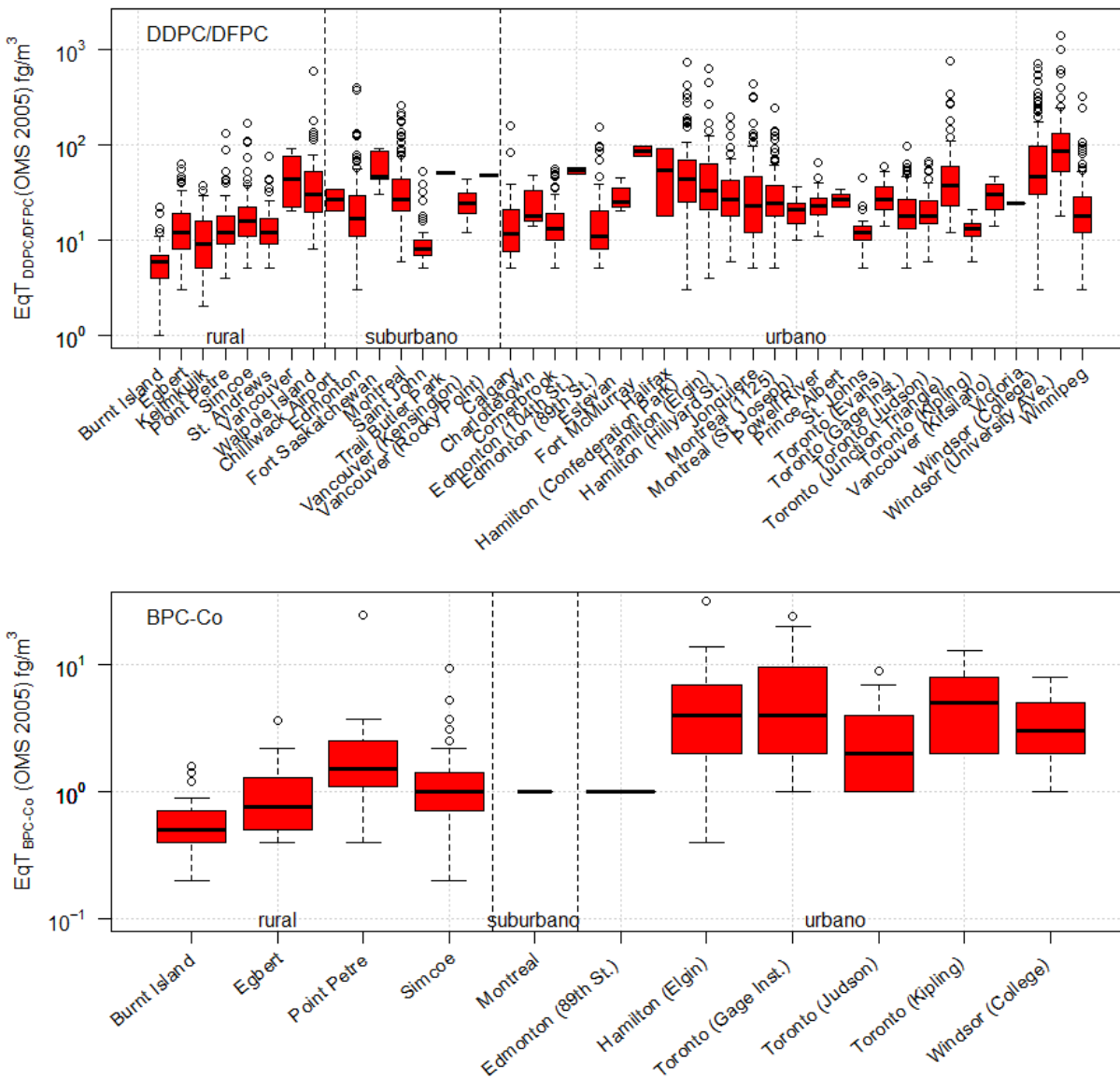
Como se ha descrito antes, todas las redes de monitoreo atmosférico de dioxinas de América del Norte incluyen diferentes categorías de sitios de muestreo, los cuales se pueden agrupar en sitios de referencia o remotos, sitios rurales, sitios semirurales o suburbanos y sitios urbanos. Se previó una variabilidad de las concentraciones de DDPC/DFPC y BPC-Co entre estas categorías de sitios en el curso del diseño de cada red. En este apartado se muestra la variabilidad resultante en los datos de muestreo para cada red de monitoreo en términos de valores de EqT sumados y también de composición relativa de congéneres (perfil). Se contrastarán perfiles individuales de muestreos de alta concentración con perfiles promedio.

3.1.1 Red Nacional de Vigilancia de la Contaminación Atmosférica

Las concentraciones de EqT medidos por la red de NAPS muestran una variabilidad significativa entre los sitios de muestreo (véase la Gráfica 7). Las concentraciones de los EqT_{DDPC/DFPC} varían de 1 a 1,419 fg m⁻³ y las concentraciones de EqT_{BPC-Co} de 0.2 a 24.6 fg m⁻³. Las concentraciones en sitios urbanos generalmente fueron mayores que las encontradas en la mayor parte de los sitios rurales. Las concentraciones atmosféricas medias de dioxinas se relacionaron con la proximidad de fuentes urbanas. Las áreas con mayores concentraciones atmosféricas medias anuales de DDPC/DFPC parecieron corresponder a áreas con mayor densidad poblacional y, en cambio, las áreas con bajas concentraciones medias de DDPC/DFPC se observaron en áreas de baja densidad poblacional (Gráfica 4 en Cleverly *et al.*, 2007). Se cree que el transporte atmosférico desde áreas urbanas es también la principal causa de la contaminación atmosférica por BPC-Co observada en las regiones rurales (Buehler *et al.*, 2001; Hafner y Hites, 2003; Cleverly *et al.*, 2007).

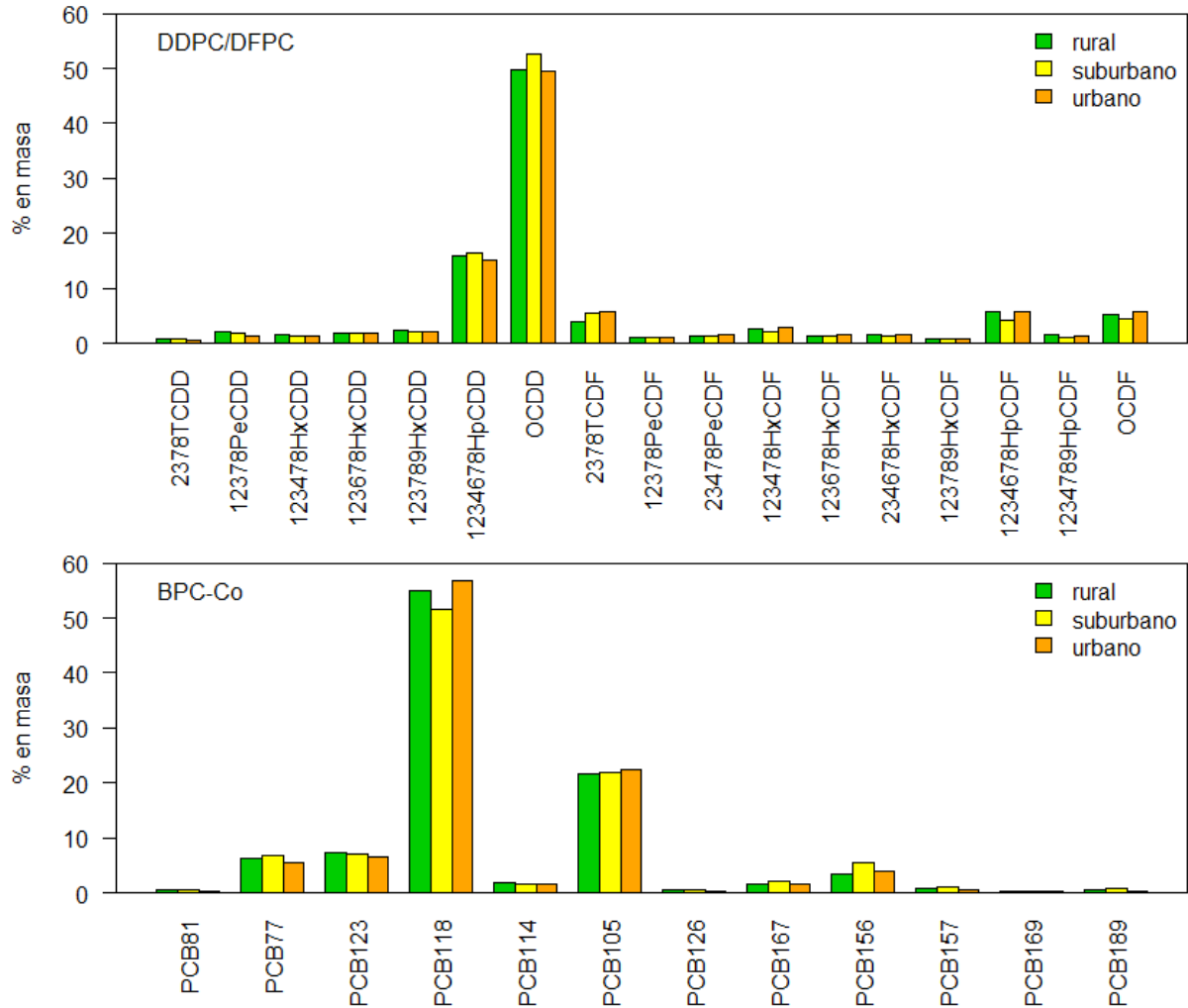
Las composiciones de los congéneres no difieren en gran medida entre categorías de sitios (véase la Gráfica 8). El perfil de DDPC/DFPC está dominado por las dioxinas hepta y octacloradas, mientras que dentro del perfil de BPC-Co, BPC-118 y BPC-105 son dominantes. La Gráfica 9 contrasta muestras de dos estudios de caso: Windsor/University Ave. y Walpole Island, respectivamente. Estas muestras destacaron por sus altas concentraciones de EqT. Sus perfiles se caracterizan por su menor contribución de OCDD y una mayor contribución de furanos, lo que puede indicar el impacto de una fuente de emisión local específica.

Gráfica 7. Concentraciones atmosféricas de $EqT_{DDPC/DFPC}$ y EqT_{BPC-Co} (fg/m^3) en todos los sitios de muestreo de la NAPS durante 1989-2009



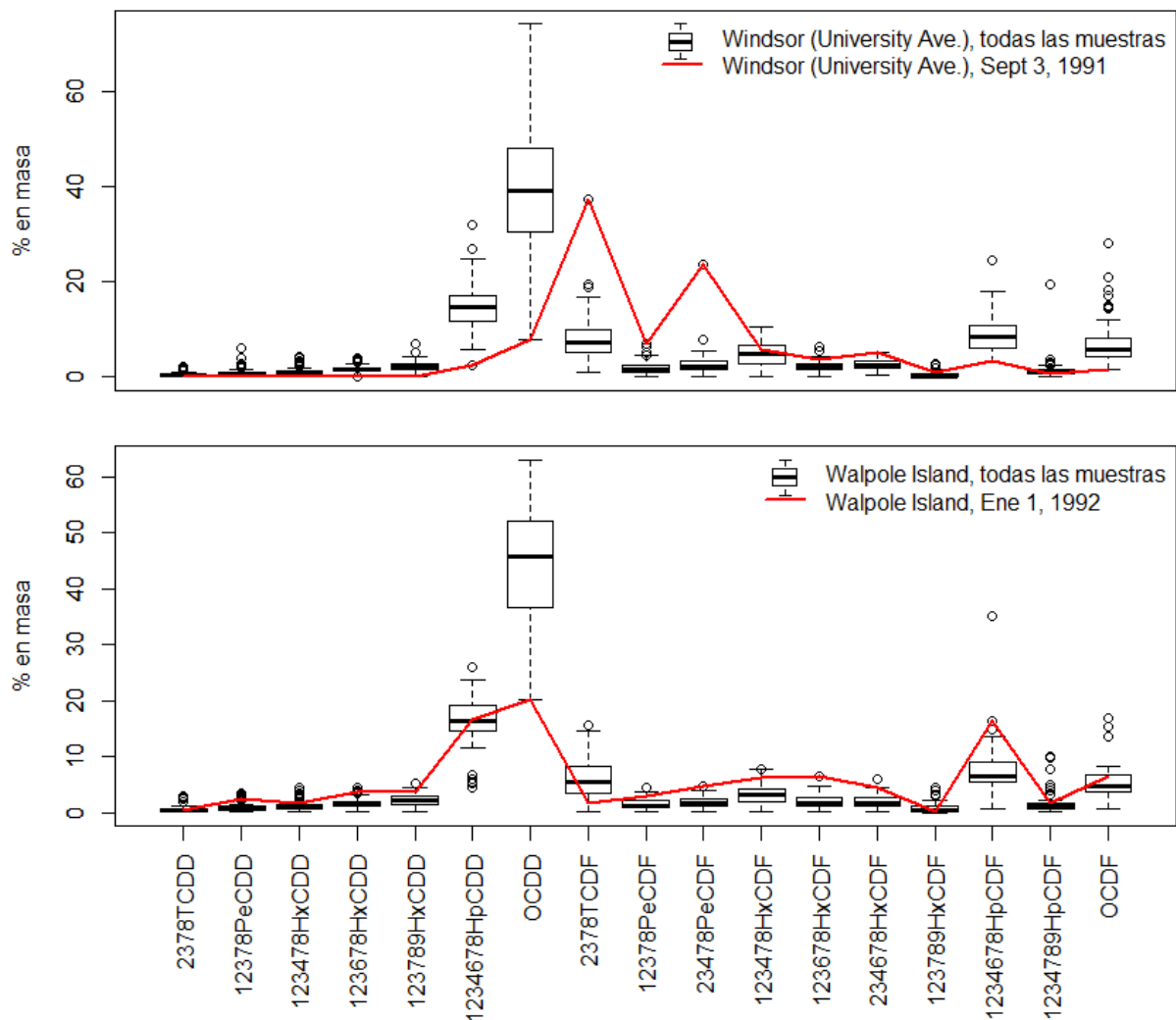
Fuente: Datos de Environment Canada (2011).

Gráfica 8. Perfil de los congéneres de DDPC/DFPC promedio en aire, porcentaje de DDPC/DFPC totales, en sitios rurales, suburbanos y urbanos de la NAPS durante 1989-2009



Fuente: Datos de Environment Canada (2011).

Gráfica 9. Comparación de perfiles de muestras con alta concentración *versus* perfiles típicos para dos sitios de la NAPS



Fuente: Datos de *Environment Canada* (2011).

3.1.2 Red Nacional de Monitoreo Atmosférico de Dioxinas

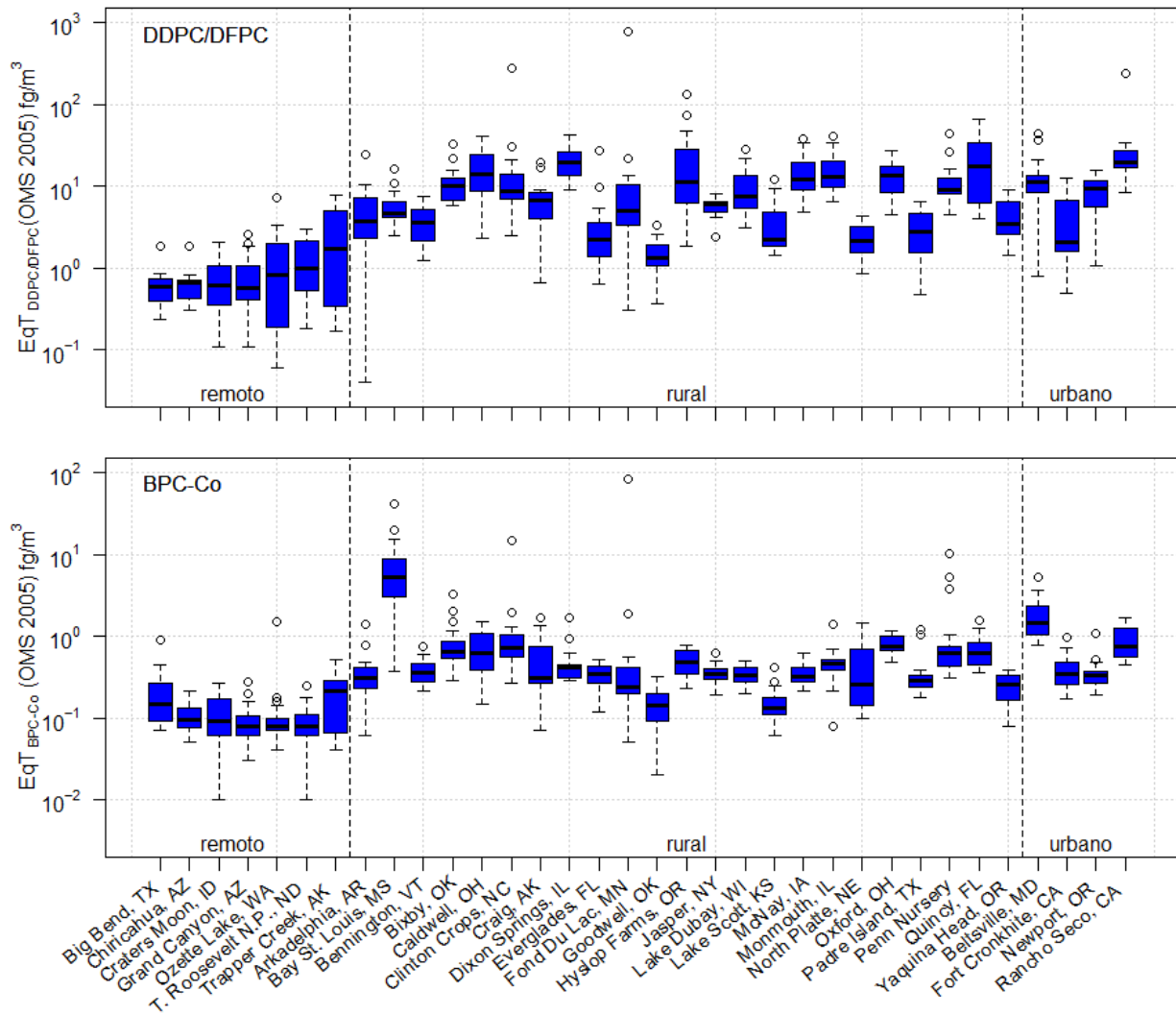
Las concentraciones promedio de EqT determinadas por la NDAMN muestran una variabilidad significativa entre los sitios de muestreo (véase la Gráfica 10). Las concentraciones promedio de EqT_{DDPC/DFPC} se encuentran en un rango de 0.6 a 43.1 fg m⁻³ y las de EqT_{BPC-Co} varían entre 0.1 y 8.6 fg m⁻³. Las concentraciones en sitios rurales y urbanos son generalmente más elevadas que en la mayoría de los sitios remotos.

Las composiciones de los congéneres no difirieron en gran medida entre las categorías de sitios (véase la Gráfica 11). El perfil de DDPC/DFPC está dominado por dioxinas hepta y octacloradas, mientras que en el perfil de BPC-Co, BPC-118 y BPC-105 son dominantes. Lorber *et al.* (2013) mencionan el análisis de Riggs *et al.* (2003) en torno a algunas anomalías

en la NDAMN para el año de muestreo 2000. Una de las mediciones objeto de análisis correspondió al momento de muestreo número 10 (mediados de enero a mediados de febrero de 2000) del sitio de muestreo número 20 (Fond Du Lac, Minesota). Ésa fue la medición más alta registrada en la NDAMN (EqT de 857 fg/m³). Tomando en cuenta esta muestra, la concentración promedio de EqT en el sitio en general asciende a 47 fg/m³; sin tomarla en cuenta, el promedio baja considerablemente a un valor de EqT de 6.9 fg/m³, considerablemente más cercano a la concentración promedio de EqT de 13.9 fg/m³ correspondiente a sitios rurales. En el cuadro 12 pueden observarse las concentraciones de congéneres tanto para esta medición como para los siguientes tres registros más elevados, en comparación con el promedio del sitio donde se realizó cada una de las cuatro mediciones. Los promedios de estos sitios se calcularon tomando en consideración todos los demás momentos de muestreo, pero excluyendo el momento de concentración más elevada. Los valores de EqT para estos cuatro momentos de concentraciones elevadas (junto con el número de sitio entre paréntesis) fueron los siguientes: 857 (20), 292 (3), 241 (28) y 133 (29) fg/m³. En el caso de los sitios número 3 y 20, las concentraciones de todos los congéneres y grupos homólogos obtenidas en la lectura irregular rebasaron los promedios respectivos, entre 10 y 100 veces. El único patrón que siguen ambos sitios es que todos los valores se muestran elevados en los momentos de altas concentraciones. Sin incluir estos dos momentos de un registro elevado, las concentraciones promedio de congéneres en las muestras restantes de los sitios 3 y 20 resultan ser muy similares a los promedios de congéneres de la NDAMN en conjunto.

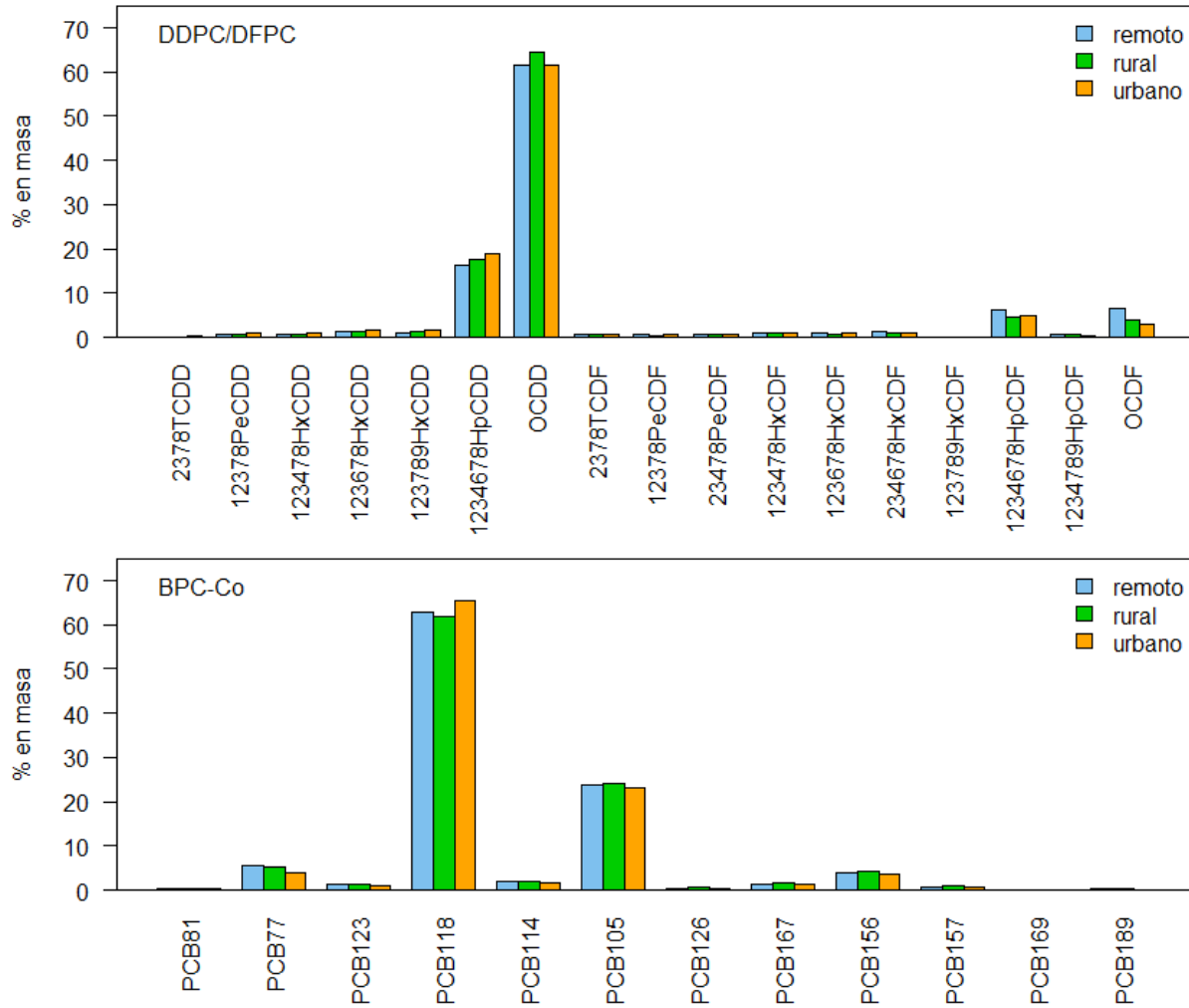
El panorama para los sitios 28 y 29 es completamente distinto: en este caso, únicamente los congéneres y el grupo homólogo de DDPC registraron concentraciones entre 10 y 100 veces más elevadas que el promedio del sitio. En lo que respecta a los congéneres de DFPC, homólogos de furanos y BPC, se registraron concentraciones sólo ligeramente elevadas e incluso menores que el promedio del sitio. Asimismo, los valores promedio para DDPC (congéneres y homólogos) en ambos sitios (28 y 29) fueron, en general, más elevados, por un factor cercano a 2, que los promedios correspondientes a los sitios 3 y 20. Por otro lado, los promedios de los congéneres y grupos homólogos de DFPC y BPC similares a dioxinas resultaron prácticamente iguales para los cuatro sitios.

Gráfica 10. Concentraciones atmosféricas de $EqT_{DDPC/DFPC}$ y EqT_{BPC-Co} (fg/m^3) en todos los sitios de muestreo de la NDAMN durante 1999-2004



Fuente: Datos de US EPA (2013).

Gráfica 11. Perfil de los congéneres de DDPc/DFPC promedio en aire, porcentaje de DDPc/DFPC totales, en sitios remotos, rurales y urbanos de la NDAMN durante 1999-2004



Fuente: Datos de US EPA (2013).

Cuadro 12. Comparación de las cuatro concentraciones individuales más altas registradas versus el promedio del sitio en donde se midió cada concentración (con indicación de la fecha: mes/año; todos los valores dados en fg/m³)

Congéneres	Sitio núm. 20, WI		Sitio núm. 3, NC		Sitio núm. 29, OR		Sitio núm. 28, CA	
	1/2000	Prom.	11/2001	Prom.	12/2000	Prom.	8/2001	Prom.
2, 3, 7, 8-TCDD	5.6	0.3	6.3	0.5	22.6	1.2	7.0	2.1
1, 2, 3, 7, 8-PeCDD	55.9	1.8	42.5	2.8	68.3	8.5	86.5	9.7
1, 2, 3, 4, 7, 8-HxCDD	118.9	2.9	57.6	3.4	55.8	13.6	209.0	8.2
1, 2, 3, 6, 7, 8-HxCDD	191.4	4.4	125.0	6.0	100.6	22.5	257.0	14.1
1, 2, 3, 7, 8, 9-HxCDD	98.4	4.9	105.5	5.6	99.3	22.2	304.9	13.8
1, 2, 3, 4, 6, 7, 8-HpCDD	1,336.8	73.6	860.7	69.8	1,046.5	321.6	5,487.4	180.7
OCDD	2,892.5	297.4	1,185.3	235.0	2,627.0	914.0	23,953.0	582.3
2, 3, 7, 8-TCDF	249.0	2.0	48.1	3.2	2.1	1.9	2.5	2.0
1, 2, 3, 7, 8-PeCDF	361.3	1.7	95.2	3.5	2.6	1.8	5.5	1.8
2, 3, 4, 7, 8-PeCDF	738.0	3.0	213.3	6.6	5.0	3.4	7.4	3.0
1, 2, 3, 4, 7, 8-HxCDF	1,055.9	3.6	330.4	7.9	6.7	3.9	13.8	3.8
1, 2, 3, 6, 7, 8-HxCDF	786.7	3.0	256.4	7.3	4.8	3.6	14.2	3.7
2, 3, 4, 6, 7, 8-HxCDF	1,030.5	3.9	386.5	10.2	5.8	4.5	12.9	4.6
1, 2, 3, 7, 8, 9-HxCDF	596.9	0.8	43.9	1.6	1.7	0.6	2.7	0.3
1, 2, 3, 4, 6, 7, 8-HpCDF	4,498.2	16.1	1,532.3	39.3	37.8	20.0	74.0	21.5
1, 2, 3, 4, 7, 8, 9-HpCDF	644.4	2.2	193.1	4.6	3.5	2.5	28.8	2.1
OCDF	3,721.4	12.7	815.8	29.1	24.4	20.5	85.4	16.8
TCDF total	6,299.9	61.0	2,749.3	132.9	91.9	63.2	110.3	65.7
TCDD total	327.9	13.9	1,732.2	32.7	441.1	27.2	120.5	20.4
PeCDF total	7,619.2	36.6	2,557.0	91.9	63.8	41.5	118.8	55.1
PeCDD total	1,153.5	22.7	2,962.4	51.9	968.2	97.7	643.1	57.3
HxCDF total	6,467.3	34.0	2,363.8	89.3	96.2	53.2	130.2	66.9
HxCDD total	2,235.0	63.7	3,293.2	100.1	1,819.5	333.1	2,758.2	164.7
HpCDF total	5,735.3	26.0	2,224.8	58.0	103.2	41.3	164.0	40.8
HpCDD total	2,907.2	166.0	2,302.0	171.1	2,997.1	799.6	10,974.8	392.1

Cuadro 13. (cont.)

Congénere	Sitio núm. 20, WI		Sitio núm. 3, NC		Sitio núm. 29, OR		Sitio núm. 28, CA	
	1/2000	Prom.	11/2001	Prom.	12/2000	Prom.	8/2001	Prom.
BPC 77	452.9	27.0	357.0	91.8	65.8	52.6	58.0	93.2
BPC 81							3.8	3.0
BPC 105	702.7	124.3	3,017.0	447.1	618.1	513.1	238.1	580.3
BPC 114							21.2	29.7
BPC 118	967.7	304.0	8,207.5	1,096.6	2,443.6	1,313.0	736.0	1,659.6
BPC 123						7.0	12.0	17.4
BPC 126	758.2	3.2	144.0	7.6	6.2	4.4	4.0	8.6
BPC 156	724.6	23.6	599.0	72.1	131.3	124.2	32.3	89.6
BPC 157	262.5	5.4	156.2	16.1	27.7	26.9	7.3	20.0
BPC 167					0.0	12.8	13.7	26.2
BPC 169	260.4	0.6	ND	1.4	0.3	0.4	0.4	0.5
BPC 189						1.0	1.9	2.0
EqT _{DF} (OMS, 2005)	773.3	6.6	277.5	11.1	131.8	21.8	240.7	20.0
EqT _{BPC} (OMS, 2005)	83.8	0.4	14.8	0.9	0.7	0.5	0.4	1.0
EqT _{DFBPC} (OMS, 2005)	857.1	6.9	292.3	11.9	132.6	22.3	241.2	21.0

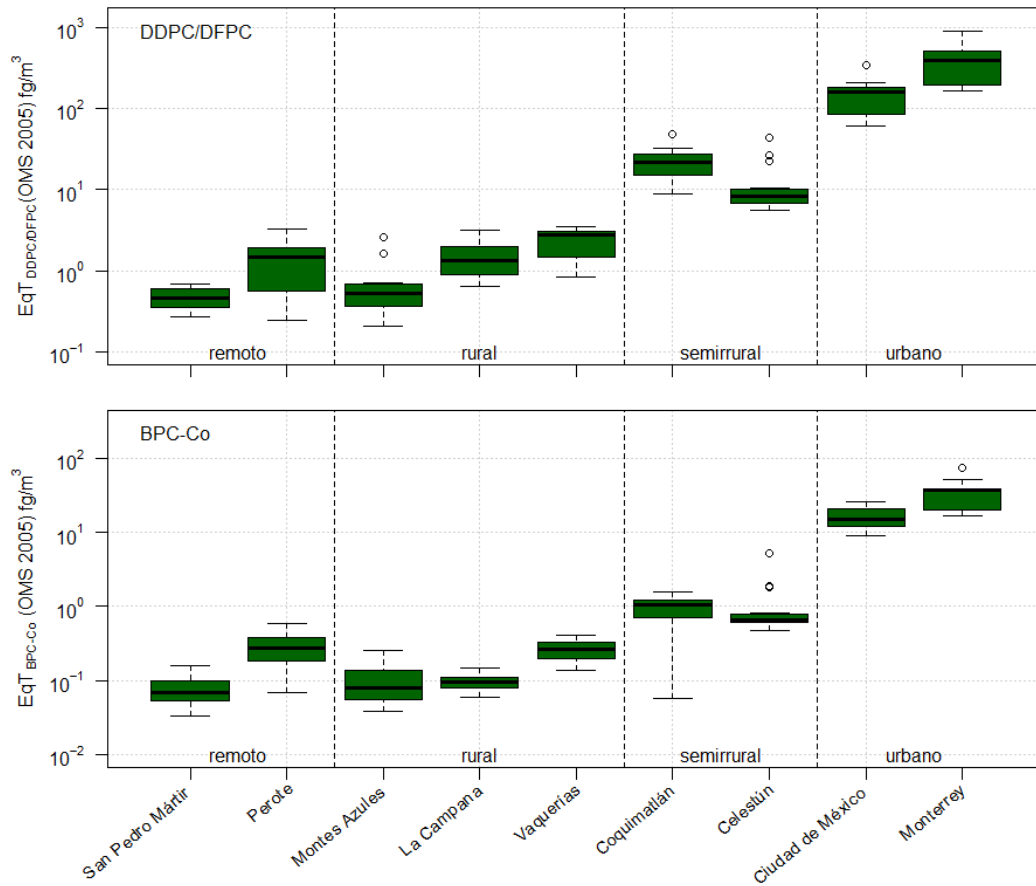
3.1.3 Red Mexicana de Monitoreo de Dioxinas y Furanos en Aire Ambiente

Los valores de los EqT_{DDPC/DFPC} totales estaban entre 0.2 y 902 fg/m³, mientras que los valores de los EqT_{BPC-Co} totales estaban en el intervalo de 0.03 a 76 fg/m³ (véase la Gráfica 12). Se observaron las mayores concentraciones en los sitios urbanos (Ciudad de México y Monterrey). Coquimatlán y Celestún, clasificados como sitios semiurbanos, mostraron concentraciones intermedias. Finalmente, los sitios rurales y de referencia presentaron los valores de EqT más bajos.

Las composiciones de los congéneres no difirieron en gran medida entre los sitios de referencia y los rurales (véase la Gráfica 13). Los sitios urbanos mostraron un patrón distinto, con contribuciones menores de dioxinas octacloradas y mayores contribuciones de la mayoría de los furanos. Tanto los sitios semirurales como los urbanos presentaron menores contribuciones de BPC-118 y BPC-105, y una mayor contribución de BPC-77. Este último congénere del BPC no fue dominante en los sitios de muestreo de la NAPS y la NDAMN, lo cual podría indicar una fuente de emisiones específica de las áreas urbanas mexicanas. La

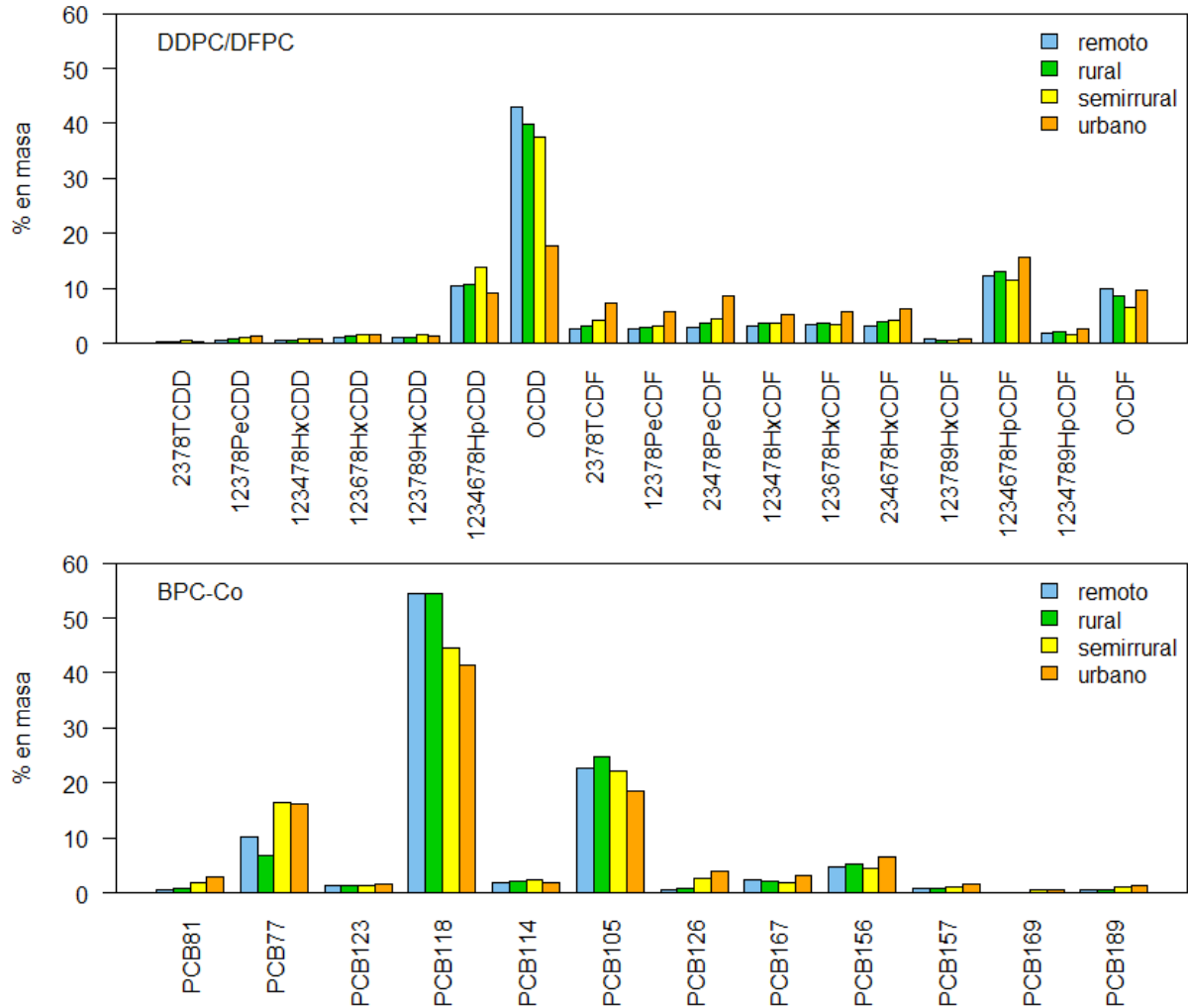
Gráfica 14 contrasta muestras de dos estudio de caso —Ciudad de México y Monterrey, respectivamente—, las cuales destacaron por sus altas concentraciones de EqT. En ambos casos, las muestras de alta concentración exhibieron una contribución de OCDD relativamente baja y contribuciones de furanos más altas con mayor (Ciudad de México) o menor (Monterrey) cloración.

Gráfica 12. Concentraciones atmosféricas de EqT_{DDPC/DFPC} y EqT_{BPC-Co} (fg/m³) en todos los sitios de monitoreo de la RMMDFAA durante 2008-2010 (2008-2012 para los sitios de muestreo de Perote y Celestún)



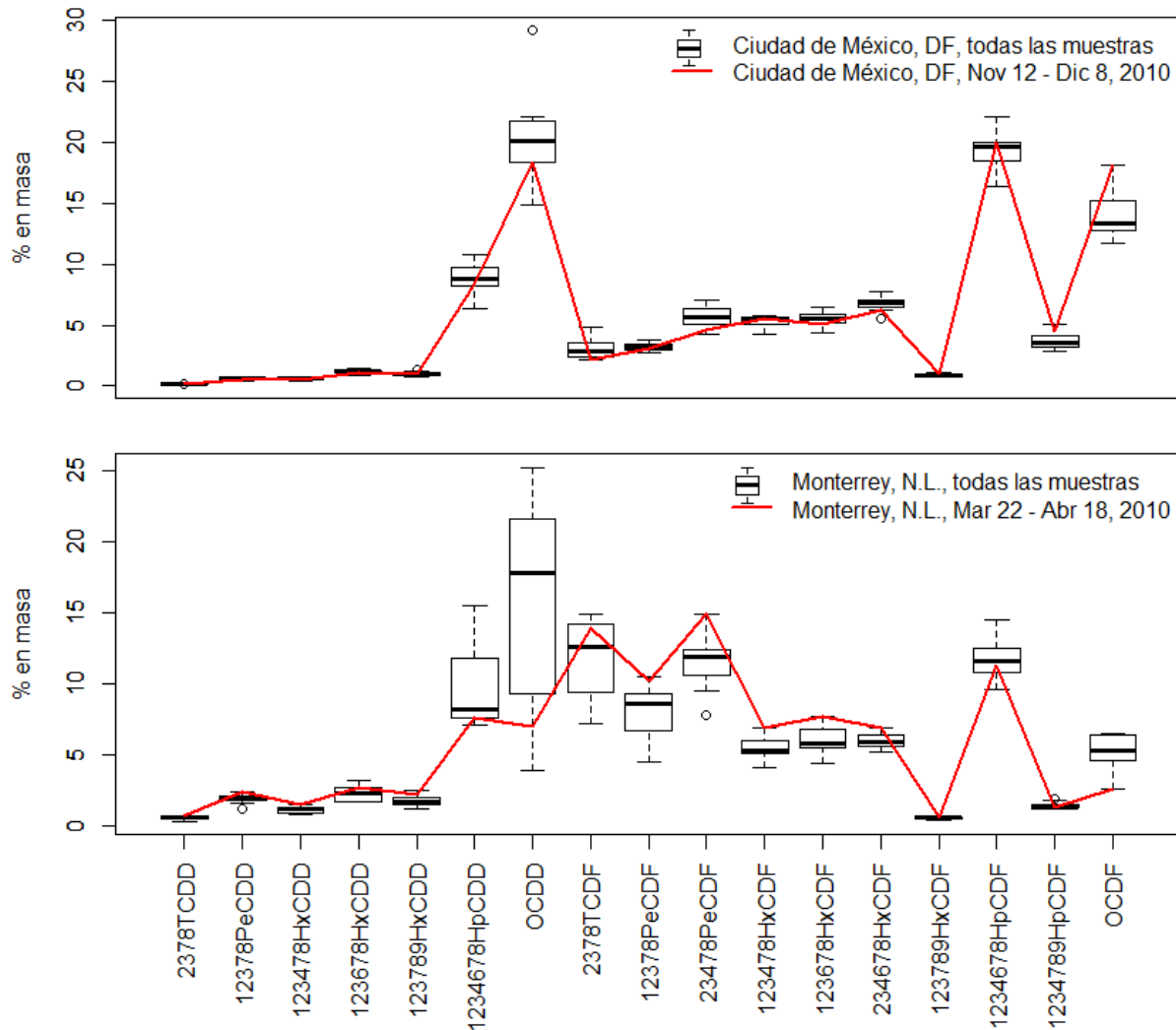
Fuente: Datos de Cárdenas *et al.* (en preparación).

Gráfica 13. Perfil de los congéneres de DDPC/DFPC promedio en aire, porcentaje de DDPC/DFPC totales, en sitios de referencia, rurales, semirurales y urbanos de la RMMDFAA durante 2008-2012



Fuente: Datos de Cárdenas *et al.* (en preparación).

Gráfica 14. Comparación de perfiles de muestras con alta concentración versus perfiles típicos para dos sitios de la RMMDFAA



Fuente: Datos de Cárdenas *et al.* (en preparación).

3.2 Comparación de los datos entre las redes de monitoreo

3.2.1 Concentraciones y tendencias temporales

Los datos disponibles de la NDAMN y la RMMDFAA son todavía escasos como para hacer un análisis de la tendencia (véase la Gráfica 15). Sin embargo, las concentraciones registradas pueden interpretarse en un contexto temporal si se comparan los resultados de las tres redes de América del Norte.

Las únicas mediciones de las redes de monitoreo atmosférico de dioxinas de América del Norte que pueden interpretarse de forma razonable para las tendencias a largo plazo

subyacentes son las muestras de DDPC/DFPC obtenidas por la NAPS durante las últimas dos décadas. Las concentraciones de DDPC/DFPC en los sitios rurales (véase la Gráfica 16), suburbanos (véase la Gráfica 17) y urbanos (véase la Gráfica 18) disminuyeron después de los primeros años de la década de 1990 y durante los primeros años del siglo XXI. Esta disminución puede atribuirse a las medidas de control tomadas en Canadá respecto de las fuentes de emisión de DDPC/DFPC. Después de 2005 no hay una tendencia clara.

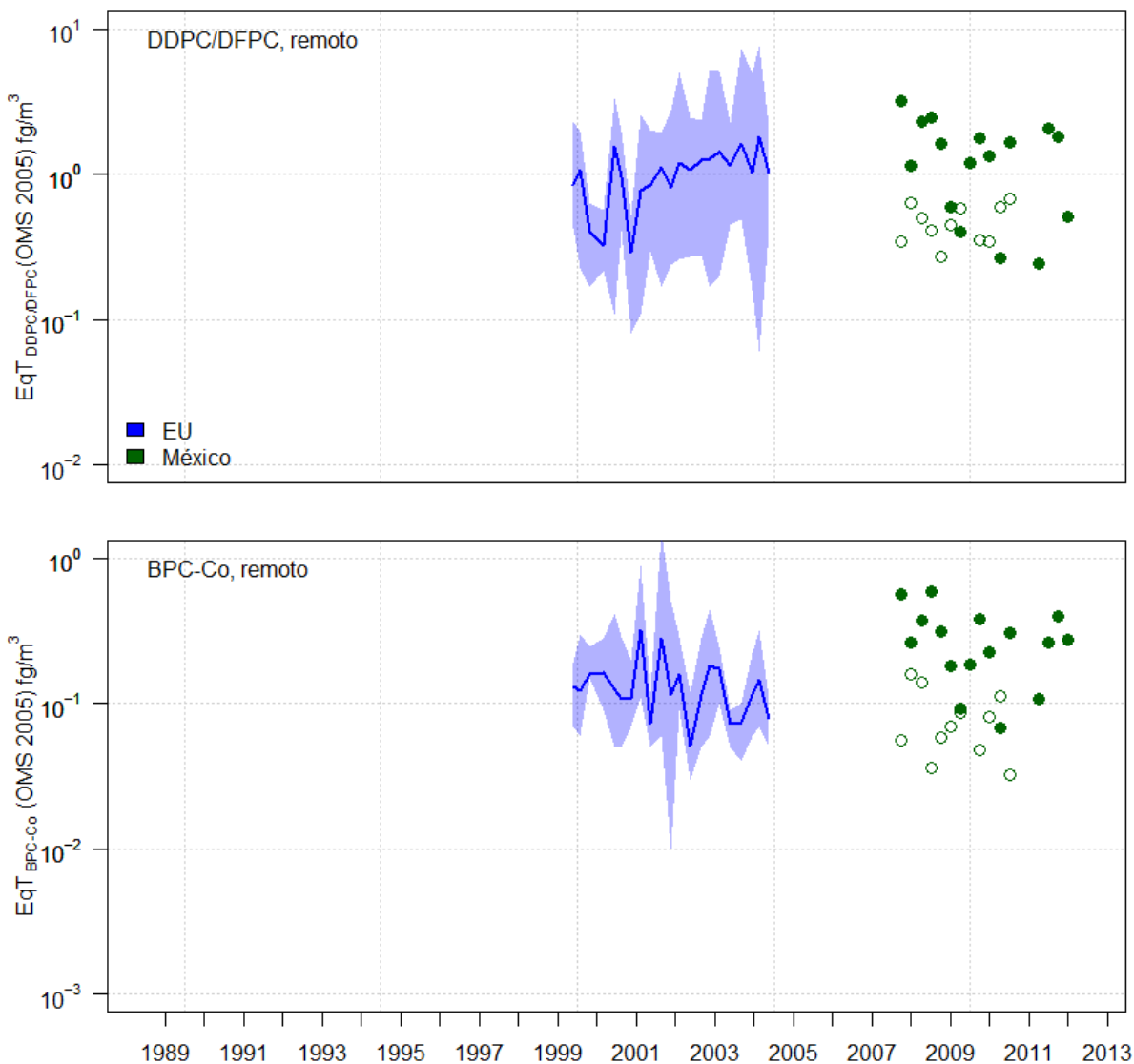
Las concentraciones en los sitios rurales de Canadá y Estados Unidos no son significativamente diferentes para el periodo del cual hay datos de ambas redes (véase la Gráfica 16). Sin embargo, las concentraciones en los sitios rurales mexicanos, medidas entre 2008 y 2010, son menores en aproximadamente un orden de magnitud respecto de las correspondientes mediciones de Canadá. A diferencia, las concentraciones en los sitios urbanos de México son mayores en aproximadamente un factor de diez respecto de las de los sitios urbanos de Canadá (véase la Gráfica 18), lo que indica gradientes de fuente a receptor mucho mayores en México que en las otras regiones de América del Norte.

3.2.2 *Composición*

Para una intercomparación de las composiciones relativas (o perfiles de los receptores) en los sitios de muestreo de las redes de América del Norte, se graficó la contribución de cada congénere a la masa muestreada total. Se presentan estos perfiles en escala logarítmica debido a que también los componentes menores pueden ser indicadores de la presencia de fuentes de emisión específicas.

Las composiciones determinadas por las tres redes de monitoreo en los sitios de referencia, rurales y suburbanos o semirurales son similares en sus principales componentes (véanse la Gráfica 19 y Gráfica 20). Las diferencias aparecen en los componentes menores del perfil, en particular los furanos, que tienen un papel dominante en los perfiles de los receptores en México. En los sitios urbanos de México, los furanos están entre los congéneres más importantes, junto con las OCDD (véase la Gráfica 19). A su vez, las OCDD son menos dominantes en el perfil urbano de México que la composición de los congéneres de Canadá. Esto podría indicar la existencia de una fuente de emisión específica para México. Asimismo, el perfil urbano de BPC-Co es diferente en México en comparación con Canadá (véase la Gráfica 20): BPC 77, 126 y 167 son dominantes, en tanto que el BPC 123 lo es menos.

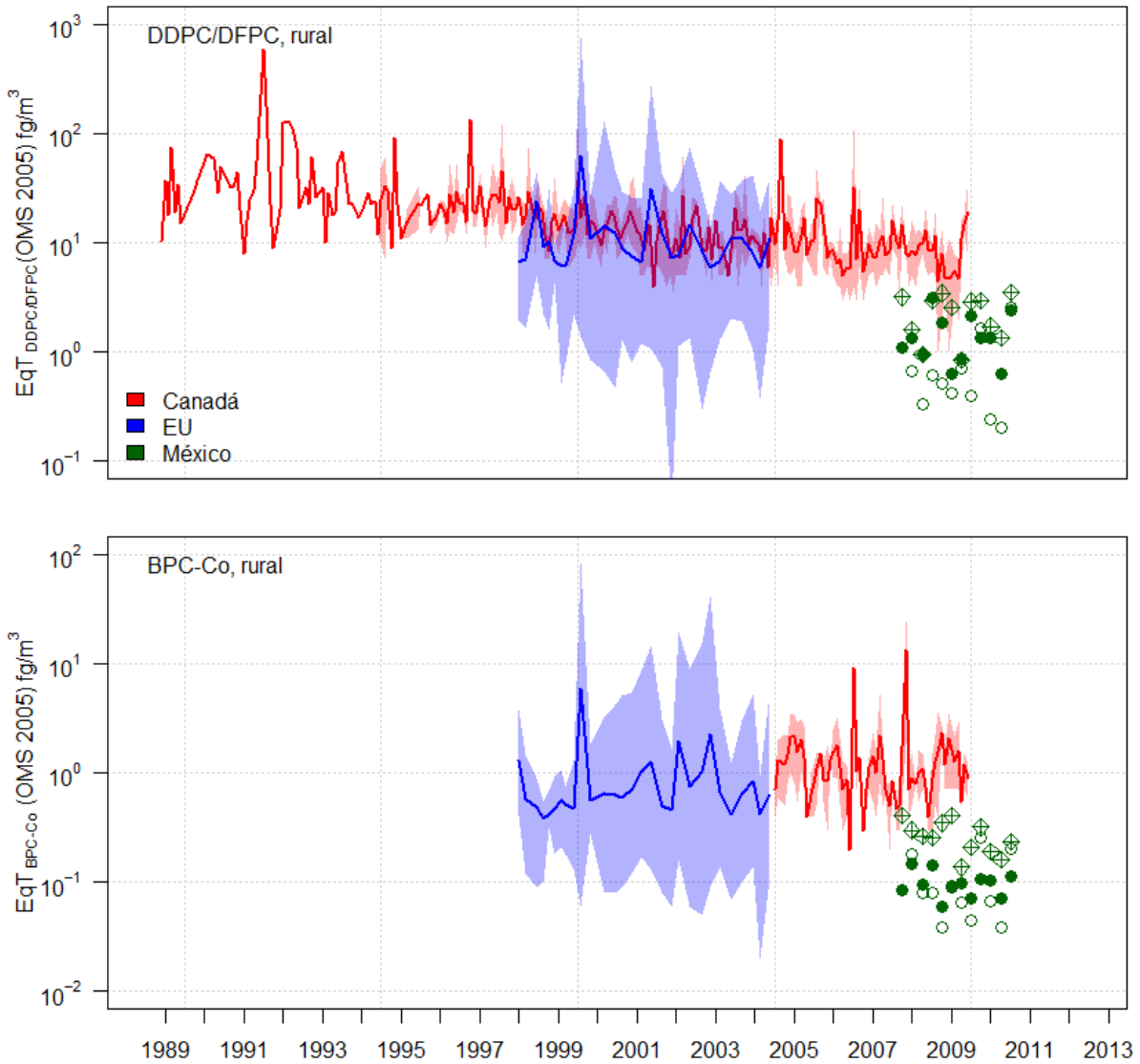
Gráfica 15. Series temporales de las concentraciones de BPC-Co y DDPC/DFPC en los sitios de monitoreo de referencia de América del Norte



Nota: Para Estados Unidos se muestran los promedios (línea continua) y los rangos (área sombreada) de las concentraciones en los ocho sitios remotos; para México se muestran los dos sitios remotos de forma individual (círculos rellenos: Perote; círculos vacíos: San Pedro Mártir).

Fuente: Datos de US EPA (2013) y Cárdenas *et al.* (en preparación).

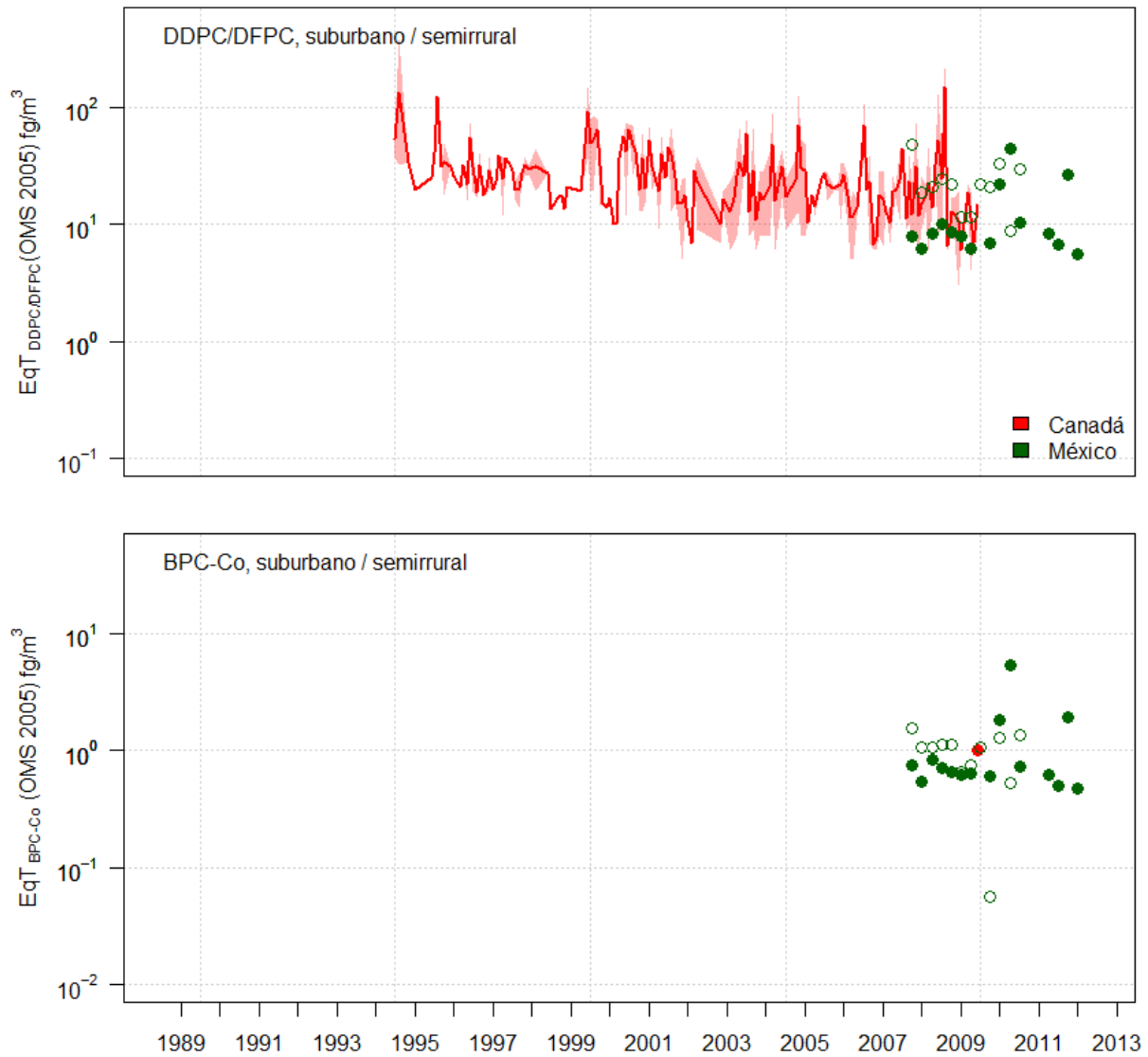
Gráfica 16. Series temporales de las concentraciones de BPC-Co y DDPC/DFPC en sitios de monitoreo rurales de América del Norte



Nota: Para Canadá y Estados Unidos se muestran los promedios (líneas continuas) y los rangos (áreas sombreadas) de las concentraciones en los 8 y 22 sitios rurales, respectivamente; para México, los tres sitios rurales se muestran de forma individual (círculos rellenos: La Campana; círculos vacíos: Montes Azules; rombos: Vaquerías).

Fuente: Datos de US EPA (2013), Environment Canada (2011) y Cárdenas *et al.* (en preparación).

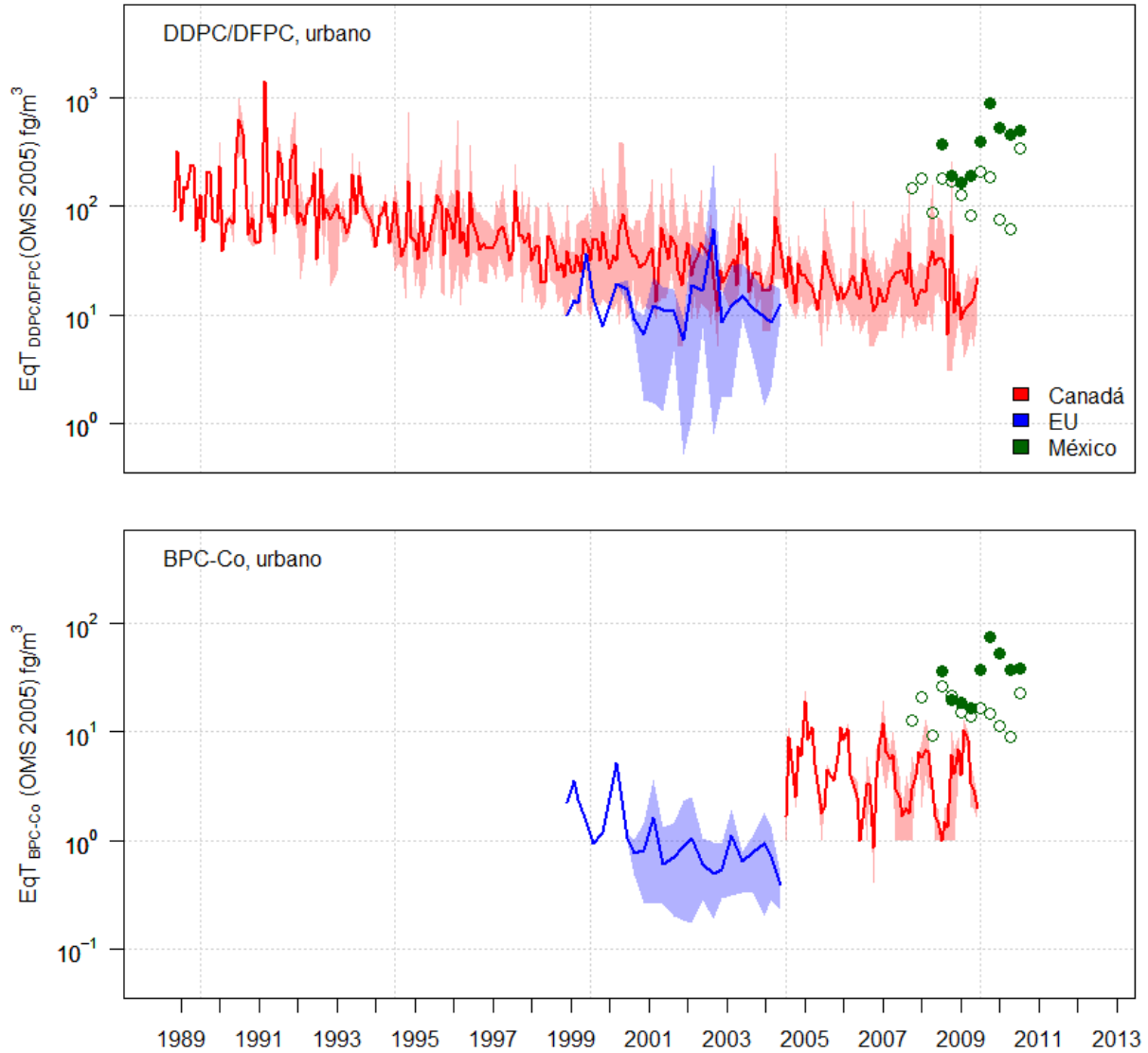
Gráfica 17. Series temporales de las concentraciones de BPC-Co y DDPC/DFPC en sitios de monitoreo suburbanos y semirurales de América del Norte



Nota: Para Canadá se muestran los promedios (línea continua) y los rangos (área sombreada) de las concentraciones en los diez sitios suburbanos; para México, los dos sitios semirurales se muestran de forma individual (círculos rellenos: Celestún; círculos vacíos: Colima).

Fuente: Datos de Environment Canada (2011) y Cárdenas *et al.* (en preparación).

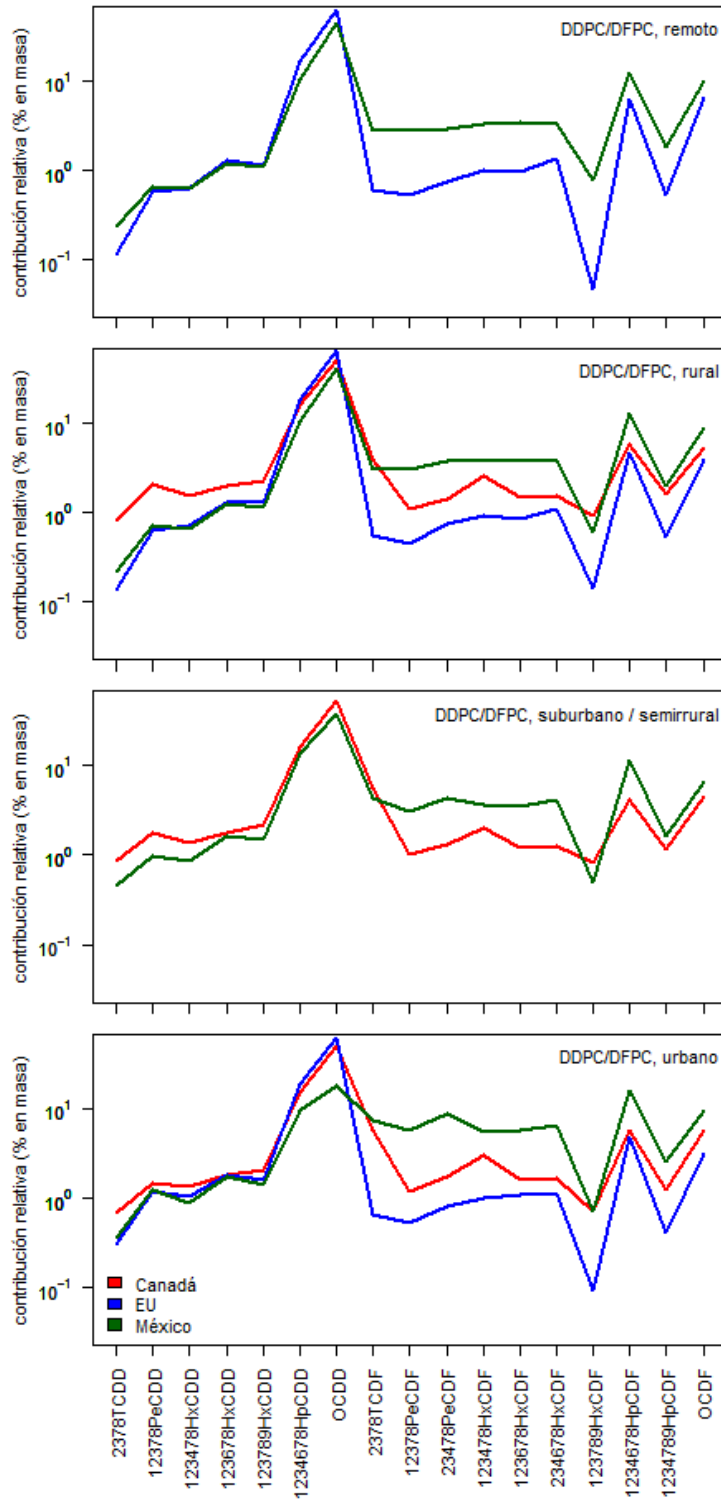
Gráfica 18. Series temporales de las concentraciones de BPC-Co y DDPc/DFPC en sitios de monitoreo urbanos de América del Norte



Nota: Para Canadá y Estados Unidos se muestran los promedios (líneas continuas) y los rangos (áreas sombreadas) de las concentraciones en 29 y 4 sitios rurales, respectivamente; para México, los dos sitios urbanos se muestran de forma individual (círculos rellenos: Monterrey; círculos vacíos: Ciudad de México).

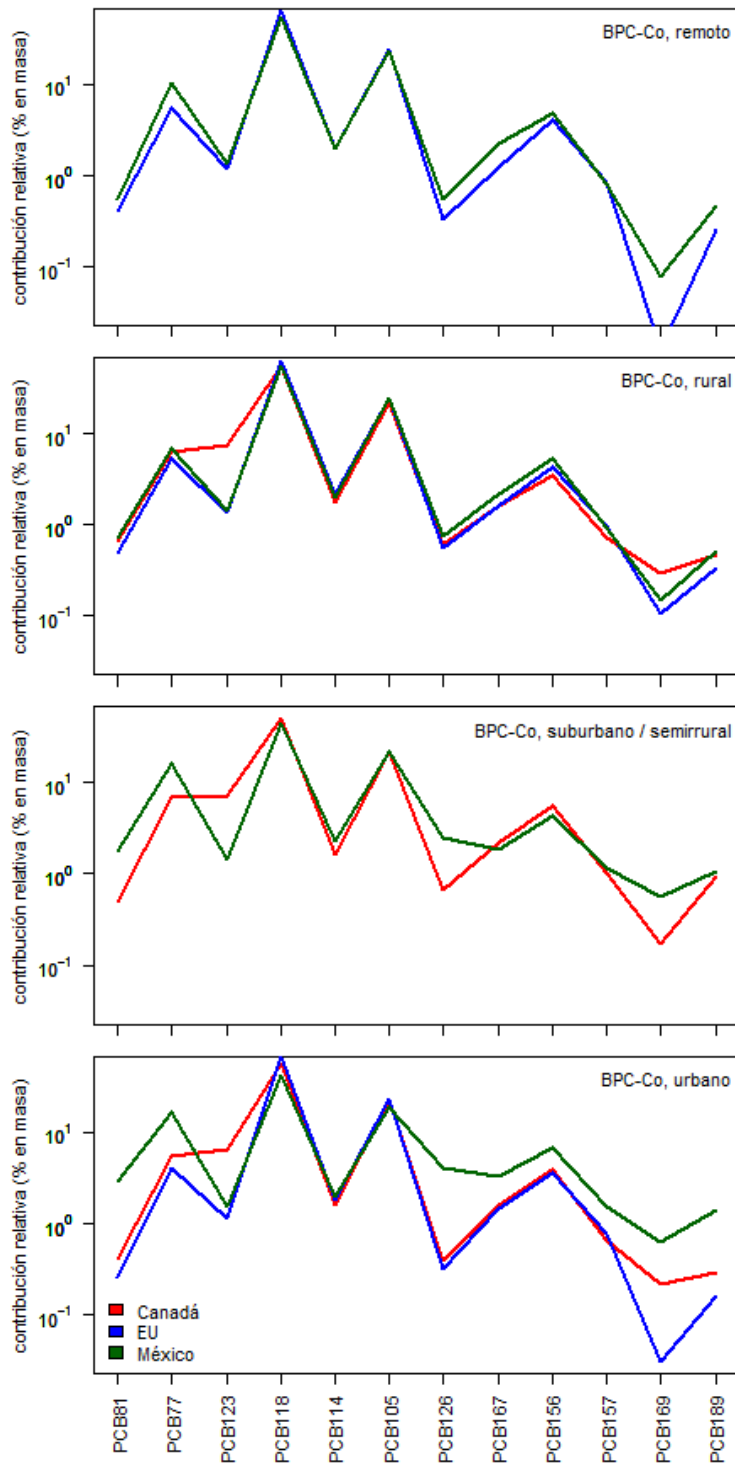
Fuente: Datos de US EPA (2013), Environment Canada (2011) y Cárdenas *et al.* (en preparación).

Gráfica 19. Composición promedio (perfiles de los receptores) de las concentraciones de DDP/DFPC en los sitios de monitoreo de referencia de América del Norte



Fuente: Datos de US EPA (2013), Environment Canada (2011) y Cárdenas *et al.* (en preparación).

Gráfica 20. Composición promedio (perfiles de los receptores) de las concentraciones de BPC-Co en los sitios de monitoreo de referencia de América del Norte



Fuente: Datos de US EPA (2013), Environment Canada (2011) y Cárdenas *et al.* (en preparación).

3.3 Comparación con las otras redes de monitoreo

Aunque el análisis presentado en los apartados anteriores se limitó a las tres redes de monitoreo atmosférico de dioxinas de América del Norte: la Red Nacional de Vigilancia de la Contaminación Atmosférica (NAPS) de Canadá, la Red Nacional de Monitoreo Atmosférico de Dioxinas (NDAMN) de Estados Unidos y la Red Mexicana de Monitoreo de Dioxinas y Furanos en Aire Ambiente (RMMDFAA), algunos estudios complementarios podrían incluir en el futuro una comparación más detallada con otras mediciones en el resto del mundo. Por ejemplo, las mediciones del Programa de Monitoreo Atmosférico de Dioxinas de California (*California Ambient Dioxin Air Monitoring Program*) indican que los sitios urbanos de California están contaminados con DDPC/DFPC y BPC-Co de forma similar a como lo están los sitios en Canadá (Mongar *et al.*, 2003). Además, para la comparación deben incluirse los datos de monitoreo de otros continentes.

4. Recomendaciones

A continuación se listan las sugerencias que mejorarán, se espera, la comparabilidad de los datos de las dioxinas en América del Norte:

- Mediciones continuas en intervalos comparables en las tres redes de monitoreo atmosférico de dioxinas de América del Norte.
- Colaboración y capacitación continuas entre los operadores de las redes de monitoreo atmosférico de dioxinas de América del Norte.
- Promoción de iniciativas de aseguramiento y control de calidad para validar la integridad de los datos de monitoreo atmosférico, tales como la introducción de muestras duplicadas.
- Instrumentar un estudio de comparación entre laboratorios dentro de los dos laboratorios que han estado realizando los análisis para las redes de monitoreo atmosférico de dioxinas de América del Norte con el fin de verificar que los datos sean comparables.
- Planteamiento de una estrategia para evaluar de manera periódica la comparabilidad de los datos de monitoreo atmosférico de dioxinas obtenidos en Canadá, Estados Unidos y México; por ejemplo, en reuniones de expertos anuales o actualizaciones del presente trabajo.
- Búsqueda de colaboraciones en Centroamérica y el Caribe para complementar las actuales redes de monitoreo con datos adicionales.

5. Referencias

Buehler, S. *et al.* (2001), “A comparison of PAH, PCB, and pesticide concentrations in air at two rural sites on Lake Superior”, *Environmental Science & Technology*, núm. 35, vol. 12, pp. 417-2422.

Cárdenas, B. (2009), “Red Mexicana de Monitoreo de Dioxinas y Furanos en Aire Ambiente: primeros dos años de operación”, presentación oral en el Tercer Taller sobre Fuentes y Medición de Dioxinas, Furanos y Hexaclorobenceno, Comisión para la Cooperación

- Ambiental, México, 10 de diciembre; disponible en:
<www.cec.org/Page.asp?PageID=924&SiteNodeID=535>.
- Cárdenas, B. (2010), “First three years of operation of the Mexican Monitoring Network of D&F in ambient air”, presentación oral en el Taller sobre Fuentes y Medición de Dioxinas, Furanos y Hexaclorobenceno, Comisión para la Cooperación Ambiental, México, 29 de octubre; disponible en:
<www.cec.org/Page.asp?PageID=924&SiteNodeID=535>.
- Cárdenas, B. (2011), “Resultados preliminares de la primera etapa de operación de la Red Mexicana de Monitoreo de Dioxinas y Furanos en Aire Ambiente”, presentación oral en el Taller sobre Fuentes y Medición de Dioxinas, Furanos y Hexaclorobenceno, Comisión para la Cooperación Ambiental, México, 12-13 de octubre de 2011.
- Cárdenas, B. *et al.* (2010), “Experiences of the first stage of operation of the Mexican Dioxin and Furan Air Monitoring Network”, *Organohalogen Compounds*, núm. 72, pp. 1139-1141.
- Cárdenas, B. *et al.* (2011), “Baseline ambient concentrations of dioxins and furans in Mexico: 2008-2010 operation of the Mexican Dioxin Air Monitoring Network (MDAMN)”, *Organohalogen Compounds*, núm. 73, pp. 1030-1032.
- Cárdenas, B. *et al.* [s/f], *Levels and Composition of Dioxins, Furans and Coplanar PCBs at the Mexican Dioxin Air Monitoring Network from 2008 to 2010*, en preparación.
- CCA (2012^a), *Design of the Second Stage of the Mexican Dioxin and Furan Air Monitoring Network*, Comisión para la Cooperación Ambiental, Montreal, en preparación.
- CCA (2012^b), “Eventos pasados”, Comisión para la Cooperación Ambiental, disponible en:
<www.cec.org/Page.asp?PageID=924&SiteNodeID=535>.
- Cleverly, D. H. *et al.* (2000), “The National Dioxin Air Monitoring Network (NDAMN): Results of the first year of atmospheric measurements of CDDs, CDFs, and dioxin-like PCBs in rural and agricultural areas of the United States: June 1998-June 1999”, *Organohalogen Compounds*, núm. 45, pp. 248-251.
- Cleverly, D. H. *et al.* (2007), “A general indication of the contemporary background levels of PCDDs, PCDFs, and coplanar PCBs in the ambient air over rural and remote areas of the United States”, *Environmental Science & Technology*, núm. 41, pp. 1537-1544.
- Environment Canada (2011), Base de datos de NAPS; disponible en: <www.etc-cte.ec.gc.ca/NapsAnnualRawData/main.aspx> (consultado en 2011).
- Gamatek (2011), *Operación de la Red Mexicana de Monitoreo de Dioxinas y Furanos en Aire Ambiente (RMMDFA): momentos 13 y 14*, informe final núm. INE/ADE-017/2011, Gamatek, S.A. de C.V., Laboratorio de Pruebas Ambientales y Calibración, Monterrey.
- Hafner, W. D. y R. Hites (2003), “Potential sources of pesticides, PCBs, and PAHs, to the atmosphere of the Great Lakes”, *Environmental Science & Technology*, núm. 17, vol. 37, pp. 3764-3773.
- INE (2008), *Standard Operating Procedure (SOP) for ambient air sampling with PS-1 sampler*

- in the national dioxin monitoring network and the Mexican Pilot Project*, Centro Nacional de Investigación y Capacitación Ambiental-Instituto Nacional de Ecología, México.
- INE (2011), *Standard Operating Procedure (SOP) for ambient air sampling with PS-1 sampler in the national dioxin monitoring network and the Mexican Pilot Project*, Centro Nacional de Investigación y Capacitación Ambiental-Instituto Nacional de Ecología.
- INE-Cimav (2010), *Operación de la Red Mexicana de Monitoreo de Dioxinas y Furanos en Aire Ambiente: cuarta fase*, informe final, Instituto Nacional de Ecología-Centro de Investigación en Materiales Avanzados, México-Chihuahua.
- INE-Cinvestav (2008), *Operación de la Red Mexicana de Monitoreo de Dioxinas y Furanos en Aire Ambiente: segunda fase*, informe final núm. INE/A1-031/2008, Instituto Nacional de Ecología-Centro de Investigación y de Estudios Avanzados, Mérida.
- INE-Cinvestav (2009), *Operación de la Red Mexicana de Monitoreo de Dioxinas y Furanos en Aire Ambiente: tercera fase*, informe final núm. INE/A1-044/2009, Instituto Nacional de Ecología-Centro de Investigación y de Estudios Avanzados, Mérida.
- INE-UABC (2007), “Evaluación y definición de sitios potenciales que conformarán la Red Mexicana de Monitoreo de Niveles de Fondo de Dioxinas y Furanos en Aire”, *Evaluación de dioxinas y furanos en aire ambiente como elemento clave para el Plan Nacional de Implementación del Convenio de Estocolmo: primera fase*, Instituto Nacional de Ecología-Universidad Autónoma de Baja California, Ensenada.
- INE-UAM (2012), *Operación de la Red Mexicana de Monitoreo de Dioxinas y Furanos en sitios centinelas como elemento de apoyo para evaluar eficacia del Convenio de Estocolmo respecto a contaminantes orgánicos persistentes no intencionales Etapa II*, informe final núm. INE/PC-009/2012, Instituto Nacional de Ecología-Universidad Autónoma Metropolitana, México.
- Lorber, M. *et al.* (2013), “EPA’s National Dioxin Air Monitoring Network (NDAMN): Design, Implementation, and Final Results”, *Atmospheric Environment*, núm. 77, pp. 311-317.
- Márquez, C. *et al.* (2007), “Evaluación del transporte de contaminantes atmosféricos persistentes a escala local y sinóptico en el diseño de la Red Mexicana de Monitoreo de Dioxinas y Furanos”, presentación oral en el XVI Congreso Mexicano de Meteorología, Veracruz, 12-16 de noviembre de 2007.
- Mongar, K. *et al.* (2003), “The California Ambient Dioxin Air Monitoring Program (CADAMP): Measurement of CDDs, CDFs and dioxin-like PCBs at nine urban sites in California: December 2001-December 2002”, *Organohalogen Compounds*, núm. 61, pp. 462-465.
- Riggs, K.B., *et al.* (2003), “Anomalous results from National Dioxin Air Monitoring Network”, *Organohalogen Compounds*, núm. 60, pp. 130-133.
- US EPA (1994), *Method 1613. Tetra- through Octa-Chlorinated Dioxins and Furans by Isotope Dilution HRGC/HRMS*, Office of Water Engineering and Analysis Division, Agencia de Protección Ambiental de Estados Unidos, Washington, octubre.
- US EPA-INE (2008), *Mexican Dioxin Air Monitoring Network, Quality Assurance Project Plan* [Plan del proyecto de aseguramiento de calidad para la Red Mexicana de Monitoreo

de Dioxinas y Furanos en Aire Ambiente], Environmental Chemistry Branch [Dirección de Química Ambiental], Agencia de Protección Ambiental de Estados Unidos-Instituto Nacional de Ecología-Stennis Space Center, Misisipi, 12 de marzo de 2008.

US EPA (2013), *National Dioxin Air Monitoring Network (NDAMN) Report of the Results of Atmospheric Measurements of PCDDs, PCDFs, and Dioxin-Like PCBs in Rural and Remote Areas of the U.S. from June 1998 through November 2004*, Agencia de Protección Ambiental de Estados Unidos, Washington, DC, EPA/600/R-12/060F, 2013; disponible en: <<http://cfpub.epa.gov/ncea/cfm/recordisplay.cfm?deid=254526>>

Van den Berg *et al.* (2006), “The 2005 World Health Organization re-evaluation of human and mammalian toxic equivalency factors for dioxins and dioxin-like compounds”, *Toxicological Sciences*, núm. 93, vol. 2, pp. 223-241.

Wöhrnschimmel, H. y B. Cárdenas (2008), “The Mexican Dioxin Air Monitoring Network”, presentación oral en la Reunión sobre Monitoreo y Evaluación Ambientales, Comisión para la Cooperación Ambiental, Cuernavaca, 2-3 de diciembre.

Wöhrnschimmel, H. *et al.* (2008a), “Design and operation of the Mexican Dioxin Air Monitoring Network (MDAMN)”, *Organohalogen Compounds*, núm. 70, pp. 1406-1409.

Wöhrnschimmel, H. *et al.* (2008b), “Evaluación y definición de potenciales sitios que conformarán la red mexicana de monitoreo de dioxinas y furanos en aire ambiente”, XVI Congreso Nacional de Ingeniería Sanitaria y Ciencias Ambientales, México, 21-26 de abril de 2008.

6. Apéndice

Índice

Gráfica A1. Sitio de muestreo en Egbert, Ontario	63
Gráfica A2. Sitio de muestreo en Burnt Island, Ontario.....	63
Gráfica A3. Sitio de muestreo en Point Petre, Ontario	64
Gráfica A4. Sitio de muestreo en San Pedro Mártir, Baja California.....	65
Gráfica A5. Sitio de muestreo en Montes Azules, Chis.	66
Gráfica A6. Sitio de muestreo en La Campana, Chih.....	66
Gráfica A7. Sitio de muestreo en Coquimatlán, Col.	67
Gráfica A8. Sitio de muestreo en Monterrey, N.L.....	67
Gráfica A9. Sitio de muestreo en Vaquerías, Jal.	68
Gráfica A10. Sitio de muestreo en Celestún, Yuc.	68
Gráfica A11. Sitio de muestreo en Cofre de Perote, Ver.....	69
Gráfica A12. Sitio de muestreo en la Ciudad de México	70
Cuadro A1. Concentraciones atmosféricas de DDPC/DFPC (pg m^{-3}) en sitios rurales de la NAPS en 1989	71
Cuadro A2. Concentraciones atmosféricas de DDPC/DFPC (pg m^{-3}) en sitios rurales de la NAPS en 1990	72
Cuadro A3. Concentraciones atmosféricas de DDPC/DFPC (pg m^{-3}) en sitios rurales de la NAPS en 1991	73
Cuadro A4. Concentraciones atmosféricas de DDPC/DFPC (pg m^{-3}) en sitios rurales de la NAPS en 1992	74
Cuadro A5. Concentraciones atmosféricas de DDPC/DFPC (pg m^{-3}) en sitios rurales de la NAPS en 1993	75
Cuadro A6. Concentraciones atmosféricas de DDPC/DFPC (pg m^{-3}) en sitios rurales de la NAPS en 1994	76
Cuadro A7. Concentraciones atmosféricas de DDPC/DFPC (pg m^{-3}) en sitios rurales de la NAPS en 1995	77
Cuadro A8. Concentraciones atmosféricas de DDPC/DFPC (pg m^{-3}) en sitios rurales de la NAPS en 1996	78
Cuadro A9. Concentraciones atmosféricas de DDPC/DFPC (pg m^{-3}) en sitios rurales de la NAPS en 1997	80
Cuadro A10. Concentraciones atmosféricas de DDPC/DFPC (pg m^{-3}) en sitios rurales de la NAPS en 1998	83

Cuadro A11. Concentraciones atmosféricas de DDPC/DFPC (pg m^{-3}) en sitios rurales de la NAPS en 1999	86
Cuadro A12. Concentraciones atmosféricas de DDPC/DFPC (pg m^{-3}) en sitios rurales de la NAPS en 2000	89
Cuadro A13. Concentraciones atmosféricas de DDPC/DFPC (pg m^{-3}) en sitios rurales de la NAPS en 2001	92
Cuadro A14. Concentraciones atmosféricas de DDPC/DFPC (pg m^{-3}) en sitios rurales de la NAPS en 2002	95
Cuadro A15. Concentraciones atmosféricas de DDPC/DFPC (pg m^{-3}) en sitios rurales de la NAPS en 2003	98
Cuadro A16. Concentraciones atmosféricas de DDPC/DFPC (pg m^{-3}) en sitios rurales de la NAPS en 2004	100
Cuadro 17. Concentraciones atmosféricas de DDPC/DFPC (pg m^{-3}) en sitios rurales de la NAPS en 2005	102
Cuadro A18. Concentraciones atmosféricas de DDPC/DFPC (pg m^{-3}) en sitios rurales de la NAPS en 2006	105
Cuadro A19. Concentraciones atmosféricas de DDPC/DFPC (pg m^{-3}) en sitios rurales de la NAPS en 2007	108
Cuadro A20. Concentraciones atmosféricas de DDPC/DFPC (pg m^{-3}) en sitios rurales de la NAPS en 2008	111
Cuadro A21. Concentraciones atmosféricas de DDPC/DFPC (pg m^{-3}) en sitios rurales de la NAPS en 2009	114
Cuadro A22. Concentraciones atmosféricas de DDPC/DFPC (pg m^{-3}) en sitios suburbanos de la NAPS en 1994	117
Cuadro A23. Concentraciones atmosféricas de DDPC/DFPC (pg m^{-3}) en sitios suburbanos de la NAPS en 1995	118
Cuadro A24. Concentraciones atmosféricas de DDPC/DFPC (pg m^{-3}) en sitios suburbanos de la NAPS en 1996	119
Cuadro A25. Concentraciones atmosféricas de DDPC/DFPC (pg m^{-3}) en sitios suburbanos de la NAPS en 1997	120
Cuadro A26. Concentraciones atmosféricas de DDPC/DFPC (pg m^{-3}) en sitios suburbanos de la NAPS en 1998	121
Cuadro A27. Concentraciones atmosféricas de DDPC/DFPC (pg m^{-3}) en sitios suburbanos de la NAPS en 1999	122
Cuadro A28. Concentraciones atmosféricas de DDPC/DFPC (pg m^{-3}) en sitios suburbanos de la NAPS en 2000	123
Cuadro A29. Concentraciones atmosféricas de DDPC/DFPC (pg m^{-3}) en sitios suburbanos de la NAPS en 2001	124

Cuadro A30. Concentraciones atmosféricas de DDPC/DFPC (pg m^{-3}) en sitios suburbanos de la NAPS en 2002	126
Cuadro A31. Concentraciones atmosféricas de DDPC/DFPC (pg m^{-3}) en sitios suburbanos de la NAPS en 2003	127
Cuadro A32. Concentraciones atmosféricas de DDPC/DFPC (pg m^{-3}) en sitios suburbanos de la NAPS en 2004	128
Cuadro A33. Concentraciones atmosféricas de DDPC/DFPC (pg m^{-3}) en sitios suburbanos de la NAPS en 2005	130
Cuadro A34. Concentraciones atmosféricas de DDPC/DFPC (pg m^{-3}) en sitios suburbanos de la NAPS en 2006	131
Cuadro A35. Concentraciones atmosféricas de DDPC/DFPC (pg m^{-3}) en sitios suburbanos de la NAPS en 2007	133
Cuadro A36. Concentraciones atmosféricas de DDPC/DFPC (pg m^{-3}) en sitios suburbanos de la NAPS en 2008	135
Cuadro A37. Concentraciones atmosféricas de DDPC/DFPC (pg m^{-3}) en sitios suburbanos de la NAPS en 2009	137
Cuadro A38. Concentraciones atmosféricas de DDPC/DFPC (pg m^{-3}) en sitios urbanos de la NAPS en 1989	138
Cuadro A39. Concentraciones atmosféricas de DDPC/DFPC (pg m^{-3}) en sitios urbanos de la NAPS en 1990	139
Cuadro A40. Concentraciones atmosféricas de DDPC/DFPC (pg m^{-3}) en sitios urbanos de la NAPS en 1991	140
Cuadro A41. Concentraciones atmosféricas de DDPC/DFPC (pg m^{-3}) en sitios urbanos de la NAPS en 1992	142
Cuadro A42. Concentraciones atmosféricas de DDPC/DFPC (pg m^{-3}) en sitios urbanos de la NAPS en 1993	144
Cuadro A43. Concentraciones atmosféricas de DDPC/DFPC (pg m^{-3}) en sitios urbanos de la NAPS en 1994	146
Cuadro A44. Concentraciones atmosféricas de DDPC/DFPC (pg m^{-3}) en sitios urbanos de la NAPS en 1995	148
Cuadro A45. Concentraciones atmosféricas de DDPC/DFPC (pg m^{-3}) en sitios urbanos de la NAPS en 1996	151
Cuadro A46. Concentraciones atmosféricas de DDPC/DFPC (pg m^{-3}) en sitios urbanos de la NAPS en 1997	155
Cuadro A47. Concentraciones atmosféricas de DDPC/DFPC (pg m^{-3}) en sitios urbanos de la NAPS en 1998	159
Cuadro A48. Concentraciones atmosféricas de DDPC/DFPC (pg m^{-3}) en sitios urbanos de la NAPS en 1999	163

Cuadro A49. Concentraciones atmosféricas de DDPC/DFPC (pg m^{-3}) en sitios urbanos de la NAPS en 2000	168
Cuadro A50. Concentraciones atmosféricas de DDPC/DFPC (pg m^{-3}) en sitios urbanos de la NAPS en 2001	175
Cuadro A51. Concentraciones atmosféricas de DDPC/DFPC (pg m^{-3}) en sitios urbanos de la NAPS en 2002	182
Cuadro A52. Concentraciones atmosféricas de DDPC/DFPC (pg m^{-3}) en sitios urbanos de la NAPS en 2003	188
Cuadro A53. Concentraciones atmosféricas de DDPC/DFPC (pg m^{-3}) en sitios urbanos de la NAPS en 2004	191
Cuadro A54. Concentraciones atmosféricas de DDPC/DFPC (pg m^{-3}) en sitios urbanos de la NAPS en 2005	194
Cuadro A55. Concentraciones atmosféricas de DDPC/DFPC (pg m^{-3}) en sitios urbanos de la NAPS en 2006	197
Cuadro A56. Concentraciones atmosféricas de DDPC/DFPC (pg m^{-3}) en sitios urbanos de la NAPS en 2007	201
Cuadro A57. Concentraciones atmosféricas de DDPC/DFPC (pg m^{-3}) en sitios urbanos de la NAPS en 2008	206
Cuadro A58. Concentraciones atmosféricas de DDPC/DFPC (pg m^{-3}) en sitios urbanos de la NAPS en 2009	211
Cuadro A59. Concentraciones atmosféricas de BPC-Co (pg m^{-3}) en sitios rurales de la NAPS en 2005	216
Cuadro A60. Concentraciones atmosféricas de BPC-Co (pg m^{-3}) en sitios rurales de la NAPS en 2006	217
Cuadro A61. Concentraciones atmosféricas de BPC-Co (pg m^{-3}) en sitios rurales de la NAPS en 2007	218
Cuadro A62. Concentraciones atmosféricas de BPC-Co (pg m^{-3}) en sitios rurales de la NAPS en 2008	219
Cuadro A63. Concentraciones atmosféricas de BPC-Co (pg m^{-3}) en sitios rurales de la NAPS en 2009	220
Cuadro A64. Concentraciones atmosféricas de BPC-Co (pg m^{-3}) en sitios suburbanos de la NAPS en 2009	221
Cuadro A65. Concentraciones atmosféricas de BPC-Co (pg m^{-3}) en sitios urbanos de la NAPS en 2005	222
Cuadro A66. Concentraciones atmosféricas de BPC-Co (pg m^{-3}) en sitios urbanos de la NAPS en 2006	223
Cuadro A67. Concentraciones atmosféricas de BPC-Co (pg m^{-3}) en sitios urbanos de la NAPS en 2007	224

Cuadro A68. Concentraciones atmosféricas de BPC-Co (pg m^{-3}) en sitios urbanos de la NAPS en 2008	225
Cuadro A69. Concentraciones atmosféricas de BPC-Co (pg m^{-3}) en sitios urbanos de la NAPS en 2009	226
Cuadro A70. Concentraciones atmosféricas de DDPC/DFPC (pg m^{-3}) en sitios remotos de la RMMDFAA en 2008.....	228
Cuadro A71. Concentraciones atmosféricas de DDPC/DFPC (pg m^{-3}) en sitios remotos de la RMMDFAA en 2009.....	229
Cuadro A72. Concentraciones atmosféricas de DDPC/DFPC (pg m^{-3}) en sitios remotos de la RMMDFAA en 2010.....	230
Cuadro A73. Concentraciones atmosféricas de DDPC/DFPC (pg m^{-3}) en sitios remotos de la RMMDFAA en 2011.....	231
Cuadro A74. Concentraciones atmosféricas de DDPC/DFPC (pg m^{-3}) en sitios remotos de la RMMDFAA en 2012.....	232
Cuadro A75. Concentraciones atmosféricas de DDPC/DFPC (pg m^{-3}) en sitios rurales de la RMMDFAA en 2008.....	233
Cuadro A76. Concentraciones atmosféricas de DDPC/DFPC (pg m^{-3}) en sitios rurales de la RMMDFAA en 2009.....	234
Cuadro A77. Concentraciones atmosféricas de DDPC/DFPC (pg m^{-3}) en sitios rurales de la RMMDFAA en 2010.....	235
Cuadro A78. Concentraciones atmosféricas de DDPC/DFPC (pg m^{-3}) en sitios semirurales de la RMMDFAA en 2008.....	236
Cuadro A79. Concentraciones atmosféricas de DDPC/DFPC (pg m^{-3}) en sitios semirurales de la RMMDFAA en 2009.....	237
Cuadro A80. Concentraciones atmosféricas de DDPC/DFPC (pg m^{-3}) en sitios semirurales de la RMMDFAA en 2010.....	238
Cuadro A81. Concentraciones atmosféricas de DDPC/DFPC (pg m^{-3}) en sitios semirurales de la RMMDFAA en 2011.....	239
Cuadro A82. Concentraciones atmosféricas de DDPC/DFPC (pg m^{-3}) en sitios semirurales de la RMMDFAA en 2012.....	240
Cuadro A83. Concentraciones atmosféricas de DDPC/DFPC (pg m^{-3}) en sitios urbanos de la RMMDFAA en 2008.....	241
Cuadro A84. Concentraciones atmosféricas de DDPC/DFPC (pg m^{-3}) en sitios urbanos de la RMMDFAA en 2009.....	242
Cuadro A85. Concentraciones atmosféricas de DDPC/DFPC (pg m^{-3}) en sitios urbanos de la RMMDFAA en 2010.....	243
Cuadro A86. Concentraciones atmosféricas de BPC-Co (pg m^{-3}) en sitios remotos de la RMMDFAA en 2008.....	244

Cuadro A87. Concentraciones atmosféricas de BPC-Co (pg m^{-3}) en sitios remotos de la RMMDFAA en 2009.....	244
Cuadro A88. Concentraciones atmosféricas de BPC-Co (pg m^{-3}) en sitios remotos de la RMMDFAA en 2010.....	245
Cuadro A89. Concentraciones atmosféricas de BPC-Co (pg m^{-3}) en sitios remotos de la RMMDFAA en 2011.....	245
Cuadro A90. Concentraciones atmosféricas de BPC-Co (pg m^{-3}) en sitios remotos de la RMMDFAA en 2012.....	246
Cuadro A91. Concentraciones atmosféricas de BPC-Co (pg m^{-3}) en sitios rurales de la RMMDFAA en 2008.....	246
Cuadro A92. Concentraciones atmosféricas de BPC-Co (pg m^{-3}) en sitios rurales de la RMMDFAA en 2009.....	247
Cuadro A93. Concentraciones atmosféricas de BPC-Co (pg m^{-3}) en sitios rurales de la RMMDFAA en 2010.....	247
Cuadro A94. Concentraciones atmosféricas de BPC-Co (pg m^{-3}) en sitios semirurales de la RMMDFAA en 2008.....	248
Cuadro A95. Concentraciones atmosféricas de BPC-Co (pg m^{-3}) en sitios semirurales de la RMMDFAA en 2009.....	248
Cuadro A96. Concentraciones atmosféricas de BPC-Co (pg m^{-3}) en sitios semirurales de la RMMDFAA en 2010.....	249
Cuadro A97. Concentraciones atmosféricas de BPC-Co (pg m^{-3}) en sitios semirurales de la RMMDFAA en 2011.....	249
Cuadro A98. Concentraciones atmosféricas de BPC-Co (pg m^{-3}) en sitios semirurales de la RMMDFAA en 2012.....	250
Cuadro A99. Concentraciones atmosféricas de BPC-Co (pg m^{-3}) en sitios urbanos de la RMMDFAA en 2008.....	250
Cuadro A100. Concentraciones atmosféricas de BPC-Co (pg m^{-3}) en sitios urbanos de la RMMDFAA en 2009.....	251
Cuadro A101. Concentraciones atmosféricas de BPC-Co (pg m^{-3}) en sitios urbanos de la RMMDFAA en 2010.....	251

6.1 Fotos de sitios de muestreo

6.1.1 NAPS

Gráfica A1. Sitio de muestreo en Egbert, Ontario



Gráfica A2. Sitio de muestreo en Burnt Island, Ontario



Gráfica A3. Sitio de muestreo en Point Petre, Ontario



6.1.2 *NDAMN*

No hay fotos de la NDAMN disponibles actualmente.

6.1.3 RMMDFAA

Las fotografías de esta sección fueron reunidas a través del INE-UABC (2007), INE-Cinvestav (2008, 2009) y Wöhrenschiemmel y Cárdenas (2008).

Gráfica A4. Sitio de muestreo en San Pedro Mártir, Baja California



Gráfica A5. Sitio de muestreo en Montes Azules, Chis.



Gráfica A6. Sitio de muestreo en La Campana, Chih.



Gráfica A7. Sitio de muestreo en Coquimatlán, Col.



Gráfica A8. Sitio de muestreo en Monterrey, N.L.



Gráfica A9. Sitio de muestreo en Vaquerías, Jal.



Gráfica A10. Sitio de muestreo en Celestún, Yuc.



Gráfica A11. Sitio de muestreo en Cofre de Perote, Ver.



Gráfica A12. Sitio de muestreo en la Ciudad de México



6.2 Conjuntos de datos sobre dioxinas en el aire ambiente

6.2.1 NAPS

Cuadro A1. Concentraciones atmosféricas de DDPC/DFPC (pg m^{-3}) en sitios rurales de la NAPS en 1989

Station Name	Walpole Island							
Sampling Period	1	2	3	4	5	6	7	8
Sampling Date	5/16/89	6/9/89	7/3/89	7/27/89	8/20/89	10/7/89	10/31/89	11/24/89
Sampling Volume (m3)	1581	1474	1517	1525	1500	1558	1477	2648
PCDD/F Congeners								
2,3,7,8-TCDD	<0.001	0.001	0.001	<0.001	<0.013	0.003	<0.002	<0.001
1,2,3,7,8-PeCDD	<0.001	<0.001	0.005	<0.001	0.017	0.006	0.009	<0.002
1,2,3,4,7,8-HxCDD	0.002	0.003	0.005	<0.002	0.014	0.010	<0.003	<0.002
1,2,3,6,7,8-HxCDD	0.004	0.005	0.010	<0.002	0.020	0.013	<0.003	<0.002
1,2,3,7,8,9-HxCDD	0.006	0.006	0.014	<0.002	0.033	0.026	<0.003	0.012
1,2,3,4,6,7,8-HpCDD	0.046	0.055	0.100	0.076	0.196	0.138	0.213	0.083
OCDD	0.145	0.157	0.311	0.264	0.471	0.327	0.860	0.322
2,3,7,8-TCDF	0.024	0.028	0.068	0.044	0.081	0.019	0.058	0.056
1,2,3,7,8-PeCDF	0.009	0.005	0.021	<0.001	0.032	0.003	0.012	0.006
2,3,4,7,8-PeCDF	<0.001	0.007	0.026	0.013	0.039	0.003	0.018	0.009
1,2,3,4,7,8-HxCDF	<0.001	0.017	0.053	0.032	0.075	0.007	0.052	<0.002
1,2,3,6,7,8-HxCDF	0.005	0.007	0.015	0.012	0.035	<0.001	<0.003	<0.002
2,3,4,6,7,8-HxCDF	0.006	0.006	0.033	<0.002	0.031	<0.001	0.014	<0.002
1,2,3,7,8,9-HxCDF	<0.001	<0.001	<0.001	<0.002	<0.002	<0.001	<0.003	<0.002
1,2,3,4,6,7,8-HpCDF	0.024	0.021	0.105	0.062	0.097	0.012	0.079	0.030
1,2,3,4,7,8,9-HpCDF	0.003	<0.001	0.009	0.003	0.011	0.001	0.007	<0.002
OCDF	0.020	0.017	0.057	0.020	0.045	0.013	0.068	0.020
PCDD/F Homologues								
TCDDs	0.013	0.009	0.011	0.014	0.034	0.015	0.021	0.000
PeCDDs	0.006	0.009	0.036	0.009	0.082	0.074	0.059	0.013
HxCDDs	0.073	0.079	0.124	0.078	0.236	0.220	0.138	0.046
HpCDDs	0.097	0.119	0.223	0.159	0.375	0.385	0.592	0.213
OCDD	0.145	0.157	0.311	0.264	0.471	0.327	0.860	0.322
TCDFs	0.073	0.095	0.136	0.135	0.370	0.067	0.236	0.163
PeCDFs	0.020	0.076	0.147	0.090	0.383	0.041	0.191	0.093
HxCDFs	0.057	0.078	0.190	0.107	0.357	0.026	0.187	0.000
HpCDFs	0.042	0.035	0.165	0.091	0.161	0.026	0.093	0.040
OCDF	0.020	0.017	0.057	0.020	0.045	0.013	0.068	0.020
Total								
Σ PCDDs	0.335	0.374	0.704	0.524	1.198	1.023	1.671	0.594
Σ PCDFs	0.211	0.301	0.696	0.443	1.316	0.173	0.774	0.317
Σ PCDD/Fs	0.546	0.675	1.400	0.967	2.515	1.196	2.445	0.911
Σ TEQ (PCDD/Fs)	0.008	0.013	0.037	0.018	0.075	0.019	0.034	0.015

Cuadro A2. Concentraciones atmosféricas de DDPC/DFPC (pg m^{-3}) en sitios rurales de la NAPS en 1990

Station Name	Walpole Island						
Sampling Period	1	2	3	4	5	6	7
Sampling Date	3/24/90	4/17/90	7/22/90	8/15/90	10/2/90	10/26/90	12/12/90
Sampling Volume (m3)	1698	1536	1623	1517	1416	1271	577
PCDD/F Congeners							
2,3,7,8-TCDD	0.004	<0.002	<0.015	<0.016	<0.014	<0.005	<0.010
1,2,3,7,8-PeCDD	<0.001	0.010	<0.018	<0.016	<0.021	0.007	0.010
1,2,3,4,7,8-HxCDD	0.010	<0.003	<0.022	<0.023	<0.021	<0.005	<0.010
1,2,3,6,7,8-HxCDD	0.015	<0.003	<0.022	<0.023	<0.021	0.012	0.019
1,2,3,7,8,9-HxCDD	0.028	0.018	<0.022	<0.023	<0.021	<0.005	0.021
1,2,3,4,6,7,8-HpCDD	0.169	0.062	0.022	0.114	0.143	0.118	0.158
OCDD	0.435	0.727	0.094	0.348	0.433	0.294	0.411
2,3,7,8-TCDF	0.049	0.121	0.020	0.098	0.056	0.058	0.066
1,2,3,7,8-PeCDF	0.011	0.010	<0.012	<0.013	<0.014	0.012	<0.007
2,3,4,7,8-PeCDF	0.015	0.012	<0.012	0.026	0.010	0.016	0.024
1,2,3,4,7,8-HxCDF	0.031	0.038	<0.018	<0.020	<0.018	<0.005	0.035
1,2,3,6,7,8-HxCDF	0.014	0.009	<0.018	0.024	<0.018	<0.005	0.017
2,3,4,6,7,8-HxCDF	0.018	<0.003	<0.018	0.060	<0.018	0.016	<0.009
1,2,3,7,8,9-HxCDF	<0.001	<0.003	<0.018	<0.020	<0.018	<0.005	<0.009
1,2,3,4,6,7,8-HpCDF	0.051	0.062	0.034	0.119	0.083	<0.006	0.069
1,2,3,4,7,8,9-HpCDF	0.097	<0.003	<0.018	<0.026	<0.021	0.006	0.101
OCDF	0.036	0.072	0.049	0.082	0.050	0.020	0.035
PCDD/F Homologues							
TCDDs	0.021	0.212	<0.015	0.059	0.028	0.011	0.010
PeCDDs	0.074	0.189	<0.018	0.028	<0.021	0.017	0.023
HxCDDs	0.204	0.231	<0.022	0.071	0.036	0.090	0.102
HpCDDs	0.379	0.537	0.022	0.253	0.340	0.118	0.352
OCDD	0.435	0.727	0.094	0.348	0.433	0.294	0.411
TCDFs	0.156	0.284	0.025	0.355	0.251	0.229	0.220
PeCDFs	0.147	0.094	0.018	0.157	0.159	0.166	0.132
HxCDFs	0.128	0.072	0.025	0.244	0.080	0.131	0.101
HpCDFs	0.097	0.109	0.034	0.150	0.097	0.096	0.101
OCDF	0.036	0.072	0.049	0.082	0.050	0.020	0.035
Total							
Σ PCDDs	1.112	1.895	0.115	0.759	0.837	0.531	0.898
Σ PCDFs	0.564	0.632	0.150	0.988	0.637	0.643	0.588
Σ PCDD/Fs	1.676	2.527	0.265	1.747	1.473	1.174	1.486
Σ TEQ (PCDD/Fs)	0.030	0.037	0.055	0.073	0.060	0.029	0.050

Cuadro A3. Concentraciones atmosféricas de DDPC/DFPC (pg m⁻³) en sitios rurales de la NAPS en 1991

Station Name	Walpole Island										
Sampling Period	1	2	3	4	5	6	7	8	9	10	11
Sampling Date	2/23/91	3/19/91	4/12/91	5/6/91	5/30/91	6/23/91	7/17/91	9/9/91	9/27/91	10/21/91	11/14/91
Sampling Time (h)	48	48	48	48	48	48	48	48	48	48	48
Sampling Volume (m3)	723	790	810	689	801	802	691	747	714	720	754
PCDD/F Congeners											
2,3,7,8-TCDD	<0.006	<0.008	<0.006	<0.007	<0.004	<0.001	<0.003	<0.003	<0.003	0.009	<0.003
1,2,3,7,8-PeCDD	<0.010	<0.013	<0.006	0.010	<0.004	<0.001	<0.001	<0.004	<0.011	<0.006	0.009
1,2,3,4,7,8-HxCDD	<0.012	<0.010	<0.006	<0.010	<0.002	<0.001	<0.001	<0.007	<0.007	<0.011	<0.004
1,2,3,6,7,8-HxCDD	<0.012	<0.010	<0.006	0.017	0.008	0.007	0.006	<0.007	<0.007	0.025	0.041
1,2,3,7,8,9-HxCDD	<0.012	0.020	<0.006	<0.010	0.006	<0.001	0.005	<0.007	<0.007	0.022	0.030
1,2,3,4,6,7,8-HpCDD	0.047	0.154	0.064	0.097	0.047	0.059	0.071	0.080	0.097	0.222	0.492
OCDD	0.108	0.494	0.156	0.231	0.117	0.151	0.224	0.253	0.267	0.485	1.361
2,3,7,8-TCDF	0.044	0.057	0.043	0.080	0.032	0.016	0.030	0.029	0.045	0.074	0.053
1,2,3,7,8-PeCDF	<0.010	<0.008	<0.006	<0.010	0.008	0.005	0.009	0.027	<0.011	0.019	<0.005
2,3,4,7,8-PeCDF	<0.010	<0.008	0.007	0.022	0.012	0.005	<0.009	<0.013	<0.011	0.051	0.023
1,2,3,4,7,8-HxCDF	<0.010	<0.009	<0.007	<0.010	0.009	0.010	0.012	0.025	<0.011	0.050	0.036
1,2,3,6,7,8-HxCDF	0.012	<0.009	<0.007	0.022	0.009	<0.001	0.009	<0.013	<0.011	0.053	0.029
2,3,4,6,7,8-HxCDF	<0.010	0.011	0.006	0.020	0.007	0.004	<0.003	<0.013	<0.011	0.046	<0.009
1,2,3,7,8,9-HxCDF	<0.010	<0.009	<0.007	<0.010	<0.004	<0.001	<0.003	<0.013	<0.011	<0.022	<0.009
1,2,3,4,6,7,8-HpCDF	0.019	0.058	0.030	0.070	0.029	0.026	0.043	0.099	<0.011	0.168	0.155
1,2,3,4,7,8,9-HpCDF	<0.010	<0.010	<0.009	<0.012	0.006	0.005	0.006	<0.013	<0.011	0.019	<0.013
OCDF	<0.014	0.037	0.014	0.032	0.020	0.025	0.038	0.029	<0.014	0.051	0.103
PCDD/F Homologues											
TCDDs	0.006	0.014	<0.006	0.033	0.011	0.011	0.008	<0.003	<0.003	0.043	0.025
PeCDDs	<0.010	0.029	<0.006	0.017	0.015	<0.001	0.006	0.012	0.038	0.044	0.017
HxCDDs	0.058	0.132	0.049	0.078	0.036	0.042	0.042	<0.007	0.080	0.247	0.435
HpCDDs	0.104	0.359	0.152	0.228	0.106	0.123	0.152	0.197	0.186	0.504	1.105
OCDD	0.108	0.494	0.156	0.231	0.117	0.151	0.224	0.253	0.267	0.485	1.361
TCDFs	0.055	0.196	0.106	0.312	0.180	0.079	0.208	0.452	0.129	0.614	0.182
PeCDFs	0.014	0.051	0.035	0.225	0.079	0.039	0.120	0.088	<0.011	0.397	0.045
HxCDFs	0.037	0.053	0.022	0.178	0.065	0.027	0.062	0.060	<0.011	0.225	0.200
HpCDFs	0.019	0.086	0.030	0.104	0.052	0.046	0.074	0.150	<0.011	0.282	0.217
OCDF	<0.014	0.037	0.014	0.032	0.020	0.025	0.038	0.029	<0.014	0.051	0.103
Total											
∑ PCDDs	0.275	1.028	0.357	0.588	0.286	0.327	0.433	0.462	0.571	1.324	2.943
∑ PCDFs	0.126	0.423	0.206	0.852	0.396	0.216	0.502	0.780	0.129	1.569	0.748
∑ PCDD/Fs	0.401	1.450	0.563	1.439	0.681	0.543	0.935	1.242	0.700	2.893	3.690
∑ TEQ (PCDD/Fs)	0.032	0.039	0.025	0.044	0.020	0.008	0.016	0.025	0.030	0.065	0.047

Cuadro A4. Concentraciones atmosféricas de DDPC/DFPC (pg m⁻³) en sitios rurales de la NAPS en 1992

Station Name	Walpole Island														
Sampling Period	1	2	3	4	5	6	7	8	9	10	11	12	13	14	15
Sampling Date	1/1/92	1/25/92	2/18/92	3/13/92	4/12/92	5/6/92	5/30/92	6/23/92	7/17/92	8/10/92	9/3/92	9/27/92	10/21/92	11/14/92	12/8/92
Sampling Volume (m3)	713	713	707	729	875	812	802	802	703	817	764	782	846	810	876
PCDD/F Congeners															
2,3,7,8-TCDD	0.025	<0.008	<0.007	<0.003	<0.002	<0.002	0.001	<0.031	<0.028	<0.031	<0.033	<0.032	0.007	0.013	<0.001
1,2,3,7,8-PeCDD	0.194	0.076	<0.008	<0.003	<0.002	<0.002	0.004	<0.037	<0.043	<0.037	<0.039	<0.038	0.017	<0.001	0.004
1,2,3,4,7,8-HxCDD	0.139	<0.028	<0.008	<0.003	<0.002	<0.002	0.006	<0.050	<0.057	<0.049	<0.052	<0.038	0.014	0.017	0.005
1,2,3,6,7,8-HxCDD	0.296	<0.028	<0.008	0.003	0.002	0.002	0.007	<0.050	<0.057	<0.049	<0.052	<0.038	0.025	0.029	0.008
1,2,3,7,8,9-HxCDD	0.297	0.166	0.017	<0.003	0.003	0.007	0.015	<0.050	<0.057	<0.049	<0.052	<0.038	0.042	0.045	0.016
1,2,3,4,6,7,8-HpCDD	1.319	0.418	0.200	0.038	0.023	0.044	0.114	0.046	0.050	0.049	<0.052	0.113	0.212	0.216	0.146
OCDD	1.605	0.967	0.447	0.088	0.059	0.100	0.326	0.184	0.235	0.197	0.210	0.395	0.496	0.524	0.395
2,3,7,8-TCDF	0.129	0.039	0.024	0.012	0.011	0.016	0.029	0.095	0.137	0.039	0.051	0.026	0.092	0.206	0.030
1,2,3,7,8-PeCDF	0.243	0.067	0.020	0.003	0.002	0.002	0.006	<0.037	<0.043	<0.037	<0.039	<0.032	0.035	<0.001	0.006
2,3,4,7,8-PeCDF	0.372	0.091	<0.010	0.003	0.002	0.005	0.007	<0.037	<0.043	<0.037	<0.039	<0.032	0.045	<0.001	0.008
1,2,3,4,7,8-HxCDF	0.494	0.145	0.027	0.006	<0.002	0.015	0.026	<0.050	<0.043	<0.049	<0.052	<0.038	0.090	0.112	0.031
1,2,3,6,7,8-HxCDF	0.525	0.091	0.027	0.003	0.002	0.004	0.009	<0.050	<0.043	<0.049	<0.052	<0.038	0.041	0.058	0.007
2,3,4,6,7,8-HxCDF	0.359	<0.035	<0.013	<0.003	0.002	<0.002	0.010	<0.050	<0.043	<0.049	<0.052	<0.038	0.046	0.057	0.011
1,2,3,7,8,9-HxCDF	<0.017	<0.035	<0.013	<0.003	<0.002	<0.002	<0.002	<0.050	<0.043	<0.049	<0.052	<0.038	0.016	0.005	<0.006
1,2,3,4,6,7,8-HpCDF	1.300	0.255	0.113	0.008	0.009	0.018	0.051	0.076	0.075	0.024	0.030	0.031	0.125	0.127	0.051
1,2,3,4,7,8,9-HpCDF	0.136	0.243	0.023	<0.004	<0.003	<0.005	0.006	<0.050	<0.071	<0.049	<0.052	<0.026	0.021	0.017	0.011
OCDF	0.522	0.479	0.081	<0.007	<0.006	<0.006	0.031	<0.100	<0.085	<0.073	<0.079	<0.064	0.086	0.069	0.042
PCDD/F Homologues															
TCDDs	0.574	<0.008	0.017	<0.003	0.009	0.027	0.037	<0.031	<0.028	<0.031	<0.033	<0.032	0.116	0.239	0.019
PeCDDs	1.522	0.076	0.027	0.005	0.006	0.027	0.035	<0.037	<0.043	<0.037	<0.039	<0.038	0.182	0.280	0.062
HxCDDs	3.167	0.166	0.226	0.034	0.027	0.034	0.130	<0.050	<0.057	<0.049	<0.052	<0.038	0.304	0.357	0.123
HpCDDs	2.852	0.584	0.474	0.080	0.057	0.105	0.268	0.046	0.159	0.093	0.047	0.329	0.444	0.462	0.322
OCDD	1.605	0.967	0.447	0.088	0.059	0.100	0.326	0.184	0.235	0.197	0.210	0.395	0.496	0.524	0.395
TCDFs	2.881	0.083	0.181	0.070	0.071	0.108	0.242	0.552	0.686	0.098	0.086	0.061	0.658	1.573	0.180
PeCDFs	4.096	0.159	0.057	0.023	0.030	0.049	0.122	0.172	0.274	0.071	<0.039	<0.032	0.557	1.088	0.094
HxCDFs	4.361	0.236	0.166	0.018	0.010	0.049	0.104	<0.050	<0.043	<0.049	<0.052	<0.038	0.418	0.552	0.086
HpCDFs	2.171	0.543	0.171	0.010	0.011	0.027	0.089	0.076	0.075	0.024	0.030	0.031	0.223	0.229	0.104
OCDF	0.522	0.479	0.081	<0.007	<0.006	<0.006	0.031	<0.100	<0.085	<0.073	<0.079	<0.064	0.086	0.069	0.042
Total															
∑ PCDDs	9.719	1.792	1.191	0.207	0.159	0.293	0.796	0.231	0.394	0.290	0.257	0.724	1.542	1.861	0.922
∑ PCDFs	14.031	1.499	0.655	0.121	0.122	0.234	0.588	0.800	1.035	0.193	0.117	0.092	1.942	3.511	0.507
∑ PCDD/Fs	23.751	3.291	1.847	0.328	0.281	0.527	1.384	1.031	1.429	0.484	0.373	0.816	3.484	5.371	1.428
∑ TEQ (PCDD/Fs)	0.591	0.180	0.036	0.010	0.009	0.012	0.020	0.127	0.135	0.119	0.128	0.112	0.079	0.071	0.021

Cuadro A5. Concentraciones atmosféricas de DDPC/DFPC (pg m⁻³) en sitios rurales de la NAPS en 1993

Station Name	Walpole Island												
Sampling Period	1	2	3	4	5	6	7	8	9	10	11	12	13
Sampling Date	1/25/93	2/18/93	3/14/93	4/7/93	5/1/93	6/18/93	7/30/93	8/23/93	9/16/93	10/10/93	11/3/93	11/27/93	12/21/93
Sampling Volume (m3)	805	796	848	820	792	783	766	730	784	774	727	761	720
PCDD/F Congeners													
2,3,7,8-TCDD	<0.002	0.002	0.004	0.003	0.001	0.002	<0.001	<0.003	<0.001	<0.003	<0.001	<0.001	0.011
1,2,3,7,8-PeCDD	0.008	0.007	0.003	0.013	0.006	0.006	0.002	<0.005	<0.003	<0.005	0.005	0.012	0.025
1,2,3,4,7,8-HxCDD	0.006	0.004	0.005	0.015	0.019	0.005	0.003	<0.003	0.012	0.021	0.027	0.018	0.024
1,2,3,6,7,8-HxCDD	0.013	0.015	0.004	0.029	0.013	0.009	0.003	<0.003	0.005	0.019	0.014	0.035	0.029
1,2,3,7,8,9-HxCDD	0.030	0.019	0.009	0.061	0.020	0.015	0.005	<0.003	<0.003	0.017	<0.003	0.063	0.038
1,2,3,4,6,7,8-HpCDD	0.185	0.145	0.062	0.501	0.150	0.089	0.037	0.142	0.059	0.142	0.134	0.376	0.126
OCDD	0.520	0.382	0.266	1.251	0.189	0.144	0.132	0.216	0.226	0.450	0.479	0.864	0.349
2,3,7,8-TCDF	0.033	0.038	0.018	0.078	0.034	0.041	0.014	0.044	0.017	<0.003	0.020	0.054	0.025
1,2,3,7,8-PeCDF	0.007	0.008	0.003	0.020	0.010	0.021	0.003	0.016	<0.003	<0.005	0.010	0.021	0.021
2,3,4,7,8-PeCDF	0.015	0.014	0.003	0.019	0.008	0.014	0.004	0.018	0.005	<0.005	<0.001	0.021	0.022
1,2,3,4,7,8-HxCDF	0.029	0.035	0.008	0.082	0.017	0.045	0.011	0.047	0.008	0.017	0.020	0.059	0.038
1,2,3,6,7,8-HxCDF	0.009	0.013	0.003	0.020	0.011	0.027	0.005	<0.003	0.004	<0.006	<0.003	0.025	0.028
2,3,4,6,7,8-HxCDF	0.013	0.018	0.003	0.035	0.012	0.023	0.005	0.020	0.007	<0.006	0.007	0.026	0.025
1,2,3,7,8,9-HxCDF	<0.006	<0.005	<0.001	<0.001	0.009	<0.003	<0.001	<0.003	0.003	<0.006	<0.003	0.003	0.021
1,2,3,4,6,7,8-HpCDF	0.032	0.052	0.015	0.122	0.032	0.085	0.014	0.083	0.031	0.380	0.029	0.095	0.047
1,2,3,4,7,8,9-HpCDF	<0.006	0.012	0.005	0.012	0.007	0.009	<0.001	<0.005	<0.004	<0.003	0.010	0.011	0.018
OCDF	0.027	0.039	0.031	0.092	0.039	0.035	0.009	<0.011	<0.006	<0.013	<0.007	0.062	0.063
PCDD/F Homologues													
TCDDs	0.033	0.040	0.012	0.070	0.038	0.057	0.026	<0.003	<0.001	0.007	0.017	0.088	0.028
PeCDDs	0.106	0.085	0.021	0.182	0.049	0.090	0.029	0.045	0.026	0.102	0.049	0.204	0.075
HxCDDs	0.195	0.132	0.063	0.445	0.139	0.146	0.062	0.116	0.072	0.207	0.165	0.536	0.199
HpCDDs	0.437	0.302	0.139	1.105	0.313	0.213	0.089	0.268	0.176	0.499	0.458	0.772	0.251
OCDD	0.520	0.382	0.266	1.251	0.189	0.144	0.132	0.216	0.226	0.450	0.479	0.864	0.349
TCDFs	0.130	0.144	0.097	0.335	0.208	0.281	0.073	0.142	0.068	0.035	0.081	0.380	0.101
PeCDFs	0.122	0.143	0.041	0.302	0.104	0.253	0.050	0.134	0.047	0.045	0.070	0.271	0.090
HxCDFs	0.103	0.136	0.033	0.290	0.101	0.262	0.052	0.123	0.041	0.040	0.063	0.268	0.147
HpCDFs	0.068	0.113	0.029	0.240	0.065	0.144	0.025	0.083	0.072	0.118	0.071	0.159	0.079
OCDF	0.027	0.039	0.031	0.092	0.039	0.035	0.009	<0.011	<0.006	<0.013	<0.007	0.062	0.063
Total													
∑ PCDDs	1.292	0.942	0.501	3.052	0.728	0.651	0.338	0.646	0.500	1.264	1.168	2.464	0.902
∑ PCDFs	0.450	0.575	0.232	1.259	0.518	0.976	0.210	0.482	0.229	0.238	0.285	1.139	0.481
∑ PCDD/Fs	1.742	1.517	0.733	4.311	1.246	1.626	0.548	1.128	0.729	1.502	1.453	3.603	1.383
∑ TEQ (PCDD/Fs)	0.032	0.030	0.015	0.061	0.026	0.032	0.010	0.029	0.012	0.024	0.019	0.054	0.068

Cuadro A6. Concentraciones atmosféricas de DDPC/DFPC (pg m⁻³) en sitios rurales de la NAPS en 1994

Station Name	Kejimkujik	Vancouver	St. Andrews	Walpole Island									
Sampling Period	1	1	1	1	2	3	4	5	6	7	8	9	10
Sampling Date	12/28/94	12/16/94	12/28/94	3/15/94	4/8/94	5/14/94	6/7/94	7/1/94	9/11/94	10/5/94	10/29/94	11/22/94	12/16/94
Sampling Volume (m3)	703	763	782	780	719	759	793	670	750	750	762	734	746
PCDD/F Congeners													
2,3,7,8-TCDD	<0.003	<0.003	<0.003	<0.001	<0.003	<0.003	<0.001	<0.003	<0.003	<0.001	<0.001	<0.001	<0.001
1,2,3,7,8-PeCDD	<0.003	<0.003	<0.003	0.006	0.006	0.005	0.003	<0.004	0.008	<0.003	0.006	0.004	0.010
1,2,3,4,7,8-HxCDD	<0.004	<0.008	<0.004	0.008	0.008	0.007	0.004	0.004	0.019	0.008	0.006	0.004	0.014
1,2,3,6,7,8-HxCDD	0.009	0.019	<0.004	0.012	0.014	0.013	0.005	0.010	0.024	0.013	0.010	0.008	0.028
1,2,3,7,8,9-HxCDD	<0.004	0.031	<0.004	0.019	0.018	0.025	0.008	0.015	0.024	0.020	0.019	<0.003	0.042
1,2,3,4,6,7,8-HpCDD	0.070	0.274	0.022	0.126	0.122	0.152	0.054	0.109	0.165	0.108	0.178	0.067	0.307
OCDD	0.151	0.672	0.090	0.417	0.341	0.446	0.166	0.377	0.299	0.295	0.486	0.191	0.667
2,3,7,8-TCDF	0.013	0.051	0.009	0.018	0.024	0.018	0.032	0.019	<0.003	0.032	0.025	0.009	0.064
1,2,3,7,8-PeCDF	0.003	0.005	<0.001	0.008	0.010	0.008	0.011	<0.003	0.009	0.008	0.006	0.004	0.018
2,3,4,7,8-PeCDF	0.005	0.006	0.002	0.008	0.010	0.007	0.013	<0.003	0.011	0.013	0.009	0.004	0.027
1,2,3,4,7,8-HxCDF	0.010	0.015	0.004	0.024	<0.003	<0.004	<0.003	0.016	0.028	0.032	0.027	0.009	0.052
1,2,3,6,7,8-HxCDF	0.005	<0.005	<0.001	0.012	0.014	0.009	0.014	0.006	0.011	0.011	0.010	0.004	0.020
2,3,4,6,7,8-HxCDF	0.007	<0.005	0.002	0.012	0.011	0.011	0.015	0.010	0.015	0.013	0.014	0.006	0.028
1,2,3,7,8,9-HxCDF	<0.003	<0.005	<0.001	<0.004	<0.003	<0.004	<0.003	<0.003	<0.004	0.005	<0.002	<0.001	<0.003
1,2,3,4,6,7,8-HpCDF	0.024	0.024	0.008	0.047	0.044	0.048	0.054	0.028	0.043	0.045	0.055	0.017	0.092
1,2,3,4,7,8,9-HpCDF	<0.003	<0.01	<0.004	0.005	0.006	0.005	0.005	0.007	0.009	0.007	0.006	0.004	0.009
OCDF	0.019	0.013	0.006	0.041	0.057	0.037	0.034	0.124	0.044	0.045	0.039	0.016	0.073
PCDD/F Homologues													
TCDDs	<0.003	0.009	<0.003	0.029	0.024	0.017	0.030	0.040	0.072	0.029	0.017	0.005	0.036
PeCDDs	0.007	0.047	<0.003	0.050	0.065	0.053	0.043	0.042	0.164	0.064	0.051	0.023	0.108
HxCDDs	0.065	0.225	0.014	0.167	0.156	0.157	0.077	0.130	0.304	0.153	0.166	0.066	0.351
HpCDDs	0.148	0.601	0.044	0.283	0.268	0.368	0.119	0.230	0.367	0.229	0.405	0.147	0.727
OCDD	0.151	0.672	0.090	0.417	0.341	0.446	0.166	0.377	0.299	0.295	0.486	0.191	0.667
TCDFs	0.033	0.189	0.021	0.130	0.161	0.146	0.223	0.275	0.188	0.291	0.221	0.052	0.350
PeCDFs	0.030	0.055	0.012	0.088	0.107	0.083	0.151	0.146	0.124	0.175	0.134	0.031	0.286
HxCDFs	0.042	0.039	0.012	0.114	0.133	0.067	0.142	0.079	0.097	0.132	0.119	0.033	0.241
HpCDFs	0.042	0.024	0.008	0.083	0.074	0.026	0.088	0.057	0.075	0.087	0.095	0.031	0.165
OCDF	0.019	0.013	0.006	0.041	0.057	0.037	0.034	0.124	0.044	0.045	0.039	0.016	0.073
Total													
∑ PCDDs	0.371	1.553	0.148	0.947	0.852	1.040	0.436	0.819	1.205	0.771	1.126	0.431	1.889
∑ PCDFs	0.165	0.321	0.059	0.457	0.533	0.360	0.639	0.682	0.528	0.730	0.609	0.162	1.116
∑ PCDD/Fs	0.536	1.874	0.207	1.403	1.385	1.400	1.075	1.501	1.733	1.501	1.735	0.593	3.005
∑ TEQ (PCDD/Fs)	0.014	0.025	0.010	0.023	0.023	0.021	0.017	0.019	0.029	0.023	0.024	0.012	0.049

Cuadro A7. Concentraciones atmosféricas de DDPC/DFPC (pg m⁻³) en sitios rurales de la NAPS en 1995

Station Name	Kejimikujik					Vancouver			St. Andrews		Walpole Island		
Sampling Period	1	2	3	4	5	1	2	3	1	2	1	2	3
Sampling Date	4/3/95	5/21/95	7/8/95	8/26/95	11/17/95	2/8/95	5/15/95	8/19/95	2/14/95	11/17/95	2/14/95	2/26/95	3/10/95
Sampling Volume (m3)	590	619	616	662	685	737	545	651	674	964	772	682	778
PCDD/F Congeners													
2,3,7,8-TCDD	<0.002	<0.006	<0.003	<0.003	<0.009	0.005	<0.037	<0.003	<0.001	<0.004	0.003	0.007	0.004
1,2,3,7,8-PeCDD	<0.003	<0.006	<0.004	<0.004	<0.012	0.016	<0.022	<0.006	<0.001	<0.003	0.006	0.007	0.006
1,2,3,4,7,8-HxCDD	<0.003	<0.010	<0.005	<0.006	<0.012	<0.008	<0.037	<0.012	<0.006	<0.006	0.007	0.003	0.007
1,2,3,6,7,8-HxCDD	<0.003	<0.010	<0.005	<0.006	<0.012	0.045	<0.037	<0.012	<0.006	<0.006	0.012	0.008	0.013
1,2,3,7,8,9-HxCDD	<0.003	<0.010	<0.005	<0.006	<0.012	0.041	<0.037	<0.012	<0.006	<0.006	0.017	0.013	0.019
1,2,3,4,6,7,8-HpCDD	0.021	<0.016	0.009	0.005	0.040	0.278	<0.055	0.057	0.035	0.036	0.122	0.101	0.145
OCDD	0.062	0.072	0.027	0.044	0.128	0.561	0.639	0.159	0.090	0.089	0.244	0.286	0.347
2,3,7,8-TCDF	0.008	0.010	0.007	0.007	<0.009	0.085	0.066	0.027	0.010	0.008	0.054	0.101	0.056
1,2,3,7,8-PeCDF	<0.002	<0.006	<0.002	<0.002	<0.010	0.017	<0.018	<0.004	<0.001	<0.002	0.010	0.006	0.006
2,3,4,7,8-PeCDF	<0.002	<0.006	<0.002	<0.002	<0.010	0.029	<0.018	<0.004	0.002	0.003	0.015	0.007	0.007
1,2,3,4,7,8-HxCDF	<0.003	<0.008	<0.003	<0.003	<0.009	0.049	<0.018	<0.006	0.006	0.006	0.036	0.019	0.013
1,2,3,6,7,8-HxCDF	<0.003	<0.008	<0.003	<0.003	<0.009	0.022	<0.018	<0.006	<0.001	0.002	0.013	0.008	0.005
2,3,4,6,7,8-HxCDF	<0.003	<0.008	<0.003	<0.003	<0.009	0.024	<0.018	<0.006	<0.001	<0.002	0.021	0.008	0.008
1,2,3,7,8,9-HxCDF	<0.003	<0.008	<0.003	<0.003	<0.009	<0.005	<0.018	<0.006	<0.001	<0.002	<0.002	<0.003	<0.003
1,2,3,4,6,7,8-HpCDF	0.003	0.007	0.004	<0.002	0.016	0.078	<0.029	0.029	0.011	0.022	0.056	0.036	0.022
1,2,3,4,7,8,9-HpCDF	<0.003	<0.006	<0.003	<0.002	<0.009	0.023	<0.029	<0.006	<0.003	<0.005	0.009	0.004	<0.003
OCDF	<0.005	<0.029	<0.008	<0.007	0.016	0.023	<0.047	0.052	0.007	0.021	0.050	0.035	0.021
PCDD/F Homologues													
TCDDs	<0.002	<0.006	<0.003	<0.003	<0.009	0.094	<0.037	<0.003	0.002	<0.004	0.079	0.015	0.017
PeCDDs	<0.003	<0.006	<0.004	<0.004	<0.012	0.180	<0.022	<0.006	<0.001	<0.003	0.101	0.031	0.058
HxCDDs	<0.003	<0.010	<0.005	<0.006	<0.012	0.459	0.089	0.026	0.024	<0.006	0.198	0.100	0.173
HpCDDs	0.040	<0.016	0.019	0.010	0.117	0.559	0.312	0.105	0.079	0.063	0.263	0.220	0.375
OCDD	0.062	0.072	0.027	0.044	0.128	0.561	0.639	0.159	0.090	0.089	0.244	0.286	0.347
TCDFs	0.012	0.019	0.017	0.011	<0.009	0.325	0.066	0.043	0.024	0.043	0.198	0.245	0.164
PeCDFs	<0.002	<0.006	0.012	0.005	<0.010	0.318	0.034	0.015	0.018	0.040	0.194	0.080	0.076
HxCDFs	<0.003	0.008	0.008	<0.003	0.010	0.287	0.051	0.009	0.014	0.025	0.156	0.069	0.057
HpCDFs	0.003	0.015	0.004	<0.002	0.016	0.206	<0.029	0.040	0.011	0.030	0.108	0.068	0.044
OCDF	<0.005	<0.029	<0.008	<0.007	0.016	0.023	<0.047	0.052	0.007	0.021	0.050	0.035	0.021
Total													
∑ PCDDs	0.101	0.072	0.046	0.054	0.245	1.854	1.040	0.290	0.195	0.151	0.884	0.652	0.969
∑ PCDFs	0.015	0.043	0.041	0.015	0.042	1.158	0.151	0.159	0.074	0.158	0.706	0.496	0.362
∑ PCDD/Fs	0.117	0.114	0.087	0.069	0.287	3.012	1.191	0.449	0.269	0.310	1.590	1.148	1.331
∑ TEQ (PCDD/Fs)	0.009	0.023	0.011	0.011	0.033	0.062	0.091	0.020	0.007	0.013	0.032	0.034	0.027

Cuadro A8. Concentraciones atmosféricas de DDPC/DFPC (pg m⁻³) en sitios rurales de la NAPS en 1996

Station Name	Kejimkujik											Point Petre					
	1	2	3	4	5	6	7	8	9	10	11	1	2	3	4	5	6
Sampling Period	1/4/96	2/21/96	4/9/96	5/27/96	6/20/96	8/7/96	8/31/96	9/24/96	10/18/96	12/5/96	12/29/96	8/31/96	9/24/96	10/18/96	11/11/96	12/5/96	12/29/96
Sampling Volume (m3)	806	656	667	612	540	548	572	733	668	470	510	879	988	953	812	536	593
PCDD/F Congeners																	
2,3,7,8-TCDD	<0.007	<0.009	<0.004	<0.007	<0.004	<0.007	<0.007	<0.008	<0.006	<0.004	<0.008	<0.005	0.009	<0.004	<0.003	<0.004	<0.003
1,2,3,7,8-PeCDD	<0.007	<0.009	<0.006	<0.007	<0.010	<0.007	<0.004	<0.005	<0.006	<0.004	<0.008	<0.007	0.018	<0.008	<0.004	0.010	<0.005
1,2,3,4,7,8-HxCDD	<0.010	<0.009	<0.010	<0.005	<0.007	<0.006	<0.007	<0.008	<0.006	<0.009	<0.016	<0.007	0.024	<0.008	<0.007	<0.007	<0.006
1,2,3,6,7,8-HxCDD	<0.010	<0.009	<0.010	<0.005	<0.007	<0.006	<0.007	<0.008	<0.006	<0.009	<0.016	<0.007	0.014	<0.008	<0.007	<0.007	0.011
1,2,3,7,8,9-HxCDD	<0.010	<0.009	<0.010	<0.005	<0.007	<0.006	<0.007	<0.008	<0.006	<0.009	<0.016	0.008	0.037	<0.008	0.009	<0.007	0.016
1,2,3,4,6,7,8-HpCDD	0.034	<0.013	0.013	0.018	0.018	0.016	0.018	<0.011	0.020	0.025	0.054	0.044	0.088	0.057	0.060	0.088	0.187
OCDD	0.069	0.044	0.040	0.045	0.045	0.033	0.039	0.056	0.068	0.151	0.122	0.119	0.252	0.177	0.157	0.278	0.622
2,3,7,8-TCDF	0.005	<0.005	0.005	0.006	<0.006	0.007	0.006	<0.005	0.007	0.006	<0.004	0.016	0.018	0.016	0.009	0.022	0.019
1,2,3,7,8-PeCDF	<0.005	<0.009	<0.004	<0.005	<0.004	<0.004	<0.004	<0.005	<0.006	<0.004	<0.007	0.003	0.023	<0.005	<0.003	0.005	<0.005
2,3,4,7,8-PeCDF	<0.005	<0.009	0.007	0.013	0.017	0.018	<0.004	<0.005	<0.006	<0.004	<0.007	0.006	0.016	0.008	0.006	0.020	0.016
1,2,3,4,7,8-HxCDF	<0.005	<0.009	<0.003	<0.003	<0.006	<0.004	<0.004	<0.005	<0.006	<0.004	<0.008	0.012	0.030	0.008	0.006	0.016	0.012
1,2,3,6,7,8-HxCDF	<0.005	<0.009	<0.003	<0.003	<0.006	<0.004	<0.004	<0.005	<0.006	<0.004	<0.008	0.006	0.022	0.005	0.002	0.006	0.005
2,3,4,6,7,8-HxCDF	<0.005	<0.009	<0.003	<0.003	<0.006	<0.004	<0.004	<0.005	<0.006	<0.004	<0.008	0.008	0.024	0.005	0.003	0.007	0.009
1,2,3,7,8,9-HxCDF	<0.005	<0.009	<0.003	<0.003	<0.006	<0.004	<0.004	<0.005	<0.006	<0.004	<0.008	<0.002	0.019	<0.004	<0.002	<0.004	<0.003
1,2,3,4,6,7,8-HpCDF	0.011	<0.009	0.005	<0.007	0.006	0.010	0.008	<0.008	0.008	0.006	<0.012	0.030	0.054	0.022	0.014	0.032	0.032
1,2,3,4,7,8,9-HpCDF	<0.010	<0.009	<0.004	<0.007	<0.004	<0.004	<0.005	<0.008	<0.008	<0.004	<0.012	0.008	0.036	<0.006	<0.002	0.007	<0.007
OCDF	0.023	<0.013	<0.009	<0.007	0.013	<0.007	0.010	<0.011	<0.021	0.008	<0.039	0.028	0.098	0.023	0.012	0.028	0.036
PCDD/F Homologues																	
TCDDs	<0.007	<0.009	<0.004	<0.007	<0.004	<0.007	<0.007	<0.008	<0.006	<0.004	<0.008	0.024	0.033	<0.004	0.006	0.004	0.018
PeCDDs	<0.007	<0.009	<0.006	<0.007	<0.010	<0.007	<0.004	<0.005	<0.006	<0.004	<0.008	0.010	0.059	<0.008	0.019	0.030	0.033
HxCDDs	<0.010	<0.009	<0.010	0.005	<0.007	0.011	0.011	<0.008	<0.006	<0.009	<0.016	0.020	0.108	0.035	0.057	0.061	0.119
HpCDDs	0.096	0.034	0.043	0.054	0.039	0.039	0.037	0.020	0.030	0.054	<0.016	0.080	0.152	0.108	0.144	0.175	0.375
OCDD	0.069	0.044	0.040	0.045	0.045	0.033	0.039	0.056	0.068	0.151	0.122	0.119	0.252	0.177	0.157	0.278	0.622
TCDFs	<0.005	<0.005	0.007	0.006	<0.006	0.018	0.006	<0.005	<0.006	0.006	<0.004	0.102	0.072	0.071	0.032	0.117	0.134
PeCDFs	<0.005	<0.009	<0.004	<0.005	0.006	0.028	0.015	<0.005	<0.006	<0.004	0.007	0.021	0.078	0.027	0.017	0.051	0.040
HxCDFs	<0.005	<0.009	<0.003	<0.003	<0.006	0.026	0.013	<0.005	<0.006	<0.004	<0.008	0.056	0.139	0.031	0.025	0.059	0.058
HpCDFs	0.011	<0.009	0.005	<0.007	0.006	0.015	0.008	<0.008	0.008	0.006	<0.012	0.046	0.105	0.033	0.021	0.060	0.057
OCDF	0.023	<0.013	<0.009	<0.007	0.013	<0.007	0.010	<0.011	<0.021	0.008	<0.039	0.028	0.098	0.023	0.012	0.028	0.036
Total																	
∑ PCDDs	0.165	0.078	0.082	0.104	0.084	0.083	0.087	0.075	0.098	0.206	0.122	0.254	0.604	0.319	0.383	0.548	1.166
∑ PCDFs	0.034	0.000	0.012	0.006	0.024	0.088	0.052	0.000	0.008	0.020	0.007	0.252	0.493	0.185	0.107	0.314	0.325
∑ PCDD/Fs	0.199	0.078	0.094	0.110	0.109	0.171	0.139	0.075	0.106	0.225	0.129	0.506	1.097	0.504	0.490	0.862	1.491
∑ TEQ (PCDD/Fs)	0.022	0.028	0.017	0.021	0.024	0.024	0.017	0.020	0.019	0.015	0.027	0.021	0.053	0.023	0.014	0.029	0.024

Cuadro A8. Concentraciones atmosféricas de DDPC/DFPC (pg m⁻³) en sitios rurales de la NAPS en 1996 (cont.)

Station Name	Simcoe					St. Andrews										
Sampling Period	1	2	3	4	5	1	2	3	4	5	6	7	8	9	10	11
Sampling Date	8/31/96	9/24/96	10/18/96	11/11/96	12/5/96	4/9/96	5/25/96	6/20/96	7/14/96	8/5/96	8/30/96	9/24/96	10/18/96	11/11/96	12/5/96	12/29/96
Sampling Volume (m3)	926	1024	957	856	929	964	907	882	897	891	1076	1002	905	934	873	671
PCDD/F Congeners																
2,3,7,8-TCDD	<0.002	<0.004	<0.008	<0.002	<0.002	<0.004	<0.002	<0.005	<0.004	<0.004	<0.002	0.002	<0.004	<0.003	<0.005	<0.003
1,2,3,7,8-PeCDD	<0.004	<0.008	<0.008	<0.009	0.021	<0.003	<0.006	<0.007	0.010	<0.005	<0.004	<0.006	<0.004	<0.004	<0.007	<0.006
1,2,3,4,7,8-HxCDD	<0.006	0.011	<0.008	<0.009	0.019	<0.004	<0.004	<0.007	<0.008	<0.004	<0.006	<0.006	<0.004	<0.004	<0.006	<0.009
1,2,3,6,7,8-HxCDD	<0.006	0.008	0.011	<0.009	0.043	<0.004	<0.004	<0.007	<0.008	<0.004	<0.006	<0.006	<0.004	<0.004	<0.006	<0.009
1,2,3,7,8,9-HxCDD	<0.006	0.016	<0.008	<0.009	0.066	<0.004	<0.004	<0.007	0.008	<0.004	<0.006	<0.006	<0.004	<0.004	<0.006	<0.009
1,2,3,4,6,7,8-HpCDD	0.021	0.063	0.107	0.070	0.485	0.015	0.015	0.095	0.017	0.014	0.012	0.013	0.017	0.024	0.023	0.027
OCDD	0.065	0.145	0.361	0.247	0.989	0.047	0.053	1.059	0.048	0.044	0.026	0.032	0.031	0.079	0.054	0.103
2,3,7,8-TCDF	0.014	0.013	0.026	0.021	0.033	0.007	0.004	<0.005	0.007	0.005	0.003	0.006	<0.004	0.004	0.011	0.008
1,2,3,7,8-PeCDF	<0.002	0.006	<0.006	0.004	0.007	<0.003	<0.003	<0.005	0.009	<0.005	<0.004	0.002	<0.004	<0.003	0.002	<0.003
2,3,4,7,8-PeCDF	<0.002	0.006	<0.006	0.013	0.013	0.007	0.012	<0.005	0.010	<0.005	<0.004	<0.002	<0.004	0.005	0.010	<0.003
1,2,3,4,7,8-HxCDF	0.011	0.022	0.016	0.021	0.020	<0.002	<0.003	0.005	0.007	<0.004	<0.004	0.006	<0.004	0.003	0.010	0.004
1,2,3,6,7,8-HxCDF	0.006	0.009	<0.006	0.007	0.009	<0.002	<0.003	<0.005	0.006	<0.004	<0.004	0.002	<0.004	<0.002	0.005	<0.003
2,3,4,6,7,8-HxCDF	<0.004	0.012	0.007	0.007	0.011	<0.002	<0.003	<0.005	0.008	<0.004	<0.004	0.004	<0.004	<0.002	0.006	<0.003
1,2,3,7,8,9-HxCDF	<0.004	0.005	<0.006	<0.005	<0.004	<0.002	<0.003	<0.005	0.009	<0.004	<0.004	<0.002	<0.004	<0.002	<0.003	<0.003
1,2,3,4,6,7,8-HpCDF	0.013	0.042	0.049	0.026	0.043	0.005	0.005	0.019	0.008	<0.006	0.004	0.013	0.006	0.009	0.025	0.011
1,2,3,4,7,8,9-HpCDF	<0.006	0.018	<0.011	<0.007	<0.005	<0.003	<0.003	<0.005	0.008	<0.006	<0.004	<0.006	<0.006	<0.004	0.006	<0.003
OCDF	<0.013	0.047	0.059	0.020	0.031	<0.004	<0.007	0.034	0.019	<0.009	<0.006	0.012	<0.011	0.010	0.022	0.011
PCDD/F Homologues																
TCDDs	0.012	0.019	<0.008	<0.002	0.033	<0.004	<0.002	<0.005	<0.004	<0.004	<0.002	0.018	<0.004	<0.003	0.006	<0.003
PeCDDs	0.009	0.029	<0.008	<0.009	0.189	0.003	<0.006	<0.007	0.010	<0.005	<0.004	0.008	<0.004	<0.004	0.007	<0.006
HxCDDs	0.032	0.071	0.024	0.051	0.510	0.012	0.008	<0.007	0.008	<0.004	<0.006	<0.006	0.009	0.011	0.028	0.009
HpCDDs	0.046	0.124	0.221	0.131	1.001	0.028	0.032	0.182	0.023	0.033	0.018	0.026	0.027	0.053	0.052	0.058
OCDD	0.065	0.145	0.361	0.247	0.989	0.047	0.053	1.059	0.048	0.044	0.026	0.032	0.031	0.079	0.054	0.103
TCDFs	0.053	0.082	0.044	0.102	0.239	0.011	0.004	<0.005	0.009	0.008	0.007	0.021	<0.004	0.008	0.055	0.029
PeCDFs	0.049	0.030	0.042	0.073	0.102	0.005	<0.003	<0.005	0.012	<0.005	<0.004	0.006	<0.004	0.004	0.030	0.007
HxCDFs	0.058	0.088	0.050	0.060	0.116	0.003	<0.003	<0.005	0.024	0.004	<0.004	0.021	<0.004	0.006	0.027	0.009
HpCDFs	0.013	0.089	0.081	0.044	0.107	0.005	0.005	0.045	0.016	<0.006	0.004	0.013	0.006	0.009	0.041	0.016
OCDF	<0.013	0.047	0.059	0.020	0.031	<0.004	<0.007	0.034	0.019	<0.009	<0.006	0.012	<0.011	0.010	0.022	0.011
Total																
∑ PCDDs	0.164	0.388	0.606	0.429	2.722	0.090	0.093	1.241	0.089	0.077	0.044	0.084	0.067	0.142	0.147	0.170
∑ PCDFs	0.173	0.335	0.276	0.299	0.596	0.024	0.009	0.080	0.081	0.012	0.011	0.073	0.006	0.036	0.174	0.072
∑ PCDD/Fs	0.337	0.723	0.882	0.728	3.319	0.114	0.102	1.321	0.170	0.089	0.055	0.157	0.073	0.178	0.321	0.242
∑ TEQ (PCDD/Fs)	0.013	0.025	0.029	0.026	0.053	0.012	0.015	0.019	0.024	0.015	0.010	0.013	0.013	0.011	0.020	0.015

Cuadro A9. Concentraciones atmosféricas de DDPC/DFPC (pg m⁻³) en sitios rurales de la NAPS en 1997

Station Name	Kejimkujik													
Sampling Period	1	2	3	4	5	6	7	8	9	10	11	12	13	14
Sampling Date	1/22/97	2/15/97	3/11/97	4/16/97	5/10/97	6/3/97	7/9/97	8/2/97	8/26/97	9/19/97	10/13/97	11/6/97	11/30/97	12/24/97
Sampling Volume (m3)	451	676	644	575	625	622	543	593	634	603	703	746	693	764
PCDD/F Congeners														
2,3,7,8-TCDD	<0.009	<0.003	<0.003	<0.007	<0.010	<0.006	<0.004	<0.007	<0.006	<0.007	<0.004	<0.005	<0.003	<0.003
1,2,3,7,8-PeCDD	<0.009	<0.006	<0.006	<0.007	<0.010	<0.006	0.009	<0.007	<0.006	<0.010	<0.006	<0.005	0.008	0.004
1,2,3,4,7,8-HxCDD	<0.013	<0.009	<0.009	<0.010	<0.006	<0.008	<0.011	<0.010	<0.009	<0.010	<0.006	<0.008	0.010	<0.005
1,2,3,6,7,8-HxCDD	<0.013	<0.009	<0.009	<0.010	<0.006	<0.008	<0.011	<0.010	<0.009	<0.010	<0.006	<0.008	0.008	<0.005
1,2,3,7,8,9-HxCDD	<0.013	<0.009	<0.009	<0.010	<0.006	<0.008	<0.011	<0.010	<0.009	<0.010	<0.006	<0.008	0.008	<0.005
1,2,3,4,6,7,8-HpCDD	0.022	0.018	0.012	0.019	0.015	0.015	0.040	0.017	<0.009	<0.017	0.012	0.016	0.018	0.007
OCDD	0.105	0.044	0.034	0.108	0.051	0.053	0.413	0.058	0.020	0.026	0.035	0.040	0.064	0.021
2,3,7,8-TCDF	<0.004	<0.003	<0.004	<0.005	<0.006	<0.006	<0.004	<0.003	<0.003	<0.003	0.003	0.004	0.008	0.007
1,2,3,7,8-PeCDF	<0.009	<0.005	<0.004	<0.003	<0.006	<0.003	<0.007	<0.003	<0.003	<0.005	<0.003	<0.004	0.004	0.003
2,3,4,7,8-PeCDF	<0.009	<0.005	<0.004	<0.003	<0.006	<0.003	<0.007	<0.003	<0.003	<0.005	<0.003	<0.004	0.004	0.003
1,2,3,4,7,8-HxCDF	<0.009	<0.003	<0.006	0.003	<0.004	<0.006	<0.007	<0.007	<0.003	<0.003	<0.006	0.005	0.009	0.004
1,2,3,6,7,8-HxCDF	<0.009	<0.003	<0.006	<0.003	<0.004	<0.006	<0.007	<0.007	<0.003	<0.003	<0.006	0.003	0.006	0.003
2,3,4,6,7,8-HxCDF	<0.009	<0.003	<0.006	<0.003	<0.004	<0.006	<0.007	<0.007	<0.003	<0.003	<0.006	<0.003	0.007	<0.003
1,2,3,7,8,9-HxCDF	<0.009	<0.003	<0.006	<0.003	<0.004	<0.006	<0.007	<0.007	<0.003	<0.003	<0.006	<0.003	0.010	<0.003
1,2,3,4,6,7,8-HpCDF	<0.013	<0.006	<0.006	<0.007	<0.010	<0.006	0.015	0.011	0.006	<0.010	0.008	0.013	0.012	0.008
1,2,3,4,7,8,9-HpCDF	<0.013	<0.006	<0.006	<0.007	<0.010	<0.006	<0.011	<0.010	<0.006	<0.010	<0.008	0.005	0.018	<0.005
OCDF	<0.044	<0.024	<0.009	0.008	0.022	<0.013	<0.022	0.016	<0.009	<0.013	0.009	0.012	0.031	0.007
PCDD/F Homologues														
TCDDs	<0.009	<0.003	<0.003	<0.007	<0.010	<0.006	<0.004	<0.007	<0.006	<0.007	<0.004	<0.005	<0.003	<0.003
PeCDDs	<0.009	<0.006	<0.006	<0.007	<0.010	<0.006	0.009	<0.007	<0.006	<0.010	<0.006	<0.005	0.008	0.004
HxCDDs	<0.013	<0.009	<0.009	<0.010	<0.006	<0.008	<0.011	<0.010	<0.009	<0.010	<0.006	<0.008	0.025	<0.005
HpCDDs	<0.018	<0.012	0.012	0.045	0.024	0.015	0.077	0.028	<0.009	<0.017	0.020	0.031	0.031	0.012
OCDD	0.105	0.044	0.034	0.108	0.051	0.053	0.413	0.058	0.020	0.026	0.035	0.040	0.064	0.021
TCDFs	<0.004	<0.003	<0.004	<0.005	<0.006	<0.006	<0.004	<0.003	<0.003	0.005	0.003	0.004	0.013	0.023
PeCDFs	<0.009	<0.005	<0.004	<0.003	<0.006	<0.003	<0.007	0.007	<0.003	<0.005	0.004	<0.004	0.008	0.013
HxCDFs	<0.009	0.004	<0.006	0.003	<0.004	<0.006	0.032	0.022	0.005	0.018	<0.006	0.013	0.036	0.013
HpCDFs	<0.013	<0.006	<0.006	<0.007	<0.010	<0.006	0.015	0.011	0.006	<0.010	0.008	0.018	0.030	0.008
OCDF	<0.044	<0.024	<0.009	0.008	0.022	<0.013	<0.022	0.016	<0.009	<0.013	0.009	0.012	0.031	0.007
Total														
∑ PCDDs	0.105	0.044	0.046	0.152	0.076	0.067	0.499	0.086	0.020	0.026	0.056	0.071	0.127	0.038
∑ PCDFs	0.000	0.004	0.000	0.012	0.022	0.000	0.046	0.057	0.011	0.023	0.024	0.047	0.118	0.063
∑ PCDD/Fs	0.105	0.049	0.046	0.164	0.098	0.067	0.545	0.143	0.031	0.049	0.080	0.118	0.245	0.101
∑ TEQ (PCDD/Fs)	0.029	0.015	0.017	0.020	0.026	0.020	0.023	0.021	0.017	0.024	0.016	0.016	0.019	0.012

Cuadro A9. Concentraciones atmosféricas de DDPC/DFPC (pg m⁻³) en sitios rurales de la NAPS en 1997 (cont.)

Station Name	Point Petre												
Sampling Period	1	2	3	4	5	6	7	8	9	10	11	12	13
Sampling Date	2/15/97	3/11/97	4/4/97	4/28/97	5/22/97	5/22/97	8/2/97	8/26/97	9/19/97	10/13/97	11/3/97	11/30/97	12/24/97
Sampling Volume (m3)	899	1004	959	892	1031	947	910	1007	889	882	1	959	968
PCDD/F Congeners													
2,3,7,8-TCDD	<0.004	<0.004	0.005	<0.004	<0.006	<0.004	<0.003	<0.002	<0.002	<0.003	<0.003	<0.004	<0.003
1,2,3,7,8-PeCDD	0.007	<0.006	0.038	0.009	0.005	<0.004	0.009	<0.006	<0.005	0.006	<0.004	<0.008	0.007
1,2,3,4,7,8-HxCDD	0.006	<0.006	0.041	<0.007	<0.006	<0.003	<0.007	<0.004	<0.007	<0.006	<0.006	<0.01	0.005
1,2,3,6,7,8-HxCDD	0.009	<0.006	0.068	<0.007	<0.006	0.003	0.015	<0.004	<0.007	0.006	<0.006	<0.01	0.012
1,2,3,7,8,9-HxCDD	0.016	<0.006	0.115	0.007	<0.006	0.004	0.012	<0.004	<0.007	<0.006	0.008	<0.01	0.022
1,2,3,4,6,7,8-HpCDD	0.091	0.033	0.648	0.043	0.015	0.033	0.213	0.027	0.052	0.078	0.022	0.114	0.177
OCDD	0.338	0.092	1.325	0.105	0.046	0.117	0.613	0.076	0.157	0.288	0.042	0.277	0.529
2,3,7,8-TCDF	0.036	0.007	0.231	0.009	0.003	0.003	0.026	0.015	0.034	0.027	0.011	0.027	0.014
1,2,3,7,8-PeCDF	0.009	<0.004	0.080	0.005	<0.003	<0.002	<0.005	<0.002	0.007	<0.003	<0.003	<0.004	<0.003
2,3,4,7,8-PeCDF	0.013	<0.004	0.078	0.005	<0.003	<0.002	0.008	<0.002	0.011	0.009	<0.003	0.010	0.005
1,2,3,4,7,8-HxCDF	0.023	0.006	0.048	0.004	<0.004	0.004	0.023	0.014	0.018	0.020	0.008	0.023	0.013
1,2,3,6,7,8-HxCDF	0.010	<0.003	0.028	0.004	<0.004	<0.004	0.009	0.006	0.009	0.009	0.005	0.011	0.005
2,3,4,6,7,8-HxCDF	0.015	<0.003	0.024	0.005	<0.004	<0.004	0.011	0.006	0.014	0.010	0.006	0.009	0.008
1,2,3,7,8,9-HxCDF	<0.007	<0.003	<0.003	0.003	<0.004	<0.004	<0.005	<0.006	<0.005	<0.005	<0.004	<0.006	<0.004
1,2,3,4,6,7,8-HpCDF	0.042	0.010	0.045	0.013	<0.004	<0.004	0.044	0.024	0.029	0.035	0.014	0.047	0.026
1,2,3,4,7,8,9-HpCDF	0.009	<0.006	0.007	0.008	<0.004	<0.004	<0.009	0.007	<0.005	<0.005	0.008	<0.006	<0.005
OCDF	0.053	<0.024	0.030	0.025	0.007	0.006	0.038	0.024	0.023	0.033	0.026	0.026	0.018
PCDD/F Homologues													
TCDDs	0.031	<0.004	0.042	<0.004	<0.006	<0.004	0.006	<0.002	0.009	0.020	<0.003	0.027	0.017
PeCDDs	0.067	<0.006	0.211	<0.007	0.005	<0.004	0.050	0.010	0.031	0.020	<0.004	0.043	0.048
HxCDDs	0.106	0.010	0.651	0.022	<0.006	0.022	0.165	0.024	0.065	0.067	0.024	0.143	0.165
HpCDDs	0.209	0.077	1.294	0.086	0.023	0.071	0.418	0.051	0.101	0.159	0.022	0.234	0.357
OCDD	0.338	0.092	1.325	0.105	0.046	0.117	0.613	0.076	0.157	0.288	0.042	0.277	0.529
TCDFs	0.243	0.032	1.271	0.039	0.011	0.022	0.129	0.067	0.207	0.134	0.020	0.060	0.040
PeCDFs	0.127	0.012	0.664	0.024	<0.003	<0.002	0.051	0.025	0.096	0.063	0.006	0.058	0.043
HxCDFs	0.107	0.010	0.200	0.028	<0.004	0.010	0.096	0.050	0.078	0.084	0.025	0.084	0.091
HpCDFs	0.125	0.010	0.083	0.013	<0.004	<0.004	0.051	0.032	0.038	0.055	0.022	0.051	0.044
OCDF	0.053	<0.024	0.030	0.025	0.007	0.006	0.038	0.024	0.023	0.033	0.026	0.026	0.018
Total													
∑ PCDDs	0.751	0.178	3.523	0.213	0.074	0.209	1.251	0.161	0.363	0.554	0.088	0.724	1.116
∑ PCDFs	0.655	0.064	2.249	0.130	0.018	0.038	0.365	0.197	0.443	0.369	0.099	0.280	0.237
∑ PCDD/Fs	1.406	0.242	5.771	0.343	0.092	0.248	1.616	0.358	0.806	0.923	0.187	1.004	1.353
∑ TEQ (PCDD/Fs)	0.029	0.016	0.133	0.020	0.015	0.013	0.028	0.015	0.022	0.022	0.014	0.027	0.022

Cuadro A9. Concentraciones atmosféricas de DDPC/DFPC (pg m⁻³) en sitios rurales de la NAPS en 1997 (cont.)

Station Name	Simcoe													St. Andrews							
	1	2	3	4	5	6	7	8	9	10	11	12	13	1	2	3	4	5	6	7	8
Sampling Period	1/22/97	2/15/97	3/11/97	4/16/97	5/10/97	6/3/97	8/2/97	8/26/97	9/19/97	10/13/97	11/6/97	11/30/97	12/24/97	1/3/97	2/15/97	3/11/97	5/10/97	6/3/97	7/9/97	8/26/97	12/24/97
Sampling Date	963	990	1041	1029	983	983	940	1011	1020	1073	1102	1100	1115	1009	993	1018	1013	1004	941	906	1083
Sampling Volume (m3)																					
PCDD/F Congeners																					
2,3,7,8-TCDD	<0.002	<0.004	<0.003	<0.002	<0.003	<0.003	<0.003	<0.004	<0.002	<0.002	<0.003	<0.004	<0.002	<0.003	<0.004	<0.004	<0.004	<0.008	<0.021	<0.002	<0.002
1,2,3,7,8-PeCDD	<0.004	<0.004	<0.006	0.010	<0.004	<0.004	0.005	<0.006	0.007	<0.006	0.011	0.008	0.012	<0.004	<0.006	<0.004	0.004	<0.010	<0.013	<0.003	0.007
1,2,3,4,7,8-HxCDD	<0.006	0.006	<0.006	0.009	<0.003	<0.004	<0.004	<0.004	<0.006	0.011	0.016	0.012	0.013	<0.006	<0.008	<0.004	0.004	<0.010	<0.013	<0.004	<0.006
1,2,3,6,7,8-HxCDD	<0.006	0.013	<0.006	0.015	<0.003	0.006	<0.004	<0.004	0.014	0.015	0.024	0.017	0.020	<0.006	<0.008	<0.004	0.006	<0.010	<0.013	<0.004	<0.006
1,2,3,7,8,9-HxCDD	<0.006	0.011	<0.006	0.033	<0.003	0.009	0.009	<0.004	0.020	0.029	0.042	0.034	0.046	<0.006	<0.008	<0.004	0.006	<0.010	<0.013	<0.004	<0.006
1,2,3,4,6,7,8-HpCDD	0.106	0.181	0.055	0.234	0.047	0.063	0.071	0.063	0.111	0.167	0.216	0.173	0.189	0.038	<0.012	0.015	0.058	0.008	0.014	0.008	0.025
OCDD	0.337	0.515	0.136	0.816	0.109	0.162	0.298	0.203	0.295	0.536	0.531	0.398	0.409	0.128	<0.016	0.042	0.192	0.039	0.093	0.031	0.115
2,3,7,8-TCDF	0.030	0.021	0.011	0.025	0.007	0.014	0.014	0.003	0.036	0.035	0.050	0.034	0.039	0.024	<0.004	0.004	0.010	<0.008	<0.009	0.011	0.008
1,2,3,7,8-PeCDF	0.006	0.004	0.003	0.006	<0.002	<0.003	<0.002	<0.004	0.008	0.007	0.013	0.006	0.011	0.009	<0.004	0.002	0.002	<0.004	<0.004	0.002	0.003
2,3,4,7,8-PeCDF	0.009	0.008	0.004	0.011	<0.002	0.004	0.005	<0.004	0.015	0.014	0.025	0.016	0.017	0.017	<0.004	0.002	0.004	<0.004	<0.004	0.003	0.003
1,2,3,4,7,8-HxCDF	0.032	0.015	0.017	0.023	0.006	0.008	0.009	0.009	0.038	0.033	0.073	0.032	0.046	0.034	<0.008	0.004	0.007	<0.008	<0.006	0.004	0.008
1,2,3,6,7,8-HxCDF	0.008	0.008	0.005	0.012	<0.002	0.003	0.005	<0.004	0.014	0.015	0.028	0.014	0.017	0.019	<0.008	0.003	0.003	<0.008	<0.006	0.002	0.003
2,3,4,6,7,8-HxCDF	0.016	0.010	0.007	0.018	0.003	0.005	0.006	0.005	0.022	0.020	0.039	0.021	0.031	0.018	<0.008	0.003	0.004	<0.008	<0.006	0.002	0.005
1,2,3,7,8,9-HxCDF	<0.004	<0.004	<0.004	0.003	<0.002	<0.003	<0.004	<0.004	<0.004	<0.004	<0.005	<0.004	<0.005	<0.004	<0.008	0.003	<0.003	<0.008	<0.006	<0.002	<0.003
1,2,3,4,6,7,8-HpCDF	0.062	0.042	0.021	0.060	0.012	0.017	0.025	0.034	0.027	0.059	0.132	0.055	0.073	0.063	<0.012	0.007	0.011	<0.008	<0.009	0.007	0.013
1,2,3,4,7,8,9-HpCDF	0.012	<0.008	<0.008	0.011	<0.003	<0.004	0.004	0.006	0.028	0.010	0.017	0.008	0.017	0.013	<0.012	<0.003	<0.004	<0.008	<0.009	<0.004	<0.005
OCDF	0.064	0.050	<0.015	0.053	0.010	0.015	0.023	0.029	0.039	0.045	0.108	0.038	0.050	0.047	<0.016	0.013	0.005	<0.008	0.037	<0.006	0.014
PCDD/F Homologues																					
TCDDs	0.027	0.058	0.009	0.032	0.009	<0.003	<0.003	<0.004	0.027	0.020	0.045	0.033	0.037	0.019	<0.004	<0.004	<0.004	<0.008	<0.021	0.003	0.004
PeCDDs	0.017	0.013	<0.006	0.046	<0.004	0.037	0.042	0.029	0.103	0.066	0.136	0.089	0.099	0.012	<0.006	<0.004	0.009	<0.010	0.037	<0.003	0.007
HxCDDs	0.108	0.103	0.053	0.226	0.028	0.052	0.045	0.022	0.171	0.228	0.322	0.244	0.286	0.033	<0.008	<0.004	0.058	<0.010	<0.013	0.013	0.024
HpCDDs	0.239	0.338	0.109	0.558	0.096	0.138	0.150	0.130	0.243	0.368	0.477	0.373	0.401	0.097	<0.012	0.025	0.139	0.012	0.024	0.018	0.055
OCDD	0.337	0.515	0.136	0.816	0.109	0.162	0.298	0.203	0.295	0.536	0.531	0.398	0.409	0.128	<0.016	0.042	0.192	0.039	0.093	0.031	0.115
TCDFs	0.181	0.103	0.070	0.179	0.037	0.100	0.160	0.006	0.192	0.226	0.281	0.177	0.187	0.175	<0.004	0.009	0.047	<0.008	<0.009	0.074	0.050
PeCDFs	0.099	0.018	0.030	0.121	0.019	0.040	0.083	0.006	0.137	0.141	0.224	0.127	0.166	0.171	<0.004	0.006	0.016	0.006	<0.004	0.019	0.030
HxCDFs	0.079	0.063	0.047	0.115	0.021	0.039	0.063	0.027	0.149	0.122	0.267	0.122	0.149	0.149	<0.008	0.017	0.023	<0.008	<0.006	0.011	0.033
HpCDFs	0.105	0.052	0.021	0.095	0.017	0.024	0.049	0.060	0.062	0.094	0.204	0.082	0.125	0.107	<0.012	0.010	0.011	<0.008	<0.009	0.007	0.025
OCDF	0.064	0.050	<0.015	0.053	0.010	0.015	0.023	0.029	0.039	0.045	0.108	0.038	0.050	0.047	<0.016	0.013	0.005	<0.008	0.037	<0.006	0.014
Total																					
∑ PCDDs	0.729	1.028	0.307	1.678	0.242	0.389	0.535	0.383	0.839	1.219	1.510	1.136	1.231	0.288	0.000	0.067	0.399	0.051	0.154	0.065	0.205
∑ PCDFs	0.529	0.284	0.168	0.563	0.103	0.218	0.377	0.126	0.579	0.629	1.083	0.546	0.676	0.648	0.000	0.056	0.102	0.006	0.037	0.110	0.153
∑ PCDD/Fs	1.258	1.312	0.475	2.240	0.345	0.607	0.912	0.509	1.418	1.848	2.593	1.682	1.907	0.936	0.000	0.123	0.501	0.057	0.191	0.175	0.358
∑ TEQ (PCDD/Fs)	0.022	0.022	0.017	0.033	0.012	0.014	0.016	0.016	0.031	0.031	0.053	0.036	0.044	0.025	0.018	0.012	0.014	0.026	0.043	0.009	0.015

Cuadro A10. Concentraciones atmosféricas de DDPC/DFPC (pg m⁻³) en sitios rurales de la NAPS en 1998

Station Name	Kejimkujik												Egbert					
Sampling Period	1	2	3	4	5	6	7	8	9	10	11	12	1	2	3	4	5	6
Sampling Date	2/10/98	3/18/98	4/11/98	5/5/98	7/4/98	7/28/98	8/21/98	9/14/98	10/8/98	11/1/98	11/25/98	12/19/98	8/21/98	9/14/98	10/8/98	11/1/98	11/25/98	12/19/98
Sampling Volume (m3)	751	773	773	755	728	730	771	758	721	760	745	757	802	920	836	1124	917	944
PCDD/F Congeners																		
2,3,7,8-TCDD	<0.005	<0.003	<0.005	<0.003	<0.005	<0.005	<0.005	<0.005	<0.008	<0.005	<0.005	<0.008	<0.005	<0.007	<0.005	<0.004	<0.002	<0.002
1,2,3,7,8-PeCDD	<0.011	<0.005	<0.013	<0.005	<0.011	0.007	<0.008	<0.011	<0.008	<0.008	<0.008	<0.016	<0.007	<0.007	0.007	<0.005	0.003	0.003
1,2,3,4,7,8-HxCDD	<0.008	<0.005	<0.012	<0.005	<0.014	<0.003	<0.010	<0.011	<0.011	<0.011	<0.008	<0.016	<0.007	0.005	0.011	<0.005	0.002	0.003
1,2,3,6,7,8-HxCDD	<0.008	<0.005	<0.012	<0.005	<0.014	0.003	<0.010	<0.011	<0.011	<0.011	<0.008	<0.016	<0.007	0.009	0.011	<0.005	0.005	0.008
1,2,3,7,8,9-HxCDD	<0.008	<0.005	<0.012	<0.005	<0.014	<0.003	<0.010	<0.011	<0.011	<0.011	<0.008	<0.016	<0.007	0.007	0.018	<0.005	0.014	0.015
1,2,3,4,6,7,8-HpCDD	0.027	0.022	0.026	0.008	0.011	0.011	<0.008	<0.011	<0.011	0.009	<0.005	0.028	0.072	0.093	0.081	0.065	0.065	0.084
OCDD	0.089	0.070	0.097	0.016	0.060	0.027	0.059	0.030	0.035	0.033	0.036	0.114	0.263	0.243	0.266	0.215	0.178	0.259
2,3,7,8-TCDF	0.007	0.005	0.009	0.004	<0.005	0.004	<0.005	<0.003	<0.006	<0.005	<0.005	<0.005	0.012	0.016	0.009	0.021	0.011	0.006
1,2,3,7,8-PeCDF	0.007	<0.004	<0.008	<0.003	<0.005	<0.004	<0.005	<0.004	<0.006	<0.005	<0.003	<0.007	<0.002	<0.004	0.007	<0.004	<0.002	<0.002
2,3,4,7,8-PeCDF	<0.005	<0.004	<0.008	<0.003	<0.005	<0.004	<0.005	<0.004	<0.006	<0.005	<0.003	<0.007	<0.002	0.007	0.007	<0.004	0.004	0.003
1,2,3,4,7,8-HxCDF	0.008	0.006	0.007	<0.003	<0.007	<0.004	<0.008	<0.008	<0.006	<0.008	<0.005	<0.011	0.006	0.014	0.011	0.006	0.011	0.006
1,2,3,6,7,8-HxCDF	0.007	0.003	0.005	<0.003	<0.007	<0.004	<0.008	<0.008	<0.006	<0.008	<0.005	<0.011	<0.006	0.007	0.010	0.003	0.004	0.003
2,3,4,6,7,8-HxCDF	0.008	0.005	<0.005	<0.003	0.007	<0.004	<0.008	<0.008	<0.006	<0.008	<0.005	<0.011	<0.006	0.007	0.012	0.004	0.006	0.003
1,2,3,7,8,9-HxCDF	0.011	<0.003	<0.005	<0.003	0.007	<0.004	<0.008	<0.008	<0.006	<0.008	<0.005	<0.011	<0.006	<0.004	0.009	<0.003	<0.002	<0.002
1,2,3,4,6,7,8-HpCDF	0.022	0.014	0.017	0.006	<0.011	0.009	<0.010	<0.008	<0.008	<0.005	<0.008	<0.013	0.015	0.030	0.024	0.013	0.024	0.013
1,2,3,4,7,8,9-HpCDF	0.015	0.013	<0.016	<0.005	<0.011	<0.004	<0.010	<0.008	<0.008	<0.005	<0.008	<0.013	<0.010	<0.009	0.018	<0.004	0.004	<0.004
OCDF	0.054	0.021	<0.016	<0.011	0.023	<0.007	<0.010	<0.008	<0.011	<0.008	<0.008	<0.013	0.016	0.020	0.050	0.015	0.037	0.015
PCDD/F Homologues																		
TCDDs	<0.005	<0.003	<0.005	<0.003	<0.005	<0.005	<0.005	<0.005	<0.008	<0.005	<0.005	<0.008	<0.005	0.027	<0.005	0.022	0.014	0.010
PeCDDs	<0.011	<0.005	<0.013	<0.005	<0.011	0.007	<0.008	<0.011	<0.008	<0.008	<0.008	<0.016	<0.007	0.074	0.015	0.008	0.024	0.013
HxCDDs	0.012	0.011	0.012	<0.005	<0.014	0.008	<0.010	<0.011	<0.011	<0.011	<0.008	<0.016	0.019	0.114	0.105	0.037	0.079	0.096
HpCDDs	0.044	0.045	0.046	0.008	0.011	0.021	<0.008	<0.011	<0.011	0.009	<0.005	0.076	0.137	0.219	0.159	0.137	0.137	0.189
OCDD	0.089	0.070	0.097	0.016	0.060	0.027	0.059	0.030	0.035	0.033	0.036	0.114	0.263	0.243	0.266	0.215	0.178	0.259
TCDFs	0.007	0.008	0.009	0.010	<0.005	0.011	<0.005	<0.003	<0.006	<0.005	<0.005	<0.005	<0.050	0.110	0.015	0.399	0.073	0.037
PeCDFs	0.007	0.005	<0.008	0.006	<0.005	0.021	<0.005	<0.004	<0.006	<0.005	<0.003	<0.007	0.029	0.062	0.028	0.047	0.047	0.011
HxCDFs	0.026	0.021	0.012	0.012	0.013	0.032	<0.008	<0.008	<0.006	<0.008	<0.005	<0.011	0.021	0.068	0.056	0.025	0.045	0.019
HpCDFs	0.038	0.026	0.017	0.006	<0.011	0.015	<0.010	<0.008	<0.008	<0.005	<0.008	<0.013	0.015	0.043	0.042	0.022	0.042	0.022
OCDF	0.054	0.021	<0.016	<0.011	0.023	<0.007	<0.010	<0.008	<0.011	<0.008	<0.008	<0.013	0.016	0.020	0.050	0.015	0.037	0.015
Total																		
∑ PCDDs	0.145	0.126	0.155	0.024	0.071	0.064	0.059	0.030	0.035	0.042	0.036	0.190	0.419	0.676	0.545	0.419	0.432	0.567
∑ PCDFs	0.131	0.081	0.038	0.033	0.036	0.079	0.000	0.000	0.000	0.000	0.000	0.000	0.132	0.303	0.190	0.508	0.244	0.104
∑ PCDD/Fs	0.276	0.207	0.193	0.057	0.107	0.143	0.059	0.030	0.035	0.042	0.036	0.190	0.551	0.979	0.735	0.927	0.676	0.671
∑ TEQ (PCDD/Fs)	0.025	0.014	0.028	0.012	0.026	0.016	0.022	0.024	0.025	0.022	0.019	0.037	0.019	0.025	0.025	0.016	0.013	0.012

Cuadro A10. Concentraciones atmosféricas de DDPC/DFPC (pg m⁻³) en sitios rurales de la NAPS en 1998 (con.)

Station Name	Point Petre												
Sampling Period	1	2	3	4	5	6	7	8	9	10	11	12	13
Sampling Date	1/17/98	2/10/98	3/6/98	3/30/98	4/23/98	5/17/98	6/10/98	7/28/98	8/21/98	9/14/98	10/8/98	11/25/98	12/19/98
Sampling Volume (m3)	954	930	987	937	960	913	884	896	849	953	928	1119	881
PCDD/F Congeners													
2,3,7,8-TCDD	<0.002	<0.004	<0.004	<0.006	<0.004	<0.002	<0.002	<0.003	<0.002	<0.002	<0.002	<0.002	<0.002
1,2,3,7,8-PeCDD	0.006	<0.006	<0.004	<0.006	0.011	<0.007	<0.007	<0.003	<0.008	<0.004	<0.003	0.006	<0.005
1,2,3,4,7,8-HxCDD	<0.006	0.009	<0.004	<0.006	0.020	0.005	<0.007	<0.003	<0.007	<0.004	<0.004	<0.005	0.002
1,2,3,6,7,8-HxCDD	0.008	0.012	<0.004	0.012	0.027	0.011	<0.007	<0.003	<0.007	<0.004	<0.004	0.007	<0.002
1,2,3,7,8,9-HxCDD	0.018	0.019	<0.004	0.020	0.035	0.014	<0.007	<0.003	<0.007	<0.004	<0.004	0.009	<0.002
1,2,3,4,6,7,8-HpCDD	0.102	0.122	0.036	0.112	0.257	0.114	0.049	0.015	0.019	0.053	<0.004	0.072	0.093
OCDD	0.313	0.328	0.064	0.243	0.560	0.344	0.222	0.083	0.074	0.217	0.131	0.203	0.291
2,3,7,8-TCDF	0.016	0.025	0.014	0.029	0.026	0.021	0.007	0.006	0.006	0.007	0.003	0.012	0.012
1,2,3,7,8-PeCDF	0.005	0.006	<0.004	<0.005	<0.006	0.004	<0.005	<0.003	<0.006	<0.004	<0.002	<0.003	0.002
2,3,4,7,8-PeCDF	0.007	0.013	<0.004	0.012	0.013	0.007	<0.005	<0.003	<0.006	<0.004	<0.002	0.004	<0.002
1,2,3,4,7,8-HxCDF	0.015	0.026	0.010	0.023	0.028	0.020	0.005	<0.003	<0.007	<0.004	<0.002	0.012	0.015
1,2,3,6,7,8-HxCDF	0.007	0.011	0.005	0.009	0.014	0.008	0.003	<0.003	<0.007	<0.004	<0.002	0.004	<0.002
2,3,4,6,7,8-HxCDF	0.009	0.016	<0.005	0.012	0.021	0.013	0.002	<0.003	<0.007	<0.004	<0.002	0.003	<0.002
1,2,3,7,8,9-HxCDF	<0.002	<0.004	<0.005	<0.006	<0.006	<0.005	<0.003	<0.003	<0.007	<0.004	<0.002	<0.002	<0.002
1,2,3,4,6,7,8-HpCDF	0.028	0.050	0.017	0.040	0.046	0.031	0.016	<0.006	0.015	0.018	0.004	0.023	0.030
1,2,3,4,7,8,9-HpCDF	<0.004	<0.006	<0.004	<0.009	0.014	<0.003	<0.005	<0.006	<0.006	<0.006	<0.002	<0.003	<0.005
OCDF	0.024	0.035	0.009	0.013	0.045	0.021	0.014	<0.004	0.017	0.016	0.008	0.018	0.030
PCDD/F Homologues													
TCDDs	0.010	0.019	<0.004	0.017	0.013	0.009	<0.002	<0.003	<0.002	0.005	0.021	0.020	0.005
PeCDDs	0.039	0.028	0.010	0.043	0.048	0.023	<0.007	<0.003	<0.008	<0.004	0.009	0.054	0.010
HxCDDs	0.122	0.171	0.057	0.140	0.293	0.112	0.028	<0.003	0.008	0.025	0.018	0.119	0.052
HpCDDs	0.227	0.265	0.074	0.197	0.512	0.239	0.107	0.035	0.037	0.113	0.074	0.160	0.207
OCDD	0.313	0.328	0.064	0.243	0.560	0.344	0.222	0.083	0.074	0.217	0.131	0.203	0.291
TCDFs	0.056	0.119	0.030	0.133	0.080	0.082	0.039	0.034	0.019	0.029	0.006	0.061	0.048
PeCDFs	0.047	0.078	0.013	0.079	0.055	0.068	0.011	0.010	0.010	0.016	0.005	0.018	0.024
HxCDFs	0.068	0.104	0.026	0.084	0.104	0.060	0.031	0.012	0.010	0.025	0.004	0.039	0.037
HpCDFs	0.050	0.073	0.017	0.054	0.083	0.043	0.016	<0.006	0.037	0.018	0.004	0.023	0.049
OCDF	0.024	0.035	0.009	0.013	0.045	0.021	0.014	<0.004	0.017	0.016	0.008	0.018	0.030
Total													
∑ PCDDs	0.711	0.810	0.205	0.640	1.427	0.727	0.356	0.118	0.119	0.360	0.253	0.556	0.564
∑ PCDFs	0.244	0.410	0.094	0.364	0.368	0.273	0.112	0.055	0.093	0.103	0.027	0.158	0.187
∑ PCDD/Fs	0.955	1.220	0.299	1.004	1.795	1.000	0.468	0.173	0.212	0.463	0.280	0.714	0.751
∑ TEQ (PCDD/Fs)	0.020	0.028	0.015	0.029	0.040	0.023	0.016	0.010	0.018	0.012	0.008	0.016	0.013

Cuadro A11. Concentraciones atmosféricas de DDPC/DFPC (pg m⁻³) en sitios rurales de la NAPS en 1999 (cont.)

Station Name	St. Andrews												
Sampling Period	1	2	3	4	5	6	7	8	9	10	11	12	13
Sampling Date	1/12/99	2/5/99	3/1/99	3/25/99	4/18/99	5/12/99	6/5/99	6/29/99	8/16/99	9/9/99	10/3/99	11/20/99	12/14/99
Sampling Volume (m3)	1064	1013	962	982	962	1002	976	926	895	853	961	990	965
PCDD/F Congeners													
2,3,7,8-TCDD	<0.004	<0.004	<0.004	<0.003	<0.002	<0.015	<0.004	<0.002	<0.009	<0.002	<0.002	<0.002	<0.002
1,2,3,7,8-PeCDD	<0.006	<0.004	<0.006	<0.002	<0.002	<0.009	<0.003	<0.002	<0.005	<0.005	<0.004	<0.002	<0.002
1,2,3,4,7,8-HxCDD	<0.008	<0.004	<0.005	<0.004	0.006	<0.008	<0.005	<0.004	<0.003	<0.005	<0.005	<0.004	<0.002
1,2,3,6,7,8-HxCDD	<0.008	<0.004	<0.005	<0.004	0.012	<0.008	<0.005	<0.004	<0.003	<0.005	<0.005	<0.004	<0.002
1,2,3,7,8,9-HxCDD	<0.008	<0.004	0.014	<0.004	0.019	<0.008	<0.005	<0.004	<0.003	<0.005	<0.005	<0.004	<0.002
1,2,3,4,6,7,8-HpCDD	0.045	0.022	0.031	0.009	0.153	0.030	0.011	<0.007	<0.005	<0.003	0.017	0.005	0.012
OCDD	0.096	0.066	0.055	0.026	0.359	0.058	0.036	0.023	0.031	0.023	0.057	0.028	0.050
2,3,7,8-TCDF	0.018	0.005	0.025	<0.003	0.003	<0.002	<0.004	<0.002	<0.005	<0.002	0.011	<0.002	0.003
1,2,3,7,8-PeCDF	0.006	<0.003	<0.003	<0.002	<0.002	<0.005	<0.003	<0.002	<0.002	<0.004	<0.003	<0.002	<0.002
2,3,4,7,8-PeCDF	0.008	<0.003	0.006	<0.002	<0.002	<0.005	<0.003	<0.002	<0.002	<0.004	0.003	<0.002	<0.002
1,2,3,4,7,8-HxCDF	0.014	0.006	0.015	<0.004	0.002	<0.008	<0.005	<0.004	<0.003	<0.003	0.009	<0.004	<0.002
1,2,3,6,7,8-HxCDF	0.007	<0.004	0.006	<0.004	<0.002	<0.008	<0.005	<0.004	<0.003	<0.003	0.003	<0.004	<0.002
2,3,4,6,7,8-HxCDF	0.005	<0.004	0.007	<0.004	<0.002	<0.008	<0.005	<0.004	<0.003	<0.003	0.004	<0.004	<0.002
1,2,3,7,8,9-HxCDF	<0.003	<0.004	<0.005	<0.004	<0.002	<0.008	<0.005	<0.004	<0.003	<0.003	<0.002	<0.004	<0.002
1,2,3,4,6,7,8-HpCDF	0.017	0.014	0.021	<0.008	0.011	<0.008	<0.005	<0.009	<0.010	<0.005	0.015	<0.008	0.006
1,2,3,4,7,8,9-HpCDF	<0.011	<0.008	<0.009	<0.008	<0.005	<0.008	<0.005	<0.009	<0.010	<0.005	<0.003	<0.008	<0.003
OCDF	0.012	0.018	<0.010	<0.008	0.016	<0.006	0.012	0.006	<0.005	<0.005	0.012	<0.004	<0.004
PCDD/F Homologues													
TCDDs	0.023	<0.004	0.047	<0.003	<0.002	<0.015	<0.004	<0.002	<0.009	<0.002	0.011	<0.002	<0.002
PeCDDs	0.020	<0.004	0.036	<0.002	0.004	<0.009	<0.003	<0.002	<0.005	<0.005	0.010	<0.002	<0.002
HxCDDs	0.026	0.009	0.074	<0.004	0.124	0.068	<0.005	<0.004	<0.003	<0.005	0.017	<0.004	<0.002
HpCDDs	0.082	0.034	0.052	0.016	0.357	0.082	0.018	<0.007	<0.005	<0.003	0.037	0.005	0.024
OCDD	0.096	0.066	0.055	0.026	0.359	0.058	0.036	0.023	0.031	0.023	0.057	0.028	0.050
TCDFs	0.113	0.010	0.101	<0.003	0.005	<0.002	<0.004	<0.002	<0.005	<0.002	0.081	<0.002	0.003
PeCDFs	0.069	0.006	0.041	<0.002	0.005	<0.005	<0.003	<0.002	<0.002	<0.004	0.028	<0.002	<0.002
HxCDFs	0.049	0.013	0.052	<0.004	0.013	<0.008	<0.005	<0.004	<0.003	<0.003	0.032	<0.004	0.006
HpCDFs	0.017	0.014	0.021	<0.008	0.022	<0.008	<0.005	<0.009	<0.010	<0.005	0.024	<0.008	0.006
OCDF	0.012	0.018	<0.01	<0.008	0.016	<0.006	0.012	0.006	<0.005	<0.005	0.012	<0.004	<0.004
Total													
∑ PCDDs	0.246	0.109	0.264	0.042	0.845	0.208	0.054	0.023	0.031	0.023	0.132	0.033	0.074
∑ PCDFs	0.260	0.061	0.215	0.000	0.060	0.000	0.012	0.006	0.000	0.000	0.177	0.000	0.015
∑ PCDD/Fs	0.506	0.170	0.479	0.042	0.905	0.208	0.066	0.029	0.031	0.023	0.309	0.033	0.089
∑ TEQ (PCDD/Fs)	0.020	0.013	0.021	0.009	0.011	0.032	0.012	0.008	0.018	0.011	0.012	0.008	0.007

Cuadro A12. Concentraciones atmosféricas de DDPC/DFPC (pg m⁻³) en sitios rurales de la NAPS en 2000

Station Name	Kejimkujik												Egbert									
	1	2	3	4	5	6	7	8	9	10	11	12	1	2	3	4	5	6	7	8	9	10
	1/7/00	1/31/00	2/24/00	3/19/00	4/12/00	5/6/00	5/30/00	6/23/00	8/10/00	9/3/00	9/27/00	11/14/00	1/31/00	2/24/00	4/12/00	5/6/00	5/30/00	6/23/00	8/10/00	9/3/00	9/27/00	12/8/00
Sampling Volume (m3)	743	729	739	788	705	713	734	708	719	532	878	905	1004	953	957	852	891	901	923	861	906	1070
PCDD/F Congeners																						
2,3,7,8-TCDD	<0.003	<0.003	<0.004	<0.01	<0.003	<0.003	<0.003	<0.006	<0.003	<0.004	<0.002	<0.004	<0.002	<0.004	<0.004	<0.005	<0.003	<0.003	<0.003	<0.002	<0.004	<0.002
1,2,3,7,8-PeCDD	<0.003	<0.003	<0.005	<0.003	<0.003	<0.004	<0.003	<0.006	<0.003	<0.004	<0.002	0.005	0.007	0.010	<0.004	<0.005	0.004	<0.003	<0.003	<0.003	<0.003	0.006
1,2,3,4,7,8-HxCDD	<0.003	<0.003	<0.004	<0.004	<0.006	<0.006	<0.005	<0.006	<0.006	<0.005	<0.007	<0.007	0.004	0.008	<0.006	<0.005	0.003	<0.003	<0.003	<0.005	0.008	0.006
1,2,3,6,7,8-HxCDD	<0.003	<0.003	<0.004	<0.004	<0.006	<0.006	<0.005	<0.006	<0.006	<0.008	<0.005	<0.007	0.008	0.016	<0.006	<0.005	0.004	<0.003	<0.003	<0.005	<0.004	0.011
1,2,3,7,8,9-HxCDD	<0.003	<0.003	<0.004	<0.004	<0.006	<0.006	<0.005	<0.006	<0.006	<0.008	<0.005	<0.007	0.015	0.029	<0.006	0.006	0.004	<0.003	<0.003	<0.005	<0.004	0.015
1,2,3,4,6,7,8-HpCDD	0.022	0.017	0.024	0.007	0.008	0.009	0.007	<0.008	<0.008	<0.011	<0.007	<0.007	0.102	0.177	0.021	0.055	0.032	0.025	0.029	0.086	0.048	0.112
OCDD	0.068	0.054	0.076	0.020	0.022	0.026	0.021	0.013	<0.014	0.015	<0.009	0.019	0.272	0.523	0.052	0.195	0.127	0.099	0.051	0.221	0.112	0.224
2,3,7,8-TCDF	<0.003	0.003	0.003	<0.01	<0.003	<0.003	<0.003	<0.003	<0.003	<0.004	<0.002	<0.004	0.015	0.044	<0.002	0.010	0.012	0.021	0.003	0.014	0.006	0.009
1,2,3,7,8-PeCDF	<0.003	<0.003	<0.004	<0.003	<0.003	<0.003	<0.003	<0.003	<0.003	<0.004	<0.002	<0.004	0.004	0.010	<0.002	0.003	<0.003	0.004	<0.002	0.003	<0.003	<0.002
2,3,4,7,8-PeCDF	<0.003	<0.003	<0.004	<0.003	<0.003	<0.003	<0.003	<0.003	<0.003	<0.004	<0.002	<0.004	0.004	0.019	<0.002	<0.003	0.005	0.007	<0.002	0.004	0.009	0.003
1,2,3,4,7,8-HxCDF	<0.003	<0.003	<0.004	<0.004	<0.003	<0.003	<0.003	<0.003	<0.003	<0.006	<0.008	<0.004	0.012	0.047	<0.002	0.008	0.009	0.005	<0.003	0.009	0.004	0.007
1,2,3,6,7,8-HxCDF	<0.003	<0.003	<0.004	<0.004	<0.003	<0.003	<0.003	<0.003	<0.006	<0.008	<0.004	<0.004	0.005	0.020	<0.002	0.003	0.005	0.004	<0.003	<0.005	<0.004	0.004
2,3,4,6,7,8-HxCDF	<0.003	<0.003	<0.004	<0.004	<0.003	<0.003	<0.003	<0.003	<0.006	<0.008	<0.004	<0.004	0.006	0.029	<0.002	0.004	0.004	<0.003	<0.003	<0.005	<0.004	0.003
1,2,3,7,8,9-HxCDF	<0.003	<0.003	<0.004	<0.004	<0.003	<0.003	<0.003	<0.003	<0.006	<0.008	<0.004	<0.004	0.043	<0.003	<0.002	<0.003	<0.003	<0.003	<0.003	<0.005	<0.004	<0.003
1,2,3,4,6,7,8-HpCDF	0.009	0.009	0.010	0.005	0.005	0.006	0.003	<0.008	<0.008	<0.011	<0.007	<0.007	0.024	0.092	0.005	0.015	0.019	0.008	0.009	0.020	0.014	0.017
1,2,3,4,7,8,9-HpCDF	<0.003	<0.003	<0.004	<0.004	<0.003	<0.003	<0.003	<0.008	<0.008	<0.011	<0.007	<0.007	<0.002	0.012	<0.002	<0.004	<0.004	<0.007	<0.005	<0.007	<0.005	<0.004
OCDF	0.008	0.007	0.009	<0.008	<0.003	0.012	<0.003	<0.008	<0.009	<0.011	<0.005	<0.009	0.021	0.081	<0.004	0.022	0.016	<0.006	0.004	0.013	0.013	0.012
PCDD/F Homologues																						
TCDDs	<0.003	<0.003	<0.004	<0.010	<0.003	<0.003	<0.003	<0.006	<0.003	<0.004	<0.002	<0.004	0.003	0.040	<0.004	<0.005	0.003	<0.003	<0.003	<0.002	<0.004	0.011
PeCDDs	<0.003	<0.003	<0.005	<0.003	<0.003	<0.004	<0.003	<0.006	<0.003	<0.004	<0.002	<0.004	0.018	0.069	<0.004	<0.005	0.004	<0.003	0.005	0.017	<0.003	0.037
HxCDDs	0.018	0.007	0.005	<0.004	<0.006	<0.006	<0.005	<0.006	<0.006	<0.008	<0.005	<0.007	0.107	0.225	<0.006	0.035	0.022	0.010	<0.003	0.030	0.011	0.099
HpCDDs	0.041	0.032	0.045	0.005	0.014	0.009	0.013	<0.008	<0.008	<0.011	<0.007	<0.007	0.225	0.419	0.047	0.111	0.064	0.044	0.058	0.172	0.082	0.225
OCDD	0.068	0.054	0.076	0.020	0.022	0.026	0.021	0.013	<0.014	0.015	<0.009	0.019	0.272	0.523	0.052	0.195	0.127	0.099	0.051	0.221	0.112	0.224
TCDFs	<0.003	0.003	0.008	<0.010	<0.003	<0.003	<0.003	0.004	<0.003	<0.004	<0.002	<0.004	0.070	0.292	<0.002	0.066	0.040	0.139	0.009	0.075	0.015	0.033
PeCDFs	<0.003	0.005	0.004	<0.003	0.003	0.003	<0.003	0.004	<0.004	<0.002	<0.004	<0.004	0.030	0.225	<0.002	0.055	0.043	0.108	0.009	0.039	0.009	0.026
HxCDFs	0.004	0.004	0.006	<0.004	0.005	0.003	0.005	0.010	0.013	<0.008	<0.004	<0.004	0.043	0.218	<0.002	0.041	0.035	0.027	0.007	0.026	0.011	0.028
HpCDFs	0.013	0.009	0.011	<0.004	0.005	0.006	0.003	<0.008	<0.008	<0.011	<0.007	<0.007	0.037	0.162	0.005	0.024	0.027	0.008	0.009	0.020	0.014	0.022
OCDF	0.008	0.007	0.009	<0.008	<0.003	0.012	<0.003	<0.008	<0.009	<0.011	<0.005	<0.009	0.021	0.081	<0.004	0.022	0.016	<0.006	0.004	0.013	0.013	0.012
Total																						
∑ PCDDs	0.127	0.093	0.126	0.025	0.036	0.035	0.034	0.013	0.000	0.015	0.000	0.019	0.625	1.276	0.099	0.341	0.220	0.153	0.114	0.440	0.205	0.596
∑ PCDFs	0.025	0.028	0.038	0.000	0.013	0.024	0.008	0.014	0.017	0.000	0.000	0.000	0.201	0.978	0.005	0.208	0.161	0.282	0.038	0.173	0.062	0.121
∑ PCDD/Fs	0.152	0.121	0.164	0.025	0.049	0.059	0.042	0.027	0.017	0.015	0.000	0.019	0.826	2.254	0.104	0.549	0.381	0.435	0.152	0.613	0.267	0.717
∑ TEQ (PCDD/Fs)	0.010	0.010	0.014	0.018	0.010	0.011	0.010	0.017	0.012	0.016	0.008	0.015	0.022	0.043	0.012	0.016	0.014	0.013	0.010	0.013	0.014	0.016

Cuadro A12. Concentraciones atmosféricas de DDPC/DFPC ($\mu\text{g m}^{-3}$) en sitios rurales de la NAPS en 2000 (cont.)

Station Name	Point Petre												
Sampling Period	1	2	3	4	5	6	7	8	9	10	11	12	13
Sampling Date	1/7/00	1/31/00	2/24/00	3/19/00	4/12/00	5/6/00	5/30/00	6/23/00	8/10/00	9/3/00	9/27/00	11/14/00	12/8/00
Sampling Volume (m3)	829	926	896	828	865	838	843	891	925	828	792	872	924
PCDD/F Congeners													
2,3,7,8-TCDD	<0.004	<0.004	<0.003	<0.005	<0.002	<0.003	<0.003	<0.003	<0.002	<0.003	<0.005	<0.007	<0.002
1,2,3,7,8-PeCDD	0.006	0.007	<0.006	<0.005	0.004	<0.003	<0.003	<0.002	<0.002	<0.003	<0.005	<0.007	0.007
1,2,3,4,7,8-HxCDD	<0.006	<0.005	0.006	<0.005	<0.005	<0.005	<0.005	<0.003	<0.002	<0.006	<0.005	<0.007	0.003
1,2,3,6,7,8-HxCDD	<0.006	0.009	0.010	0.006	<0.005	<0.005	<0.005	<0.003	<0.002	<0.006	<0.005	0.007	0.009
1,2,3,7,8,9-HxCDD	0.012	0.016	0.013	0.008	<0.005	<0.005	<0.005	<0.003	<0.002	<0.006	<0.005	<0.007	0.010
1,2,3,4,6,7,8-HpCDD	0.084	0.099	0.104	0.046	0.029	0.084	0.058	0.013	0.013	0.043	0.055	0.061	0.057
OCDD	0.253	0.285	0.323	0.161	0.064	0.264	0.202	0.035	0.056	0.111	0.152	0.169	0.133
2,3,7,8-TCDF	0.009	0.016	0.020	0.011	0.006	0.024	0.007	0.003	<0.002	<0.003	0.019	0.010	0.007
1,2,3,7,8-PeCDF	<0.004	0.003	0.004	0.003	<0.002	0.006	<0.003	<0.002	<0.002	<0.003	<0.004	<0.005	0.003
2,3,4,7,8-PeCDF	<0.004	0.006	0.007	0.004	0.002	0.009	<0.003	<0.002	<0.002	<0.003	0.007	<0.005	0.004
1,2,3,4,7,8-HxCDF	0.008	0.014	0.025	0.009	0.005	0.024	<0.005	<0.003	<0.002	<0.006	0.029	0.006	0.013
1,2,3,6,7,8-HxCDF	<0.004	0.006	0.011	0.004	<0.002	0.007	<0.005	<0.003	<0.002	<0.006	0.010	<0.006	0.006
2,3,4,6,7,8-HxCDF	0.004	0.007	0.017	0.005	<0.002	<0.005	<0.005	<0.003	<0.002	<0.006	0.014	0.006	0.008
1,2,3,7,8,9-HxCDF	<0.004	<0.002	<0.003	<0.002	<0.002	<0.005	<0.005	<0.003	<0.002	<0.006	<0.005	<0.006	0.003
1,2,3,4,6,7,8-HpCDF	0.021	0.026	0.075	0.023	0.010	0.054	0.017	<0.007	<0.004	<0.007	0.050	0.014	0.036
1,2,3,4,7,8,9-HpCDF	<0.004	0.004	0.009	0.005	0.005	<0.007	<0.005	<0.007	<0.004	<0.007	<0.008	<0.007	0.006
OCDF	0.022	0.028	0.078	0.023	0.016	0.054	0.012	<0.004	<0.005	<0.008	0.039	0.019	0.039
PCDD/F Homologues													
TCDDs	0.004	0.019	0.022	<0.005	0.009	<0.003	<0.003	<0.003	<0.002	<0.003	<0.005	<0.007	<0.002
PeCDDs	0.006	0.032	0.020	<0.005	0.008	<0.003	<0.003	<0.002	<0.002	<0.003	<0.005	<0.007	0.011
HxCDDs	0.055	0.089	0.112	0.038	0.008	0.023	0.016	<0.003	0.009	0.017	<0.005	0.007	0.046
HpCDDs	0.181	0.220	0.222	0.099	0.055	0.152	0.109	0.013	0.013	0.043	0.129	0.129	0.111
OCDD	0.253	0.285	0.323	0.161	0.064	0.264	0.202	0.035	0.056	0.111	0.152	0.169	0.133
TCDFs	0.037	0.107	0.129	0.044	0.006	0.171	0.012	0.003	<0.002	<0.003	0.045	0.010	0.025
PeCDFs	0.027	0.049	0.085	0.026	0.012	0.082	0.011	<0.002	0.007	0.012	0.040	0.011	0.025
HxCDFs	0.028	0.052	0.102	0.037	0.007	0.059	0.012	<0.003	0.003	0.007	0.061	0.020	0.036
HpCDFs	0.038	0.043	0.128	0.040	0.018	0.054	0.017	<0.007	0.004	<0.007	0.050	0.014	0.052
OCDF	0.022	0.028	0.078	0.023	0.016	0.054	0.012	<0.004	<0.005	<0.008	0.039	0.019	0.039
Total													
Σ PCDDs	0.499	0.645	0.699	0.298	0.144	0.439	0.327	0.048	0.078	0.171	0.281	0.305	0.301
Σ PCDFs	0.152	0.279	0.522	0.170	0.059	0.420	0.064	0.003	0.014	0.019	0.235	0.074	0.177
Σ PCDD/Fs	0.651	0.924	1.221	0.468	0.203	0.859	0.391	0.051	0.092	0.190	0.516	0.379	0.478
Σ TEQ (PCDD/Fs)	0.018	0.022	0.024	0.017	0.010	0.018	0.012	0.008	0.006	0.012	0.023	0.022	0.017

Cuadro A13. Concentraciones atmosféricas de DDPC/DFPC (pg m⁻³) en sitios rurales de la NAPS en 2001 (cont.)

Station Name	Point Petre											
Sampling Period	1	2	3	4	5	6	7	8	9	10	11	12
Sampling Date	2/24/01	3/20/01	4/13/01	5/31/01	6/24/01	5/7/01	7/18/01	8/17/01	9/4/01	9/28/01	10/22/01	11/15/01
Sampling Volume (m3)	670	726	698	774	733	822	759	779	672	763	845	748
PCDD/F Congeners												
2,3,7,8-TCDD	<0.006	<0.003	<0.003	<0.003	<0.005	0.001	<0.003	0.001	0.001	<0.001	<0.001	0.000
1,2,3,7,8-PeCDD	0.007	0.007	<0.003	<0.003	<0.008	0.004	<0.003	0.008	0.004	0.004	0.005	0.006
1,2,3,4,7,8-HxCDD	<0.006	<0.005	<0.006	<0.003	<0.008	0.003	<0.005	0.006	0.002	<0.003	0.002	0.005
1,2,3,6,7,8-HxCDD	0.007	<0.005	<0.006	<0.003	<0.008	0.005	<0.005	0.013	0.002	0.002	0.003	0.009
1,2,3,7,8,9-HxCDD	<0.006	0.006	<0.006	<0.003	<0.008	0.009	<0.005	0.019	<0.002	0.005	0.002	0.017
1,2,3,4,6,7,8-HpCDD	0.063	0.034	0.027	0.019	0.091	0.068	<0.011	0.145	0.027	0.023	0.036	0.144
OCDD	0.161	0.119	0.076	0.050	0.319	0.227	0.221	0.343	0.123	0.096	0.143	0.444
2,3,7,8-TCDF	<0.003	0.006	0.005	0.003	<0.003	0.011	<0.003	0.019	0.004	0.007	0.006	0.014
1,2,3,7,8-PeCDF	<0.003	0.003	<0.003	<0.003	<0.004	0.002	<0.003	0.003	0.001	0.001	0.001	0.003
2,3,4,7,8-PeCDF	<0.003	<0.003	<0.003	<0.003	<0.004	0.002	<0.003	0.005	0.002	0.004	0.003	0.006
1,2,3,4,7,8-HxCDF	0.005	0.008	<0.003	0.006	<0.005	0.006	<0.005	0.010	0.003	0.005	0.006	0.017
1,2,3,6,7,8-HxCDF	<0.003	0.004	<0.003	<0.003	<0.005	0.003	<0.005	0.006	0.001	0.003	0.002	0.008
2,3,4,6,7,8-HxCDF	0.003	0.007	<0.003	<0.003	<0.005	0.003	<0.005	0.004	<0.001	0.002	0.005	0.013
1,2,3,7,8,9-HxCDF	<0.003	<0.004	<0.003	<0.003	<0.005	<0.001	<0.005	<0.001	<0.001	<0.001	<0.001	0.001
1,2,3,4,6,7,8-HpCDF	0.013	0.021	0.014	0.007	0.019	0.014	0.014	0.039	0.010	0.011	0.013	0.044
1,2,3,4,7,8,9-HpCDF	<0.006	0.012	<0.007	<0.005	<0.005	0.002	<0.011	0.003	<0.002	<0.002	0.002	0.003
OCDF	0.019	0.061	0.021	0.010	0.031	0.009	<0.013	0.029	0.007	0.009	0.013	0.039
PCDD/F Homologues												
TCDDs	<0.006	<0.003	<0.003	<0.003	<0.005	0.009	<0.003	0.036	0.008	0.018	0.007	0.021
PeCDDs	0.015	0.012	0.004	<0.003	<0.008	0.024	<0.003	0.065	0.012	0.024	0.013	0.048
HxCDDs	0.044	0.026	<0.006	<0.003	0.031	0.092	<0.005	0.160	0.031	0.044	0.045	0.142
HpCDDs	0.137	0.057	0.046	0.034	0.177	0.148	0.022	0.269	0.054	0.043	0.069	0.324
OCDD	0.161	0.119	0.076	0.050	0.319	0.227	0.221	0.343	0.123	0.096	0.143	0.444
TCDFs	<0.003	0.006	0.010	0.003	0.004	0.047	0.010	0.138	0.039	0.058	0.046	0.095
PeCDFs	0.004	0.003	0.004	<0.003	0.005	0.023	0.044	0.098	0.019	0.018	0.022	0.065
HxCDFs	0.008	0.018	<0.003	0.006	<0.005	0.032	0.007	0.117	0.014	0.020	0.024	0.080
HpCDFs	0.022	0.031	0.014	0.011	0.019	0.025	0.003	0.068	0.010	0.011	0.021	0.069
OCDF	0.019	0.061	0.021	0.010	0.031	0.009	<0.013	0.029	0.007	0.009	0.013	0.039
Total												
∑ PCDDs	0.357	0.214	0.126	0.084	0.527	0.499	0.243	0.873	0.227	0.224	0.277	0.979
∑ PCDFs	0.053	0.119	0.049	0.030	0.059	0.136	0.064	0.449	0.089	0.116	0.126	0.348
∑ PCDD/Fs	0.410	0.333	0.175	0.114	0.586	0.634	0.307	1.322	0.316	0.340	0.402	1.327
∑ TEQ (PCDD/Fs)	0.018	0.016	0.011	0.010	0.020	0.010	0.010	0.021	0.007	0.009	0.010	0.019

Cuadro A14. Concentraciones atmosféricas de DDPC/DFPC (pg m⁻³) en sitios rurales de la NAPS en 2002

Station Name	Kejimikujik									Simcoe												
	1	2	3	4	5	6	7	8	9	1	2	3	4	5	6	7	8	9	10	11	12	13
Sampling Period																						
Sampling Date	1/20/02	3/9/02	4/2/02	4/26/02	5/20/02	6/13/02	7/31/02	8/24/02	9/17/02	1/8/02	2/25/02	3/21/02	4/14/02	5/8/02	6/1/02	6/25/02	7/19/02	8/12/02	9/5/02	9/29/02	10/23/02	12/10/02
Sampling Volume (m3)	926	893	931	993	831	891	597	630	652	925	979	982	954	1077	963	813	813	574	685	696	766	763
PCDD/F Congeners																						
2,3,7,8-TCDD	<0.001	<0.001	<0.001	<0.001	<0.001	<0.001	<0.001	<0.001	<0.001	0.001	0.001	0.000	0.001	0.000	0.001	0.002	0.001	0.001	0.001	0.001	0.000	0.001
1,2,3,7,8-PeCDD	0.003	0.004	0.003	0.004	0.003	0.002	0.003	0.004	0.003	0.009	0.007	0.003	0.009	0.003	0.005	0.006	0.008	0.006	0.005	0.006	0.004	0.009
1,2,3,4,7,8-HxCDD	<0.002	0.001	<0.001	0.001	<0.001	<0.001	<0.001	<0.001	<0.001	0.005	0.006	<0.001	0.008	0.002	0.004	0.004	0.005	0.003	0.002	0.004	0.002	0.009
1,2,3,6,7,8-HxCDD	<0.002	0.000	<0.001	0.001	<0.001	<0.001	<0.001	0.001	0.001	0.008	0.010	0.001	0.013	0.003	0.006	0.008	0.008	0.004	0.003	0.010	0.005	0.014
1,2,3,7,8,9-HxCDD	<0.002	0.001	<0.001	0.001	<0.001	<0.001	<0.001	<0.001	<0.001	0.014	0.014	0.001	0.014	0.005	0.008	0.009	0.009	0.004	0.003	0.008	0.003	0.024
1,2,3,4,6,7,8-HpCDD	0.016	0.009	0.008	0.007	0.007	0.005	0.008	0.011	0.010	0.092	0.153	0.017	0.186	0.034	0.085	0.072	0.120	0.048	0.035	0.147	0.053	0.151
OCDD	0.052	0.022	0.024	0.021	0.024	0.017	0.026	0.050	0.035	0.271	0.588	0.090	0.400	0.102	0.247	0.210	0.309	0.150	0.131	0.529	0.145	0.414
2,3,7,8-TCDF	0.002	0.002	0.002	0.001	0.001	0.001	0.002	0.002	0.002	0.011	0.020	0.002	0.015	0.009	0.006	0.027	0.017	0.011	0.025	0.015	0.008	0.022
1,2,3,7,8-PeCDF	<0.001	<0.001	0.001	0.001	<0.001	<0.001	<0.001	<0.001	0.001	0.003	0.004	0.001	0.003	0.002	0.001	0.007	0.003	0.002	0.004	0.003	0.002	0.004
2,3,4,7,8-PeCDF	<0.001	0.001	<0.001	0.002	<0.001	<0.001	<0.001	<0.001	<0.001	0.004	0.007	0.001	0.004	0.003	0.002	0.009	0.004	0.003	0.006	0.005	0.002	0.008
1,2,3,4,7,8-HxCDF	0.003	0.001	0.001	0.002	0.001	0.001	0.001	0.001	0.002	0.009	0.021	0.002	0.005	0.006	0.006	0.024	0.009	0.009	0.015	0.011	0.005	0.018
1,2,3,6,7,8-HxCDF	<0.001	0.001	0.001	0.001	<0.001	<0.001	0.001	0.000	0.001	0.004	0.009	0.001	0.004	0.003	0.002	0.011	0.004	0.004	0.005	0.005	0.002	0.009
2,3,4,6,7,8-HxCDF	0.001	0.001	<0.001	0.000	<0.001	<0.001	<0.001	<0.001	0.001	0.004	0.009	0.000	0.004	0.003	0.003	0.012	0.003	0.005	0.007	0.006	0.002	0.008
1,2,3,7,8,9-HxCDF	<0.001	<0.001	<0.001	<0.001	<0.001	<0.001	<0.001	<0.001	<0.001	<0.001	<0.001	<0.001	<0.001	<0.001	<0.001	0.001	<0.001	<0.001	0.001	<0.001	0.000	0.001
1,2,3,4,6,7,8-HpCDF	0.007	0.005	0.003	0.002	0.004	0.003	0.004	0.004	0.008	0.018	0.047	0.005	0.019	0.012	0.015	0.038	0.017	0.019	0.025	0.024	0.008	0.035
1,2,3,4,7,8,9-HpCDF	<0.001	<0.001	<0.001	0.001	<0.001	<0.001	<0.001	<0.001	0.002	<0.001	0.005	0.001	0.001	0.001	0.001	0.005	0.001	0.002	0.002	0.003	0.001	0.005
OCDF	0.006	0.003	0.002	0.002	0.001	0.003	0.004	0.003	0.006	0.018	0.042	0.005	0.015	0.014	0.013	0.017	0.008	0.013	0.016	0.027	0.007	0.025
PCDD/F Homologues																						
TCDDs	0.002	0.004	<0.001	0.001	<0.001	<0.001	<0.001	0.001	0.019	0.041	0.004	0.038	0.015	0.016	0.052	0.043	0.023	0.025	0.020	0.011	0.042	
PeCDDs	0.006	0.007	0.003	0.004	0.003	0.002	0.004	0.004	0.005	0.052	0.072	0.007	0.066	0.024	0.033	0.059	0.072	0.032	0.045	0.044	0.029	0.085
HxCDDs	0.015	0.010	0.004	0.008	0.004	0.002	0.002	0.009	0.011	0.111	0.192	0.016	0.235	0.051	0.094	0.100	0.161	0.067	0.065	0.135	0.058	0.220
HpCDDs	0.033	0.016	0.014	0.012	0.015	0.008	0.013	0.018	0.016	0.184	0.337	0.032	0.366	0.070	0.169	0.145	0.257	0.101	0.070	0.289	0.094	0.320
OCDD	0.052	0.022	0.024	0.021	0.024	0.017	0.026	0.050	0.035	0.271	0.588	0.090	0.400	0.102	0.247	0.210	0.309	0.150	0.131	0.529	0.145	0.414
TCDFs	0.016	0.024	0.007	0.007	0.008	0.011	0.013	0.011	0.006	0.067	0.176	0.015	0.139	0.072	0.064	0.199	0.119	0.092	0.177	0.083	0.041	0.159
PeCDFs	0.006	0.006	0.003	0.005	0.003	0.001	0.004	0.005	0.003	0.045	0.109	0.009	0.067	0.038	0.033	0.124	0.082	0.049	0.105	0.056	0.024	0.099
HxCDFs	0.008	0.007	0.003	0.005	0.003	0.003	0.003	0.005	0.007	0.036	0.103	0.008	0.049	0.030	0.034	0.131	0.054	0.060	0.076	0.056	0.021	0.091
HpCDFs	0.007	0.006	0.003	0.003	0.004	0.003	0.004	0.006	0.012	0.027	0.076	0.008	0.032	0.018	0.027	0.061	0.027	0.030	0.038	0.043	0.014	0.058
OCDF	0.006	0.003	0.002	0.002	0.001	0.003	0.004	0.003	0.006	0.018	0.042	0.005	0.015	0.014	0.013	0.017	0.008	0.013	0.016	0.027	0.007	0.025
Total																						
∑ PCDDs	0.108	0.059	0.044	0.044	0.046	0.029	0.046	0.081	0.067	0.636	1.231	0.147	1.104	0.260	0.559	0.566	0.842	0.372	0.335	1.018	0.337	1.081
∑ PCDFs	0.042	0.047	0.019	0.022	0.020	0.020	0.028	0.029	0.034	0.192	0.504	0.044	0.301	0.170	0.170	0.532	0.290	0.244	0.411	0.265	0.107	0.432
∑ PCDD/Fs	0.150	0.105	0.063	0.067	0.065	0.049	0.075	0.110	0.100	0.829	1.736	0.191	1.405	0.431	0.729	1.098	1.131	0.616	0.747	1.283	0.444	1.513
∑ TEQ (PCDD/Fs)	0.006	0.005	0.004	0.005	0.004	0.003	0.005	0.005	0.005	0.018	0.022	0.005	0.019	0.008	0.011	0.021	0.017	0.012	0.014	0.016	0.009	0.026

Cuadro A14. Concentraciones atmosféricas de DDPC/DFPC (pg m⁻³) en sitios rurales de la NAPS en 2002 (cont.)

Station Name	Egbert															
Sampling Period	1	2	3	4	5	6	7	8	9	10	11	12	13	14	15	16
Sampling Date	1/2/02	1/26/02	2/19/02	3/15/02	4/8/02	5/2/02	5/26/02	6/19/02	7/13/02	8/6/02	8/30/02	9/23/02	10/17/02	11/10/02	12/4/02	12/28/02
Sampling Volume (m3)	877	852	863	850	849	784	799	856	1	776	990	1251	1131	844	1046	989
PCDD/F Congeners																
2,3,7,8-TCDD	<0.001	<0.001	0.003	0.001	0.002	<0.001	<0.002	0.000	<0.001	<0.001	0.002	0.000	0.000	0.000	0.001	0.001
1,2,3,7,8-PeCDD	0.004	0.007	0.017	0.006	0.009	0.004	0.004	0.004	0.002	0.003	0.018	0.003	0.003	0.004	0.005	0.007
1,2,3,4,7,8-HxCDD	0.002	0.009	0.016	0.005	0.013	0.002	0.003	0.001	<0.001	<0.001	0.037	0.002	0.001	0.002	0.003	0.009
1,2,3,6,7,8-HxCDD	0.004	0.012	0.024	0.008	0.017	0.004	0.003	0.002	<0.001	0.001	0.061	0.003	0.001	0.003	0.005	0.015
1,2,3,7,8,9-HxCDD	0.006	0.018	0.023	0.009	0.018	0.006	0.006	0.005	<0.001	<0.001	0.130	0.003	0.002	0.003	0.007	0.018
1,2,3,4,6,7,8-HpCDD	0.046	0.176	0.263	0.101	0.196	0.059	0.044	0.027	0.004	0.008	1.546	0.026	0.013	0.038	0.041	0.185
OCDD	0.150	0.557	0.553	0.277	0.533	0.200	0.130	0.103	0.017	0.028	4.566	0.075	0.035	0.136	0.098	0.519
2,3,7,8-TCDF	0.006	0.018	0.077	0.013	0.041	0.005	0.009	0.007	0.000	0.002	0.008	0.006	0.003	0.012	0.015	0.024
1,2,3,7,8-PeCDF	0.001	0.003	0.016	0.003	0.008	0.001	0.002	<0.001	<0.001	0.000	0.002	0.001	0.001	0.002	0.004	0.005
2,3,4,7,8-PeCDF	0.001	0.006	0.025	0.004	0.013	0.002	0.003	0.002	<0.001	0.000	0.003	0.002	0.001	0.003	0.006	0.009
1,2,3,4,7,8-HxCDF	0.004	0.016	0.055	0.016	0.033	0.004	0.003	0.006	<0.001	0.001	0.009	0.005	0.002	0.006	0.013	0.022
1,2,3,6,7,8-HxCDF	0.002	0.007	0.023	0.006	0.012	0.002	0.002	0.002	<0.001	0.000	0.004	0.002	0.001	0.002	0.006	0.009
2,3,4,6,7,8-HxCDF	0.001	0.007	0.025	0.007	0.016	0.001	0.002	0.003	<0.001	<0.001	0.003	0.002	0.001	0.002	0.005	0.010
1,2,3,7,8,9-HxCDF	<0.001	<0.001	0.002	<0.001	<0.003	<0.001	<0.001	<0.001	<0.001	<0.001	0.001	0.000	<0.001	<0.001	0.001	0.001
1,2,3,4,6,7,8-HpCDF	0.008	0.033	0.071	0.037	0.051	0.009	0.010	0.015	0.002	0.003	0.036	0.009	0.004	0.011	0.020	0.040
1,2,3,4,7,8,9-HpCDF	0.001	0.003	0.009	0.004	0.007	<0.005	<0.002	0.002	<0.001	<0.001	0.008	0.002	<0.001	0.001	0.005	0.006
OCDF	0.005	0.042	0.044	0.023	0.040	0.007	0.004	0.014	<0.001	0.001	0.057	0.006	0.002	0.008	0.022	0.024
PCDD/F Homologues																
TCDDs	0.013	0.047	0.099	0.033	0.052	<0.001	0.004	0.009	<0.001	0.002	0.059	0.012	0.010	0.024	0.026	0.042
PeCDDs	0.024	0.080	0.194	0.059	0.096	0.008	0.009	0.019	0.002	0.007	0.173	0.016	0.019	0.028	0.049	0.083
HxCDDs	0.061	0.204	0.404	0.143	0.277	<0.001	0.055	0.030	0.004	0.006	0.929	0.044	0.019	0.049	0.088	0.246
HpCDDs	0.100	0.372	0.552	0.214	0.414	0.138	0.092	0.051	0.008	0.014	2.961	0.053	0.024	0.077	0.083	0.382
OCDD	0.150	0.557	0.553	0.277	0.533	0.267	0.130	0.103	0.017	0.028	4.566	0.075	0.035	0.136	0.098	0.519
TCDFs	0.056	0.172	0.423	0.101	0.293	0.011	0.068	0.057	0.001	0.015	0.052	0.044	0.023	0.091	0.115	0.152
PeCDFs	0.022	0.090	0.315	0.062	0.171	0.004	0.032	0.032	0.000	0.005	0.043	0.019	0.013	0.034	0.075	0.092
HxCDFs	0.017	0.079	0.243	0.064	0.139	<0.001	0.022	0.032	0.001	0.004	0.057	0.023	0.008	0.028	0.071	0.100
HpCDFs	0.013	0.057	0.113	0.057	0.077	<0.005	0.015	0.021	0.003	0.004	0.083	0.015	0.006	0.017	0.038	0.067
OCDF	0.005	0.042	0.044	0.023	0.040	<0.012	0.004	0.014	<0.001	0.001	0.057	0.006	0.002	0.008	0.022	0.024
Total																
∑ PCDDs	0.348	1.260	1.801	0.726	1.372	0.412	0.290	0.211	0.031	0.056	8.687	0.200	0.106	0.314	0.344	1.272
∑ PCDFs	0.113	0.440	1.139	0.307	0.720	0.015	0.140	0.156	0.006	0.028	0.292	0.105	0.051	0.178	0.321	0.434
∑ PCDD/Fs	0.461	1.700	2.940	1.033	2.092	0.427	0.430	0.367	0.036	0.085	8.979	0.305	0.158	0.491	0.665	1.706
∑ TEQ (PCDD/Fs)	0.008	0.021	0.055	0.016	0.033	0.008	0.010	0.007	0.003	0.005	0.063	0.006	0.005	0.009	0.014	0.025

Cuadro A14. Concentraciones atmosféricas de DDPC/DFPC ($\mu\text{g m}^{-3}$) en sitios rurales de la NAPS en 2002 (cont.)

Station Name	Point Petre														
Sampling Period	1	2	3	4	5	6	7	8	9	10	11	12	13	14	15
Sampling Date	1/2/02	1/26/02	2/19/02	3/15/02	4/8/02	5/2/02	5/26/02	6/19/02	7/13/02	8/6/02	9/23/02	10/17/02	11/10/02	12/4/02	12/28/02
Sampling Volume (m3)	702	704	855	780	861	731	800	898	654	737	721	627	773	689	628
PCDD/F Congeners															
2,3,7,8-TCDD	<0.001	0.001	0.001	<0.001	0.001	<0.001	<0.001	<0.001	0.001	<0.001	<0.001	<0.001	0.001	<0.001	0.001
1,2,3,7,8-PeCDD	0.004	0.006	0.008	0.005	0.003	0.004	0.003	0.003	0.004	0.003	0.003	0.004	0.006	0.005	0.007
1,2,3,4,7,8-HxCDD	0.002	0.006	0.006	0.004	0.001	0.001	0.002	0.001	0.002	<0.001	0.001	0.002	0.005	0.005	0.006
1,2,3,6,7,8-HxCDD	0.003	0.008	0.010	0.006	0.002	0.002	0.003	0.002	0.003	<0.001	0.001	0.002	0.009	0.006	0.010
1,2,3,7,8,9-HxCDD	0.010	0.023	0.019	0.009	0.003	0.004	0.003	0.002	0.003	<0.001	0.001	0.003	0.009	0.006	0.013
1,2,3,4,6,7,8-HpCDD	0.043	0.132	0.117	0.075	0.025	0.038	0.042	0.030	0.057	0.009	0.015	0.032	0.116	0.062	0.131
OCDD	0.130	0.522	0.392	0.215	0.077	0.137	0.149	0.161	0.216	0.031	0.056	0.088	0.440	0.147	0.396
2,3,7,8-TCDF	0.006	0.009	0.014	0.007	0.007	0.006	0.008	0.005	0.006	0.003	0.003	0.005	0.013	0.006	0.016
1,2,3,7,8-PeCDF	0.002	0.002	0.004	0.002	0.002	0.001	0.002	0.001	0.002	<0.001	0.001	0.001	0.003	0.001	0.004
2,3,4,7,8-PeCDF	0.002	0.003	0.006	0.003	0.002	0.002	0.002	0.001	0.003	0.001	0.001	0.002	0.004	0.002	0.006
1,2,3,4,7,8-HxCDF	0.005	0.010	0.019	0.007	0.004	0.005	0.004	0.003	0.006	0.001	0.003	0.003	0.011	0.005	0.015
1,2,3,6,7,8-HxCDF	0.002	0.004	0.007	0.003	0.002	0.002	0.002	0.002	0.003	<0.001	0.002	0.002	0.005	0.002	0.007
2,3,4,6,7,8-HxCDF	0.002	0.005	0.010	0.004	0.001	0.003	0.002	0.002	0.003	<0.001	0.001	0.001	0.005	0.002	0.007
1,2,3,7,8,9-HxCDF	<0.001	<0.001	0.001	<0.001	<0.001	<0.001	<0.001	<0.001	0.001	<0.001	0.001	<0.001	<0.001	<0.001	0.001
1,2,3,4,6,7,8-HpCDF	0.008	0.027	0.036	0.014	0.008	0.014	0.011	0.008	0.016	0.004	0.007	0.009	0.030	0.010	0.030
1,2,3,4,7,8,9-HpCDF	0.001	0.004	0.006	<0.001	0.002	0.002	0.001	<0.001	0.003	<0.001	0.001	0.001	0.004	0.002	0.005
OCDF	0.008	0.023	0.025	0.013	0.006	0.010	0.006	0.004	0.017	0.003	0.006	0.005	0.023	0.010	0.022
PCDD/F Homologues															
TCDDs	0.007	0.020	0.030	0.013	0.016	0.007	0.009	0.004	0.011	0.004	0.003	0.012	0.032	0.010	0.027
PeCDDs	0.017	0.043	0.066	0.034	0.018	0.017	0.020	0.011	0.020	0.008	0.007	0.018	0.050	0.040	0.057
HxCDDs	0.054	0.151	0.148	0.089	0.033	0.041	0.042	0.027	0.040	0.009	0.013	0.039	0.116	0.100	0.158
HpCDDs	0.083	0.273	0.256	0.147	0.050	0.077	0.081	0.062	0.116	0.014	0.028	0.059	0.223	0.130	0.274
OCDD	0.130	0.522	0.392	0.215	0.077	0.137	0.149	0.161	0.216	0.031	0.056	0.088	0.440	0.147	0.396
TCDFs	0.050	0.068	0.095	0.057	0.065	0.049	0.066	0.047	0.058	0.019	0.030	0.034	0.100	0.043	0.104
PeCDFs	0.020	0.046	0.075	0.036	0.028	0.024	0.027	0.023	0.030	0.006	0.015	0.017	0.054	0.027	0.062
HxCDFs	0.019	0.049	0.082	0.031	0.016	0.021	0.019	0.021	0.028	0.006	0.013	0.012	0.053	0.021	0.068
HpCDFs	0.013	0.046	0.057	0.022	0.013	0.022	0.015	0.008	0.025	0.004	0.010	0.014	0.048	0.017	0.050
OCDF	0.008	0.023	0.025	0.013	0.006	0.010	0.006	0.004	0.017	0.003	0.006	0.005	0.023	0.010	0.022
Total															
Σ PCDDs	0.291	1.009	0.891	0.498	0.193	0.278	0.300	0.264	0.404	0.066	0.107	0.216	0.861	0.427	0.912
Σ PCDFs	0.109	0.232	0.333	0.159	0.128	0.126	0.133	0.102	0.159	0.037	0.073	0.082	0.278	0.116	0.305
Σ PCDD/Fs	0.401	1.242	1.224	0.656	0.321	0.404	0.433	0.366	0.562	0.103	0.180	0.298	1.139	0.543	1.217
Σ TEQ (PCDD/Fs)	0.009	0.016	0.021	0.012	0.007	0.008	0.008	0.006	0.008	0.005	0.005	0.008	0.015	0.010	0.019

Cuadro A15. Concentraciones atmosféricas de DDPC/DFPC (pg m⁻³) en sitios rurales de la NAPS en 2003

Station Name	Kejimkujik					Egbert							Burnt Island	
Sampling Period	1	2	3	4	5	1	2	3	4	5	6	7	1	2
Sampling Date	6/14/03	8/1/03	8/25/03	9/18/03	12/23/03	4/3/03	4/27/03	5/21/03	6/14/03	8/1/03	9/18/03	12/23/03	9/18/03	11/5/03
Sampling Volume (m3)	841	718	728	669	790	1059	964	1077	1109	1015	1055	1177	797	968
PCDD/F Congeners														
2,3,7,8-TCDD	<0.001	<0.001	<0.001	<0.001	<0.001	<0.001	0.001	<0.001	<0.001	<0.001	<0.001	0.001	<0.001	<0.001
1,2,3,7,8-PeCDD	0.003	0.003	0.003	0.004	0.005	0.003	0.009	0.003	0.002	0.004	0.003	0.008	0.003	0.003
1,2,3,4,7,8-HxCDD	<0.002	<0.001	0.001	0.001	<0.002	0.002	0.010	<0.001	0.001	<0.001	0.001	0.009	0.001	<0.001
1,2,3,6,7,8-HxCDD	<0.002	0.001	0.001	0.001	0.002	0.002	0.019	0.001	0.002	0.002	0.002	0.014	0.001	0.001
1,2,3,7,8,9-HxCDD	<0.002	<0.001	<0.001	<0.001	<0.002	0.002	0.013	<0.001	0.001	0.002	0.002	0.017	0.001	0.002
1,2,3,4,6,7,8-HpCDD	0.005	0.008	0.008	0.007	0.024	0.023	0.212	0.007	0.029	0.018	0.021	0.175	0.015	0.014
OCDD	0.018	0.021	0.023	0.029	0.106	0.060	0.420	0.020	0.076	0.052	0.066	0.492	0.059	0.059
2,3,7,8-TCDF	0.002	0.003	0.002	0.002	0.005	0.003	0.006	0.001	0.004	0.020	0.006	0.033	0.006	0.003
1,2,3,7,8-PeCDF	0.001	0.001	0.001	0.001	0.001	0.001	0.001	<0.001	0.001	0.003	0.001	0.008	0.001	<0.001
2,3,4,7,8-PeCDF	<0.001	<0.001	0.001	0.001	0.001	0.001	0.002	0.001	0.001	0.005	0.002	0.013	0.002	0.001
1,2,3,4,7,8-HxCDF	0.001	0.001	0.001	0.001	0.006	0.001	0.005	0.001	0.002	0.010	0.004	0.037	0.005	0.002
1,2,3,6,7,8-HxCDF	<0.001	<0.001	0.001	0.001	0.002	0.001	0.003	<0.001	0.001	0.004	0.002	0.015	0.002	0.001
2,3,4,6,7,8-HxCDF	<0.001	<0.001	0.001	0.001	0.004	0.001	0.003	<0.001	<0.001	0.004	0.002	0.016	0.002	0.001
1,2,3,7,8,9-HxCDF	<0.001	<0.001	0.001	0.001	<0.002	<0.001	<0.001	<0.001	<0.001	<0.001	<0.001	0.001	<0.001	<0.001
1,2,3,4,6,7,8-HpCDF	0.004	0.004	0.004	0.005	0.016	0.004	0.017	0.003	0.004	0.015	0.008	0.068	0.013	0.005
1,2,3,4,7,8,9-HpCDF	0.001	<0.001	<0.001	<0.001	<0.003	<0.001	0.002	<0.001	<0.001	0.002	0.001	0.010	<0.001	<0.001
OCDF	0.004	0.002	0.002	0.008	0.016	0.003	0.012	0.002	0.003	0.012	0.006	0.045	0.014	0.008
PCDD/F Homologues														
TCDDs	<0.001	0.001	<0.001	0.001	0.003	0.005	0.024	0.004	0.006	0.016	0.014	0.074	0.011	0.006
PeCDDs	0.003	0.009	0.005	0.010	0.014	0.013	0.082	0.005	0.010	0.026	0.020	0.112	0.015	0.005
HxCDDs	0.006	0.008	0.006	0.006	0.025	0.027	0.281	0.009	0.023	0.028	0.041	0.254	0.020	0.019
HpCDDs	0.007	0.011	0.009	0.010	0.052	0.041	0.437	0.012	0.052	0.034	0.048	0.357	0.032	0.027
OCDD	0.018	0.021	0.023	0.029	0.106	0.060	0.420	0.020	0.076	0.052	0.066	0.492	0.059	0.059
TCDFs	0.015	0.016	0.011	0.013	0.033	0.017	0.046	0.012	0.031	0.147	0.057	0.211	0.057	0.029
PeCDFs	0.006	0.005	0.004	0.004	0.019	0.011	0.029	0.006	0.012	0.078	0.035	0.157	0.029	0.009
HxCDFs	0.004	0.004	0.004	0.006	0.026	0.007	0.033	0.005	0.008	0.052	0.025	0.167	0.027	0.008
HpCDFs	0.005	0.005	0.004	0.005	0.023	0.005	0.030	0.004	0.006	0.021	0.013	0.107	0.019	0.007
OCDF	0.004	0.002	0.002	0.008	0.016	0.003	0.012	0.002	0.003	0.012	0.006	0.045	0.014	0.008
Total														
∑ PCDDs	0.034	0.049	0.043	0.056	0.201	0.146	1.243	0.050	0.168	0.155	0.190	1.289	0.137	0.116
∑ PCDFs	0.034	0.032	0.024	0.036	0.116	0.042	0.150	0.028	0.060	0.311	0.136	0.687	0.145	0.062
∑ PCDD/Fs	0.068	0.081	0.067	0.092	0.317	0.188	1.393	0.078	0.228	0.466	0.325	1.976	0.282	0.178
∑ TEQ (PCDD/Fs)	0.005	0.005	0.005	0.006	0.009	0.005	0.019	0.004	0.005	0.011	0.006	0.030	0.006	0.005

Cuadro A15. Concentraciones atmosféricas de DDPC/DFPC (pg m⁻³) en sitios rurales de la NAPS en 2003 (cont.)

Station Name	Point Petre								Simcoe							
Sampling Period	1	2	3	4	5	6	7	8	1	2	3	4	5	6	7	8
Sampling Date	3/10/03	4/3/03	4/27/03	5/21/03	6/14/03	8/1/03	9/18/03	12/23/03	3/10/03	4/3/03	6/14/03	7/8/03	8/1/03	8/25/03	9/18/03	12/23/03
Sampling Volume (m3)	563	610	608	605	761	574	671	576	931	872	831.0	701	702	681	957	775
PCDD/F Congeners																
2,3,7,8-TCDD	<0.001	0.001	<0.001	<0.001	<0.001	<0.002	<0.001	0.003	<0.001	<0.001	0.001	<0.002	<0.001	0.001	0.001	0.001
1,2,3,7,8-PeCDD	0.005	0.007	0.005	0.004	0.003	0.006	0.004	0.012	0.005	0.003	0.005	0.006	0.005	0.007	0.004	0.006
1,2,3,4,7,8-HxCDD	0.002	0.006	0.002	<0.002	<0.001	<0.002	0.002	0.009	0.004	0.002	0.002	0.002	<0.002	0.003	0.002	0.005
1,2,3,6,7,8-HxCDD	<0.001	0.010	0.003	0.001	0.002	0.003	0.002	0.011	0.005	0.003	0.005	0.004	0.002	0.005	0.003	0.008
1,2,3,7,8,9-HxCDD	<0.001	0.011	0.003	<0.002	0.003	<0.002	0.003	0.012	0.003	0.002	0.003	0.004	<0.002	0.005	0.003	0.007
1,2,3,4,6,7,8-HpCDD	0.025	0.112	0.034	0.018	0.030	0.033	0.024	0.082	0.047	0.034	0.073	0.048	0.018	0.048	0.040	0.102
OCDD	0.063	0.258	0.101	0.070	0.065	0.100	0.088	0.247	0.162	0.092	0.278	0.137	0.049	0.502	0.148	0.302
2,3,7,8-TCDF	0.006	0.004	0.005	0.003	0.008	0.008	0.005	0.015	0.006	0.004	0.010	0.017	0.007	0.011	0.008	0.017
1,2,3,7,8-PeCDF	0.002	0.001	0.001	0.001	0.002	<0.002	0.002	0.008	0.001	0.001	0.002	0.004	0.003	0.002	0.002	0.003
2,3,4,7,8-PeCDF	0.002	0.002	0.001	<0.001	0.003	0.003	0.002	0.011	0.002	0.001	0.003	0.005	0.003	0.003	0.003	0.005
1,2,3,4,7,8-HxCDF	0.004	0.003	0.004	<0.001	0.006	0.005	0.004	0.022	0.004	0.002	0.007	0.014	0.006	0.008	0.005	0.013
1,2,3,6,7,8-HxCDF	0.002	0.002	0.002	0.001	0.003	0.003	0.002	0.013	0.001	0.001	0.004	0.007	0.002	0.004	0.003	0.006
2,3,4,6,7,8-HxCDF	0.002	0.002	0.001	0.001	0.002	<0.001	0.002	0.012	0.001	0.001	0.003	0.011	0.002	0.004	0.003	0.006
1,2,3,7,8,9-HxCDF	<0.001	<0.001	<0.001	<0.001	<0.001	<0.001	<0.001	0.007	0.001	<0.001	<0.001	<0.002	<0.001	<0.001	<0.001	0.001
1,2,3,4,6,7,8-HpCDF	0.009	0.008	0.009	0.005	0.013	0.015	0.010	0.038	0.009	0.007	0.016	0.051	0.012	0.021	0.016	0.031
1,2,3,4,7,8,9-HpCDF	<0.001	0.001	<0.001	<0.001	<0.001	<0.003	0.001	0.011	0.003	<0.001	0.002	0.004	<0.002	0.002	0.002	0.005
OCDF	0.006	0.006	0.005	0.003	0.008	0.007	0.008	0.035	0.008	0.004	0.018	0.045	0.007	0.018	0.015	0.027
PCDD/F Homologues																
TCDDs	0.002	0.015	0.013	0.016	0.010	0.011	0.010	0.029	0.007	0.007	0.029	0.028	0.011	0.019	0.017	0.037
PeCDDs	0.011	0.043	0.025	0.017	0.013	0.017	0.021	0.053	0.021	0.017	0.036	0.048	0.022	0.036	0.031	0.054
HxCDDs	0.029	0.123	0.063	0.032	0.037	0.028	0.032	0.115	0.051	0.041	0.079	0.082	0.032	0.070	0.050	0.117
HpCDDs	0.048	0.198	0.067	0.033	0.061	0.057	0.044	0.162	0.089	0.069	0.149	0.092	0.028	0.100	0.080	0.205
OCDD	0.063	0.258	0.101	0.070	0.065	0.100	0.088	0.247	0.162	0.092	0.278	0.137	0.049	0.502	0.148	0.302
TCDFs	0.031	0.027	0.036	0.020	0.063	0.067	0.049	0.103	0.037	0.024	0.079	0.117	0.075	0.075	0.071	0.120
PeCDFs	0.017	0.016	0.019	0.008	0.034	0.043	0.039	0.074	0.021	0.014	0.047	0.092	0.047	0.045	0.041	0.069
HxCDFs	0.013	0.015	0.016	0.007	0.030	0.033	0.028	0.097	0.016	0.011	0.041	0.095	0.035	0.061	0.033	0.066
HpCDFs	0.011	0.014	0.013	0.007	0.019	0.022	0.015	0.065	0.016	0.009	0.027	0.078	0.016	0.035	0.025	0.053
OCDF	0.006	0.006	0.005	0.003	0.008	0.007	0.008	0.035	0.008	0.004	0.018	0.045	0.007	0.018	0.015	0.027
Total																
∑ PCDDs	0.153	0.636	0.269	0.169	0.186	0.214	0.195	0.606	0.329	0.225	0.571	0.387	0.142	0.726	0.324	0.714
∑ PCDFs	0.078	0.078	0.089	0.045	0.152	0.171	0.138	0.374	0.098	0.061	0.212	0.426	0.180	0.234	0.185	0.335
∑ PCDD/Fs	0.231	0.714	0.357	0.214	0.339	0.385	0.333	0.980	0.427	0.286	0.783	0.814	0.322	0.960	0.509	1.048
∑ TEQ (PCDD/Fs)	0.008	0.014	0.009	0.007	0.008	0.012	0.008	0.029	0.010	0.006	0.011	0.016	0.009	0.013	0.009	0.016

Cuadro A16. Concentraciones atmosféricas de DDPC/DFPC (pg m⁻³) en sitios rurales de la NAPS en 2004 (cont.)

Station Name	Point Petre										Burnt Island						Simcoe				
Sampling Period	1	2	3	4	5	6	7	8	9	1	2	3	4	5	6	1	2	3	4	5	
Sampling Date	3/4/04	3/28/04	4/21/04	5/15/04	6/8/04	7/26/04	8/19/04	10/6/04	11/23/04	1/16/04	3/4/04	3/28/04	4/21/04	5/15/04	12/11/04	1/16/04	6/8/04	8/19/04	11/23/04	12/17/04	
Sampling Volume (m3)	521	523	549	509	543	799	558	606	624	889	793	858	868	810	920	845	838	970	802	832	
PCDD/F Congeners																					
2,3,7,8-TCDD	0.001	0.002	0.001	0.003	0.001	<0.001	<0.002	0.001	0.001	<0.001	<0.001	<0.001	0.000	<0.001	0.001	0.002	0.002	0.001	0.001	0.001	
1,2,3,7,8-PeCDD	0.008	0.020	0.004	0.007	0.006	0.004	0.006	0.005	0.011	0.003	0.004	0.004	0.004	0.004	0.003	0.012	0.006	0.004	0.009	0.004	
1,2,3,4,7,8-HxCDD	0.006	0.020	0.002	0.003	<0.002	<0.002	<0.002	0.004	0.012	0.001	0.002	0.002	0.003	0.003	0.001	0.012	0.004	0.002	0.009	0.002	
1,2,3,6,7,8-HxCDD	0.008	0.036	0.003	0.002	0.003	0.003	0.003	0.004	0.017	0.001	0.003	0.002	0.004	0.001	0.002	0.018	0.006	0.003	0.013	0.003	
1,2,3,7,8,9-HxCDD	0.008	0.043	0.002	0.002	0.002	0.003	0.003	0.007	0.014	0.001	0.004	0.003	0.005	0.002	0.002	0.020	0.006	0.003	0.019	0.004	
1,2,3,4,6,7,8-HpCDD	0.108	0.492	0.037	0.035	0.034	0.047	0.034	0.088	0.298	0.011	0.043	0.024	0.060	0.010	0.016	0.221	0.119	0.038	0.221	0.039	
OCDD	0.313	1.135	0.116	0.121	0.139	0.157	0.153	0.394	1.065	0.037	0.138	0.069	0.206	0.045	0.068	0.452	0.526	0.148	0.671	0.103	
2,3,7,8-TCDF	0.013	0.010	0.011	0.003	0.005	0.007	0.002	0.003	0.004	0.001	0.004	0.006	0.007	0.001	0.002	0.014	0.003	0.004	0.003	0.002	
1,2,3,7,8-PeCDF	0.004	0.002	0.002	0.003	0.003	0.001	0.002	0.003	0.005	<0.001	0.001	0.001	0.001	0.002	0.003	0.003	0.002	0.002	0.004	0.001	
2,3,4,7,8-PeCDF	0.005	0.004	0.004	0.002	0.005	0.002	0.002	0.004	0.007	<0.001	0.002	0.002	0.003	<0.001	0.004	0.004	0.003	0.003	0.007	0.002	
1,2,3,4,7,8-HxCDF	0.015	0.011	0.008	0.003	0.009	0.004	0.004	0.009	0.027	0.001	0.003	0.004	0.007	0.001	0.012	0.012	0.009	0.006	0.020	0.005	
1,2,3,6,7,8-HxCDF	0.005	0.006	0.004	0.001	0.004	0.002	<0.001	0.003	0.010	<0.001	0.002	0.001	0.003	<0.001	0.004	0.005	0.004	0.002	0.007	0.002	
2,3,4,6,7,8-HxCDF	0.007	0.006	0.004	0.002	0.004	0.003	0.002	0.005	0.012	<0.001	0.002	0.002	0.003	0.002	0.005	0.005	0.003	0.004	0.009	0.002	
1,2,3,7,8,9-HxCDF	<0.001	<0.001	<0.001	<0.001	<0.001	<0.001	<0.002	<0.001	<0.001	<0.001	<0.001	<0.001	<0.001	0.001	<0.001	0.001	<0.001	<0.002	<0.001	<0.001	
1,2,3,4,6,7,8-HpCDF	0.035	0.035	0.015	0.012	0.020	0.011	0.009	0.023	0.072	0.003	0.008	0.009	0.016	0.005	0.016	0.022	0.022	0.012	0.044	0.009	
1,2,3,4,7,8,9-HpCDF	0.005	0.006	0.002	<0.002	0.004	<0.002	<0.002	0.003	0.009	<0.001	0.002	0.002	0.002	0.002	0.001	0.004	0.004	<0.002	0.006	0.001	
OCDF	0.033	0.042	0.011	0.009	0.018	0.009	0.009	0.031	0.079	0.003	0.004	0.007	0.013	0.006	0.006	0.024	0.025	0.005	0.032	0.008	
PCDD/F Homologues																					
TCDDs	0.019	0.046	0.015	0.009	0.013	0.035	0.010	0.013	0.041	0.001	0.009	0.009	0.011	0.004	0.020	0.036	0.025	0.025	0.039	0.010	
PeCDDs	0.047	0.157	0.025	0.021	0.020	0.031	0.020	0.028	0.089	0.008	0.039	0.032	0.030	0.023	0.030	0.096	0.042	0.027	0.071	0.020	
HxCDDs	0.139	0.518	0.046	0.031	0.042	0.066	0.055	0.083	0.279	0.013	0.054	0.033	0.061	0.017	0.039	0.240	0.112	0.059	0.221	0.044	
HpCDDs	0.222	0.916	0.068	0.063	0.064	0.090	0.069	0.171	0.581	0.019	0.091	0.047	0.120	0.018	0.030	0.390	0.245	0.076	0.433	0.074	
OCDD	0.313	1.135	0.116	0.121	0.139	0.157	0.153	0.394	1.065	0.037	0.138	0.069	0.206	0.045	0.068	0.452	0.526	0.148	0.671	0.103	
TCDFs	0.077	0.075	0.082	0.049	0.085	0.061	0.069	0.078	0.119	0.007	0.031	0.037	0.051	0.013	0.070	0.054	0.100	0.098	0.120	0.034	
PeCDFs	0.059	0.051	0.041	0.021	0.058	0.040	0.032	0.044	0.084	0.002	0.016	0.022	0.027	0.007	0.061	0.045	0.065	0.052	0.080	0.021	
HxCDFs	0.064	0.075	0.041	0.013	0.043	0.030	0.020	0.041	0.113	0.002	0.015	0.016	0.030	0.009	0.050	0.053	0.058	0.040	0.089	0.019	
HpCDFs	0.058	0.080	0.025	0.015	0.034	0.016	0.014	0.040	0.110	0.003	0.015	0.016	0.027	0.009	0.023	0.046	0.041	0.020	0.074	0.015	
OCDF	0.033	0.042	0.011	0.009	0.018	0.009	0.009	0.031	0.079	0.003	0.004	0.007	0.013	0.006	0.006	0.024	0.025	0.005	0.032	0.008	
Total																					
∑ PCDDs	0.739	2.772	0.270	0.245	0.277	0.379	0.307	0.689	2.054	0.078	0.331	0.190	0.427	0.105	0.187	1.213	0.951	0.336	1.434	0.251	
∑ PCDFs	0.291	0.322	0.201	0.107	0.238	0.156	0.145	0.234	0.505	0.018	0.081	0.098	0.147	0.044	0.210	0.222	0.288	0.214	0.394	0.096	
∑ PCDD/Fs	1.031	3.094	0.470	0.352	0.515	0.534	0.452	0.923	2.559	0.096	0.412	0.287	0.574	0.150	0.396	1.435	1.239	0.550	1.829	0.347	
∑ TEQ (PCDD/Fs)	0.018	0.042	0.010	0.012	0.012	0.009	0.010	0.012	0.027	0.004	0.008	0.007	0.009	0.007	0.008	0.027	0.014	0.009	0.023	0.007	

Cuadro A17. Concentraciones atmosféricas de DDPC/DFPC ($\mu\text{g m}^{-3}$) en sitios rurales de la NAPS en 2005 (cont.)

Station Name	Point Petre												
Sampling Period	1	2	3	4	5	6	7	8	9	10	11	12	13
Sampling Date	2/3/05	2/27/05	3/29/05	4/16/05	6/3/05	6/27/05	7/21/05	8/14/05	9/7/05	10/1/05	10/25/05	11/18/05	12/12/05
Sampling Volume (m3)	681	657	632	467	562	606	544	550	577	498	686	671	762
PCDD/F Congeners													
2,3,7,8-TCDD	0.002	0.006	0.001	0.002	<0.001	<0.001	0.001	0.001	<0.001	<0.001	<0.001	0.001	0.001
1,2,3,7,8-PeCDD	0.010	0.043	0.005	0.012	0.004	0.004	0.004	0.004	0.005	0.008	0.004	0.007	0.005
1,2,3,4,7,8-HxCDD	0.010	0.050	0.001	0.012	0.003	0.001	<0.001	<0.003	<0.002	0.004	0.002	0.006	0.002
1,2,3,6,7,8-HxCDD	0.015	0.085	0.002	0.017	0.004	0.002	0.002	<0.002	0.002	0.005	0.003	0.009	0.004
1,2,3,7,8,9-HxCDD	0.018	0.085	0.003	0.020	0.005	0.002	0.002	0.002	0.003	0.008	0.005	0.010	0.003
1,2,3,4,6,7,8-HpCDD	0.167	1.011	0.028	0.230	0.054	0.022	0.019	0.017	0.030	0.081	0.044	0.107	0.036
OCDD	0.492	2.000	0.084	0.752	0.209	0.085	0.079	0.059	0.107	0.279	0.120	0.238	0.081
2,3,7,8-TCDF	0.021	0.015	0.008	0.016	0.044	0.008	0.005	0.005	0.013	0.014	0.005	0.005	0.007
1,2,3,7,8-PeCDF	0.005	0.003	0.001	0.005	0.024	0.002	0.002	0.001	0.003	0.003	0.001	0.002	0.002
2,3,4,7,8-PeCDF	0.009	0.006	0.002	0.007	0.012	0.003	0.002	0.001	0.004	0.006	0.001	0.002	0.003
1,2,3,4,7,8-HxCDF	0.022	0.015	0.004	0.019	0.059	0.005	0.004	0.003	0.009	0.013	0.003	0.004	0.005
1,2,3,6,7,8-HxCDF	0.009	0.006	0.002	0.008	0.018	0.004	0.002	0.001	0.004	0.005	0.001	0.002	0.002
2,3,4,6,7,8-HxCDF	0.010	0.007	0.002	0.008	0.016	0.002	0.002	0.001	0.004	0.006	0.001	0.002	0.002
1,2,3,7,8,9-HxCDF	0.001	0.001	<0.001	0.001	0.004	0.000	0.000	<0.002	0.001	0.001	<0.001	<0.001	<0.001
1,2,3,4,6,7,8-HpCDF	0.041	0.037	0.008	0.040	0.119	0.015	0.011	0.007	0.022	0.029	0.006	0.011	0.008
1,2,3,4,7,8,9-HpCDF	0.006	0.009	0.002	0.005	0.038	0.002	0.002	<0.004	0.004	0.004	0.001	0.001	0.001
OCDF	0.030	0.036	0.006	0.032	0.172	0.003	0.011	0.005	0.013	0.024	0.006	0.008	0.004
PCDD/F Homologues													
TCDDs	0.044	0.118	0.023	0.035	0.016	0.008	0.012	0.001	0.002	0.012	0.012	0.014	0.015
PeCDDs	0.093	0.351	0.031	0.089	0.026	0.021	0.014	0.007	0.016	0.046	0.020	0.038	0.031
HxCDDs	0.229	1.131	0.048	0.272	0.063	0.034	0.026	0.024	0.036	0.092	0.056	0.123	0.065
HpCDDs	0.345	1.820	0.052	0.494	0.100	0.044	0.037	0.030	0.052	0.172	0.084	0.200	0.071
OCDD	0.492	2.000	0.084	0.752	0.209	0.085	0.079	0.059	0.107	0.279	0.120	0.238	0.081
TCDFs	0.139	0.107	0.049	0.120	0.196	0.096	0.062	0.022	0.056	0.067	0.033	0.034	0.039
PeCDFs	0.101	0.077	0.024	0.082	0.157	0.095	0.037	0.007	0.035	0.043	0.016	0.018	0.026
HxCDFs	0.100	0.100	0.017	0.095	0.181	0.068	0.028	0.011	0.037	0.047	0.013	0.023	0.020
HpCDFs	0.067	0.092	0.013	0.066	0.209	0.023	0.019	0.007	0.036	0.046	0.011	0.019	0.013
OCDF	0.030	0.036	0.006	0.032	0.172	0.003	0.011	0.005	0.013	0.024	0.006	0.008	0.004
Total													
Σ PCDDs	1.202	5.420	0.237	1.642	0.415	0.193	0.167	0.121	0.214	0.601	0.292	0.613	0.263
Σ PCDFs	0.437	0.412	0.109	0.395	0.914	0.285	0.157	0.051	0.178	0.228	0.079	0.102	0.101
Σ PCDD/Fs	1.639	5.833	0.346	2.037	1.329	0.478	0.324	0.172	0.391	0.829	0.371	0.714	0.363
Σ TEQ (PCDD/Fs)	0.027	0.089	0.009	0.029	0.027	0.009	0.008	0.007	0.011	0.018	0.007	0.013	0.010

Cuadro A18. Concentraciones atmosféricas de DDPC/DFPC (pg m⁻³) en sitios rurales de la NAPS en 2006 (cont.)

Station Name	Point Petre													
Sampling Period	1	2	3	4	5	6	7	8	9	10	11	12	13	14
Sampling Date	1/5/06	1/29/06	3/18/06	4/11/06	5/5/06	6/22/06	7/16/06	8/9/06	9/2/06	10/2/06	10/20/06	11/13/06	12/7/06	12/31/06
Sampling Volume (m3)	672	639	600	566	543	594	724	770	796	757	759	930	870	892
PCDD/F Congeners														
2,3,7,8-TCDD	0.001	0.002	0.001	0.002	<0.001	0.001	0.001	<0.001	<0.001	<0.001	<0.001	0.001	<0.001	<0.001
1,2,3,7,8-PeCDD	0.005	0.019	0.004	0.019	0.005	0.005	0.003	0.004	0.003	0.003	0.004	0.004	0.003	0.005
1,2,3,4,7,8-HxCDD	0.003	0.021	<0.002	0.019	<0.002	0.002	0.003	0.002	<0.001	0.001	0.002	0.003	0.002	0.004
1,2,3,6,7,8-HxCDD	0.006	0.036	0.002	0.030	<0.002	0.002	0.004	0.003	0.001	0.001	0.003	0.006	0.003	0.007
1,2,3,7,8,9-HxCDD	0.006	0.045	0.002	0.040	<0.002	0.004	0.004	0.002	0.001	0.002	0.003	0.005	0.003	0.008
1,2,3,4,6,7,8-HpCDD	0.061	0.408	0.023	0.396	0.023	0.035	0.064	0.023	0.017	0.018	0.032	0.070	0.039	0.083
OCDD	0.163	0.988	0.060	1.018	0.066	0.139	0.289	0.070	0.067	0.055	0.088	0.201	0.107	0.210
2,3,7,8-TCDF	0.008	0.015	0.003	0.018	0.005	0.007	0.007	0.003	0.003	0.003	0.004	0.008	0.005	0.010
1,2,3,7,8-PeCDF	0.002	0.004	0.001	0.005	0.001	0.002	0.002	0.001	0.001	0.001	0.001	0.002	0.001	0.003
2,3,4,7,8-PeCDF	0.003	0.007	0.001	0.007	0.001	0.003	0.002	0.001	0.001	0.001	0.001	0.003	0.002	0.004
1,2,3,4,7,8-HxCDF	0.007	0.021	0.002	0.026	0.004	0.007	0.007	0.003	0.002	0.002	0.002	0.008	0.004	0.013
1,2,3,6,7,8-HxCDF	0.003	0.009	0.001	0.010	0.002	0.004	0.002	0.001	0.001	0.001	0.001	0.003	0.002	0.005
2,3,4,6,7,8-HxCDF	0.003	0.010	0.001	0.011	0.001	0.004	0.003	0.001	0.001	0.001	0.002	0.004	0.002	0.005
1,2,3,7,8,9-HxCDF	<0.001	<0.001	<0.001	0.002	<0.003	<0.002	<0.003	<0.001	<0.001	<0.001	<0.001	0.001	<0.001	0.001
1,2,3,4,6,7,8-HpCDF	0.015	0.057	0.003	0.059	0.009	0.026	0.019	0.006	0.007	0.005	0.006	0.019	0.009	0.027
1,2,3,4,7,8,9-HpCDF	0.002	0.010	<0.002	0.006	<0.003	0.005	0.002	0.001	0.001	<0.002	0.001	0.004	0.001	0.004
OCDF	0.010	0.047	0.003	0.037	0.008	0.031	0.016	0.004	0.004	0.004	0.003	0.018	0.006	0.016
PCDD/F Homologues														
TCDDs	0.021	0.055	0.005	0.070	0.011	0.020	0.012	0.006	0.006	0.005	0.015	0.021	0.011	0.028
PeCDDs	0.034	0.165	0.014	0.196	0.017	0.025	0.023	0.021	0.010	0.010	0.029	0.032	0.020	0.049
HxCDDs	0.085	0.530	0.027	0.622	0.026	0.045	0.067	0.052	0.018	0.025	0.076	0.086	0.047	0.119
HpCDDs	0.125	0.820	0.044	0.915	0.043	0.078	0.131	0.051	0.031	0.035	0.082	0.139	0.076	0.170
OCDD	0.163	0.988	0.060	1.018	0.066	0.139	0.289	0.070	0.067	0.055	0.088	0.201	0.107	0.210
TCDFs	0.060	0.111	0.017	0.134	0.043	0.074	0.088	0.036	0.026	0.028	0.026	0.054	0.035	0.075
PeCDFs	0.036	0.087	0.009	0.110	0.017	0.043	0.041	0.022	0.018	0.011	0.014	0.038	0.020	0.056
HxCDFs	0.033	0.112	0.007	0.136	0.016	0.044	0.036	0.020	0.016	0.008	0.012	0.040	0.018	0.060
HpCDFs	0.026	0.101	0.004	0.096	0.011	0.041	0.028	0.012	0.012	0.006	0.008	0.034	0.014	0.042
OCDF	0.010	0.047	0.003	0.037	0.008	0.031	0.016	0.004	0.004	0.004	0.003	0.018	0.006	0.016
Total														
∑ PCDDs	0.428	2.558	0.150	2.821	0.164	0.307	0.521	0.200	0.132	0.131	0.289	0.479	0.261	0.575
∑ PCDFs	0.165	0.459	0.041	0.513	0.095	0.232	0.210	0.093	0.075	0.056	0.063	0.184	0.094	0.247
∑ PCDD/Fs	0.593	3.017	0.191	3.333	0.259	0.538	0.731	0.293	0.207	0.187	0.352	0.663	0.355	0.822
∑ TEQ (PCDD/Fs)	0.011	0.044	0.007	0.044	0.009	0.010	0.008	0.006	0.004	0.005	0.006	0.010	0.007	0.013

Cuadro A19. Concentraciones atmosféricas de DDPC/DFPC ($\mu\text{g m}^{-3}$) en sitios rurales de la NAPS en 2007 (cont.)

Station Name	Point Petre												
Sampling Period	1	2	3	4	5	6	7	8	9	10	11	12	13
Sampling Date	1/24/07	3/13/07	4/6/07	4/30/07	6/17/07	7/11/07	8/4/07	8/28/07	9/21/07	10/15/07	11/8/07	12/2/07	12/26/07
Sampling Volume (m3)	886	748	833	709	567	721	711	652	668	759	728	842	836
PCDD/F Congeners													
2,3,7,8-TCDD	<0.001	0.001	<0.001	0.001	0.001	<0.001	<0.001	0.001	<0.002	<0.001	0.001	<0.001	<0.001
1,2,3,7,8-PeCDD	0.006	0.007	0.003	0.005	0.005	0.003	0.004	0.005	0.004	0.004	0.006	0.005	0.006
1,2,3,4,7,8-HxCDD	0.004	0.006	0.002	<0.002	0.003	0.001	0.003	0.002	0.002	0.002	0.004	0.003	0.006
1,2,3,6,7,8-HxCDD	0.006	0.009	0.002	0.002	0.004	0.001	0.005	0.004	0.003	0.004	0.006	0.006	0.009
1,2,3,7,8,9-HxCDD	0.008	0.012	0.002	0.003	0.006	0.001	0.007	0.005	0.005	0.003	0.004	0.006	0.011
1,2,3,4,6,7,8-HpCDD	0.073	0.148	0.026	0.035	0.094	0.018	0.081	0.051	0.050	0.043	0.064	0.058	0.129
OCDD	0.140	0.529	0.057	0.104	0.289	0.062	0.223	0.158	0.148	0.119	0.134	0.176	0.412
2,3,7,8-TCDF	0.004	0.017	0.003	0.004	0.006	0.005	0.004	0.005	0.009	0.006	0.006	0.009	0.011
1,2,3,7,8-PeCDF	0.001	0.005	0.001	0.001	0.001	0.002	0.001	0.002	0.002	0.001	0.001	0.002	0.003
2,3,4,7,8-PeCDF	0.001	0.007	0.001	0.002	0.001	0.002	0.001	0.002	0.004	0.002	0.002	0.004	0.005
1,2,3,4,7,8-HxCDF	0.003	0.021	0.003	0.003	0.002	0.005	0.004	0.005	0.008	0.007	0.004	0.011	0.013
1,2,3,6,7,8-HxCDF	0.001	0.008	0.001	0.002	0.002	0.002	0.002	0.003	0.003	0.002	0.002	0.005	0.006
2,3,4,6,7,8-HxCDF	0.002	0.009	0.001	0.003	0.002	0.002	0.002	0.002	0.004	0.003	0.001	0.005	0.005
1,2,3,7,8,9-HxCDF	<0.001	0.001	<0.001	<0.001	<0.002	<0.001	<0.001	<0.001	<0.002	<0.001	<0.001	0.001	0.001
1,2,3,4,6,7,8-HpCDF	0.007	0.049	0.006	0.007	0.013	0.012	0.009	0.013	0.021	0.011	0.008	0.024	0.028
1,2,3,4,7,8,9-HpCDF	0.001	0.005	<0.002	0.001	0.004	0.002	<0.001	<0.002	0.002	<0.001	0.002	0.003	0.004
OCDF	0.008	0.033	0.006	0.007	0.012	0.008	0.007	0.007	0.012	0.005	0.006	0.016	0.021
PCDD/F Homologues													
TCDDs	0.028	0.031	0.005	0.008	0.009	0.010	0.007	0.011	0.011	0.010	0.014	0.022	0.022
PeCDDs	0.049	0.060	0.012	0.014	0.031	0.014	0.023	0.026	0.017	0.019	0.030	0.036	0.045
HxCDDs	0.116	0.154	0.031	0.037	0.128	0.027	0.085	0.069	0.043	0.042	0.082	0.080	0.145
HpCDDs	0.139	0.298	0.047	0.071	0.212	0.035	0.159	0.109	0.095	0.081	0.114	0.113	0.255
OCDD	0.140	0.529	0.057	0.104	0.289	0.062	0.223	0.158	0.148	0.119	0.134	0.176	0.412
TCDFs	0.031	0.140	0.020	0.040	0.063	0.067	0.032	0.055	0.090	0.039	0.042	0.070	0.077
PeCDFs	0.017	0.100	0.010	0.017	0.030	0.038	0.018	0.054	0.066	0.028	0.023	0.057	0.057
HxCDFs	0.014	0.097	0.010	0.014	0.025	0.026	0.018	0.046	0.048	0.027	0.022	0.067	0.060
HpCDFs	0.012	0.079	0.009	0.011	0.024	0.019	0.014	0.020	0.030	0.016	0.016	0.041	0.046
OCDF	0.008	0.033	0.006	0.007	0.012	0.008	0.007	0.007	0.012	0.005	0.006	0.016	0.021
Total													
Σ PCDDs	0.471	1.072	0.152	0.233	0.669	0.147	0.497	0.373	0.314	0.271	0.374	0.427	0.879
Σ PCDFs	0.082	0.449	0.054	0.089	0.155	0.158	0.089	0.182	0.246	0.114	0.109	0.250	0.260
Σ PCDD/Fs	0.553	1.520	0.206	0.322	0.824	0.305	0.586	0.555	0.560	0.385	0.483	0.677	1.139
Σ TEQ (PCDD/Fs)	0.010	0.020	0.005	0.008	0.009	0.006	0.009	0.010	0.010	0.009	0.010	0.012	0.016

Cuadro A20. Concentraciones atmosféricas de DDPC/DFPC (pg m⁻³) en sitios rurales de la NAPS en 2008

Station Name	Kejimikujik								Egbert										
Sampling Period	1	2	3	4	5	6	7	8	1	2	3	4	5	6	7	8	9	10	11
Sampling Date	1/19/08	2/12/08	7/5/08	7/29/08	8/22/08	11/2/08	11/26/08	12/20/08	1/19/08	4/24/08	5/18/08	6/11/08	7/5/08	7/29/08	8/22/08	9/15/08	11/2/08	11/26/08	12/20/08
Sampling Volume (m3)	895	926	723	728	680	653	647	777	747	722	734	740	708	787	814	635	879	608	634
PCDD/F Congeners																			
2,3,7,8-TCDD	<0.005	<0.001	<0.001	<0.001	<0.001	<0.001	<0.003	<0.002	<0.002	<0.001	<0.001	<0.001	0.001	<0.001	0.001	<0.001	<0.002	<0.001	<0.001
1,2,3,7,8-PeCDD	0.003	0.002	0.003	0.003	0.003	0.003	<0.005	0.001	0.005	0.005	0.006	0.004	0.004	0.005	0.008	0.005	0.006	0.004	0.002
1,2,3,4,7,8-HxCDD	0.001	<0.001	<0.001	<0.001	<0.002	<0.002	<0.009	<0.004	0.005	0.002	0.008	<0.001	0.002	0.004	0.006	<0.002	0.007	0.001	0.002
1,2,3,6,7,8-HxCDD	0.002	0.001	<0.001	<0.001	<0.002	<0.002	<0.007	<0.004	0.005	0.003	0.015	0.002	0.004	0.008	0.012	<0.002	0.011	0.003	0.003
1,2,3,7,8,9-HxCDD	0.002	0.001	<0.001	<0.001	<0.001	<0.001	<0.009	0.004	0.006	0.005	0.016	0.002	0.004	0.008	0.012	0.002	0.018	0.003	0.004
1,2,3,4,6,7,8-HpCDD	0.021	0.010	0.006	0.005	0.009	0.011	0.020	0.011	0.054	0.027	0.189	0.024	0.064	0.104	0.139	0.009	0.152	0.027	0.055
OCDD	0.060	0.028	0.015	0.016	0.036	0.024	0.072	0.030	0.162	0.083	0.427	0.068	0.179	0.200	0.332	0.025	0.293	0.083	0.195
2,3,7,8-TCDF	0.002	0.002	0.001	0.001	0.002	0.002	0.002	<0.001	0.006	0.005	0.006	0.004	0.005	0.008	0.017	0.003	0.016	0.006	0.010
1,2,3,7,8-PeCDF	0.001	0.001	0.000	0.001	0.001	<0.001	<0.003	<0.001	0.002	0.001	0.001	0.001	0.001	0.002	0.004	0.001	0.002	0.001	0.001
2,3,4,7,8-PeCDF	0.001	0.001	<0.001	<0.001	0.000	<0.001	<0.003	<0.002	0.003	0.002	0.002	0.001	0.002	0.002	0.005	0.001	0.008	0.002	0.004
1,2,3,4,7,8-HxCDF	0.002	0.003	0.001	0.001	0.002	0.003	<0.004	<0.002	0.007	0.004	0.004	0.003	0.005	0.005	0.012	0.003	0.014	0.005	0.003
1,2,3,6,7,8-HxCDF	0.001	0.002	<0.001	<0.001	0.001	0.002	<0.003	<0.002	0.005	0.002	0.003	0.001	0.002	0.002	0.006	0.002	0.006	0.002	0.003
2,3,4,6,7,8-HxCDF	0.001	0.002	<0.001	<0.001	<0.001	<0.001	<0.004	<0.002	0.003	0.001	0.003	0.002	0.002	0.002	0.005	0.001	0.006	0.002	<0.002
1,2,3,7,8,9-HxCDF	<0.001	<0.001	<0.001	<0.001	<0.001	<0.002	<0.005	<0.001	<0.002	<0.001	<0.001	<0.001	<0.001	<0.001	0.001	<0.002	<0.003	<0.001	<0.002
1,2,3,4,6,7,8-HpCDF	0.005	0.007	0.003	0.002	0.007	0.004	0.003	0.003	0.012	0.008	0.012	0.008	0.013	0.012	0.026	0.007	0.021	0.030	0.008
1,2,3,4,7,8,9-HpCDF	0.001	<0.001	<0.002	<0.001	<0.002	<0.003	<0.010	<0.002	<0.004	<0.001	0.003	<0.001	0.002	<0.001	0.002	<0.003	<0.005	0.002	<0.003
OCDF	0.004	0.005	0.001	0.001	0.004	<0.001	<0.019	0.004	0.007	0.006	0.012	0.005	0.008	0.007	0.020	0.004	0.011	0.070	0.011
PCDD/F Homologues																			
TCDDs	0.003	0.003	0.001	0.001	0.002	0.001	0.004	<0.002	0.010	0.007	0.010	0.012	0.009	0.020	0.017	0.005	0.055	0.011	0.021
PeCDDs	0.010	0.005	0.003	0.003	0.003	0.005	<0.005	0.008	0.026	0.018	0.037	0.013	0.023	0.040	0.050	0.012	0.086	0.017	0.034
HxCDDs	0.023	0.013	0.003	0.004	0.009	0.008	<0.008	0.017	0.066	0.040	0.180	0.024	0.051	0.123	0.160	0.015	0.188	0.031	0.054
HpCDDs	0.039	0.017	0.007	0.008	0.015	0.018	0.043	0.020	0.103	0.063	0.370	0.042	0.115	0.206	0.266	0.016	0.299	0.052	0.123
OCDD	0.060	0.028	0.015	0.016	0.036	0.024	0.072	0.030	0.162	0.083	0.427	0.068	0.179	0.200	0.332	0.025	0.293	0.083	0.195
TCDFs	0.015	0.009	0.007	0.016	0.019	0.014	0.002	<0.001	0.044	0.042	0.048	0.033	0.031	0.052	0.080	0.018	0.078	0.045	0.066
PeCDFs	0.009	0.007	0.004	0.005	0.006	0.004	0.004	0.002	0.028	0.022	0.025	0.022	0.020	0.036	0.048	0.012	0.067	0.020	0.037
HxCDFs	0.010	0.012	0.003	0.003	0.008	0.007	<0.004	<0.002	0.026	0.019	0.024	0.015	0.027	0.029	0.057	0.012	0.062	0.022	0.022
HpCDFs	0.008	0.011	0.005	0.003	0.009	0.004	0.003	0.003	0.017	0.011	0.024	0.011	0.023	0.017	0.044	0.007	0.030	0.042	0.014
OCDF	0.004	0.005	0.001	0.001	0.004	0.001	<0.019	0.004	0.007	0.006	0.012	0.005	0.008	0.007	0.020	0.004	0.011	0.070	0.011
Total																			
∑ PCDDs	0.133	0.066	0.029	0.030	0.065	0.056	0.118	0.074	0.367	0.211	1.024	0.159	0.377	0.590	0.824	0.072	0.920	0.194	0.426
∑ PCDFs	0.047	0.044	0.021	0.028	0.046	0.028	0.009	0.010	0.121	0.100	0.132	0.087	0.108	0.140	0.250	0.052	0.248	0.199	0.150
∑ PCDD/Fs	0.180	0.110	0.049	0.058	0.112	0.084	0.127	0.083	0.488	0.311	1.156	0.246	0.485	0.730	1.073	0.124	1.168	0.392	0.576
∑ TEQ (PCDD/Fs)	0.010	0.005	0.005	0.004	0.006	0.006	0.013	0.005	0.012	0.009	0.015	0.006	0.009	0.012	0.019	0.008	0.020	0.008	0.008

Cuadro A20. Concentraciones atmosféricas de DDPC/DFPC (pg m⁻³) en sitios rurales de la NAPS en 2008 (cont.)

Station Name	Point Petre											
Sampling Period	1	2	3	4	5	6	7	8	9	10	11	12
Sampling Date	1/19/08	3/7/08	3/31/08	4/24/08	5/18/08	6/11/08	7/5/08	7/29/08	8/22/08	9/15/08	10/9/08	11/2/08
Sampling Volume (m3)	978	691	839	769	722	774	679	650	604	693	747	859
PCDD/F Congeners												
2,3,7,8-TCDD	0.001	0.001	0.001	<0.001	<0.001	0.001	<0.001	<0.001	0.001	<0.001	<0.001	<0.002
1,2,3,7,8-PeCDD	0.005	0.005	0.004	0.003	0.005	0.004	0.003	0.004	0.007	0.004	0.004	0.005
1,2,3,4,7,8-HxCDD	0.004	0.002	0.003	0.002	0.003	<0.001	0.002	0.001	0.004	0.001	0.002	0.004
1,2,3,6,7,8-HxCDD	0.005	0.003	0.004	0.002	0.005	0.001	0.003	0.002	0.007	0.002	0.002	0.005
1,2,3,7,8,9-HxCDD	0.007	0.007	0.005	0.005	0.004	0.002	0.002	0.003	0.006	0.002	0.004	0.008
1,2,3,4,6,7,8-HpCDD	0.073	0.046	0.051	0.012	0.055	0.016	0.031	0.015	0.087	0.029	0.027	0.072
OCDD	0.206	0.114	0.152	0.027	0.179	0.048	0.079	0.059	0.302	0.076	0.086	0.184
2,3,7,8-TCDF	0.006	0.007	0.007	0.005	0.004	0.005	0.003	0.004	0.010	0.003	0.007	0.009
1,2,3,7,8-PeCDF	0.002	0.001	0.002	0.001	0.001	0.001	0.001	0.001	0.002	0.001	0.001	0.001
2,3,4,7,8-PeCDF	0.003	0.002	0.002	0.001	0.002	0.001	0.001	0.001	0.003	0.001	0.002	0.003
1,2,3,4,7,8-HxCDF	0.006	0.005	0.007	0.004	0.004	0.003	0.002	0.003	0.010	0.002	0.005	0.007
1,2,3,6,7,8-HxCDF	0.002	0.002	0.003	0.001	0.002	0.002	0.001	0.001	0.005	0.001	0.002	0.004
2,3,4,6,7,8-HxCDF	0.002	0.002	0.003	0.002	0.005	0.003	0.001	0.001	0.004	<0.001	0.002	0.004
1,2,3,7,8,9-HxCDF	<0.001	<0.001	<0.001	<0.001	<0.002	<0.001	<0.001	<0.001	<0.001	<0.001	<0.002	<0.003
1,2,3,4,6,7,8-HpCDF	0.012	0.009	0.017	0.007	0.010	0.008	0.006	0.008	0.023	0.006	0.011	0.017
1,2,3,4,7,8,9-HpCDF	0.001	0.001	0.003	<0.002	0.003	0.001	<0.001	<0.002	0.003	<0.002	0.002	<0.006
OCDF	0.010	0.006	0.015	0.004	0.008	0.006	0.004	0.003	0.017	0.006	0.009	0.008
PCDD/F Homologues												
TCDDs	0.013	0.012	0.018	0.008	0.003	0.007	0.007	0.008	0.021	0.002	0.013	0.018
PeCDDs	0.034	0.025	0.028	0.014	0.012	0.011	0.010	0.013	0.038	0.008	0.012	0.034
HxCDDs	0.087	0.065	0.067	0.025	0.043	0.017	0.029	0.019	0.086	0.023	0.031	0.086
HpCDDs	0.140	0.090	0.095	0.022	0.102	0.029	0.055	0.027	0.165	0.052	0.051	0.137
OCDD	0.206	0.114	0.152	0.027	0.179	0.048	0.079	0.059	0.302	0.076	0.086	0.184
TCDFs	0.038	0.056	0.060	0.038	0.015	0.045	0.023	0.038	0.058	0.014	0.076	0.066
PeCDFs	0.029	0.028	0.036	0.015	0.010	0.022	0.012	0.020	0.041	0.008	0.045	0.040
HxCDFs	0.024	0.022	0.033	0.013	0.017	0.019	0.012	0.015	0.051	0.008	0.033	0.046
HpCDFs	0.021	0.017	0.028	0.008	0.017	0.012	0.010	0.010	0.038	0.006	0.020	0.027
OCDF	0.010	0.006	0.015	0.004	0.008	0.006	0.004	0.003	0.017	0.006	0.009	0.008
Total												
∑ PCDDs	0.481	0.305	0.360	0.096	0.339	0.111	0.180	0.126	0.612	0.162	0.193	0.459
∑ PCDFs	0.122	0.128	0.172	0.079	0.067	0.104	0.060	0.085	0.206	0.042	0.183	0.186
∑ PCDD/Fs	0.603	0.434	0.532	0.175	0.406	0.216	0.239	0.211	0.818	0.204	0.376	0.645
∑ TEQ (PCDD/Fs)	0.011	0.011	0.010	0.007	0.010	0.006	0.006	0.007	0.015	0.007	0.008	0.013

Cuadro A20. Concentraciones atmosféricas de DDPC/DFPC (pg m⁻³) en sitios rurales de la NAPS en 2008 (cont.)

Station Name	Burnt Island							Simcoe						
Sampling Period	1	2	3	4	5	6	7	1	2	3	4	5	6	7
Sampling Date	3/7/08	3/31/08	6/11/08	7/5/08	8/22/08	11/26/08	12/20/08	1/19/08	3/7/08	3/31/08	7/5/08	7/29/08	8/22/08	10/9/08
Sampling Volume (m3)	1057	911	883	772	768	745	907	1168	972	947	1045	1022	1000	977
PCDD/F Congeners														
2,3,7,8-TCDD	<0.001	0.002	<0.001	<0.001	0.001	<0.001	<0.001	0.001	<0.001	0.001	0.001	<0.001	<0.001	0.001
1,2,3,7,8-PeCDD	0.002	0.010	0.003	0.004	0.003	0.003	0.003	0.005	0.005	0.005	0.005	0.004	0.004	0.005
1,2,3,4,7,8-HxCDD	<0.001	0.013	<0.001	0.001	0.002	0.001	0.001	0.003	0.005	0.004	0.005	0.002	0.002	0.004
1,2,3,6,7,8-HxCDD	<0.001	0.015	0.000	0.002	0.004	0.002	0.002	0.006	0.007	0.007	0.011	0.004	0.005	0.005
1,2,3,7,8,9-HxCDD	0.001	0.021	<0.001	0.003	0.004	0.001	0.002	0.009	0.009	0.007	0.017	0.006	0.005	0.007
1,2,3,4,6,7,8-HpCDD	0.007	0.250	0.007	0.045	0.042	0.026	0.023	0.074	0.092	0.093	0.234	0.057	0.060	0.059
OCDD	0.017	0.942	0.009	0.182	0.153	0.089	0.052	0.228	0.287	0.280	0.819	0.151	0.223	0.177
2,3,7,8-TCDF	0.001	0.006	0.001	0.002	0.006	0.003	0.003	0.006	0.009	0.009	0.011	0.006	0.010	0.011
1,2,3,7,8-PeCDF	<0.001	0.002	<0.001	0.001	0.002	0.001	0.001	0.001	0.002	0.002	0.002	0.002	0.002	0.003
2,3,4,7,8-PeCDF	<0.001	0.002	<0.001	0.001	0.002	0.001	0.002	0.002	0.003	0.003	0.004	0.002	0.003	0.004
1,2,3,4,7,8-HxCDF	0.001	0.007	0.001	0.002	0.006	0.003	0.003	0.005	0.007	0.007	0.007	0.005	0.009	0.007
1,2,3,6,7,8-HxCDF	0.001	0.003	<0.001	0.001	0.003	0.001	0.002	0.002	0.003	0.003	0.003	0.002	0.004	0.004
2,3,4,6,7,8-HxCDF	<0.001	0.002	0.001	0.001	0.003	0.001	0.001	0.002	0.004	0.002	0.003	0.002	0.003	0.003
1,2,3,7,8,9-HxCDF	<0.001	<0.001	<0.001	<0.001	<0.001	<0.001	<0.001	<0.001	<0.001	<0.001	<0.001	<0.001	<0.001	0.001
1,2,3,4,6,7,8-HpCDF	0.003	0.017	0.004	0.006	0.016	0.007	0.005	0.010	0.014	0.015	0.020	0.015	0.021	0.017
1,2,3,4,7,8,9-HpCDF	<0.001	0.003	<0.001	<0.001	<0.001	<0.001	<0.001	0.003	0.002	0.002	0.003	0.002	0.003	0.003
OCDF	0.003	0.016	0.002	0.005	0.011	0.006	0.005	0.011	0.009	0.013	0.020	0.014	0.018	0.013
PCDD/F Homologues														
TCDDs	0.002	0.021	0.004	0.004	0.006	0.005	0.006	0.019	0.018	0.023	0.022	0.015	0.011	0.024
PeCDDs	0.005	0.063	0.007	0.012	0.018	0.011	0.014	0.035	0.040	0.034	0.038	0.028	0.025	0.027
HxCDDs	0.006	0.216	0.006	0.031	0.047	0.024	0.030	0.088	0.119	0.104	0.155	0.073	0.070	0.082
HpCDDs	0.012	0.492	0.009	0.092	0.081	0.054	0.043	0.147	0.196	0.175	0.442	0.121	0.123	0.123
OCDD	0.017	0.942	0.009	0.182	0.153	0.089	0.052	0.228	0.287	0.280	0.819	0.151	0.223	0.177
TCDFs	0.008	0.052	0.013	0.025	0.046	0.025	0.019	0.043	0.069	0.067	0.074	0.055	0.051	0.116
PeCDFs	0.003	0.034	0.005	0.014	0.025	0.014	0.016	0.024	0.045	0.035	0.039	0.039	0.031	0.072
HxCDFs	0.003	0.034	0.006	0.013	0.032	0.012	0.018	0.024	0.040	0.031	0.041	0.035	0.041	0.059
HpCDFs	0.003	0.035	0.005	0.010	0.026	0.011	0.008	0.021	0.025	0.026	0.041	0.025	0.036	0.033
OCDF	0.003	0.016	0.002	0.005	0.011	0.006	0.005	0.011	0.009	0.013	0.020	0.014	0.018	0.013
Total														
∑ PCDDs	0.042	1.733	0.036	0.321	0.306	0.183	0.144	0.517	0.659	0.616	1.475	0.389	0.451	0.433
∑ PCDFs	0.020	0.170	0.031	0.067	0.140	0.066	0.065	0.123	0.187	0.172	0.215	0.167	0.176	0.292
∑ PCDD/Fs	0.062	1.904	0.066	0.388	0.445	0.249	0.210	0.640	0.846	0.787	1.690	0.556	0.627	0.725
∑ TEQ (PCDD/Fs)	0.003	0.022	0.004	0.006	0.008	0.005	0.006	0.011	0.013	0.012	0.016	0.008	0.009	0.012

Cuadro A21. Concentraciones atmosféricas de DDPC/DFPC (pg m⁻³) en sitios rurales de la NAPS en 2009

Station Name	Kejimikujik										Egbert									
Sampling Period	1	2	3	4	5	6	7	8	9	1	2	3	4	5	6	7	8	9	10	11
Sampling Date	1/13/09	2/6/09	3/2/09	3/26/09	4/19/09	5/13/09	6/6/09	7/24/09	8/17/09	1/13/09	2/6/09	3/2/09	3/26/09	4/19/09	7/24/09	8/17/09	9/10/09	10/4/09	10/28/09	11/21/09
Sampling Volume (m3)	641	621	633	690	917	649	567	623	617	655	534	606	642	730	481	466	609	718	666	568
PCDD/F Congeners																				
2,3,7,8-TCDD	<0.003	<0.001	0.002	<0.001	<0.002	<0.001	0.001	<0.001	<0.001	<0.002	0.001	<0.001	0.001	<0.001	<0.001	0.001	<0.001	0.001	0.001	0.001
1,2,3,7,8-PeCDD	<0.003	<0.002	0.002	0.000	<0.002	<0.001	0.000	<0.001	<0.001	0.003	0.004	<0.002	0.004	0.001	<0.001	0.002	0.001	0.004	0.004	0.010
1,2,3,4,7,8-HxCDD	<0.011	<0.003	0.004	0.001	<0.002	<0.001	<0.002	<0.001	<0.001	0.003	0.007	<0.003	0.005	0.002	0.001	0.002	0.001	0.007	0.007	0.016
1,2,3,6,7,8-HxCDD	<0.010	<0.002	0.005	0.001	<0.002	<0.001	<0.001	<0.001	0.001	0.004	0.007	<0.002	0.007	0.001	0.003	0.002	0.002	0.015	0.011	0.030
1,2,3,7,8,9-HxCDD	<0.010	<0.002	0.005	0.001	<0.002	<0.001	<0.001	<0.001	<0.001	0.009	0.014	<0.002	0.010	0.003	0.003	0.004	0.003	0.028	0.016	0.038
1,2,3,4,6,7,8-HpCDD	<0.007	0.005	0.008	0.007	0.004	0.003	0.003	0.002	0.002	0.081	0.104	0.006	0.097	0.025	0.021	0.031	0.018	0.251	0.159	0.486
OCDD	0.019	0.016	0.022	0.023	0.019	0.022	0.011	0.009	0.017	0.213	0.283	0.021	0.292	0.056	0.052	0.093	0.055	1.143	0.400	1.677
2,3,7,8-TCDF	0.004	0.003	0.003	0.002	0.001	0.001	0.001	0.002	0.002	0.011	0.014	0.004	0.014	0.004	0.004	0.009	0.005	0.006	0.009	0.019
1,2,3,7,8-PeCDF	<0.006	<0.001	0.002	0.001	0.000	<0.001	<0.001	<0.001	<0.001	<0.002	0.003	0.001	0.003	0.002	<0.001	0.002	0.001	0.001	0.002	0.005
2,3,4,7,8-PeCDF	<0.006	<0.002	0.003	0.001	<0.002	<0.001	<0.001	<0.001	0.001	0.004	0.006	<0.001	0.006	0.002	<0.001	0.002	0.001	0.001	0.004	0.011
1,2,3,4,7,8-HxCDF	<0.004	<0.002	0.004	0.002	0.001	0.001	<0.001	<0.001	0.001	0.008	0.010	0.001	0.010	0.002	0.002	0.007	0.003	0.006	0.009	0.051
1,2,3,6,7,8-HxCDF	<0.004	<0.001	0.004	0.001	<0.001	<0.001	<0.001	<0.001	<0.001	0.004	0.003	<0.002	0.005	<0.001	0.001	0.004	0.002	0.003	0.004	0.018
2,3,4,6,7,8-HxCDF	<0.005	<0.002	0.005	0.001	<0.002	<0.001	<0.001	<0.001	<0.001	0.002	0.004	<0.002	0.004	0.001	<0.002	0.005	0.001	0.008	0.003	0.019
1,2,3,7,8,9-HxCDF	<0.005	<0.002	0.005	<0.001	<0.002	<0.002	<0.002	<0.001	<0.001	<0.003	<0.003	<0.003	0.001	<0.002	<0.002	0.001	<0.001	<0.003	<0.001	0.001
1,2,3,4,6,7,8-HpCDF	<0.004	<0.003	0.006	0.002	0.002	0.002	0.001	0.001	0.002	0.011	<0.005	<0.003	0.019	0.004	0.002	0.012	0.007	0.016	0.023	0.144
1,2,3,4,7,8,9-HpCDF	<0.005	<0.004	0.004	<0.001	<0.001	<0.001	<0.001	<0.001	<0.001	0.001	<0.007	<0.004	0.001	<0.002	<0.001	0.003	0.001	0.006	0.003	0.014
OCDF	<0.005	<0.002	0.012	0.002	<0.003	0.002	0.001	0.001	0.003	0.005	0.010	0.003	0.017	0.003	0.003	0.006	0.006	0.024	0.027	0.131
PCDD/F Homologues																				
TCDDs	<0.003	0.001	0.006	0.002	0.001	0.001	0.002	0.001	0.001	0.015	0.036	0.008	0.027	0.012	0.006	0.017	0.005	0.011	0.039	0.100
PeCDDs	<0.003	0.006	0.007	0.005	<0.002	0.002	0.001	0.001	0.002	0.037	0.072	0.005	0.046	0.017	0.013	0.015	0.009	0.028	0.050	0.164
HxCDDs	<0.010	<0.002	0.017	0.008	<0.002	0.002	0.002	<0.001	0.003	0.093	0.141	0.003	0.102	0.030	0.029	0.033	0.026	0.165	0.149	0.465
HpCDDs	<0.007	0.010	0.012	0.014	0.010	0.008	0.006	0.004	0.005	0.188	0.251	0.014	0.208	0.051	0.052	0.059	0.042	0.494	0.333	1.175
OCDD	0.019	0.016	0.022	0.023	0.019	0.022	0.011	0.009	0.017	0.213	0.283	0.021	0.292	0.056	0.052	0.093	0.055	1.143	0.400	1.677
TCDFs	0.007	0.012	0.023	0.010	0.013	0.013	0.009	0.010	0.020	0.066	0.107	0.024	0.115	0.031	0.024	0.036	0.028	0.022	0.081	0.140
PeCDFs	<0.006	0.006	0.013	0.006	0.007	0.003	0.003	0.004	0.006	0.041	0.067	0.006	0.057	0.019	0.009	0.013	0.014	0.011	0.048	0.141
HxCDFs	<0.005	<0.002	0.018	0.005	0.001	0.003	<0.001	0.003	0.005	0.034	0.046	0.001	0.052	0.008	0.011	0.033	0.016	0.034	0.042	0.200
HpCDFs	<0.004	<0.003	0.010	0.002	0.002	0.002	0.001	0.002	0.002	0.019	0.013	<0.003	0.032	0.006	0.003	0.022	0.011	0.046	0.037	0.224
OCDF	<0.005	0.002	0.012	0.002	<0.003	0.002	0.001	0.001	0.003	0.005	0.010	0.003	0.017	0.003	0.003	0.006	0.006	0.024	0.027	0.131
Total																				
∑ PCDDs	0.019	0.033	0.064	0.051	0.030	0.034	0.022	0.015	0.027	0.547	0.784	0.050	0.674	0.167	0.152	0.217	0.136	1.841	0.972	3.581
∑ PCDFs	0.007	0.019	0.076	0.025	0.024	0.023	0.014	0.019	0.036	0.164	0.242	0.034	0.272	0.069	0.050	0.109	0.076	1.136	0.236	0.835
∑ PCDD/Fs	0.026	0.052	0.140	0.076	0.054	0.057	0.035	0.034	0.063	0.711	1.026	0.084	0.947	0.235	0.202	0.326	0.211	1.977	1.208	4.416
∑ TEQ (PCDD/Fs)	0.014	0.005	0.008	0.002	0.005	0.002	0.002	0.003	0.002	0.011	0.014	0.005	0.013	0.005	0.004	0.007	0.004	0.016	0.014	0.040

Cuadro A21. Concentraciones atmosféricas de DDPC/DFPC (pg m⁻³) en sitios rurales de la NAPS en 2009 (cont.)

Station Name	Point Petre											
Sampling Period	1	2	3	4	5	6	7	8	9	10	11	12
Sampling Date	1/13/09	2/6/09	3/2/09	3/26/09	4/19/09	5/13/09	6/6/09	7/24/09	8/17/09	9/10/09	10/28/09	11/21/09
Sampling Volume (m3)	656	699	748	820	788	778	588	563	671	620	681	556
PCDD/F Congeners												
2,3,7,8-TCDD	<0.001	0.002	<0.001	<0.001	<0.001	<0.001	<0.001	0.001	<0.002	<0.001	0.001	0.001
1,2,3,7,8-PeCDD	0.002	0.007	<0.001	0.002	0.002	0.002	0.003	<0.003	<0.002	0.002	0.004	0.003
1,2,3,4,7,8-HxCDD	0.004	0.008	0.001	0.004	0.002	0.003	0.005	<0.004	<0.004	0.001	0.007	0.003
1,2,3,6,7,8-HxCDD	0.006	0.014	<0.001	0.006	0.003	0.004	0.007	<0.004	0.002	0.002	0.011	0.006
1,2,3,7,8,9-HxCDD	0.007	0.020	0.002	0.008	0.005	0.008	0.010	0.004	0.002	0.002	0.013	0.007
1,2,3,4,6,7,8-HpCDD	0.077	0.167	0.010	0.079	0.050	0.064	0.158	0.027	0.028	0.036	0.135	0.095
OCDD	0.232	0.391	0.023	0.229	0.116	0.197	0.555	0.112	0.150	0.185	0.391	0.259
2,3,7,8-TCDF	0.007	0.010	0.002	0.008	0.004	0.005	0.006	0.006	0.007	0.008	0.008	0.008
1,2,3,7,8-PeCDF	0.002	0.003	0.001	0.002	0.001	0.002	0.001	0.002	0.002	0.002	0.002	0.001
2,3,4,7,8-PeCDF	0.003	0.005	<0.001	0.004	0.002	0.003	0.003	0.002	0.003	0.003	0.005	0.003
1,2,3,4,7,8-HxCDF	0.007	0.010	<0.001	0.009	0.006	0.010	0.007	<0.003	0.006	0.005	0.012	0.005
1,2,3,6,7,8-HxCDF	0.003	0.003	<0.001	0.004	0.002	0.005	0.003	<0.002	0.002	0.002	0.007	0.003
2,3,4,6,7,8-HxCDF	0.003	0.004	<0.001	0.004	0.002	0.004	0.003	<0.003	0.003	0.002	0.006	0.002
1,2,3,7,8,9-HxCDF	<0.002	<0.001	<0.002	<0.001	<0.001	<0.001	<0.001	<0.003	<0.003	<0.002	<0.001	<0.001
1,2,3,4,6,7,8-HpCDF	0.013	0.015	0.001	0.015	0.009	0.026	0.018	0.009	0.010	0.011	0.031	0.014
1,2,3,4,7,8,9-HpCDF	0.002	0.002	<0.001	0.002	0.001	0.002	0.003	<0.003	<0.002	0.001	0.005	0.002
OCDF	0.010	0.015	0.001	0.012	0.006	0.024	0.023	0.005	0.010	0.013	0.029	0.014
PCDD/F Homologues												
TCDDs	0.018	0.035	<0.001	0.020	0.013	0.014	0.014	0.008	0.011	0.012	0.024	0.019
PeCDDs	0.040	0.076	0.002	0.032	0.026	0.026	0.034	0.015	0.014	0.022	0.045	0.034
HxCDDs	0.086	0.206	0.012	0.088	0.066	0.074	0.113	0.023	0.036	0.026	0.130	0.083
HpCDDs	0.173	0.351	0.023	0.174	0.110	0.135	0.330	0.057	0.063	0.060	0.291	0.192
OCDD	0.232	0.391	0.023	0.229	0.116	0.197	0.555	0.112	0.150	0.185	0.391	0.259
TCDFs	0.067	0.094	0.006	0.075	0.038	0.060	0.063	0.089	0.109	0.076	0.092	0.078
PeCDFs	0.044	0.068	0.001	0.060	0.031	0.052	0.041	0.033	0.075	0.051	0.067	0.046
HxCDFs	0.038	0.073	0.003	0.051	0.028	0.054	0.043	0.016	0.034	0.039	0.075	0.039
HpCDFs	0.024	0.030	0.001	0.026	0.015	0.039	0.036	0.009	0.017	0.019	0.059	0.027
OCDF	0.010	0.015	0.001	0.012	0.006	0.024	0.023	0.005	0.010	0.013	0.029	0.014
Total												
∑ PCDDs	0.549	1.060	0.060	0.542	0.330	0.446	1.044	0.214	0.273	0.306	0.880	0.587
∑ PCDFs	0.183	0.280	0.013	0.224	0.117	0.230	0.206	0.152	0.244	0.199	0.323	0.205
∑ PCDD/Fs	0.733	1.339	0.072	0.766	0.447	0.676	1.251	0.366	0.517	0.504	1.203	0.791
∑ TEQ (PCDD/Fs)	0.009	0.019	0.004	0.009	0.005	0.009	0.011	0.008	0.008	0.006	0.015	0.010

Cuadro A21. Concentraciones atmosféricas de DDP/DFPC (pg m⁻³) en sitios rurales de la NAPS en 2009 (cont.)

Station Name	Burnt Island										Simcoe						
Sampling Period	1	2	3	4	5	6	7	8	9	10	1	2	3	4	5	6	7
Sampling Date	1/13/09	2/6/09	3/2/09	4/19/09	5/13/09	6/6/09	8/17/09	9/10/09	10/28/09	11/21/09	7/24/09	8/17/09	9/10/09	10/4/09	10/28/09	11/21/09	12/15/09
Sampling Volume (m3)	877	810	817	1063	762	1049	619	735	451	674	979	977	750	739	502	676	529
PCDD/F Congeners																	
2,3,7,8-TCDD	<0.001	<0.001	<0.001	<0.001	<0.001	<0.001	<0.001	<0.001	<0.003	<0.001	0.001	<0.001	<0.001	0.001	0.001	0.002	0.001
1,2,3,7,8-PeCDD	0.001	0.003	<0.001	0.001	0.001	0.000	<0.001	<0.001	<0.005	0.001	0.002	0.002	0.002	0.002	0.004	0.006	0.006
1,2,3,4,7,8-HxCDD	<0.004	0.003	0.000	0.001	0.003	<0.001	0.001	<0.001	0.002	0.002	0.003	0.001	0.001	0.002	0.004	0.009	0.007
1,2,3,6,7,8-HxCDD	0.002	0.004	<0.001	0.001	0.003	<0.001	0.001	<0.001	<0.006	0.005	0.003	0.002	0.003	0.003	0.012	0.015	0.015
1,2,3,7,8,9-HxCDD	0.002	0.007	<0.001	0.001	0.005	<0.001	0.001	<0.001	0.003	0.005	0.006	0.002	0.004	0.004	0.010	0.017	0.013
1,2,3,4,6,7,8-HpCDD	0.030	0.059	0.004	0.011	0.060	0.003	0.011	0.007	0.042	0.071	0.052	0.027	0.071	0.044	0.138	0.230	0.140
OCDD	0.107	0.187	0.025	0.026	0.218	0.011	0.052	0.027	0.178	0.281	0.124	0.099	0.412	0.138	0.347	0.702	0.310
2,3,7,8-TCDF	0.003	0.006	0.001	0.001	0.005	0.001	0.003	0.001	0.007	0.005	0.008	0.005	0.008	0.008	0.018	0.015	0.014
1,2,3,7,8-PeCDF	<0.002	0.001	<0.001	<0.001	0.002	<0.001	0.001	<0.001	0.001	0.002	0.002	0.003	0.002	0.002	0.004	0.003	0.003
2,3,4,7,8-PeCDF	<0.002	0.003	<0.001	0.001	0.003	<0.001	0.001	0.001	0.002	0.002	0.002	0.002	0.005	0.003	0.007	0.005	0.004
1,2,3,4,7,8-HxCDF	0.002	0.005	0.001	0.001	0.006	<0.001	0.001	0.001	0.005	0.005	0.004	0.004	0.006	0.005	0.022	0.010	0.009
1,2,3,6,7,8-HxCDF	0.001	0.002	<0.001	<0.001	0.002	<0.001	0.001	<0.001	<0.003	0.002	0.002	0.002	0.003	0.002	0.010	0.005	0.004
2,3,4,6,7,8-HxCDF	0.001	0.002	<0.001	<0.001	0.002	<0.001	<0.001	<0.001	<0.003	0.003	0.002	0.002	0.005	0.002	0.012	0.005	0.004
1,2,3,7,8,9-HxCDF	<0.002	<0.002	<0.001	<0.001	<0.001	<0.001	<0.001	<0.001	<0.003	<0.001	<0.001	<0.002	<0.002	0.000	<0.001	0.001	<0.002
1,2,3,4,6,7,8-HpCDF	0.003	0.011	0.001	0.002	0.012	<0.001	0.004	0.003	0.013	0.013	0.007	0.007	0.021	0.015	0.049	0.022	0.016
1,2,3,4,7,8,9-HpCDF	<0.002	0.001	<0.001	0.000	0.002	<0.001	<0.001	<0.001	<0.0069	<0.003	0.001	<0.002	0.003	<0.002	0.007	0.003	0.002
OCDF	0.007	0.010	0.004	0.002	0.016	0.001	0.007	0.003	0.025	0.020	0.007	0.008	0.038	0.016	0.071	0.031	0.014
PCDD/F Homologues																	
TCDDs	0.006	0.016	0.002	0.004	0.008	0.004	0.005	0.003	0.003	0.003	0.031	0.008	0.017	0.020	0.075	0.076	0.063
PeCDDs	0.015	0.030	0.001	0.007	0.019	0.002	0.016	0.005	0.034	0.016	0.033	0.008	0.021	0.023	0.079	0.090	0.085
HxCDDs	0.031	0.078	0.003	0.013	0.057	0.003	0.011	0.005	0.028	0.057	0.067	0.026	0.038	0.041	0.143	0.196	0.161
HpCDDs	0.076	0.146	0.007	0.022	0.142	0.006	0.023	0.014	0.078	0.153	0.115	0.056	0.132	0.090	0.244	0.430	0.274
OCDD	0.107	0.187	0.025	0.026	0.218	0.011	0.052	0.027	0.178	0.281	0.124	0.099	0.412	0.138	0.347	0.702	0.310
TCDFs	0.020	0.053	0.006	0.012	0.039	0.006	0.031	0.016	0.058	0.040	0.085	0.066	0.087	0.099	0.169	0.145	0.112
PeCDFs	0.009	0.025	0.001	0.008	0.025	0.001	0.013	0.004	0.026	0.027	0.052	0.035	0.049	0.045	0.124	0.096	0.080
HxCDFs	0.008	0.027	0.002	0.005	0.027	0.001	0.010	0.002	0.012	0.025	0.038	0.030	0.042	0.032	0.134	0.089	0.071
HpCDFs	0.006	0.019	0.003	0.004	0.022	0.001	0.006	0.003	0.022	0.018	0.013	0.011	0.045	0.025	0.092	0.050	0.035
OCDF	0.007	0.010	0.004	0.002	0.016	0.001	0.007	0.003	0.025	0.020	0.007	0.008	0.038	0.016	0.071	0.031	0.014
Total																	
∑ PCDDs	0.234	0.457	0.038	0.072	0.442	0.026	0.108	0.055	0.321	0.511	0.370	0.197	0.620	0.311	0.889	1.494	0.892
∑ PCDFs	0.049	0.134	0.016	0.030	0.129	0.010	0.068	0.027	0.143	0.130	0.195	0.150	0.261	0.217	0.591	0.410	0.312
∑ PCDD/Fs	0.283	0.590	0.054	0.102	0.572	0.036	0.176	0.082	0.464	0.641	0.565	0.347	0.881	0.528	1.479	1.904	1.204
∑ TEQ (PCDD/Fs)	0.005	0.008	0.001	0.002	0.006	0.001	0.002	0.002	0.012	0.007	0.007	0.006	0.008	0.006	0.018	0.020	0.017

Cuadro A22. Concentraciones atmosféricas de DDPC/DFPC (pg m^{-3}) en sitios suburbanos de la NAPS en 1994

Station Name	Saint John	Edmonton	Fort Saskatchewan		Trail
Sampling Period	1	1	1	2	1
Sampling Date	12/16/94	12/28/94	12/16/94	12/28/94	12/16/94
Sampling Volume (m3)	685	204	393	419	505
PCDD/F Congeners					
2,3,7,8-TCDD	<0.012	<0.020	<0.010	<0.010	<0.015
1,2,3,7,8-PeCDD	0.012	<0.020	0.021	<0.019	<0.015
1,2,3,4,7,8-HxCDD	0.006	<0.020	0.012	<0.019	<0.020
1,2,3,6,7,8-HxCDD	<0.006	0.026	0.034	<0.019	<0.020
1,2,3,7,8,9-HxCDD	0.011	<0.020	0.079	<0.019	<0.020
1,2,3,4,6,7,8-HpCDD	0.109	0.377	0.496	0.066	0.040
OCDD	0.396	2.392	1.121	0.413	0.145
2,3,7,8-TCDF	0.030	0.022	0.082	<0.010	0.075
1,2,3,7,8-PeCDF	<0.009	0.012	0.043	<0.010	<0.008
2,3,4,7,8-PeCDF	0.011	0.020	0.036	<0.010	0.009
1,2,3,4,7,8-HxCDF	<0.006	<0.020	0.090	<0.014	<0.015
1,2,3,6,7,8-HxCDF	0.013	<0.020	<0.010	<0.014	<0.015
2,3,4,6,7,8-HxCDF	0.011	<0.020	0.035	<0.014	<0.015
1,2,3,7,8,9-HxCDF	<0.006	<0.020	<0.010	<0.014	<0.015
1,2,3,4,6,7,8-HpCDF	0.032	0.053	0.125	<0.019	0.013
1,2,3,4,7,8,9-HpCDF	<0.012	<0.029	<0.015	<0.019	<0.012
OCDF	0.032	0.075	0.071	0.016	<0.024
PCDD/F Homologues					
TCDDs	0.014	<0.020	0.060	<0.010	<0.015
PeCDDs	0.040	<0.020	0.191	<0.019	<0.015
HxCDDs	0.080	0.026	0.588	<0.019	<0.020
HpCDDs	0.195	0.618	1.164	0.106	0.082
OCDD	0.396	2.392	1.121	0.413	0.145
TCDFs	0.054	0.022	0.282	<0.010	0.110
PeCDFs	0.058	0.041	0.348	<0.010	0.019
HxCDFs	0.073	<0.020	0.267	<0.014	<0.015
HpCDFs	0.061	0.084	0.199	<0.019	0.013
OCDF	0.032	0.075	0.071	0.016	<0.024
Total					
Σ PCDDs	0.725	3.036	3.125	0.519	0.227
Σ PCDFs	0.279	0.222	1.167	0.016	0.143
Σ PCDD/Fs	1.004	3.258	4.291	0.536	0.369
Σ TEQ (PCDD/Fs)	0.038	0.068	0.085	0.046	0.053

Cuadro A23. Concentraciones atmosféricas de DDPC/DFPC (pg m⁻³) en sitios suburbanos de la NAPS en 1995

Station Name	Saint John		Edmonton		Fort Saskatchewan			Trail	Chilliwack	
Sampling Period	1	1	2	3	1	2	3	1	1	2
Sampling Date	2/2/95	1/21/95	2/2/95	11/17/95	1/9/95	1/21/95	2/2/95	2/8/95	5/15/95	7/2/95
Sampling Volume (m3)	580	129	187	575	397	358	414	506	723	687
PCDD/F Congeners										
2,3,7,8-TCDD	<0.007	<0.015	<0.032	<0.006	<0.010	<0.017	<0.010	<0.016	<0.007	<0.006
1,2,3,7,8-PeCDD	<0.014	0.049	<0.021	<0.005	<0.010	<0.022	<0.015	<0.016	<0.011	<0.006
1,2,3,4,7,8-HxCDD	<0.010	<0.046	0.024	<0.017	<0.010	<0.017	<0.024	<0.008	<0.014	<0.006
1,2,3,6,7,8-HxCDD	<0.010	0.111	0.081	<0.017	<0.010	<0.017	<0.024	<0.008	<0.014	<0.006
1,2,3,7,8,9-HxCDD	<0.010	0.124	0.071	<0.017	<0.010	<0.017	<0.024	<0.008	<0.014	<0.006
1,2,3,4,6,7,8-HpCDD	0.113	0.992	0.733	0.256	0.069	0.442	0.051	<0.020	0.163	0.044
OCDD	0.407	1.567	1.875	0.541	0.196	0.798	0.207	0.189	0.403	0.163
2,3,7,8-TCDF	0.016	0.609	0.503	0.019	<0.005	0.130	0.014	0.073	0.046	0.020
1,2,3,7,8-PeCDF	<0.007	0.235	0.222	<0.004	<0.005	0.018	<0.015	<0.012	<0.006	<0.005
2,3,4,7,8-PeCDF	<0.007	0.210	0.214	<0.004	<0.005	0.034	<0.015	<0.012	<0.006	<0.005
1,2,3,4,7,8-HxCDF	<0.007	0.735	1.091	<0.006	<0.010	0.114	<0.010	<0.008	<0.009	<0.006
1,2,3,6,7,8-HxCDF	<0.007	0.210	0.302	<0.006	<0.010	0.025	<0.010	<0.008	<0.009	<0.006
2,3,4,6,7,8-HxCDF	<0.007	0.300	0.353	<0.006	<0.010	<0.022	<0.010	<0.008	<0.009	<0.006
1,2,3,7,8,9-HxCDF	<0.007	<0.031	<0.032	<0.006	<0.010	<0.022	<0.010	<0.008	<0.009	<0.006
1,2,3,4,6,7,8-HpCDF	0.031	0.908	2.014	<0.010	<0.020	0.102	0.015	0.021	0.013	0.006
1,2,3,4,7,8,9-HpCDF	<0.010	0.127	0.272	<0.010	<0.020	<0.022	<0.010	<0.012	<0.011	<0.006
OCDF	0.023	0.420	1.824	<0.012	<0.015	0.077	<0.035	<0.025	<0.028	<0.029
PCDD/F Homologues										
TCDDs	<0.007	0.442	0.152	0.006	<0.010	<0.017	<0.010	<0.016	0.007	<0.006
PeCDDs	<0.014	0.825	0.237	0.021	<0.010	0.103	<0.015	<0.016	0.014	<0.006
HxCDDs	<0.010	1.322	0.840	0.175	0.026	0.361	<0.024	0.009	0.073	<0.006
HpCDDs	0.209	1.916	1.396	0.567	0.153	0.935	0.124	0.029	0.344	0.090
OCDD	0.407	1.567	1.875	0.541	0.196	0.798	0.207	0.189	0.403	0.163
TCDFs	0.032	1.934	1.424	0.059	<0.005	0.317	0.014	0.090	0.090	0.027
PeCDFs	0.022	2.883	2.820	0.031	<0.005	0.301	0.018	0.018	0.037	0.023
HxCDFs	0.009	2.271	3.263	0.022	<0.010	0.234	<0.010	<0.008	0.017	0.007
HpCDFs	0.031	1.499	3.274	<0.010	<0.020	0.102	0.015	0.021	0.012	0.006
OCDF	0.023	0.420	1.824	<0.012	<0.015	0.077	<0.035	<0.025	<0.028	<0.029
Total										
∑ PCDDs	0.616	6.071	4.501	1.309	0.375	2.197	0.331	0.227	0.840	0.253
∑ PCDFs	0.117	9.007	2.606	0.112	0.000	1.031	0.047	0.129	0.155	0.063
∑ PCDD/Fs	0.733	15.078	7.107	1.422	0.375	3.227	0.378	0.355	0.995	0.316
∑ TEQ (PCDD/Fs)	0.032	0.372	0.401	0.025	0.030	0.092	0.043	0.049	0.034	0.020

Cuadro A24. Concentraciones atmosféricas de DDPC/DFPC (pg m⁻³) en sitios suburbanos de la NAPS en 1996

Station Name	Edmonton								Vancouver (Kensington)								Vancouver (Rocky Point)		
Sampling Period	1	2	3	4	5	3	4	6	1	2	3	4	5	6	7	8	9	1	2
Sampling Date	1/1/96	1/7/96	1/22/96	2/21/96	4/9/96	11/11/96	12/5/96	12/29/96	5/27/96	6/20/96	7/8/96	8/31/96	9/24/96	10/18/96	11/11/96	12/5/96	12/29/96	1/4/96	4/9/96
Sampling Volume (m3)	745	717	688	757	605	810	649	727	560	581	698	621	645	742	667	485	715	671	581
PCDD/F Congeners																			
2,3,7,8-TCDD	<0.001	0.005	0.008	<0.008	<0.003	<0.002	<0.006	<0.003	0.006	<0.007	<0.006	<0.003	<0.006	<0.005	<0.0048	<0.008	<0.006	<0.006	0.007
1,2,3,7,8-PeCDD	0.003	0.021	0.041	<0.008	<0.007	0.005	0.010	0.008	0.009	<0.007	<0.006	0.008	<0.012	<0.005	0.010	<0.012	0.016	0.014	0.016
1,2,3,4,7,8-HxCDD	0.003	0.025	0.073	<0.005	<0.010	<0.007	<0.012	0.003	0.006	<0.010	<0.011	0.004	<0.012	<0.004	0.009	<0.012	<0.011	0.013	0.019
1,2,3,6,7,8-HxCDD	0.006	0.053	0.087	0.007	<0.010	<0.007	<0.012	0.009	0.011	<0.010	0.012	0.008	<0.012	0.005	0.038	<0.012	0.026	0.035	0.021
1,2,3,7,8,9-HxCDD	0.008	0.070	0.201	0.006	<0.010	<0.007	0.028	0.011	0.016	<0.010	0.017	0.014	<0.012	0.005	0.042	<0.012	0.034	0.046	0.033
1,2,3,4,6,7,8-HpCDD	0.067	0.655	1.319	0.116	0.077	0.125	0.152	0.116	0.126	0.039	0.088	0.115	0.078	0.066	0.365	0.163	0.373	0.289	0.224
OCDD	0.234	1.358	2.639	0.453	0.337	0.280	0.678	0.574	0.429	0.100	0.292	0.320	0.265	0.248	0.923	0.524	1.327	0.800	0.517
2,3,7,8-TCDF	0.017	0.028	0.048	0.027	0.011	0.007	0.122	0.008	0.041	0.029	0.029	0.014	0.024	0.011	0.014	0.018	0.032	0.063	0.041
1,2,3,7,8-PeCDF	<0.001	0.006	0.018	0.008	<0.004	<0.002	0.047	<0.004	0.007	<0.007	<0.006	0.005	<0.009	<0.003	<0.005	<0.008	<0.003	0.008	0.012
2,3,4,7,8-PeCDF	0.006	0.009	0.023	0.013	<0.004	<0.002	0.039	<0.004	0.016	<0.007	<0.006	0.005	<0.009	0.009	0.014	<0.008	0.008	0.014	0.023
1,2,3,4,7,8-HxCDF	0.012	0.017	0.045	0.021	0.007	<0.007	0.126	0.004	0.011	0.008	0.014	0.010	<0.009	0.003	0.013	0.011	0.016	0.016	0.016
1,2,3,6,7,8-HxCDF	0.005	0.008	0.027	0.010	<0.003	<0.007	0.047	<0.004	0.006	<0.007	0.006	0.005	<0.009	0.003	0.007	<0.012	0.008	0.007	0.011
2,3,4,6,7,8-HxCDF	0.006	0.012	0.026	0.010	<0.003	<0.007	0.060	<0.004	0.007	<0.007	0.006	0.006	<0.009	<0.003	0.009	<0.012	<0.008	0.008	0.014
1,2,3,7,8,9-HxCDF	<0.001	<0.003	0.009	<0.005	<0.003	<0.007	<0.009	<0.004	<0.004	<0.007	<0.006	<0.003	<0.009	<0.003	<0.003	<0.012	<0.008	<0.006	0.006
1,2,3,4,6,7,8-HpCDF	0.024	0.051	0.090	0.036	0.020	0.012	0.171	0.018	0.027	0.014	0.046	0.026	0.017	0.001	0.035	0.025	0.027	0.024	0.033
1,2,3,4,7,8,9-HpCDF	0.003	0.007	0.017	<0.005	<0.005	<0.007	0.049	<0.006	<0.007	<0.007	<0.009	0.006	<0.012	<0.003	<0.007	<0.016	<0.008	<0.009	0.010
OCDF	0.024	0.050	0.085	0.038	0.026	<0.015	0.114	0.038	0.040	<0.014	0.103	0.027	<0.047	0.012	0.027	<0.041	0.048	0.026	0.036
PCDD/F Homologues																			
TCDDs	0.005	0.057	0.138	0.029	<0.003	0.004	0.013	0.004	0.026	0.045	0.006	0.016	<0.006	0.008	0.015	0.018	<0.006	<0.006	0.040
PeCDDs	0.015	0.216	0.475	0.016	<0.007	0.022	0.054	0.018	0.025	0.052	0.015	0.019	<0.012	0.017	0.056	<0.012	0.065	0.085	0.070
HxCDDs	0.052	0.584	1.627	0.066	0.048	0.106	0.205	0.065	0.121	0.093	0.189	0.077	0.055	0.054	0.345	0.163	0.292	0.322	0.260
HpCDDs	0.139	1.340	3.746	0.257	0.173	0.240	0.314	0.208	0.263	0.067	0.163	0.245	0.178	0.137	0.740	0.325	0.688	0.664	0.510
OCDD	0.234	1.358	2.639	0.453	0.337	0.280	0.678	0.574	0.429	0.100	0.292	0.320	0.265	0.248	0.923	0.524	1.327	0.800	0.517
TCDFs	0.060	0.129	0.189	0.131	0.039	0.017	0.565	0.020	0.145	0.139	0.079	0.050	0.043	0.057	0.072	0.063	0.184	0.162	0.164
PeCDFs	0.061	0.091	0.218	0.093	0.028	<0.002	0.470	0.007	0.059	0.091	0.040	0.015	0.020	0.013	0.049	0.034	0.078	0.099	0.039
HxCDFs	0.053	0.100	0.255	0.067	0.033	<0.007	0.459	0.013	0.053	0.068	0.103	0.066	0.031	0.022	0.071	0.015	0.033	0.076	0.089
HpCDFs	0.039	0.095	0.192	0.047	0.036	0.012	0.261	0.032	0.045	0.032	0.120	0.056	0.032	0.022	0.062	0.025	0.057	0.043	0.059
OCDF	0.024	0.050	0.085	0.038	0.026	<0.015	0.114	0.038	0.040	<0.014	0.103	0.027	<0.047	0.012	0.027	<0.041	0.048	0.026	0.036
Total																			
∑ PCDDs	0.445	3.555	8.625	0.822	0.559	0.652	1.264	0.870	0.865	0.356	0.665	0.676	0.498	0.465	2.079	1.030	2.372	1.871	1.397
∑ PCDFs	0.238	0.466	0.938	0.365	0.162	0.029	1.870	0.110	0.342	0.331	0.445	0.214	0.125	0.126	0.281	0.137	0.399	0.405	0.386
∑ PCDD/Fs	0.682	4.021	9.563	1.187	0.721	0.680	3.134	0.980	1.207	0.687	1.110	0.890	0.623	0.591	2.360	1.167	2.771	2.276	1.783
∑ TEQ (PCDD/Fs)	0.013	0.058	0.123	0.031	0.018	0.016	0.074	0.019	0.031	0.026	0.026	0.021	0.032	0.018	0.037	0.036	0.043	0.047	0.049

Cuadro A25. Concentraciones atmosféricas de DDPC/DFPC (pg m⁻³) en sitios suburbanos de la NAPS en 1997

Station Name	Edmonton																Vancouver (Kensington)						
Sampling Period	1	2	3	4	5	6	7	8	9	10	11	12	13	14	15	16	1	2	3	4	5	6	7
Sampling Date	1/22/97	2/15/97	3/11/97	3/11/97	4/28/97	5/22/97	6/15/97	7/9/97	8/2/97	8/26/97	9/19/97	10/13/97	10/25/97	11/6/97	11/30/97	12/24/97	2/15/97	3/11/97	4/4/97	4/28/97	5/22/97	6/15/97	10/13/97
Sampling Volume (m3)	772	781	756	718	726	733	614	618	655	591	680	790	752	737	762	748	739	721	757	758	696	756	839
PCDD/F Congeners																							
2,3,7,8-TCDD	<0.004	<0.003	<0.005	<0.003	<0.006	<0.005	<0.007	<0.003	0.003	<0.007	<0.003	<0.005	<0.003	<0.003	<0.003	0.003	<0.005	<0.006	<0.005	<0.005	<0.006	<0.005	<0.002
1,2,3,7,8-PeCDD	0.007	<0.005	0.007	<0.008	0.008	0.023	0.011	0.007	0.009	0.009	0.014	0.011	0.014	0.013	0.011	0.009	0.005	0.007	<0.005	0.011	<0.006	<0.008	<0.005
1,2,3,4,7,8-HxCDD	<0.005	<0.005	0.008	<0.006	<0.006	0.012	<0.007	0.010	0.010	0.012	0.017	0.012	0.017	0.014	0.012	0.009	<0.005	<0.006	<0.008	<0.005	<0.009	<0.006	<0.005
1,2,3,6,7,8-HxCDD	0.010	0.010	0.016	0.006	0.006	0.034	0.012	0.010	0.010	0.020	0.034	0.022	0.028	0.027	0.020	0.020	<0.005	0.007	<0.008	0.013	<0.009	0.010	0.005
1,2,3,7,8,9-HxCDD	0.009	0.010	0.019	0.011	<0.006	0.053	0.021	0.016	0.018	0.030	0.046	0.043	0.051	0.044	0.038	0.042	0.009	0.008	<0.008	0.011	<0.009	0.006	0.008
1,2,3,4,6,7,8-HpCDD	0.156	0.114	0.165	0.128	0.070	0.398	0.180	0.122	0.082	0.322	0.398	0.304	0.375	0.338	0.262	0.187	0.050	0.300	0.073	0.065	0.069	0.096	0.041
OCDD	0.913	0.477	1.191	0.834	0.295	0.915	0.758	0.502	0.282	0.807	1.103	0.741	0.953	0.998	0.664	0.653	0.159	1.538	0.258	0.166	0.265	0.363	0.152
2,3,7,8-TCDF	0.013	0.017	0.049	0.003	0.003	0.005	0.008	0.010	0.009	0.030	0.027	0.010	0.015	0.015	0.023	0.022	0.014	0.013	0.011	0.012	0.008	0.012	0.010
1,2,3,7,8-PeCDF	0.004	<0.003	0.025	<0.004	<0.003	<0.004	<0.003	<0.003	0.009	0.005	0.005	<0.005	0.005	0.009	0.004	0.005	<0.003	<0.006	<0.003	<0.003	<0.004	<0.004	<0.002
2,3,4,7,8-PeCDF	0.012	0.008	0.030	<0.004	<0.003	<0.004	0.004	<0.003	0.006	0.009	0.011	<0.005	0.007	0.007	0.008	0.007	<0.003	<0.006	<0.003	<0.003	<0.004	<0.004	0.002
1,2,3,4,7,8-HxCDF	0.009	0.005	0.134	<0.006	0.004	<0.004	0.008	0.008	0.009	0.027	0.027	0.011	0.014	0.020	0.019	0.016	<0.004	0.005	<0.005	0.004	<0.005	0.005	0.004
1,2,3,6,7,8-HxCDF	0.003	<0.003	0.058	<0.006	<0.003	<0.004	0.006	0.006	0.007	0.012	0.011	0.005	0.008	0.008	0.007	0.007	<0.004	<0.004	<0.005	<0.004	<0.005	<0.005	<0.002
2,3,4,6,7,8-HxCDF	0.004	<0.003	0.044	<0.006	<0.003	<0.004	0.008	0.008	0.009	0.018	0.018	0.005	0.009	0.008	0.010	0.005	<0.004	<0.004	<0.005	<0.004	<0.005	<0.005	<0.002
1,2,3,7,8,9-HxCDF	<0.003	<0.003	<0.005	<0.006	<0.003	<0.004	<0.005	<0.003	0.009	<0.004	0.007	<0.004	0.003	<0.003	<0.004	<0.005	<0.004	<0.004	<0.005	<0.004	<0.005	<0.005	<0.002
1,2,3,4,6,7,8-HpCDF	0.025	0.017	0.320	0.018	0.013	0.013	0.023	0.028	0.022	0.058	0.058	0.024	0.030	0.041	0.040	0.030	0.009	0.022	<0.005	0.010	<0.011	<0.005	0.008
1,2,3,4,7,8,9-HpCDF	<0.003	<0.005	0.035	<0.006	<0.006	<0.005	<0.008	<0.010	0.008	0.012	0.012	<0.006	0.009	<0.008	0.009	0.009	<0.005	<0.003	<0.005	<0.003	<0.011	<0.005	<0.005
OCDF	0.100	0.024	0.362	0.035	0.014	0.021	0.039	0.032	0.026	0.034	0.041	0.027	0.041	0.042	0.043	0.037	0.007	0.150	0.014	0.007	0.010	0.020	0.009
PCDD/F Homologues																							
TCDDs	<0.004	0.013	<0.005	<0.003	<0.006	<0.005	<0.007	0.009	0.003	<0.007	0.034	0.006	0.046	0.021	0.030	0.034	<0.005	<0.006	<0.005	0.006	<0.006	<0.005	0.005
PeCDDs	0.016	0.022	0.013	<0.008	0.008	0.086	0.011	0.014	0.009	0.035	0.079	0.051	0.123	0.045	0.110	0.184	0.005	0.007	<0.005	0.011	<0.006	<0.008	0.006
HxCDDs	0.070	0.095	0.094	0.038	0.019	0.395	0.092	0.090	0.079	0.190	0.323	0.299	0.389	0.410	0.230	0.332	0.051	0.057	0.035	0.053	0.016	0.074	0.047
HpCDDs	0.268	0.223	0.316	0.239	0.117	0.880	0.328	0.241	0.160	0.604	0.836	0.677	0.755	0.742	0.544	0.445	0.101	0.461	0.129	0.126	0.126	0.190	0.097
OCDD	0.913	0.477	1.191	0.834	0.295	0.915	0.758	0.502	0.282	0.807	1.103	0.741	0.953	0.998	0.664	0.653	0.159	1.538	0.258	0.166	0.265	0.363	0.152
TCDFs	0.067	0.052	0.242	<0.003	0.010	0.039	0.086	0.125	0.042	0.220	0.195	0.053	0.095	0.074	0.145	0.114	0.029	0.052	0.037	0.035	0.036	0.085	0.055
PeCDFs	0.020	0.016	0.319	0.007	0.019	0.015	0.082	0.084	0.054	0.148	0.138	0.012	0.052	0.048	0.067	0.051	0.021	0.014	0.010	0.016	0.009	0.022	0.011
HxCDFs	0.043	0.012	0.480	0.011	0.018	0.022	0.070	0.080	0.056	0.134	0.142	0.053	0.073	0.094	0.101	0.071	0.011	0.037	0.008	0.012	0.014	0.044	0.006
HpCDFs	0.075	0.034	0.496	0.036	0.023	0.027	0.038	0.049	0.044	0.091	0.110	0.049	0.063	0.078	0.088	0.066	0.009	0.123	<0.005	0.004	<0.011	<0.005	0.013
OCDF	0.100	0.024	0.362	0.035	0.014	0.021	0.039	0.032	0.026	0.034	0.041	0.027	0.041	0.042	0.043	0.037	0.007	0.150	0.014	0.007	0.010	0.020	0.009
Total																							
∑ PCDDs	1.267	0.829	1.615	1.111	0.439	2.277	1.189	0.855	0.533	1.636	2.375	1.773	2.265	2.215	1.578	1.648	0.317	2.062	0.423	0.362	0.407	0.627	0.307
∑ PCDFs	0.305	0.138	1.898	0.089	0.084	0.125	0.316	0.370	0.222	0.626	0.626	0.194	0.324	0.336	0.444	0.339	0.077	0.376	0.069	0.074	0.069	0.170	0.094
∑ PCDD/Fs	1.571	0.968	3.513	1.200	0.523	2.403	1.505	1.225	0.755	2.262	3.001	1.967	2.589	2.551	2.022	1.987	0.394	2.439	0.492	0.436	0.476	0.797	0.401
∑ TEQ (PCDD/Fs)	0.023	0.017	0.062	0.019	0.018	0.046	0.029	0.020	0.023	0.039	0.043	0.032	0.038	0.036	0.033	0.029	0.017	0.023	0.018	0.023	0.019	0.021	0.012

Cuadro A26. Concentraciones atmosféricas de DDPC/DFPC ($\mu\text{g m}^{-3}$) en sitios suburbanos de la NAPS en 1998

Station Name	Edmonton										Vancouver (Kensington)							
	1	2	3	4	5	6	7	8	9	10	1	2	3	4	5	6	7	8
Sampling Period	1/17/98	2/10/98	3/6/98	3/30/98	4/23/98	5/17/98	6/10/98	7/28/98	11/25/98	12/19/98	1/17/98	2/10/98	3/6/98	3/30/98	4/23/98	5/17/98	6/10/98	7/28/98
Sampling Date																		
Sampling Volume (m3)	814	723	776	725	674	689	593	619	778	891	785	787	785	737	784	792	722	431
PCDD/F Congeners																		
2,3,7,8-TCDD	<0.005	<0.003	<0.003	<0.010	<0.006	<0.003	<0.007	<0.003	<0.003	<0.002	<0.003	<0.003	<0.004	<0.003	0.003	<0.003	0.003	<0.005
1,2,3,7,8-PeCDD	0.009	0.007	<0.005	<0.008	<0.009	0.007	<0.020	0.009	<0.005	<0.002	0.005	0.010	0.014	<0.011	0.015	<0.010	0.011	0.019
1,2,3,4,7,8-HxCDD	0.008	<0.006	<0.005	<0.008	<0.012	0.007	<0.020	<0.004	0.007	<0.005	<0.006	<0.005	<0.011	0.006	0.011	0.010	0.008	0.012
1,2,3,6,7,8-HxCDD	0.010	0.008	<0.005	<0.008	<0.012	0.015	<0.020	0.009	0.017	<0.005	0.004	0.005	0.006	0.007	0.024	0.021	0.012	0.022
1,2,3,7,8,9-HxCDD	0.022	0.012	<0.005	0.015	<0.012	0.030	<0.020	0.008	0.034	0.011	0.006	0.010	0.008	0.007	0.037	0.022	0.008	0.027
1,2,3,4,6,7,8-HpCDD	0.122	0.079	0.060	0.177	0.167	0.230	0.064	0.096	0.196	0.069	0.035	0.061	0.036	0.120	0.286	0.177	0.086	0.173
OCDD	0.321	0.227	0.476	0.705	0.829	0.680	0.260	0.400	0.484	0.242	0.103	0.243	0.132	0.566	0.885	0.554	0.290	0.759
2,3,7,8-TCDF	0.022	0.011	0.004	0.011	0.004	0.005	<0.007	0.006	0.030	0.009	0.010	0.010	0.011	0.014	0.020	0.015	0.014	0.029
1,2,3,7,8-PeCDF	0.005	<0.006	<0.003	<0.008	<0.005	<0.003	<0.007	<0.003	<0.003	<0.002	0.004	<0.003	<0.007	<0.005	0.006	<0.005	0.006	0.011
2,3,4,7,8-PeCDF	0.007	<0.006	<0.003	<0.008	<0.005	<0.003	<0.007	<0.003	0.010	<0.002	0.003	0.003	<0.007	<0.005	0.008	0.008	0.008	0.011
1,2,3,4,7,8-HxCDF	0.018	0.007	<0.005	0.012	<0.009	0.006	<0.017	0.005	0.027	0.006	0.006	0.005	0.006	0.010	0.019	0.014	0.009	0.015
1,2,3,6,7,8-HxCDF	0.007	<0.007	<0.005	0.006	<0.009	0.003	<0.017	0.003	0.008	0.003	0.003	0.003	<0.005	0.008	0.009	0.009	0.007	0.012
2,3,4,6,7,8-HxCDF	0.011	<0.007	<0.005	0.006	<0.009	<0.003	<0.017	<0.006	0.009	<0.002	0.003	0.003	0.006	0.006	0.012	0.009	0.008	0.011
1,2,3,7,8,9-HxCDF	<0.002	<0.007	<0.005	<0.005	<0.009	<0.003	<0.017	<0.006	<0.005	<0.002	0.003	0.004	<0.005	<0.005	<0.003	0.005	0.005	<0.007
1,2,3,4,6,7,8-HpCDF	0.031	0.013	0.015	0.033	0.020	0.018	0.015	0.022	0.047	0.010	0.009	0.011	0.017	0.022	0.041	0.023	0.021	0.062
1,2,3,4,7,8,9-HpCDF	0.007	<0.006	<0.005	<0.009	<0.012	<0.009	<0.013	<0.013	0.006	<0.005	0.008	<0.008	0.011	<0.016	0.011	0.013	<0.006	<0.014
OCDF	0.023	0.017	0.022	0.038	0.024	0.026	0.036	0.036	0.033	0.014	0.023	<0.010	0.029	0.039	0.040	0.044	0.024	0.067
PCDD/F Homologues																		
TCDDs	0.023	0.013	<0.003	<0.010	<0.006	<0.003	<0.007	0.018	0.017	<0.002	0.008	<0.003	<0.004	0.009	0.030	0.009	0.007	0.033
PeCDDs	0.064	<0.006	<0.005	0.011	<0.009	0.011	<0.020	<0.006	0.025	<0.002	0.005	0.010	0.026	<0.011	0.041	<0.010	0.020	0.054
HxCDDs	0.144	0.080	0.013	0.105	0.030	0.164	<0.020	0.075	0.238	0.048	0.032	0.051	0.038	0.059	0.255	0.190	0.085	0.212
HpCDDs	0.277	0.163	0.113	0.333	0.304	0.472	0.064	0.186	0.425	0.139	0.072	0.126	0.063	0.248	0.610	0.348	0.159	0.354
OCDD	0.321	0.227	0.476	0.705	0.829	0.680	0.260	0.400	0.484	0.242	0.103	0.243	0.132	0.566	0.885	0.554	0.290	0.759
TCDFs	0.130	0.064	0.007	0.080	0.008	0.033	<0.007	0.039	0.126	0.028	0.059	0.053	0.045	0.029	0.142	0.079	0.085	0.252
PeCDFs	0.064	0.011	0.004	0.018	0.007	0.009	<0.007	0.017	0.080	0.028	0.016	0.016	0.010	<0.005	0.057	0.015	0.039	0.103
HxCDFs	0.080	0.028	0.007	0.070	0.012	0.034	<0.017	0.039	0.106	0.024	0.022	0.028	0.012	0.041	0.097	0.069	0.064	0.205
HpCDFs	0.054	0.013	0.026	0.068	0.020	0.035	0.015	0.048	0.056	0.015	0.022	0.018	0.037	0.053	0.087	0.052	0.037	0.135
OCDF	0.023	0.017	0.022	0.038	0.024	0.026	0.036	0.036	0.033	0.014	0.023	<0.01	0.029	0.039	0.040	0.044	0.024	0.067
Total																		
∑ PCDDs	0.828	0.483	0.602	1.154	1.163	1.327	0.325	0.679	1.189	0.428	0.221	0.430	0.259	0.883	1.822	1.100	0.561	1.412
∑ PCDFs	0.350	0.133	0.066	0.273	0.072	0.136	0.051	0.178	0.401	0.109	0.141	0.115	0.134	0.162	0.423	0.258	0.248	0.763
∑ PCDD/Fs	1.178	0.616	0.668	1.427	1.235	1.463	0.376	0.857	1.590	0.537	0.362	0.545	0.393	1.045	2.245	1.358	0.809	2.175
∑ TEQ (PCDD/Fs)	0.028	0.019	0.014	0.030	0.026	0.021	0.044	0.019	0.027	0.010	0.014	0.019	0.027	0.024	0.038	0.028	0.025	0.044

Cuadro A27. Concentraciones atmosféricas de DDPC/DFPC (pg m⁻³) en sitios suburbanos de la NAPS en 1999

Station Name	Montreal				Edmonton											
Sampling Period	1	2	3	4	1	2	3	4	5	6	7	8	9	10	11	12
Sampling Date	11/20/99	12/2/99	12/14/99	12/26/99	1/12/99	2/5/99	3/1/99	3/25/99	4/18/99	5/12/99	6/5/99	8/16/99	9/9/99	10/3/99	11/20/99	12/14/99
Sampling Volume (m3)	927	798	738	792	822	818	834	791	763	764	726	643	672	784	789	819
PCDD/F Congeners																
2,3,7,8-TCDD	0.009	0.003	<0.003	<0.005	<0.002	<0.002	<0.003	<0.003	<0.003	<0.003	<0.006	<0.006	<0.003	<0.003	0.003	<0.002
1,2,3,7,8-PeCDD	0.069	0.024	0.023	<0.005	0.003	<0.005	0.006	<0.003	<0.005	<0.003	<0.008	<0.012	<0.003	0.009	0.023	0.008
1,2,3,4,7,8-HxCDD	0.057	0.027	0.020	0.013	0.011	0.006	<0.005	<0.018	<0.005	<0.005	<0.008	<0.012	<0.003	0.005	0.023	0.003
1,2,3,6,7,8-HxCDD	0.093	0.049	0.035	0.021	0.019	0.009	0.007	<0.018	0.006	<0.005	<0.008	0.013	<0.003	0.007	0.039	0.007
1,2,3,7,8,9-HxCDD	0.154	0.069	0.062	0.031	0.031	0.021	0.020	<0.018	0.012	<0.005	<0.008	0.018	<0.003	0.014	0.065	0.014
1,2,3,4,6,7,8-HpCDD	0.932	0.478	0.407	0.312	0.208	0.103	0.095	0.098	0.072	0.038	0.101	0.117	0.023	0.101	0.401	0.087
OCDD	2.250	1.159	1.018	1.354	0.874	0.552	0.282	0.391	0.260	0.139	0.314	0.347	0.116	0.292	0.766	0.314
2,3,7,8-TCDF	0.344	0.056	0.099	0.024	0.011	0.008	0.009	0.009	0.005	0.005	<0.006	0.010	<0.003	0.005	0.040	0.008
1,2,3,7,8-PeCDF	0.061	0.010	0.057	0.006	<0.003	<0.002	<0.002	<0.005	<0.003	<0.004	<0.006	<0.006	<0.003	0.004	0.009	<0.002
2,3,4,7,8-PeCDF	0.129	0.018	0.075	0.010	0.003	<0.002	<0.002	<0.005	<0.003	<0.004	<0.006	<0.006	<0.003	<0.004	0.014	<0.002
1,2,3,4,7,8-HxCDF	0.271	0.034	0.170	0.021	0.008	0.007	0.013	0.008	<0.005	<0.005	<0.003	0.009	<0.004	0.005	0.021	0.007
1,2,3,6,7,8-HxCDF	0.117	0.016	0.088	0.010	0.003	<0.003	0.004	<0.005	<0.005	<0.005	<0.003	<0.008	<0.004	0.004	0.012	0.002
2,3,4,6,7,8-HxCDF	0.182	0.022	0.114	0.009	<0.002	<0.003	<0.002	<0.005	<0.005	<0.005	<0.003	0.008	<0.004	0.005	0.016	0.004
1,2,3,7,8,9-HxCDF	0.040	0.003	0.018	<0.005	<0.002	<0.003	<0.002	<0.005	<0.005	<0.005	<0.003	<0.008	<0.004	<0.003	<0.003	<0.002
1,2,3,4,6,7,8-HpCDF	0.450	0.060	0.355	0.069	0.030	0.018	0.018	0.015	0.011	0.010	0.010	0.026	0.007	0.017	0.041	0.018
1,2,3,4,7,8,9-HpCDF	0.058	0.014	0.072	0.007	<0.005	<0.007	<0.004	<0.006	<0.005	<0.005	<0.008	0.014	<0.004	<0.004	0.005	<0.002
OCDF	0.223	0.066	0.391	0.098	0.041	0.024	0.018	0.023	0.011	0.013	0.025	0.036	0.011	0.034	0.028	0.025
PCDD/F Homologues																
TCDDs	0.350	0.082	0.042	0.010	<0.002	<0.002	0.004	<0.003	0.004	<0.003	<0.006	0.009	<0.003	0.004	0.039	0.010
PeCDDs	0.782	0.202	0.168	0.024	0.022	<0.005	0.006	<0.003	0.008	<0.003	<0.008	0.016	<0.003	0.017	0.159	0.008
HxCDDs	1.296	0.545	0.460	0.183	0.201	0.089	0.103	0.113	0.075	0.017	0.030	0.132	0.003	0.091	0.496	0.080
HpCDDs	2.062	1.040	0.859	0.594	0.439	0.227	0.216	0.203	0.149	0.075	0.218	0.223	0.044	0.195	0.811	0.191
OCDD	2.250	1.159	1.018	1.354	0.874	0.552	0.282	0.391	0.260	0.139	0.314	0.347	0.116	0.292	0.766	0.314
TCDFs	1.784	0.338	0.763	0.104	0.045	0.018	0.032	0.030	0.011	0.011	<0.006	0.058	0.003	0.016	0.209	0.029
PeCDFs	1.452	0.188	0.880	0.069	0.031	0.019	0.018	0.013	0.016	0.008	0.017	0.067	<0.003	0.011	0.127	0.014
HxCDFs	1.244	0.147	0.895	0.102	0.042	0.028	0.033	0.022	0.010	0.009	0.018	0.054	0.006	0.022	0.089	0.030
HpCDFs	0.718	0.116	0.665	0.129	0.036	0.030	0.025	0.026	0.017	0.010	0.019	0.045	0.007	0.027	0.075	0.033
OCDF	0.223	0.066	0.391	0.098	0.041	0.024	0.018	0.023	0.011	0.013	0.025	0.036	0.011	0.034	0.028	0.025
Total																
∑ PCDDs	6.740	3.028	2.547	2.165	1.536	0.869	0.612	0.707	0.496	0.231	0.561	0.727	0.163	0.599	2.271	0.603
∑ PCDFs	5.421	0.855	3.594	0.502	0.195	0.119	0.126	0.113	0.065	0.051	0.078	0.260	0.027	0.110	0.528	0.131
∑ PCDD/Fs	12.161	3.883	6.141	2.667	1.731	0.988	0.738	0.820	0.561	0.282	0.639	0.987	0.190	0.709	2.799	0.734
∑ TEQ (PCDD/Fs)	0.259	0.066	0.120	0.031	0.017	0.015	0.017	0.018	0.015	0.012	0.021	0.030	0.010	0.019	0.057	0.017

Cuadro A28. Concentraciones atmosféricas de DDPC/DFPC (pg m⁻³) en sitios suburbanos de la NAPS en 2000

Station Name	Montreal										Edmonton											
	1	2	3	4	5	6	7	8	9	1	2	3	4	5	6	7	8	9	10	11	12	13
Sampling Period	1/7/00	1/19/00	1/31/00	2/12/00	2/24/00	3/7/00	3/19/00	12/8/00	12/20/00	1/7/00	1/31/00	2/24/00	3/19/00	4/12/00	5/6/00	5/30/00	6/23/00	8/10/00	9/3/00	9/27/00	11/14/00	12/8/00
Sampling Volume (m3)	763	803	770	1	750	765	776	1163	850	799	823	792	763	772	775	770	749	683	769	733	859	878
PCDD/F Congeners																						
2,3,7,8-TCDD	0.006	0.012	<0.005	<0.006	<0.003	0.004	<0.004	0.003	<0.002	<0.005	<0.002	<0.005	<0.004	<0.005	<0.005	<0.004	<0.005	<0.003	<0.003	<0.003	<0.007	<0.002
1,2,3,7,8-PeCDD	0.052	0.061	0.016	<0.004	0.027	0.026	0.016	0.015	0.010	0.006	0.008	0.014	0.005	0.004	0.005	<0.003	<0.005	<0.003	<0.003	0.015	0.023	0.004
1,2,3,4,7,8-HxCDD	0.052	0.064	0.015	<0.008	0.028	0.027	0.018	0.014	0.008	0.004	<0.004	0.011	<0.005	<0.007	<0.005	<0.006	<0.008	<0.004	<0.004	0.017	0.015	<0.004
1,2,3,6,7,8-HxCDD	0.111	0.114	0.026	<0.008	0.043	0.047	0.027	0.023	0.014	0.008	<0.004	0.018	0.006	<0.007	<0.005	0.008	<0.008	<0.004	<0.004	0.033	0.044	0.006
1,2,3,7,8,9-HxCDD	0.160	0.145	0.050	<0.008	0.085	0.082	0.048	0.037	0.020	0.011	0.013	0.035	0.005	0.007	<0.005	0.008	<0.008	<0.004	<0.004	0.036	0.067	0.007
1,2,3,4,6,7,8-HpCDD	1.316	1.086	0.290	<0.008	0.495	0.511	0.302	0.194	0.166	0.091	0.113	0.180	0.062	0.066	0.053	0.095	0.079	<0.009	<0.008	0.436	0.368	0.050
OCDD	3.035	2.506	1.229	0.034	1.364	1.525	0.767	0.477	0.550	0.295	0.311	0.465	0.232	0.359	0.178	0.302	0.377	0.154	0.066	1.255	0.822	0.318
2,3,7,8-TCDF	0.049	0.175	0.061	<0.006	0.106	0.070	0.047	0.126	0.016	0.022	0.013	0.054	0.004	0.004	0.004	0.004	<0.005	<0.003	<0.003	0.018	0.020	0.005
1,2,3,7,8-PeCDF	0.010	0.028	0.016	<0.004	0.021	0.014	0.010	0.022	0.003	<0.003	<0.003	0.012	<0.003	<0.003	<0.003	<0.003	<0.003	<0.003	<0.003	<0.003	0.007	<0.002
2,3,4,7,8-PeCDF	0.019	0.049	0.024	<0.004	0.037	0.021	0.015	0.041	0.006	0.004	0.007	0.018	<0.003	0.003	<0.003	<0.003	<0.003	<0.003	<0.003	0.003	0.011	0.003
1,2,3,4,7,8-HxCDF	0.042	0.119	0.061	<0.006	0.064	0.040	0.032	0.092	0.014	0.008	0.009	0.044	0.003	<0.004	0.004	0.007	0.007	<0.004	<0.003	0.010	0.013	0.006
1,2,3,6,7,8-HxCDF	0.018	0.041	0.030	<0.006	0.026	0.021	0.013	0.033	0.006	0.005	0.004	0.018	<0.003	<0.004	<0.003	0.004	0.004	<0.004	<0.003	0.006	0.011	0.004
2,3,4,6,7,8-HxCDF	0.025	0.053	0.032	<0.006	0.033	0.024	0.018	0.050	0.009	0.004	<0.004	0.023	0.003	<0.004	<0.003	<0.003	<0.004	<0.004	<0.003	<0.004	0.011	<0.004
1,2,3,7,8,9-HxCDF	<0.005	<0.005	<0.005	<0.006	<0.003	0.003	<0.003	<0.003	<0.002	<0.003	<0.004	<0.004	<0.003	<0.004	<0.003	<0.003	<0.004	<0.004	<0.003	<0.004	0.004	<0.004
1,2,3,4,6,7,8-HpCDF	0.095	0.208	0.117	<0.004	0.091	0.075	0.053	0.157	0.035	0.016	0.021	0.080	0.021	0.008	0.014	0.018	0.015	<0.009	<0.008	0.043	0.034	0.017
1,2,3,4,7,8,9-HpCDF	0.012	0.022	0.017	<0.004	0.014	0.016	0.009	0.024	0.007	<0.003	<0.004	0.011	<0.003	<0.006	<0.003	<0.005	<0.008	<0.009	<0.008	<0.008	<0.007	<0.005
OCDF	0.101	0.223	0.107	<0.01	0.072	0.063	0.047	0.116	0.040	0.020	0.025	0.048	0.026	0.013	<0.008	0.011	0.039	<0.011	<0.004	0.040	0.027	0.016
PCDD/F Homologues																						
TCDDs	0.124	0.273	0.030	<0.006	0.121	0.114	0.031	0.131	0.008	0.058	0.008	0.079	0.004	<0.005	<0.005	0.004	<0.005	<0.003	<0.003	<0.003	0.010	0.004
PeCDDs	0.444	0.658	0.115	<0.004	0.296	0.266	0.130	0.236	0.050	0.025	0.033	0.118	0.010	0.016	0.010	0.010	<0.005	<0.003	<0.003	0.061	0.088	0.012
HxCDDs	1.265	1.423	0.311	<0.008	0.699	0.687	0.325	0.316	0.148	0.101	0.087	0.258	0.042	0.042	0.026	0.069	0.027	<0.004	<0.004	0.425	0.422	0.048
HpCDDs	2.582	2.584	0.619	0.012	1.267	1.183	0.674	0.413	0.298	0.177	0.232	0.421	0.121	0.137	0.097	0.196	0.155	<0.009	<0.008	1.085	0.758	0.098
OCDD	3.035	2.506	1.229	0.034	1.364	1.525	0.767	0.477	0.550	0.295	0.311	0.465	0.232	0.359	0.178	0.302	0.377	0.154	0.066	1.255	0.822	0.318
TCDFs	0.281	0.927	0.538	<0.006	0.715	0.462	0.275	0.728	0.069	0.181	0.053	0.315	0.011	0.009	0.008	0.017	0.009	0.010	0.008	0.057	0.081	0.008
PeCDFs	0.185	0.550	0.314	<0.004	0.456	0.296	0.197	0.549	0.047	0.041	0.025	0.233	0.012	0.008	0.007	0.022	<0.003	<0.003	0.009	0.070	0.055	0.013
HxCDFs	0.223	0.492	0.331	<0.006	0.313	0.239	0.152	0.431	0.050	0.032	0.028	0.200	0.021	0.006	0.018	0.024	0.043	<0.004	<0.003	0.080	0.079	0.023
HpCDFs	0.186	0.351	0.208	<0.004	0.174	0.158	0.105	0.265	0.061	0.030	0.021	0.125	0.036	0.016	0.023	0.026	0.015	<0.009	<0.008	0.085	0.034	0.029
OCDF	0.101	0.223	0.107	<0.010	0.072	0.063	0.047	0.116	0.040	0.020	0.025	0.048	0.026	0.013	0.000	0.011	0.039	<0.011	<0.004	0.040	0.027	0.016
Total																						
∑ PCDDs	7.450	7.444	2.304	0.046	3.747	3.775	1.927	1.573	1.054	0.656	0.671	1.341	0.409	0.554	0.311	0.581	0.559	0.154	0.066	2.826	2.100	0.480
∑ PCDFs	0.976	2.543	1.498	0.000	1.730	1.218	0.776	2.089	0.267	0.304	0.152	0.921	0.106	0.052	0.056	0.100	0.106	0.010	0.017	0.332	0.276	0.089
∑ PCDD/Fs	8.426	9.987	3.802	0.046	5.477	4.993	2.703	3.662	1.321	0.960	0.823	2.262	0.515	0.606	0.367	0.681	0.665	0.164	0.083	3.158	2.376	0.569
∑ TEQ (PCDD/Fs)	0.125	0.174	0.061	0.017	0.087	0.075	0.049	0.073	0.025	0.020	0.019	0.048	0.014	0.015	0.015	0.014	0.017	0.010	0.010	0.037	0.056	0.012

Cuadro A29. Concentraciones atmosféricas de DDPC/DFPC ($\mu\text{g m}^{-3}$) en sitios suburbanos de la NAPS en 2001 (cont.)

Station Name	Edmonton									
Sampling Period	1	2	3	4	5	6	7	8	9	10
Sampling Date	1/1/01	1/25/01	3/14/01	4/7/01	5/1/01	5/25/01	6/18/01	8/5/01	9/22/01	11/9/01
Sampling Volume (m3)	747	760	787	793	814	722	799	749	847	900
PCDD/F Congeners										
2,3,7,8-TCDD	0.004	0.004	<0.003	<0.003	<0.003	<0.003	<0.003	<0.003	<0.001	0.003
1,2,3,7,8-PeCDD	0.023	0.031	0.010	0.005	0.004	0.006	0.013	0.009	0.005	0.024
1,2,3,4,7,8-HxCDD	0.028	0.043	<0.005	<0.005	<0.005	<0.006	0.027	0.006	<0.002	0.038
1,2,3,6,7,8-HxCDD	0.048	0.050	0.018	<0.005	<0.005	<0.006	0.024	0.015	0.003	0.059
1,2,3,7,8,9-HxCDD	0.070	0.111	0.022	<0.005	<0.005	0.006	0.058	0.012	0.003	0.063
1,2,3,4,6,7,8-HpCDD	0.538	0.539	0.187	0.051	0.047	0.050	0.274	0.099	0.025	0.636
OCDD	1.054	0.958	0.635	0.178	0.238	0.193	0.698	0.305	0.100	1.277
2,3,7,8-TCDF	0.024	0.023	0.035	0.005	0.005	0.006	0.011	0.006	0.006	0.015
1,2,3,7,8-PeCDF	0.005	0.005	0.008	<0.003	<0.003	<0.003	<0.003	<0.003	0.001	0.005
2,3,4,7,8-PeCDF	0.009	0.009	0.012	<0.003	<0.003	<0.003	0.004	<0.003	0.002	0.007
1,2,3,4,7,8-HxCDF	0.023	0.018	0.027	0.004	<0.005	0.004	0.005	0.006	0.003	0.014
1,2,3,6,7,8-HxCDF	0.009	0.006	0.012	0.004	<0.005	<0.004	0.005	<0.003	0.002	0.006
2,3,4,6,7,8-HxCDF	0.014	0.008	0.016	<0.003	<0.005	<0.004	0.007	<0.003	<0.001	0.010
1,2,3,7,8,9-HxCDF	<0.003	<0.003	<0.004	<0.003	<0.005	<0.004	<0.003	<0.003	<0.001	0.000
1,2,3,4,6,7,8-HpCDF	0.056	0.034	0.056	0.014	0.017	0.017	0.024	0.028	0.008	0.046
1,2,3,4,7,8,9-HpCDF	0.009	<0.007	<0.013	<0.006	<0.01	<0.008	<0.004	<0.005	<0.001	0.005
OCDF	0.072	0.024	0.040	0.023	0.029	0.023	0.049	0.044	0.007	0.055
PCDD/F Homologues										
TCDDs	0.064	0.099	0.003	<0.003	<0.003	0.009	0.016	0.005	0.011	0.088
PeCDDs	0.214	0.363	0.038	0.005	0.008	0.015	0.087	0.019	0.020	0.274
HxCDDs	0.597	0.904	0.162	0.005	0.012	0.053	0.402	0.100	0.028	1.022
HpCDDs	1.071	1.460	0.408	0.088	0.100	0.090	0.733	0.197	0.046	1.422
OCDD	1.054	0.958	0.635	0.178	0.238	0.193	0.698	0.305	0.100	1.277
TCDFs	0.111	0.102	0.108	0.008	0.008	0.028	0.045	0.042	0.031	0.099
PeCDFs	0.081	0.077	0.076	0.004	0.006	0.046	0.041	0.057	0.019	0.072
HxCDFs	0.117	0.090	0.111	0.013	0.012	0.037	0.059	0.064	0.020	0.089
HpCDFs	0.104	0.056	0.056	0.014	0.033	0.017	0.045	0.044	0.013	0.094
OCDF	0.072	0.024	0.040	0.023	0.029	0.023	0.049	0.044	0.007	0.055
Total										
Σ PCDDs	3.000	3.784	1.246	0.276	0.358	0.360	1.936	0.626	0.205	4.083
Σ PCDFs	0.485	0.349	0.391	0.062	0.088	0.151	0.239	0.251	0.089	0.410
Σ PCDD/Fs	3.485	4.133	1.637	0.338	0.446	0.511	2.175	0.877	0.295	4.493
Σ TEQ (PCDD/Fs)	0.058	0.070	0.034	0.013	0.013	0.015	0.035	0.020	0.009	0.056

Cuadro A31. Concentraciones atmosféricas de DDPC/DFPC (pg m⁻³) en sitios suburbanos de la NAPS en 2003

Station Name	Saint John					Montreal									Edmonton						
Sampling Period	1	2	3	4	5	1	2	3	4	5	6	7	8	9	1	2	3	4	5	6	7
Sampling Date	8/1/03	8/25/03	9/18/03	11/5/03	12/23/03	4/27/03	5/21/03	6/14/03	8/1/03	8/25/03	9/18/03	11/5/03	11/29/03	12/23/03	4/27/03	5/21/03	6/14/03	8/1/03	8/25/03	11/5/03	12/23/03
Sampling Volume (m3)	675	558	535	690	829	708	752	709	634	644	775	810	833	702	772	741	727.7	620	559	755	891
PCDD/F Congeners																					
2,3,7,8-TCDD	<0.001	0.001	0.001	0.001	<0.002	0.001	<0.001	0.001	0.001	0.003	0.002	0.005	0.002	0.004	0.000	<0.001	0.002	<0.001	0.001	<0.001	0.002
1,2,3,7,8-PeCDD	0.004	0.005	0.005	0.006	0.022	0.006	0.006	0.008	0.012	0.011	0.011	0.025	0.012	0.026	0.004	0.006	0.014	0.006	0.007	0.009	0.009
1,2,3,4,7,8-HxCDD	0.001	0.001	0.001	0.004	0.025	0.003	0.001	0.005	0.007	0.006	0.008	0.021	0.010	0.025	0.002	0.002	0.013	<0.002	0.002	0.006	0.006
1,2,3,6,7,8-HxCDD	0.000	0.002	0.002	0.004	0.023	0.005	0.002	0.008	0.010	0.009	0.012	0.038	0.019	0.051	0.003	0.006	0.024	0.003	0.010	0.012	0.011
1,2,3,7,8,9-HxCDD	<0.001	0.002	0.001	0.006	0.028	0.005	0.003	0.006	0.009	0.007	0.012	0.038	0.021	0.055	0.003	0.004	0.021	0.004	0.012	0.013	0.008
1,2,3,4,6,7,8-HpCDD	0.010	0.009	0.010	0.056	0.062	0.064	0.025	0.068	0.077	0.126	0.100	0.385	0.233	0.589	0.035	0.065	0.232	0.050	0.133	0.131	0.108
OCDD	0.025	0.029	0.025	0.173	0.140	0.199	0.071	0.277	0.225	0.374	0.225	0.880	1.725	1.523	0.183	0.313	0.732	0.533	0.392	0.419	0.290
2,3,7,8-TCDF	0.002	0.003	0.003	0.007	0.024	0.014	0.007	0.016	0.018	0.023	0.047	0.068	0.013	0.076	0.003	0.005	0.011	0.003	0.007	0.021	0.121
1,2,3,7,8-PeCDF	0.001	0.001	0.001	0.002	0.018	0.003	0.002	0.003	0.004	0.006	0.009	0.012	0.003	0.015	0.001	0.001	0.002	0.001	0.002	0.004	0.012
2,3,4,7,8-PeCDF	0.001	0.001	0.001	0.003	0.023	0.004	0.003	0.005	0.004	0.010	0.022	0.022	0.004	0.025	0.001	<0.001	0.004	<0.001	0.002	0.007	0.030
1,2,3,4,7,8-HxCDF	0.001	0.002	0.004	0.004	0.033	0.007	0.004	0.008	0.011	0.023	0.069	0.047	0.009	0.067	0.002	0.004	0.007	0.003	0.007	0.014	0.052
1,2,3,6,7,8-HxCDF	0.001	0.001	0.002	0.002	0.023	0.003	0.003	0.005	0.007	0.012	0.029	0.018	0.006	0.032	0.001	0.002	0.005	0.002	0.004	0.006	0.019
2,3,4,6,7,8-HxCDF	0.001	0.001	0.002	0.003	0.031	0.003	0.002	0.003	0.005	0.012	0.038	0.021	0.005	0.030	0.001	<0.001	0.004	<0.001	0.004	0.006	0.018
1,2,3,7,8,9-HxCDF	<0.001	0.001	0.001	0.003	0.018	0.000	<0.001	<0.001	<0.002	<0.001	0.003	<0.001	<0.001	0.002	<0.001	<0.001	0.001	<0.001	<0.001	<0.002	<0.001
1,2,3,4,6,7,8-HpCDF	0.006	0.006	0.010	0.007	0.039	0.017	0.013	0.020	0.031	0.060	0.168	0.064	0.048	0.175	0.007	0.018	0.021	0.009	0.023	0.032	0.085
1,2,3,4,7,8,9-HpCDF	0.001	0.001	0.002	0.004	0.018	0.002	<0.001	0.002	0.001	0.008	0.023	0.010	0.004	0.019	0.000	0.001	0.005	<0.001	0.004	<0.004	0.010
OCDF	0.003	0.006	0.011	0.016	0.044	0.010	0.008	0.011	0.018	0.044	0.116	0.066	0.089	0.151	0.008	0.022	0.022	0.016	0.027	0.049	0.127
PCDD/F Homologues																					
TCDDs	0.003	0.003	0.003	0.008	0.027	0.020	0.014	0.023	0.031	0.060	0.034	0.134	0.029	0.104	0.006	0.010	0.034	0.006	0.017	0.026	0.072
PeCDDs	0.011	0.010	0.013	0.018	0.055	0.036	0.032	0.042	0.059	0.096	0.086	0.251	0.079	0.261	0.016	0.029	0.088	0.021	0.042	0.066	0.093
HxCDDs	0.011	0.014	0.017	0.064	0.128	0.065	0.046	0.081	0.118	0.150	0.173	0.561	0.235	0.689	0.037	0.064	0.225	0.047	0.139	0.183	0.160
HpCDDs	0.016	0.016	0.017	0.115	0.107	0.116	0.047	0.118	0.152	0.210	0.188	0.734	0.438	1.119	0.064	0.126	0.431	0.096	0.240	0.266	0.208
OCDD	0.025	0.029	0.025	0.173	0.140	0.199	0.071	0.277	0.225	0.374	0.225	0.880	1.725	1.523	0.183	0.313	0.732	0.533	0.392	0.419	0.290
TCDFs	0.023	0.021	0.030	0.053	0.131	0.115	0.087	0.143	0.156	0.247	0.240	0.452	0.097	0.457	0.019	0.041	0.090	0.029	0.061	0.130	0.548
PeCDFs	0.017	0.015	0.022	0.026	0.095	0.070	0.077	0.124	0.136	0.269	0.228	0.298	0.081	0.343	0.015	0.030	0.073	0.023	0.054	0.080	0.278
HxCDFs	0.011	0.013	0.027	0.021	0.125	0.046	0.057	0.079	0.123	0.182	0.343	0.234	0.104	0.405	0.013	0.033	0.077	0.029	0.058	0.067	0.194
HpCDFs	0.008	0.007	0.018	0.015	0.057	0.026	0.019	0.034	0.047	0.096	0.252	0.115	0.086	0.289	0.011	0.034	0.048	0.019	0.047	0.057	0.124
OCDF	0.003	0.006	0.011	0.016	0.044	0.010	0.008	0.011	0.018	0.044	0.116	0.066	0.089	0.151	0.008	0.022	0.022	0.016	0.027	0.049	0.127
Total																					
∑ PCDDs	0.066	0.071	0.075	0.378	0.456	0.436	0.210	0.540	0.585	0.890	0.707	2.560	2.505	3.695	0.305	0.540	1.510	0.703	0.830	0.960	0.823
∑ PCDFs	0.062	0.062	0.109	0.131	0.452	0.266	0.248	0.391	0.480	0.838	1.179	1.165	0.457	1.645	0.067	0.160	0.309	0.116	0.247	0.382	1.271
∑ PCDD/Fs	0.128	0.133	0.184	0.509	0.908	0.703	0.458	0.931	1.065	1.727	1.886	3.725	2.963	5.340	0.372	0.701	1.820	0.819	1.077	1.342	2.093
∑ TEQ (PCDD/Fs)	0.006	0.007	0.008	0.012	0.053	0.013	0.010	0.016	0.023	0.028	0.044	0.067	0.026	0.079	0.007	0.010	0.029	0.010	0.015	0.022	0.046

Cuadro A32. Concentraciones atmosféricas de DDPC/DFPC (pg m⁻³) en sitios suburbanos de la NAPS en 2004

Station Name	Saint John										Montreal									
	1	2	3	4	5	6	7	8	9	10	1	2	3	4	5	6	7	8	9	10
Sampling Period																				
Sampling Date	1/16/04	3/28/04	3/4/04	5/15/04	6/8/04	7/26/04	9/12/04	10/6/04	11/23/04	12/17/04	3/4/04	3/28/04	4/21/04	5/15/04	6/8/04	7/26/04	8/19/04	9/12/04	11/23/04	12/17/04
Sampling Volume (m3)	650	703	634	578	716	585	615	631	673	665	624	677	678	715	676	725	752	821	688	739
PCDD/F Congeners																				
2,3,7,8-TCDD	<0.002	<0.001	<0.001	<0.001	<0.002	<0.001	<0.006	<0.001	0.001	0.001	0.004	0.001	0.001	0.002	0.003	0.002	0.002	0.002	0.004	0.001
1,2,3,7,8-PeCDD	0.003	0.004	0.005	0.005	0.004	0.005	0.006	0.004	0.005	0.006	0.019	0.006	0.010	0.013	0.015	0.015	0.020	0.015	0.015	0.008
1,2,3,4,7,8-HxCDD	<0.002	0.001	0.002	0.001	0.001	0.002	0.002	<0.001	0.002	0.003	0.014	0.004	0.008	0.007	0.009	0.012	0.017	0.014	0.012	0.009
1,2,3,6,7,8-HxCDD	<0.002	0.001	0.002	<0.001	0.001	0.002	0.003	<0.001	0.003	0.005	0.024	0.004	0.015	0.013	0.013	0.018	0.037	0.023	0.017	0.014
1,2,3,7,8,9-HxCDD	<0.002	0.001	0.005	0.002	0.002	0.002	0.005	0.003	0.003	0.007	0.031	0.006	0.010	0.011	0.010	0.022	0.025	0.030	0.026	0.018
1,2,3,4,6,7,8-HpCDD	0.018	0.014	0.012	0.015	0.013	0.019	0.042	0.013	0.030	0.068	0.229	0.055	0.154	0.095	0.092	0.171	0.267	0.375	0.253	0.231
OCDD	0.070	0.060	0.041	0.048	0.042	0.067	0.108	0.051	0.085	0.215	0.583	0.183	0.688	0.262	0.264	0.468	0.649	1.022	0.710	1.092
2,3,7,8-TCDF	0.009	0.005	0.007	0.002	0.005	0.002	0.005	0.001	0.006	0.019	0.099	0.018	0.027	0.021	0.004	0.011	0.005	0.008	0.015	0.005
1,2,3,7,8-PeCDF	<0.001	0.001	0.002	0.001	<0.001	0.002	0.001	0.001	0.008	0.008	0.017	0.004	0.008	0.006	0.006	0.011	0.007	0.005	0.012	0.005
2,3,4,7,8-PeCDF	0.002	0.001	0.003	0.001	<0.002	0.001	0.002	0.001	0.012	0.013	0.032	0.007	0.011	0.006	0.011	0.011	0.022	0.030	0.011	0.010
1,2,3,4,7,8-HxCDF	0.004	0.002	0.004	0.002	0.003	0.004	0.007	0.002	0.024	0.016	0.067	0.011	0.033	0.016	0.016	0.046	0.025	0.017	0.043	0.022
1,2,3,6,7,8-HxCDF	<0.002	0.001	0.002	0.001	0.002	0.002	0.002	<0.001	0.011	0.006	0.027	0.004	0.016	0.011	0.011	0.022	0.030	0.011	0.017	0.010
2,3,4,6,7,8-HxCDF	0.001	0.001	0.003	0.002	0.002	0.002	0.004	<0.001	0.013	0.007	0.031	0.004	0.014	0.007	0.010	0.022	0.012	0.009	0.017	0.010
1,2,3,7,8,9-HxCDF	<0.002	<0.001	<0.001	<0.001	<0.002	0.001	<0.001	<0.001	<0.001	<0.001	0.002	<0.001	0.003	0.001	0.003	<0.002	<0.002	0.001	0.001	<0.001
1,2,3,4,6,7,8-HpCDF	0.009	0.006	0.009	0.006	0.006	0.009	0.016	0.005	0.035	0.028	0.095	0.019	0.105	0.050	0.059	0.101	0.156	0.051	0.064	0.059
1,2,3,4,7,8,9-HpCDF	<0.003	<0.001	0.002	<0.002	<0.002	<0.001	0.002	<0.001	0.007	0.004	0.014	0.003	0.016	0.005	0.008	0.013	0.007	0.006	0.008	0.009
OCDF	0.014	0.006	0.012	0.004	0.006	0.006	0.009	0.004	0.023	0.024	0.061	0.015	0.109	0.037	0.029	0.047	0.037	0.029	0.041	0.052
PCDD/F Homologues																				
TCDDs	0.006	0.006	0.004	0.004	<0.002	0.003	0.005	0.001	0.014	0.012	0.114	0.016	0.028	0.067	0.044	0.085	0.046	0.055	0.096	0.039
PeCDDs	0.017	0.010	0.024	0.024	0.019	0.008	0.024	0.014	0.030	0.034	0.192	0.034	0.056	0.115	0.101	0.150	0.145	0.145	0.174	0.079
HxCDDs	0.019	0.018	0.027	0.012	0.013	0.024	0.048	0.014	0.052	0.079	0.380	0.069	0.156	0.175	0.162	0.302	0.424	0.362	0.343	0.201
HpCDDs	0.031	0.024	0.020	0.024	0.022	0.033	0.074	0.024	0.056	0.130	0.441	0.105	0.274	0.174	0.167	0.312	0.508	0.736	0.491	0.398
OCDD	0.070	0.060	0.041	0.048	0.042	0.067	0.108	0.051	0.085	0.215	0.583	0.183	0.688	0.262	0.264	0.468	0.649	1.022	0.710	1.092
TCDFs	0.038	0.034	0.040	0.032	0.018	0.043	0.040	0.025	0.177	0.201	0.593	0.122	0.236	0.251	0.264	0.534	0.219	0.276	0.318	0.162
PeCDFs	0.016	0.015	0.021	0.011	0.009	0.024	0.032	0.013	0.185	0.110	0.408	0.085	0.137	0.128	0.298	0.511	0.443	0.261	0.236	0.115
HxCDFs	0.010	0.010	0.017	0.011	0.014	0.023	0.041	0.008	0.140	0.064	0.301	0.052	0.208	0.166	0.220	0.332	0.559	0.203	0.201	0.119
HpCDFs	0.015	0.008	0.011	0.008	0.006	0.014	0.024	0.007	0.060	0.045	0.153	0.035	0.174	0.078	0.091	0.160	0.223	0.085	0.103	0.096
OCDF	0.014	0.006	0.012	0.004	0.006	0.006	0.009	0.004	0.023	0.024	0.061	0.015	0.109	0.037	0.029	0.047	0.037	0.029	0.041	0.052
Total																				
∑ PCDDs	0.143	0.117	0.115	0.111	0.095	0.136	0.259	0.105	0.238	0.471	1.711	0.407	1.202	0.794	0.739	1.317	1.771	2.319	1.814	1.809
∑ PCDFs	0.093	0.073	0.102	0.066	0.052	0.111	0.146	0.057	0.585	0.443	1.517	0.309	0.864	0.660	0.903	1.584	1.482	0.854	0.900	0.543
∑ PCDD/Fs	0.236	0.190	0.217	0.177	0.148	0.247	0.404	0.162	0.823	0.914	3.227	0.716	2.066	1.454	1.641	2.902	3.253	3.173	2.714	2.352
∑ TEQ (PCDD/Fs)	0.008	0.006	0.009	0.008	0.008	0.008	0.016	0.006	0.017	0.018	0.066	0.016	0.031	0.027	0.028	0.041	0.044	0.035	0.043	0.024

Cuadro A32. Concentraciones atmosféricas de DDPC/DFPC ($\mu\text{g m}^{-3}$) en sitios suburbanos de la NAPS en 2004 (cont.)

Station Name	Edmonton										
Sampling Period	1	2	3	4	5	6	7	8	9	10	11
Sampling Date	1/16/04	3/4/04	4/21/04	5/15/04	6/8/04	7/26/04	8/19/04	9/12/04	10/6/04	11/23/04	12/17/04
Sampling Volume (m3)	689	779	669	675	660	668	659	617	663	635	703
PCDD/F Congeners											
2,3,7,8-TCDD	0.002	<0.001	0.001	0.001	<0.002	0.001	0.002	0.003	0.002	0.002	0.001
1,2,3,7,8-PeCDD	0.009	0.006	0.008	0.009	0.006	0.007	0.014	0.023	0.010	0.015	0.005
1,2,3,4,7,8-HxCDD	0.007	0.002	0.004	0.009	0.005	0.003	0.019	0.033	0.008	0.018	0.002
1,2,3,6,7,8-HxCDD	0.010	0.005	0.008	0.015	0.006	0.006	0.030	0.053	0.014	0.022	0.004
1,2,3,7,8,9-HxCDD	0.013	0.006	0.005	0.015	0.008	0.004	0.036	0.070	0.012	0.038	0.007
1,2,3,4,6,7,8-HpCDD	0.097	0.052	0.076	0.190	0.086	0.077	0.323	0.872	0.199	0.352	0.055
OCDD	0.209	0.132	0.298	0.581	0.227	0.522	0.711	2.114	0.789	1.030	0.135
2,3,7,8-TCDF	0.010	0.008	0.018	0.004	0.005	0.007	0.045	0.004	0.007	0.003	0.002
1,2,3,7,8-PeCDF	0.003	0.002	0.005	0.004	0.003	0.002	0.046	0.002	0.006	0.002	0.001
2,3,4,7,8-PeCDF	0.004	0.002	0.007	0.005	<0.002	0.002	0.083	0.001	0.009	0.004	0.002
1,2,3,4,7,8-HxCDF	0.004	0.004	0.014	0.011	0.004	0.006	0.380	0.008	0.021	0.010	0.006
1,2,3,6,7,8-HxCDF	0.003	0.002	0.007	0.005	0.002	0.003	0.112	0.004	0.008	0.004	0.002
2,3,4,6,7,8-HxCDF	0.004	0.002	0.005	0.005	0.002	0.002	0.120	0.004	0.009	0.004	0.002
1,2,3,7,8,9-HxCDF	0.002	<0.001	0.001	0.004	<0.002	<0.002	0.005	<0.001	<0.001	<0.001	<0.001
1,2,3,4,6,7,8-HpCDF	0.013	0.011	0.024	0.030	0.010	0.023	0.564	0.029	0.052	0.052	0.015
1,2,3,4,7,8,9-HpCDF	0.005	0.001	0.003	0.008	<0.002	<0.005	0.052	0.004	0.004	<0.003	0.002
OCDF	0.015	0.008	0.030	0.028	0.007	0.039	0.220	0.033	0.062	0.038	0.015
PCDD/F Homologues											
TCDDs	0.026	0.012	0.034	0.021	0.005	0.015	0.134	0.056	0.057	0.045	0.017
PeCDDs	0.053	0.042	0.066	0.070	0.022	0.039	0.251	0.224	0.109	0.231	0.031
HxCDDs	0.131	0.074	0.109	0.180	0.104	0.089	0.524	0.872	0.240	0.399	0.084
HpCDDs	0.183	0.096	0.146	0.358	0.159	0.148	0.634	1.725	0.396	0.667	0.111
OCDD	0.209	0.132	0.298	0.581	0.227	0.522	0.711	2.114	0.789	1.030	0.135
TCDFs	0.063	0.049	0.126	0.084	0.008	0.071	1.157	0.077	0.159	0.076	0.050
PeCDFs	0.034	0.029	0.087	0.065	0.013	0.061	1.074	0.053	0.119	0.048	0.028
HxCDFs	0.032	0.020	0.081	0.069	0.023	0.056	1.269	0.068	0.130	0.056	0.027
HpCDFs	0.025	0.019	0.046	0.053	0.016	0.048	0.786	0.067	0.099	0.081	0.025
OCDF	0.015	0.008	0.030	0.028	0.007	0.039	0.220	0.033	0.062	0.038	0.015
Total											
Σ PCDDs	0.601	0.357	0.653	1.209	0.517	0.813	2.254	4.991	1.590	2.371	0.377
Σ PCDFs	0.167	0.125	0.370	0.299	0.066	0.275	4.506	0.298	0.570	0.299	0.146
Σ PCDD/Fs	0.769	0.481	1.023	1.508	0.582	1.088	6.760	5.290	2.160	2.670	0.523
Σ TEQ (PCDD/Fs)	0.018	0.011	0.018	0.021	0.013	0.013	0.127	0.054	0.026	0.033	0.009

Cuadro A33. Concentraciones atmosféricas de DDPC/DFPC (pg m⁻³) en sitios suburbanos de la NAPS en 2005

Station Name	Montreal										Edmonton										
	1	2	3	4	5	6	7	8	9	10	1	2	3	4	5	6	7	8	9	10	11
Sampling Period																					
Sampling Date	1/10/05	3/23/05	4/16/05	5/10/05	6/3/05	6/27/05	10/1/05	11/18/05	12/12/05		3/23/05	4/16/05	5/10/05	6/3/05	6/27/05	7/21/05	8/14/05	9/7/05	10/1/05	11/18/05	12/12/05
Sampling Volume (m3)	783	756	709	652	574	646	679	739	723	728	585	608	639	606	657	681	640	688	681	761	
PCDD/F Congeners																					
2,3,7,8-TCDD	0.002	0.001	0.003	0.003	0.002	0.003	0.001	0.001	0.001	0.004	0.001	0.000	0.001	0.001	0.001	<0.001	0.001	0.001	0.001	0.002	
1,2,3,7,8-PeCDD	0.009	0.004	0.020	0.021	0.019	0.022	0.008	0.008	0.009	0.016	0.009	0.004	0.005	0.004	0.007	0.005	0.008	0.005	0.007	0.011	
1,2,3,4,7,8-HxCDD	0.009	0.002	0.020	0.014	0.011	0.011	0.005	0.004	0.006	0.015	0.007	0.002	0.002	<0.001	0.002	0.003	0.005	0.003	0.004	0.010	
1,2,3,6,7,8-HxCDD	0.013	0.003	0.035	0.022	0.019	0.021	0.007	0.009	0.012	0.017	0.015	0.003	0.003	0.003	0.003	0.005	0.008	0.005	0.008	0.019	
1,2,3,7,8,9-HxCDD	0.017	0.003	0.036	0.024	0.017	0.022	0.006	0.007	0.013	0.017	0.016	0.004	0.002	0.003	0.003	0.005	0.010	0.005	0.008	0.018	
1,2,3,4,6,7,8-HpCDD	0.212	0.032	0.344	0.300	0.149	0.113	0.058	0.090	0.122	0.083	0.195	0.043	0.033	0.025	0.031	0.064	0.117	0.075	0.084	0.214	
OCDD	1.213	0.131	0.952	1.147	0.428	0.283	0.177	0.224	0.253	0.278	0.509	0.122	0.130	0.083	0.147	0.225	0.519	0.254	0.292	0.561	
2,3,7,8-TCDF	0.007	0.017	0.292	0.034	0.063	0.045	0.015	0.022	0.031	0.013	0.011	0.005	0.005	0.005	0.006	0.005	0.016	0.008	0.015	0.037	
1,2,3,7,8-PeCDF	0.007	0.003	0.078	0.007	0.013	0.013	0.004	0.005	0.005	0.009	0.002	0.001	0.001	0.002	0.001	0.001	0.003	0.002	0.002	0.010	
2,3,4,7,8-PeCDF	0.010	0.005	0.237	0.012	0.023	0.017	0.006	0.009	0.010	0.011	0.002	0.001	0.001	0.001	0.001	0.001	0.004	0.003	0.003	0.016	
1,2,3,4,7,8-HxCDF	0.021	0.013	0.323	0.027	0.057	0.037	0.012	0.019	0.027	0.015	0.005	0.002	0.003	0.005	0.003	0.002	0.009	0.009	0.008	0.032	
1,2,3,6,7,8-HxCDF	0.010	0.005	0.120	0.014	0.027	0.027	0.006	0.008	0.010	0.012	0.003	0.001	0.001	0.001	0.002	0.001	0.004	0.003	0.004	0.013	
2,3,4,6,7,8-HxCDF	0.010	0.007	0.170	0.013	0.024	0.019	0.006	0.008	0.012	0.011	0.003	0.001	0.001	0.003	<0.001	0.003	0.004	0.004	0.003	0.013	
1,2,3,7,8,9-HxCDF	0.001	<0.001	0.010	0.001	0.002	0.001	<0.001	0.001	0.001	0.012	<0.001	<0.001	<0.001	<0.001	<0.001	<0.001	0.001	<0.001	0.001	0.001	
1,2,3,4,6,7,8-HpCDF	0.058	0.025	0.421	0.066	0.113	0.082	0.031	0.042	0.047	0.020	0.016	0.006	0.009	0.013	0.009	0.012	0.029	0.020	0.022	0.058	
1,2,3,4,7,8,9-HpCDF	0.005	0.004	0.058	0.008	0.015	0.007	0.003	0.006	0.005	0.013	0.002	<0.001	<0.002	0.002	<0.002	<0.001	0.002	0.003	0.002	0.010	
OCDF	0.056	0.036	0.253	0.048	0.081	0.038	0.017	0.026	0.022	0.035	0.017	0.007	0.009	0.009	0.013	0.014	0.044	0.016	0.026	0.050	
PCDD/F Homologues																					
TCDDs	0.046	0.016	0.129	0.061	0.128	0.104	0.021	0.027	0.048	0.025	0.029	0.016	0.006	0.008	0.007	0.009	0.031	0.018	0.042	0.052	
PeCDDs	0.083	0.026	0.305	0.133	0.179	0.225	0.057	0.071	0.067	0.050	0.073	0.027	0.012	0.018	0.028	0.025	0.066	0.043	0.055	0.104	
HxCDDs	0.211	0.043	0.642	0.304	0.281	0.291	0.092	0.139	0.151	0.131	0.214	0.057	0.038	0.033	0.042	0.071	0.128	0.087	0.117	0.262	
HpCDDs	0.404	0.061	0.754	0.622	0.282	0.213	0.103	0.159	0.214	0.171	0.392	0.080	0.065	0.044	0.057	0.130	0.226	0.138	0.159	0.419	
OCDD	1.213	0.131	0.952	1.147	0.428	0.283	0.177	0.224	0.253	0.278	0.509	0.122	0.130	0.083	0.147	0.225	0.519	0.254	0.292	0.561	
TCDFs	0.204	0.108	1.438	0.281	0.579	0.652	0.127	0.112	0.178	0.063	0.077	0.029	0.035	0.034	0.050	0.038	0.087	0.039	0.113	0.249	
PeCDFs	0.137	0.070	1.799	0.258	0.527	0.809	0.098	0.092	0.115	0.049	0.062	0.013	0.019	0.028	0.042	0.034	0.047	0.029	0.054	0.168	
HxCDFs	0.129	0.060	1.486	0.237	0.389	0.462	0.091	0.096	0.109	0.063	0.037	0.012	0.021	0.028	0.031	0.029	0.064	0.041	0.047	0.149	
HpCDFs	0.095	0.043	0.657	0.116	0.185	0.128	0.046	0.067	0.071	0.040	0.029	0.010	0.015	0.020	0.018	0.020	0.060	0.033	0.042	0.104	
OCDF	0.056	0.036	0.253	0.048	0.081	0.038	0.017	0.026	0.022	0.035	0.017	0.007	0.009	0.009	0.013	0.014	0.044	0.016	0.026	0.050	
Total																					
∑ PCDDs	1.957	0.277	2.782	2.266	1.298	1.116	0.449	0.619	0.732	0.654	1.218	0.302	0.250	0.185	0.282	0.459	0.970	0.539	0.665	1.399	
∑ PCDFs	0.622	0.316	5.633	0.939	1.761	2.089	0.379	0.393	0.495	0.250	0.222	0.071	0.099	0.118	0.154	0.134	0.302	0.158	0.281	0.720	
∑ PCDD/Fs	2.579	0.593	8.415	3.205	3.059	3.205	0.827	1.012	1.227	0.904	1.440	0.373	0.349	0.303	0.436	0.593	1.272	0.698	0.946	2.119	
∑ TEQ (PCDD/Fs)	0.026	0.012	0.205	0.047	0.053	0.050	0.017	0.021	0.026	0.036	0.018	0.007	0.008	0.008	0.011	0.010	0.018	0.012	0.015	0.035	

Cuadro A34. Concentraciones atmosféricas de DDPC/DFPC (pg m⁻³) en sitios suburbanos de la NAPS en 2006

Station Name	Saint John					Montreal									
Sampling Period	1	1	2	3	4	5	6	7	8	9	10	11	12	13	14
Sampling Date	9/2/06	1/5/06	1/29/06	3/18/06	4/11/06	5/5/06	5/29/06	6/22/06	7/16/06	8/9/06	9/2/06	9/26/06	11/13/06	12/7/06	12/31/06
Sampling Volume (m3)	601	724	727	660	674	585	586	640	626	730	742	868	741	838	796
PCDD/F Congeners															
2,3,7,8-TCDD	0.000	0.001	0.001	0.001	0.001	0.001	0.002	0.002	0.002	0.001	0.001	0.001	0.001	0.001	0.005
1,2,3,7,8-PeCDD	0.004	0.010	0.006	0.005	0.009	0.008	0.016	0.015	0.016	0.009	0.006	0.006	0.005	0.007	0.037
1,2,3,4,7,8-HxCDD	0.001	0.010	0.005	0.003	0.007	0.003	0.007	0.011	0.007	0.007	0.004	0.003	0.003	0.006	0.054
1,2,3,6,7,8-HxCDD	0.001	0.013	0.009	0.006	0.013	0.007	0.013	0.023	0.013	0.010	0.007	0.005	0.004	0.010	0.094
1,2,3,7,8,9-HxCDD	0.001	0.017	0.010	0.006	0.014	0.008	0.014	0.023	0.010	0.014	0.006	0.005	0.004	0.010	0.119
1,2,3,4,6,7,8-HpCDD	0.008	0.167	0.140	0.070	0.155	0.060	0.126	0.155	0.092	0.089	0.061	0.029	0.041	0.130	1.498
OCDD	0.024	0.598	0.735	0.214	0.710	0.172	0.387	0.265	0.249	0.240	0.197	0.068	0.093	0.320	3.716
2,3,7,8-TCDF	0.003	0.035	0.014	0.013	0.029	0.021	0.037	0.020	0.021	0.019	0.019	0.025	0.012	0.026	0.054
1,2,3,7,8-PeCDF	0.001	0.006	0.003	0.003	0.006	0.004	0.008	0.006	0.006	0.005	0.003	0.005	0.003	0.007	0.012
2,3,4,7,8-PeCDF	0.001	0.011	0.004	0.004	0.010	0.007	0.009	0.007	0.006	0.006	0.006	0.010	0.004	0.011	0.021
1,2,3,4,7,8-HxCDF	0.001	0.022	0.010	0.010	0.020	0.019	0.019	0.020	0.018	0.016	0.016	0.025	0.012	0.031	0.051
1,2,3,6,7,8-HxCDF	0.001	0.008	0.004	0.004	0.008	0.008	0.012	0.016	0.012	0.010	0.007	0.011	0.004	0.011	0.020
2,3,4,6,7,8-HxCDF	0.001	0.007	0.005	0.006	0.010	0.007	0.008	0.014	0.008	0.008	0.008	0.011	0.005	0.012	0.023
1,2,3,7,8,9-HxCDF	<0.001	<0.003	0.001	0.001	<0.001	0.001	<0.001	<0.002	<0.001	<0.004	<0.001	0.001	0.001	0.001	0.002
1,2,3,4,6,7,8-HpCDF	0.004	0.034	0.046	0.029	0.043	0.064	0.054	0.108	0.055	0.050	0.040	0.042	0.022	0.055	0.097
1,2,3,4,7,8,9-HpCDF	<0.001	0.005	0.003	0.004	0.007	0.004	0.005	0.004	0.004	0.003	0.006	0.007	0.003	0.011	0.013
OCDF	0.002	0.044	0.069	0.020	0.040	0.073	0.027	0.025	0.026	0.027	0.027	0.019	0.018	0.039	0.088
PCDD/F Homologues															
TCDDs	0.007	0.063	0.020	0.015	0.050	0.041	0.103	0.051	0.058	0.065	0.020	0.034	0.020	0.036	0.152
PeCDDs	0.007	0.101	0.035	0.030	0.079	0.060	0.180	0.134	0.142	0.122	0.038	0.064	0.028	0.063	0.443
HxCDDs	0.010	0.227	0.099	0.069	0.176	0.104	0.231	0.314	0.183	0.193	0.086	0.090	0.060	0.159	1.825
HpCDDs	0.012	0.331	0.239	0.127	0.312	0.126	0.245	0.311	0.175	0.179	0.113	0.055	0.075	0.237	3.372
OCDD	0.024	0.598	0.735	0.214	0.710	0.172	0.387	0.265	0.249	0.240	0.197	0.068	0.093	0.320	3.716
TCDFs	0.026	0.212	0.099	0.085	0.235	0.210	0.529	0.270	0.363	0.317	0.145	0.214	0.085	0.165	0.343
PeCDFs	0.016	0.114	0.054	0.059	0.155	0.161	0.480	0.332	0.441	0.339	0.103	0.172	0.058	0.131	0.265
HxCDFs	0.011	0.098	0.068	0.058	0.121	0.123	0.271	0.322	0.266	0.213	0.093	0.128	0.052	0.130	0.257
HpCDFs	0.006	0.064	0.085	0.047	0.076	0.089	0.084	0.148	0.075	0.071	0.061	0.066	0.034	0.093	0.199
OCDF	0.002	0.044	0.069	0.020	0.040	0.073	0.027	0.025	0.026	0.027	0.027	0.019	0.018	0.039	0.088
Total															
∑ PCDDs	0.060	1.320	1.128	0.455	1.327	0.503	1.146	1.075	0.807	0.799	0.455	0.311	0.277	0.816	9.508
∑ PCDFs	0.061	0.531	0.374	0.269	0.627	0.656	1.391	1.097	1.172	0.966	0.428	0.599	0.247	0.558	1.152
∑ PCDD/Fs	0.121	1.851	1.503	0.724	1.953	1.159	2.537	2.172	1.978	1.765	0.883	0.910	0.524	1.373	10.660
∑ TEQ (PCDD/Fs)	0.005	0.029	0.016	0.013	0.026	0.020	0.033	0.034	0.030	0.022	0.016	0.019	0.012	0.024	0.108

Cuadro A34. Concentraciones atmosféricas de DDPC/DFPC ($\mu\text{g m}^{-3}$) en sitios suburbanos de la NAPS en 2006 (cont.)

Station Name	Edmonton													
Sampling Period	1	2	3	4	5	6	7	8	9	10	11	12	13	14
Sampling Date	1/5/06	1/29/06	3/18/06	4/11/06	5/29/06	5/5/06	6/22/06	7/16/06	8/9/06	9/2/06	9/26/06	11/13/06	12/7/06	12/31/06
Sampling Volume (m3)	723	594	696	638	646	553	656	618	663	732	894	803	801	840
PCDD/F Congeners														
2,3,7,8-TCDD	0.002	0.001	0.001	0.003	<0.001	0.002	0.001	<0.001	<0.001	0.001	0.001	0.001	0.001	0.003
1,2,3,7,8-PeCDD	0.011	0.009	0.006	0.013	0.005	0.011	0.008	0.005	0.005	0.007	0.003	0.007	0.010	0.014
1,2,3,4,7,8-HxCDD	0.011	0.005	0.005	0.010	0.003	0.005	0.005	0.003	0.003	0.005	0.001	0.007	0.009	0.014
1,2,3,6,7,8-HxCDD	0.021	0.011	0.007	0.016	0.005	0.010	0.009	0.005	0.002	0.011	0.002	0.011	0.017	0.026
1,2,3,7,8,9-HxCDD	0.018	0.015	0.009	0.017	0.010	0.010	0.011	0.005	0.005	0.008	0.002	0.012	0.019	0.032
1,2,3,4,6,7,8-HpCDD	0.271	0.136	0.122	0.182	0.078	0.129	0.109	0.059	0.041	0.131	0.022	0.156	0.247	0.326
OCDD	0.569	0.334	0.647	0.555	0.325	0.590	0.341	0.212	0.192	0.436	0.099	0.584	0.500	0.893
2,3,7,8-TCDF	0.012	0.033	0.004	0.024	0.006	0.018	0.015	0.004	0.006	0.007	0.003	0.008	0.019	0.018
1,2,3,7,8-PeCDF	0.003	0.005	0.001	0.004	0.002	0.005	0.003	0.001	0.002	0.002	0.001	0.002	0.004	0.004
2,3,4,7,8-PeCDF	0.004	0.011	0.001	0.008	0.002	0.006	0.005	0.002	0.002	0.002	<0.001	0.003	0.006	0.007
1,2,3,4,7,8-HxCDF	0.012	0.032	0.004	0.016	0.004	0.014	0.016	0.004	0.004	0.004	0.001	0.006	0.015	0.015
1,2,3,6,7,8-HxCDF	0.004	0.010	0.002	0.007	0.003	0.006	0.005	<0.001	0.002	0.002	0.001	0.003	0.007	0.006
2,3,4,6,7,8-HxCDF	0.004	0.012	0.001	0.007	0.003	0.007	0.007	0.003	0.001	0.002	0.001	0.003	0.007	0.006
1,2,3,7,8,9-HxCDF	0.001	<0.003	<0.001	0.001	<0.001	0.001	<0.001	<0.002	<0.004	0.000	<0.001	0.001	0.001	0.001
1,2,3,4,6,7,8-HpCDF	0.024	0.053	0.027	0.038	0.017	0.036	0.036	0.015	0.014	0.014	0.008	0.023	0.033	0.031
1,2,3,4,7,8,9-HpCDF	0.006	0.006	0.004	0.004	<0.003	0.006	0.005	<0.003	<0.004	0.002	0.001	0.004	0.005	0.004
OCDF	0.028	0.041	0.058	0.036	0.023	0.059	0.043	0.018	0.010	0.013	0.009	0.042	0.038	0.032
PCDD/F Homologues														
TCDDs	0.041	0.067	0.006	0.063	0.008	0.044	0.046	0.009	0.012	0.016	0.005	0.020	0.047	0.060
PeCDDs	0.102	0.115	0.021	0.119	0.027	0.075	0.077	0.027	0.025	0.043	0.013	0.052	0.088	0.142
HxCDDs	0.293	0.224	0.070	0.293	0.075	0.135	0.152	0.069	0.054	0.125	0.027	0.159	0.262	0.432
HpCDDs	0.500	0.265	0.204	0.390	0.153	0.256	0.219	0.112	0.081	0.227	0.041	0.286	0.448	0.663
OCDD	0.569	0.334	0.647	0.555	0.325	0.590	0.341	0.212	0.192	0.436	0.099	0.584	0.500	0.893
TCDFs	0.089	0.180	0.024	0.180	0.050	0.142	0.099	0.051	0.066	0.063	0.030	0.048	0.129	0.122
PeCDFs	0.054	0.127	0.014	0.113	0.037	0.108	0.088	0.055	0.058	0.043	0.019	0.033	0.077	0.079
HxCDFs	0.063	0.132	0.026	0.093	0.036	0.106	0.088	0.042	0.048	0.040	0.016	0.041	0.074	0.077
HpCDFs	0.053	0.090	0.055	0.068	0.032	0.082	0.064	0.023	0.024	0.026	0.015	0.049	0.057	0.057
OCDF	0.028	0.041	0.058	0.036	0.023	0.059	0.043	0.018	0.010	0.013	0.009	0.042	0.038	0.032
Total														
Σ PCDDs	1.505	1.004	0.947	1.420	0.588	1.100	0.836	0.428	0.364	0.846	0.185	1.102	1.345	2.190
Σ PCDFs	0.286	0.569	0.176	0.491	0.179	0.497	0.381	0.190	0.206	0.184	0.088	0.213	0.374	0.368
Σ PCDD/Fs	1.792	1.573	1.123	1.911	0.766	1.597	1.217	0.618	0.570	1.030	0.273	1.314	1.719	2.557
Σ TEQ (PCDD/Fs)	0.026	0.028	0.012	0.030	0.011	0.023	0.019	0.010	0.010	0.014	0.005	0.016	0.026	0.034

Cuadro A35. Concentraciones atmosféricas de DDPC/DFPC (pg m⁻³) en sitios suburbanos de la NAPS en 2007

Station Name	Saint John						Montreal									
Sampling Period	1	2	3	4	5	6	1	2	3	4	5	6	7	8	9	10
Sampling Date	4/6/07	4/30/07	6/17/07	7/11/07	8/28/07	12/2/07	1/24/07	3/13/07	4/6/07	4/30/07	5/24/07	6/17/07	7/11/07	9/21/07	11/8/07	12/2/07
Sampling Volume (m3)	831	594	645	715	732	685	774	763	734	820	763	751	558	696	775	767
PCDD/F Congeners																
2,3,7,8-TCDD	<0.002	<0.001	<0.001	<0.001	<0.001	0.001	0.001	0.002	<0.001	0.001	0.002	0.002	0.003	0.001	0.001	0.002
1,2,3,7,8-PeCDD	0.003	0.004	0.003	0.004	0.004	0.006	0.007	0.010	0.004	0.005	0.011	0.010	0.014	0.011	0.007	0.008
1,2,3,4,7,8-HxCDD	<0.002	<0.001	<0.002	0.001	0.001	0.002	0.006	0.011	0.002	0.007	0.007	0.007	0.007	0.010	0.005	0.006
1,2,3,6,7,8-HxCDD	0.001	<0.001	<0.001	0.001	0.001	0.004	0.010	0.016	0.003	0.003	0.011	0.010	0.012	0.011	0.011	0.010
1,2,3,7,8,9-HxCDD	<0.002	0.002	<0.002	<0.002	0.002	0.004	0.011	0.019	0.004	0.003	0.012	0.012	0.011	0.017	0.012	0.010
1,2,3,4,6,7,8-HpCDD	0.016	0.013	0.011	0.008	0.013	0.034	0.138	0.191	0.033	0.042	0.106	0.134	0.099	0.141	0.137	0.128
OCDD	0.066	0.047	0.073	0.028	0.054	0.110	0.425	0.443	0.088	0.172	0.267	0.619	0.359	0.363	0.433	0.469
2,3,7,8-TCDF	0.003	0.005	0.002	0.004	0.004	0.009	0.023	0.046	0.008	0.008	0.028	0.029	0.019	0.016	0.023	0.018
1,2,3,7,8-PeCDF	0.001	0.001	0.001	<0.001	0.001	0.001	0.004	0.010	0.002	0.002	0.007	0.009	0.005	0.004	0.005	0.003
2,3,4,7,8-PeCDF	<0.001	0.001	<0.001	0.001	0.001	0.003	0.007	0.014	0.002	0.002	0.008	0.011	0.005	0.006	0.008	0.006
1,2,3,4,7,8-HxCDF	0.002	0.005	0.002	0.003	0.004	0.004	0.018	0.053	0.005	0.005	0.021	0.026	0.014	0.018	0.015	0.012
1,2,3,6,7,8-HxCDF	0.001	0.002	0.001	0.001	0.002	0.002	0.008	0.019	0.003	0.002	0.013	0.014	0.009	0.010	0.006	0.005
2,3,4,6,7,8-HxCDF	0.001	0.002	0.001	0.001	0.002	0.002	0.008	0.022	0.002	0.002	0.012	0.012	0.007	0.011	0.006	0.005
1,2,3,7,8,9-HxCDF	<0.001	<0.001	<0.002	<0.001	<0.001	<0.001	0.000	0.002	<0.001	<0.001	0.000	<0.003	<0.002	0.001	0.001	<0.001
1,2,3,4,6,7,8-HpCDF	0.005	0.010	0.004	0.010	0.010	0.007	0.041	0.095	0.015	0.012	0.056	0.064	0.044	0.053	0.023	0.031
1,2,3,4,7,8,9-HpCDF	<0.002	<0.002	<0.002	<0.002	0.001	0.001	0.004	0.013	0.002	0.001	0.006	0.011	0.002	0.008	0.003	0.003
OCDF	0.007	0.005	0.006	0.016	0.007	0.006	0.027	0.058	0.010	0.012	0.034	0.051	0.030	0.040	0.018	0.046
PCDD/F Homologues																
TCDDs	<0.002	0.007	<0.001	0.003	0.002	0.020	0.040	0.160	0.018	0.024	0.096	0.047	0.045	0.034	0.029	0.029
PeCDDs	0.007	0.014	0.009	0.007	0.008	0.029	0.063	0.243	0.026	0.040	0.185	0.102	0.090	0.079	0.052	0.052
HxCDDs	0.011	0.016	0.005	0.005	0.013	0.044	0.150	0.396	0.042	0.050	0.194	0.155	0.147	0.212	0.140	0.126
HpCDDs	0.026	0.026	0.020	0.012	0.023	0.060	0.254	0.383	0.059	0.079	0.203	0.267	0.188	0.294	0.241	0.221
OCDD	0.066	0.047	0.073	0.028	0.054	0.110	0.425	0.443	0.088	0.172	0.267	0.619	0.359	0.363	0.433	0.469
TCDFs	0.011	0.034	0.016	0.032	0.033	0.059	0.150	0.300	0.061	0.107	0.394	0.363	0.240	0.164	0.156	0.110
PeCDFs	0.005	0.019	0.006	0.031	0.027	0.028	0.094	0.203	0.036	0.083	0.406	0.328	0.266	0.186	0.102	0.069
HxCDFs	0.009	0.018	0.007	0.017	0.026	0.018	0.093	0.225	0.029	0.040	0.228	0.245	0.170	0.162	0.073	0.069
HpCDFs	0.008	0.013	0.006	0.012	0.015	0.011	0.064	0.142	0.022	0.019	0.084	0.118	0.070	0.085	0.039	0.058
OCDF	0.007	0.005	0.006	0.016	0.007	0.006	0.027	0.058	0.010	0.012	0.034	0.051	0.030	0.040	0.018	0.046
Total																
∑ PCDDs	0.110	0.109	0.107	0.056	0.100	0.262	0.931	1.625	0.233	0.364	0.946	1.190	0.829	0.981	0.896	0.897
∑ PCDFs	0.040	0.090	0.042	0.108	0.107	0.122	0.429	0.929	0.158	0.261	1.146	1.104	0.775	0.637	0.388	0.351
∑ PCDD/Fs	0.149	0.199	0.148	0.164	0.207	0.384	1.360	2.554	0.391	0.625	2.092	2.294	1.604	1.618	1.284	1.248
∑ TEQ (PCDD/Fs)	0.006	0.007	0.006	0.007	0.007	0.011	0.020	0.039	0.008	0.010	0.028	0.029	0.028	0.026	0.021	0.019

Cuadro A35. Concentraciones atmosféricas de DDPC/DFPC ($\mu\text{g m}^{-3}$) en sitios suburbanos de la NAPS en 2007 (cont.)

Station Name	Edmonton												
Sampling Period	1	2	3	4	5	6	7	8	9	10	11	12	13
Sampling Date	1/24/07	3/13/07	4/6/07	4/30/07	5/24/07	6/17/07	7/11/07	8/4/07	8/28/07	9/21/07	11/8/07	12/2/07	12/26/07
Sampling Volume (m3)	719	787	815	812	794	733	683	673	755	670	863	849	798
PCDD/F Congeners													
2,3,7,8-TCDD	0.001	0.000	<0.001	0.001	0.000	0.001	0.002	0.001	0.001	0.001	0.001	0.002	0.003
1,2,3,7,8-PeCDD	0.008	0.004	0.004	0.003	0.004	0.006	0.010	0.008	0.006	0.006	0.008	0.016	0.016
1,2,3,4,7,8-HxCDD	0.006	0.001	0.002	0.002	0.003	0.002	0.006	0.003	0.004	0.004	0.007	0.016	0.015
1,2,3,6,7,8-HxCDD	0.013	0.003	0.002	0.002	0.004	0.004	0.010	0.005	0.007	0.006	0.013	0.030	0.032
1,2,3,7,8,9-HxCDD	0.014	0.004	0.003	0.003	0.005	0.007	0.011	0.005	0.007	0.004	0.015	0.030	0.036
1,2,3,4,6,7,8-HpCDD	0.118	0.036	0.029	0.045	0.064	0.072	0.106	0.062	0.083	0.068	0.166	0.361	0.344
OCDD	0.322	0.138	0.085	0.106	0.185	0.310	0.307	0.239	0.260	0.259	0.411	1.168	0.868
2,3,7,8-TCDF	0.019	0.005	0.002	0.005	0.005	0.005	0.007	0.005	0.007	0.010	0.009	0.038	0.034
1,2,3,7,8-PeCDF	0.003	0.001	0.001	0.001	0.001	0.001	0.002	0.001	0.002	0.002	0.002	0.006	0.007
2,3,4,7,8-PeCDF	0.005	0.001	<0.001	0.001	0.001	0.001	0.002	<0.001	0.003	0.003	0.003	0.011	0.012
1,2,3,4,7,8-HxCDF	0.011	0.001	0.002	0.003	0.004	0.004	0.005	0.003	0.013	0.007	0.008	0.027	0.033
1,2,3,6,7,8-HxCDF	0.004	0.001	0.001	0.001	0.002	0.002	0.004	0.002	0.005	0.003	0.003	0.011	0.012
2,3,4,6,7,8-HxCDF	0.004	0.001	0.001	0.001	0.002	0.001	0.002	0.002	0.006	0.002	0.003	0.012	0.012
1,2,3,7,8,9-HxCDF	0.000	<0.001	<0.001	<0.001	<0.001	<0.001	0.001	<0.001	0.001	<0.001	0.000	0.001	0.001
1,2,3,4,6,7,8-HpCDF	0.020	0.009	0.005	0.007	0.015	0.010	0.021	0.015	0.039	0.015	0.016	0.058	0.056
1,2,3,4,7,8,9-HpCDF	<0.002	<0.001	<0.001	<0.001	0.001	<0.001	<0.002	<0.002	0.003	0.002	0.002	0.006	0.007
OCDF	0.016	0.013	0.005	0.008	0.016	0.016	0.015	0.020	0.029	0.014	0.014	0.088	0.054
PCDD/F Homologues													
TCDDs	0.050	0.012	0.005	0.010	0.013	0.012	0.038	0.010	0.016	0.017	0.022	0.133	0.087
PeCDDs	0.078	0.024	0.014	0.019	0.028	0.030	0.072	0.026	0.034	0.016	0.058	0.205	0.160
HxCDDs	0.191	0.049	0.031	0.043	0.069	0.069	0.158	0.049	0.089	0.060	0.208	0.465	0.448
HpCDDs	0.236	0.081	0.052	0.082	0.126	0.146	0.201	0.105	0.161	0.120	0.340	0.692	0.639
OCDD	0.322	0.138	0.085	0.106	0.185	0.310	0.307	0.239	0.260	0.259	0.411	1.168	0.868
TCDFs	0.181	0.037	0.011	0.039	0.032	0.049	0.085	0.036	0.055	0.065	0.042	0.215	0.192
PeCDFs	0.076	0.021	0.007	0.015	0.026	0.040	0.103	0.038	0.048	0.046	0.031	0.156	0.151
HxCDFs	0.058	0.019	0.006	0.012	0.023	0.030	0.079	0.038	0.061	0.039	0.040	0.138	0.143
HpCDFs	0.030	0.015	0.009	0.010	0.025	0.017	0.035	0.031	0.059	0.028	0.029	0.115	0.096
OCDF	0.016	0.013	0.005	0.008	0.016	0.016	0.015	0.020	0.029	0.014	0.014	0.088	0.054
Total													
∑ PCDDs	0.877	0.304	0.187	0.260	0.421	0.567	0.776	0.429	0.560	0.471	1.038	2.662	2.203
∑ PCDFs	0.360	0.105	0.038	0.084	0.122	0.151	0.318	0.163	0.251	0.192	0.156	0.711	0.636
∑ PCDD/Fs	1.237	0.409	0.225	0.344	0.543	0.718	1.094	0.592	0.811	0.664	1.194	3.373	2.838
∑ TEQ (PCDD/Fs)	0.020	0.007	0.006	0.006	0.008	0.010	0.018	0.013	0.014	0.012	0.017	0.042	0.044

Cuadro A36. Concentraciones atmosféricas de DDPC/DFPC ($\mu\text{g m}^{-3}$) en sitios suburbanos de la NAPS en 2008 (cont.)

Station Name	Edmonton												
Sampling Period	1	2	3	4	5	6	7	8	9	10	11	12	13
Sampling Date	2/12/08	3/7/08	3/31/08	4/24/08	5/18/08	6/11/08	7/5/08	7/29/08	8/22/08	9/15/08	10/9/08	11/26/08	12/20/08
Sampling Volume (m3)	870	842	943	821	641	740	628	617	674	619	864	793	728
PCDD/F Congeners													
2,3,7,8-TCDD	<0.001	0.002	0.001	0.001	0.002	<0.001	0.001	0.001	0.000	0.001	0.001	0.002	0.006
1,2,3,7,8-PeCDD	0.005	0.010	0.003	0.006	0.008	0.005	0.006	0.007	0.008	0.008	0.007	0.057	0.031
1,2,3,4,7,8-HxCDD	0.003	0.008	0.002	0.004	0.004	0.002	0.002	0.003	0.006	0.002	0.006	0.050	0.032
1,2,3,6,7,8-HxCDD	0.004	0.012	0.004	0.007	0.005	0.003	0.004	0.006	0.012	0.006	0.009	0.114	0.067
1,2,3,7,8,9-HxCDD	0.006	0.016	0.005	0.008	0.005	0.003	0.005	0.005	0.011	0.007	0.015	0.171	0.064
1,2,3,4,6,7,8-HpCDD	0.054	0.138	0.053	0.092	0.065	0.025	0.036	0.065	0.187	0.069	0.100	1.111	0.683
OCDD	0.356	0.388	0.226	0.335	0.285	0.112	0.150	0.273	0.605	0.337	0.316	2.420	1.315
2,3,7,8-TCDF	0.006	0.011	0.007	0.006	0.005	0.004	0.004	0.007	0.009	0.011	0.004	0.036	0.055
1,2,3,7,8-PeCDF	0.001	0.002	0.001	0.001	0.001	0.001	0.002	0.001	0.002	0.003	0.002	0.009	0.009
2,3,4,7,8-PeCDF	0.002	0.003	0.002	0.001	0.002	0.002	0.002	0.002	0.003	0.003	0.002	0.019	0.023
1,2,3,4,7,8-HxCDF	0.003	0.005	0.004	0.003	0.003	0.003	0.004	0.007	0.007	0.009	0.003	0.064	0.026
1,2,3,6,7,8-HxCDF	0.001	0.002	0.001	0.001	0.002	0.002	0.002	0.003	0.003	0.004	0.001	0.025	0.012
2,3,4,6,7,8-HxCDF	0.001	0.003	0.001	0.002	0.001	0.001	0.002	0.003	0.004	0.003	0.001	0.020	0.011
1,2,3,7,8,9-HxCDF	<0.001	<0.001	<0.001	<0.001	<0.001	<0.002	<0.001	<0.001	<0.001	<0.002	<0.002	<0.005	<0.003
1,2,3,4,6,7,8-HpCDF	0.012	0.013	0.010	0.015	0.018	0.010	0.014	0.019	0.022	0.027	0.012	0.442	0.043
1,2,3,4,7,8,9-HpCDF	<0.001	0.002	0.001	0.001	<0.002	<0.002	<0.001	0.002	0.003	<0.004	<0.003	0.032	0.007
OCDF	0.021	0.020	0.014	0.020	0.027	0.010	0.017	0.028	0.027	0.030	0.017	0.675	0.059
PCDD/F Homologues													
TCDDs	0.020	0.034	0.024	0.016	0.014	0.009	0.010	0.033	0.015	0.020	0.014	0.173	0.170
PeCDDs	0.027	0.068	0.028	0.037	0.036	0.018	0.021	0.050	0.049	0.041	0.047	0.645	0.340
HxCDDs	0.055	0.185	0.070	0.093	0.059	0.033	0.042	0.088	0.144	0.090	0.123	2.091	0.776
HpCDDs	0.093	0.279	0.100	0.178	0.118	0.043	0.062	0.133	0.330	0.141	0.198	2.644	1.368
OCDD	0.356	0.388	0.226	0.335	0.285	0.112	0.150	0.273	0.605	0.337	0.316	2.420	1.315
TCDFs	0.043	0.063	0.055	0.035	0.052	0.033	0.047	0.052	0.069	0.100	0.027	0.189	0.577
PeCDFs	0.021	0.037	0.025	0.017	0.048	0.024	0.045	0.041	0.047	0.083	0.023	0.146	0.317
HxCDFs	0.016	0.029	0.019	0.021	0.041	0.023	0.044	0.047	0.050	0.082	0.022	0.310	0.190
HpCDFs	0.020	0.031	0.021	0.028	0.034	0.016	0.026	0.040	0.046	0.048	0.026	0.632	0.106
OCDF	0.021	0.020	0.014	0.020	0.027	0.010	0.017	0.028	0.027	0.030	0.017	0.675	0.059
Total													
Σ PCDDs	0.551	0.954	0.448	0.659	0.512	0.215	0.284	0.577	1.142	0.629	0.697	7.973	3.969
Σ PCDFs	0.121	0.179	0.134	0.121	0.203	0.105	0.178	0.207	0.239	0.343	0.115	1.953	1.250
Σ PCDD/Fs	0.672	1.133	0.582	0.780	0.715	0.320	0.462	0.784	1.381	0.972	0.812	9.926	5.219
Σ TEQ (PCDD/Fs)	0.009	0.020	0.007	0.011	0.013	0.010	0.010	0.013	0.017	0.015	0.014	0.130	0.078

Cuadro A38. Concentraciones atmosféricas de DDPC/DFPC (pg m⁻³) en sitios urbanos de la NAPS en 1989

Station Name	Windsor (University Ave.)										
Sampling Period	1	2	3	4	5	6	7	8	9	10	11
Sampling Date	4/22/89	5/16/89	6/9/89	7/3/89	7/27/89	8/20/89	9/13/89	10/7/89	10/31/89	11/24/89	12/18/89
Sampling Volume (m3)	2168	2126	2257	2141	2087	2137	2135	2300	2120	2016	2309
PCDD/F Congeners											
2,3,7,8-TCDD	0.005	0.021	0.003	<0.001	0.006	0.033	0.012	0.021	<0.001	<0.001	<0.001
1,2,3,7,8-PeCDD	<0.001	0.096	0.006	<0.001	0.027	0.013	0.029	0.045	0.039	<0.002	<0.001
1,2,3,4,7,8-HxCDD	0.011	0.144	0.008	0.016	0.031	0.013	0.028	0.113	0.061	<0.002	0.055
1,2,3,6,7,8-HxCDD	0.025	0.228	0.013	0.021	0.040	0.025	0.036	0.113	0.095	0.020	0.078
1,2,3,7,8,9-HxCDD	0.041	0.422	0.016	0.031	<0.001	0.034	0.067	0.189	0.178	<0.002	0.166
1,2,3,4,6,7,8-HpCDD	0.254	1.434	0.100	0.229	0.320	0.213	0.244	1.073	1.013	0.504	0.631
OCDD	0.628	1.904	0.308	0.650	0.988	0.604	0.547	2.938	2.116	4.721	1.227
2,3,7,8-TCDF	0.286	1.121	0.091	0.183	0.252	0.210	0.275	0.239	0.477	0.255	0.408
1,2,3,7,8-PeCDF	0.040	0.201	0.016	0.057	0.055	0.047	0.070	0.063	0.078	0.035	0.084
2,3,4,7,8-PeCDF	0.082	0.362	0.023	0.065	0.095	0.066	0.091	0.092	0.146	0.039	0.157
1,2,3,4,7,8-HxCDF	0.084	0.782	0.047	0.110	0.240	0.120	0.206	0.380	0.259	0.041	0.333
1,2,3,6,7,8-HxCDF	0.035	0.295	0.019	0.030	0.093	0.044	0.101	0.157	0.126	<0.002	0.125
2,3,4,6,7,8-HxCDF	0.050	0.493	0.022	0.068	0.126	0.069	0.090	0.098	0.141	0.019	0.179
1,2,3,7,8,9-HxCDF	<0.001	0.019	<0.001	<0.001	<0.001	<0.001	<0.001	<0.002	<0.003	<0.002	0.009
1,2,3,4,6,7,8-HpCDF	0.085	1.336	0.065	0.197	0.384	0.119	0.286	0.443	0.311	0.188	0.485
1,2,3,4,7,8,9-HpCDF	0.014	0.125	0.009	0.016	0.032	0.029	0.540	<0.002	0.049	<0.002	0.074
OCDF	0.074	0.711	0.063	0.092	0.192	0.163	0.140	0.096	0.201	0.528	0.356
PCDD/F Homologues											
TCDDs	0.005	1.471	0.064	0.040	0.196	0.179	0.433	0.242	0.781	<0.001	1.190
PeCDDs	0.103	2.357	0.086	0.057	0.383	0.247	0.412	0.445	1.322	<0.002	1.255
HxCDDs	0.239	3.522	0.212	0.372	0.557	0.414	0.501	0.997	1.971	0.341	1.789
HpCDDs	0.538	2.898	0.209	0.508	0.633	0.410	0.540	2.393	2.248	1.222	1.404
OCDD	0.628	1.904	0.308	0.650	0.988	0.604	0.547	2.938	2.116	4.721	1.227
TCDFs	1.402	3.693	0.299	0.456	0.886	0.758	1.734	0.718	1.738	0.610	1.829
PeCDFs	0.938	3.393	0.175	0.286	0.983	0.648	1.393	0.927	1.595	0.115	1.546
HxCDFs	0.556	3.328	0.201	0.369	1.174	0.612	0.984	1.435	1.253	0.181	1.467
HpCDFs	0.183	2.218	0.119	0.323	0.662	0.270	0.503	0.845	0.616	0.207	0.896
OCDF	0.074	0.711	0.063	0.092	0.192	0.163	0.140	0.096	0.201	0.528	0.356
Total											
∑ PCDDs	1.513	12.152	0.880	1.627	2.757	1.855	2.432	7.015	8.438	6.284	6.866
∑ PCDFs	3.154	13.343	0.858	1.526	3.896	2.450	4.753	4.021	5.404	1.640	6.095
∑ PCDD/Fs	4.667	25.495	1.738	3.153	6.653	4.306	7.185	11.036	13.842	7.924	12.960
∑ TEQ (PCDD/Fs)	0.089	0.612	0.039	0.074	0.150	0.123	0.161	0.241	0.235	0.060	0.199

Cuadro A40. Concentraciones atmosféricas de DDPC/DFPC (pg m⁻³) en sitios urbanos de la NAPS en 1991

Station Name	Windsor (University Ave.)													Toronto (Junction)
Sampling Period	1	2	3	4	5	6	7	8	9	10	11	12	13	1
Sampling Date	1/6/91	1/30/91	3/19/91	4/12/91	5/6/91	5/30/91	8/10/91	9/3/91	9/27/91	10/21/91	11/14/91	11/26/91	12/8/91	9/23/91
Sampling Volume (m3)	1048	826	592	835	838	1068	979	846	932	949	939	1021	871	651
PCDD/F Congeners														
2,3,7,8-TCDD	0.022	0.029	<0.007	<0.006	<0.006	<0.006	0.017	<0.014	<0.019	<0.011	0.027	<0.003	0.008	<0.021
1,2,3,7,8-PeCDD	0.220	0.052	0.017	<0.006	<0.008	0.007	0.048	<0.002	<0.015	<0.019	0.003	<0.002	0.015	<0.031
1,2,3,4,7,8-HxCDD	0.142	0.050	0.010	0.005	0.033	<0.007	<0.001	<0.002	0.016	<0.019	0.021	0.017	0.013	<0.015
1,2,3,6,7,8-HxCDD	0.308	0.134	0.022	0.014	0.012	0.008	0.040	0.024	0.029	<0.019	0.040	0.048	0.023	<0.015
1,2,3,7,8,9-HxCDD	0.456	0.177	0.034	0.014	0.014	<0.007	0.043	<0.002	0.018	<0.019	0.034	0.037	0.022	<0.015
1,2,3,4,6,7,8-HpCDD	1.672	0.649	0.248	0.105	0.131	0.048	0.314	0.282	0.294	0.028	0.441	0.677	0.331	0.220
OCDD	2.551	1.035	0.971	0.358	0.341	0.160	0.703	0.862	1.044	0.103	1.171	1.452	0.962	0.844
2,3,7,8-TCDF	0.760	0.171	0.095	0.069	0.091	0.097	0.090	4.108	0.089	0.021	0.076	0.024	0.050	0.031
1,2,3,7,8-PeCDF	0.618	0.128	0.030	0.012	<0.006	0.026	0.095	0.754	0.027	0.020	0.043	0.009	0.023	<0.025
2,3,4,7,8-PeCDF	0.722	0.211	0.030	0.013	0.020	0.039	0.113	2.621	0.050	<0.009	0.047	0.023	0.029	<0.025
1,2,3,4,7,8-HxCDF	1.487	0.490	<0.008	0.023	<0.010	<0.007	0.089	0.645	0.048	0.013	0.035	0.017	0.025	0.032
1,2,3,6,7,8-HxCDF	0.917	0.259	<0.008	0.011	0.018	0.020	0.090	0.402	0.035	<0.013	0.036	<0.006	0.022	<0.025
2,3,4,6,7,8-HxCDF	0.744	0.241	0.025	0.008	<0.010	0.016	0.077	0.573	0.056	<0.013	0.042	0.027	0.025	<0.025
1,2,3,7,8,9-HxCDF	<0.005	<0.007	<0.008	<0.005	<0.010	<0.007	<0.006	0.108	0.016	<0.013	<0.006	<0.006	0.010	<0.025
1,2,3,4,6,7,8-HpCDF	2.373	0.866	0.790	0.042	0.049	0.040	0.218	0.369	0.198	0.018	0.127	0.085	0.110	0.098
1,2,3,4,7,8,9-HpCDF	0.221	0.059	<0.008	0.005	0.006	<0.007	0.031	0.091	0.044	<0.008	0.020	0.013	0.018	0.020
OCDF	0.878	0.267	0.900	0.019	0.012	0.009	0.115	0.162	0.239	0.017	0.115	0.072	0.114	0.084
PCDD/F Homologues														
TCDDs	0.977	0.300	0.083	0.083	0.099	0.228	0.420	0.099	0.139	<0.011	0.104	0.024	0.129	<0.021
PeCDDs	2.437	0.813	0.034	0.059	0.140	0.164	0.337	<0.002	<0.015	<0.019	0.120	0.049	0.101	<0.031
HxCDDs	3.441	1.508	0.228	0.109	0.189	0.075	0.417	0.184	0.223	<0.019	0.380	0.545	0.263	0.049
HpCDDs	3.412	1.344	0.537	0.222	0.298	0.110	0.629	0.597	0.591	<0.017	0.971	1.357	0.687	0.530
OCDD	2.551	1.035	0.971	0.358	0.341	0.160	0.703	0.862	1.044	0.103	1.171	1.452	0.962	0.844
TCDFs	4.539	0.824	0.350	0.241	0.454	0.495	2.017	18.266	0.660	0.249	0.664	0.203	0.715	0.244
PeCDFs	8.350	1.834	0.272	0.170	0.156	0.450	1.348	12.193	0.454	0.070	0.323	0.062	0.324	<0.025
HxCDFs	6.839	2.098	0.135	0.095	0.125	0.126	0.673	3.816	0.330	0.057	0.307	0.095	0.228	0.143
HpCDFs	3.697	1.240	1.086	0.061	0.074	0.060	0.382	0.689	0.387	0.018	0.228	0.166	0.208	0.132
OCDF	0.878	0.267	0.900	0.019	0.012	0.009	0.115	0.162	0.239	0.017	0.115	0.072	0.114	0.084
Total														
∑ PCDDs	12.817	5.000	1.853	0.830	1.067	0.737	2.506	1.743	1.997	0.157	2.747	3.428	2.142	1.423
∑ PCDFs	24.303	6.265	2.743	0.586	0.821	1.141	4.535	35.125	2.070	0.410	1.637	0.597	1.588	0.603
∑ PCDD/Fs	37.121	11.265	4.596	1.416	1.888	1.878	7.041	36.868	4.068	0.567	4.384	4.025	3.730	2.027
∑ TEQ (PCDD/Fs)	1.003	0.317	0.066	0.033	0.042	0.043	0.152	1.419	0.087	0.046	0.080	0.038	0.056	0.082

Cuadro A40. Concentraciones atmosféricas de DDPC/DFPC (pg m⁻³) en sitios urbanos de la NAPS en 1991 (cont.)

Station Name	Windsor (College)													Hamilton (Elgin)	Jonquiere
	1	2	3	4	5	6	7	8	9	10	11	12	13	1	1
	1/6/91	1/30/91	4/12/91	5/6/91	5/30/91	6/23/91	7/29/91	8/10/91	9/27/91	11/2/91	11/14/91	12/8/91	12/20/91	4/30/91	12/3/91
Sampling Period															
Sampling Date	1/6/91	1/30/91	4/12/91	5/6/91	5/30/91	6/23/91	7/29/91	8/10/91	9/27/91	11/2/91	11/14/91	12/8/91	12/20/91	4/30/91	12/3/91
Sampling Volume (m3)	774	711	593	629	703	688	663	711	714	725	711	623	665	790	773
PCDD/F Congeners															
2,3,7,8-TCDD	<0.006	<0.007	<0.012	<0.013	<0.009	<0.009	<0.009	<0.006	0.022	<0.014	<0.015	<0.003	0.029	<0.025	0.028
1,2,3,7,8-PeCDD	0.066	<0.010	<0.017	<0.011	0.021	<0.012	<0.012	<0.006	<0.003	<0.014	<0.017	<0.005	<0.018	0.022	<0.005
1,2,3,4,7,8-HxCDD	0.048	0.121	<0.017	<0.016	<0.014	0.015	<0.012	0.010	<0.007	<0.017	<0.020	<0.005	0.153	<0.011	0.028
1,2,3,6,7,8-HxCDD	0.112	0.343	0.024	0.021	0.013	0.025	0.020	0.022	0.034	<0.017	<0.020	0.027	0.302	0.041	0.054
1,2,3,7,8,9-HxCDD	0.158	0.487	0.017	<0.016	<0.014	0.026	0.045	0.031	<0.007	<0.017	<0.020	0.024	0.171	0.015	0.045
1,2,3,4,6,7,8-HpCDD	0.867	1.603	0.262	0.137	0.105	0.139	0.223	0.190	0.227	0.302	0.684	0.424	2.165	0.596	0.797
OCDD	1.926	1.958	1.066	0.262	0.320	0.350	0.501	0.461	0.852	0.987	1.537	1.273	3.757	70.970	8.345
2,3,7,8-TCDF	0.207	0.388	0.057	0.060	0.068	0.036	0.106	0.070	0.078	0.037	0.048	0.035	0.248	0.147	0.058
1,2,3,7,8-PeCDF	0.103	0.270	<0.010	<0.013	<0.009	<0.010	<0.012	0.017	0.043	0.026	0.075	0.018	0.356	0.049	0.047
2,3,4,7,8-PeCDF	0.187	0.510	0.020	<0.013	<0.009	<0.010	<0.012	0.027	0.057	0.061	0.111	<0.011	0.630	0.067	0.036
1,2,3,4,7,8-HxCDF	0.398	1.309	0.039	0.032	0.027	0.042	0.066	0.037	0.052	<0.019	0.228	0.022	1.021	0.051	0.032
1,2,3,6,7,8-HxCDF	0.216	0.721	0.020	0.019	0.021	0.019	0.060	0.025	0.056	0.040	0.131	0.016	0.776	0.052	0.031
2,3,4,6,7,8-HxCDF	0.186	0.735	0.020	<0.016	<0.011	0.025	0.057	0.022	<0.007	0.033	0.137	0.026	0.928	0.061	0.026
1,2,3,7,8,9-HxCDF	<0.009	<0.010	<0.017	<0.016	<0.011	<0.010	<0.012	<0.006	<0.007	<0.019	0.045	<0.010	0.436	<0.013	0.027
1,2,3,4,6,7,8-HpCDF	0.652	2.566	0.184	0.041	0.085	0.097	0.207	0.060	0.135	0.091	0.654	0.128	3.227	0.335	0.079
1,2,3,4,7,8,9-HpCDF	0.040	0.200	<0.017	<0.016	<0.011	<0.012	0.020	0.010	0.025	<0.019	0.146	0.026	0.741	0.044	0.040
OCDF	0.159	0.933	0.332	<0.032	0.031	0.038	0.101	0.034	0.165	0.145	0.664	0.151	2.619	2.182	0.268
PCDD/F Homologues															
TCDDs	0.209	0.621	0.017	0.046	0.073	0.299	0.204	0.083	0.074	<0.014	0.107	0.013	0.756	0.423	0.049
PeCDDs	0.573	1.723	0.032	<0.011	0.055	0.190	<0.012	0.121	0.073	<0.014	0.042	<0.005	1.281	0.156	<0.005
HxCDDs	1.264	3.529	0.128	0.048	0.117	0.378	0.416	0.219	0.097	<0.017	0.456	0.246	3.318	0.390	0.357
HpCDDs	1.809	3.177	0.461	0.235	0.236	0.321	0.462	0.425	0.495	0.533	1.426	0.846	4.300	1.168	1.431
OCDD	1.926	1.958	1.066	0.262	0.320	0.350	0.501	0.461	0.852	0.987	1.537	1.273	3.757	70.970	8.345
TCDFs	1.104	2.107	0.169	0.191	0.283	0.180	0.620	0.491	0.436	0.375	0.858	0.440	4.020	1.462	0.176
PeCDFs	2.012	4.894	0.162	0.035	0.285	0.099	0.422	0.344	0.188	0.273	0.460	0.077	5.713	0.686	0.092
HxCDFs	1.735	5.966	0.143	0.081	0.239	0.209	0.471	0.225	0.304	0.192	1.240	0.207	7.449	0.556	0.131
HpCDFs	0.913	3.856	0.262	0.059	0.134	0.125	0.335	0.104	0.273	0.152	1.199	0.238	6.089	0.957	0.252
OCDF	0.159	0.933	0.332	<0.032	0.031	0.038	0.101	0.034	0.165	0.145	0.664	0.151	2.619	2.182	0.268
Total															
∑ PCDDs	5.782	11.006	1.704	0.592	0.801	1.539	1.583	1.309	1.590	1.521	3.567	2.378	13.413	73.106	10.182
∑ PCDFs	5.922	17.757	1.068	0.366	0.972	0.651	1.949	1.198	1.366	1.136	4.422	1.113	25.891	5.843	0.919
∑ PCDD/Fs	11.704	28.763	2.773	0.958	1.773	2.189	3.532	2.506	2.956	2.656	7.989	3.490	39.304	78.949	11.101
∑ TEQ (PCDD/Fs)	0.281	0.634	0.061	0.050	0.053	0.046	0.068	0.045	0.073	0.071	0.148	0.035	0.713	0.139	0.088

Cuadro A41. Concentraciones atmosféricas de DDPC/DFPC (pg m⁻³) en sitios urbanos de la NAPS en 1992

Station Name	Windsor (University Ave.)															Toronto (Junction Tr) Montreal (1125)	
	1	2	3	4	5	6	7	8	9	10	11	12	13	14	15	1	1
	1/1/92	1/25/92	2/18/92	3/13/92	4/12/92	5/6/92	5/30/92	6/23/92	7/17/92	8/10/92	9/3/92	9/27/92	10/21/92	11/14/92	12/8/92	6/11/92	7/17/92
Sampling Volume (m3)	891	809	850	1108	1105	1082	1033	1073	1014	1029	1073	988	1027	1029	1142	726	729
PCDD/F Congeners																	
2,3,7,8-TCDD	<0.022	0.015	<0.024	<0.018	<0.023	0.004	0.006	0.005	0.009	0.005	<0.023	<0.020	<0.021	<0.019	<0.018	0.026	0.003
1,2,3,7,8-PeCDD	0.058	0.049	<0.035	<0.027	<0.023	0.014	0.017	0.012	0.056	0.018	<0.028	<0.030	<0.0292	<0.029	<0.035	0.045	<0.003
1,2,3,4,7,8-HxCDD	<0.045	<0.049	<0.047	<0.027	<0.036	0.011	0.008	0.013	0.020	0.010	<0.037	<0.030	<0.039	<0.039	<0.035	0.083	0.010
1,2,3,6,7,8-HxCDD	<0.045	0.032	<0.047	<0.027	<0.036	0.029	0.013	0.018	0.037	0.017	<0.037	<0.030	<0.039	<0.039	<0.035	0.158	0.010
1,2,3,7,8,9-HxCDD	<0.045	<0.049	<0.047	<0.027	<0.036	0.053	0.026	0.041	0.071	0.031	<0.037	<0.030	<0.039	<0.039	<0.035	0.199	0.016
1,2,3,4,6,7,8-HpCDD	0.515	0.527	0.283	0.079	0.081	0.431	0.167	0.289	0.407	0.212	0.063	0.168	0.154	0.241	0.269	1.759	0.128
OCDD	1.144	0.930	0.725	0.294	0.166	1.211	1.228	0.788	1.025	0.697	0.218	0.597	1.259	0.757	0.669	3.123	0.520
2,3,7,8-TCDF	0.227	0.273	0.154	0.031	0.179	0.112	0.128	0.125	0.449	0.183	0.129	0.088	0.277	0.166	0.194	1.016	0.041
1,2,3,7,8-PeCDF	0.071	0.100	<0.029	<0.023	0.065	0.033	0.040	0.037	0.154	0.055	<0.028	<0.022	<0.021	<0.025	<0.021	0.236	0.008
2,3,4,7,8-PeCDF	0.100	0.137	<0.029	<0.023	0.053	0.039	0.039	0.058	0.161	0.066	<0.028	<0.022	0.069	0.051	0.081	0.540	0.007
1,2,3,4,7,8-HxCDF	0.222	0.140	<0.029	<0.027	<0.027	0.146	0.101	0.143	0.291	0.150	<0.028	<0.030	<0.029	<0.029	0.143	1.451	<0.003
1,2,3,6,7,8-HxCDF	0.081	0.089	0.028	<0.027	0.032	0.040	0.032	0.040	0.112	0.038	<0.028	<0.030	0.033	<0.029	0.040	0.591	0.010
2,3,4,6,7,8-HxCDF	0.082	0.074	0.064	<0.027	0.033	0.063	0.036	0.054	0.104	0.053	<0.028	<0.030	0.091	0.040	0.057	0.913	0.019
1,2,3,7,8,9-HxCDF	<0.045	<0.049	<0.029	<0.027	<0.027	<0.037	0.014	0.012	0.009	<0.008	<0.028	<0.030	<0.029	<0.029	<0.026	0.117	<0.003
1,2,3,4,6,7,8-HpCDF	0.301	0.292	0.127	0.033	0.121	0.244	0.094	0.162	0.249	0.157	0.081	0.078	0.328	0.102	0.223	2.982	0.069
1,2,3,4,7,8,9-HpCDF	<0.045	<0.049	<0.035	<0.027	<0.032	0.042	0.017	0.025	0.036	0.026	<0.037	<0.030	0.017	<0.039	0.021	1.055	<0.005
OCDF	0.172	<0.080	0.078	0.036	0.057	0.224	0.053	0.094	0.119	0.099	<0.047	0.059	0.215	0.055	0.191	6.770	0.043
PCDD/F Homologues																	
TCDDs	0.149	0.115	0.062	<0.018	0.086	0.167	0.177	0.152	0.582	0.218	0.067	0.028	0.263	0.272	0.089	0.451	0.038
PeCDDs	0.181	0.236	<0.035	<0.027	0.073	0.250	0.212	0.245	0.693	0.345	<0.028	<0.030	0.114	0.191	<0.035	0.875	<0.003
HxCDDs	0.435	0.626	0.092	<0.027	<0.036	0.414	0.198	0.308	0.516	0.281	<0.037	<0.030	0.067	0.146	<0.035	2.163	0.075
HpCDDs	1.153	1.233	0.678	0.163	0.201	0.948	0.366	0.650	0.805	0.446	0.134	0.168	0.953	0.583	0.554	3.501	0.291
OCDD	1.144	0.930	0.725	0.294	0.166	1.211	1.228	0.788	1.025	0.697	0.218	0.597	1.259	0.757	0.669	3.123	0.520
TCDFs	1.581	1.636	0.994	0.031	1.233	0.515	0.648	0.802	3.705	0.949	0.813	0.352	1.671	0.847	0.780	4.254	0.398
PeCDFs	1.201	1.749	0.263	<0.023	0.740	0.490	0.582	0.679	2.272	0.899	0.293	0.161	0.985	0.320	0.475	4.894	0.204
HxCDFs	0.880	1.000	0.092	<0.027	0.314	0.470	0.369	0.483	1.161	0.600	0.084	<0.030	0.756	0.132	0.429	6.427	0.119
HpCDFs	0.474	0.425	0.161	0.033	0.154	0.475	0.178	0.299	0.476	0.330	0.081	0.099	0.599	0.102	0.358	6.413	0.099
OCDF	0.172	<0.080	0.078	0.036	0.057	0.224	0.053	0.094	0.119	0.099	<0.047	0.059	0.215	0.055	0.191	6.770	0.043
Total																	
∑ PCDDs	3.061	3.140	1.556	0.458	0.526	2.990	2.181	2.143	3.622	1.987	0.419	0.793	2.656	1.949	1.312	10.114	0.924
∑ PCDFs	4.307	4.811	1.588	0.099	2.498	2.174	1.830	2.356	7.732	2.877	1.270	0.671	4.226	1.457	2.233	28.757	0.862
∑ PCDD/Fs	7.368	7.951	3.144	0.557	3.024	5.164	4.011	4.499	11.354	4.864	1.689	1.464	6.882	3.406	3.545	38.870	1.786
∑ TEQ (PCDD/Fs)	0.201	0.193	0.118	0.076	0.106	0.088	0.075	0.085	0.235	0.098	0.098	0.091	0.135	0.110	0.139	0.754	0.021

Cuadro A42. Concentraciones atmosféricas de DDPC/DFPC (pg m⁻³) en sitios urbanos de la NAPS en 1993

Station Name	Windsor (University Ave.)													Toronto (Junction Tr Montreal (1125))		
Sampling Period	1	2	3	4	5	6	7	8	9	10	11	12	13	1	1	
Sampling Date	1/1/93	1/25/93	2/18/93	3/14/93	5/1/93	6/18/93	7/18/93	8/11/93	9/4/93	9/28/93	10/22/93	11/15/93	12/9/93	6/30/93	3/14/93	
Sampling Volume (m3)	1066	1078	1128	1095	1028	987	1234	1010	914	922	968	1022	914	707	797	
PCDD/F Congeners																
2,3,7,8-TCDD	0.002	0.002	0.004	0.003	0.001	<0.002	0.004	0.003	<0.001	0.005	<0.002	<0.001	<0.002	0.002	0.004	
1,2,3,7,8-PeCDD	0.005	0.004	0.010	0.006	0.003	0.024	0.009	0.015	0.006	<0.002	0.011	0.011	0.019	0.003	0.008	
1,2,3,4,7,8-HxCDD	0.008	0.058	0.052	0.017	0.003	0.027	0.020	0.016	<0.004	0.008	0.027	<0.003	<0.004	<0.001	0.015	
1,2,3,6,7,8-HxCDD	0.024	0.041	0.036	0.012	0.008	0.039	0.025	0.017	0.025	0.015	<0.004	0.036	0.067	0.007	0.018	
1,2,3,7,8,9-HxCDD	0.026	0.028	0.037	0.021	0.016	0.068	0.037	<0.003	0.029	0.031	0.034	0.053	0.095	0.014	0.030	
1,2,3,4,6,7,8-HpCDD	0.147	0.309	0.280	0.181	0.117	0.463	0.261	0.237	0.188	0.145	0.230	0.207	0.402	0.106	0.462	
OCDD	0.414	0.364	0.444	0.301	0.176	0.624	0.919	0.732	0.575	0.513	0.623	0.497	1.200	0.389	2.890	
2,3,7,8-TCDF	0.037	0.099	0.092	0.023	0.039	0.108	0.112	0.169	0.084	0.078	0.095	0.130	0.075	0.055	0.028	
1,2,3,7,8-PeCDF	0.010	0.043	0.020	0.007	0.008	0.027	0.025	0.044	0.016	0.012	0.021	0.040	0.024	0.006	0.005	
2,3,4,7,8-PeCDF	0.010	0.037	0.037	0.008	0.006	0.037	0.028	0.050	0.024	0.023	0.027	0.033	0.031	0.014	0.010	
1,2,3,4,7,8-HxCDF	0.025	0.183	0.087	0.020	0.019	0.104	0.063	0.120	0.067	0.096	0.060	0.048	0.089	0.042	0.023	
1,2,3,6,7,8-HxCDF	0.018	0.076	0.032	0.009	0.007	0.041	0.025	0.065	0.020	0.030	0.020	0.018	0.040	0.002	0.011	
2,3,4,6,7,8-HxCDF	0.016	0.063	0.043	0.013	0.011	0.060	0.030	0.059	0.036	0.037	0.038	0.019	0.053	0.007	0.019	
1,2,3,7,8,9-HxCDF	0.006	0.021	0.016	<0.002	0.009	<0.004	0.011	0.023	0.012	<0.002	<0.002	<0.004	0.026	0.004	0.002	
1,2,3,4,6,7,8-HpCDF	0.043	0.389	0.173	0.050	0.040	0.246	0.100	0.169	0.131	0.180	0.109	0.067	0.161	0.156	0.087	
1,2,3,4,7,8,9-HpCDF	0.013	0.069	0.012	0.007	0.004	0.030	0.009	<0.002	0.025	0.021	<0.004	<0.004	0.028	0.021	0.015	
OCDF	0.049	0.368	0.121	0.048	0.026	0.156	0.081	0.119	0.207	0.266	0.154	0.068	0.190	0.147	0.174	
PCDD/F Homologues																
TCDDs	0.048	0.093	0.262	0.031	0.081	0.288	0.240	0.136	0.095	0.151	0.121	0.114	0.095	0.049	0.036	
PeCDDs	0.072	0.123	0.188	0.071	0.061	0.295	0.199	0.165	0.103	0.155	0.145	0.149	0.199	0.052	0.064	
HxCDDs	0.218	0.338	0.403	0.177	0.133	0.606	0.375	0.305	0.279	0.278	0.355	0.372	0.665	0.134	0.187	
HpCDDs	0.353	0.622	0.650	0.408	0.267	0.989	0.683	0.652	0.481	0.369	0.524	0.468	0.932	0.228	0.838	
OCDD	0.414	0.364	0.444	0.301	0.176	0.624	0.919	0.732	0.575	0.513	0.623	0.497	1.200	0.389	2.890	
TCDFs	0.175	0.466	0.527	0.113	0.207	0.617	0.599	0.858	0.442	0.371	0.450	0.837	0.538	0.341	0.180	
PeCDFs	0.149	0.437	0.397	0.108	0.127	0.422	0.413	0.722	0.342	0.269	0.354	0.332	0.413	0.143	0.120	
HxCDFs	0.134	0.668	0.421	0.108	0.102	0.568	0.348	0.600	0.296	0.372	0.308	0.201	0.447	0.231	0.158	
HpCDFs	0.083	0.685	0.314	0.110	0.076	0.470	0.195	0.300	0.261	0.334	0.223	0.111	0.296	0.263	0.204	
OCDF	0.049	0.368	0.121	0.048	0.026	0.156	0.081	0.119	0.207	0.266	0.154	0.068	0.190	0.147	0.174	
Total																
∑ PCDDs	1.104	1.539	1.947	0.989	0.719	2.802	2.417	1.989	1.533	1.466	1.768	1.599	3.090	0.853	4.015	
∑ PCDFs	0.591	2.624	1.780	0.487	0.539	2.233	1.636	2.598	1.549	1.613	1.489	1.548	1.885	1.125	0.836	
∑ PCDD/Fs	1.694	4.163	3.727	1.475	1.258	5.035	4.053	4.588	3.082	3.079	3.257	3.147	4.976	1.978	4.851	
∑ TEQ (PCDD/Fs)	0.028	0.084	0.069	0.026	0.018	0.091	0.059	0.086	0.046	0.047	0.053	0.057	0.082	0.025	0.036	

Cuadro A43. Concentraciones atmosféricas de DDPC/DFPC (pg m⁻³) en sitios urbanos de la NAPS en 1994 (cont.)

Station Name	Windsor (College)													Hamilton (Elgin)
	1	2	3	4	5	6	7	8	9	10	11	12	13	1
	2/7/94	2/19/94	3/3/94	4/20/94	6/7/94	7/1/94	7/25/94	8/18/94	9/11/94	10/5/94	10/29/94	11/22/94	12/16/94	5/26/94
Sampling Volume (m3)	716	524	699	747	623	612	648	648	711	749	693	755	730	697
PCDD/F Congeners														
2,3,7,8-TCDD	<0.001	<0.002	<0.001	<0.003	<0.003	0.007	0.008	0.009	0.007	0.007	0.008	0.008	0.014	<0.001
1,2,3,7,8-PeCDD	0.049	0.019	0.010	0.016	0.010	<0.002	0.025	0.023	0.008	0.020	0.007	0.003	0.056	0.013
1,2,3,4,7,8-HxCDD	0.102	0.063	0.017	0.012	0.016	0.008	0.011	0.056	0.011	0.016	0.010	0.005	0.078	0.006
1,2,3,6,7,8-HxCDD	0.193	0.082	0.033	0.029	0.027	0.025	0.031	0.062	0.025	0.053	0.019	0.010	0.114	0.011
1,2,3,7,8,9-HxCDD	0.327	<0.006	0.051	0.040	0.037	0.034	0.060	0.062	0.030	0.063	0.028	0.014	0.188	0.011
1,2,3,4,6,7,8-HpCDD	1.169	0.601	0.295	0.229	0.329	0.258	0.486	0.418	0.347	0.764	0.239	0.111	1.475	0.077
OCDD	2.155	0.976	0.761	0.632	1.128	0.764	1.184	1.139	1.008	2.065	0.775	0.438	3.318	0.218
2,3,7,8-TCDF	0.513	0.307	0.223	0.166	0.109	0.082	0.179	0.219	0.114	0.144	0.110	0.143	0.326	0.083
1,2,3,7,8-PeCDF	<0.003	<0.002	0.065	0.064	0.029	0.008	0.029	0.023	0.020	0.023	0.012	0.019	0.066	0.010
2,3,4,7,8-PeCDF	0.152	0.097	0.054	0.056	<0.003	0.015	0.049	0.049	0.018	0.043	0.018	0.028	0.112	0.017
1,2,3,4,7,8-HxCDF	<0.004	<0.006	0.197	0.153	0.048	0.041	0.116	0.196	0.062	0.079	0.040	0.034	0.239	0.046
1,2,3,6,7,8-HxCDF	0.155	0.151	0.072	0.056	0.022	0.020	0.042	0.079	0.018	0.028	0.015	0.015	0.098	0.020
2,3,4,6,7,8-HxCDF	0.222	0.200	0.092	0.064	0.032	0.021	0.062	0.097	0.025	0.043	0.022	0.018	0.130	0.017
1,2,3,7,8,9-HxCDF	0.011	0.011	0.010	0.007	<0.003	<0.003	<0.002	0.025	0.008	<0.003	<0.001	<0.001	0.009	<0.004
1,2,3,4,6,7,8-HpCDF	0.577	0.676	0.380	0.266	0.125	0.139	0.251	0.335	0.096	0.132	0.092	0.055	0.387	0.059
1,2,3,4,7,8,9-HpCDF	0.059	0.071	0.050	0.028	0.006	0.011	0.022	0.020	0.011	0.011	0.011	0.008	0.071	0.006
OCDF	0.254	0.235	0.561	0.237	0.095	0.093	0.145	0.235	0.080	0.073	0.093	0.065	0.290	0.027
PCDD/F Homologues														
TCDDs	1.186	0.241	0.186	0.183	0.167	0.072	0.258	0.233	0.069	0.083	0.076	0.056	0.298	0.109
PeCDDs	2.133	0.433	0.226	0.252	0.135	0.093	0.268	0.380	0.094	0.198	0.101	0.028	0.637	0.126
HxCDDs	3.287	1.277	0.493	0.461	0.320	0.322	0.515	0.565	0.301	0.462	0.255	0.126	1.614	0.122
HpCDDs	2.545	1.205	0.621	0.475	0.789	0.480	0.890	0.917	0.717	1.454	0.376	0.240	3.294	0.182
OCDD	2.155	0.976	0.761	0.632	1.128	0.764	1.184	1.139	1.008	2.065	0.775	0.438	3.318	0.218
TCDFs	2.414	1.487	1.139	0.890	0.702	0.485	1.067	1.582	0.641	0.689	0.579	0.668	1.674	0.448
PeCDFs	1.693	0.960	0.541	0.633	0.304	0.296	0.618	1.000	0.315	0.395	0.297	0.304	1.389	0.228
HxCDFs	1.855	1.720	0.904	0.640	0.342	0.397	0.586	1.171	0.401	0.351	0.222	0.166	1.110	0.195
HpCDFs	0.947	1.037	0.704	0.458	0.214	0.237	0.410	0.594	0.205	0.239	0.175	0.116	0.740	0.102
OCDF	0.254	0.235	0.561	0.237	0.095	0.093	0.145	0.235	0.080	0.073	0.093	0.065	0.290	0.027
Total														
∑ PCDDs	11.306	4.131	2.287	2.003	2.538	1.731	3.115	3.233	2.189	4.262	1.583	0.888	9.161	0.757
∑ PCDFs	7.163	5.439	3.848	2.859	1.656	1.508	2.827	4.581	1.642	1.749	1.365	1.319	5.203	1.000
∑ PCDD/Fs	18.469	9.570	6.135	4.862	4.194	3.239	5.942	7.814	3.832	6.011	2.948	2.207	14.364	1.757
∑ TEQ (PCDD/Fs)	0.267	0.146	0.107	0.096	0.049	0.041	0.106	0.136	0.056	0.093	0.049	0.046	0.244	0.041

Cuadro A44. Concentraciones atmosféricas de DDPC/DFPC (pg m⁻³) en sitios urbanos de la NAPS en 1995

Station Name	Victoria	Fort McMurray		Edmonton (104th St.)		Prince Albert					Estevan	Windsor (University Ave.)			
Sampling Period	1	1	2	1	2	1	2	3	4	5	1	1	2	3	4
Sampling Date	7/2/95	4/21/95	5/15/95	4/21/95	5/15/95	2/14/95	2/28/95	3/11/95	3/24/95	4/5/95	1/21/95	1/9/95	2/26/95	3/22/95	4/15/95
Sampling Volume (m3)	600	400	390	332	347	756	688	549	607	583	697	880	850	835	833
PCDD/F Congeners															
2,3,7,8-TCDD	<0.003	<0.025	<0.026	<0.012	<0.012	<0.005	<0.006	<0.007	<0.007	<0.007	<0.011	0.004	0.008	0.006	0.006
1,2,3,7,8-PeCDD	<0.007	<0.040	<0.021	<0.024	<0.012	<0.008	<0.009	<0.007	<0.010	<0.007	<0.017	0.008	0.006	0.007	0.008
1,2,3,4,7,8-HxCDD	<0.010	<0.030	<0.026	<0.030	<0.035	<0.005	0.012	<0.007	<0.015	<0.010	<0.011	0.008	<0.002	<0.012	0.011
1,2,3,6,7,8-HxCDD	<0.010	<0.030	<0.026	<0.030	<0.035	0.013	0.028	<0.007	<0.015	<0.010	<0.011	0.036	0.014	0.019	0.022
1,2,3,7,8,9-HxCDD	<0.010	<0.030	<0.026	<0.030	<0.035	0.037	0.033	<0.007	<0.015	<0.010	<0.011	0.027	0.018	<0.012	0.026
1,2,3,4,6,7,8-HpCDD	0.031	<0.050	0.035	0.098	0.056	0.418	0.442	0.031	0.082	0.044	0.263	0.294	0.196	0.156	0.221
OCDD	0.163	0.234	0.100	0.447	0.183	0.981	1.138	0.087	0.423	0.206	1.920	0.505	0.720	0.468	0.484
2,3,7,8-TCDF	0.046	<0.025	<0.026	0.016	<0.012	0.019	0.012	0.012	0.008	0.008	0.009	0.136	0.098	0.152	0.204
1,2,3,7,8-PeCDF	0.007	<0.025	<0.021	<0.015	<0.012	<0.005	<0.006	<0.005	<0.003	<0.005	<0.006	0.037	0.008	0.015	0.028
2,3,4,7,8-PeCDF	0.007	<0.025	<0.021	<0.015	<0.012	<0.005	<0.006	<0.005	0.003	<0.005	<0.006	0.031	0.010	0.017	0.052
1,2,3,4,7,8-HxCDF	0.013	<0.030	<0.026	<0.012	<0.024	<0.008	<0.009	<0.007	<0.007	<0.005	<0.017	0.087	0.029	0.045	0.102
1,2,3,6,7,8-HxCDF	0.009	<0.030	<0.026	<0.012	<0.024	<0.008	<0.009	<0.007	<0.007	<0.005	<0.017	0.030	0.011	0.014	0.041
2,3,4,6,7,8-HxCDF	0.004	<0.030	<0.026	<0.012	<0.024	<0.008	<0.009	<0.007	<0.007	<0.005	<0.017	0.045	0.014	0.026	0.060
1,2,3,7,8,9-HxCDF	<0.003	<0.030	<0.026	<0.012	<0.024	<0.008	<0.009	<0.007	<0.007	<0.005	<0.017	0.003	<0.002	<0.005	<0.004
1,2,3,4,6,7,8-HpCDF	0.025	<0.040	<0.031	0.018	<0.017	0.012	<0.006	0.009	0.011	<0.010	0.040	0.161	0.068	0.074	0.164
1,2,3,4,7,8,9-HpCDF	<0.007	<0.040	<0.031	<0.018	<0.017	<0.01	<0.006	<0.007	<0.010	<0.010	<0.011	0.023	0.007	<0.012	0.030
OCDF	0.030	<0.001	<0.092	<0.044	<0.058	<0.026	<0.014	<0.02	<0.026	<0.021	0.052	0.160	0.063	0.025	0.147
PCDD/F Homologues															
TCDDs	0.005	<0.025	<0.026	<0.012	<0.012	<0.005	<0.006	<0.007	<0.007	<0.007	<0.011	0.042	0.021	0.044	0.066
PeCDDs	0.061	<0.040	<0.021	<0.024	<0.012	0.019	0.033	<0.007	<0.010	<0.007	<0.017	0.112	0.054	0.086	0.109
HxCDDs	0.039	<0.030	<0.026	<0.030	<0.035	0.277	0.300	0.007	<0.015	<0.010	0.053	0.365	0.168	0.175	0.273
HpCDDs	0.049	<0.050	0.035	0.209	0.116	0.941	0.954	0.031	0.140	0.069	0.508	0.628	0.415	0.272	0.273
OCDD	0.163	0.234	0.100	0.447	0.183	0.981	1.138	0.087	0.423	0.206	1.920	0.505	0.720	0.468	0.484
TCDFs	0.094	<0.025	<0.026	0.016	<0.012	0.040	0.017	0.012	0.008	0.008	0.009	0.605	0.259	0.620	1.946
PeCDFs	0.066	0.025	<0.021	<0.015	<0.012	0.007	0.014	<0.005	0.003	<0.005	0.007	0.397	0.120	0.214	0.891
HxCDFs	0.050	<0.030	<0.026	<0.012	<0.024	0.013	0.010	<0.007	<0.007	<0.005	<0.017	0.364	0.115	0.195	0.570
HpCDFs	0.035	<0.040	<0.031	0.018	<0.017	0.012	0.026	0.009	0.011	<0.010	0.078	0.302	0.128	0.114	0.326
OCDF	0.030	<0.001	<0.092	<0.044	<0.058	<0.026	<0.014	<0.02	<0.026	<0.021	0.052	0.160	0.063	0.025	0.147
Total															
∑ PCDDs	0.318	0.234	0.134	0.656	0.299	2.217	2.424	0.125	0.564	0.274	2.481	1.652	1.378	1.045	1.205
∑ PCDFs	0.275	0.025	0.000	0.034	0.000	0.071	0.067	0.020	0.022	0.008	0.146	1.828	0.685	1.168	3.882
∑ PCDD/Fs	0.594	0.259	0.134	0.689	0.299	2.288	2.491	0.146	0.586	0.282	2.627	3.480	2.062	2.213	5.087
∑ TEQ (PCDD/Fs)	0.024	0.098	0.075	0.058	0.049	0.030	0.034	0.022	0.027	0.022	0.045	0.065	0.038	0.049	0.082

Cuadro A45. Concentraciones atmosféricas de DDPC/DFPC (pg m⁻³) en sitios urbanos de la NAPS en 1996

Station Name	Powell River									Vancouver (Kitsilano)				Estevan
Sampling Period	1	2	3	4	5	6	7	8	9	1	2	3	4	1
Sampling Date	7/14/96	8/7/96	8/25/96	9/24/96	10/1/96	11/26/96	12/1/96	12/10/96	12/26/96	1/4/96	2/21/96	4/9/96	5/27/96	2/22/96
Sampling Volume (m3)	1074	1111	1456	764	2363	1553	2343	1187	1614	582	566	706	673	686
PCDD/F Congeners														
2,3,7,8-TCDD	<0.002	<0.002	<0.004	<0.008	<0.003	<0.005	<0.002	<0.005	0.001	<0.01	<0.004	<0.004	<0.003	<0.003
1,2,3,7,8-PeCDD	0.010	0.008	0.005	<0.009	0.006	<0.005	0.014	<0.005	0.007	<0.01	0.009	0.009	<0.006	0.008
1,2,3,4,7,8-HxCDD	0.005	0.008	0.002	<0.010	<0.003	<0.005	0.007	<0.005	0.012	0.015	0.006	0.006	<0.004	<0.006
1,2,3,6,7,8-HxCDD	0.013	0.028	0.005	0.010	0.008	<0.005	0.015	<0.005	0.013	0.032	0.014	0.011	<0.004	0.009
1,2,3,7,8,9-HxCDD	0.013	0.021	0.007	<0.010	0.011	0.006	0.012	<0.005	0.031	0.030	0.016	0.012	<0.004	0.013
1,2,3,4,6,7,8-HpCDD	0.072	0.453	0.034	0.038	0.069	0.038	0.083	0.043	0.174	0.359	0.138	0.111	0.050	0.118
OCDD	0.367	2.921	0.094	0.070	0.243	0.062	0.138	0.536	0.433	0.810	0.528	0.341	0.252	0.303
2,3,7,8-TCDF	0.042	0.018	0.029	0.037	0.042	0.051	0.110	0.019	0.024	0.048	0.030	0.023	0.008	0.009
1,2,3,7,8-PeCDF	0.007	0.003	0.004	<0.005	0.006	0.008	0.017	<0.004	0.006	0.011	0.008	<0.006	<0.004	<0.003
2,3,4,7,8-PeCDF	0.013	0.004	0.005	<0.005	0.010	<0.003	0.029	0.005	0.007	0.014	0.021	0.018	<0.004	0.008
1,2,3,4,7,8-HxCDF	0.010	0.007	0.005	<0.005	<0.001	0.007	0.016	<0.005	0.010	0.022	0.019	0.013	<0.004	0.005
1,2,3,6,7,8-HxCDF	0.007	0.008	0.003	0.005	0.006	0.004	0.011	<0.005	0.005	0.009	0.009	0.006	<0.004	<0.003
2,3,4,6,7,8-HxCDF	0.008	0.011	0.003	<0.005	0.005	<0.003	0.015	<0.005	0.006	0.010	0.010	0.007	<0.004	0.005
1,2,3,7,8,9-HxCDF	<0.002	<0.003	<0.003	<0.005	<0.001	<0.003	<0.002	<0.005	<0.001	<0.007	<0.004	<0.003	<0.004	<0.003
1,2,3,4,6,7,8-HpCDF	0.031	0.158	0.013	0.011	0.013	0.008	0.015	0.012	0.015	0.041	0.045	0.029	0.015	0.013
1,2,3,4,7,8,9-HpCDF	0.004	<0.003	<0.003	<0.008	0.002	<0.003	0.005	<0.005	0.005	<0.01	0.006	<0.004	<0.003	<0.005
OCDF	0.036	0.301	0.009	<0.016	0.007	<0.006	0.008	0.020	0.022	0.044	0.039	0.020	0.015	0.025
PCDD/F Homologues														
TCDDs	0.232	0.029	0.182	0.141	0.101	0.124	0.338	0.033	0.047	0.036	0.030	0.020	0.005	<0.003
PeCDDs	0.229	0.128	0.120	0.157	0.098	0.106	0.391	0.014	0.078	0.076	0.047	0.027	<0.006	0.008
HxCDDs	0.250	0.317	0.096	0.190	0.109	0.120	0.347	0.024	0.182	0.328	0.151	0.123	0.023	0.081
HpCDDs	0.140	0.773	0.063	0.072	0.141	0.075	0.179	0.083	0.366	0.732	0.292	0.222	0.101	0.219
OCDD	0.367	2.921	0.094	0.070	0.243	0.062	0.138	0.536	0.433	0.810	0.528	0.341	0.252	0.303
TCDFs	0.316	0.068	0.274	0.228	0.338	0.406	0.824	0.129	0.155	0.214	0.172	0.171	0.036	0.020
PeCDFs	0.154	0.100	0.087	<0.005	0.116	0.115	0.321	0.040	0.078	0.120	0.085	0.092	0.025	0.012
HxCDFs	0.099	0.278	0.045	0.026	0.045	0.036	0.111	<0.005	0.044	0.094	0.083	0.066	0.023	0.019
HpCDFs	0.079	0.616	0.023	0.011	0.018	0.013	0.034	0.022	0.036	0.081	0.080	0.048	0.029	0.023
OCDF	0.036	0.301	0.009	<0.016	0.007	<0.006	0.008	0.020	0.022	0.044	0.039	0.020	0.015	0.025
Total														
∑ PCDDs	1.217	4.168	0.555	0.629	0.692	0.487	1.393	0.691	1.107	1.982	1.047	0.733	0.380	0.611
∑ PCDFs	0.684	1.362	0.438	0.265	0.524	0.571	1.296	0.211	0.335	0.460	0.459	0.396	0.128	0.098
∑ PCDD/Fs	1.901	5.530	0.993	0.894	1.216	1.058	2.689	0.902	1.442	2.442	1.506	1.130	0.509	0.709
∑ TEQ (PCDD/Fs)	0.027	0.029	0.017	0.028	0.020	0.020	0.045	0.018	0.023	0.046	0.032	0.028	0.014	0.020

Cuadro A47. Concentraciones atmosféricas de DDPC/DFPC (pg m⁻³) en sitios urbanos de la NAPS en 1998

Station Name	Powell River					Toronto (Evans)							
Sampling Period	1	2	3	4	5	1	2	3	4	5	6	7	8
Sampling Date	7/25/98	8/16/98	9/14/98	10/9/98	11/1/98	7/4/98	7/28/98	8/21/98	9/14/98	10/8/98	11/1/98	11/25/98	12/19/98
Sampling Volume (m3)	876	880	908	914	942	809	754	885	876	853	1109	920	942
PCDD/F Congeners													
2,3,7,8-TCDD	<0.005	<0.005	<0.002	<0.002	<0.002	<0.006	<0.008	<0.005	<0.005	<0.004	<0.004	<0.002	<0.003
1,2,3,7,8-PeCDD	0.010	<0.005	0.005	<0.005	0.006	<0.009	0.007	0.005	0.006	0.008	0.007	0.011	0.006
1,2,3,4,7,8-HxCDD	<0.005	<0.007	<0.007	<0.004	<0.003	<0.012	<0.011	<0.005	<0.007	0.013	0.008	0.013	0.006
1,2,3,6,7,8-HxCDD	<0.005	<0.007	<0.007	<0.004	0.005	<0.012	<0.011	0.008	0.008	0.014	0.006	0.024	0.011
1,2,3,7,8,9-HxCDD	<0.005	<0.007	<0.007	<0.004	0.011	0.010	<0.011	0.014	0.008	0.020	0.010	0.030	0.018
1,2,3,4,6,7,8-HpCDD	0.025	0.049	0.029	0.014	0.089	0.086	0.089	0.075	0.160	0.175	0.121	0.243	0.128
OCDD	0.049	0.275	0.219	0.055	0.254	0.250	0.489	0.275	0.680	0.597	0.403	0.738	0.442
2,3,7,8-TCDF	0.009	0.006	0.009	0.007	0.007	0.025	0.029	0.040	0.022	0.020	0.018	0.044	0.024
1,2,3,7,8-PeCDF	<0.005	<0.007	<0.004	<0.003	<0.002	0.006	0.007	0.007	0.006	0.005	<0.004	0.011	0.005
2,3,4,7,8-PeCDF	<0.005	<0.007	<0.004	<0.003	<0.002	0.009	0.012	0.012	0.010	0.010	0.007	0.020	0.009
1,2,3,4,7,8-HxCDF	0.005	<0.007	<0.006	<0.002	0.004	0.021	0.028	0.032	0.024	0.020	0.015	0.051	0.016
1,2,3,6,7,8-HxCDF	<0.005	<0.007	<0.006	<0.002	<0.002	0.012	0.014	0.018	0.013	0.009	0.008	0.019	0.006
2,3,4,6,7,8-HxCDF	<0.005	<0.007	<0.006	<0.002	<0.002	0.016	0.016	0.019	0.015	0.011	0.008	0.031	0.007
1,2,3,7,8,9-HxCDF	<0.005	<0.007	<0.006	<0.002	<0.002	<0.01	<0.008	<0.007	<0.005	<0.005	<0.005	<0.002	<0.003
1,2,3,4,6,7,8-HpCDF	0.012	0.010	0.008	<0.004	0.008	0.041	0.060	0.093	0.057	0.043	0.034	0.082	0.037
1,2,3,4,7,8,9-HpCDF	<0.007	<0.01	<0.007	<0.004	<0.003	0.007	<0.008	0.009	0.006	<0.009	<0.005	0.018	<0.005
OCDF	0.010	0.015	0.013	<0.004	0.010	0.043	0.055	0.104	0.055	0.057	0.041	0.072	0.048
PCDD/F Homologues													
TCDDs	0.021	<0.005	0.010	0.011	0.012	0.015	0.032	0.049	0.024	0.037	0.021	0.034	0.033
PeCDDs	0.041	0.010	0.011	0.017	0.028	0.030	0.034	0.070	0.034	0.043	0.038	0.107	0.048
HxCDDs	0.030	0.015	0.017	0.009	0.081	0.063	0.052	0.106	0.099	0.159	0.114	0.294	0.150
HpCDDs	0.042	0.085	0.052	0.039	0.194	0.162	0.183	0.151	0.296	0.345	0.266	0.536	0.288
OCDD	0.049	0.275	0.219	0.055	0.254	0.250	0.489	0.275	0.680	0.597	0.403	0.738	0.442
TCDFs	0.048	0.019	0.032	0.041	0.046	0.182	0.159	0.333	0.183	0.106	0.081	0.236	0.212
PeCDFs	0.027	0.011	0.020	0.012	0.012	0.122	0.232	0.231	0.160	0.107	0.076	0.243	0.107
HxCDFs	0.035	0.013	0.020	0.010	0.013	0.103	0.195	0.203	0.175	0.128	0.082	0.218	0.072
HpCDFs	0.022	0.010	0.015	<0.004	0.014	0.070	0.101	0.166	0.112	0.075	0.064	0.144	0.069
OCDF	0.010	0.015	0.013	<0.004	0.010	0.043	0.055	0.104	0.055	0.057	0.041	0.072	0.048
Total													
∑ PCDDs	0.183	0.385	0.308	0.131	0.570	0.518	0.791	0.651	1.133	1.181	0.841	1.710	0.961
∑ PCDFs	0.143	0.067	0.100	0.063	0.095	0.520	0.742	1.037	0.684	0.473	0.344	0.914	0.509
∑ PCDD/Fs	0.326	0.452	0.408	0.194	0.665	1.038	1.533	1.688	1.817	1.654	1.185	2.624	1.470
∑ TEQ (PCDD/Fs)	0.022	0.019	0.014	0.011	0.013	0.031	0.033	0.030	0.027	0.029	0.023	0.044	0.023

Cuadro A48. Concentraciones atmosféricas de DDPC/DFPC (pg m⁻³) en sitios urbanos de la NAPS en 1999 (cont.)

Station Name	Hamilton (Elgin)												Jonquiere												
	1	2	3	4	5	6	7	8	9	10	11	12	1	2	3	4	5	6	7	8	9	10	11	12	13
Sampling Period	1/12/99	3/1/99	3/25/99	4/18/99	5/12/99	6/5/99	6/29/99	7/23/99	8/16/99	10/3/99	11/20/99	12/14/99	1/12/99	2/5/99	3/1/99	3/25/99	4/18/99	5/12/99	6/5/99	6/29/99	8/16/99	9/9/99	10/3/99	11/20/99	12/14/99
Sampling Volume (m3)	609	615	575	607	611	36316	578	557	564	574	615	583	895	869	846	859	903	859	848	802	845	866	862	863	869
PCDD/F Congeners																									
2,3,7,8-TCDD	<0.003	<0.003	<0.007	<0.007	<0.004	<0.003	<0.003	<0.004	<0.004	<0.004	<0.003	<0.01	<0.004	<0.005	<0.005	<0.005	<0.002	<0.002	<0.002	<0.005	<0.005	<0.002	<0.002	<0.002	<0.002
1,2,3,7,8-PeCDD	0.026	0.006	0.010	0.007	0.014	0.016	0.010	<0.004	<0.007	0.007	0.010	0.011	0.008	<0.005	0.009	<0.005	0.004	<0.005	0.017	0.014	0.010	0.012	<0.004	0.025	0.012
1,2,3,4,7,8-HxCDD	0.025	<0.005	<0.007	<0.013	<0.007	0.014	0.013	<0.011	<0.011	<0.007	0.008	0.010	0.007	<0.006	<0.007	<0.005	<0.003	<0.002	0.020	<0.007	0.010	0.008	<0.005	0.031	0.010
1,2,3,6,7,8-HxCDD	0.044	0.008	0.010	<0.013	0.028	0.029	0.016	<0.011	<0.011	<0.007	0.014	0.012	0.015	0.007	<0.007	<0.005	0.004	<0.002	0.058	<0.007	0.014	0.013	<0.005	0.045	0.017
1,2,3,7,8,9-HxCDD	0.069	0.011	0.016	<0.013	0.031	0.053	0.028	<0.011	<0.011	<0.007	0.023	0.027	0.029	0.006	<0.007	<0.005	<0.003	<0.002	0.091	0.014	0.028	0.013	<0.005	0.069	0.031
1,2,3,4,6,7,8-HpCDD	0.374	0.086	0.147	0.092	0.225	0.321	0.174	0.068	0.057	0.049	0.149	0.129	0.215	0.095	0.079	0.027	0.041	0.035	0.676	0.064	0.214	0.049	0.021	0.352	0.160
OCDD	0.894	0.356	0.523	0.268	1.157	1.112	0.596	0.546	0.435	0.156	0.442	0.422	0.706	0.315	0.278	0.169	0.134	0.176	1.206	0.242	0.509	0.105	0.076	0.714	0.405
2,3,7,8-TCDF	0.153	0.022	0.047	0.024	0.161	0.255	0.021	0.044	0.027	0.026	0.032	0.056	0.036	0.036	0.099	0.007	0.004	0.003	0.024	0.060	0.032	0.123	0.005	0.193	0.081
1,2,3,7,8-PeCDF	0.023	0.003	0.011	<0.003	0.030	0.047	0.006	<0.007	0.005	0.004	0.005	0.012	0.007	0.012	0.008	<0.003	<0.002	<0.002	0.004	0.007	0.008	0.015	<0.002	0.039	0.016
2,3,4,7,8-PeCDF	0.060	0.005	0.015	0.006	0.050	0.069	0.007	<0.007	<0.004	0.007	0.009	0.014	0.012	0.018	0.021	<0.003	<0.002	<0.002	0.006	0.012	0.013	0.019	<0.002	0.063	0.032
1,2,3,4,7,8-HxCDF	0.093	0.012	0.034	0.009	0.010	0.120	0.011	<0.011	0.015	0.012	0.022	0.027	0.018	0.099	0.028	<0.005	<0.002	<0.004	0.015	0.021	0.045	0.025	<0.003	0.157	0.070
1,2,3,6,7,8-HxCDF	0.042	0.005	0.017	<0.006	0.040	0.050	<0.009	<0.011	0.007	0.006	0.011	0.014	0.007	0.031	0.010	<0.005	<0.002	<0.004	0.008	0.009	0.023	0.018	<0.003	0.063	0.029
2,3,4,6,7,8-HxCDF	0.055	0.007	0.017	<0.006	0.047	0.054	<0.009	<0.011	<0.005	<0.005	0.011	0.016	0.008	0.031	0.013	<0.005	<0.002	<0.004	0.010	0.012	0.021	0.021	<0.003	0.082	0.037
1,2,3,7,8,9-HxCDF	0.004	<0.003	<0.006	<0.006	<0.004	<0.007	<0.009	<0.011	<0.005	<0.005	<0.004	<0.003	<0.004	<0.007	<0.004	<0.005	<0.002	<0.004	<0.004	<0.005	<0.002	<0.003	<0.003	<0.005	<0.003
1,2,3,4,6,7,8-HpCDF	0.109	0.033	0.074	0.016	0.179	0.154	0.047	0.045	0.033	0.015	0.042	0.043	0.047	0.216	0.049	0.008	<0.004	0.005	0.037	0.043	0.107	0.036	0.005	0.213	0.120
1,2,3,4,7,8,9-HpCDF	0.014	0.005	<0.008	<0.009	0.018	0.021	<0.007	<0.011	<0.007	<0.003	<0.007	<0.007	<0.009	0.053	<0.007	<0.007	<0.004	<0.004	<0.005	<0.006	0.014	0.006	<0.003	0.032	0.017
OCDF	0.074	0.046	0.106	0.020	0.134	0.095	0.034	0.032	0.053	0.021	0.035	0.034	0.142	0.293	0.074	0.010	0.011	0.021	0.070	0.050	0.062	0.075	0.009	0.139	0.101
PCDD/F Homologues																									
TCDDs	0.248	0.048	0.106	0.100	0.254	0.246	0.042	0.024	0.022	0.017	0.037	0.263	0.064	0.014	0.159	0.006	0.004	<0.002	0.058	0.116	0.027	0.467	<0.002	0.173	0.085
PeCDDs	0.441	0.014	0.084	0.034	0.117	0.117	<0.01	<0.004	0.026	0.007	0.044	0.234	0.088	0.028	0.132	<0.005	0.008	<0.005	0.168	0.095	0.040	0.338	<0.004	0.260	0.013
HxCDDs	0.648	0.100	0.168	0.092	0.274	0.353	0.103	0.048	0.018	0.033	0.144	0.301	0.217	0.057	0.079	<0.005	0.019	0.004	0.756	0.096	0.137	0.315	0.007	0.557	0.227
HpCDDs	0.797	0.196	0.342	0.202	0.517	0.608	0.367	0.149	0.126	0.100	0.331	0.290	0.456	0.185	0.148	0.054	0.078	0.056	1.417	0.116	0.449	0.083	0.036	0.704	0.306
OCDD	0.894	0.356	0.523	0.268	1.157	1.112	0.596	0.546	0.435	0.156	0.442	0.422	0.706	0.315	0.278	0.169	0.134	0.176	1.206	0.242	0.509	0.105	0.076	0.714	0.405
TCDFs	0.941	0.165	0.405	0.080	0.966	2.071	0.171	0.129	0.208	0.148	0.208	0.284	0.165	0.167	0.409	0.010	0.016	0.003	0.149	0.338	0.178	0.628	0.005	0.916	0.422
PeCDFs	0.691	0.061	0.218	0.030	0.610	0.839	0.080	0.049	0.124	0.037	0.099	0.119	0.097	0.156	0.204	0.005	0.008	0.003	0.085	0.188	0.165	0.241	0.005	0.750	0.313
HxCDFs	0.484	0.053	0.180	0.037	0.466	0.483	0.080	0.155	0.118	0.035	0.098	0.124	0.089	0.347	0.097	<0.005	0.005	0.005	0.080	0.123	0.220	0.119	0.005	0.590	0.258
HpCDFs	0.208	0.062	0.115	0.016	0.308	0.219	0.019	0.065	0.060	0.022	0.064	0.058	0.095	0.420	0.074	0.008	0.004	0.009	0.060	0.060	0.182	0.058	0.005	0.344	0.203
OCDF	0.074	0.046	0.106	0.020	0.134	0.095	0.034	0.032	0.053	0.021	0.035	0.034	0.142	0.293	0.074	0.010	0.011	0.021	0.070	0.050	0.062	0.075	0.009	0.139	0.101
Total																									
∑ PCDDs	3.027	0.714	1.222	0.695	2.320	2.435	1.108	0.767	0.628	0.313	0.998	1.510	1.532	0.598	0.796	0.229	0.242	0.236	3.604	0.665	1.162	1.308	0.119	2.408	1.036
∑ PCDFs	2.398	0.387	1.024	0.183	2.484	3.707	0.384	0.431	0.563	0.263	0.504	0.619	0.588	1.382	0.858	0.033	0.043	0.042	0.444	0.759	0.806	1.121	0.029	2.739	1.297
∑ PCDD/Fs	5.425	1.101	2.246	0.878	4.804	6.142	1.492	1.198	1.191	0.576	1.502	2.129	2.120	1.980	1.654	0.262	0.285	0.278	4.048	1.424	1.968	2.429	0.148	5.147	2.333
∑ TEQ (PCDD/Fs)	0.101	0.019	0.040	0.026	0.071	0.105	0.029	0.024	0.023	0.021	0.030	0.044	0.031	0.042	0.039	0.016	0.009	0.011	0.051	0.038	0.040	0.044	0.010	0.121	0.055

Cuadro A49. Concentraciones atmosféricas de DDPC/DFPC (pg m⁻³) en sitios urbanos de la NAPS en 2000

Station Name	Hamilton (Confederation Park)																									
Sampling Period	1	2	3	4	5	6	7	8	9	10	11	12	13	14	15	16	17	18	19	20	21	22	23	24	25	26
Sampling Date	1/7/00	1/31/00	2/12/00	2/24/00	3/7/00	3/19/00	3/31/00	4/12/00	4/24/00	5/6/00	5/18/00	5/30/00	6/11/00	6/23/00	7/5/00	7/17/00	8/10/00	8/22/00	9/3/00	9/15/00	9/27/00	10/9/00	11/2/00	11/14/00	11/26/00	12/8/00
Sampling Volume (m3)	886	908	928	863	822	769	754	888	693	744	821	680	777	711	742	734	743	731	704	758	790	824	765	823	842	881
PCDD/F Congeners																										
2,3,7,8-TCDD	0.004	<0.002	0.003	<0.002	<0.005	<0.003	<0.005	<0.005	<0.003	0.020	<0.005	<0.006	<0.007	<0.004	<0.003	<0.004	<0.003	<0.003	<0.003	<0.005	0.026	<0.005	<0.005	0.033	<0.010	0.006
1,2,3,7,8-PeCDD	0.018	0.010	0.020	0.010	0.012	0.012	<0.005	0.006	0.010	0.081	0.018	0.014	0.034	0.018	0.008	0.023	0.014	0.007	<0.003	0.012	0.134	<0.005	<0.005	0.155	<0.012	0.020
1,2,3,4,7,8-HxCDD	0.018	0.009	0.016	0.013	0.011	0.010	<0.005	<0.007	0.009	0.042	0.011	0.011	0.018	0.015	<0.004	0.019	<0.005	0.005	<0.005	0.108	<0.010	<0.010	0.123	0.018	0.017	
1,2,3,6,7,8-HxCDD	0.032	0.015	0.027	0.019	0.023	0.022	<0.005	0.011	0.012	0.110	0.022	0.020	0.044	0.016	<0.004	0.031	0.016	0.014	<0.005	0.016	0.204	<0.010	<0.010	0.248	0.021	0.026
1,2,3,7,8,9-HxCDD	0.049	0.022	0.049	0.032	0.040	0.035	0.013	0.008	0.016	0.119	0.029	0.024	0.040	0.017	<0.004	0.032	<0.005	0.018	<0.005	0.028	0.250	<0.010	0.032	0.296	0.042	0.041
1,2,3,4,6,7,8-HpCDD	0.257	0.160	0.277	0.211	0.284	0.289	0.092	0.064	0.121	0.309	0.108	0.099	0.116	0.056	0.036	0.098	0.042	0.074	0.048	0.145	0.532	0.146	0.135	0.589	0.127	0.194
OCDD	0.569	0.430	0.566	0.564	0.926	0.768	0.336	0.173	0.219	0.705	0.288	0.428	0.237	0.126	0.111	0.185	0.117	0.294	0.153	0.366	0.460	0.378	0.433	0.525	0.341	0.459
2,3,7,8-TCDF	0.100	0.041	0.051	0.041	0.051	0.019	0.052	0.041	0.025	1.170	0.150	0.109	0.483	0.159	0.046	0.220	0.251	0.080	0.023	0.116	2.237	0.071	0.098	1.629	0.132	0.176
1,2,3,7,8-PeCDF	0.018	0.007	0.010	0.010	0.011	0.004	0.011	0.009	0.005	0.133	0.019	0.020	0.061	0.024	0.010	0.032	0.029	0.011	<0.003	0.016	0.241	0.010	0.022	0.210	0.015	0.025
2,3,4,7,8-PeCDF	0.030	0.011	0.016	0.018	0.017	0.007	0.015	0.012	0.008	0.312	0.047	0.039	0.128	0.041	0.017	0.068	0.086	0.027	0.012	0.035	0.462	0.021	0.029	0.498	0.027	0.046
1,2,3,4,7,8-HxCDF	0.068	0.021	0.031	0.048	0.039	0.017	0.030	0.027	0.015	0.382	0.056	0.055	0.143	0.055	0.032	0.118	0.067	0.057	0.013	0.049	0.753	0.033	0.070	0.733	0.033	0.083
1,2,3,6,7,8-HxCDF	0.026	0.009	0.014	0.019	0.018	0.008	0.015	0.010	0.007	0.154	0.024	0.031	0.058	0.021	0.011	0.045	0.027	0.019	0.006	0.019	0.266	0.018	0.024	0.282	0.013	0.031
2,3,4,6,7,8-HxCDF	0.032	0.013	0.017	0.025	0.024	0.011	0.016	0.014	0.007	0.200	0.032	0.038	0.081	0.025	0.021	0.068	0.047	0.031	0.007	0.030	0.333	0.018	0.035	0.416	0.016	0.038
1,2,3,7,8,9-HxCDF	<0.004	<0.002	0.003	<0.002	0.003	<0.003	<0.003	<0.007	<0.003	0.019	<0.004	0.006	0.007	<0.007	<0.004	0.007	<0.005	<0.005	<0.005	<0.008	0.019	<0.010	<0.010	0.025	<0.010	0.005
1,2,3,4,6,7,8-HpCDF	0.117	0.038	0.047	0.096	0.085	0.049	0.166	0.031	0.026	0.331	0.052	0.069	0.144	0.044	0.037	0.101	0.055	0.093	0.029	0.052	0.513	0.046	0.094	0.553	0.049	0.109
1,2,3,4,7,8,9-HpCDF	0.019	0.007	0.008	0.013	0.013	0.006	0.012	<0.005	<0.006	0.041	<0.005	0.012	0.016	<0.008	<0.008	0.022	<0.008	<0.009	<0.005	<0.008	0.064	<0.010	<0.024	0.077	<0.007	0.024
OCDF	0.091	0.042	0.037	0.069	0.100	0.066	0.495	0.031	0.028	0.124	0.020	0.071	0.039	0.024	0.019	0.047	0.016	0.062	0.035	0.041	0.113	<0.023	0.089	0.111	0.041	0.079
PCDD/F Homologues																										
TCDDs	0.173	0.054	0.086	0.056	0.071	0.022	0.068	0.023	0.028	1.740	0.274	0.187	0.633	0.282	0.108	0.375	0.357	0.121	<0.003	0.168	4.190	0.058	0.077	3.065	0.296	0.278
PeCDDs	0.290	0.088	0.216	0.085	0.111	0.086	0.055	0.022	0.038	2.251	0.365	0.152	0.760	0.372	0.152	0.573	0.315	0.154	0.011	0.203	4.837	0.078	0.070	4.573	0.176	0.362
HxCDDs	0.424	0.187	0.418	0.268	0.340	0.326	0.095	0.078	0.128	1.625	0.296	0.287	0.605	0.264	0.150	0.492	0.244	0.231	0.053	0.262	3.904	0.150	0.234	4.042	0.184	0.403
HpCDDs	0.546	0.350	0.612	0.468	0.652	0.683	0.213	0.137	0.244	0.710	0.249	0.237	0.267	0.098	0.087	0.220	0.089	0.205	0.085	0.285	1.142	0.308	0.358	1.340	0.318	0.416
OCDD	0.569	0.430	0.566	0.564	0.926	0.768	0.336	0.173	0.219	0.705	0.288	0.428	0.237	0.126	0.111	0.185	0.117	0.294	0.153	0.366	0.460	0.378	0.433	0.525	0.341	0.459
TCDFs	0.526	0.266	0.207	0.257	0.336	0.115	0.278	0.183	0.140	4.966	0.797	0.644	2.506	0.853	0.193	1.289	1.318	0.373	0.061	0.651	11.303	0.251	1.081	8.659	0.883	0.915
PeCDFs	0.391	0.150	0.154	0.215	0.211	0.084	0.167	0.123	0.086	3.774	0.548	0.460	1.426	0.585	0.177	0.918	0.774	0.308	0.037	0.364	6.549	0.237	0.404	6.326	0.344	0.596
HxCDFs	0.286	0.100	0.138	0.209	0.191	0.082	0.141	0.095	0.052	1.676	0.279	0.336	0.634	0.236	0.118	0.569	0.326	0.239	0.056	0.211	3.306	0.121	0.232	3.237	0.141	0.336
HpCDFs	0.190	0.063	0.088	0.155	0.164	0.092	0.242	0.036	0.040	0.564	0.062	0.159	0.226	0.059	0.037	0.191	0.057	0.126	0.029	0.077	0.932	0.046	0.094	1.024	0.077	0.183
OCDF	0.091	0.042	0.037	0.069	0.100	0.066	0.495	0.031	0.028	0.124	0.020	0.071	0.039	0.024	0.019	0.047	0.016	0.062	0.035	0.041	0.113	<0.023	0.089	0.111	0.041	0.079
Total																										
∑ PCDDs	2.002	1.109	1.898	1.441	2.100	1.885	0.767	0.433	0.657	7.031	1.472	1.291	2.502	1.142	0.608	1.845	1.122	1.005	0.302	1.284	14.533	0.972	1.172	13.545	1.315	1.918
∑ PCDFs	1.484	0.621	0.624	0.905	1.002	0.439	1.323	0.468	0.346	11.104	1.706	1.670	4.831	1.757	0.544	3.014	2.491	1.108	0.218	1.344	22.203	0.655	1.900	19.357	1.486	2.109
∑ PCDD/Fs	3.486	1.730	2.522	2.346	3.102	2.324	2.090	0.901	1.003	18.135	3.178	2.961	7.333	2.899	1.152	4.859	3.613	2.113	0.520	2.628	36.736	1.627	3.072	32.902	2.801	4.027
∑ TEQ (PCDD/Fs)	0.069	0.031	0.052	0.041	0.047	0.033	0.032	0.028	0.027	0.425	0.072	0.064	0.171	0.068	0.030	0.105	0.087	0.043	0.017	0.058	0.734	0.037	0.051	0.731	0.061	0.086

Cuadro A49. Concentraciones atmosféricas de DDPC/DFPC (pg m⁻³) en sitios urbanos de la NAPS en 2000 (cont.)

Station Name	Hamilton (Hillyard St.)																											
Sampling Period	1	2	3	4	5	6	7	8	9	10	11	12	13	14	15	16	17	18	19	20	21	22	23	24	25	26	27	28
Sampling Date	1/7/00	1/19/00	1/31/00	2/12/00	2/24/00	3/7/00	3/19/00	3/31/00	4/12/00	4/24/00	5/6/00	5/18/00	5/30/00	6/11/00	6/23/00	7/5/00	7/29/00	8/10/00	8/22/00	9/3/00	9/15/00	9/27/00	10/9/00	11/2/00	11/14/00	11/26/00	12/8/00	12/20/00
Sampling Volume (m3)	884	835	861	957	811	753	824	776	804	760	714	761	760	804	778	794	743	756	797	808	785	812	856	800	845	834	861	902
PCDD/F Congeners																												
2,3,7,8-TCDD	<0.002	0.003	0.004	<0.002	<0.002	0.003	<0.002	<0.001	<0.002	<0.003	<0.001	<0.001	<0.001	<0.002	<0.003	<0.002	0.003	<0.002	0.004	<0.001	<0.002	<0.002	<0.002	<0.003	<0.002	0.005	0.007	0.002
1,2,3,7,8-PeCDD	0.007	0.024	0.026	0.014	0.020	0.015	0.009	0.004	0.005	0.007	0.004	0.003	0.004	0.007	0.008	0.005	0.010	0.006	0.016	0.003	0.007	0.008	<0.002	0.011	0.012	0.016	0.033	0.010
1,2,3,4,7,8-HxCDD	0.006	0.026	0.026	0.017	0.022	0.013	0.012	0.004	0.003	0.004	0.002	0.002	0.003	0.003	0.003	0.005	<0.004	<0.003	0.014	<0.004	0.007	0.008	<0.002	<0.004	0.010	0.014	0.034	0.010
1,2,3,6,7,8-HxCDD	0.011	0.048	0.045	0.031	0.039	0.026	0.016	0.010	0.009	0.007	0.005	0.004	0.007	0.007	0.009	0.010	0.009	0.007	0.035	<0.004	0.011	0.017	<0.002	0.020	0.017	0.019	0.056	0.015
1,2,3,7,8,9-HxCDD	0.016	0.080	0.085	0.051	0.078	0.037	0.029	0.012	0.011	0.012	0.006	0.005	0.009	0.009	0.015	0.009	0.019	<0.003	0.041	0.006	0.019	0.015	<0.002	0.023	0.026	0.026	0.105	0.028
1,2,3,4,6,7,8-HpCDD	0.142	0.513	0.546	0.417	0.468	0.282	0.181	0.073	0.088	0.087	0.044	0.019	0.033	0.054	0.081	0.053	0.099	0.044	0.171	0.034	0.147	0.148	0.111	0.215	0.124	0.137	0.311	0.174
OCDD	0.463	1.078	1.490	0.933	1.417	0.955	0.468	0.273	0.374	0.582	0.159	0.060	0.111	0.188	0.334	0.159	0.362	0.154	0.743	0.146	0.382	0.416	0.274	0.480	0.392	0.362	0.483	0.538
2,3,7,8-TCDF	0.019	0.070	0.028	0.033	0.066	0.434	0.069	0.018	0.011	0.097	0.016	0.026	0.037	0.031	0.052	0.022	0.194	0.017	0.206	0.035	0.014	0.058	0.006	0.097	0.046	0.042	0.338	0.046
1,2,3,7,8-PeCDF	0.004	0.011	0.006	0.005	0.014	0.107	0.014	0.004	0.002	0.018	0.003	0.004	0.007	0.007	0.009	0.004	0.037	0.003	0.034	0.005	0.002	0.010	<0.002	0.022	0.009	0.015	0.046	0.014
2,3,4,7,8-PeCDF	0.006	0.021	0.010	0.009	0.026	0.109	0.022	0.005	0.004	0.026	0.004	0.008	0.012	0.011	0.014	0.009	0.054	0.003	0.061	0.011	0.004	0.016	<0.002	0.032	0.014	0.022	0.120	0.016
1,2,3,4,7,8-HxCDF	0.017	0.038	0.021	0.014	0.061	0.086	0.040	0.012	0.008	0.037	0.008	0.013	0.020	0.018	0.018	0.011	0.084	0.009	0.109	0.019	0.017	0.048	0.006	0.073	0.034	0.040	0.292	0.040
1,2,3,6,7,8-HxCDF	0.007	0.018	0.010	0.006	0.022	0.035	0.017	0.004	0.003	0.015	0.003	0.005	0.008	0.008	0.008	0.006	0.036	0.005	0.044	0.006	0.007	0.019	<0.002	0.031	0.015	0.018	0.102	0.014
2,3,4,6,7,8-HxCDF	0.008	0.017	0.013	0.008	0.030	0.041	0.020	0.007	0.004	0.017	0.005	0.007	0.012	0.006	0.012	0.006	0.032	<0.003	0.063	0.010	0.007	0.025	<0.002	0.034	0.018	0.020	0.163	0.019
1,2,3,7,8,9-HxCDF	<0.002	<0.001	<0.002	<0.002	<0.002	<0.003	0.002	<0.001	<0.002	<0.003	<0.001	<0.001	<0.001	<0.002	<0.003	<0.002	0.003	<0.003	<0.004	<0.004	<0.004	<0.003	<0.002	<0.004	0.003	0.007	0.008	<0.002
1,2,3,4,6,7,8-HpCDF	0.036	0.066	0.048	0.036	0.125	0.137	0.059	0.025	0.019	0.040	0.018	0.015	0.024	0.029	0.026	0.017	0.084	0.022	0.123	0.024	0.035	0.089	0.013	0.105	0.053	0.041	0.399	0.070
1,2,3,4,7,8,9-HpCDF	0.005	0.008	0.008	0.006	0.018	0.022	0.011	<0.003	<0.002	<0.005	0.002	0.002	0.003	0.004	0.006	<0.005	0.014	<0.005	0.014	<0.004	<0.005	<0.004	<0.005	<0.004	0.007	0.008	0.034	0.012
OCDF	0.044	0.053	0.056	0.048	0.120	0.131	0.074	0.025	0.018	0.035	0.012	0.007	0.013	0.014	0.024	0.022	0.043	0.009	0.056	0.010	0.023	0.049	<0.008	0.074	0.039	0.054	0.095	0.098
PCDD/F Homologues																												
TCDDs	0.028	0.166	0.083	0.043	0.064	0.085	0.033	0.009	0.011	0.027	0.017	0.025	0.046	0.017	0.064	0.015	0.013	0.011	0.242	0.005	0.016	0.360	<0.002	0.101	0.206	0.043	0.434	0.041
PeCDDs	0.146	0.332	0.253	0.104	0.196	0.165	0.107	0.021	0.026	0.041	0.018	0.010	0.034	0.007	0.008	0.024	0.061	0.015	0.362	0.003	0.032	0.332	<0.002	0.175	0.280	0.050	0.809	0.095
HxCDDs	0.133	0.659	0.649	0.357	0.570	0.349	0.252	0.078	0.082	0.084	0.032	0.031	0.080	0.019	0.051	0.083	0.121	0.051	0.463	0.031	0.142	0.398	0.044	0.313	0.359	0.217	0.912	0.225
HpCDDs	0.306	1.195	1.288	0.810	1.129	0.618	0.457	0.165	0.190	0.183	0.103	0.043	0.076	0.112	0.174	0.116	0.232	0.098	0.393	0.066	0.309	0.329	0.228	0.512	0.289	0.303	0.676	0.358
OCDD	0.463	1.078	1.490	0.933	1.417	0.955	0.468	0.273	0.374	0.582	0.159	0.060	0.111	0.188	0.334	0.159	0.362	0.154	0.743	0.146	0.382	0.416	0.274	0.480	0.392	0.362	0.483	0.538
TCDFs	0.146	0.392	0.194	0.190	0.399	2.288	0.361	0.115	0.068	0.597	0.122	0.135	0.174	0.275	0.359	0.152	1.398	0.130	1.166	0.162	0.095	0.368	0.018	0.487	0.199	0.215	1.526	0.235
PeCDFs	0.087	0.272	0.128	0.102	0.289	0.988	0.229	0.060	0.039	0.293	0.081	0.100	0.154	0.122	0.198	0.091	0.669	0.060	0.796	0.112	0.047	0.235	0.012	0.409	0.158	0.141	1.372	0.161
HxCDFs	0.079	0.194	0.112	0.084	0.254	0.372	0.171	0.054	0.043	0.156	0.056	0.057	0.086	0.093	0.092	0.047	0.322	0.056	0.454	0.068	0.065	0.214	0.018	0.276	0.145	0.142	1.290	0.156
HpCDFs	0.071	0.127	0.099	0.087	0.209	0.254	0.110	0.043	0.033	0.073	0.033	0.025	0.040	0.048	0.049	0.017	0.137	0.032	0.192	0.031	0.049	0.128	0.013	0.105	0.070	0.063	0.599	0.128
OCDF	0.044	0.053	0.056	0.048	0.120	0.131	0.074	0.025	0.018	0.035	0.012	0.007	0.013	0.014	0.024	0.022	0.043	0.009	0.056	0.010	0.023	0.049	<0.008	0.074	0.039	0.054	0.095	0.098
Total																												
∑ PCDDs	1.076	3.430	3.763	2.247	3.376	2.172	1.317	0.546	0.683	0.917	0.829	0.169	0.347	0.343	0.631	0.397	0.789	0.329	2.203	0.251	0.881	1.835	0.546	1.581	1.526	0.975	3.314	1.257
∑ PCDFs	0.427	1.038	0.589	0.511	1.271	4.033	0.945	0.297	0.201	1.154	0.304	0.324	0.467	0.552	0.722	0.329	2.569	0.287	2.664	0.383	0.279	0.994	0.061	1.351	0.611	0.615	4.882	0.778
∑ PCDD/Fs	1.503	4.468	4.352	2.758	4.647	6.205	2.262	0.843	0.884	2.071	1.133	0.493	0.814	0.895	1.353	0.726	3.358	0.616	4.867	0.634	1.160	2.829	0.607	2.932	2.137	1.590	8.196	2.035
∑ TEQ (PCDD/Fs)	0.022	0.070	0.063	0.040	0.069	0.126	0.041	0.015	0.015	0.039	0.012	0.013	0.019	0.022	0.029	0.018	0.071	0.015	0.094	0.017	0.021	0.037	0.008	0.056	0.037	0.049	0.195	0.037

Cuadro A49. Concentraciones atmosféricas de DDPC/DFPC (pg m⁻³) en sitios urbanos de la NAPS en 2000 (cont.)

Station Name	Toronto (Evans)														Toronto (Junction Triangle)												
	1	2	3	4	5	6	7	8	9	10	11	12	13	14	1	2	3	4	5	6	7	8	9	10	11	12	
Sampling Period	1/7/00	1/31/00	2/24/00	3/19/00	3/19/00	4/12/00	5/6/00	5/30/00	6/23/00	8/10/00	9/3/00	9/27/00	11/14/00	12/8/00	1/7/00	1/31/00	2/24/00	3/19/00	4/12/00	5/6/00	5/30/00	6/23/00	8/10/00	9/3/00	9/27/00	12/8/00	
Sampling Volume (m3)	947.2	983	982	836.2	836.2	864.3	781	925.4	883	981.6	940.1	892.3	973.4	1037.9	934	917	901	904	912	868	882	890	839	860	867	857	
PCDD/F Congeners																											
2,3,7,8-TCDD	<0.003	<0.003	<0.002	<0.002	<0.002	<0.002	<0.003	<0.004	<0.003	<0.002	<0.003	<0.003	<0.004	0.003	<0.004	<0.002	<0.004	<0.002	<0.003	<0.003	<0.005	<0.003	<0.004	<0.003	<0.002	<0.005	
1,2,3,7,8-PeCDD	0.006	0.011	0.014	0.006	0.006	0.009	0.012	0.006	0.020	0.007	0.007	0.007	<0.004	0.009	<0.004	0.010	0.014	0.006	0.007	0.011	0.009	0.005	0.009	<0.003	0.009	0.014	
1,2,3,4,7,8-HxCDD	0.005	0.012	0.012	0.006	0.006	<0.007	0.010	0.006	0.007	<0.005	<0.004	<0.009	<0.008	0.012	0.007	0.010	0.016	0.007	0.006	0.004	<0.005	<0.005	<0.005	<0.005	<0.003	0.011	
1,2,3,6,7,8-HxCDD	0.011	0.022	0.018	0.011	0.011	0.008	0.015	0.014	0.008	0.007	<0.004	0.009	<0.008	0.019	0.010	0.019	0.024	0.008	0.013	0.014	0.007	<0.005	0.008	<0.005	0.010	0.021	
1,2,3,7,8,9-HxCDD	0.016	0.035	0.035	0.015	0.015	0.016	0.019	0.016	0.015	0.009	<0.004	0.011	<0.008	0.032	0.015	0.030	0.037	0.016	0.014	0.015	0.010	<0.005	0.006	<0.005	0.013	0.033	
1,2,3,4,6,7,8-HpCDD	0.095	0.249	0.219	0.106	0.106	0.095	0.150	0.112	0.068	0.042	0.037	0.103	0.095	0.175	0.119	0.199	0.242	0.105	0.099	0.132	0.095	0.049	0.050	0.119	0.142	0.214	
OCDD	0.280	0.658	0.575	0.356	0.356	0.449	0.609	0.531	0.325	0.176	0.177	0.378	0.337	0.378	0.362	0.571	0.648	0.347	0.334	0.385	0.408	0.149	0.173	0.398	0.382	0.620	
2,3,7,8-TCDF	0.030	0.041	0.056	0.018	0.018	0.039	0.045	0.094	0.017	0.024	0.015	0.024	<0.004	0.036	0.021	0.038	0.077	0.022	0.047	0.045	0.074	0.038	0.107	0.037	0.057	0.029	
1,2,3,7,8-PeCDF	0.006	0.009	0.012	0.003	0.003	0.007	0.009	0.020	0.004	0.006	<0.002	0.005	<0.004	0.009	<0.004	0.008	0.016	0.005	0.008	0.008	0.013	0.007	0.014	0.007	0.008	0.008	
2,3,4,7,8-PeCDF	0.010	0.014	0.021	0.005	0.005	0.012	0.014	0.033	0.005	0.008	<0.002	0.008	0.007	0.013	0.006	0.011	0.028	0.007	0.017	0.010	0.029	0.013	0.043	0.010	0.015	0.010	
1,2,3,4,7,8-HxCDF	0.036	0.035	0.052	0.012	0.012	0.026	0.029	0.067	0.013	0.016	0.009	0.017	<0.008	0.029	0.015	0.025	0.068	0.015	0.033	0.018	0.044	0.019	0.058	0.019	0.027	0.028	
1,2,3,6,7,8-HxCDF	0.012	0.015	0.020	0.007	0.007	0.011	0.013	0.029	0.006	0.009	0.005	0.007	<0.008	0.012	0.009	0.012	0.027	0.006	0.012	0.008	0.018	0.009	0.021	0.007	0.014	0.013	
2,3,4,6,7,8-HxCDF	0.016	0.020	0.031	0.005	0.005	0.013	0.012	0.042	0.008	0.007	0.004	0.011	<0.008	0.018	0.012	0.015	0.032	0.009	0.019	0.009	0.025	0.010	0.022	0.015	0.014	0.019	
1,2,3,7,8,9-HxCDF	<0.003	<0.003	<0.003	<0.004	<0.004	<0.006	0.004	0.002	<0.005	<0.005	<0.003	<0.004	<0.008	<0.004	<0.006	<0.003	<0.004	<0.002	<0.002	<0.002	0.002	<0.005	<0.005	<0.005	<0.003	<0.004	
1,2,3,4,6,7,8-HpCDF	0.093	0.066	0.106	0.033	0.033	0.052	0.062	0.117	0.031	0.046	0.035	0.051	0.042	0.060	0.037	0.049	0.133	0.034	0.053	0.038	0.069	0.027	0.079	0.036	0.051	0.081	
1,2,3,4,7,8,9-HpCDF	0.007	<0.002	0.015	<0.004	<0.004	<0.006	0.008	0.013	<0.009	<0.008	<0.009	<0.009	<0.010	0.007	<0.005	0.007	0.017	0.006	0.011	<0.003	<0.005	<0.009	<0.005	<0.005	<0.007	0.012	
OCDF	0.059	0.061	0.098	0.041	0.041	0.051	0.086	0.098	0.038	0.040	0.027	0.043	<0.014	0.049	0.042	0.045	0.107	0.042	0.046	0.033	0.069	0.025	0.032	0.035	0.037	0.065	
PCDD/F Homologues																											
TCDDs	0.026	0.074	0.068	0.010	0.010	0.019	0.035	0.048	0.034	0.009	<0.003	0.028	<0.004	0.037	0.012	0.045	0.080	0.008	0.049	0.033	0.047	0.019	0.028	<0.003	0.079	0.013	
PeCDDs	0.046	0.129	0.116	0.018	0.018	0.049	0.058	0.046	0.076	0.007	0.013	0.024	<0.004	0.063	0.012	0.090	0.099	0.032	0.092	0.057	0.043	0.019	0.021	<0.003	0.080	0.056	
HxCDDs	0.116	0.290	0.273	0.105	0.105	0.118	0.162	0.111	0.101	0.049	0.034	0.107	<0.008	0.188	0.127	0.262	0.315	0.132	0.161	0.129	0.050	0.036	0.058	0.064	0.157	0.249	
HpCDDs	0.207	0.542	0.483	0.234	0.234	0.235	0.312	0.239	0.126	0.081	0.069	0.228	0.184	0.357	0.250	0.456	0.533	0.242	0.235	0.292	0.220	0.085	0.115	0.220	0.292	0.423	
OCDD	0.280	0.658	0.575	0.356	0.356	0.449	0.609	0.531	0.325	0.176	0.177	0.378	0.337	0.378	0.362	0.571	0.648	0.347	0.334	0.385	0.408	0.149	0.173	0.398	0.382	0.620	
TCDFs	0.150	0.258	0.357	0.096	0.096	0.190	0.336	0.510	0.105	0.177	0.085	0.158	<0.004	0.188	0.117	0.266	0.535	0.121	0.242	0.298	0.479	0.247	0.521	0.294	0.334	0.117	
PeCDFs	0.135	0.181	0.259	0.050	0.050	0.142	0.187	0.498	0.073	0.128	0.075	0.093	0.014	0.123	0.037	0.140	0.366	0.069	0.168	0.173	0.340	0.147	0.352	0.137	0.164	0.053	
HxCDFs	0.143	0.168	0.244	0.048	0.048	0.114	0.234	0.365	0.068	0.112	0.081	0.100	<0.008	0.142	0.072	0.118	0.307	0.065	0.127	0.125	0.231	0.098	0.186	0.098	0.121	0.138	
HpCDFs	0.143	0.113	0.188	0.060	0.060	0.073	0.121	0.208	0.031	0.059	0.052	0.086	0.042	0.105	0.057	0.081	0.224	0.061	0.101	0.065	0.112	0.043	0.079	0.036	0.079	0.149	
OCDF	0.059	0.061	0.098	0.041	0.041	0.051	0.086	0.098	0.038	0.040	0.027	0.043	<0.014	0.049	0.042	0.045	0.107	0.042	0.046	0.033	0.069	0.025	0.032	0.035	0.037	0.065	
Total																											
∑ PCDDs	0.675	1.693	1.515	0.723	0.723	0.870	1.176	0.975	0.662	0.322	0.293	0.765	0.521	1.023	0.763	1.424	1.675	0.761	0.871	0.896	0.768	0.308	0.395	0.682	0.990	1.361	
∑ PCDFs	0.630	0.781	1.146	0.295	0.295	0.570	0.964	1.679	0.315	0.516	0.320	0.480	0.056	0.607	0.325	0.650	1.539	0.358	0.694	0.694	1.231	0.560	1.170	0.600	0.735	0.522	
∑ PCDD/Fs	1.305	2.474	2.661	1.018	1.018	1.440	2.140	2.654	0.977	0.838	0.613	1.245	0.577	1.630	1.088	2.074	3.214	1.119	1.555	1.590	1.999	0.868	1.565	1.282	1.725	1.883	
∑ TEQ (PCDD/Fs)	0.027	0.040	0.049	0.019	0.019	0.029	0.037	0.050	0.034	0.021	0.016	0.024	0.018	0.035	0.021	0.033	0.060	0.020	0.032	0.031	0.043	0.023	0.051	0.021	0.032	0.041	

Cuadro A49. Concentraciones atmosféricas de DDPC/DFPC (pg m⁻³) en sitios urbanos de la NAPS en 2000 (cont.)

Station Name	Montreal (1125)													St. John's										
	1	2	3	4	5	6	7	8	9	10	11	12	13	1	2	3	4	5	6	7	8	9	10	11
Sampling Period	1/7/00	2/12/00	3/7/00	3/19/00	3/31/00	4/12/00	5/6/00	5/30/00	6/23/00	8/10/00	9/3/00	12/8/00	12/20/00	1/7/00	1/31/00	2/24/00	4/12/00	5/30/00	6/23/00	8/10/00	9/3/00	9/27/00	11/14/00	12/8/00
Sampling Date	1004	1	1173	1187	1044	1040	1022	984	928	951	970	995	905	929	860	965	876	858	824	841	832	811	849	834
Sampling Volume (m3)																								
PCDD/F Congeners																								
2,3,7,8-TCDD	<0.002	<0.004	<0.002	<0.003	<0.003	<0.003	0.003	<0.002	<0.004	<0.003	<0.002	0.005	<0.004	<0.002	<0.003	<0.004	<0.002	<0.005	<0.005	<0.002	<0.004	<0.002	<0.005	<0.002
1,2,3,7,8-PeCDD	0.008	<0.004	0.010	0.010	0.005	0.004	0.010	0.007	0.005	<0.002	0.010	0.017	0.010	<0.003	<0.005	0.005	0.004	<0.005	<0.005	<0.003	<0.004	<0.002	0.006	0.002
1,2,3,4,7,8-HxCDD	0.008	<0.004	0.012	0.011	<0.003	<0.003	0.017	<0.005	<0.006	<0.002	0.009	0.016	0.014	<0.002	<0.005	<0.004	<0.005	<0.005	<0.007	<0.008	<0.005	<0.004	<0.007	<0.005
1,2,3,6,7,8-HxCDD	0.014	<0.004	0.018	0.022	0.005	0.004	0.028	0.013	0.011	<0.002	0.019	0.030	0.017	<0.002	<0.005	0.009	<0.005	<0.005	<0.007	<0.008	<0.005	<0.004	<0.007	<0.005
1,2,3,7,8,9-HxCDD	0.022	<0.004	0.029	0.034	0.003	0.006	0.052	0.011	0.008	<0.002	0.020	0.048	0.026	<0.002	<0.005	0.013	<0.005	<0.005	<0.007	<0.008	<0.005	<0.004	<0.007	<0.005
1,2,3,4,6,7,8-HpCDD	0.140	0.017	0.196	0.210	0.051	0.049	0.407	0.174	0.053	0.032	0.236	0.282	0.144	0.022	0.022	0.119	0.021	0.016	0.010	<0.008	<0.006	0.014	0.036	0.036
OCDD	0.582	0.060	0.551	0.563	0.201	0.240	1.201	0.635	0.151	0.106	0.754	0.754	0.557	0.075	0.067	0.281	0.084	0.038	0.026	0.032	<0.014	0.042	0.133	0.170
2,3,7,8-TCDF	0.036	<0.004	0.044	0.029	0.023	0.013	0.050	0.024	0.022	0.019	0.026	0.076	0.019	0.011	0.012	0.008	0.009	0.003	<0.002	0.003	<0.004	0.004	0.024	0.009
1,2,3,7,8-PeCDF	0.008	<0.002	0.008	0.008	0.005	0.003	0.010	0.004	0.004	<0.002	<0.002	0.011	0.004	<0.002	0.003	<0.002	0.003	<0.002	<0.002	<0.003	<0.003	<0.002	0.005	<0.002
2,3,4,7,8-PeCDF	0.013	<0.002	0.013	0.016	0.007	0.004	0.016	0.008	0.006	0.005	0.007	0.019	0.005	<0.002	0.004	<0.002	0.004	<0.002	<0.002	<0.003	<0.003	<0.002	0.006	<0.002
1,2,3,4,7,8-HxCDF	0.027	<0.004	0.021	0.042	0.010	0.008	0.052	0.022	0.009	0.008	0.025	0.043	0.013	0.003	0.008	<0.004	0.007	<0.002	0.002	<0.006	<0.005	<0.004	0.017	<0.004
1,2,3,6,7,8-HxCDF	0.011	<0.004	0.008	0.017	0.005	0.003	0.017	0.009	0.004	<0.002	0.008	0.015	0.007	<0.002	0.004	<0.004	0.003	<0.002	<0.002	<0.006	<0.005	<0.004	0.008	<0.004
2,3,4,6,7,8-HxCDF	0.016	<0.004	0.009	0.023	0.007	0.005	0.024	0.011	0.009	<0.002	0.008	0.027	0.009	<0.002	0.004	<0.004	0.004	<0.002	<0.002	<0.006	<0.005	<0.004	0.014	<0.004
1,2,3,7,8,9-HxCDF	<0.004	<0.004	<0.002	<0.003	<0.002	<0.002	<0.003	<0.004	<0.004	<0.002	<0.004	0.004	<0.004	<0.002	<0.002	<0.004	<0.002	<0.002	<0.002	<0.006	<0.005	<0.004	<0.007	<0.004
1,2,3,4,6,7,8-HpCDF	0.048	<0.007	0.039	0.105	0.020	0.021	0.115	0.051	0.025	0.024	0.080	0.070	0.047	0.008	0.012	0.011	0.010	0.005	<0.006	<0.008	<0.006	<0.006	0.019	0.011
1,2,3,4,7,8,9-HpCDF	0.006	<0.007	0.006	0.018	0.005	<0.002	0.012	<0.005	<0.002	<0.004	<0.006	0.009	0.005	<0.002	<0.005	<0.004	<0.003	<0.005	<0.006	<0.008	<0.006	<0.006	<0.012	<0.002
OCDF	0.057	<0.007	0.043	0.171	0.030	0.026	0.108	0.054	0.013	0.015	0.070	0.056	0.083	0.006	0.010	0.018	0.008	<0.005	<0.005	0.010	<0.009	<0.005	<0.012	0.016
PCDD/F Homologues																								
TCDDs	0.035	<0.004	0.041	0.025	0.013	0.006	0.056	0.011	<0.004	<0.003	<0.002	0.060	0.016	0.009	0.004	<0.004	0.005	0.005	<0.005	<0.002	<0.004	<0.002	<0.005	<0.002
PeCDDs	0.070	<0.004	0.105	0.078	0.012	0.012	0.072	0.015	0.008	<0.002	0.038	0.152	0.038	0.009	<0.005	0.013	0.004	<0.005	<0.005	<0.003	<0.004	<0.002	0.006	0.005
HxCDDs	0.157	<0.004	0.235	0.252	0.033	0.033	0.432	0.120	0.019	0.014	0.185	0.318	0.143	0.022	0.024	0.075	0.007	<0.005	<0.007	<0.008	<0.005	<0.004	0.009	<0.005
HpCDDs	0.315	0.027	0.421	0.456	0.098	0.085	0.954	0.380	0.100	0.074	0.474	0.571	0.298	0.026	0.040	0.223	0.042	0.016	0.010	<0.008	<0.006	0.032	0.065	0.058
OCDD	0.582	0.060	0.551	0.563	0.201	0.240	1.201	0.635	0.151	0.106	0.754	0.754	0.557	0.075	0.067	0.281	0.084	0.038	0.026	0.032	<0.014	0.042	0.133	0.170
TCDFs	0.235	<0.004	0.228	0.172	0.173	0.057	0.317	0.186	0.059	0.112	0.086	0.476	0.087	0.037	0.048	0.046	0.044	0.008	<0.002	0.013	<0.004	0.007	0.082	0.024
PeCDFs	0.140	<0.002	0.138	0.146	0.087	0.046	0.234	0.114	0.048	0.084	0.087	0.216	0.053	0.012	0.028	0.018	0.032	0.014	0.012	0.016	0.009	0.011	0.040	0.009
HxCDFs	0.123	<0.004	0.093	0.199	0.055	0.045	0.221	0.109	0.071	0.045	0.112	0.186	0.068	0.012	0.028	0.011	0.018	0.016	0.011	0.014	<0.005	0.007	0.038	0.008
HpCDFs	0.087	<0.007	0.076	0.176	0.043	0.043	0.190	0.082	0.028	0.024	0.097	0.123	0.086	0.009	0.016	0.020	0.010	0.005	<0.006	0.000	<0.006	<0.006	0.019	0.018
OCDF	0.057	<0.007	0.043	0.171	0.030	0.026	0.108	0.054	0.013	0.015	0.070	0.056	0.083	0.006	0.010	0.018	0.008	<0.005	<0.005	0.010	<0.009	<0.005	<0.012	0.016
Total																								
∑ PCDDs	1.159	0.087	1.353	1.374	0.357	0.376	2.715	1.161	0.278	0.194	1.451	1.855	1.052	0.141	0.135	0.592	0.142	0.059	0.036	0.032	0.000	0.074	0.213	0.233
∑ PCDFs	0.642	0.000	0.578	0.864	0.388	0.217	1.070	0.545	0.219	0.280	0.452	1.057	0.377	0.076	0.130	0.113	0.112	0.043	0.023	0.053	0.009	0.025	0.179	0.075
∑ PCDD/Fs	1.801	0.087	1.931	2.238	0.745	0.593	3.785	1.706	0.497	0.474	1.903	2.912	1.429	0.217	0.265	0.705	0.254	0.102	0.059	0.085	0.009	0.099	0.392	0.308
∑ TEQ (PCDD/Fs)	0.030	0.012	0.033	0.040	0.017	0.013	0.048	0.024	0.019	0.011	0.030	0.058	0.029	0.009	0.014	0.016	0.012	0.014	0.014	0.011	0.013	0.008	0.023	0.009

Cuadro A49. Concentraciones atmosféricas de DDPC/DFPC (pg m⁻³) en sitios urbanos de la NAPS en 2000 (cont.)

Station Name	Windsor (College)														
Sampling Period	1	2	3	4	5	6	7	8	9	10	11	12	13	14	15
Sampling Date	1/7/00	1/31/00	2/24/00	3/19/00	4/12/00	5/6/00	5/30/00	6/23/00	7/17/00	7/11/00	8/10/00	9/3/00	9/27/00	11/14/00	12/8/00
Sampling Volume (m3)	786	772	741	728	732	687	703	682	671	674	678	658	722	769	759
PCDD/F Congeners															
2,3,7,8-TCDD	<0.003	<0.006	<0.003	<0.003	<0.005	<0.006	<0.003	<0.005	<0.005	<0.005	<0.006	<0.006	<0.004	<0.005	0.006
1,2,3,7,8-PeCDD	0.011	0.021	0.010	0.011	0.009	0.023	0.010	<0.004	<0.004	<0.003	<0.006	0.015	<0.004	0.015	0.031
1,2,3,4,7,8-HxCDD	0.010	0.022	0.009	0.011	<0.007	0.024	<0.006	0.013	<0.007	<0.004	<0.009	<0.009	<0.008	<0.013	0.034
1,2,3,6,7,8-HxCDD	0.019	0.038	0.015	0.021	0.014	0.040	0.010	0.018	<0.007	<0.004	<0.009	<0.009	<0.008	0.016	0.043
1,2,3,7,8,9-HxCDD	0.027	0.070	0.024	0.031	0.022	0.058	0.011	0.021	<0.007	<0.004	<0.009	<0.009	<0.008	0.022	0.082
1,2,3,4,6,7,8-HpCDD	0.157	0.307	0.202	0.238	0.137	0.401	0.092	0.129	0.225	0.063	0.104	0.159	0.121	0.190	0.337
OCDD	0.513	0.783	0.675	0.829	0.446	1.617	0.405	0.402	0.844	0.256	0.445	0.545	0.459	0.641	0.880
2,3,7,8-TCDF	0.085	0.214	0.037	0.029	0.038	0.129	0.017	0.035	0.064	0.014	0.054	0.046	0.039	0.030	0.188
1,2,3,7,8-PeCDF	0.022	0.048	0.007	0.007	0.007	0.027	0.003	0.006	<0.004	<0.003	0.009	<0.006	0.007	0.007	0.039
2,3,4,7,8-PeCDF	0.035	0.097	0.010	0.012	0.011	0.038	<0.003	0.013	0.017	<0.003	0.021	0.017	0.013	0.014	0.077
1,2,3,4,7,8-HxCDF	0.093	0.261	0.025	0.028	0.019	0.133	0.014	0.040	0.026	0.017	0.031	0.031	0.029	0.025	0.223
1,2,3,6,7,8-HxCDF	0.036	0.098	0.011	0.013	0.009	0.052	0.007	0.019	0.017	0.006	0.017	0.016	0.016	0.019	0.080
2,3,4,6,7,8-HxCDF	0.042	0.124	0.014	0.017	0.011	0.058	0.010	0.017	0.018	0.008	<0.009	0.028	0.019	0.019	0.098
1,2,3,7,8,9-HxCDF	0.005	0.012	<0.003	<0.004	<0.003	<0.006	<0.006	<0.009	<0.007	<0.004	<0.009	<0.009	<0.008	<0.01	0.008
1,2,3,4,6,7,8-HpCDF	0.177	0.463	0.067	0.063	0.038	0.325	0.038	0.106	0.063	0.039	0.068	0.098	0.069	0.081	0.325
1,2,3,4,7,8,9-HpCDF	0.026	0.071	0.009	0.008	<0.005	0.034	<0.009	<0.012	<0.012	<0.007	<0.009	<0.009	<0.008	<0.01	0.031
OCDF	0.214	0.424	0.065	0.057	0.037	0.216	0.047	0.053	0.084	0.043	0.053	0.072	0.084	0.120	0.135
PCDD/F Homologues															
TCDDs	0.105	0.218	0.078	0.032	0.013	0.334	<0.003	0.034	0.151	<0.005	0.057	0.080	0.054	0.027	0.182
PeCDDs	0.170	0.338	0.059	0.077	0.055	0.312	0.010	0.030	0.055	0.021	0.031	0.050	<0.004	0.031	0.335
HxCDDs	0.309	0.565	0.220	0.220	0.138	0.669	0.072	0.165	0.077	0.020	0.069	0.115	0.070	0.125	0.575
HpCDDs	0.355	0.650	0.478	0.530	0.304	0.941	0.202	0.204	0.417	0.129	0.214	0.342	0.236	0.367	0.691
OCDD	0.513	0.783	0.675	0.829	0.446	1.617	0.405	0.402	0.844	0.256	0.445	0.545	0.459	0.641	0.880
TCDFs	0.447	1.096	0.286	0.203	0.194	0.830	0.098	0.155	0.451	0.053	0.329	0.300	0.175	0.117	0.892
PeCDFs	0.422	1.065	0.165	0.136	0.116	0.592	0.106	0.187	0.255	0.053	0.193	0.232	0.109	0.086	0.871
HxCDFs	0.438	1.091	0.148	0.137	0.088	0.718	0.128	0.260	0.112	0.085	0.156	0.324	0.133	0.136	0.827
HpCDFs	0.311	0.782	0.127	0.104	0.038	0.503	0.068	0.158	0.007	0.039	0.068	0.098	0.069	0.149	0.528
OCDF	0.214	0.424	0.065	0.057	0.037	0.216	0.047	0.053	0.084	0.043	0.053	0.072	0.084	0.120	0.135
Total															
∑ PCDDs	1.452	2.554	1.510	1.688	0.956	3.873	0.689	0.835	1.544	0.426	0.816	1.132	0.819	1.191	2.663
∑ PCDFs	1.832	4.458	0.791	0.637	0.473	2.859	0.447	0.813	0.909	0.273	0.799	1.026	0.570	0.608	3.253
∑ PCDD/Fs	3.284	7.012	2.301	2.325	1.429	6.732	1.136	1.648	2.453	0.699	1.615	2.158	1.389	1.799	5.916
∑ TEQ (PCDD/Fs)	0.061	0.150	0.033	0.037	0.032	0.099	0.024	0.033	0.033	0.016	0.035	0.045	0.028	0.043	0.144

Cuadro A49. Concentraciones atmosféricas de DDPC/DFPC (pg m⁻³) en sitios urbanos de la NAPS en 2000 (cont.)

Station Name	Winnipeg											Hamilton (Elgin)											
	1	2	3	4	5	6	7	8	9	10	11	1	2	3	4	5	6	7	8	9	10	11	12
Sampling Period	1/7/00	1/31/00	2/24/00	3/19/00	4/12/00	5/6/00	5/30/00	6/23/00	9/27/00	11/14/00	12/8/00	1/7/00	1/31/00	2/24/00	3/19/00	4/12/00	5/6/00	6/23/00	8/10/00	9/3/00	9/27/00	11/14/00	12/8/00
Sampling Volume (m3)	994	951	897	1005	897	851	896	883	936	951	1006	611	604	581	586	579	568	586	568	568	570	579	588
PCDD/F Congeners																							
2,3,7,8-TCDD	<0.004	<0.002	<0.002	<0.003	<0.004	<0.004	<0.004	<0.003	<0.003	0.005	<0.002	<0.007	0.006	0.006	<0.005	<0.005	<0.004	<0.006	<0.005	<0.004	<0.004	<0.010	0.005
1,2,3,7,8-PeCDD	0.008	0.011	0.008	0.004	0.004	<0.005	<0.004	<0.003	<0.002	0.025	0.008	<0.007	0.034	0.028	0.012	<0.003	<0.004	0.012	0.008	0.013	0.008	<0.007	0.024
1,2,3,4,7,8-HxCDD	0.006	0.011	0.005	0.003	<0.007	<0.004	<0.004	<0.005	<0.003	0.028	0.006	0.004	0.036	0.032	0.016	<0.006	<0.007	<0.007	<0.006	<0.007	<0.005	<0.014	0.022
1,2,3,6,7,8-HxCDD	0.011	0.021	0.008	0.005	<0.007	0.004	0.005	0.006	<0.003	0.057	0.011	0.014	0.063	0.054	0.023	<0.006	<0.007	0.021	<0.006	<0.007	<0.005	<0.014	0.031
1,2,3,7,8,9-HxCDD	0.017	0.036	0.014	0.011	<0.007	<0.004	0.004	<0.005	<0.003	0.085	0.016	0.020	0.117	0.096	0.035	0.008	<0.007	<0.007	<0.006	0.015	<0.005	<0.014	0.052
1,2,3,4,6,7,8-HpCDD	0.122	0.253	0.075	0.070	0.046	0.039	0.049	0.033	0.042	0.637	0.114	0.166	0.760	0.553	0.250	0.101	0.135	0.088	0.037	0.109	0.131	0.134	0.288
OCDD	0.312	0.550	0.247	0.230	0.199	0.179	0.186	0.108	0.121	1.634	0.281	0.586	2.108	1.475	0.716	0.442	0.617	0.315	0.240	0.360	0.539	0.368	0.590
2,3,7,8-TCDF	0.017	0.007	0.038	0.006	0.006	0.008	0.007	0.009	0.008	0.024	0.011	0.024	0.036	0.150	0.082	0.020	0.037	0.070	0.026	0.174	0.018	0.024	0.089
1,2,3,7,8-PeCDF	0.004	<0.002	0.009	<0.002	<0.002	<0.002	<0.002	<0.003	<0.002	0.005	0.002	0.005	0.009	0.029	0.013	<0.003	0.011	0.018	0.015	0.024	0.014	<0.007	0.015
2,3,4,7,8-PeCDF	0.006	0.002	0.014	<0.002	0.002	<0.002	0.003	<0.003	0.002	0.010	0.003	0.008	0.012	0.050	0.024	<0.003	0.011	0.020	0.007	0.054	0.004	0.013	0.026
1,2,3,4,7,8-HxCDF	0.012	0.004	0.035	0.005	0.003	0.003	0.007	0.007	0.006	0.019	0.006	0.025	0.029	0.118	0.042	0.011	0.011	0.030	0.016	0.063	0.015	0.015	0.054
1,2,3,6,7,8-HxCDF	0.005	0.003	0.015	<0.002	<0.002	<0.003	<0.002	<0.005	<0.003	0.011	0.003	0.010	0.017	0.046	0.018	0.005	0.011	0.014	0.006	0.030	<0.005	0.012	0.022
2,3,4,6,7,8-HxCDF	0.008	<0.003	0.021	0.005	<0.002	<0.003	0.004	<0.005	<0.003	0.011	0.003	0.009	0.019	0.061	0.022	0.006	0.031	0.018	0.006	0.035	<0.005	<0.010	0.029
1,2,3,7,8,9-HxCDF	<0.002	<0.003	<0.002	<0.002	<0.002	<0.003	<0.002	<0.005	<0.003	<0.004	<0.002	<0.005	<0.005	<0.006	<0.003	<0.003	<0.007	<0.007	<0.006	<0.007	<0.005	<0.010	0.004
1,2,3,4,6,7,8-HpCDF	0.026	0.019	0.080	0.012	0.011	0.013	0.023	0.017	0.018	0.048	0.016	0.054	0.068	0.222	0.066	0.039	0.046	0.034	0.046	0.081	0.115	0.037	0.107
1,2,3,4,7,8,9-HpCDF	0.004	<0.003	0.009	<0.002	<0.006	<0.007	<0.004	<0.010	<0.004	0.008	<0.004	0.010	0.011	0.028	0.009	<0.005	<0.011	<0.010	<0.007	<0.007	<0.008	<0.021	0.014
OCDF	0.029	0.023	0.061	0.010	0.011	0.016	0.025	<0.012	0.014	0.047	0.014	0.067	0.084	0.167	0.100	0.068	0.046	0.033	0.072	0.053	0.244	<0.021	0.095
PCDD/F Homologues																							
TCDDs	0.030	0.013	0.031	0.011	0.004	0.010	0.012	0.006	<0.003	0.122	0.016	0.010	0.086	0.926	0.077	0.035	0.033	0.026	<0.005	0.184	0.018	<0.010	0.120
PeCDDs	0.063	0.073	0.066	0.011	0.012	0.008	<0.004	0.005	<0.002	0.293	0.034	0.018	0.320	0.784	0.115	0.013	<0.004	0.024	0.008	0.124	0.034	<0.007	0.247
HxCDDs	0.155	0.252	0.101	0.083	0.023	0.033	0.038	0.029	<0.003	0.655	0.122	0.126	0.876	1.144	0.285	0.066	0.119	0.101	0.017	0.181	0.082	<0.014	0.426
HpCDDs	0.262	0.486	0.173	0.181	0.102	0.078	0.095	0.055	0.081	1.320	0.219	0.350	1.792	1.307	0.604	0.236	0.290	0.193	0.102	0.212	0.287	0.262	0.586
OCDD	0.312	0.550	0.247	0.230	0.199	0.179	0.186	0.108	0.121	1.634	0.281	0.586	2.108	1.475	0.716	0.442	0.617	0.315	0.240	0.360	0.539	0.368	0.590
TCDFs	0.081	0.033	0.236	0.025	0.015	0.041	0.041	0.068	<0.002	0.138	0.057	0.105	0.251	0.885	0.501	0.085	0.259	0.363	0.131	1.049	0.105	0.115	0.479
PeCDFs	0.057	0.018	0.183	0.011	0.015	0.034	0.034	0.060	0.011	0.110	0.033	0.050	0.158	0.643	0.273	0.029	0.180	0.244	0.092	0.649	0.082	0.039	0.290
HxCDFs	0.050	0.035	0.177	0.025	0.012	0.017	0.032	0.029	0.019	0.117	0.026	0.085	0.159	0.526	0.177	0.055	0.147	0.135	0.070	0.291	0.073	0.039	0.211
HpCDFs	0.045	0.040	0.134	0.022	0.011	0.019	0.041	0.017	0.018	0.107	0.023	0.086	0.143	0.361	0.130	0.064	0.070	0.034	0.046	0.095	0.169	0.037	0.166
OCDF	0.029	0.023	0.061	0.010	0.011	0.016	0.025	<0.012	0.014	0.047	0.014	0.067	0.084	0.167	0.100	0.068	0.046	0.033	0.072	0.053	0.244	<0.021	0.095
Total																							
∑ PCDDs	0.822	1.374	0.618	0.516	0.340	0.308	0.331	0.203	0.202	4.024	0.672	1.090	5.182	5.636	1.797	0.792	1.059	0.659	0.367	1.061	0.960	0.630	1.969
∑ PCDFs	0.262	0.149	0.791	0.093	0.064	0.127	0.173	0.174	0.062	0.519	0.153	0.393	0.795	2.582	1.181	0.301	0.702	0.809	0.411	2.137	0.673	0.230	1.241
∑ PCDD/Fs	1.084	1.523	1.409	0.609	0.404	0.435	0.504	0.377	0.264	4.543	0.825	1.483	5.977	8.218	2.978	1.093	1.761	1.468	0.778	3.198	1.633	0.860	3.210
∑ TEQ (PCDD/Fs)	0.023	0.025	0.030	0.012	0.013	0.014	0.013	0.012	0.010	0.064	0.018	0.030	0.085	0.115	0.052	0.017	0.026	0.043	0.024	0.070	0.023	0.034	0.072

Cuadro A49. Concentraciones atmosféricas de DDPC/DFPC (pg m⁻³) en sitios urbanos de la NAPS en 2000 (cont.)

Station Name	Toronto (Gage Inst.)											Jonquiere										
	1	2	3	4	5	6	7	8	9	10	11	1	2	3	4	5	6	7	8	9	10	11
Sampling Period	1	2	3	4	5	6	7	8	9	10	11	1	2	3	4	5	6	7	8	9	10	11
Sampling Date	3/31/00	4/24/00	5/6/00	5/30/00	6/11/00	8/22/00	9/15/00	10/9/00	11/2/00	11/26/00	12/20/00	1/7/00	1/31/00	2/24/00	3/19/00	4/12/00	5/6/00	5/30/00	6/23/00	8/10/00	9/3/00	12/8/00
Sampling Volume (m3)	893	881	829	854	876	838	822	887	899	907	1008	855	813	802	793	826	816	805	804	792	1044	1077
PCDD/F Congeners																						
2,3,7,8-TCDD	0.004	<0.005	<0.005	<0.005	<0.003	<0.002	<0.003	<0.003	0.006	<0.004	<0.004	<0.004	<0.005	<0.002	<0.003	<0.002	<0.004	<0.002	<0.005	<0.003	<0.002	0.004
1,2,3,7,8-PeCDD	0.018	0.004	0.008	0.009	0.006	<0.002	<0.002	<0.002	<0.006	<0.009	0.010	0.010	0.008	<0.005	0.011	0.004	0.015	<0.005	<0.005	<0.003	0.005	0.026
1,2,3,4,7,8-HxCDD	0.017	<0.005	0.005	<0.006	<0.004	<0.007	<0.005	<0.004	<0.027	0.009	0.006	0.007	0.007	<0.004	0.004	<0.004	0.034	<0.005	0.007	0.016	<0.002	0.031
1,2,3,6,7,8-HxCDD	0.028	<0.005	0.010	0.010	<0.004	<0.007	<0.005	<0.004	<0.027	0.014	0.009	0.016	0.008	<0.004	0.013	0.005	0.041	<0.005	0.016	0.034	<0.002	0.053
1,2,3,7,8,9-HxCDD	0.048	<0.005	0.010	0.011	<0.004	<0.007	<0.005	0.010	0.039	0.016	0.023	0.023	0.014	<0.004	0.017	<0.004	0.072	<0.005	0.030	0.058	0.025	0.095
1,2,3,4,6,7,8-HpCDD	0.210	0.039	0.122	0.072	0.055	0.088	0.051	0.087	0.187	0.127	0.091	0.150	0.090	0.029	0.049	0.050	0.536	0.047	0.190	0.649	0.268	0.596
OCDD	0.593	0.159	0.418	0.267	0.250	0.276	0.135	0.212	0.594	0.357	0.259	0.305	0.304	0.186	0.150	0.201	2.656	0.191	0.590	1.931	0.929	1.385
2,3,7,8-TCDF	0.215	0.018	0.041	0.055	0.020	0.025	0.032	0.008	0.083	0.025	0.034	0.063	0.106	0.009	0.138	0.008	0.021	0.031	0.011	0.016	0.008	0.077
1,2,3,7,8-PeCDF	0.034	0.002	0.008	0.012	<0.003	0.005	0.006	<0.002	0.017	<0.004	0.006	0.008	0.012	<0.003	0.012	<0.002	<0.004	<0.002	<0.003	0.003	0.013	0.013
2,3,4,7,8-PeCDF	0.065	0.005	0.011	0.021	0.007	0.007	0.010	0.003	0.028	0.009	0.012	0.016	0.022	<0.003	0.023	<0.002	0.006	0.007	0.004	<0.003	0.004	0.023
1,2,3,4,7,8-HxCDF	0.102	0.005	0.014	0.036	0.011	0.017	0.022	0.009	0.082	0.016	0.023	0.029	0.038	0.003	0.041	0.003	0.015	0.013	0.010	<0.002	0.007	0.038
1,2,3,6,7,8-HxCDF	0.043	0.002	0.008	0.015	0.005	0.011	0.010	<0.003	0.032	<0.009	0.013	0.011	0.014	<0.003	0.015	0.002	0.005	0.004	0.004	<0.002	0.005	0.016
2,3,4,6,7,8-HxCDF	0.055	<0.002	0.007	0.022	0.005	0.010	0.014	<0.003	0.030	<0.009	0.014	0.014	0.019	<0.003	0.017	<0.002	0.008	0.002	0.005	<0.002	0.006	0.021
1,2,3,7,8,9-HxCDF	<0.003	<0.002	<0.002	<0.004	<0.004	<0.007	<0.004	<0.003	<0.018	<0.009	<0.002	<0.002	<0.002	<0.003	<0.003	<0.002	<0.003	<0.002	<0.002	<0.002	<0.002	0.004
1,2,3,4,6,7,8-HpCDF	0.108	0.013	0.037	0.057	0.019	0.047	0.030	0.010	0.114	0.037	0.032	0.049	0.067	0.009	0.066	0.013	0.036	0.030	0.022	0.026	0.022	0.051
1,2,3,4,7,8,9-HpCDF	0.014	<0.003	<0.005	0.006	<0.007	<0.01	<0.005	<0.005	<0.022	<0.009	<0.005	0.007	0.006	<0.003	0.006	<0.003	<0.005	<0.005	<0.007	<0.005	<0.004	0.009
OCDF	0.039	0.018	0.036	0.061	0.025	0.039	0.027	0.009	0.058	0.046	0.022	0.072	0.135	0.014	0.169	0.022	0.067	0.044	0.018	0.028	0.018	0.032
PCDD/F Homologues																						
TCDDs	0.142	0.006	0.041	0.048	0.007	0.011	0.010	<0.003	0.106	<0.004	0.011	0.065	0.099	0.009	0.136	<0.002	0.034	0.029	<0.005	<0.003	<0.002	0.110
PeCDDs	0.254	0.011	0.039	0.047	0.012	0.011	0.015	<0.002	0.126	<0.009	0.043	0.057	0.091	<0.005	0.204	0.004	0.089	<0.005	<0.005	<0.003	0.005	0.314
HxCDDs	0.391	0.023	0.107	0.078	0.047	0.072	0.061	0.058	0.255	0.143	0.121	0.191	0.121	0.007	0.170	0.023	0.586	0.029	0.148	0.430	0.145	0.812
HpCDDs	0.456	0.083	0.258	0.152	0.127	0.181	0.105	0.161	0.461	0.282	0.195	0.300	0.175	0.059	0.094	0.090	1.305	0.093	0.403	1.333	0.637	1.489
OCDD	0.593	0.159	0.418	0.267	0.250	0.276	0.135	0.212	0.594	0.357	0.259	0.305	0.304	0.186	0.150	0.201	2.656	0.191	0.590	1.931	0.929	1.385
TCDFs	1.265	0.101	0.305	0.337	0.164	0.106	0.176	0.021	0.339	0.100	0.154	0.323	0.497	0.014	0.554	0.020	0.118	0.112	0.022	0.045	0.022	0.334
PeCDFs	0.712	0.039	0.223	0.287	0.060	0.069	0.118	0.015	0.341	0.037	0.092	0.166	0.247	0.005	0.276	0.008	0.065	0.063	0.024	0.020	0.035	0.246
HxCDFs	0.443	0.026	0.132	0.158	0.051	0.063	0.090	0.018	0.246	0.037	0.097	0.119	0.153	0.009	0.153	0.014	0.089	0.051	0.055	0.020	0.041	0.184
HpCDFs	0.183	0.020	0.061	0.091	0.019	0.047	0.049	0.010	0.184	0.056	0.049	0.080	0.110	0.014	0.103	0.016	0.070	0.037	0.037	0.056	0.042	0.110
OCDF	0.039	0.018	0.036	0.061	0.025	0.039	0.027	0.009	0.058	0.046	0.022	0.072	0.135	0.014	0.169	0.022	0.067	0.044	0.018	0.028	0.018	0.032
Total																						
∑ PCDDs	1.836	0.282	0.863	0.592	0.443	0.551	0.326	0.431	1.542	0.782	0.629	0.918	0.790	0.261	0.754	0.318	4.670	0.342	1.141	3.694	1.716	4.110
∑ PCDFs	2.642	0.204	0.757	0.934	0.319	0.324	0.460	0.073	1.168	0.276	0.414	0.760	1.142	0.056	1.255	0.080	0.409	0.307	0.156	0.169	0.158	0.906
∑ PCDD/Fs	4.478	0.486	1.620	1.526	0.762	0.875	0.786	0.504	2.710	1.058	1.043	1.678	1.932	0.317	2.009	0.398	5.079	0.649	1.297	3.863	1.874	5.016
∑ TEQ (PCDD/Fs)	0.097	0.016	0.028	0.038	0.018	0.017	0.019	0.011	0.058	0.028	0.032	0.038	0.043	0.012	0.047	0.010	0.047	0.017	0.022	0.028	0.017	0.078

Cuadro A50. Concentraciones atmosféricas de DDPC/DFPC (pg m⁻³) en sitios urbanos de la NAPS en 2001 (cont.)

Station Name	St. John's						Winnipeg									
	1	2	3	4	5	6	1	2	3	4	5	6	7	8	9	10
Sampling Period																
Sampling Date	3/14/01	4/7/01	5/1/01	8/5/01	11/9/01	12/3/01	1/1/01	1/25/01	3/14/01	4/7/01	5/1/01	5/25/01	6/18/01	8/29/01	9/22/01	11/9/01
Sampling Volume (m3)	835	871	804	835	913	880	953	804	866	791	817	868	849	845	900	852
PCDD/F Congeners																
2,3,7,8-TCDD	<0.003	<0.004	<0.002	<0.003	0.001	<0.001	0.003	<0.002	0.003	<0.003	<0.002	<0.002	<0.002	<0.001	<0.002	0.003
1,2,3,7,8-PeCDD	<0.003	0.005	<0.004	0.004	0.004	0.004	0.021	0.015	0.012	0.008	0.010	0.005	<0.003	0.005	0.006	0.019
1,2,3,4,7,8-HxCDD	<0.005	<0.004	<0.005	<0.005	0.001	0.003	0.024	0.014	<0.005	<0.004	<0.005	<0.004	<0.005	<0.002	0.004	0.023
1,2,3,6,7,8-HxCDD	<0.005	<0.004	<0.005	<0.005	0.003	0.005	0.039	0.028	0.011	0.012	0.007	0.005	<0.005	0.002	0.006	0.038
1,2,3,7,8,9-HxCDD	<0.005	0.009	<0.005	<0.005	0.002	0.007	0.069	0.043	0.017	0.011	0.010	0.005	<0.005	0.007	0.013	0.064
1,2,3,4,6,7,8-HpCDD	0.011	0.081	0.031	0.013	0.026	0.055	0.335	0.309	0.129	0.111	0.063	0.063	0.050	0.048	0.079	0.576
OCDD	0.025	0.205	0.074	0.041	0.068	0.150	0.713	0.689	0.301	0.298	0.188	0.408	0.205	0.171	0.260	1.306
2,3,7,8-TCDF	0.005	0.009	0.010	0.006	0.021	0.016	0.052	0.011	0.023	0.012	0.010	0.012	0.010	0.006	0.005	0.020
1,2,3,7,8-PeCDF	<0.003	0.003	<0.002	<0.003	0.004	0.003	0.013	<0.002	0.005	<0.003	<0.002	<0.002	<0.002	0.001	0.002	0.005
2,3,4,7,8-PeCDF	<0.003	0.004	<0.002	<0.003	0.009	0.006	0.024	0.005	0.011	<0.003	0.002	0.007	<0.002	0.002	0.003	0.010
1,2,3,4,7,8-HxCDF	<0.005	0.010	0.005	<0.004	0.013	0.014	0.045	0.011	0.011	0.005	0.008	0.010	0.008	0.004	0.005	0.028
1,2,3,6,7,8-HxCDF	<0.005	0.003	<0.002	<0.004	0.005	0.006	0.019	0.004	0.007	<0.005	<0.004	0.006	0.004	0.002	0.002	0.011
2,3,4,6,7,8-HxCDF	<0.005	0.003	<0.002	<0.004	0.007	0.008	0.025	0.008	0.009	<0.005	<0.004	0.005	0.005	0.001	0.003	0.014
1,2,3,7,8,9-HxCDF	<0.005	<0.002	<0.002	<0.004	0.001	0.004	<0.003	<0.002	<0.005	<0.005	<0.004	<0.003	<0.004	<0.001	<0.002	<0.003
1,2,3,4,6,7,8-HpCDF	<0.010	0.031	0.016	0.011	0.016	0.024	0.073	0.029	0.026	0.014	0.029	0.024	0.030	0.013	0.014	0.056
1,2,3,4,7,8,9-HpCDF	<0.010	0.037	<0.005	<0.007	0.001	0.004	0.008	0.003	<0.007	<0.005	<0.005	<0.006	<0.002	<0.002	<0.003	0.008
OCDF	0.016	0.139	0.019	<0.010	0.009	0.016	0.047	0.025	0.041	0.014	0.019	0.045	0.031	0.014	0.015	0.057
PCDD/F Homologues																
TCDDs	<0.003	0.004	0.010	<0.003	0.023	0.036	0.124	0.010	0.003	0.015	0.016	0.006	0.015	0.011	0.006	0.058
PeCDDs	<0.003	0.005	<0.004	0.016	0.023	0.058	0.384	0.089	0.056	0.020	0.021	0.014	<0.003	0.025	0.006	0.183
HxCDDs	<0.005	0.009	<0.005	0.005	0.040	0.100	0.728	0.274	0.148	0.109	0.065	0.038	<0.005	0.059	0.094	0.562
HpCDDs	0.011	0.142	0.056	0.024	0.047	0.103	0.849	0.576	0.274	0.208	0.129	0.134	0.095	0.091	0.166	1.092
OCDD	0.025	0.205	0.074	0.041	0.068	0.150	0.713	0.689	0.301	0.298	0.188	0.408	0.205	0.171	0.260	1.306
TCDFs	0.005	0.073	0.038	0.048	0.137	0.108	0.211	0.039	0.088	0.037	0.037	0.047	0.038	0.063	0.045	0.123
PeCDFs	<0.003	0.040	0.012	0.048	0.086	0.071	0.205	0.007	0.058	0.022	0.030	0.045	0.038	0.049	0.021	0.111
HxCDFs	<0.005	0.039	0.021	0.024	0.053	0.063	0.198	0.053	0.050	0.008	0.013	0.044	0.044	0.043	0.026	0.151
HpCDFs	<0.010	0.068	0.016	0.011	0.026	0.037	0.122	0.058	0.034	0.014	0.029	0.024	0.030	0.021	0.022	0.125
OCDF	0.016	0.139	0.019	<0.010	0.009	0.016	0.047	0.025	0.041	0.014	0.019	0.045	0.031	0.014	0.015	0.057
Total																
∑ PCDDs	0.036	0.365	0.140	0.086	0.202	0.447	2.798	1.638	0.782	0.650	0.419	0.600	0.315	0.358	0.531	3.201
∑ PCDFs	0.021	0.359	0.106	0.131	0.310	0.295	0.783	0.182	0.271	0.095	0.128	0.205	0.181	0.190	0.129	0.567
∑ PCDD/Fs	0.057	0.724	0.246	0.217	0.511	0.741	3.581	1.820	1.053	0.745	0.547	0.805	0.496	0.548	0.660	3.768
∑ TEQ (PCDD/Fs)	0.011	0.016	0.011	0.012	0.014	0.014	0.064	0.034	0.029	0.019	0.019	0.015	0.011	0.009	0.013	0.052

Cuadro A52. Concentraciones atmosféricas de DDPC/DFPC (pg m^{-3}) en sitios urbanos de la NAPS en 2003 (cont.)

Station Name	Winnipeg						Windsor (College)					Hamilton (Elgin)	
Sampling Period	1	2	3	4	5	6	1	2	3	4	5	1	2
Sampling Date	5/21/03	6/14/03	8/1/03	8/25/03	11/5/03	12/23/03	1/21/03	3/10/03	8/1/03	8/25/03	10/12/03	1/21/03	8/25/03
Sampling Volume (m3)	769	741	841	698	946	754	697	717	665	766	700	893	733
PCDD/F Congeners													
2,3,7,8-TCDD	<0.001	<0.001	<0.001	0.001	0.001	<0.002	0.001	<0.001	0.003	0.005	0.002	0.002	0.001
1,2,3,7,8-PeCDD	0.005	0.009	0.005	0.008	0.007	0.009	0.008	0.010	0.015	0.022	0.009	0.012	0.007
1,2,3,4,7,8-HxCDD	<0.001	0.011	<0.002	0.005	0.005	0.005	0.006	0.007	0.011	0.019	0.010	0.013	0.005
1,2,3,6,7,8-HxCDD	0.003	0.022	0.004	0.007	0.007	0.012	0.010	0.013	0.020	0.030	0.014	0.022	0.009
1,2,3,7,8,9-HxCDD	0.003	0.019	0.004	0.007	0.006	0.013	0.013	0.012	0.014	0.027	0.019	0.026	0.010
1,2,3,4,6,7,8-HpCDD	0.036	0.288	0.034	0.059	0.093	0.132	0.122	0.111	0.149	0.262	0.198	0.228	0.163
OCDD	0.118	1.102	0.103	0.171	0.240	0.339	0.434	0.397	0.528	0.795	0.779	0.616	0.657
2,3,7,8-TCDF	0.006	0.012	0.010	0.024	0.025	0.031	0.027	0.035	0.033	0.168	0.019	0.022	0.020
1,2,3,7,8-PeCDF	0.001	0.003	0.002	0.004	0.004	0.006	0.006	0.007	0.007	0.030	0.006	0.006	0.004
2,3,4,7,8-PeCDF	0.003	0.005	0.002	0.007	0.008	0.008	0.009	0.013	0.012	0.045	0.007	0.009	0.005
1,2,3,4,7,8-HxCDF	0.003	0.011	0.007	0.013	0.013	0.016	0.019	0.036	0.030	0.145	0.015	0.022	0.012
1,2,3,6,7,8-HxCDF	0.001	0.006	0.003	0.006	0.005	0.005	0.008	0.013	0.016	0.065	0.007	0.010	0.008
2,3,4,6,7,8-HxCDF	0.002	0.007	0.003	0.007	0.005	0.004	0.008	0.014	0.010	0.067	0.007	0.008	0.006
1,2,3,7,8,9-HxCDF	<0.001	<0.001	<0.001	0.001	<0.001	<0.003	0.001	0.001	<0.003	<0.002	0.005	0.001	0.001
1,2,3,4,6,7,8-HpCDF	0.009	0.040	0.015	0.026	0.028	0.024	0.047	0.091	0.111	0.400	0.044	0.081	0.055
1,2,3,4,7,8,9-HpCDF	<0.001	0.006	0.002	0.002	0.006	<0.007	0.005	0.012	0.006	0.036	0.009	0.007	0.005
OCDF	0.006	0.065	0.015	0.016	0.047	0.022	0.047	0.092	0.066	0.277	0.069	0.198	0.081
PCDD/F Homologues													
TCDDs	0.012	0.033	0.037	0.144	0.036	0.033	0.049	0.082	0.064	0.409	0.044	0.050	0.030
PeCDDs	0.019	0.093	0.062	0.132	0.056	0.090	0.078	0.104	0.103	0.308	0.066	0.117	0.058
HxCDDs	0.039	0.277	0.071	0.184	0.142	0.183	0.158	0.186	0.223	0.502	0.225	0.308	0.163
HpCDDs	0.070	0.583	0.067	0.119	0.198	0.271	0.249	0.215	0.301	0.492	0.423	0.431	0.322
OCDD	0.118	1.102	0.103	0.171	0.240	0.339	0.434	0.397	0.528	0.795	0.779	0.616	0.657
TCDFs	0.050	0.111	0.094	0.166	0.329	0.163	0.171	0.206	0.275	1.222	0.151	0.128	0.159
PeCDFs	0.029	0.087	0.077	0.122	0.145	0.084	0.098	0.148	0.293	0.860	0.111	0.087	0.103
HxCDFs	0.021	0.093	0.055	0.086	0.077	0.051	0.092	0.154	0.397	0.986	0.119	0.099	0.119
HpCDFs	0.014	0.081	0.025	0.043	0.051	0.036	0.079	0.143	0.176	0.619	0.085	0.145	0.096
OCDF	0.006	0.065	0.015	0.016	0.047	0.022	0.047	0.092	0.066	0.277	0.069	0.198	0.081
Total													
Σ PCDDs	0.258	2.087	0.340	0.750	0.673	0.914	0.968	0.983	1.220	2.507	1.537	1.521	1.229
Σ PCDFs	0.120	0.437	0.265	0.432	0.648	0.354	0.486	0.744	1.207	3.963	0.534	0.657	0.558
Σ PCDD/Fs	0.377	2.524	0.606	1.182	1.321	1.268	1.454	1.727	2.427	6.470	2.071	2.178	1.787
Σ TEQ (PCDD/Fs)	0.009	0.025	0.011	0.019	0.018	0.024	0.023	0.031	0.038	0.101	0.026	0.033	0.019

Cuadro A53. Concentraciones atmosféricas de DDPC/DFPC (pg m⁻³) en sitios urbanos de la NAPS en 2004 (cont.)

Station Name	Winnipeg									Hamilton (Elgin)			
Sampling Period	1	2	3	4	5	6	7	8	9	1	2	3	4
Sampling Date	1/16/04	3/4/04	5/15/04	6/8/04	7/26/04	9/12/04	10/6/04	11/23/04	12/17/04	5/15/04	6/8/04	7/26/04	8/19/04
Sampling Volume (m3)	685	713	836	734	690	717	765	841	771	744	943	785	806
PCDD/F Congeners													
2,3,7,8-TCDD	<0.002	0.001	<0.002	<0.002	0.001	0.001	0.002	0.002	0.001	0.002	0.001	0.001	<0.001
1,2,3,7,8-PeCDD	0.009	0.009	0.007	<0.003	0.007	0.006	0.011	0.009	0.004	0.007	0.006	0.005	0.005
1,2,3,4,7,8-HxCDD	0.006	0.006	0.007	0.003	0.003	0.003	0.009	0.008	0.004	0.006	0.005	0.003	0.003
1,2,3,6,7,8-HxCDD	0.007	0.010	0.009	<0.002	0.005	0.004	0.011	0.012	0.005	0.008	0.009	0.005	0.004
1,2,3,7,8,9-HxCDD	0.016	0.006	0.009	<0.002	0.003	0.005	0.014	0.020	0.009	0.010	0.009	0.004	0.003
1,2,3,4,6,7,8-HpCDD	0.109	0.105	0.102	0.022	0.057	0.057	0.113	0.222	0.071	0.141	0.116	0.077	0.049
OCDD	0.339	0.280	0.411	0.099	0.190	0.246	0.329	0.592	0.228	0.491	0.521	0.582	0.168
2,3,7,8-TCDF	0.014	0.020	0.011	0.002	0.048	0.031	0.018	0.002	0.002	0.018	0.023	0.010	0.004
1,2,3,7,8-PeCDF	0.003	0.004	0.002	<0.002	0.013	0.005	0.004	0.003	0.003	0.004	0.005	0.006	0.003
2,3,4,7,8-PeCDF	0.004	0.006	<0.002	<0.002	0.023	0.010	0.006	0.004	0.004	0.005	0.007	0.008	0.003
1,2,3,4,7,8-HxCDF	0.009	0.014	0.011	0.003	0.039	0.033	0.019	0.009	0.012	0.008	0.013	0.012	0.007
1,2,3,6,7,8-HxCDF	0.002	0.006	0.003	<0.002	0.021	0.011	0.008	0.004	0.004	0.004	0.007	0.006	0.004
2,3,4,6,7,8-HxCDF	0.003	0.006	0.004	0.001	0.018	0.015	0.009	0.004	0.005	0.004	0.006	0.005	0.004
1,2,3,7,8,9-HxCDF	0.001	0.001	<0.002	<0.002	0.004	<0.001	<0.002	0.001	<0.001	<0.001	<0.001	<0.001	<0.002
1,2,3,4,6,7,8-HpCDF	0.020	0.024	0.028	0.010	0.072	0.069	0.042	0.016	0.021	0.017	0.039	0.027	0.019
1,2,3,4,7,8,9-HpCDF	<0.004	0.004	0.004	<0.002	0.019	0.005	0.007	0.003	0.003	0.003	0.003	0.003	0.001
OCDF	0.027	0.024	0.032	0.007	0.067	0.037	0.036	0.017	0.021	0.013	0.035	0.035	0.009
PCDD/F Homologues													
TCDDs	0.023	0.045	0.021	0.003	0.027	0.033	0.052	0.033	0.016	0.027	0.038	0.028	0.019
PeCDDs	0.066	0.083	0.083	0.011	0.030	0.052	0.129	0.070	0.039	0.059	0.070	0.033	0.031
HxCDDs	0.159	0.166	0.112	0.029	0.056	0.071	0.210	0.198	0.087	0.130	0.134	0.067	0.069
HpCDDs	0.238	0.207	0.183	0.040	0.100	0.101	0.226	0.383	0.135	0.267	0.235	0.180	0.099
OCDD	0.339	0.280	0.411	0.099	0.190	0.246	0.329	0.592	0.228	0.491	0.521	0.582	0.168
TCDFs	0.073	0.138	0.107	0.025	0.549	0.202	0.126	0.094	0.064	0.124	0.185	0.251	0.106
PeCDFs	0.042	0.081	0.059	0.018	0.385	0.138	0.097	0.060	0.052	0.073	0.152	0.114	0.072
HxCDFs	0.038	0.067	0.062	0.023	0.338	0.139	0.106	0.050	0.047	0.051	0.127	0.074	0.058
HpCDFs	0.033	0.043	0.055	0.015	0.167	0.099	0.070	0.034	0.035	0.032	0.066	0.055	0.029
OCDF	0.027	0.024	0.032	0.007	0.067	0.037	0.036	0.017	0.021	0.013	0.035	0.035	0.009
Total													
∑ PCDDs	0.824	0.781	0.810	0.183	0.403	0.503	0.945	1.276	0.506	0.974	0.997	0.890	0.385
∑ PCDFs	0.213	0.353	0.315	0.089	1.507	0.614	0.436	0.254	0.218	0.292	0.565	0.529	0.273
∑ PCDD/Fs	1.037	1.134	1.125	0.272	1.910	1.117	1.381	1.530	0.724	1.266	1.562	1.419	0.658
∑ TEQ (PCDD/Fs)	0.019	0.020	0.016	0.007	0.030	0.022	0.026	0.021	0.011	0.017	0.019	0.014	0.011

Cuadro A54. Concentraciones atmosféricas de DDPC/DFPC ($\mu\text{g m}^{-3}$) en sitios urbanos de la NAPS en 2005

Station Name	Toronto (Judson)				Montreal (1125)											
	1	2	1	2	3	4	5	6	7	8	9	10	11	12		
Sampling Period	1/10/05	2/3/05	1/10/05	3/23/05	4/16/05	5/10/05	6/3/05	6/27/05	7/21/05	8/14/05	9/7/05	10/1/05	11/18/05	12/12/05		
Sampling Date	807	798	681	742	615	598	654	656	697	705	645	630	695	772		
Sampling Volume (m3)																
PCDD/F Congeners																
2,3,7,8-TCDD	0.001	0.003	0.002	0.001	0.004	0.002	0.002	0.002	0.001	0.002	0.001	0.001	0.001	0.001		
1,2,3,7,8-PeCDD	0.007	0.014	0.008	0.005	0.025	0.009	0.008	0.011	0.007	0.010	0.008	0.007	0.009	0.006		
1,2,3,4,7,8-HxCDD	0.006	0.011	0.008	0.002	0.030	0.005	0.004	0.006	0.004	0.009	0.006	0.003	0.005	0.005		
1,2,3,6,7,8-HxCDD	0.009	0.019	0.011	0.004	0.059	0.008	0.007	0.011	0.006	0.016	0.008	0.006	0.011	0.008		
1,2,3,7,8,9-HxCDD	0.010	0.022	0.015	0.004	0.065	0.007	0.008	0.010	0.006	0.017	0.011	0.006	0.011	0.008		
1,2,3,4,6,7,8-HpCDD	0.117	0.171	0.152	0.040	0.742	0.101	0.081	0.127	0.056	0.275	0.096	0.060	0.114	0.095		
OCDD	0.399	0.421	0.477	0.184	1.882	0.426	0.311	0.671	0.188	0.762	0.292	0.238	0.303	0.255		
2,3,7,8-TCDF	0.022	0.097	0.007	0.024	0.043	0.042	0.032	0.036	0.018	0.027	0.029	0.019	0.018	0.020		
1,2,3,7,8-PeCDF	0.004	0.019	0.007	0.005	0.009	0.007	0.006	0.007	0.003	0.005	0.007	0.004	0.004	0.003		
2,3,4,7,8-PeCDF	0.007	0.030	0.012	0.008	0.017	0.012	0.009	0.011	0.005	0.008	0.010	0.005	0.006	0.006		
1,2,3,4,7,8-HxCDF	0.015	0.052	0.031	0.018	0.045	0.020	0.018	0.021	0.014	0.027	0.022	0.013	0.011	0.013		
1,2,3,6,7,8-HxCDF	0.006	0.022	0.012	0.007	0.020	0.010	0.009	0.012	0.008	0.011	0.009	0.005	0.005	0.005		
2,3,4,6,7,8-HxCDF	0.005	0.023	0.011	0.008	0.019	0.007	0.008	0.009	0.006	0.013	0.009	0.005	0.005	0.005		
1,2,3,7,8,9-HxCDF	<0.001	0.002	0.001	0.001	0.002	<0.001	<0.001	<0.001	0.001	0.001	<0.001	<0.001	0.001	0.001		
1,2,3,4,6,7,8-HpCDF	0.023	0.072	0.050	0.033	0.098	0.042	0.046	0.048	0.029	0.072	0.043	0.026	0.025	0.023		
1,2,3,4,7,8,9-HpCDF	0.003	0.010	0.005	0.005	0.013	0.006	0.005	0.005	0.005	0.014	0.009	0.003	0.004	0.003		
OCDF	0.023	0.050	0.044	0.043	0.098	0.033	0.041	0.035	0.023	0.076	0.031	0.022	0.028	0.018		
PCDD/F Homologues																
TCDDs	0.032	0.113	0.039	0.017	0.089	0.052	0.043	0.040	0.015	0.028	0.029	0.020	0.029	0.035		
PeCDDs	0.058	0.169	0.075	0.031	0.232	0.071	0.065	0.078	0.038	0.068	0.064	0.040	0.073	0.050		
HxCDDs	0.143	0.305	0.174	0.054	0.835	0.118	0.100	0.137	0.079	0.229	0.150	0.079	0.149	0.114		
HpCDDs	0.238	0.342	0.284	0.075	1.440	0.199	0.172	0.242	0.112	0.535	0.218	0.108	0.214	0.179		
OCDD	0.399	0.421	0.477	0.184	1.882	0.426	0.311	0.671	0.188	0.762	0.292	0.238	0.303	0.255		
TCDFs	0.156	0.589	0.186	0.090	0.327	0.294	0.283	0.285	0.089	0.134	0.286	0.136	0.098	0.121		
PeCDFs	0.084	0.337	0.134	0.066	0.240	0.173	0.177	0.244	0.043	0.077	0.185	0.076	0.061	0.070		
HxCDFs	0.069	0.228	0.130	0.071	0.251	0.124	0.133	0.189	0.065	0.116	0.161	0.073	0.056	0.057		
HpCDFs	0.043	0.113	0.077	0.059	0.176	0.071	0.078	0.081	0.053	0.130	0.085	0.042	0.043	0.039		
OCDF	0.023	0.050	0.044	0.043	0.098	0.033	0.041	0.035	0.023	0.076	0.031	0.022	0.028	0.018		
Total																
∑ PCDDs	0.870	1.350	1.049	0.360	4.478	0.866	0.691	1.168	0.431	1.621	0.753	0.485	0.767	0.634		
∑ PCDFs	0.374	1.318	0.570	0.329	1.092	0.695	0.711	0.833	0.273	0.534	0.748	0.349	0.286	0.305		
∑ PCDD/Fs	1.244	2.668	1.619	0.689	5.571	1.560	1.401	2.002	0.704	2.155	1.501	0.833	1.052	0.939		
∑ TEQ (PCDD/Fs)	0.019	0.054	0.025	0.016	0.071	0.027	0.022	0.028	0.017	0.030	0.023	0.016	0.021	0.017		

Cuadro A55. Concentraciones atmosféricas de DDPC/DFPC (pg m⁻³) en sitios urbanos de la NAPS en 2006 (cont.)

Station Name	Hamilton (Elgin)												Toronto (Gage Inst.)											
	1	2	3	4	5	6	7	8	9	10	11	12	1	2	3	4	5	6	7	8	9	10	11	12
Sampling Period	1/5/06	1/29/06	3/18/06	4/11/06	6/22/06	7/16/06	8/9/06	9/2/06	9/26/06	10/20/06	12/7/06	12/31/06	1/29/06	3/18/06	4/11/06	5/5/06	5/29/06	6/22/06	7/16/06	8/9/06	9/2/06	9/26/06	10/20/06	12/7/06
Sampling Volume (m3)	1050	871	837	751	800	850	788	922	770	1013	1211	949	684	626	933	610	589	647	669	763	915	770	815	886
PCDD/F Congeners																								
2,3,7,8-TCDD	0.001	0.003	0.001	0.002	0.001	0.001	0.001	0.001	0.004	0.001	0.001	0.002	0.002	<0.001	0.002	<0.002	0.002	0.001	0.002	0.001	0.001	0.001	0.001	0.001
1,2,3,7,8-PeCDD	0.005	0.016	0.005	0.014	0.006	0.007	0.006	0.006	0.036	0.004	0.003	0.010	0.012	0.005	0.007	0.005	0.007	0.005	0.007	0.005	0.004	0.005	0.004	0.005
1,2,3,4,7,8-HxCDD	0.004	0.017	0.002	0.016	0.003	0.006	0.004	0.003	0.068	0.003	0.002	0.010	0.012	0.001	0.007	0.002	0.003	0.003	0.004	0.002	0.002	0.003	0.002	0.003
1,2,3,6,7,8-HxCDD	0.007	0.034	0.003	0.025	0.005	0.010	0.007	0.006	0.141	0.006	0.004	0.017	0.022	0.001	0.012	0.004	0.005	0.005	0.007	0.005	0.003	0.004	0.004	0.005
1,2,3,7,8,9-HxCDD	0.009	0.042	0.005	0.027	0.005	0.010	0.006	0.005	0.150	0.005	0.005	0.019	0.024	0.002	0.014	0.005	0.007	0.005	0.007	0.004	0.003	0.005	0.004	0.006
1,2,3,4,6,7,8-HpCDD	0.088	0.424	0.040	0.329	0.081	0.094	0.071	0.057	2.347	0.055	0.045	0.235	0.290	0.020	0.145	0.041	0.069	0.063	0.099	0.036	0.048	0.052	0.027	0.079
OCDD	0.243	1.133	0.119	1.231	0.319	0.297	0.209	0.211	5.102	0.138	0.139	0.792	0.824	0.076	0.404	0.142	0.291	0.232	0.353	0.122	0.157	0.159	0.074	0.229
2,3,7,8-TCDF	0.015	0.067	0.012	0.070	0.017	0.025	0.025	0.074	0.023	0.010	0.023	0.058	0.038	0.013	0.025	0.026	0.035	0.023	0.031	0.036	0.011	0.029	0.028	0.011
1,2,3,7,8-PeCDF	0.003	0.015	0.002	0.014	0.006	0.006	0.005	0.012	0.007	0.002	0.005	0.010	0.008	0.003	0.005	0.004	0.005	0.004	0.005	0.006	0.002	0.005	0.005	0.002
2,3,4,7,8-PeCDF	0.004	0.030	0.004	0.026	0.004	0.006	0.006	0.018	0.012	0.003	0.009	0.017	0.015	0.004	0.007	0.007	0.007	0.005	0.006	0.010	0.003	0.008	0.008	0.003
1,2,3,4,7,8-HxCDF	0.008	0.055	0.005	0.043	0.010	0.011	0.010	0.022	0.023	0.005	0.021	0.036	0.038	0.008	0.016	0.011	0.014	0.011	0.012	0.018	0.006	0.014	0.013	0.008
1,2,3,6,7,8-HxCDF	0.003	0.022	0.002	0.019	0.004	0.006	0.005	0.011	0.013	0.002	0.008	0.014	0.014	0.003	0.007	0.005	0.008	0.005	0.005	0.007	0.002	0.006	0.005	0.003
2,3,4,6,7,8-HxCDF	0.004	0.022	0.002	0.013	0.004	0.006	0.004	0.008	0.012	0.002	0.010	0.014	0.018	0.004	0.005	0.007	0.008	0.006	0.005	0.008	0.002	0.006	0.006	0.003
1,2,3,7,8,9-HxCDF	0.000	0.001	<0.001	0.002	<0.001	0.002	0.001	0.001	0.002	0.000	0.001	0.002	0.001	<0.002	0.001	0.001	<0.003	<0.002	0.001	<0.001	0.000	0.000	0.001	0.000
1,2,3,4,6,7,8-HpCDF	0.027	0.100	0.011	0.078	0.027	0.034	0.022	0.025	0.149	0.010	0.038	0.061	0.079	0.015	0.030	0.027	0.041	0.024	0.029	0.026	0.014	0.024	0.018	0.014
1,2,3,4,7,8,9-HpCDF	0.002	0.014	<0.002	0.010	0.002	0.003	0.002	0.004	0.020	0.001	0.006	0.011	0.011	0.003	<0.003	0.003	0.005	0.004	0.003	0.004	0.002	0.004	0.003	0.002
OCDF	0.044	0.072	0.008	0.069	0.037	0.027	0.014	0.016	0.203	0.008	0.035	0.048	0.053	0.009	0.023	0.038	0.033	0.020	0.023	0.016	0.012	0.016	0.011	0.014
PCDD/F Homologues																								
TCDDs	0.029	0.109	0.016	0.093	0.038	0.049	0.026	0.106	0.092	0.017	0.021	0.082	0.060	0.010	0.033	0.023	0.039	0.036	0.039	0.030	0.018	0.040	0.022	0.018
PeCDDs	0.041	0.189	0.032	0.148	0.073	0.065	0.047	0.083	0.377	0.030	0.030	0.117	0.103	0.016	0.076	0.035	0.054	0.037	0.057	0.049	0.029	0.044	0.027	0.033
HxCDDs	0.097	0.516	0.070	0.418	0.105	0.135	0.097	0.088	2.128	0.076	0.059	0.264	0.321	0.028	0.194	0.053	0.095	0.079	0.117	0.073	0.055	0.073	0.050	0.083
HpCDDs	0.165	0.837	0.093	0.716	0.166	0.189	0.129	0.113	4.570	0.103	0.086	0.468	0.578	0.039	0.327	0.079	0.152	0.140	0.225	0.071	0.090	0.098	0.050	0.156
OCDD	0.243	1.133	0.119	1.231	0.319	0.297	0.209	0.211	5.102	0.138	0.139	0.792	0.824	0.076	0.404	0.142	0.291	0.232	0.353	0.122	0.157	0.159	0.074	0.229
TCDFs	0.110	0.450	0.079	0.537	0.160	0.237	0.191	0.517	0.164	0.067	0.145	0.384	0.263	0.080	0.178	0.172	0.292	0.194	0.275	0.227	0.086	0.217	0.177	0.071
PeCDFs	0.053	0.278	0.034	0.264	0.107	0.167	0.103	0.222	0.129	0.034	0.100	0.199	0.171	0.042	0.096	0.075	0.139	0.099	0.124	0.123	0.042	0.101	0.087	0.037
HxCDFs	0.041	0.242	0.022	0.208	0.097	0.128	0.077	0.109	0.245	0.025	0.093	0.156	0.169	0.029	0.079	0.051	0.117	0.076	0.090	0.090	0.031	0.069	0.059	0.034
HpCDFs	0.047	0.162	0.013	0.135	0.044	0.054	0.035	0.045	0.390	0.016	0.063	0.103	0.133	0.024	0.051	0.039	0.067	0.046	0.050	0.045	0.023	0.039	0.030	0.025
OCDF	0.044	0.072	0.008	0.069	0.037	0.027	0.014	0.016	0.203	0.008	0.035	0.048	0.053	0.009	0.023	0.038	0.033	0.020	0.023	0.016	0.012	0.016	0.011	0.014
Total																								
∑ PCDDs	0.575	2.784	0.330	2.605	0.700	0.735	0.508	0.600	12.270	0.365	0.334	1.723	1.885	0.168	1.032	0.331	0.631	0.524	0.791	0.345	0.349	0.414	0.223	0.519
∑ PCDFs	0.294	1.204	0.155	1.212	0.444	0.613	0.420	0.908	1.131	0.150	0.436	0.890	0.788	0.184	0.427	0.375	0.648	0.435	0.562	0.501	0.193	0.441	0.364	0.182
∑ PCDD/Fs	0.869	3.988	0.485	3.817	1.144	1.347	0.927	1.508	13.400	0.515	0.770	2.613	2.673	0.352	1.458	0.706	1.280	0.958	1.353	0.845	0.541	0.855	0.587	0.701
∑ TEQ (PCDD/Fs)	0.014	0.060	0.011	0.050	0.015	0.019	0.016	0.026	0.114	0.010	0.015	0.037	0.039	0.010	0.021	0.015	0.020	0.015	0.020	0.018	0.009	0.016	0.013	0.012

Cuadro A55. Concentraciones atmosféricas de DDPC/DFPC (pg m⁻³) en sitios urbanos de la NAPS en 2006 (cont.)

Station Name	Jonquiére													Comerbrook													
	1	2	3	4	5	6	7	8	9	10	11	12	13	14	1	2	3	4	5	6	7	8	9	10	11	12	13
Sampling Period	1/5/06	1/29/06	3/18/06	4/11/06	5/5/06	5/29/06	6/22/06	7/16/06	8/9/06	9/2/06	9/26/06	11/13/06	12/7/06	12/31/06	1/5/06	1/17/06	5/29/06	6/10/06	6/22/06	7/4/06	7/16/06	9/14/06	9/26/06	11/25/06	12/7/06	12/19/06	12/31/06
Sampling Volume (m3)	1101	1015	674	945	822	975	906	913	1031	1134	1149	1094	1156	1207	735	677	667	704	638	520	537	690	679	844	748	845	842
PCDD/F Congeners																											
2,3,7,8-TCDD	0.003	0.001	0.001	0.001	<0.001	0.001	0.001	<0.001	<0.001	0.001	0.000	0.001	0.001	0.001	0.002	0.001	0.001	0.001	0.001	0.001	0.000	0.001	0.001	0.000	0.001	<0.001	0.000
1,2,3,7,8-PeCDD	0.008	0.003	0.004	0.008	0.004	0.007	0.006	0.005	0.003	0.007	0.003	0.006	0.005	0.003	0.007	0.006	0.005	0.007	0.007	0.007	0.008	0.008	0.005	0.003	0.003	0.004	0.005
1,2,3,4,7,8-HxCDD	0.003	0.001	0.001	0.010	<0.002	0.005	0.002	0.003	<0.002	0.010	0.001	0.003	0.005	0.001	0.003	0.005	0.002	0.003	0.002	0.002	0.002	0.001	0.001	0.001	0.001	0.002	0.004
1,2,3,6,7,8-HxCDD	0.007	0.003	0.002	0.015	0.001	0.009	0.003	0.005	0.002	0.019	0.003	0.006	0.008	0.003	0.006	0.006	0.005	0.006	0.003	0.005	0.003	0.004	0.003	0.002	0.002	0.002	0.006
1,2,3,7,8,9-HxCDD	0.007	0.004	0.003	0.017	0.002	0.009	0.003	0.004	0.003	0.022	0.002	0.007	0.009	0.003	0.010	0.006	0.003	0.007	0.004	0.004	0.004	0.004	0.003	0.002	0.002	0.003	0.008
1,2,3,4,6,7,8-HpCDD	0.048	0.029	0.022	0.257	0.016	0.109	0.023	0.032	0.024	0.265	0.019	0.051	0.093	0.037	0.039	0.098	0.034	0.083	0.032	0.037	0.020	0.027	0.019	0.017	0.018	0.031	0.083
OCDD	0.119	0.120	0.106	0.733	0.066	0.311	0.093	0.091	0.091	0.637	0.051	0.124	0.340	0.101	0.087	0.292	0.090	0.220	0.111	0.130	0.058	0.077	0.047	0.055	0.052	0.171	0.218
2,3,7,8-TCDF	0.207	0.008	0.006	0.024	0.021	0.043	0.026	0.038	0.014	0.019	0.015	0.022	0.023	0.013	0.071	0.004	0.010	0.027	0.009	0.008	0.006	0.013	0.016	0.008	0.010	0.007	0.007
1,2,3,7,8-PeCDF	0.190	0.002	0.002	0.008	0.006	0.016	0.008	0.014	0.006	0.005	0.004	0.005	0.008	0.002	0.010	0.001	0.002	0.004	0.002	0.002	0.001	0.003	0.003	0.001	0.001	0.002	0.002
2,3,4,7,8-PeCDF	0.054	0.002	0.002	0.008	0.004	0.012	0.005	0.009	0.003	0.005	0.004	0.006	0.007	0.003	0.019	0.001	0.003	0.006	0.003	0.002	0.002	0.003	0.005	0.002	0.002	0.002	0.003
1,2,3,4,7,8-HxCDF	0.279	0.006	0.003	0.017	0.008	0.038	0.011	0.014	0.009	0.012	0.010	0.011	0.021	0.006	0.027	0.002	0.007	0.018	0.007	0.006	0.003	0.007	0.008	0.003	0.002	0.003	0.005
1,2,3,6,7,8-HxCDF	0.079	0.002	0.001	0.007	0.003	0.013	0.005	0.006	0.004	0.005	0.004	0.005	0.008	0.003	0.011	0.002	0.003	0.007	0.004	0.004	0.003	0.003	0.004	0.001	0.002	0.002	0.003
2,3,4,6,7,8-HxCDF	0.016	0.002	0.001	0.007	0.002	0.010	0.004	0.004	0.003	0.005	0.004	0.005	0.007	0.003	0.013	0.003	0.003	0.008	0.004	0.003	0.002	0.004	0.004	0.002	0.001	0.002	0.003
1,2,3,7,8,9-HxCDF	0.018	<0.001	<0.001	0.001	0.001	0.003	0.000	<0.002	<0.002	0.001	0.001	0.000	0.001	0.000	0.001	0.001	0.001	0.001	<0.001	<0.002	<0.001	0.000	<0.001	<0.001	<0.001	<0.001	0.000
1,2,3,4,6,7,8-HpCDF	0.134	0.013	0.010	0.039	0.013	0.058	0.019	0.019	0.021	0.033	0.018	0.017	0.032	0.011	0.034	0.028	0.018	0.031	0.020	0.019	0.010	0.015	0.012	0.006	0.009	0.012	0.028
1,2,3,4,7,8,9-HpCDF	0.088	0.003	<0.002	0.007	0.003	0.006	0.002	0.002	0.002	0.005	0.003	0.004	0.006	0.001	0.004	0.003	<0.003	0.006	<0.002	<0.003	<0.003	0.001	0.001	0.001	0.001	0.001	0.002
OCDF	0.152	0.033	0.015	0.070	0.012	0.035	0.035	0.022	0.020	0.044	0.017	0.023	0.038	0.008	0.012	0.034	0.009	0.026	0.016	0.013	0.006	0.010	0.007	0.005	0.007	0.008	0.023
PCDD/F Homologues																											
TCDDs	0.081	0.007	0.009	0.049	0.022	0.063	0.042	0.038	0.019	0.030	0.044	0.051	0.052	0.012	0.126	0.004	0.018	0.038	0.033	0.030	0.017	0.046	0.028	0.010	0.011	0.007	0.009
PeCDDs	0.086	0.013	0.013	0.078	0.020	0.075	0.041	0.076	0.077	0.081	0.047	0.067	0.070	0.022	0.127	0.015	0.030	0.066	0.062	0.044	0.051	0.066	0.041	0.014	0.013	0.011	0.018
HxCDDs	0.105	0.030	0.018	0.226	0.023	0.117	0.051	0.072	0.043	0.237	0.046	0.083	0.122	0.041	0.140	0.055	0.048	0.100	0.066	0.067	0.051	0.065	0.041	0.019	0.021	0.026	0.055
HpCDDs	0.099	0.051	0.037	0.499	0.030	0.188	0.048	0.059	0.047	0.468	0.034	0.085	0.169	0.068	0.076	0.143	0.058	0.158	0.055	0.064	0.037	0.047	0.032	0.028	0.029	0.049	0.126
OCDD	0.119	0.120	0.106	0.733	0.066	0.311	0.093	0.091	0.091	0.637	0.051	0.124	0.340	0.101	0.087	0.292	0.090	0.220	0.111	0.130	0.058	0.077	0.047	0.055	0.052	0.171	0.218
TCDFs	1.065	0.052	0.035	0.151	0.159	0.288	0.166	0.257	0.099	0.135	0.102	0.144	0.135	0.079	0.433	0.024	0.084	0.198	0.137	0.107	0.098	0.123	0.117	0.051	0.072	0.045	0.047
PeCDFs	0.683	0.020	0.017	0.103	0.084	0.179	0.101	0.148	0.087	0.081	0.063	0.076	0.088	0.038	0.220	0.023	0.062	0.140	0.149	0.115	0.106	0.108	0.079	0.025	0.029	0.027	0.035
HxCDFs	0.589	0.019	0.013	0.093	0.054	0.158	0.063	0.084	0.059	0.078	0.048	0.054	0.087	0.028	0.117	0.046	0.049	0.105	0.088	0.069	0.056	0.062	0.049	0.014	0.020	0.024	0.049
HpCDFs	0.275	0.024	0.015	0.080	0.024	0.085	0.031	0.028	0.031	0.063	0.031	0.033	0.057	0.016	0.051	0.053	0.023	0.052	0.032	0.029	0.010	0.023	0.019	0.010	0.013	0.018	0.045
OCDF	0.152	0.033	0.015	0.070	0.012	0.035	0.035	0.022	0.020	0.044	0.017	0.023	0.038	0.008	0.012	0.034	0.009	0.026	0.016	0.013	0.006	0.010	0.007	0.005	0.007	0.008	0.023
Total																											
∑ PCDDs	0.490	0.220	0.183	1.585	0.161	0.755	0.274	0.335	0.277	1.453	0.221	0.410	0.752	0.242	0.555	0.508	0.244	0.582	0.327	0.335	0.214	0.300	0.190	0.125	0.126	0.263	0.426
∑ PCDFs	2.763	0.149	0.095	0.497	0.333	0.745	0.396	0.538	0.296	0.401	0.260	0.329	0.404	0.169	0.832	0.179	0.227	0.521	0.421	0.333	0.276	0.326	0.271	0.105	0.141	0.122	0.199
∑ PCDD/Fs	3.253	0.368	0.278	2.081	0.494	1.499	0.670	0.874	0.573	1.854	0.481	0.739	1.156	0.411	1.387	0.687	0.471	1.103	0.748	0.668	0.489	0.626	0.461	0.231	0.267	0.386	0.626
∑ TEQ (PCDD/Fs)	0.097	0.007	0.007	0.025	0.011	0.027	0.014	0.018	0.009	0.023	0.010	0.015	0.018	0.008	0.030	0.011	0.011	0.019	0.013	0.013	0.011	0.014	0.012	0.006	0.007	0.007	0.011

Cuadro A56. Concentraciones atmosféricas de DDPC/DFPC (pg m⁻³) en sitios urbanos de la NAPS en 2007

Station Name	Calgary												Toronto (Judson)														
	1	2	3	4	5	6	7	8	9	10	11	12	1	2	3	4	5	6	7	8	9	10	11	12	13	14	
Sampling Period	1/24/07	3/13/07	4/6/07	4/30/07	5/24/07	6/17/07	8/4/07	8/28/07	9/21/07	11/8/07	12/2/07	12/26/07	1/24/07	3/13/07	4/6/07	4/30/07	5/24/07	6/17/07	7/11/07	8/4/07	8/28/07	9/21/07	10/15/07	11/8/07	12/2/07	12/26/07	
Sampling Volume (m3)	785	907	846	911	829	606	744	725	786	960	925	861	1048	846	1023	1034	1074	836	670	1063	563	901	927	1078	1006	948	
PCDD/F Congeners																											
2,3,7,8-TCDD	0.001	<0.001	0.000	0.001	0.001	<0.001	<0.001	<0.002	0.001	0.001	0.002	0.000	0.002	0.002	<0.001	0.001	0.003	0.001	0.001	0.001	0.002	0.002	0.001	0.001	0.001	0.001	0.001
1,2,3,7,8-PeCDD	0.005	0.002	0.003	0.003	0.008	0.004	0.004	0.005	0.004	0.006	0.011	0.003	0.011	0.009	0.003	0.005	0.009	0.011	0.005	0.005	0.008	0.006	0.008	0.007	0.006	0.006	
1,2,3,4,7,8-HxCDD	0.003	0.001	0.001	0.001	0.008	<0.002	<0.002	<0.002	0.001	0.003	0.008	0.001	0.011	0.010	0.002	0.003	0.006	0.006	0.002	0.003	0.004	0.004	0.006	0.006	0.006	0.004	
1,2,3,6,7,8-HxCDD	0.005	0.001	0.002	<0.001	0.016	0.001	<0.002	0.003	0.002	0.006	0.018	0.002	0.019	0.015	0.002	0.006	0.009	0.012	0.004	0.004	0.006	0.005	0.011	0.010	0.010	0.007	
1,2,3,7,8,9-HxCDD	0.005	0.002	0.002	0.001	0.027	<0.001	<0.002	0.003	0.001	0.006	0.020	0.002	0.021	0.020	0.003	0.007	0.011	0.013	0.006	0.004	0.006	0.006	0.011	0.010	0.012	0.007	
1,2,3,4,6,7,8-HpCDD	0.057	0.019	0.027	0.030	0.281	0.016	0.018	0.035	0.026	0.084	0.186	0.031	0.239	0.232	0.029	0.076	0.110	0.137	0.056	0.039	0.048	0.058	0.099	0.108	0.143	0.099	
OCDD	0.129	0.061	0.077	0.103	0.563	0.045	0.065	0.124	0.129	0.238	0.411	0.167	0.611	0.818	0.105	0.257	0.451	0.460	0.205	0.129	0.157	0.257	0.380	0.325	0.792	0.327	
2,3,7,8-TCDF	0.019	0.011	0.004	0.008	0.007	0.007	0.009	0.011	0.011	0.011	0.011	0.006	0.040	0.036	0.004	0.011	0.034	0.016	0.014	0.011	0.013	0.023	0.047	0.022	0.013	0.015	
1,2,3,7,8-PeCDF	0.004	0.001	0.001	0.002	0.001	0.001	<0.001	0.002	0.002	0.002	0.002	0.001	0.006	0.008	0.001	0.002	0.007	0.003	0.002	0.002	0.003	0.005	0.010	0.005	0.003	0.003	
2,3,4,7,8-PeCDF	0.008	0.002	0.001	0.002	0.002	0.002	0.001	0.003	0.002	0.002	0.003	0.002	0.009	0.011	0.001	0.003	0.009	0.004	0.003	0.002	0.005	0.006	0.022	0.010	0.005	0.005	
1,2,3,4,7,8-HxCDF	0.030	0.002	0.002	0.003	0.003	0.002	0.003	0.006	0.003	0.005	0.007	0.005	0.019	0.031	0.003	0.005	0.024	0.010	0.007	0.007	0.012	0.014	0.043	0.021	0.013	0.010	
1,2,3,6,7,8-HxCDF	0.010	0.001	0.001	0.001	0.001	0.001	0.001	0.002	0.001	0.002	0.003	0.002	0.007	0.012	0.001	0.002	0.011	0.005	0.003	0.003	0.005	0.006	0.017	0.010	0.005	0.004	
2,3,4,6,7,8-HxCDF	0.013	0.001	0.001	0.001	0.001	0.001	0.002	0.002	0.002	0.002	0.003	0.001	0.007	0.015	0.000	0.002	0.010	0.003	0.004	0.003	0.008	0.006	0.016	0.010	0.005	0.004	
1,2,3,7,8,9-HxCDF	0.001	<0.001	<0.001	<0.001	<0.001	<0.001	<0.002	<0.003	<0.002	<0.001	<0.001	<0.001	0.001	<0.001	<0.001	<0.001	0.001	0.000	<0.002	0.000	0.001	0.001	0.002	0.001	0.001	<0.001	
1,2,3,4,6,7,8-HpCDF	0.062	0.007	0.004	0.008	0.012	0.004	0.008	0.010	0.008	0.011	0.015	0.014	0.028	0.066	0.005	0.019	0.059	0.030	0.017	0.016	0.027	0.031	0.058	0.031	0.033	0.018	
1,2,3,4,7,8,9-HpCDF	0.012	0.001	<0.001	0.001	0.001	<0.002	<0.003	<0.003	<0.002	0.001	0.002	0.003	0.004	0.007	<0.002	0.002	0.005	0.003	0.002	0.001	0.002	0.003	0.008	0.005	0.004	0.002	
OCDF	0.037	0.014	0.005	0.009	0.012	0.004	0.005	0.009	0.006	0.010	0.011	0.020	0.036	0.057	0.008	0.026	0.045	0.030	0.016	0.012	0.013	0.024	0.036	0.019	0.045	0.011	
PCDD/F Homologues																											
TCDDs	0.017	0.003	0.004	0.009	0.024	0.001	0.005	0.012	0.012	0.014	0.064	0.009	0.083	0.055	0.004	0.021	0.043	0.031	0.014	0.018	0.027	0.026	0.061	0.034	0.026	0.035	
PeCDDs	0.033	0.008	0.012	0.017	0.079	0.011	0.007	0.012	0.008	0.026	0.093	0.014	0.125	0.098	0.013	0.036	0.075	0.077	0.058	0.027	0.051	0.037	0.090	0.065	0.043	0.051	
HxCDDs	0.066	0.017	0.030	0.026	0.270	0.018	0.019	0.043	0.030	0.072	0.244	0.028	0.288	0.262	0.031	0.082	0.161	0.200	0.182	0.061	0.108	0.084	0.153	0.151	0.132	0.121	
HpCDDs	0.102	0.033	0.052	0.058	0.533	0.028	0.037	0.066	0.047	0.141	0.338	0.055	0.467	0.496	0.054	0.146	0.263	0.293	0.108	0.085	0.104	0.126	0.176	0.224	0.291	0.189	
OCDD	0.129	0.061	0.077	0.103	0.563	0.045	0.065	0.124	0.129	0.238	0.411	0.167	0.611	0.818	0.105	0.257	0.451	0.460	0.205	0.129	0.157	0.257	0.380	0.325	0.792	0.327	
TCDFs	0.153	0.073	0.026	0.061	0.057	0.048	0.062	0.086	0.079	0.066	0.074	0.038	0.250	0.285	0.031	0.085	0.281	0.145	0.108	0.093	0.101	0.183	0.286	0.151	0.094	0.109	
PeCDFs	0.083	0.022	0.011	0.024	0.023	0.017	0.022	0.036	0.034	0.028	0.048	0.020	0.117	0.170	0.019	0.045	0.197	0.118	0.054	0.062	0.095	0.122	0.217	0.116	0.063	0.059	
HxCDFs	0.114	0.012	0.008	0.015	0.022	0.008	0.018	0.026	0.019	0.024	0.041	0.023	0.087	0.155	0.015	0.037	0.168	0.107	0.048	0.054	0.092	0.105	0.185	0.104	0.065	0.048	
HpCDFs	0.099	0.014	0.006	0.014	0.023	0.007	0.008	0.015	0.013	0.021	0.029	0.024	0.055	0.103	0.011	0.035	0.092	0.052	0.031	0.025	0.046	0.056	0.094	0.055	0.063	0.029	
OCDF	0.037	0.014	0.005	0.009	0.012	0.004	0.005	0.009	0.006	0.010	0.011	0.020	0.036	0.057	0.008	0.026	0.045	0.030	0.016	0.012	0.013	0.024	0.036	0.019	0.045	0.011	
Total																											
∑ PCDDs	0.346	0.122	0.174	0.213	1.469	0.102	0.134	0.256	0.226	0.491	1.149	0.272	1.573	1.729	0.208	0.542	0.992	1.060	0.567	0.320	0.447	0.530	0.860	0.799	1.284	0.722	
∑ PCDFs	0.486	0.134	0.056	0.123	0.137	0.084	0.115	0.172	0.150	0.149	0.203	0.125	0.545	0.770	0.083	0.227	0.784	0.452	0.256	0.246	0.347	0.490	0.818	0.444	0.331	0.256	
∑ PCDD/Fs	0.832	0.256	0.231	0.336	1.607	0.186	0.248	0.428	0.376	0.641	1.352	0.397	2.117	2.500	0.291	0.769	1.776	1.513	0.823	0.566	0.794	1.020	1.678	1.244	1.615	0.977	
∑ TEQ (PCDD/Fs)	0.018	0.005	0.005	0.006	0.019	0.007	0.008	0.011	0.009	0.012	0.023	0.006	0.031	0.032	0.006	0.011	0.027	0.022	0.011	0.011	0.018	0.017	0.033	0.021	0.017	0.014	

Cuadro A56. Concentraciones atmosféricas de DDPC/DFPC (pg m⁻³) en sitios urbanos de la NAPS en 2007 (continuación)

Station Name	Montreal (1125)										Edmonton (89th St.)											
	1	2	3	4	5	6	7	8	9	10	1	2	3	4	5	6	7	8	9	10	11	12
Sampling Period	1/24/07	3/13/07	4/6/07	4/30/07	7/11/07	8/4/07	8/28/07	9/21/07	12/2/07	12/26/07	1/24/07	3/13/07	4/6/07	4/30/07	5/24/07	6/17/07	7/11/07	8/4/07	8/28/07	9/21/07	12/2/07	12/26/07
Sampling Volume (m3)	662	563	648	539	742	750	753	659	752	733	760	743	734	793	761	764	724	700	668	717	870	892
PCDD/F Congeners																						
2,3,7,8-TCDD	0.001	0.002	0.001	0.001	0.001	0.001	0.002	0.001	0.001	0.001	0.003	0.001	<0.002	0.000	0.001	0.001	<0.001	0.001	0.001	0.002	0.001	0.006
1,2,3,7,8-PeCDD	0.006	0.009	0.004	0.006	0.007	0.006	0.006	0.008	0.007	0.007	0.016	0.004	0.003	0.004	0.005	0.005	0.004	0.004	0.006	0.010	0.008	0.035
1,2,3,4,7,8-HxCDD	0.004	0.007	0.002	0.003	0.003	0.003	0.006	0.005	0.006	0.006	0.014	0.001	<0.003	0.002	0.004	0.004	0.002	0.001	0.004	0.008	0.007	0.037
1,2,3,6,7,8-HxCDD	0.006	0.010	0.003	0.004	0.006	0.007	0.010	0.009	0.010	0.009	0.022	0.002	0.002	0.003	0.004	0.004	0.002	0.002	0.007	0.021	0.014	0.079
1,2,3,7,8,9-HxCDD	0.006	0.013	0.004	0.007	0.006	0.006	0.012	0.009	0.012	0.015	0.033	0.004	0.005	0.003	0.006	0.006	0.004	0.002	0.009	0.023	0.015	0.087
1,2,3,4,6,7,8-HpCDD	0.086	0.149	0.043	0.060	0.074	0.064	0.137	0.102	0.113	0.142	0.329	0.032	0.038	0.044	0.080	0.049	0.033	0.019	0.087	0.174	0.162	1.017
OCDD	0.287	0.435	0.145	0.195	0.357	0.197	0.688	0.311	0.292	0.426	0.759	0.085	0.108	0.147	0.183	0.148	0.119	0.068	0.220	0.439	0.384	2.700
2,3,7,8-TCDF	0.020	0.026	0.009	0.017	0.024	0.013	0.032	0.023	0.020	0.019	0.031	0.005	0.003	0.006	0.006	0.008	0.006	0.005	0.020	0.012	0.011	0.036
1,2,3,7,8-PeCDF	0.004	0.006	0.002	0.004	0.005	0.003	0.005	0.004	0.004	0.004	0.005	0.001	0.000	0.002	0.001	0.002	0.001	0.001	0.006	0.002	0.002	0.007
2,3,4,7,8-PeCDF	0.006	0.008	0.002	0.005	0.005	0.003	0.009	0.005	0.007	0.007	0.008	0.001	0.001	0.002	<0.001	0.003	0.001	0.001	0.010	0.004	0.006	0.013
1,2,3,4,7,8-HxCDF	0.014	0.021	0.006	0.014	0.011	0.007	0.019	0.014	0.017	0.017	0.015	0.003	0.001	0.004	0.003	0.005	0.003	0.002	0.034	0.010	0.006	0.030
1,2,3,6,7,8-HxCDF	0.005	0.008	0.002	0.005	0.006	0.004	0.009	0.006	0.007	0.006	0.007	0.001	0.001	0.002	0.001	0.004	0.001	0.001	0.013	0.004	0.003	0.013
2,3,4,6,7,8-HxCDF	0.006	0.009	0.003	0.006	0.005	0.004	0.010	0.007	0.007	0.007	0.007	0.001	0.001	0.001	0.001	0.003	0.002	0.001	0.015	0.003	0.003	0.013
1,2,3,7,8,9-HxCDF	0.000	0.001	0.000	<0.001	<0.001	<0.001	<0.002	<0.002	0.001	<0.001	0.001	<0.001	<0.002	<0.001	<0.001	<0.002	<0.001	0.000	0.002	0.001	0.000	0.002
1,2,3,4,6,7,8-HpCDF	0.022	0.042	0.021	0.026	0.029	0.024	0.046	0.029	0.037	0.029	0.025	0.007	0.005	0.012	0.015	0.013	0.010	0.007	0.068	0.015	0.012	0.077
1,2,3,4,7,8,9-HpCDF	0.003	0.007	0.001	0.002	0.003	0.001	0.004	0.002	0.004	0.005	0.004	<0.001	<0.002	<0.001	<0.001	0.003	<0.002	<0.001	0.011	0.001	0.001	0.010
OCDF	0.025	0.033	0.025	0.017	0.033	0.014	0.038	0.021	0.040	0.025	0.023	0.006	0.006	0.014	0.015	0.012	0.006	0.004	0.039	0.011	0.011	0.144
PCDD/F Homologues																						
TCDDs	0.029	0.042	0.011	0.027	0.024	0.016	0.035	0.032	0.033	0.029	0.080	0.013	0.003	0.013	0.014	0.015	0.009	0.008	0.020	0.021	0.029	0.130
PeCDDs	0.048	0.078	0.021	0.046	0.043	0.029	0.048	0.060	0.058	0.056	0.155	0.025	0.015	0.028	0.040	0.026	0.023	0.015	0.044	0.079	0.063	0.311
HxCDDs	0.099	0.173	0.037	0.071	0.074	0.062	0.115	0.143	0.133	0.139	0.397	0.058	0.040	0.047	0.104	0.073	0.055	0.026	0.109	0.250	0.195	0.973
HpCDDs	0.163	0.296	0.074	0.112	0.146	0.115	0.262	0.222	0.201	0.265	0.580	0.080	0.076	0.082	0.177	0.093	0.066	0.033	0.153	0.330	0.314	1.787
OCDD	0.287	0.435	0.145	0.195	0.357	0.197	0.688	0.311	0.292	0.426	0.759	0.085	0.108	0.147	0.183	0.148	0.119	0.068	0.220	0.439	0.384	2.700
TCDFs	0.132	0.190	0.057	0.135	0.197	0.111	0.253	0.196	0.127	0.131	0.307	0.042	0.018	0.054	0.031	0.061	0.050	0.034	0.117	0.086	0.056	0.213
PeCDFs	0.068	0.105	0.032	0.082	0.122	0.106	0.178	0.142	0.081	0.083	0.103	0.017	0.005	0.035	0.013	0.032	0.029	0.020	0.108	0.045	0.041	0.157
HxCDFs	0.060	0.093	0.033	0.061	0.098	0.077	0.148	0.109	0.080	0.072	0.083	0.013	0.005	0.028	0.017	0.024	0.021	0.014	0.133	0.044	0.033	0.170
HpCDFs	0.038	0.070	0.038	0.036	0.056	0.038	0.082	0.050	0.063	0.054	0.047	0.011	0.007	0.019	0.024	0.022	0.012	0.009	0.104	0.027	0.022	0.169
OCDF	0.025	0.033	0.025	0.017	0.033	0.014	0.038	0.021	0.040	0.025	0.023	0.006	0.006	0.014	0.015	0.012	0.006	0.004	0.039	0.011	0.011	0.144
Total																						
∑ PCDDs	0.626	1.023	0.287	0.451	0.644	0.419	1.147	0.769	0.716	0.914	1.970	0.261	0.242	0.316	0.518	0.354	0.272	0.149	0.546	1.119	0.985	5.900
∑ PCDFs	0.323	0.490	0.184	0.332	0.506	0.345	0.699	0.518	0.391	0.365	0.562	0.089	0.040	0.150	0.100	0.150	0.119	0.081	0.501	0.212	0.164	0.853
∑ PCDD/Fs	0.949	1.513	0.472	0.782	1.151	0.765	1.846	1.287	1.107	1.278	2.532	0.350	0.282	0.466	0.618	0.504	0.390	0.230	1.047	1.331	1.148	6.753
∑ TEQ (PCDD/Fs)	0.017	0.025	0.009	0.016	0.017	0.013	0.023	0.020	0.020	0.021	0.038	0.007	0.007	0.008	0.009	0.011	0.008	0.007	0.022	0.023	0.019	0.086

Cuadro A56. Concentraciones atmosféricas de DDPC/DFPC (pg m⁻³) en sitios urbanos de la NAPS en 2007 (cont.)

Station Name	Winnipeg										Windsor (College)										
	1	2	3	4	5	6	7	8	9	10	1	2	3	4	5	6	7	8	9	10	11
Sampling Period	1/24/07	3/13/07	4/6/07	4/30/07	5/24/07	6/17/07	7/11/07	8/4/07	8/28/07	11/8/07	1/24/07	4/6/07	4/30/07	6/17/07	7/11/07	8/4/07	8/28/07	9/21/07	10/15/07	11/8/07	12/2/07
Sampling Volume (m3)	845	723	844	813	851	840	834	796	802	840	830	931	1074	778	835	989	881	945	1044	996	1023
PCDD/F Congeners																					
2,3,7,8-TCDD	0.002	0.001	0.003	0.001	<0.001	0.001	<0.001	<0.001	0.001	0.001	0.002	0.001	0.002	0.002	0.001	0.002	0.002	0.001	0.001	0.001	0.002
1,2,3,7,8-PeCDD	0.010	0.004	0.019	0.004	0.004	0.005	0.004	0.004	0.005	0.008	0.011	0.004	0.007	0.010	0.006	0.008	0.007	0.007	0.006	0.010	0.020
1,2,3,4,7,8-HxCDD	0.010	0.001	0.023	0.002	<0.001	0.002	0.002	0.002	0.006	0.003	0.009	0.002	0.006	0.009	0.002	0.008	0.007	0.007	0.005	0.013	0.013
1,2,3,6,7,8-HxCDD	0.012	0.002	0.034	0.003	0.001	0.005	0.004	0.003	0.011	0.006	0.025	0.003	0.010	0.015	0.004	0.013	0.009	0.011	0.009	0.021	0.022
1,2,3,7,8,9-HxCDD	0.018	0.001	0.042	0.002	0.002	0.006	0.004	0.005	0.014	0.007	0.021	0.003	0.015	0.018	0.003	0.014	0.013	0.013	0.014	0.023	0.019
1,2,3,4,6,7,8-HpCDD	0.140	0.020	0.517	0.041	0.024	0.063	0.048	0.039	0.109	0.072	0.253	0.039	0.144	0.259	0.042	0.164	0.169	0.170	0.123	0.233	0.265
OCDD	0.316	0.055	1.190	0.186	0.077	0.257	0.173	0.143	0.238	0.318	0.740	0.160	0.435	0.926	0.193	0.431	0.537	0.565	0.331	0.745	0.840
2,3,7,8-TCDF	0.016	0.009	0.005	0.009	0.007	0.013	0.008	0.008	0.023	0.013	0.038	0.014	0.032	0.027	0.015	0.024	0.034	0.026	0.029	0.042	0.042
1,2,3,7,8-PeCDF	0.003	0.002	0.001	0.002	0.002	0.003	0.001	0.002	0.004	0.003	0.006	0.002	0.005	0.005	0.003	0.005	0.007	0.005	0.005	0.010	0.008
2,3,4,7,8-PeCDF	0.004	0.003	0.002	0.003	0.002	0.004	0.001	0.003	0.007	0.005	0.010	0.004	0.008	0.007	0.004	0.008	0.011	0.007	0.008	0.021	0.014
1,2,3,4,7,8-HxCDF	0.009	0.005	0.004	0.007	0.003	0.009	0.004	0.007	0.045	0.008	0.021	0.009	0.021	0.018	0.009	0.016	0.026	0.018	0.021	0.033	0.032
1,2,3,6,7,8-HxCDF	0.004	0.002	0.001	0.003	0.001	0.003	0.002	0.002	0.015	0.004	0.008	0.002	0.008	0.006	0.004	0.008	0.011	0.008	0.009	0.014	0.016
2,3,4,6,7,8-HxCDF	0.004	0.003	0.002	0.003	0.001	0.004	0.003	0.003	0.025	0.004	0.008	0.004	0.009	0.008	0.003	0.007	0.013	0.007	0.010	0.016	0.015
1,2,3,7,8,9-HxCDF	0.001	<0.001	<0.002	<0.001	<0.001	<0.002	<0.001	<0.003	<0.004	<0.001	0.001	<0.001	<0.001	<0.001	<0.002	0.001	0.001	<0.001	0.001	0.001	0.002
1,2,3,4,6,7,8-HpCDF	0.015	0.008	0.014	0.017	0.007	0.023	0.016	0.018	0.091	0.014	0.040	0.015	0.041	0.044	0.021	0.044	0.059	0.035	0.043	0.054	0.065
1,2,3,4,7,8,9-HpCDF	0.002	<0.001	0.001	0.002	0.001	<0.003	0.001	<0.003	0.009	0.002	0.006	0.002	0.004	0.003	0.004	0.004	0.008	0.004	0.005	0.008	0.009
OCDF	0.014	0.006	0.013	0.028	0.007	0.030	0.024	0.019	0.044	0.015	0.042	0.017	0.041	0.030	0.016	0.028	0.040	0.024	0.025	0.043	0.055
PCDD/F Homologues																					
TCDDs	0.047	0.013	0.074	0.020	0.013	0.025	0.010	0.015	0.161	0.018	0.083	0.016	0.074	0.065	0.033	0.040	0.054	0.036	0.059	0.065	0.073
PeCDDs	0.106	0.019	0.230	0.035	0.019	0.042	0.021	0.022	0.220	0.041	0.120	0.027	0.093	0.106	0.038	0.075	0.071	0.080	0.073	0.109	0.129
HxCDDs	0.230	0.031	0.723	0.053	0.033	0.065	0.049	0.067	0.382	0.096	0.295	0.047	0.178	0.315	0.100	0.231	0.180	0.200	0.172	0.314	0.318
HpCDDs	0.307	0.040	1.137	0.084	0.046	0.124	0.100	0.084	0.248	0.135	0.471	0.075	0.271	0.548	0.088	0.357	0.331	0.332	0.270	0.469	0.507
OCDD	0.316	0.055	1.190	0.186	0.077	0.257	0.173	0.143	0.238	0.318	0.740	0.160	0.435	0.926	0.193	0.431	0.537	0.565	0.331	0.745	0.840
TCDFs	0.095	0.067	0.035	0.080	0.044	0.098	0.054	0.073	0.155	0.049	0.244	0.103	0.233	0.234	0.128	0.201	0.250	0.262	0.232	0.248	0.298
PeCDFs	0.054	0.032	0.027	0.054	0.028	0.074	0.035	0.071	0.134	0.040	0.119	0.062	0.138	0.150	0.091	0.162	0.176	0.163	0.130	0.188	0.212
HxCDFs	0.040	0.022	0.041	0.039	0.015	0.052	0.029	0.058	0.208	0.041	0.100	0.036	0.111	0.133	0.066	0.147	0.148	0.122	0.118	0.156	0.226
HpCDFs	0.028	0.011	0.031	0.028	0.012	0.036	0.027	0.032	0.129	0.026	0.076	0.025	0.066	0.076	0.033	0.074	0.096	0.059	0.070	0.093	0.125
OCDF	0.014	0.006	0.013	0.028	0.007	0.030	0.024	0.019	0.044	0.015	0.042	0.017	0.041	0.030	0.016	0.028	0.040	0.024	0.025	0.043	0.055
Total																					
∑ PCDDs	1.005	0.158	3.354	0.378	0.187	0.513	0.353	0.330	1.248	0.609	1.708	0.324	1.051	1.959	0.452	1.134	1.173	1.214	0.904	1.702	1.868
∑ PCDFs	0.231	0.138	0.148	0.228	0.106	0.290	0.169	0.253	0.669	0.169	0.581	0.243	0.587	0.622	0.334	0.611	0.710	0.629	0.574	0.727	0.917
∑ PCDD/Fs	1.236	0.296	3.502	0.606	0.293	0.803	0.522	0.583	1.917	0.778	2.290	0.567	1.638	2.582	0.786	1.744	1.883	1.843	1.478	2.428	2.785
∑ TEQ (PCDD/Fs)	0.022	0.008	0.040	0.009	0.007	0.012	0.009	0.009	0.025	0.016	0.032	0.010	0.024	0.028	0.012	0.024	0.026	0.022	0.022	0.037	0.046

Cuadro A56. Concentraciones atmosféricas de DDPC/DFPC (pg m⁻³) en sitios urbanos de la NAPS en 2007 (continuación)

Station Name	Hamilton (Elgin)														Toronto (Gage Inst.)												
	1	2	3	4	5	6	7	8	9	10	11	12	13	14	1	2	3	4	5	6	7	8	9	10	11	12	
Sampling Period	1/24/07	3/13/07	4/6/07	4/30/07	5/24/07	6/17/07	7/11/07	8/4/07	8/28/07	9/21/07	10/15/07	11/8/07	12/2/07	12/26/07	1/24/07	3/13/07	4/6/07	4/30/07	5/24/07	6/17/07	8/4/07	9/21/07	10/15/07	11/8/07	12/2/07	12/26/07	
Sampling Volume (m3)	998	851	979	1045	1076	949	803	943	885	898	975	957	952	1024	909	858	839	928	781	611	845	700	833	950	805	832	
PCDD/F Congeners																											
2,3,7,8-TCDD	0.001	0.001	0.001	0.001	0.001	0.001	0.001	0.002	0.002	0.002	0.001	0.003	0.002	0.001	0.001	0.002	0.000	0.001	0.002	0.001	0.001	0.002	0.002	0.001	0.001	0.001	
1,2,3,7,8-PeCDD	0.006	0.008	0.004	0.004	0.006	0.006	0.004	0.007	0.008	0.008	0.007	0.012	0.013	0.010	0.005	0.008	0.003	0.005	0.005	0.006	0.003	0.008	0.007	0.005	0.006	0.007	
1,2,3,4,7,8-HxCDD	0.004	0.008	0.003	0.003	0.004	0.006	0.002	0.003	0.004	0.005	0.007	0.013	0.011	0.010	0.003	0.009	0.001	0.003	0.004	0.005	0.002	0.003	0.003	0.004	0.005	0.004	
1,2,3,6,7,8-HxCDD	0.008	0.012	0.004	0.004	0.006	0.008	0.004	0.007	0.006	0.009	0.012	0.020	0.021	0.019	0.006	0.012	0.002	0.006	0.007	0.007	0.002	0.004	0.007	0.006	0.008	0.007	
1,2,3,7,8,9-HxCDD	0.009	0.017	0.005	0.004	0.007	0.014	0.003	0.006	0.006	0.009	0.017	0.024	0.027	0.022	0.006	0.016	0.003	0.007	0.006	0.014	0.003	0.005	0.009	0.008	0.008	0.008	
1,2,3,4,6,7,8-HpCDD	0.090	0.203	0.040	0.049	0.087	0.109	0.038	0.042	0.063	0.068	0.142	0.271	0.233	0.225	0.058	0.184	0.016	0.080	0.082	0.111	0.029	0.052	0.072	0.071	0.094	0.099	
OCDD	0.249	0.697	0.213	0.171	0.335	0.324	0.154	0.160	0.224	0.241	0.375	0.900	0.866	0.600	0.146	0.607	0.055	0.223	0.318	0.375	0.090	0.312	0.229	0.213	0.347	0.341	
2,3,7,8-TCDF	0.157	0.031	0.006	0.018	0.051	0.020	0.010	0.076	0.050	0.079	0.039	0.184	0.067	0.036	0.012	0.043	0.010	0.013	0.037	0.021	0.010	0.056	0.043	0.015	0.013	0.016	
1,2,3,7,8-PeCDF	0.030	0.006	0.003	0.003	0.010	0.005	0.002	0.017	0.011	0.027	0.012	0.015	0.016	0.006	0.003	0.007	0.002	0.002	0.007	0.004	0.002	0.012	0.007	0.003	0.003	0.003	
2,3,4,7,8-PeCDF	0.030	0.009	0.002	0.004	0.012	0.005	0.002	0.023	0.015	0.030	0.017	0.017	0.023	0.011	0.004	0.010	0.002	0.003	0.008	0.003	0.002	0.019	0.014	0.005	0.005	0.005	
1,2,3,4,7,8-HxCDF	0.041	0.024	0.005	0.011	0.028	0.012	0.006	0.043	0.030	0.085	0.049	0.026	0.047	0.024	0.008	0.025	0.004	0.006	0.019	0.002	0.005	0.034	0.028	0.010	0.011	0.012	
1,2,3,6,7,8-HxCDF	0.016	0.010	0.003	0.004	0.012	0.007	0.003	0.019	0.014	0.036	0.022	0.012	0.020	0.010	0.003	0.011	0.002	0.002	0.008	0.004	0.002	0.015	0.011	0.004	0.005	0.006	
2,3,4,6,7,8-HxCDF	0.011	0.011	0.004	0.005	0.011	0.005	0.003	0.011	0.010	0.022	0.013	0.010	0.015	0.009	0.004	0.011	0.002	0.003	0.008	0.003	0.001	0.016	0.012	0.003	0.003	0.005	
1,2,3,7,8,9-HxCDF	0.001	<0.001	0.002	<0.001	<0.002	<0.002	<0.002	0.001	0.001	0.003	0.002	0.001	0.002	0.001	0.001	0.001	0.000	<0.001	<0.002	<0.003	0.000	0.002	0.001	0.001	0.001	0.001	
1,2,3,4,6,7,8-HpCDF	0.053	0.053	0.009	0.026	0.054	0.033	0.024	0.045	0.045	0.089	0.056	0.037	0.062	0.039	0.015	0.053	0.008	0.013	0.045	0.019	0.011	0.048	0.040	0.016	0.024	0.019	
1,2,3,4,7,8,9-HpCDF	0.008	0.006	0.003	0.002	0.004	0.003	0.002	0.007	0.006	0.019	0.013	0.007	0.009	0.007	0.003	0.007	<0.001	0.001	0.005	<0.004	0.001	0.010	0.004	0.003	0.003	0.002	
OCDF	0.039	0.043	0.023	0.033	0.045	0.027	0.018	0.016	0.028	0.050	0.048	0.028	0.051	0.028	0.012	0.044	0.009	0.011	0.032	0.025	0.009	0.034	0.024	0.014	0.021	0.015	
PCDD/F Homologues																											
TCDDs	0.060	0.048	0.015	0.027	0.077	0.047	0.036	0.154	0.069	0.077	0.038	0.145	0.097	0.072	0.021	0.056	0.010	0.018	0.032	0.061	0.012	0.036	0.058	0.023	0.026	0.031	
PeCDDs	0.077	0.087	0.023	0.036	0.084	0.066	0.056	0.171	0.087	0.099	0.059	0.119	0.134	0.109	0.032	0.085	0.014	0.037	0.053	0.076	0.017	0.053	0.078	0.040	0.042	0.050	
HxCDDs	0.134	0.216	0.049	0.062	0.123	0.170	0.164	0.118	0.108	0.135	0.200	0.316	0.280	0.290	0.076	0.209	0.023	0.087	0.100	0.172	0.034	0.077	0.140	0.096	0.109	0.126	
HpCDDs	0.186	0.431	0.074	0.101	0.184	0.236	0.073	0.089	0.127	0.145	0.295	0.549	0.430	0.456	0.112	0.389	0.029	0.166	0.184	0.242	0.063	0.106	0.143	0.143	0.180	0.191	
OCDD	0.249	0.697	0.213	0.171	0.335	0.324	0.154	0.160	0.224	0.241	0.375	0.900	0.866	0.600	0.146	0.607	0.055	0.223	0.318	0.375	0.090	0.312	0.229	0.213	0.347	0.341	
TCDFs	0.860	0.264	0.027	0.121	0.385	0.174	0.100	0.430	0.300	0.481	0.256	1.155	0.394	0.235	0.081	0.323	0.068	0.092	0.296	0.164	0.089	0.593	0.265	0.105	0.088	0.112	
PeCDFs	0.301	0.143	0.019	0.062	0.229	0.108	0.066	0.304	0.199	0.391	0.200	0.271	0.276	0.135	0.042	0.145	0.027	0.040	0.147	0.077	0.043	0.314	0.166	0.059	0.059	0.061	
HxCDFs	0.148	0.125	0.024	0.052	0.164	0.089	0.052	0.199	0.172	0.334	0.190	0.122	0.199	0.116	0.035	0.125	0.018	0.031	0.104	0.059	0.029	0.221	0.125	0.045	0.057	0.056	
HpCDFs	0.084	0.087	0.019	0.041	0.081	0.052	0.036	0.070	0.074	0.148	0.100	0.069	0.107	0.069	0.024	0.085	0.011	0.021	0.070	0.029	0.019	0.091	0.062	0.029	0.044	0.033	
OCDF	0.039	0.043	0.023	0.033	0.045	0.027	0.018	0.016	0.028	0.050	0.048	0.028	0.051	0.028	0.012	0.044	0.009	0.011	0.032	0.025	0.009	0.034	0.024	0.014	0.021	0.015	
Total																											
∑ PCDDs	0.706	1.478	0.374	0.397	0.803	0.844	0.484	0.692	0.615	0.696	0.966	2.029	1.808	1.526	0.386	1.346	0.131	0.531	0.688	0.925	0.214	0.584	0.648	0.516	0.704	0.740	
∑ PCDFs	1.432	0.662	0.113	0.309	0.903	0.460	0.271	1.019	0.773	1.405	0.794	1.644	1.027	0.583	0.194	0.722	0.133	0.195	0.649	0.353	0.189	1.253	0.641	0.252	0.269	0.276	
∑ PCDD/Fs	2.137	2.140	0.486	0.706	1.706	1.304	0.755	1.711	1.388	2.101	1.760	3.673	2.835	2.110	0.580	2.068	0.264	0.726	1.337	1.278	0.403	1.836	1.290	0.768	0.973	1.016	
∑ TEQ (PCDD/Fs)	0.043	0.026	0.010	0.012	0.024	0.017	0.010	0.034	0.027	0.046	0.032	0.052	0.046	0.031	0.012	0.029	0.007	0.012	0.020	0.016	0.008	0.030	0.026	0.013	0.015	0.017	

Cuadro A56. Concentraciones atmosféricas de DDPC/DFPC ($\mu\text{g m}^{-3}$) en sitios urbanos de la NAPS en 2007 (cont.)

Station Name	Jonquiere										Cornerbrook														
	1	2	3	4	5	6	7	8	9	10	1	2	3	4	5	6	7	8	9	10	11	12	13	14	15
Sampling Period	1/24/07	3/13/07	4/6/07	4/30/07	5/24/07	8/4/07	8/28/07	11/8/07	12/2/07	12/26/07	1/12/07	2/5/07	3/1/07	3/25/07	6/5/07	7/11/07	7/23/07	8/4/07	8/16/07	8/28/07	10/3/07	10/27/07	11/8/07	11/20/07	12/2/07
Sampling Volume (m3)	1224	1125	987	977	976	918	907	995	917	937	844	741.9	748.4	727.6	833.3	681.5	813.4	628.5	623	597.8	758.3	837.5	845.6	889.9	811
PCDD/F Congeners																									
2,3,7,8-TCDD	0.001	0.001	0.001	0.001	0.002	<0.001	0.001	0.002	0.002	0.001	0.001	<0.0007	0.001	0.001	0.001	0.001	0.001	0.001	0.001	0.001	0.001	0.001	0.001	0.001	0.001
1,2,3,7,8-PeCDD	0.005	0.005	0.003	0.004	0.008	0.004	0.006	0.009	0.007	0.005	0.006	0.004	0.006	0.004	0.007	0.006	0.009	0.008	0.006	0.008	0.005	0.006	0.004	0.007	0.005
1,2,3,4,7,8-HxCDD	0.005	0.003	0.001	0.001	0.006	<0.001	0.003	0.006	0.006	0.003	0.004	0.002	0.004	0.001	0.002	0.001	0.003	0.003	0.004	0.003	0.002	0.002	0.002	0.004	0.002
1,2,3,6,7,8-HxCDD	0.008	0.005	0.001	0.002	0.008	0.001	0.005	0.010	0.011	0.006	0.006	0.004	0.006	0.002	0.005	0.003	0.005	0.005	0.006	0.003	0.003	0.007	0.003	0.007	0.005
1,2,3,7,8,9-HxCDD	0.010	0.007	0.001	0.003	0.014	0.002	0.006	0.011	0.012	0.005	0.007	0.004	0.007	0.003	0.007	0.004	0.007	0.006	0.007	0.004	0.003	0.003	0.003	0.003	0.006
1,2,3,4,6,7,8-HpCDD	0.135	0.056	0.017	0.023	0.093	0.013	0.075	0.058	0.119	0.065	0.053	0.045	0.065	0.028	0.046	0.023	0.036	0.042	0.045	0.025	0.022	0.037	0.024	0.056	0.056
OCDD	0.530	0.136	0.052	0.065	0.372	0.044	0.281	0.141	0.291	0.183	0.148	0.115	0.137	0.083	0.105	0.074	0.083	0.110	0.104	0.049	0.066	0.082	0.063	0.131	0.129
2,3,7,8-TCDF	0.016	0.020	0.010	0.018	0.027	0.008	0.022	0.057	0.045	0.013	0.036	0.011	0.028	0.009	0.009	0.007	0.011	0.009	0.013	0.032	0.009	0.018	0.007	0.041	0.015
1,2,3,7,8-PeCDF	0.005	0.003	0.002	0.003	0.006	0.002	0.004	0.010	0.006	0.003	0.008	0.001	0.004	0.002	0.002	0.001	0.003	0.002	0.002	0.007	0.002	0.003	0.001	0.008	0.003
2,3,4,7,8-PeCDF	0.005	0.004	0.003	0.004	0.005	0.002	0.005	0.019	0.010	0.004	0.013	0.002	0.005	0.002	0.002	0.002	0.004	0.003	0.003	0.010	0.002	0.005	0.002	0.015	0.004
1,2,3,4,7,8-HxCDF	0.017	0.010	0.006	0.007	0.013	0.003	0.013	0.031	0.014	0.007	0.030	0.004	0.008	0.005	0.004	0.004	0.010	0.005	0.010	0.014	0.004	0.014	0.003	0.032	0.006
1,2,3,6,7,8-HxCDF	0.006	0.004	0.003	0.003	0.006	0.001	0.005	0.012	0.006	0.003	0.012	0.002	0.003	0.002	0.003	0.002	0.006	0.004	0.004	0.006	0.002	0.005	0.002	0.012	0.003
2,3,4,6,7,8-HxCDF	0.005	0.004	0.002	0.003	0.005	<0.001	0.005	0.013	0.005	0.003	0.013	0.003	0.003	0.002	0.002	0.002	0.005	0.003	0.007	0.006	0.002	0.006	0.001	0.015	0.003
1,2,3,7,8,9-HxCDF	0.001	0.000	0.001	<0.001	<0.001	<0.001	<0.001	0.001	0.000	<0.001	0.001	<0.001	<0.001	<0.001	<0.001	<0.001	0.001	<0.001	<0.002	<0.002	<0.001	0.000	<0.001	0.001	0.000
1,2,3,4,6,7,8-HpCDF	0.033	0.020	0.010	0.011	0.032	0.011	0.027	0.031	0.023	0.012	0.042	0.018	0.015	0.013	0.014	0.014	0.032	0.021	0.028	0.022	0.013	0.023	0.010	0.041	0.015
1,2,3,4,7,8,9-HpCDF	0.004	0.003	0.002	<0.002	0.002	<0.002	0.004	0.002	0.003	0.002	0.004	0.001	0.002	0.001	<0.002	0.001	0.001	0.001	<0.003	<0.003	0.001	0.003	0.001	0.005	0.002
OCDF	0.070	0.046	0.012	0.016	0.034	0.005	0.023	0.016	0.041	0.018	0.018	0.010	0.008	0.008	0.007	0.009	0.014	0.008	0.013	0.007	0.008	0.011	0.006	0.020	0.009
PCDD/F Homologues																									
TCDDs	0.030	0.078	0.014	0.038	0.072	0.010	0.033	0.106	0.051	0.022	0.053	0.012	0.031	0.010	0.041	0.018	0.037	0.024	0.048	0.032	0.021	0.077	0.011	0.061	0.021
PeCDDs	0.049	0.079	0.032	0.025	0.085	0.044	0.055	0.155	0.065	0.038	0.071	0.019	0.054	0.015	0.068	0.032	0.078	0.049	0.067	0.052	0.028	0.089	0.017	0.083	0.030
HxCDDs	0.113	0.093	0.016	0.030	0.170	0.028	0.083	0.208	0.132	0.078	0.102	0.044	0.082	0.028	0.093	0.057	0.110	0.102	0.101	0.062	0.035	0.129	0.032	0.123	0.060
HpCDDs	0.234	0.109	0.028	0.036	0.264	0.021	0.137	0.111	0.196	0.113	0.100	0.074	0.117	0.049	0.083	0.038	0.064	0.070	0.080	0.045	0.039	0.073	0.038	0.100	0.091
OCDD	0.530	0.136	0.052	0.065	0.372	0.044	0.281	0.141	0.291	0.183	0.148	0.115	0.137	0.083	0.105	0.074	0.083	0.110	0.104	0.049	0.066	0.082	0.063	0.131	0.129
TCDFs	0.102	0.134	0.083	0.125	0.227	0.057	0.166	0.288	0.278	0.088	0.213	0.071	0.193	0.066	0.135	0.075	0.147	0.115	0.135	0.287	0.104	0.142	0.057	0.241	0.105
PeCDFs	0.055	0.057	0.047	0.057	0.144	0.044	0.115	0.207	0.113	0.043	0.158	0.033	0.080	0.034	0.116	0.063	0.178	0.128	0.153	0.218	0.093	0.086	0.038	0.159	0.055
HxCDFs	0.067	0.047	0.040	0.035	0.100	0.051	0.087	0.132	0.064	0.032	0.130	0.034	0.040	0.027	0.059	0.041	0.111	0.077	0.097	0.100	0.048	0.071	0.031	0.129	0.041
HpCDFs	0.064	0.031	0.019	0.019	0.047	0.015	0.042	0.047	0.038	0.022	0.060	0.026	0.023	0.020	0.020	0.022	0.044	0.030	0.037	0.030	0.019	0.035	0.016	0.064	0.024
OCDF	0.070	0.046	0.012	0.016	0.034	0.005	0.023	0.016	0.041	0.018	0.018	0.010	0.008	0.008	0.007	0.009	0.014	0.008	0.013	0.007	0.008	0.011	0.006	0.020	0.009
Total																									
∑ PCDDs	0.956	0.495	0.142	0.194	0.963	0.147	0.589	0.722	0.735	0.433	0.474	0.264	0.421	0.184	0.390	0.219	0.373	0.356	0.400	0.239	0.189	0.450	0.160	0.498	0.331
∑ PCDFs	0.358	0.316	0.201	0.253	0.550	0.171	0.433	0.690	0.534	0.202	0.579	0.173	0.343	0.155	0.336	0.209	0.493	0.359	0.435	0.642	0.272	0.344	0.148	0.613	0.235
∑ PCDD/Fs	1.314	0.810	0.342	0.447	1.513	0.318	1.023	1.413	1.269	0.635	1.053	0.437	0.764	0.339	0.726	0.428	0.865	0.715	0.835	0.881	0.461	0.795	0.308	1.111	0.566
∑ TEQ (PCDD/Fs)	0.016	0.014	0.007	0.010	0.021	0.007	0.016	0.032	0.023	0.011	0.023	0.009	0.016	0.008	0.013	0.010	0.017	0.014	0.014	0.020	0.010	0.014	0.007	0.026	0.012

Cuadro A57. Concentraciones atmosféricas de DDPC/DFPC (pg m⁻³) en sitios urbanos de la NAPS en 2008

Station Name	Calgary								Toronto (Judson)						Montreal (1125)	
Sampling Period	1	2	3	4	5	6	7	8	1	2	3	4	5	6	1	2
Sampling Date	1/19/08	4/24/08	5/18/08	7/5/08	8/22/08	9/15/08	10/9/08	11/2/08	1/19/08	3/7/08	3/31/08	7/5/08	7/29/08	8/22/08	1/19/08	3/7/08
Sampling Volume (m3)	1021	1057	733	715	602	663	770	929	1030	990	1149	893	906	815	823	796
PCDD/F Congeners																
2,3,7,8-TCDD	0.003	0.001	0.001	0.000	0.001	0.002	0.006	0.001	0.001	0.001	0.001	0.001	0.002	0.001	<0.001	0.002
1,2,3,7,8-PeCDD	0.017	0.005	0.005	0.005	0.005	0.012	0.029	0.007	0.007	0.008	0.007	0.005	0.007	0.008	0.005	0.009
1,2,3,4,7,8-HxCDD	0.016	0.004	0.001	0.002	0.001	0.028	0.027	0.007	0.005	0.006	0.005	0.003	0.003	0.004	0.004	0.007
1,2,3,6,7,8-HxCDD	0.035	0.006	0.003	0.003	0.004	0.047	0.042	0.013	0.007	0.009	0.008	0.006	0.006	0.007	0.006	0.011
1,2,3,7,8,9-HxCDD	0.035	0.006	0.003	0.002	0.005	0.070	0.075	0.016	0.010	0.014	0.010	0.005	0.006	0.007	0.009	0.013
1,2,3,4,6,7,8-HpCDD	0.414	0.066	0.040	0.039	0.042	0.472	0.438	0.195	0.086	0.129	0.111	0.060	0.044	0.093	0.085	0.128
OCDD	0.888	0.163	0.158	0.106	0.137	0.804	1.033	0.581	0.308	0.574	0.358	0.196	0.141	0.416	0.227	0.382
2,3,7,8-TCDF	0.019	0.015	0.010	0.012	0.015	0.053	0.145	0.018	0.010	0.026	0.012	0.025	0.022	0.020	0.012	0.066
1,2,3,7,8-PeCDF	0.004	0.003	0.001	0.002	0.004	0.012	0.044	0.003	0.002	0.005	0.002	0.005	0.004	0.004	0.002	0.014
2,3,4,7,8-PeCDF	0.006	0.004	0.001	0.003	0.004	0.032	0.086	0.006	0.003	0.008	0.004	0.008	0.006	0.006	0.003	0.018
1,2,3,4,7,8-HxCDF	0.016	0.008	0.003	0.004	0.008	0.172	0.325	0.006	0.008	0.015	0.011	0.017	0.011	0.015	0.008	0.036
1,2,3,6,7,8-HxCDF	0.006	0.003	0.001	0.002	0.004	0.055	0.121	0.002	0.003	0.007	0.004	0.007	0.005	0.007	0.003	0.015
2,3,4,6,7,8-HxCDF	0.006	0.003	0.002	0.002	0.003	0.074	0.135	0.003	0.003	0.007	0.005	0.007	0.005	0.006	0.003	0.016
1,2,3,7,8,9-HxCDF	0.000	<0.001	<0.001	<0.001	<0.001	0.004	0.008	<0.002	<0.001	<0.001	0.000	<0.001	<0.001	<0.001	<0.001	0.002
1,2,3,4,6,7,8-HpCDF	0.038	0.012	0.008	0.009	0.014	0.479	0.506	0.016	0.019	0.027	0.026	0.030	0.019	0.043	0.017	0.062
1,2,3,4,7,8,9-HpCDF	0.005	0.001	<0.001	<0.001	<0.002	0.058	0.048	<0.004	0.002	0.002	0.004	0.002	0.004	0.003	0.003	0.008
OCDF	0.031	0.008	0.008	0.005	0.007	0.236	0.168	0.016	0.027	0.024	0.023	0.018	0.009	0.040	0.026	0.045
PCDD/F Homologues																
TCDDs	0.075	0.019	0.010	0.008	0.011	0.037	0.122	0.020	0.021	0.043	0.029	0.019	0.038	0.023	0.019	0.060
PeCDDs	0.160	0.036	0.025	0.019	0.021	0.112	0.232	0.045	0.044	0.060	0.048	0.037	0.050	0.050	0.046	0.078
HxCDDs	0.453	0.071	0.038	0.039	0.048	0.518	0.590	0.201	0.106	0.138	0.134	0.075	0.080	0.111	0.094	0.163
HpCDDs	0.723	0.111	0.073	0.068	0.078	0.852	0.767	0.391	0.164	0.242	0.225	0.126	0.091	0.221	0.163	0.241
OCDD	0.888	0.163	0.158	0.106	0.137	0.804	1.033	0.581	0.308	0.574	0.358	0.196	0.141	0.416	0.227	0.382
TCDFs	0.102	0.092	0.073	0.096	0.106	0.331	0.746	0.149	0.064	0.169	0.098	0.150	0.145	0.127	0.074	0.415
PeCDFs	0.075	0.051	0.025	0.035	0.051	0.264	0.959	0.064	0.039	0.092	0.058	0.094	0.098	0.070	0.041	0.227
HxCDFs	0.084	0.035	0.017	0.023	0.039	0.584	1.240	0.060	0.036	0.071	0.054	0.095	0.077	0.104	0.034	0.161
HpCDFs	0.074	0.020	0.013	0.015	0.021	0.697	0.723	0.036	0.032	0.045	0.047	0.051	0.032	0.069	0.034	0.102
OCDF	0.031	0.008	0.008	0.005	0.007	0.236	0.168	0.016	0.027	0.024	0.023	0.018	0.009	0.040	0.026	0.045
Total																
∑ PCDDs	2.300	0.399	0.303	0.241	0.294	2.323	2.744	1.238	0.642	1.057	0.794	0.452	0.400	0.821	0.549	0.924
∑ PCDFs	0.367	0.206	0.135	0.173	0.224	2.113	3.835	0.324	0.197	0.401	0.279	0.408	0.362	0.410	0.209	0.950
∑ PCDD/Fs	2.667	0.605	0.438	0.414	0.517	4.437	6.579	1.562	0.839	1.458	1.073	0.860	0.762	1.231	0.757	1.874
∑ TEQ (PCDD/Fs)	0.039	0.013	0.009	0.009	0.012	0.084	0.160	0.019	0.014	0.022	0.016	0.017	0.017	0.019	0.013	0.036

Cuadro A58. Concentraciones atmosféricas de DDPC/DFPC (pg m⁻³) en sitios urbanos de la NAPS en 2009 (cont.)

Station Name	Winnipeg										Windsor (College)			
Sampling Period	1	2	3	4	5	6	7	8	9	10	1	2	3	4
Sampling Date	1/13/09	2/6/09	3/26/09	4/19/09	6/6/09	7/24/09	8/17/09	10/4/09	11/21/09	12/15/09	1/13/09	2/6/09	3/2/09	3/26/09
Sampling Volume (m3)	1066	899	868	830	703	741	775	729	646	738	919	917	994	938
PCDD/F Congeners														
2,3,7,8-TCDD	0.004	0.001	<0.001	<0.001	0.001	<0.001	0.001	0.001	0.001	0.001	<0.002	0.001	0.000	0.002
1,2,3,7,8-PeCDD	0.023	0.005	0.001	0.002	0.006	0.001	0.002	0.002	0.005	0.005	0.004	0.009	<0.001	0.005
1,2,3,4,7,8-HxCDD	0.029	0.006	0.001	0.002	0.010	0.001	0.000	0.002	0.006	0.007	0.007	0.013	0.001	0.005
1,2,3,6,7,8-HxCDD	0.039	0.008	0.001	0.005	0.018	0.003	0.002	0.003	0.010	0.009	0.010	0.019	0.001	0.009
1,2,3,7,8,9-HxCDD	0.076	0.014	0.001	0.005	0.031	0.003	0.002	0.004	0.008	0.008	0.014	0.024	0.001	0.009
1,2,3,4,6,7,8-HpCDD	0.484	0.083	0.012	0.078	0.308	0.019	0.013	0.042	0.120	0.107	0.145	0.245	0.015	0.097
OCDD	0.868	0.192	0.055	0.236	1.126	0.068	0.053	0.153	0.384	0.277	0.436	0.837	0.063	0.327
2,3,7,8-TCDF	0.020	0.015	0.003	0.008	0.008	0.005	0.005	0.010	0.010	0.009	0.018	0.023	0.004	0.087
1,2,3,7,8-PeCDF	0.005	0.004	0.000	0.001	0.002	0.001	0.005	0.002	0.002	0.001	0.004	0.006	0.001	0.012
2,3,4,7,8-PeCDF	0.007	0.006	0.001	0.003	0.003	0.001	0.002	0.004	0.003	0.002	0.006	0.009	0.002	0.019
1,2,3,4,7,8-HxCDF	0.017	0.012	0.001	0.003	0.011	0.003	0.002	0.006	0.007	0.005	0.014	0.019	0.004	0.026
1,2,3,6,7,8-HxCDF	0.005	0.005	0.000	0.001	0.002	0.001	0.001	0.003	0.004	0.002	0.004	0.006	0.001	0.010
2,3,4,6,7,8-HxCDF	0.005	0.005	0.001	0.001	0.003	0.001	0.001	0.002	0.005	0.003	0.005	0.007	0.002	0.009
1,2,3,7,8,9-HxCDF	0.002	0.001	<0.001	0.001	0.001	<0.001	<0.001	<0.002	<0.001	<0.001	<0.003	<0.001	<0.001	0.003
1,2,3,4,6,7,8-HpCDF	0.025	0.015	0.004	0.005	0.025	0.008	0.005	0.006	0.020	0.012	0.021	0.030	0.008	0.026
1,2,3,4,7,8,9-HpCDF	0.004	0.003	0.001	0.001	0.003	<0.001	<0.003	<0.002	0.002	0.001	0.003	0.003	0.000	0.003
OCDF	0.021	0.012	0.005	0.008	0.039	0.007	0.006	0.009	0.036	0.020	0.020	0.024	0.007	0.026
PCDD/F Homologues														
TCDDs	0.170	0.042	0.009	0.011	0.026	0.009	0.010	0.028	0.030	0.028	0.072	0.051	0.007	0.082
PeCDDs	0.347	0.065	0.010	0.024	0.069	0.020	0.017	0.034	0.060	0.058	0.091	0.106	0.005	0.081
HxCDDs	0.796	0.136	0.018	0.074	0.276	0.035	0.019	0.041	0.119	0.125	0.196	0.276	0.019	0.126
HpCDDs	1.128	0.192	0.025	0.157	0.654	0.044	0.024	0.088	0.249	0.222	0.354	0.566	0.031	0.199
OCDD	0.868	0.192	0.055	0.236	1.126	0.068	0.053	0.153	0.384	0.277	0.436	0.837	0.063	0.327
TCDFs	0.140	0.135	0.021	0.088	0.070	0.063	0.056	0.091	0.084	0.066	0.143	0.164	0.037	0.583
PeCDFs	0.113	0.073	0.012	0.032	0.064	0.053	0.044	0.056	0.074	0.042	0.084	0.125	0.021	0.259
HxCDFs	0.142	0.067	0.008	0.024	0.094	0.032	0.025	0.033	0.077	0.044	0.064	0.131	0.022	0.132
HpCDFs	0.051	0.027	0.008	0.010	0.058	0.014	0.005	0.015	0.047	0.027	0.041	0.057	0.013	0.048
OCDF	0.021	0.012	0.005	0.008	0.039	0.007	0.006	0.009	0.036	0.020	0.020	0.024	0.007	0.026
Total														
∑ PCDDs	3.308	0.627	0.117	0.502	2.150	0.177	0.123	0.344	0.842	0.710	1.149	1.836	0.125	0.815
∑ PCDFs	0.467	0.315	0.053	0.162	0.324	0.168	0.136	0.204	0.317	0.200	0.352	0.500	0.099	1.048
∑ PCDD/Fs	3.775	0.942	0.171	0.664	2.473	0.345	0.259	0.548	1.159	0.909	1.501	2.337	0.224	1.864
∑ TEQ (PCDD/Fs)	0.054	0.015	0.003	0.007	0.020	0.004	0.005	0.007	0.013	0.012	0.017	0.028	0.003	0.030

Cuadro A58. Concentraciones atmosféricas de DDPC/DFPC (pg m⁻³) en sitios urbanos de la NAPS en 2009 (cont.)

Station Name	Toronto (Gage Inst.)												Jonquiere		
	1	2	3	4	5	6	7	8	9	10	11	12	1	2	3
Sampling Period	1/13/09	2/6/09	3/2/09	3/26/09	4/19/09	6/6/09	7/24/09	8/17/09	10/4/09	10/28/09	11/21/09	12/15/09	1/13/09	2/6/09	3/2/09
Sampling Date	778	841	901	915	905	814	659	779	639	787	659	664	620	727	644
Sampling Volume (m3)															
PCDD/F Congeners															
2,3,7,8-TCDD	0.001	0.002	0.001	0.001	0.000	<0.001	0.002	0.002	0.002	0.001	0.002	0.001	0.001	0.002	0.001
1,2,3,7,8-PeCDD	0.004	0.005	0.003	0.004	0.001	0.002	0.003	0.003	0.003	0.005	0.007	0.004	0.003	0.021	0.002
1,2,3,4,7,8-HxCDD	0.005	0.007	0.003	0.006	0.002	0.003	0.003	0.003	0.004	0.008	0.008	0.004	0.004	0.016	0.002
1,2,3,6,7,8-HxCDD	0.007	0.008	0.006	0.008	0.003	0.004	0.005	0.006	0.010	0.012	0.015	0.007	0.008	0.032	0.003
1,2,3,7,8,9-HxCDD	0.009	0.016	0.006	0.010	0.003	0.005	0.005	0.006	0.011	0.014	0.016	0.008	0.005	0.033	0.004
1,2,3,4,6,7,8-HpCDD	0.105	0.122	0.072	0.122	0.034	0.058	0.059	0.062	0.121	0.172	0.182	0.078	0.092	0.367	0.029
OCDD	0.324	0.341	0.163	0.399	0.118	0.187	0.177	0.241	0.289	0.519	0.441	0.220	0.353	0.776	0.103
2,3,7,8-TCDF	0.023	0.026	0.007	0.030	0.010	0.017	0.034	0.036	0.034	0.018	0.047	0.020	0.038	0.083	0.009
1,2,3,7,8-PeCDF	0.016	0.007	0.001	0.006	0.002	0.002	0.006	0.006	0.006	0.004	0.008	0.004	0.004	0.012	0.002
2,3,4,7,8-PeCDF	0.007	0.009	0.002	0.009	0.003	0.004	0.008	0.008	0.010	0.007	0.013	0.007	0.010	0.018	0.003
1,2,3,4,7,8-HxCDF	0.010	0.017	0.004	0.016	0.005	0.007	0.013	0.011	0.025	0.014	0.020	0.013	0.021	0.024	0.004
1,2,3,6,7,8-HxCDF	0.005	0.004	0.002	0.006	0.001	0.002	0.005	0.006	0.009	0.006	0.009	0.006	0.014	0.009	0.002
2,3,4,6,7,8-HxCDF	0.006	0.006	0.002	0.006	0.002	0.003	0.004	0.006	0.011	0.005	0.009	0.005	0.012	0.012	0.001
1,2,3,7,8,9-HxCDF	<0.003	<0.004	<0.001	<0.001	0.001	<0.001	<0.001	<0.002	<0.002	<0.001	0.001	0.000	<0.004	<0.002	<0.001
1,2,3,4,6,7,8-HpCDF	0.026	0.021	0.006	0.026	0.008	0.013	0.018	0.023	0.061	0.030	0.030	0.021	0.040	0.030	0.008
1,2,3,4,7,8,9-HpCDF	0.003	0.004	0.001	0.004	0.001	0.002	0.002	0.003	0.004	0.004	0.004	0.003	0.004	0.003	0.001
OCDF	0.022	0.017	0.006	0.023	0.009	0.014	0.017	0.016	0.044	0.031	0.022	0.018	0.097	0.041	0.016
PCDD/F Homologues															
TCDDs	0.057	0.032	0.022	0.046	0.015	0.017	0.039	0.035	0.030	0.032	0.052	0.033	0.070	0.160	0.013
PeCDDs	0.035	0.068	0.035	0.055	0.017	0.025	0.041	0.044	0.047	0.058	0.079	0.047	0.081	0.250	0.019
HxCDDs	0.094	0.153	0.076	0.127	0.035	0.054	0.067	0.067	0.105	0.173	0.181	0.094	0.119	0.461	0.031
HpCDDs	0.218	0.270	0.145	0.265	0.071	0.125	0.122	0.133	0.227	0.416	0.368	0.158	0.232	0.790	0.055
OCDD	0.324	0.341	0.163	0.399	0.118	0.187	0.177	0.241	0.289	0.519	0.441	0.220	0.353	0.776	0.103
TCDFs	0.151	0.207	0.058	0.256	0.087	0.155	0.323	0.340	0.278	0.143	0.351	0.157	0.250	0.555	0.065
PeCDFs	0.111	0.103	0.030	0.137	0.052	0.067	0.147	0.172	0.130	0.085	0.176	0.086	0.125	0.239	0.025
HxCDFs	0.122	0.093	0.022	0.080	0.037	0.042	0.096	0.108	0.104	0.064	0.117	0.064	0.105	0.116	0.017
HpCDFs	0.054	0.039	0.013	0.048	0.016	0.024	0.033	0.041	0.093	0.051	0.056	0.039	0.065	0.055	0.014
OCDF	0.022	0.017	0.006	0.023	0.009	0.014	0.017	0.016	0.044	0.031	0.022	0.018	0.097	0.041	0.016
Total															
∑ PCDDs	0.729	0.864	0.441	0.892	0.257	0.408	0.446	0.518	0.698	1.198	1.120	0.553	0.855	2.436	0.222
∑ PCDFs	0.461	0.460	0.129	0.544	0.201	0.302	0.616	0.676	0.650	0.375	0.721	0.364	0.641	1.006	0.136
∑ PCDD/Fs	1.189	1.324	0.570	1.436	0.458	0.710	1.062	1.194	1.348	1.572	1.841	0.917	1.497	3.442	0.358
∑ TEQ (PCDD/Fs)	0.016	0.020	0.008	0.018	0.005	0.009	0.015	0.016	0.021	0.018	0.029	0.015	0.019	0.054	0.007

Cuadro A58. Concentraciones atmosféricas de DDPC/DFPC (pg m⁻³) en sitios urbanos de la NAPS en 2009 (cont.)

Station Name	Montreal (St. Joseph)											Cornerbrook									
	1	2	3	4	5	6	7	8	9	10	11	1	2	3	4	5	6	7	8	9	10
Sampling Period	1/13/09	2/6/09	3/26/09	4/19/09	5/13/09	6/6/09	7/24/09	8/17/09	9/10/09	10/4/09	11/21/09	4/7/09	7/12/09	8/5/09	8/29/09	9/9/09	9/22/09	10/4/09	11/9/09	11/21/09	12/15/09
Sampling Volume (m3)	612	633	754	635	716	633	609	635	584	518	611	639	551	526	589	644	742	602	796	804	562
PCDD/F Congeners																					
2,3,7,8-TCDD	0.002	<0.003	0.003	0.001	0.001	0.001	0.001	0.002	0.002	0.001	0.001	0.001	0.001	<0.001	0.000	0.001	0.001	0.001	<0.001	0.001	0.003
1,2,3,7,8-PeCDD	0.006	0.005	0.011	0.005	0.006	0.005	0.004	0.008	0.008	0.005	0.003	0.006	0.005	0.008	0.004	0.002	0.004	0.002	0.001	0.003	0.007
1,2,3,4,7,8-HxCDD	0.006	<0.008	0.012	0.005	0.007	0.005	0.002	0.006	0.009	0.005	0.002	0.002	0.003	0.004	0.002	0.001	0.001	0.001	0.001	0.003	0.006
1,2,3,6,7,8-HxCDD	0.014	0.009	0.018	0.008	0.011	0.008	0.005	0.009	0.013	0.008	0.003	0.011	0.004	0.006	0.003	0.002	0.003	0.001	0.002	0.004	0.011
1,2,3,7,8,9-HxCDD	0.021	0.006	0.017	0.005	0.014	0.009	0.003	0.009	0.009	0.007	0.004	0.012	0.003	0.008	0.005	0.002	0.003	0.002	0.003	0.004	0.007
1,2,3,4,6,7,8-HpCDD	0.221	0.094	0.135	0.063	0.132	0.093	0.024	0.064	0.088	0.078	0.041	0.178	0.028	0.034	0.033	0.016	0.019	0.008	0.032	0.036	0.054
OCDD	0.732	0.278	0.486	0.204	0.440	0.299	0.077	0.240	0.256	0.236	0.160	0.391	0.087	0.098	0.088	0.057	0.061	0.032	0.421	0.093	0.090
2,3,7,8-TCDF	0.015	0.032	0.039	0.009	0.020	0.014	0.009	0.023	0.028	0.035	0.014	0.016	0.007	0.011	0.008	0.005	0.006	0.019	0.007	0.022	0.133
1,2,3,7,8-PeCDF	0.004	0.006	0.008	0.002	0.004	0.003	0.002	0.005	0.006	0.008	0.003	0.002	0.002	0.003	0.002	0.001	0.001	0.003	0.001	0.004	0.019
2,3,4,7,8-PeCDF	0.005	0.011	0.015	0.003	0.007	0.005	0.003	0.007	0.013	0.012	0.005	0.003	0.003	0.003	0.003	0.002	0.002	0.005	0.002	0.007	0.040
1,2,3,4,7,8-HxCDF	0.017	0.025	0.034	0.007	0.018	0.013	0.006	0.018	0.029	0.021	0.009	0.007	0.004	0.006	0.004	0.002	0.002	0.005	0.002	0.009	0.064
1,2,3,6,7,8-HxCDF	<0.006	0.011	0.013	0.003	0.008	0.006	0.003	0.009	0.012	0.010	0.005	0.004	0.004	0.004	0.003	0.002	0.003	0.002	0.001	0.005	0.028
2,3,4,6,7,8-HxCDF	0.004	0.007	0.015	0.003	0.007	0.005	0.003	0.008	0.018	0.011	0.002	0.003	0.003	0.005	0.002	0.001	0.001	0.002	0.001	0.005	0.030
1,2,3,7,8,9-HpCDF	<0.008	<0.006	0.001	<0.001	0.001	0.001	<0.001	0.001	0.001	0.001	<0.001	<0.002	<0.002	<0.002	<0.001	<0.001	<0.001	0.000	<0.001	0.000	0.002
1,2,3,4,6,7,8-HpCDF	0.035	0.031	0.054	0.015	0.039	0.029	0.012	0.042	0.050	0.040	0.017	0.012	0.015	0.017	0.010	0.006	0.010	0.006	0.008	0.014	0.064
1,2,3,4,7,8,9-HpCDF	<0.008	<0.004	0.009	0.002	0.006	0.003	0.001	0.003	0.008	0.006	0.002	0.002	0.001	0.001	0.001	<0.002	<0.001	<0.001	<0.001	0.001	0.005
OCDF	0.054	0.040	0.064	0.018	0.046	0.027	0.006	0.020	0.047	0.033	0.020	0.008	0.010	0.007	0.007	0.005	0.007	0.004	0.011	0.009	0.024
PCDD/F Homologues																					
TCDDs	0.033	0.045	0.059	0.027	0.043	0.018	0.010	0.030	0.034	0.024	0.017	0.031	0.028	0.032	0.006	0.006	0.014	0.021	0.011	0.034	0.124
PeCDDs	0.071	0.071	0.102	0.043	0.079	0.044	0.024	0.054	0.074	0.047	0.024	0.055	0.052	0.080	0.018	0.014	0.031	0.022	0.013	0.036	0.146
HxCDDs	0.221	0.134	0.224	0.095	0.193	0.104	0.052	0.113	0.150	0.092	0.042	0.150	0.056	0.081	0.032	0.018	0.034	0.019	0.020	0.052	0.140
HpCDDs	0.461	0.223	0.293	0.147	0.346	0.208	0.057	0.160	0.191	0.157	0.084	0.320	0.060	0.067	0.056	0.027	0.036	0.017	0.066	0.070	0.102
OCDD	0.732	0.278	0.486	0.204	0.440	0.299	0.077	0.240	0.256	0.236	0.160	0.391	0.087	0.098	0.088	0.057	0.061	0.032	0.421	0.093	0.090
TCDFs	0.120	0.205	0.288	0.075	0.161	0.089	0.048	0.109	0.153	0.214	0.113	0.126	0.104	0.150	0.040	0.027	0.044	0.157	0.060	0.165	0.810
PeCDFs	0.085	0.128	0.173	0.041	0.110	0.069	0.033	0.074	0.138	0.136	0.068	0.057	0.089	0.135	0.031	0.016	0.030	0.062	0.032	0.099	0.497
HxCDFs	0.078	0.092	0.155	0.042	0.103	0.102	0.039	0.125	0.162	0.112	0.043	0.036	0.077	0.122	0.031	0.017	0.028	0.026	0.018	0.055	0.283
HpCDFs	0.070	0.046	0.097	0.028	0.072	0.052	0.018	0.075	0.088	0.065	0.030	0.021	0.024	0.027	0.016	0.009	0.015	0.008	0.012	0.022	0.097
OCDF	0.054	0.040	0.064	0.018	0.046	0.027	0.006	0.020	0.047	0.033	0.020	0.008	0.010	0.007	0.007	0.005	0.007	0.004	0.011	0.009	0.024
Total																					
∑ PCDDs	1.517	0.751	1.165	0.515	1.100	0.673	0.220	0.597	0.705	0.556	0.327	0.947	0.282	0.358	0.200	0.122	0.176	0.110	0.531	0.285	0.601
∑ PCDFs	0.407	0.512	0.777	0.204	0.492	0.339	0.145	0.403	0.588	0.560	0.273	0.247	0.303	0.441	0.125	0.074	0.123	0.258	0.133	0.350	1.712
∑ PCDD/Fs	1.924	1.262	1.942	0.719	1.592	1.012	0.364	0.999	1.293	1.116	0.601	1.194	0.585	0.799	0.325	0.196	0.299	0.367	0.664	0.635	2.313
∑ TEQ (PCDD/Fs)	0.021	0.024	0.036	0.013	0.021	0.015	0.010	0.022	0.027	0.021	0.010	0.016	0.010	0.015	0.008	0.005	0.007	0.007	0.005	0.011	0.052

Cuadro A59. Concentraciones atmosféricas de BPC-Co (pg m⁻³) en sitios rurales de la NAPS en 2005

Station Name	Egbert												Point Petre											
Sampling Period	1	2	3	4	5	6	7	8	9	10	11	12	1	2	3	4	5	6	7	8	9	10	11	12
Sampling Date	1/10/05	2/3/05	3/23/05	4/16/05	5/10/05	6/3/05	7/21/05	8/14/05	9/7/05	10/1/05	11/18/05	12/12/05	3/29/05	4/4/05	4/16/05	5/10/05	6/3/05	6/27/05	7/21/05	8/14/05	9/7/05	10/1/05	11/18/05	12/12/05
Sampling Volume (m3)	917	887	804	699	841	822	915	948	853	813	962	926	632	562	467	559	562	606	544	550	577	498	671	762
PCB Congeners																								
PCB-81	0.020	0.042	<0.011	0.043	0.035	0.050	0.014	0.008	0.014	<0.013	<0.005	<0.009	0.041	0.024	<0.038	0.023	0.024	0.030	0.031	<0.015	0.018	0.036	<0.008	<0.007
PCB-77	0.100	0.147	0.099	0.157	0.226	0.697	0.223	0.089	0.116	0.106	0.028	0.037	0.163	0.283	0.234	0.214	0.283	0.276	0.308	0.139	0.187	0.231	0.065	0.055
PCB-123	0.075	0.137	0.052	0.125	0.175	0.215	0.162	0.111	0.188	0.176	0.047	0.044	0.075	0.233	0.172	0.185	0.233	0.408	0.436	0.224	0.329	0.326	0.095	0.057
PCB-118	0.647	1.164	0.487	1.144	1.596	1.994	1.669	0.772	1.297	1.128	0.305	0.344	0.672	1.910	1.512	1.641	1.910	2.541	2.958	1.272	2.133	2.215	0.704	0.425
PCB-114	0.027	0.061	0.019	0.055	0.076	0.096	0.059	0.023	0.042	0.045	0.009	0.010	0.021	0.066	0.072	0.059	0.066	0.132	0.141	0.038	0.071	0.068	0.021	0.016
PCB-105	0.259	0.487	0.200	0.456	0.653	0.912	0.688	0.299	0.471	0.435	0.124	0.145	0.270	0.754	0.585	0.605	0.754	0.943	1.017	0.438	0.709	0.798	0.266	0.167
PCB-126	0.006	0.016	0.004	0.010	0.011	0.015	0.006	0.005	0.007	0.008	0.003	0.004	0.010	0.029	0.019	0.017	0.029	0.027	0.030	0.018	0.025	0.021	0.010	0.008
PCB-167	0.014	0.032	0.012	0.032	0.035	0.034	0.030	0.018	0.027	0.029	0.010	0.011	0.018	0.035	0.043	0.041	0.035	0.057	0.069	0.036	0.059	0.065	0.023	0.015
PCB-156	0.035	0.075	0.027	0.064	0.078	0.088	0.080	0.039	0.063	0.066	0.021	0.023	0.037	0.102	0.082	0.080	0.102	0.104	0.110	0.055	0.098	0.106	0.042	0.029
PCB-157	0.008	0.017	0.005	0.014	0.011	0.010	0.011	0.009	0.012	0.014	0.005	0.005	0.005	0.013	0.022	0.012	0.013	0.017	0.019	0.012	0.017	0.017	0.009	0.007
PCB-169	<0.001	0.005	0.002	0.007	0.004	0.006	0.004	0.002	0.005	0.005	0.001	0.002	0.002	0.007	0.004	0.006	0.007	0.012	0.012	0.004	0.010	0.014	0.003	0.002
PCB-189	0.007	0.012	0.003	0.009	0.006	0.004	0.002	0.004	0.006	0.008	0.003	0.003	0.003	0.016	0.010	0.012	0.016	0.006	0.007	0.007	0.009	0.012	0.004	0.005
Total																								
∑ Co-PCBs	1.198	2.196	0.908	2.114	2.905	4.120	2.948	1.379	2.248	2.019	0.555	0.628	1.316	3.473	2.753	2.895	3.473	4.552	5.138	2.258	3.665	3.908	1.241	0.787
∑ TEQ (Co-PCBs)	0.001	0.002	0.000	0.001	0.002	0.002	0.001	0.001	0.001	0.001	0.000	0.000	0.001	0.003	0.002	0.002	0.003	0.003	0.004	0.002	0.003	0.003	0.001	0.001

Station Name	Burnt Island											Simcoe										
Sampling Period	1	2	3	4	5	6	7	8	9	10	1	2	3	4	5	6	7	8	9	10	11	
Sampling Date	1/10/05	2/3/05	5/10/05	6/27/05	7/21/05	8/14/05	10/1/05	10/18/05	11/18/05	12/12/05	1/10/05	3/23/05	4/16/05	5/10/05	6/3/05	6/27/05	7/21/05	8/14/05	10/1/05	11/18/05	12/12/05	
Sampling Volume (m3)	1228	984	868	800	909	912	566	786	771	844	929	768	817	875	797	808	903	904	925	903	939	
PCB Congeners																						
PCB-81	<0.009	<0.013	0.011	0.027	0.010	<0.006	<0.009	<0.006	<0.006	<0.006	0.020	<0.012	<0.022	<0.010	0.032	0.037	0.015	0.011	<0.011	<0.006	<0.005	
PCB-77	0.040	0.076	0.099	0.171	0.094	0.059	0.070	0.034	0.033	0.048	0.095	0.083	0.125	0.168	0.114	0.256	0.192	0.193	0.091	0.063	0.053	
PCB-123	0.030	0.095	0.104	0.109	0.100	0.073	0.120	0.052	0.057	0.041	0.069	0.104	0.180	0.181	0.114	0.338	0.369	0.467	0.171	0.062	0.054	
PCB-118	0.287	1.004	0.808	0.943	0.810	0.530	0.909	0.445	0.440	0.363	0.681	1.200	1.666	1.792	1.297	3.863	3.174	3.856	1.144	0.466	0.458	
PCB-114	0.013	0.043	0.038	0.039	0.041	0.019	0.026	0.015	0.012	0.014	0.028	0.041	0.066	0.071	0.049	0.123	0.145	0.107	0.049	0.016	0.018	
PCB-105	0.102	0.435	0.313	0.432	0.329	0.208	0.337	0.167	0.162	0.150	0.271	0.453	0.640	0.684	0.545	1.474	1.203	1.363	0.436	0.186	0.200	
PCB-126	0.003	0.003	0.006	0.006	0.004	0.004	0.005	0.003	0.003	0.003	0.008	0.005	0.010	0.010	0.007	0.013	0.010	0.007	0.005	0.005	0.006	
PCB-167	0.006	0.033	0.020	0.022	0.019	0.016	0.023	0.011	0.012	0.010	0.018	0.027	0.034	0.040	0.025	0.074	0.070	0.082	0.036	0.016	0.015	
PCB-156	0.014	0.091	0.036	0.045	0.039	0.031	0.047	0.024	0.025	0.018	0.039	0.072	0.089	0.097	0.069	0.192	0.141	0.173	0.071	0.032	0.032	
PCB-157	0.002	0.009	0.007	0.008	0.008	0.007	0.010	0.006	0.005	0.006	0.007	0.012	0.016	0.013	0.008	0.031	0.026	0.030	0.013	0.010	0.010	
PCB-169	<0.001	0.004	0.002	0.002	0.002	0.001	0.002	0.001	0.001	0.002	0.003	0.002	0.004	0.006	0.002	0.011	0.007	0.008	0.008	0.003	0.002	
PCB-189	0.003	0.018	0.002	0.007	0.002	0.004	0.005	0.003	0.003	0.004	0.007	0.005	0.006	0.009	0.008	0.021	0.009	0.008	0.006	0.006	0.006	
Total																						
∑ Co-PCBs	0.500	1.812	1.444	1.808	1.458	0.952	1.553	0.762	0.753	0.660	1.247	2.003	2.836	3.072	2.270	6.433	5.366	6.307	2.042	0.866	0.854	
∑ TEQ (Co-PCBs)	0.000	0.001	0.001	0.001	0.001	0.001	0.001	0.000	0.000	0.000	0.001	0.001	0.001	0.001	0.001	0.002	0.002	0.002	0.001	0.001	0.001	

Cuadro A60. Concentraciones atmosféricas de BPC-Co (pg m⁻³) en sitios rurales de la NAPS en 2006

Station Name	Egbert									Point Petre									
Sampling Period	1	2	3	4	5	6	7	8	9	1	2	3	4	5	6	7	10	11	12
Sampling Date	1/5/06	1/29/06	2/22/06	3/18/06	4/11/06	5/5/06	5/29/06	6/22/06	7/16/06	1/5/06	1/29/06	3/18/06	4/11/06	5/5/06	6/22/06	7/16/06	10/2/06	10/20/06	11/13/06
Sampling Volume (m3)	919	856	634	894	636	976	767	829	827	672	639	600	566	543	594	724	757	759	930
PCB Congeners																			
PCB-81	<0.006	0.009	0.011	<0.007	0.009	<0.005	<0.010	<0.006	0.007	0.008	0.009	<0.012	<0.011	<0.008	0.018	0.017	<0.012	<0.007	0.005
PCB-77	0.047	0.085	0.082	0.057	0.087	0.027	0.131	0.086	0.089	0.071	0.084	0.063	0.086	0.108	0.186	0.252	0.102	0.053	0.065
PCB-123	0.067	0.141	0.105	0.041	0.115	0.039	0.183	0.117	0.134	0.104	0.133	0.081	0.154	0.231	0.276	0.418	0.143	0.061	0.086
PCB-118	0.510	1.069	0.803	0.320	0.917	0.335	1.406	0.888	1.033	0.660	0.874	0.597	0.954	1.158	1.748	2.768	0.899	0.414	0.642
PCB-114	0.016	0.034	0.030	0.014	0.035	0.011	0.038	0.027	0.029	0.020	0.028	0.020	0.025	0.034	0.043	0.071	0.021	0.011	0.014
PCB-105	0.185	0.406	0.326	0.176	0.345	0.131	0.547	0.330	0.393	0.237	0.332	0.222	0.343	0.423	0.611	0.937	0.300	0.137	0.266
PCB-126	0.006	0.010	0.012	0.004	0.013	0.003	0.010	0.007	0.006	0.010	0.013	0.008	0.015	0.015	0.021	0.026	0.011	0.008	0.010
PCB-167	0.013	0.033	0.028	0.013	0.029	0.010	0.043	0.026	0.032	0.020	0.028	0.018	0.029	0.035	0.051	0.078	0.021	0.014	0.038
PCB-156	0.026	0.072	0.061	0.036	0.065	0.022	0.082	0.048	0.062	0.031	0.051	0.030	0.053	0.059	0.078	0.129	0.037	0.020	0.090
PCB-157	0.007	0.018	0.017	0.007	0.016	0.006	0.019	0.010	0.011	0.008	0.012	0.008	0.011	0.017	0.018	0.024	0.006	0.005	0.014
PCB-169	0.002	0.003	0.006	0.006	0.006	0.002	0.003	0.002	0.002	0.002	0.004	0.003	0.005	0.003	0.005	0.004	0.002	0.001	0.004
PCB-189	0.005	0.008	0.010	0.009	0.011	0.004	0.008	0.006	0.005	0.005	0.008	0.005	0.008	0.008	0.010	0.014	0.003	0.003	0.015
Total																			
∑ Co-PCBs	0.882	1.887	1.489	0.683	1.648	0.589	2.471	1.545	1.803	1.176	1.576	1.055	1.682	2.090	3.063	4.739	1.545	0.727	1.247
∑ TEQ (Co-PCBs)	0.001	0.001	0.001	0.001	0.002	0.000	0.001	0.001	0.001	0.001	0.002	0.001	0.002	0.002	0.003	0.003	0.001	0.001	0.001

Station Name	Burnt Island								Simcoe								
Sampling Period	1	2	3	4	5	7	8	1	2	3	4	5	8	9	10	11	12
Sampling Date	1/5/06	1/29/06	3/18/06	4/11/06	5/5/06	9/26/06	10/20/06	1/5/06	3/18/06	4/11/06	6/22/06	7/16/06	9/26/06	10/20/06	11/13/06	12/7/06	12/31/06
Sampling Volume (m3)	756	788	654	641	711	846	887	839	871	739	947	1006	895	1080	1195	1131	1079
PCB Congeners																	
PCB-81	<0.015	<0.008	<0.010	<0.008	<0.007	<0.010	<0.006	0.007	<0.006	0.009	0.007	0.007	<0.007	0.005	0.008	<0.005	0.058
PCB-77	0.045	0.071	0.300	0.071	0.030	0.027	0.039	0.074	0.040	0.104	0.131	0.135	0.043	0.119	0.121	0.030	0.178
PCB-123	0.046	0.066	0.046	0.093	0.045	0.040	0.035	0.091	0.039	0.128	0.201	0.212	0.064	0.095	0.130	0.036	0.088
PCB-118	0.357	0.593	0.395	0.659	0.361	0.356	0.311	0.671	0.308	1.095	1.515	1.631	0.457	0.899	1.160	0.290	0.502
PCB-114	0.014	0.021	0.015	0.024	0.012	0.010	0.011	0.023	0.012	0.037	0.039	0.044	0.014	0.023	0.027	0.009	0.039
PCB-105	0.158	0.238	0.194	0.269	0.144	0.131	0.116	0.271	0.139	0.419	0.585	0.624	0.173	0.287	0.412	0.113	0.226
PCB-126	0.003	0.003	0.002	0.006	0.002	0.002	0.003	0.007	0.003	0.008	0.009	0.010	0.004	0.008	0.010	0.001	0.088
PCB-167	0.010	0.017	0.013	0.020	0.010	0.009	0.010	0.021	0.010	0.028	0.047	0.043	0.012	0.027	0.035	0.012	0.031
PCB-156	0.020	0.033	0.038	0.041	0.023	0.023	0.022	0.042	0.022	0.056	0.083	0.081	0.026	0.048	0.067	0.030	0.077
PCB-157	0.006	0.007	0.007	0.009	0.006	0.004	0.004	0.010	0.005	0.011	0.017	0.015	0.004	0.007	0.013	0.004	0.030
PCB-169	0.002	0.002	0.002	0.002	0.002	0.001	0.001	0.003	0.001	0.002	0.004	0.002	0.002	0.001	0.003	0.002	0.029
PCB-189	0.004	0.003	0.006	0.006	0.004	0.002	0.002	0.006	0.004	0.008	0.007	0.007	0.003	0.002	0.006	0.003	0.033
Total																	
∑ Co-PCBs	0.664	1.054	1.019	1.200	0.637	0.606	0.555	1.225	0.582	1.903	2.645	2.810	0.801	1.521	1.992	0.529	1.379
∑ TEQ (Co-PCBs)	0.000	0.000	0.000	0.001	0.000	0.000	0.000	0.001	0.000	0.001	0.001	0.001	0.001	0.001	0.001	0.000	0.009

Cuadro A61. Concentraciones atmosféricas de BPC-Co (pg m⁻³) en sitios rurales de la NAPS en 2007

Station Name	Egbert										Point Petre					
Sampling Period	1	2	3	4	5	1	2	3	4	5	6	7	8	9	10	
Sampling Date	5/24/07	6/17/07	7/11/07	8/4/07	8/28/07	4/30/07	6/17/07	7/11/07	8/4/07	8/28/07	9/21/07	10/15/07	11/8/07	12/2/07	12/26/07	
Sampling Volume (m3)	706	682	750	793	819	709	567	721	711	652	668	759	728	842	836	
PCB Congeners																
PCB-81	0.010	<0.009	<0.006	<0.007	0.007	<0.008	0.017	0.011	0.006	0.011	0.016	0.009	<0.004	0.005	0.004	
PCB-77	0.111	0.051	0.045	0.033	0.107	0.073	0.169	0.182	0.097	0.111	0.148	0.069	0.030	0.049	0.058	
PCB-123	0.185	0.078	0.082	0.044	0.139	0.129	0.258	0.294	0.141	0.164	0.237	0.089	0.062	0.068	0.076	
PCB-118	1.340	0.532	0.623	0.357	1.136	0.695	1.454	1.877	0.800	1.109	1.517	0.542	0.361	0.444	0.549	
PCB-114	0.041	0.013	0.008	0.010	0.013	0.012	0.039	0.032	0.016	0.023	0.039	0.016	0.011	0.013	0.016	
PCB-105	0.545	0.202	0.252	0.156	0.447	0.247	0.500	0.716	0.140	0.265	0.550	0.195	0.142	0.173	0.216	
PCB-126	0.011	0.005	0.003	0.003	0.005	0.008	0.021	0.019	0.015	0.011	0.018	0.010	0.007	0.006	0.008	
PCB-167	0.045	0.016	0.017	0.013	0.026	0.020	0.045	0.055	0.030	0.031	0.039	0.015	0.014	0.013	0.016	
PCB-156	0.102	0.034	0.026	0.028	0.036	0.035	0.079	0.095	0.033	0.048	0.074	0.027	0.028	0.027	0.033	
PCB-157	0.021	0.008	0.008	0.005	0.011	0.008	0.019	0.016	0.009	0.011	0.012	0.004	0.005	0.006	0.005	
PCB-169	0.004	0.003	0.003	0.003	0.006	0.002	0.005	0.006	0.002	0.010	0.016	0.004	0.006	0.006	0.006	
PCB-189	0.009	0.004	0.004	0.004	0.003	0.003	0.011	0.005	0.003	0.004	0.005	0.003	0.004	0.003	0.003	
Total																
∑ Co-PCBs	2.423	0.944	1.071	0.655	1.936	1.229	2.616	3.307	1.291	1.797	2.671	0.981	0.670	0.812	0.991	
∑ TEQ (Co-PCBs)	0.001	0.001	0.000	0.000	0.001	0.001	0.002	0.002	0.002	0.001	0.002	0.001	0.001	0.001	0.001	

Station Name	Burnt Island										Simcoe											
Sampling Period	1	2	3	4	5	6	7	8	9	10	1	2	3	4	5	6	7	8	9	10	11	12
Sampling Date	1/24/07	5/24/07	6/17/07	7/11/07	8/4/07	8/28/07	9/21/07	10/15/07	11/8/07	12/2/07	1/24/07	3/13/07	4/6/07	4/30/07	5/24/07	6/17/07	7/11/07	8/4/07	8/28/07	9/21/07	10/15/07	12/26/07
Sampling Volume (m3)	1001	904	758	765	787	855	845	884	989	871	1054	868	1001	1069	937	749	946	860	804	858	1009	1117
PCB Congeners																						
PCB-81	<0.005	<0.007	<0.009	<0.006	<0.007	0.010	0.004	<0.003	<0.003	<0.003	<0.005	0.010	<0.005	<0.006	0.008	0.026	0.005	0.007	0.043	0.018	0.005	0.004
PCB-77	0.070	0.066	0.045	0.042	0.032	0.092	0.079	0.031	0.034	0.019	0.038	0.106	0.020	0.047	0.116	0.160	0.100	0.127	0.162	0.207	0.062	0.050
PCB-123	0.082	0.123	0.075	0.074	0.046	0.152	0.128	0.038	0.089	0.025	0.053	0.144	0.036	0.061	0.171	0.234	0.151	0.299	0.271	0.336	0.119	0.089
PCB-118	0.816	0.766	0.458	0.423	0.332	0.941	0.828	0.297	0.570	0.187	0.451	1.148	0.328	0.449	1.251	1.676	1.108	2.851	1.895	2.795	0.990	0.738
PCB-114	0.018	0.020	0.010	0.010	0.007	0.015	0.024	0.009	0.013	0.007	0.012	0.030	0.008	0.012	0.029	0.065	0.023	0.034	0.068	0.079	0.026	0.021
PCB-105	0.419	0.304	0.181	0.186	0.150	0.390	0.330	0.115	0.237	0.078	0.185	0.454	0.137	0.180	0.487	0.629	0.462	1.025	0.769	1.074	0.375	0.280
PCB-126	0.011	0.005	0.005	0.004	0.004	0.011	0.004	0.002	0.004	0.002	0.006	0.011	0.002	0.004	0.010	0.031	0.006	0.008	0.047	0.023	0.004	0.006
PCB-167	0.075	0.023	0.010	0.015	0.014	0.028	0.019	0.006	0.020	0.006	0.018	0.035	0.008	0.013	0.036	0.074	0.036	0.061	0.081	0.057	0.019	0.017
PCB-156	0.211	0.045	0.029	0.036	0.028	0.049	0.045	0.016	0.051	0.015	0.044	0.075	0.022	0.028	0.071	0.098	0.066	0.103	0.118	0.144	0.047	0.044
PCB-157	0.032	0.009	0.007	0.006	0.005	0.013	0.007	0.003	0.009	0.003	0.011	0.015	0.004	0.005	0.014	0.039	0.013	0.022	0.057	0.025	0.008	0.008
PCB-169	0.007	0.003	0.002	0.003	0.002	0.017	0.009	0.003	0.006	0.003	0.002	0.003	0.001	0.001	0.004	0.018	0.004	0.004	0.020	0.027	0.006	0.007
PCB-189	0.035	0.005	0.004	0.004	0.003	0.009	0.003	0.002	0.003	0.002	0.004	0.007	0.002	0.003	0.004	0.030	0.004	0.004	0.039	0.011	0.003	0.004
Total																						
∑ Co-PCBs	1.775	1.368	0.826	0.802	0.623	1.726	1.480	0.522	1.036	0.346	0.823	2.039	0.567	0.803	2.200	3.079	1.973	4.543	3.570	4.795	1.663	1.267
∑ TEQ (Co-PCBs)	0.001	0.001	0.001	0.000	0.000	0.001	0.001	0.000	0.001	0.000	0.001	0.001	0.000	0.001	0.001	0.004	0.001	0.001	0.005	0.003	0.001	0.001

Cuadro A62. Concentraciones atmosféricas de BPC-Co (pg m⁻³) en sitios rurales de la NAPS en 2008

Station Name	Egbert										Burnt Island							
Sampling Period	1	2	3	4	5	6	7	8	9	10	1	2	3	4	5	6	7	8
Sampling Date	1/19/08	4/24/08	5/18/08	6/11/08	7/5/08	7/29/08	8/22/08	9/15/08	11/2/08	11/26/08	3/7/08	3/31/08	6/11/08	7/5/08	8/22/08	9/15/08	11/26/08	12/20/08
Sampling Volume (m3)	747	722	734	740	708	787	814	635	879	608	1057	911	883	772	768	976	745	907
PCB Congeners																		
PCB-81	<0.005	0.018	0.004	0.007	0.006	0.007	0.016	0.005	0.004	0.005	0.003	0.003	0.007	0.013	0.009	0.003	0.007	0.004
PCB-77	0.060	0.094	0.060	0.089	0.087	0.105	0.150	0.057	0.052	0.056	0.025	0.045	0.105	0.226	0.176	0.042	0.127	0.040
PCB-123	0.061	0.095	0.047	0.086	0.067	0.105	0.181	0.052	0.048	0.065	0.024	0.048	0.067	0.114	0.159	0.029	0.051	0.033
PCB-118	0.520	0.640	0.401	0.635	0.548	0.892	1.503	0.445	0.404	0.532	0.197	0.347	0.470	0.802	1.126	0.227	0.415	0.259
PCB-114	0.017	0.033	0.014	0.019	0.019	0.026	0.044	0.013	0.014	0.018	0.006	0.010	0.017	0.031	0.036	0.007	0.014	0.009
PCB-105	0.227	0.275	0.174	0.265	0.251	0.353	0.582	0.195	0.185	0.225	0.081	0.134	0.230	0.390	0.513	0.110	0.194	0.109
PCB-126	0.004	0.017	0.004	0.004	0.004	0.006	0.009	0.003	0.005	0.004	0.003	0.004	0.003	0.005	0.007	0.001	0.002	0.002
PCB-167	0.011	0.030	0.011	0.017	0.012	0.022	0.033	0.012	0.011	0.014	0.008	0.009	0.011	0.015	0.028	0.005	0.009	0.008
PCB-156	0.030	0.083	0.024	0.041	0.029	0.048	0.072	0.029	0.030	0.037	0.020	0.021	0.023	0.031	0.065	0.013	0.021	0.020
PCB-157	0.005	0.021	0.005	0.008	0.006	0.009	0.013	0.005	0.007	0.007	0.004	0.004	0.005	0.007	0.012	0.002	0.004	0.003
PCB-169	0.005	0.005	0.002	<0.001	<0.001	0.001	<0.001	<0.001	0.003	0.003	<0.001	<0.001	<0.001	0.001	<0.001	<0.001	0.001	0.002
PCB-189	0.003	0.016	0.003	0.003	0.003	0.004	0.005	0.002	0.004	0.003	0.003	0.003	0.002	0.001	0.004	0.001	0.002	0.002
Total																		
∑ Co-PCBs	0.941	1.327	0.748	1.174	1.031	1.576	2.608	0.818	0.765	0.968	0.372	0.627	0.938	1.636	2.134	0.441	0.847	0.491
∑ TEQ (Co-PCBs)	0.001	0.002	0.000	0.001	0.001	0.001	0.001	0.000	0.001	0.000	0.000	0.000	0.000	0.001	0.001	0.000	0.000	0.000

Station Name	Point Petre												Simcoe		
Sampling Period	1	2	3	4	5	6	7	8	9	10	11	12	1	2	3
Sampling Date	1/19/08	3/7/08	3/31/08	4/24/08	5/18/08	6/11/08	7/5/08	8/22/08	9/15/08	10/9/08	11/2/08	12/20/08	1/19/08	3/7/08	10/9/08
Sampling Volume (m3)	978	691	839	769	722	774	679	604	693	747	859	657	1168	972	977
PCB Congeners															
PCB-81	0.004	0.007	0.026	0.227	0.010	0.005	0.010	0.013	0.007	0.007	<0.003	<0.054	<0.002	<0.002	0.006
PCB-77	0.044	0.044	0.105	0.292	0.074	0.123	0.113	0.147	0.072	0.126	0.042	0.073	0.028	0.038	0.071
PCB-123	0.048	0.053	0.144	0.318	0.114	0.183	0.144	0.193	0.099	0.174	0.052	0.124	0.038	0.048	0.115
PCB-118	0.308	0.367	0.935	0.729	0.654	1.042	0.859	1.322	0.579	1.068	0.338	0.981	0.305	0.442	0.792
PCB-114	0.009	0.011	0.037	0.244	0.018	0.029	0.025	0.036	0.016	0.027	0.010	0.035	0.009	0.012	0.023
PCB-105	0.113	0.137	0.431	0.397	0.230	0.390	0.295	0.462	0.215	0.403	0.130	0.388	0.124	0.162	0.318
PCB-126	0.004	0.007	0.027	0.219	0.009	0.012	0.013	0.018	0.012	0.012	0.008	0.019	0.002	0.003	0.005
PCB-167	0.009	0.011	0.063	0.230	0.019	0.026	0.023	0.035	0.018	0.027	0.013	0.043	0.009	0.011	0.021
PCB-156	0.016	0.024	0.162	0.239	0.033	0.047	0.037	0.064	0.028	0.054	0.023	0.106	0.023	0.030	0.045
PCB-157	0.003	0.003	0.033	0.215	0.007	0.009	0.008	0.012	0.006	0.010	0.005	0.019	0.005	0.005	0.008
PCB-169	0.003	0.002	0.004	0.212	0.002	<0.001	0.002	<0.002	<0.001	0.002	0.002	<0.017	0.004	0.004	0.001
PCB-189	0.002	0.002	0.038	0.216	0.004	0.003	0.002	0.005	0.002	0.003	0.002	0.018	0.002	0.002	0.003
Total															
∑ Co-PCBs	0.562	0.667	2.006	3.536	1.173	1.871	1.532	2.308	1.054	1.914	0.626	1.804	0.548	0.756	1.407
∑ TEQ (Co-PCBs)	0.001	0.001	0.003	0.025	0.001	0.001	0.002	0.002	0.001	0.001	0.001	0.002	0.000	0.000	0.001

Cuadro A63. Concentraciones atmosféricas de BPC-Co (pg m⁻³) en sitios rurales de la NAPS en 2009

Station Name	Egbert										Burnt Island									
Sampling Period	1	2	3	4	5	6	7	8	9	10	1	2	3	4	5	6	7	8	9	10
Sampling Date	2/6/09	3/2/09	3/26/09	4/19/09	7/24/09	8/17/09	9/10/09	10/4/09	10/28/09	11/21/09	1/13/09	2/6/09	3/2/09	4/19/09	5/13/09	6/6/09	8/17/09	9/10/09	10/28/09	11/21/09
Sampling Volume (m3)	534	606	642	730	481	466	609	718	666	568	877	810	817	1063	762	1049	619	735	451	674
PCB Congeners																				
PCB-81	0.026	0.033	0.022	0.005	0.008	0.022	0.008	0.005	0.010	0.012	<0.003	0.005	<0.004	0.004	0.015	0.008	0.007	<0.004	<0.012	<0.008
PCB-77	0.402	0.556	0.312	0.049	0.113	0.284	0.115	0.083	0.127	0.087	0.034	0.059	0.047	0.043	0.091	0.044	0.150	0.090	0.091	0.066
PCB-123	0.535	0.970	0.394	0.042	0.107	0.249	0.101	0.075	0.088	0.073	0.029	0.048	0.043	0.030	0.104	0.044	0.152	0.101	0.105	0.068
PCB-118	4.714	8.600	3.275	0.344	0.861	1.946	0.829	0.561	0.734	0.606	0.229	0.365	0.468	0.231	0.699	0.280	1.093	0.766	0.854	0.534
PCB-114	0.139	0.227	0.083	0.011	0.026	0.063	0.025	0.017	0.020	0.022	0.008	0.012	0.010	0.009	0.031	0.013	0.029	0.021	0.028	0.018
PCB-105	1.641	3.278	1.159	0.144	0.345	0.783	0.346	0.233	0.317	0.266	0.100	0.158	0.242	0.095	0.275	0.114	0.433	0.310	0.333	0.216
PCB-126	0.013	0.019	0.013	0.006	0.005	0.012	0.004	0.004	0.005	0.009	0.002	0.004	0.004	0.003	0.013	0.006	0.007	0.003	0.010	0.005
PCB-167	0.062	0.138	0.054	0.008	0.019	0.035	0.015	0.011	0.013	0.013	0.008	0.010	0.080	0.006	0.026	0.010	0.021	0.013	0.020	0.011
PCB-156	0.152	0.352	0.129	0.019	0.042	0.085	0.038	0.030	0.045	0.040	0.020	0.024	0.244	0.013	0.051	0.019	0.047	0.033	0.039	0.023
PCB-157	0.027	0.055	0.023	0.005	0.007	0.015	0.006	0.004	0.009	0.008	0.004	0.005	0.016	0.004	0.017	0.008	0.007	0.005	0.010	0.006
PCB-169	0.005	0.008	0.006	0.002	<0.002	<0.003	<0.002	<0.001	<0.002	0.002	<0.001	0.002	0.009	<0.001	0.008	0.003	0.002	<0.001	0.006	<0.003
PCB-189	0.009	0.009	0.009	0.004	0.003	0.005	0.003	0.003	0.004	0.008	0.002	0.003	0.047	0.003	0.016	0.008	0.003	0.002	0.007	0.004
Total																				
∑ Co-PCBs	7.724	14.243	5.478	0.638	1.536	3.499	1.490	1.025	1.371	1.145	0.435	0.693	1.210	0.441	1.348	0.556	1.950	1.345	1.501	0.949
∑ TEQ (Co-PCBs)	0.002	0.004	0.002	0.001	0.001	0.002	0.001	0.000	0.001	0.001	0.000	0.000	0.001	0.000	0.002	0.001	0.001	0.000	0.001	0.001

Station Name	Point Petre										Simcoe									
Sampling Period	1	2	3	4	5	6	7	8	9	10	11	12	1	2	3	4	5	6	7	
Sampling Date	1/13/09	2/6/09	3/2/09	3/26/09	4/19/09	5/13/09	6/6/09	7/24/09	8/17/09	9/10/09	10/28/09	11/21/09	7/24/09	8/17/09	9/10/09	10/4/09	10/28/09	11/21/09	12/15/09	
Sampling Volume (m3)	656	699	748	820	788	778	588	563	671	620	681	556	979	977	750	739	502	676	529	
PCB Congeners																				
PCB-81	0.004	0.006	<0.004	<0.019	<0.004	0.013	0.022	0.016	0.034	<0.006	0.010	0.010	0.007	0.005	0.009	0.007	0.015	0.008	0.006	
PCB-77	0.060	0.068	0.026	0.171	0.045	0.089	0.130	0.168	0.259	0.156	0.086	0.078	0.096	0.069	0.290	0.060	0.139	0.065	0.039	
PCB-123	0.081	0.096	0.026	0.220	0.054	0.107	0.150	0.221	0.398	0.200	0.122	0.103	0.143	0.106	0.597	0.083	0.263	0.083	0.056	
PCB-118	0.575	0.753	0.188	1.521	0.363	0.618	0.868	1.426	2.777	1.554	0.789	0.704	1.176	0.774	5.905	0.711	2.363	0.693	0.437	
PCB-114	0.016	0.022	0.007	0.046	0.012	0.026	0.040	0.035	0.066	0.034	0.023	0.018	0.031	0.019	0.147	0.017	0.064	0.020	0.012	
PCB-105	0.220	0.284	0.080	0.567	0.131	0.224	0.315	0.506	0.966	0.580	0.299	0.266	0.451	0.302	2.083	0.290	0.891	0.286	0.179	
PCB-126	0.007	0.009	0.004	0.023	0.011	0.022	0.031	0.019	0.028	0.022	0.012	0.011	0.006	0.005	0.013	0.005	0.010	0.006	0.006	
PCB-167	0.015	0.022	0.006	0.046	0.014	0.030	0.041	0.033	0.062	0.035	0.020	0.019	0.026	0.018	0.098	0.016	0.048	0.019	0.014	
PCB-156	0.031	0.051	0.013	0.098	0.024	0.044	0.062	0.059	0.112	0.075	0.048	0.047	0.064	0.041	0.238	0.040	0.113	0.047	0.034	
PCB-157	0.006	0.011	0.003	0.021	0.008	0.019	0.028	0.010	0.019	0.011	0.008	0.007	0.009	0.006	0.033	0.007	0.020	0.008	0.006	
PCB-169	0.002	0.003	<0.001	0.008	0.005	0.015	0.023	0.002	0.003	0.003	<0.002	<0.002	0.002	<0.001	0.003	<0.002	0.003	<0.002	<0.002	
PCB-189	0.003	0.005	0.002	0.014	0.007	0.020	0.027	0.005	0.006	0.005	0.004	0.004	0.004	0.003	0.009	0.004	0.006	0.004	0.005	
Total																				
∑ Co-PCBs	1.021	1.331	0.354	2.734	0.673	1.226	1.739	2.499	4.730	2.674	1.421	1.267	2.016	1.347	9.425	1.240	3.935	1.239	0.793	
∑ TEQ (Co-PCBs)	0.001	0.001	0.000	0.003	0.001	0.003	0.004	0.002	0.003	0.003	0.001	0.001	0.001	0.001	0.002	0.001	0.002	0.001	0.001	

Cuadro A64. Concentraciones atmosféricas de BPC-Co ($\mu\text{g m}^{-3}$) en sitios suburbanos de la NAPS en 2009

Station Name	Montreal
Sampling Period	1
Sampling Date	12/15/09
Sampling Volume (m3)	670
PCB Congeners	
PCB-81	0.006
PCB-77	0.082
PCB-123	0.085
PCB-118	0.615
PCB-114	0.019
PCB-105	0.261
PCB-126	0.008
PCB-167	0.026
PCB-156	0.067
PCB-157	0.012
PCB-169	0.002
PCB-189	0.011
Total	
Σ Co-PCBs	1.193
Σ TEQ (Co-PCBs)	0.001

Cuadro A65. Concentraciones atmosféricas de BPC-Co ($\mu\text{g m}^{-3}$) en sitios urbanos de la NAPS en 2005

Station Name	Toronto (Judson)				Hamilton (Elgin)								Toronto (Gage Inst.)											
Sampling Period	1	2	1	2	3	4	5	6	7	8	9	10	11	1	2	3	4	5	6	7	8	9	11	12
Sampling Date	1/10/05	2/3/05	1/10/05	3/23/05	4/16/05	5/10/05	6/3/05	6/27/05	7/21/05	8/14/05	10/1/05	11/18/05	12/12/05	1/10/05	2/3/05	3/23/05	4/16/05	5/10/05	6/3/05	6/27/05	8/14/05	9/7/05	11/18/05	12/12/05
Sampling Volume (m3)	807	798	928	745	572	855	843	817	849	859	803	897	893	753	744	750	768	673	700	694	702	570	811	839
PCB Congeners																								
PCB-81	<0.021	<0.056	0.033	0.030	0.047	0.060	0.064	0.149	0.058	0.031	0.020	0.008	0.007	0.056	0.134	0.073	0.027	0.238	0.034	0.168	0.046	0.066	0.016	0.013
PCB-77	0.270	0.314	0.121	0.258	0.791	0.800	0.821	1.911	1.115	0.634	0.419	0.094	0.084	0.211	0.458	0.245	0.375	1.202	0.962	2.263	0.913	1.099	0.227	0.194
PCB-123	0.112	0.308	0.154	0.157	0.869	0.831	0.719	1.727	1.178	1.102	0.778	0.145	0.107	0.275	0.897	0.434	0.689	2.093	1.213	3.192	2.125	2.316	0.317	0.633
PCB-118	1.394	3.190	1.503	2.038	7.321	7.958	6.761	19.782	14.557	9.027	6.993	1.253	0.979	2.605	8.228	4.402	6.587	21.495	14.432	40.446	18.822	21.295	2.913	6.256
PCB-114	0.052	0.124	0.068	0.062	0.363	0.340	0.341	0.659	0.446	0.299	0.260	0.032	0.033	0.111	0.380	0.118	0.272	0.826	0.436	1.169	0.652	0.743	0.085	0.155
PCB-105	0.564	1.357	0.591	1.021	3.210	3.244	3.069	7.934	5.717	3.351	2.558	0.489	0.393	1.082	3.337	1.612	2.334	7.829	5.245	15.079	6.541	7.424	1.100	2.378
PCB-126	0.010	0.059	0.012	0.019	0.044	0.062	0.036	0.096	0.055	0.044	0.032	0.010	0.008	0.015	0.091	0.012	0.024	0.058	0.030	0.148	0.051	0.063	0.014	0.017
PCB-167	0.043	0.119	0.040	0.091	0.259	0.260	0.175	0.499	0.352	0.257	0.215	0.040	0.033	0.084	0.218	0.098	0.155	0.471	0.266	0.818	0.477	0.549	0.089	0.177
PCB-156	0.099	0.206	0.097	0.250	0.645	0.609	0.455	1.094	0.918	0.520	0.452	0.091	0.079	0.194	0.558	0.262	0.336	1.036	0.623	2.255	0.977	1.140	0.216	0.413
PCB-157	0.014	0.041	0.013	0.033	0.074	0.068	0.053	0.156	0.058	0.082	0.066	0.016	0.014	0.027	0.053	0.024	0.042	0.130	0.121	0.251	0.136	0.164	0.030	0.061
PCB-169	0.004	0.019	0.005	0.021	0.036	0.043	0.038	0.063	0.047	0.026	0.020	0.002	0.006	0.012	0.033	0.011	0.023	0.037	0.024	0.089	0.035	0.058	0.005	0.014
PCB-189	0.015	0.035	0.013	0.073	0.050	0.050	0.064	0.149	0.096	0.017	0.023	0.008	0.009	0.027	0.070	0.015	0.016	0.032	0.053	0.161	0.029	0.050	0.023	0.026
Total																								
Σ Co-PCBs	2.578	5.772	2.649	4.050	13.709	14.325	12.598	34.220	24.596	15.390	11.836	2.187	1.752	4.698	14.456	7.306	10.880	35.446	23.438	66.040	30.802	34.966	5.035	10.336
Σ TEQ (Co-PCBs)	0.001	0.007	0.002	0.003	0.007	0.008	0.006	0.014	0.009	0.007	0.005	0.001	0.001	0.002	0.011	0.002	0.004	0.010	0.006	0.024	0.009	0.011	0.002	0.003

Cuadro A66. Concentraciones atmosféricas de BPC-Co ($\mu\text{g m}^{-3}$) en sitios urbanos de la NAPS en 2006

Station Name	Toronto (Judson)					Windsor (College)		Hamilton (Elgin)											Toronto (Gage Inst.)									
Sampling Period	1	2	3	4	5	1	2	1	2	3	4	5	6	7	8	9	10	11	1	2	3	4	5	6	7	8	9	10
Sampling Date	7/16/06	9/26/06	10/20/06	11/13/06	12/7/06	9/2/06	1/5/06	1/29/06	3/18/06	4/11/06	6/22/06	7/16/06	9/26/06	10/20/06	11/13/06	12/7/06	12/31/06	1/29/06	3/18/06	4/11/06	5/5/06	5/29/06	6/22/06	7/16/06	9/26/06	10/20/06	11/13/06	
Sampling Volume (m3)	910	981	1145	1101	1174	866	1050	871	837	751	800	850	770	1013	1131	1211	949	684	626	933	610	589	647	669	770	815	923	
PCB Congeners																												
PCB-81	0.051	0.022	0.014	0.008	0.005	0.023	0.011	0.020	<0.006	0.040	0.034	0.054	0.016	0.011	0.009	0.006	0.011	0.036	0.016	0.025	0.031	0.073	0.048	0.079	0.025	0.022	0.016	
PCB-77	2.241	1.479	0.207	0.221	0.079	0.405	0.159	0.268	0.070	0.653	0.751	1.084	0.274	0.235	0.145	0.077	0.128	0.582	0.258	0.411	0.434	1.332	0.871	1.269	0.428	0.481	0.247	
PCB-123	1.193	0.387	0.168	0.165	0.066	0.779	0.213	0.379	0.123	0.857	1.230	1.752	0.498	0.231	0.191	0.099	0.190	1.090	0.416	0.924	0.873	2.604	1.642	2.361	0.748	0.899	0.412	
PCB-118	10.136	3.117	1.611	1.453	0.590	7.183	1.880	3.236	1.134	7.739	10.899	16.069	4.418	2.231	1.565	0.865	1.561	10.210	4.116	8.790	9.678	22.868	15.267	22.305	6.757	8.114	3.971	
PCB-114	0.280	0.127	0.044	0.035	0.015	0.196	0.058	0.098	0.031	0.246	0.254	0.392	0.109	0.060	0.041	0.030	0.041	0.297	0.113	0.258	0.222	0.660	0.372	0.525	0.203	0.217	0.113	
PCB-105	3.607	1.205	0.593	0.556	0.249	2.551	0.769	1.263	0.416	3.204	4.183	5.959	1.631	0.756	0.625	0.359	0.591	3.819	1.589	3.118	3.462	8.215	5.531	7.904	2.375	2.919	1.425	
PCB-126	0.063	0.024	0.014	0.020	0.008	0.029	0.010	0.028	0.006	0.044	0.056	0.080	0.023	0.015	0.012	0.008	0.013	0.028	0.016	0.023	0.034	0.066	0.054	0.075	0.025	0.031	0.013	
PCB-167	0.245	0.081	0.047	0.047	0.024	0.156	0.072	0.097	0.028	0.323	0.349	0.463	0.145	0.063	0.057	0.028	0.046	0.226	0.139	0.220	0.306	0.523	0.456	0.621	0.144	0.230	0.099	
PCB-156	0.452	0.176	0.100	0.094	0.064	0.317	0.176	0.210	0.064	0.831	0.694	0.900	0.319	0.116	0.129	0.069	0.110	0.490	0.334	0.502	0.709	1.158	0.918	1.272	0.313	0.496	0.221	
PCB-157	0.082	0.028	0.016	0.017	0.010	0.062	0.026	0.038	0.013	0.119	0.117	0.137	0.046	0.021	0.022	0.013	0.020	0.081	0.038	0.079	0.103	0.175	0.122	0.160	0.042	0.063	0.032	
PCB-169	0.006	0.005	0.003	0.007	0.003	0.003	0.012	0.007	0.001	0.023	0.010	0.012	0.007	0.001	0.002	0.003	0.004	0.015	0.013	0.007	0.027	0.026	0.017	0.016	0.009	0.009	0.004	
PCB-189	0.017	0.011	0.006	0.008	0.005	0.013	0.018	0.019	0.006	0.077	0.031	0.037	0.035	0.005	0.011	0.006	0.014	0.021	0.025	0.023	0.056	0.038	0.050	0.053	0.014	0.020	0.012	
Total																												
Σ Co-PCBs	18.371	6.661	2.821	2.631	1.116	11.717	3.402	5.663	1.892	14.155	18.608	26.940	7.521	3.745	2.808	1.563	2.729	16.892	7.073	14.378	15.934	37.737	25.347	36.639	11.082	13.501	6.562	
Σ TEQ (Co-PCBs)	0.009	0.003	0.002	0.002	0.001	0.004	0.002	0.004	0.001	0.006	0.008	0.011	0.003	0.002	0.002	0.001	0.002	0.005	0.003	0.004	0.006	0.011	0.009	0.012	0.004	0.005	0.002	

6.2.2 NDAMN

La base de datos oficial de la NDAMN está actualmente en preparación y estará a disposición del público en un futuro cercano. Un resumen de los datos puede encontrarse en Cleverly *et al.* (2007) y Lorber *et al.* (2011, 2013a).

6.2.3 RMMDFAA

Los datos de la RMMDFAA se obtuvieron a partir de Cárdenas *et al.* (en preparación)

Cuadro A70. Concentraciones atmosféricas de DDPC/DFPC (pg m^{-3}) en sitios remotos de la RMMDFAA en 2008

Station Name	San Pedro Mártir				Perote			
Sampling Period	1	2	3	4	1	2	3	4
Sampling Date	3/5/08	5/28/08	8/20/08	11/19/08	3/7/08	5/28/08	8/20/08	11/19/08
Sampling Volume (m3)	8361	7161	6961	6759	6856	3426	6109	5982
PCDD/F Congeners								
2,3,7,8-TCDD	<0.0167	<0.0912	<0.109	<0.035	0.137	<0.0874	0.123	0.0779
1,2,3,7,8-PeCDD	<0.0598	<0.227	<0.0517	<0.112	0.708	0.23	0.339	0.372
1,2,3,4,7,8-HxCDD	0.0847	0.0767	<0.178	<0.089	QA failure	0.221	0.269	0.432
1,2,3,6,7,8-HxCDD	0.136	0.18	0.145	0.13	QA failure	0.527	0.542	0.687
1,2,3,7,8,9-HxCDD	0.138	<0.0537	0.12	0.111	QA failure	0.385	0.479	0.642
1,2,3,4,6,7,8-HpCDD	1.85	<1.21	<1.36	0.709	10	3.69	<28.3	6.49
OCDD	11	<11.1	<10.6	<2.983	42.5	12.8	<126	21.2
2,3,7,8-TCDF	0.185	0.282	0.283	0.204	2.04	0.741	1	2.05
1,2,3,7,8-PeCDF	0.256	0.396	0.282	0.308	2.07	0.662	1.46	1.61
2,3,4,7,8-PeCDF	0.286	0.462	0.322	0.326	2.91	0.972	1.9	2.43
1,2,3,4,7,8-HxCDF	0.322	0.52	0.37	0.492	2.97	0.883	1.63	2.13
1,2,3,6,7,8-HxCDF	0.336	0.56	0.401	0.465	2.94	0.84	1.83	2.22
2,3,4,6,7,8-HxCDF	0.387	0.66	0.399	0.312	3.71	1.12	2.22	2.19
1,2,3,7,8,9-HxCDF	<0.12	0.0946	<1.1	<0.104	0.453	0.121	0.334	0.243
1,2,3,4,6,7,8-HpCDF	1.41	2.73	1.76	1.22	11.4	3.09	<29	7.86
1,2,3,4,7,8,9-HpCDF	0.198	0.312	0.235	0.211	1.46	0.332	0.822	1.14
OCDF	1.22	2.18	1.87	0.623	7.39	1.5	<13.1	5.76
PCDD/F Homologues								
TCDDs	0.679	0.732	0.421	0.437	0.137	19	17.3	6.61
PeCDDs	0.182	<0.227	0.313	0.671	0.708	16.4	13.9	8.57
HxCDDs	1.9	1.71	1.95	1.3	QA failure	13.2	11.03	12
HpCDDs	3.86	4.64	4.65	1.66	28.9	8.93	<65	15.6
OCDD	11	<11.1	<10.6	<2.983	42.5	12.8	<126	21.2
TCDFs	10.8	19.1	14.8	9.25	26.7	40.1	73.6	69.3
PeCDFs	5.5	11.5	8.55	5.87	45.3	18.7	37.9	38.1
HxCDFs	3.38	6.86	5.39	4.02	31.4	8.63	20.5	23.2
HpCDFs	2.53	5.28	3.53	2.08	18.8	5.13	<50.7	13.4
OCDF	1.22	2.18	1.87	0.623	7.39	1.5	<13.1	5.76
Total								
Σ PCDDs	17.621	7.082	7.334	4.068	72.245	70.330	42.230	63.980
Σ PCDFs	12.630	25.820	19.340	12.593	102.890	33.960	58.400	80.460
Σ PCDD/Fs	30.251	32.902	26.674	16.661	175.135	104.290	100.630	144.440
Σ TEQ (PCDD/Fs)	0.379	0.758	0.603	0.467	NA	1.188	2.529	2.45

Cuadro A71. Concentraciones atmosféricas de DDPC/DFPC (pg m^{-3}) en sitios remotos de la RMMDFAA en 2009

Station Name	San Pedro Mártir				Perote			
	1	2	3	4	1	2	3	4
Sampling Period								
Sampling Date	2/18/09	6/10/09	8/12/09		2/11/09	6/10/09	8/12/09	11/24/09
Sampling Volume (m3)	7175	6753	7031		5729	5869	6106	5793
PCDD/F Congeners								
2,3,7,8-TCDD	<0.0298	<0.0187	<0.072		0.0325	<0.197	<0.0409	0.0397
1,2,3,7,8-PeCDD	0.0482	0.074	0.1172		0.298	<0.539	<0.11	0.181
1,2,3,4,7,8-HxCDD	0.0532	0.0601	0.1053		0.351	<0.295	0.0786	0.197
1,2,3,6,7,8-HxCDD	0.0772	0.132	0.181		0.488	<0.307	0.1	0.317
1,2,3,7,8,9-HxCDD	0.092	0.131	0.193		0.574	<0.368	0.12	0.321
1,2,3,4,6,7,8-HpCDD	0.903	1.49	1.59		5.58	QA failure	0.954	3.431
OCDD	3.38	8.22	5.28		29.9	QA failure	2.38	10.9
2,3,7,8-TCDF	0.217	0.309	0.328		1.05	QA failure	0.379	0.89
1,2,3,7,8-PeCDF	0.237	0.318	0.383		1.11	QA failure	0.338	0.822
2,3,4,7,8-PeCDF	0.207	0.398	0.398		1.29	QA failure	0.336	1.09
1,2,3,4,7,8-HxCDF	0.222	0.443	0.493		1.76	QA failure	0.301	1.19
1,2,3,6,7,8-HxCDF	0.227	0.458	0.557		1.52	QA failure	0.272	1.19
2,3,4,6,7,8-HxCDF	0.202	0.393	0.526		1.54	QA failure	0.302	1.17
1,2,3,7,8,9-HxCDF	<0.0976	<0.118	<0.0996		0.176	<0.681	<0.229	0.131
1,2,3,4,6,7,8-HpCDF	0.871	1.81	2		7.35	QA failure	0.752	4.48
1,2,3,4,7,8,9-HpCDF	0.124	0.267	0.357		1.05	<0.213	0.0966	0.643
OCDF	1.9	1.45	1.65		9.82	QA failure	0.55	3.24
PCDD/F Homologues								
TCDDs	0.524	0.778	0.561		3.83	QA failure	2.85	2.01
PeCDDs	0.623	0.91	1.547		5.55	QA failure	2.04	3.6
HxCDDs	1.21	1.67	2.29		7.83	QA failure	2.04	5.59
HpCDDs	2.25	3.59	3.68		13.1	QA failure	2.3	8.32
OCDD	3.38	8.22	5.28		29.9	QA failure	2.38	10.9
TCDFs	9.61	17.7	20.3		46	QA failure	19	40.8
PeCDFs	4.58	10.4	12.1		26.2	QA failure	8.11	20
HxCDFs	2.86	6.63	8.45		17.2	QA failure	3.62	13.3
HpCDFs	1.75	3.61	4.13		12.6	QA failure	1.64	7.66
OCDF	1.9	1.45	1.65		9.82	QA failure	0.55	3.24
Total								
Σ PCDDs	7.987	15.168	13.358		60.210	0.000	11.610	30.420
Σ PCDFs	20.700	39.790	46.630		111.820	0.000	32.920	85.000
Σ PCDD/Fs	28.687	54.958	59.988		172.030	0.000	44.530	115.420
Σ TEQ (PCDD/Fs)	0.287	0.465	0.61		1.648	NA	0.459	1.203

Cuadro A72. Concentraciones atmosféricas de DDPC/DFPC (pg m^{-3}) en sitios remotos de la RMMDFAA en 2010

Station Name	San Pedro Mártir				Perote			
	1	2	3	4	1	2	3	4
Sampling Period								
Sampling Date	3/30/10	5/24/10	8/10/10	11/8/10	3/23/10	5/25/10	8/10/10	11/9/10
Sampling Volume (m3)	7447	7011	6192	6112	6052	4593	5381	6154
PCDD/F Congeners								
2,3,7,8-TCDD	0.0175	<0.0377	0.0329	0.117	0.0816	0.0662	<0.0178	0.0608
1,2,3,7,8-PeCDD	0.0642	<0.102	0.0927	0.193	0.365	0.191	<0.0446	0.242
1,2,3,4,7,8-HxCDD	0.0553	0.0505	0.0804	0.108	0.446	0.195	<0.0219	0.277
1,2,3,6,7,8-HxCDD	0.105	0.12	0.167	0.162	0.56	0.322	0.0855	0.417
1,2,3,7,8,9-HxCDD	0.0932	0.101	0.125	0.229	0.624	0.313	0.0781	0.468
1,2,3,4,6,7,8-HpCDD	1.05	1.15	1.38	1.523	5.5	3.42	0.618	4.87
OCDD	3.76	4.86	5.37	7.86	23	23.2	2.37	19.5
2,3,7,8-TCDF	0.231	0.202	0.421	0.517	1.18	1.11	0.327	1.21
1,2,3,7,8-PeCDF	0.289	0.239	0.513	0.533	1.22	1.06	0.266	1.2
2,3,4,7,8-PeCDF	0.238	0.226	0.486	0.385	1.37	1.2	0.267	1.46
1,2,3,4,7,8-HxCDF	0.36	0.322	0.562	0.353	1.52	1.32	0.243	1.62
1,2,3,6,7,8-HxCDF	0.385	0.351	0.664	0.361	1.58	1.27	0.247	1.71
2,3,4,6,7,8-HxCDF	0.313	0.293	0.622	0.366	1.58	1.11	0.204	1.73
1,2,3,7,8,9-HxCDF	0.0671	<0.0856	0.069	0.056	0.157	0.142	<0.0558	0.231
1,2,3,4,6,7,8-HpCDF	1.71	1.52	2.62	1.052	6.02	5.1	0.605	6.19
1,2,3,4,7,8,9-HpCDF	0.226	0.195	0.365	0.147	0.857	0.753	0.0907	1.04
OCDF	1.31	1.11	1.86	0.796	4.15	5.5	0.293	4.61
PCDD/F Homologues								
TCDDs	0.342	0.397	1.09	1.59	4.07	4.37	1.57	3.73
PeCDDs	0.376	0.124	1.17	1.68	6.49	4.16	0.905	4.28
HxCDDs	1.03	1.53	2.24	2.14	9.9	5.44	1.3	7.43
HpCDDs	2.22	2.82	3.24	3.048	14.4	8.11	1.54	11.8
OCDD	3.76	4.86	5.37	7.86	23	23.2	2.37	19.5
TCDFs	8.22	9.95	22.7	17.35	61.2	59.6	15.8	63.6
PeCDFs	5.47	5.96	16	8.36	31.5	27.3	7.25	35
HxCDFs	4.38	4.9	9.82	3.59	17.9	14.8	2.92	20.7
HpCDFs	3.01	2.83	5.16	1.81	10.5	8.71	1.13	11.4
OCDF	1.31	1.11	1.86	0.796	4.15	5.5	0.293	4.61
Total								
Σ PCDDs	7.728	9.731	13.110	16.318	57.860	45.280	7.685	46.740
Σ PCDFs	22.390	24.750	55.540	31.906	125.250	115.910	27.393	135.310
Σ PCDD/Fs	30.118	34.481	68.650	48.224	183.110	161.190	35.078	182.050
Σ TEQ (PCDD/Fs)	0.354	0.398	0.604	0.687	1.791	1.329	0.291	1.671

Cuadro A73. Concentraciones atmosféricas de DDPC/DFPC (pg m^{-3}) en sitios remotos de la RMMDFAA en 2011

Station Name	Perote	
	1	2
Sampling Period	9/9/11	11/8/11
Sampling Date	9/9/11	11/8/11
Sampling Volume (m3)	5920	6060
PCDD/F Congeners		
2,3,7,8-TCDD	<0.0302	0.06
1,2,3,7,8-PeCDD	<0.0595	0.361
1,2,3,4,7,8-HxCDD	<0.0812	0.425
1,2,3,6,7,8-HxCDD	<0.201	0.982
1,2,3,7,8,9-HxCDD	<0.17	0.865
1,2,3,4,6,7,8-HpCDD	<1.44	8.55
OCDD	<4.09	18.219
2,3,7,8-TCDF	0.364	1.01
1,2,3,7,8-PeCDF	0.22	1.149
2,3,4,7,8-PeCDF	<0.158	1.608
1,2,3,4,7,8-HxCDF	0.154	1.696
1,2,3,6,7,8-HxCDF	<0.255	2.121
2,3,4,6,7,8-HxCDF	<0.443	2.397
1,2,3,7,8,9-HxCDF	<0.0469	0.268
1,2,3,4,6,7,8-HpCDF	<0.659	5.999
1,2,3,4,7,8,9-HpCDF	0.126	1.04
OCDF	0.624	3.995
PCDD/F Homologues		
TCDDs	0.648	3.601
PeCDDs	0.545	5.537
HxCDDs	1.114	13.164
HpCDDs	2.646	19.781
OCDD	<4.09	18.219
TCDFs	17.742	51.186
PeCDFs	5.83	30.929
HxCDFs	3.193	22.191
HpCDFs	1.594	11.278
OCDF	0.624	3.995
Total		
Σ PCDDs	4.953	60.302
Σ PCDFs	28.983	119.579
Σ PCDD/Fs	33.936	179.881
Σ TEQ (PCDD/Fs)	0.339	2.077

Cuadro A74. Concentraciones atmosféricas de DDPC/DFPC (pg m^{-3}) en sitios remotos de la RMMDFAA en 2012

Station Name	Perote	
	1	2
Sampling Period	1	2
Sampling Date	2/28/12	5/31/12
Sampling Volume (m3)		
PCDD/F Congeners		
2,3,7,8-TCDD	0.061	<0.026
1,2,3,7,8-PeCDD	0.34	0.092
1,2,3,4,7,8-HxCDD	0.286	0.086
1,2,3,6,7,8-HxCDD	0.49	0.157
1,2,3,7,8,9-HxCDD	0.467	0.149
1,2,3,4,6,7,8-HpCDD	4.785	1.14
OCDD	23.155	4.231
2,3,7,8-TCDF	1.108	0.536
1,2,3,7,8-PeCDF	1.263	0.398
2,3,4,7,8-PeCDF	1.535	0.454
1,2,3,4,7,8-HxCDF	1.704	0.425
1,2,3,6,7,8-HxCDF	1.798	0.482
2,3,4,6,7,8-HxCDF	1.77	0.391
1,2,3,7,8,9-HxCDF	0.239	0.079
1,2,3,4,6,7,8-HpCDF	6.202	1.183
1,2,3,4,7,8,9-HpCDF	1.014	0.178
OCDF	4.072	0.54
PCDD/F Homologues		
TCDDs	5.353	Lost
PeCDDs	4.57	1.899
HxCDDs	7.727	2.602
HpCDDs	11.018	2.876
OCDD	23.155	4.231
TCDFs	62.844	Lost
PeCDFs	30.926	10.362
HxCDFs	21.075	5.3
HpCDFs	11.3	2.359
OCDF	4.072	0.54
Total		
Σ PCDDs	51.823	11.608
Σ PCDFs	130.217	18.561
Σ PCDD/Fs	182.040	30.169
Σ TEQ (PCDD/Fs)	1.814	0.523

Cuadro A75. Concentraciones atmosféricas de DDPC/DFPC (pg m^{-3}) en sitios rurales de la RMMDFAA en 2008

Station Name	Montes Azules				La Campana				Vaquerias			
Sampling Period	1	2	3	4	1	2	3	4	1	2	3	4
Sampling Date	5/28/08	8/20/08	11/20/08		3/5/08	5/28/08	8/20/08	11/19/08	3/5/08	5/27/08	8/20/08	11/19/08
Sampling Volume (m3)	6234	7694	7298		8076	7602	7059	8113	7262	7662	5292	7478
PCDD/F Congeners												
2,3,7,8-TCDD	<0.075	<0.08	0.0381	<0.0248	0.0568	<0.119	0.12	0.139	<0.0701	<0.0219	0.116	
1,2,3,7,8-PeCDD	0.185	<0.0579	0.139	0.241	0.193	0.107	0.687	0.593	0.276	0.11	0.452	
1,2,3,4,7,8-HxCDD	0.104	<0.144	0.0973	0.27	0.205	0.123	0.835	0.541	0.184	0.146	0.502	
1,2,3,6,7,8-HxCDD	0.219	0.0983	0.209	0.331	0.336	0.239	1.346	1.06	0.325	0.272	0.845	
1,2,3,7,8,9-HxCDD	0.16	<0.0964	0.154	0.353	0.3	0.23	1.267	0.97	0.264	0.229	0.77	
1,2,3,4,6,7,8-HpCDD	<1.32	<1.44	1.09	4.34	3.93	3.99	13.51	10.8	2.7	3.77	7.9	
OCDD	<11.3	<11.4	5.72	20.3	25.8	22.5	39.8	35.2	10.1	18.9	22.7	
2,3,7,8-TCDF	0.689	0.308	0.492	0.52	0.637	0.386	1.281	1.62	1.2	0.655	1.7	
1,2,3,7,8-PeCDF	0.509	0.27	0.409	0.602	0.83	0.501	1.453	1.71	1.22	0.753	1.81	
2,3,4,7,8-PeCDF	0.58	0.263	0.523	0.871	1.21	0.783	2.28	2.76	1.73	0.933	2.63	
1,2,3,4,7,8-HxCDF	0.428	0.244	0.468	1.02	1.3	0.883	2.655	2.97	1.57	1	2.89	
1,2,3,6,7,8-HxCDF	0.382	0.268	0.472	1.01	1.26	0.904	2.492	2.62	1.53	0.943	2.87	
2,3,4,6,7,8-HxCDF	<0.289	0.267	0.439	1.18	1.64	1.17	3.04	3.09	1.46	1.09	3.23	
1,2,3,7,8,9-HxCDF	<0.096	<0.0738	0.0581	0.115	0.187	0.172	0.325	0.476	0.162	0.113	0.342	
1,2,3,4,6,7,8-HpCDF	0.98	0.741	1.49	4.2	5.44	4.37	10.1	11.2	4.03	3.75	11.2	
1,2,3,4,7,8,9-HpCDF	0.116	0.103	0.222	0.58	0.759	0.753	1.581	1.59	0.534	0.54	1.59	
OCDF	0.82	0.615	0.899	3.45	4.13	3.5	7.23	7.75	2.37	2.65	6.98	
PCDD/F Homologues												
TCDDs	3.97	0.807	7.19	2.35	3.44	1.58	10.7	14.6	4.95	2.99	6.22	
PeCDDs	2.78	0.901	6.56	2.26	3.67	2.06	18	16.1	5.13	2.33	9.93	
HxCDDs	3.38	1.19	4.91	6.93	5.34	3.55	27.5	20.3	5.91	3.83	14.2	
HpCDDs	4.46	3.19	2.49	11	8.93	8.4	32.5	27.3	6.39	7.97	18	
OCDD	<11.3	<11.4	5.72	20.3	25.8	22.5	39.8	35.2	10.1	18.9	22.7	
TCDFs	22	10.1	24.1	25.1	27.7	23.4	54.8	83.4	49.4	37.3	70.5	
PeCDFs	10	4.68	9.13	19.1	23.8	15	39.9	48.6	31.6	18.1	41.5	
HxCDFs	3.7	2.57	5.25	11.7	14.7	12.9	30.3	29.1	15.57	13.2	30.3	
HpCDFs	1.9	1.35	2.34	7.78	10	8.69	17.6	19.2	6.97	6.9	18.4	
OCDF	0.82	0.615	0.899	3.45	4.13	3.5	7.23	7.75	2.37	2.65	6.98	
Total												
Σ PCDDs	14.590	6.088	26.870	42.840	47.180	38.090	128.500	113.500	32.480	36.020	71.050	
Σ PCDFs	38.420	19.315	41.719	67.130	80.330	63.490	149.830	188.050	105.910	78.150	167.680	
Σ PCDD/Fs	53.010	25.403	68.589	109.970	127.510	101.580	278.330	301.550	138.390	114.170	238.730	
Σ TEQ (PCDD/Fs)	0.714	0.401	0.615	1.123	1.334	0.986	3.125	3.195	1.648	0.966	2.942	

Cuadro A76. Concentraciones atmosféricas de DDPC/DFPC (pg m^{-3}) en sitios rurales de la RMMDFAA en 2009

Station Name	Montes Azules				La Campana				Vaquerias			
	1	2	3	4	1	2	3	4	1	2	3	4
Sampling Period	1	2	3	4	1	2	3	4	1	2	3	4
Sampling Date	2/12/09	6/10/09	8/11/09	11/23/09	2/11/09	6/10/09	8/12/09	11/23/09	2/11/09	6/10/09	8/12/09	11/24/09
Sampling Volume (m3)	8299	7607	8498	9418	7350	4272	7014	7237	8078	4435	8139	7520
PCDD/F Congeners												
2,3,7,8-TCDD	0.0101	0.0297	0.0468	0.0183	0.0623	<0.0473	0.0681	0.0788	0.102	0.117	<0.0425	0.115
1,2,3,7,8-PeCDD	0.086	0.0747	0.0946	0.0486	0.415	<0.136	0.117	0.392	0.579	0.35	<0.132	0.41
1,2,3,4,7,8-HxCDD	0.0824	0.0465	0.0402	0.0582	0.507	0.106	0.186	0.492	0.634	0.281	0.105	0.404
1,2,3,6,7,8-HxCDD	0.153	0.111	0.063	0.0909	0.733	0.182	0.281	0.798	1.46	0.598	0.185	0.826
1,2,3,7,8,9-HxCDD	0.137	0.0889	0.0666	0.09	0.888	0.196	0.283	0.846	1.26	0.548	0.163	0.719
1,2,3,4,6,7,8-HpCDD	1.22	0.476	0.359	0.797	8.38	2.02	2.87	9.33	11.3	4.59	1.51	7.06
OCDD	3.37	1.91	1.15	2.77	24.7	11.8	10.5	26.9	61.2	12.6	5.53	18.3
2,3,7,8-TCDF	0.462	0.451	0.653	0.377	0.687	0.352	0.441	1.15	1.33	1.97	0.797	1.96
1,2,3,7,8-PeCDF	0.401	0.324	0.789	0.33	0.909	0.382	0.476	1.15	1.73	1.99	0.762	1.85
2,3,4,7,8-PeCDF	0.458	0.382	0.871	0.336	1.34	0.545	0.697	1.76	2.66	2.6	0.854	2.61
1,2,3,4,7,8-HxCDF	0.499	0.36	0.56	0.421	1.5	0.585	0.777	1.79	3.52	2.49	0.886	2.98
1,2,3,6,7,8-HxCDF	0.464	0.349	0.595	0.443	1.53	0.625	0.823	1.91	3.28	2.5	0.901	2.93
2,3,4,6,7,8-HxCDF	0.502	0.278	0.505	0.415	1.76	0.673	0.972	2.19	4.29	2.43	0.837	3.28
1,2,3,7,8,9-HxCDF	0.0964	<0.092	0.182	0.063	0.264	<0.14	0.12	0.243	0.552	0.321	0.151	0.402
1,2,3,4,6,7,8-HpCDF	1.72	0.867	0.609	1.57	6.1	2.65	3.54	6.77	16.1	7.61	2.71	11.2
1,2,3,4,7,8,9-HpCDF	0.25	0.128	0.184	0.293	1.02	0.397	0.573	1.08	1.84	0.977	0.391	1.71
OCDF	1.28	0.491	0.223	1.33	4.19	2.37	2.54	4.68	9.33	3.99	1.82	7.66
PCDD/F Homologues												
TCDDs	4.13	4.62	3.98	1.83	3.89	2.23	2.53	3.7	14	10.3	3.19	9.39
PeCDDs	2.84	2.99	1.73	1.31	6.69	1.79	2.99	6.24	25.1	11.2	2.76	13
HxCDDs	2.72	2.03	1.35	1.42	14.1	3.07	5	12	31.4	14.1	3.45	15
HpCDDs	2.74	1.26	0.85	1.84	21.3	4.85	7.24	22.3	27.4	10.8	3.62	15.9
OCDD	3.37	1.91	1.15	2.77	24.7	11.8	10.5	26.9	61.2	12.6	5.53	18.3
TCDFs	19	18.8	29.4	18.4	36.1	21.2	25.4	51.2	72.7	99.1	36.8	78.6
PeCDFs	8.02	7.68	13.06	6.81	26	12	15.7	33	45.6	52.4	17.6	45.2
HxCDFs	4.71	3.61	5.54	4.52	19.8	8.28	11.63	23.2	36.2	30.5	9.83	32.7
HpCDFs	2.83	1.43	1.29	2.74	11.3	5.04	6.58	12.8	24.7	12.8	4.63	19.2
OCDF	1.28	0.491	0.223	1.33	4.19	2.37	2.54	4.68	9.33	3.99	1.82	7.66
Total												
∑ PCDDs	15.800	12.810	9.060	9.170	70.680	23.740	28.260	71.140	159.100	59.000	18.550	71.590
∑ PCDFs	35.840	32.011	49.513	33.800	97.390	48.890	61.850	124.880	188.530	198.790	70.680	183.360
∑ PCDD/Fs	51.640	44.821	58.573	42.970	168.070	72.630	90.110	196.020	347.630	257.790	89.230	254.950
∑ TEQ (PCDD/Fs)	0.518	0.422	0.705	0.401	1.857	0.699	0.871	2.156	3.477	2.557	0.904	2.921

Cuadro A77. Concentraciones atmosféricas de DDPC/DFPC (pg m^{-3}) en sitios rurales de la RMMDFAA en 2010

Station Name	Montes Azules				La Campana				Vaquerias			
Sampling Period	1	2	3	4	1	2	3	4	1	2	3	4
Sampling Date	4/12/10	5/25/10	8/13/10	11/9/10	3/22/10	5/25/10	8/9/10	11/8/10	3/24/10	6/1/10	8/10/10	11/10/10
Sampling Volume (m3)	7535	6382	9593	8462	7240	7292	7384	7473	7705	5608	5931	5650
PCDD/F Congeners												
2,3,7,8-TCDD	0.101	<0.0179	0.0154	0.259	0.0555	0.0392	0.0309	0.0988	0.082	0.056	0.052	0.129
1,2,3,7,8-PeCDD	0.273	<0.0699	0.0334	0.974	0.207	0.216	0.0899	0.479	0.376	0.225	0.161	0.484
1,2,3,4,7,8-HxCDD	0.32	<0.031	0.024	0.63	0.228	0.485	0.0796	0.551	0.449	0.219	0.138	0.511
1,2,3,6,7,8-HxCDD	0.561	0.0476	0.0436	1.82	0.34	0.82	0.144	0.856	0.965	0.398	0.242	0.886
1,2,3,7,8,9-HxCDD	0.568	<0.0376	0.0413	1.54	0.395	0.891	0.151	0.918	0.917	0.362	0.226	0.867
1,2,3,4,6,7,8-HpCDD	4	0.324	0.556	7.87	3.38	16.4	1.71	9.54	8.323	3.3	1.85	8.69
OCDD	17.9	1.38	2.84	15.5	11.6	38.5	9.18	28.4	17	10.3	5.09	26.5
2,3,7,8-TCDF	1.12	0.346	0.255	0.803	0.641	0.424	0.368	0.971	1.03	1.16	1.08	1.72
1,2,3,7,8-PeCDF	1.13	0.22	0.2	0.687	0.891	0.6	0.433	1.25	1.35	1.36	1.17	2.19
2,3,4,7,8-PeCDF	1.37	0.215	0.189	1.14	1.22	0.779	0.513	1.88	2.33	1.71	1.31	3.05
1,2,3,4,7,8-HxCDF	1.67	0.202	0.165	1	1.29	0.988	0.657	2.06	3.06	1.79	1.48	3.57
1,2,3,6,7,8-HxCDF	1.41	0.198	0.158	0.991	1.42	1.06	0.744	2.18	2.96	1.83	1.57	3.86
2,3,4,6,7,8-HxCDF	1.43	0.145	0.125	1.42	1.6	1.16	0.776	2.37	4.99	1.86	1.39	4.21
1,2,3,7,8,9-HxCDF	0.184	<0.0627	0.0198	0.13	0.192	0.131	0.0934	0.347	0.549	0.225	0.199	0.595
1,2,3,4,6,7,8-HpCDF	4.93	0.472	0.379	4.47	5.37	4.7	2.85	8.12	16.69	6.2	5.07	15.4
1,2,3,4,7,8,9-HpCDF	0.643	0.0899	0.065	0.584	0.914	0.726	0.495	1.41	2.31	0.936	0.729	2.63
OCDF	2.14	0.287	0.187	2.97	3.8	3.52	2.38	6.15	10.6	3.78	3.51	9.78
PCDD/F Homologues												
TCDDs	8.22	1.87	1.35	60.4	4.9	1.96	1.59	2.71	10.1	5.17	4.3	11.1
PeCDDs	8.6	0.948	0.766	99.3	5.33	4.04	1.64	6.65	15.6	5.31	3.7	12.8
HxCDDs	11.4	0.811	0.75	56.9	7.65	16.5	2.5	14	20.5	7.16	3.99	16.9
HpCDDs	10	0.896	1.22	18	8.33	42.1	4.11	22.4	19.9	7.76	4.22	20.8
OCDD	17.9	1.38	2.84	15.5	11.6	38.5	9.18	28.4	17	10.3	5.09	26.5
TCDFs	43.1	13.39	9.25	40.5	36	20.6	20.3	44.3	60.8	53.3	46.9	81.6
PeCDFs	23.7	4.62	4.33	22.7	27	18	19.5	35.2	41.9	30.6	26.2	59.8
HxCDFs	16.1	1.89	1.81	12	18.2	13.7	10.1	26.9	36.5	19.8	14.7	44.2
HpCDFs	7.37	0.843	0.722	7.01	10.1	8.81	5.85	15.2	26.7	10.4	8.22	26.9
OCDF	2.14	0.287	0.187	2.97	3.8	3.52	2.38	6.15	10.6	3.78	3.51	9.78
Total												
Σ PCDDs	56.120	5.905	6.926	250.100	37.810	103.100	19.020	74.160	83.100	35.700	21.300	88.100
Σ PCDFs	92.410	21.030	16.299	85.180	95.100	64.630	58.130	127.750	176.500	117.880	99.530	222.280
Σ PCDD/Fs	148.530	26.935	23.225	335.280	132.910	167.730	77.150	201.910	259.600	153.580	120.830	310.380
Σ TEQ (PCDD/Fs)	1.647	0.275	0.206	2.564	1.367	1.334	0.643	2.406	2.971	1.728	1.353	3.494

Cuadro A78. Concentraciones atmosféricas de DDPC/DFPC (pg m^{-3}) en sitios semirurales de la RMMDFAA en 2008

Station Name	Celestún				Coquimatlán			
	1	2	3	4	1	2	3	4
Sampling Period								
Sampling Date	3/4/08	5/28/08	8/20/08	11/19/08	3/5/08	5/28/08	8/20/08	11/19/08
Sampling Volume (m3)	8373	8724	8400	8623	8038	6955	6491	8812
PCDD/F Congeners								
2,3,7,8-TCDD	1.15	0.817	0.835	0.848	2.75	1.19	1.1	1.34
1,2,3,7,8-PeCDD	1.49	0.953	1.55	2.23	10.4	3.76	3.8	4.98
1,2,3,4,7,8-HxCDD	1.11	0.56	1.07	2.02	10.6	3.54	5.34	5.23
1,2,3,6,7,8-HxCDD	2.41	1.05	2.17	5	17.5	6.19	7.05	10.6
1,2,3,7,8,9-HxCDD	2.03	0.797	1.76	4.19	18.2	6.21	7.4	8.75
1,2,3,4,6,7,8-HpCDD	16.3	8.5	16.3	50.6	198	77.4	101	89.6
OCDD	45.8	27.8	44.3	126	765	281	250	222
2,3,7,8-TCDF	5.9	9.73	9.25	8.88	26.2	12.8	10.2	13.6
1,2,3,7,8-PeCDF	4.25	4.65	5.55	5.02	26.2	11.4	10.4	13.6
2,3,4,7,8-PeCDF	6.61	5.91	7.23	6.49	38.5	16.3	17.2	18.7
1,2,3,4,7,8-HxCDF	5.27	3.42	5.56	6.52	38.8	14.3	17.1	18.2
1,2,3,6,7,8-HxCDF	4.89	3.43	5.44	5.77	36.8	13.5	17.3	18.6
2,3,4,6,7,8-HxCDF	5.75	3.84	6.02	7.11	38	13.8	20.2	23.4
1,2,3,7,8,9-HxCDF	0.533	0.435	0.73	0.674	5	1.66	1.94	2.96
1,2,3,4,6,7,8-HpCDF	16.5	8.67	15.6	23.2	109	52.8	64.1	67.8
1,2,3,4,7,8,9-HpCDF	1.97	1.21	2.14	3.1	15.9	6.56	9.2	9.47
OCDF	8.66	4.18	8.27	15.3	67.6	45	40.3	39.2
PCDD/F Homologues								
TCDDs	136	51.3	68.2	53.5	133	56.2	42.6	54.9
PeCDDs	94.1	40.4	76.7	76.3	231	84	69.1	150
HxCDDs	68.4	31.7	61.7	81.4	357	112	141	216
HpCDDs	38	19.9	37.8	97.5	483	181	293	210
OCDD	45.8	27.8	44.3	126	765	281	250	222
TCDFs	208	174	198	206	688	282	260	383
PeCDFs	109	86.4	115	98.8	469	209	233	246
HxCDFs	47.2	30.4	58.7	61.2	311	117	174	189
HpCDFs	26	13.9	29.5	36.8	183	85.4	112	110
OCDF	8.66	4.18	8.27	15.3	67.6	45	40.3	39.2
Total								
∑ PCDDs	382.300	171.100	288.700	434.700	1969.000	714.200	795.700	852.900
∑ PCDFs	398.860	308.880	409.470	418.100	1718.600	738.400	819.300	967.200
∑ PCDD/Fs	781.160	479.980	698.170	852.800	3687.600	1452.600	1615.000	1820.100
∑ TEQ (PCDD/Fs)	7.904	6.202	8.277	10.003	48.075	18.847	20.855	24.219

Cuadro A79. Concentraciones atmosféricas de DDPC/DFPC (pg m^{-3}) en sitios semirurales de la RMMDFAA en 2009

Station Name	Celestún				Coquimatlán			
	1	2	3	4	1	2	3	4
Sampling Period								
Sampling Date	2/11/09	6/10/09	8/12/09		2/11/09	6/10/09	8/12/09	11/24/09
Sampling Volume (m3)	8137	8322	8132		8203	8469	9039	8494
PCDD/F Congeners								
2,3,7,8-TCDD	0.852	0.79	0.803		1.09	0.767	0.796	1.76
1,2,3,7,8-PeCDD	1.66	1.15	1.14		4.25	2.21	2.53	5.05
1,2,3,4,7,8-HxCDD	1.842	0.747	0.959		3.85	2.14	2.46	4
1,2,3,6,7,8-HxCDD	2.992	1.48	1.82		6.85	3.52	4.66	6.8
1,2,3,7,8,9-HxCDD	2.84	1.3	1.54		7.17	3.54	4.52	6.51
1,2,3,4,6,7,8-HpCDD	34.1	10.6	11.6		75	35.8	40.5	64.1
OCDD	86.1	30	28.9		262	122	99	175
2,3,7,8-TCDF	9.17	12.1	7.84		12.3	8.13	7.12	17.6
1,2,3,7,8-PeCDF	5.09	5.59	3.56		14.4	7.45	6.04	14.9
2,3,4,7,8-PeCDF	6.59	7.73	4.79		19.1	10	8.8	17.9
1,2,3,4,7,8-HxCDF	5.31	4.85	3.93		19	8.84	8.36	15.7
1,2,3,6,7,8-HxCDF	4.97	4.77	3.87		18.5	9	8.14	16.2
2,3,4,6,7,8-HxCDF	6.28	5.49	4.37		18.5	9.44	9.63	15.8
1,2,3,7,8,9-HxCDF	0.663	0.745	0.625		2.08	1.16	1.14	2.07
1,2,3,4,6,7,8-HpCDF	18.6	12.5	11.3		57.2	26.4	33.3	43.7
1,2,3,4,7,8,9-HpCDF	2.26	1.56	1.26		8.07	4.25	3.99	6.31
OCDF	11	5.82	4.8		39.1	15.2	18.9	23.3
PCDD/F Homologues								
TCDDs	91.4	30.5	58.1		34.1	36.2	43.7	32.2
PeCDDs	60.9	45.7	69.3		75.8	57.7	77.2	85.6
HxCDDs	69	38.3	52.7		110	70.1	97	111
HpCDDs	78.4	24.9	28.1		163	82.9	96.9	146
OCDD	86.1	30	28.9		262	122	99	175
TCDFs	242	236	161		320	221	174	407
PeCDFs	105	108	84.2		229	172	142	241
HxCDFs	55.2	53.2	42.1		161	97.1	87.5	147
HpCDFs	28.2	20.1	17.4		94	47	53.1	71.1
OCDF	11	5.82	4.8		39.1	15.2	18.9	23.3
Total								
∑ PCDDs	385.800	169.400	237.100		644.900	368.900	413.800	549.800
∑ PCDFs	441.400	423.120	309.500		843.100	552.300	475.500	889.400
∑ PCDD/Fs	827.200	592.520	546.600		1488.000	921.200	889.300	1439.200
∑ TEQ (PCDD/Fs)	8.627	7.832	6.234		21.82	11.483	11.563	22.296

Cuadro A80. Concentraciones atmosféricas de DDPC/DFPC (pg m^{-3}) en sitios semirurales de la RMMDFAA en 2010

Station Name	Celestún				Coquimatlán			
	1	2	3	4	1	2	3	4
Sampling Period								
Sampling Date	3/23/10	5/25/10	8/10/10	11/17/10	3/25/10	5/24/10	8/9/10	11/9/10
Sampling Volume (m3)	7777	8047	9345	8807	6582	7327	6403	7368
PCDD/F Congeners								
2,3,7,8-TCDD	0.924	1.99	1.91	0.67	1.67	2.43	0.672	1.85
1,2,3,7,8-PeCDD	1.25	4.5	7.99	1.6	2.96	8.02	1.73	5.86
1,2,3,4,7,8-HxCDD	0.87	2.67	7.83	1.4	2.81	8.71	1.46	5.45
1,2,3,6,7,8-HxCDD	1.74	6.22	21.5	3.11	4.47	13.1	2.34	9.8
1,2,3,7,8,9-HxCDD	1.61	5.31	17	2.66	5.24	15	2.45	9.34
1,2,3,4,6,7,8-HpCDD	12.4	30	118	21.3	51.3	137	23.4	93.2
OCDD	48	53.1	168	58.1	153	388	63.2	256
2,3,7,8-TCDF	8.47	21.2	11.3	6.99	15.4	19.1	6.3	16.7
1,2,3,7,8-PeCDF	4.72	12.9	19	5.91	15.1	20	6.04	19.1
2,3,4,7,8-PeCDF	6.15	21.3	33.6	8.52	20.6	24.9	7.89	23.5
1,2,3,4,7,8-HxCDF	4.1	12.7	44	9.52	20.7	20.7	6.39	28
1,2,3,6,7,8-HxCDF	4.01	12.6	38.1	8.55	17.4	22.3	6.51	26.2
2,3,4,6,7,8-HxCDF	4.28	19.6	53.4	13	17	19.3	6.68	26.1
1,2,3,7,8,9-HxCDF	0.434	1.75	6.41	1.7	1.77	2.16	0.929	3.07
1,2,3,4,6,7,8-HpCDF	10.1	32.9	183	46.9	52.1	47.1	17.9	84.3
1,2,3,4,7,8,9-HpCDF	1.28	4.18	23.8	6.34	8.43	8.29	3.2	15.2
OCDF	4.38	9.52	85.2	45.6	29.7	25.7	10.2	72.7
PCDD/F Homologues								
TCDDs	55.8	150	243	48.5	38.2	65.6	27.3	43
PeCDDs	71.3	326	599	86	64.3	153	36.6	112
HxCDDs	53.3	181	517	80.1	81.5	268	41.7	159
HpCDDs	32.6	77.4	278	49.7	116	348	52.4	221
OCDD	48	53.1	168	58.1	153	388	63.2	256
TCDFs	204	590	981	219	323	393	184	458
PeCDFs	91.7	374	545	135	222	326	145	349
HxCDFs	42.4	173	457	102	151	195	72.9	255
HpCDFs	16.1	52	292	73	84.3	86	33	145
OCDF	4.38	9.52	85.2	45.6	29.7	25.7	10.2	72.7
Total								
∑ PCDDs	261.000	787.500	1805.000	322.400	453.000	1222.600	221.200	791.000
∑ PCDFs	358.580	1198.520	2360.200	574.600	810.000	1025.700	445.100	1279.700
∑ PCDD/Fs	619.580	1986.020	4165.200	897.000	1263.000	2248.300	666.300	2070.700
∑ TEQ (PCDD/Fs)	6.966	22.162	43.828	10.473	20.915	32.605	8.723	29.825

Cuadro A81. Concentraciones atmosféricas de DDPC/DFPC (pg m^{-3}) en sitios semirurales de la RMMDFAA en 2011

Station Name	Celestún	
Sampling Period	1	2
Sampling Date	8/2/11	11/8/11
Sampling Volume (m3)	7520	6596
PCDD/F Congeners		
2,3,7,8-TCDD	0.745	0.63
1,2,3,7,8-PeCDD	1.492	1.197
1,2,3,4,7,8-HxCDD	1.095	0.932
1,2,3,6,7,8-HxCDD	2.286	1.933
1,2,3,7,8,9-HxCDD	1.898	1.702
1,2,3,4,6,7,8-HpCDD	14.662	17.077
OCDD	42.33	51.228
2,3,7,8-TCDF	6.715	5.594
1,2,3,7,8-PeCDF	4.974	4.489
2,3,4,7,8-PeCDF	7.625	5.824
1,2,3,4,7,8-HxCDF	5.997	5.051
1,2,3,6,7,8-HxCDF	6.179	5.036
2,3,4,6,7,8-HxCDF	7.488	6.003
1,2,3,7,8,9-HxCDF	0.885	0.875
1,2,3,4,6,7,8-HpCDF	17.163	16.346
1,2,3,4,7,8,9-HpCDF	3.849	2.57
OCDF	10.272	9.31
PCDD/F Homologues		
TCDDs	119.197	82.033
PeCDDs	98.612	61.847
HxCDDs	70.194	57.812
HpCDDs	37.635	43.008
OCDD	42.33	51.228
TCDFs	194.759	184.991
PeCDFs	137.392	94.468
HxCDFs	78.451	54.883
HpCDFs	34.838	27.844
OCDF	10.272	9.31
Total		
Σ PCDDs	367.968	295.928
Σ PCDFs	455.712	371.496
Σ PCDD/Fs	823.680	667.424
Σ TEQ (PCDD/Fs)	8.301	6.8

Cuadro A82. Concentraciones atmosféricas de DDPC/DFPC (pg m^{-3}) en sitios semirurales de la RMMDFAA en 2012

Station Name	Celestún	
Sampling Period	1	2
Sampling Date	2/21/12	5/15/12
Sampling Volume (m3)		
PCDD/F Congeners		
2,3,7,8-TCDD	2.517	0.724
1,2,3,7,8-PeCDD	7.507	1.045
1,2,3,4,7,8-HxCDD	8.084	0.72
1,2,3,6,7,8-HxCDD	14.25	1.43
1,2,3,7,8,9-HxCDD	11.905	1.284
1,2,3,4,6,7,8-HpCDD	69.443	10.967
OCDD	83.332	33.199
2,3,7,8-TCDF	10.193	6.116
1,2,3,7,8-PeCDF	8.81	3.706
2,3,4,7,8-PeCDF	17.92	4.705
1,2,3,4,7,8-HxCDF	13.777	3.09
1,2,3,6,7,8-HxCDF	13.288	3.189
2,3,4,6,7,8-HxCDF	23.582	3.981
1,2,3,7,8,9-HxCDF	2.304	0.526
1,2,3,4,6,7,8-HpCDF	45.456	9.686
1,2,3,4,7,8,9-HpCDF	4.491	1.402
OCDF	17.578	5.892
PCDD/F Homologues		
TCDDs	548.344	59.392
PeCDDs	662.744	34.692
HxCDDs	649.201	33.349
HpCDDs	176.776	25.545
OCDD	83.332	33.199
TCDFs	422.904	159.538
PeCDFs	300.951	66.635
HxCDFs	190.759	34.362
HpCDFs	67.389	16.057
OCDF	17.578	5.892
Total		
Σ PCDDs	2120.397	186.177
Σ PCDFs	999.581	282.484
Σ PCDD/Fs	3119.978	468.661
Σ TEQ (PCDD/Fs)	26.627	5.558

Cuadro A83. Concentraciones atmosféricas de DDPC/DFPC (pg m^{-3}) en sitios urbanos de la RMMDFAA en 2008

Station Name	Mexico City				Monterrey			
	1	2	3	4	1	2	3	4
Sampling Period								
Sampling Date	3/5/08	5/28/08	8/20/08	11/19/08				11/26/08
Sampling Volume (m3)	7682	8570	8048	7608				8045
PCDD/F Congeners								
2,3,7,8-TCDD	3.69	4.5	2.2	3.78				18.2
1,2,3,7,8-PeCDD	17.6	20	9.18	19.9				82.4
1,2,3,4,7,8-HxCDD	18.5	19.8	9.01	19.91				51.5
1,2,3,6,7,8-HxCDD	30.8	36.3	17.4	39.6				111
1,2,3,7,8,9-HxCDD	27.5	32.6	15.1	29.5				70.1
1,2,3,4,6,7,8-HpCDD	220	273	137	308				483
OCDD	488	622	312	703				885
2,3,7,8-TCDF	89.5	104	48.5	152				385
1,2,3,7,8-PeCDF	76.3	102	56.2	107				275
2,3,4,7,8-PeCDF	163	206	94.5	223				435
1,2,3,4,7,8-HxCDF	150	181	93.2	160				196
1,2,3,6,7,8-HxCDF	150	180	99.9	167				215
2,3,4,6,7,8-HxCDF	182	228	116	202				235
1,2,3,7,8,9-HxCDF	20.7	25.5	15.7	23.6				25.5
1,2,3,4,6,7,8-HpCDF	517	639	339	554				393
1,2,3,4,7,8,9-HpCDF	86	108	69	91.9				54.7
OCDF	359	414	257	373				189
PCDD/F Homologues								
TCDDs	297	189	108	120				555
PeCDDs	453	514	219	488				1940
HxCDDs	509	613	268	685				1460
HpCDDs	469	595	289	692				1060
OCDD	488	622	312	703				885
TCDFs	2930	4060	2190	3462				13800
PeCDFs	2370	3560	1730	2520				5100
HxCDFs	1640	2180	1300	1994				2040
HpCDFs	933	1200	681	1000				651
OCDF	359	414	257	373				189
Total								
Σ PCDDs	2216.000	2533.000	1196.000	2688.000				5900.000
Σ PCDFs	8232.000	11414.000	6158.000	9349.000				21780.000
Σ PCDD/Fs	10448.000	13947.000	7354.000	12037.000				27680.000
Σ TEQ (PCDD/Fs)	147.863	180.591	88.518	183.013				377.889

Cuadro A84. Concentraciones atmosféricas de DDPC/DFPC (pg m^{-3}) en sitios urbanos de la RMMDFAA en 2009

Station Name	Mexico City				Monterrey			
	1	2	3	4	1	2	3	4
Sampling Period								
Sampling Date	2/11/09	6/10/09	8/12/09	11/24/09	2/11/09	6/10/09	8/12/09	11/22/09
Sampling Volume (m3)	6159	6661	6938	6633	8113	7601	7941	7852
PCDD/F Congeners								
2,3,7,8-TCDD	4.5	3.02	3.04	6.15	11	11.6	11.1	21.7
1,2,3,7,8-PeCDD	21.5	10.7	9.71	24.1	50.1	29.4	34.7	75.2
1,2,3,4,7,8-HxCDD	22.5	10.4	8.64	25.2	32.7	14	17.8	46.7
1,2,3,6,7,8-HxCDD	48.2	21.9	17.2	52.8	73	27.4	37.4	94.9
1,2,3,7,8,9-HxCDD	44.1	19.4	15.1	42	57.3	20.1	29.6	74.6
1,2,3,4,6,7,8-HpCDD	351	155	133	402	288	115	176	589
OCDD	723	353	305	874	577	293	384	148
2,3,7,8-TCDF	96.1	83.7	54.6	101	164	242	246	544
1,2,3,7,8-PeCDF	97.8	86.1	50.7	128	103	147	169	327
2,3,4,7,8-PeCDF	179	148	92.7	207	178	200	228	452
1,2,3,4,7,8-HxCDF	164	129	76.9	228	94	82.4	111	201
1,2,3,6,7,8-HxCDF	169	141	80.9	229	100	92.5	118	222
2,3,4,6,7,8-HxCDF	227	168	99.7	272	125	90.9	113	237
1,2,3,7,8,9-HxCDF	22.6	21.6	16	29.5	11.4	8.38	13.6	15.4
1,2,3,4,6,7,8-HpCDF	617	476	268	793	248	163	313	460
1,2,3,4,7,8,9-HpCDF	99.1	97	51.3	146	30.5	19.2	26.9	56.8
OCDF	404	344	189	540	147	75.8	130	248
PCDD/F Homologues								
TCDDs	287	155	129	422	1460	939	775	1250
PeCDDs	778	315	242	822	1840	925	887	1850
HxCDDs	969	360	281	924	1340	478	567	1430
HpCDDs	826	339	282	894	657	258	382	1230
OCDD	723	353	305	874	577	293	384	148
TCDFs	3770	3680	2650	4780	6860	8170	7010	21700
PeCDFs	3200	3440	1910	3770	2720	3300	3810	6600
HxCDFs	2270	2060	1190	3020	1100	1010	1400	2260
HpCDFs	1110	962	531	1500	406	272	564	799
OCDF	404	344	189	540	147	75.8	130	248
Total								
Σ PCDDs	3583.000	1522.000	1239.000		5874.000	2893.000	2995.000	5908.000
Σ PCDFs	10754.000	10486.000	6470.000		11233.000	12827.800	12914.000	31607.000
Σ PCDD/Fs	14337.000	12008.000	7709.000		17107.000	15720.800	15909.000	37515.000
Σ TEQ (PCDD/Fs)	172.993	127.692	83.656	207.974	189.212	166.261	193.223	397.047

Cuadro A85. Concentraciones atmosféricas de DDPC/DFPC (pg m^{-3}) en sitios urbanos de la RMMDFAA en 2010

Station Name	Mexico City				Monterrey			
	1	2	3	4	1	2	3	4
Sampling Period								
Sampling Date	3/22/10	5/25/10	8/11/10	11/12/10	3/22/10	5/25/10	8/10/10	11/8/10
Sampling Volume (m3)	6557	7115	6285	5873	8011	7945	5773	5193
PCDD/F Congeners								
2,3,7,8-TCDD	4.59	2.61	2.09	8.3	50.9	29.1	27.8	21.9
1,2,3,7,8-PeCDD	15.6	8.93	7.66	34.1	177	87.7	88.3	79.7
1,2,3,4,7,8-HxCDD	15.3	8.27	7.6	35.6	107	52.3	51.2	57.9
1,2,3,6,7,8-HxCDD	29.5	17.4	17	80.7	195	101	100	108
1,2,3,7,8,9-HxCDD	27.3	15.9	16	67.4	158	83.2	80.7	92.9
1,2,3,4,6,7,8-HpCDD	224	139	150	609	559	350	334	620
OCDD	526	321	405	1340	517	447	419	1470
2,3,7,8-TCDF	83.9	38.5	31.8	157	1020	678	542	511
1,2,3,7,8-PeCDF	125	45.4	37.8	223	745	502	397	412
2,3,4,7,8-PeCDF	203	75.1	59.1	336	1090	679	533	609
1,2,3,4,7,8-HxCDF	201	76.5	59.4	405	503	286	256	341
1,2,3,6,7,8-HxCDF	228	82	61	371	563	333	292	382
2,3,4,6,7,8-HxCDF	271	97	76.2	457	509	315	275	379
1,2,3,7,8,9-HxCDF	35.3	10.5	9.89	72	46.8	29	30.1	39.6
1,2,3,4,6,7,8-HpCDF	781	289	227	1460	828	598	566	744
1,2,3,4,7,8,9-HpCDF	177	56.3	44.1	327	92.6	60.1	76.3	122
OCDF	576	199	176	1330	188	165	225	414
PCDD/F Homologues								
TCDDs	281	154	131	482	3220	1790	1960	1380
PeCDDs	456	246	206	1440	3770	2040	1960	1790
HxCDDs	560	314	268	1720	2630	1450	1370	1700
HpCDDs	506	299	308	1430	1110	704	666	1320
OCDD	526	321	405	1340	517	447	419	1470
TCDFs	4380	1690	1550	6940	32800	17400	15900	20300
PeCDFs	4540	1610	1300	7190	14500	9180	7700	10300
HxCDFs	3310	1060	829	5420	5020	3220	2940	4050
HpCDFs	1650	562	440	2910	1330	996	977	1360
OCDF	576	199	176	1330	188	165	225	414
Total								
∑ PCDDs	2329.000	1334.000	1318.000	6412.000	11247.000	6431.000	6375.000	7660.000
∑ PCDFs	14456.000	5121.000	4295.000	23790.000	53838.000	30961.000	27742.000	36424.000
∑ PCDD/Fs	16785.000	6455.000	5613.000	30202.000	65085.000	37392.000	34117.000	44084.000
∑ TEQ (PCDD/Fs)	186.121	75.038	60.888	339.221	902.438	533.575	460.566	503.225

Cuadro A86. Concentraciones atmosféricas de BPC-Co (pg m^{-3}) en sitios remotos de la RMMDFAA en 2008

Station Name	San Pedro Mártir				Perote			
Sampling Period	1	2	3	4	1	2	3	4
Sampling Date	3/5/08	5/28/08	8/20/08	11/19/08	3/7/08	5/28/08	8/20/08	11/19/08
Sampling Volume (m3)	8361	7161	6961	6759	6856	3426	6109	5982
PCB Congeners								
PCB-81	0.576	1.48	1.25	0.284	3.4	1.8	<16.5	3.15
PCB-77	<8.49	29	41.9	12.4	34.4	17.8	<172	35
PCB-123	<1.87	5.41	4.27	<1.05	5.38	2.32	<28.6	5.38
PCB-118	<84.3	203	177	<42.4	275	125	<982	212
PCB-114	<3.06	7.11	6.07	<1.31	8.98	4.07	<42.6	6.76
PCB-105	<43.4	88	66.9	<11.6	111	49.9	<500	67.7
PCB-126	0.504	1.46	1.24	0.319	5.25	2.44	3.06	5.48
PCB-167	<2.1	7.24	5.29	<1.3	22.4	11.4	<67.8	31.1
PCB-156	<5.39	15.4	<3.94	<2.73	46.4	23.5	<150	56.8
PCB-157	<1.04	2.72	<0.802	<0.36	7.6	3.64	<24.8	7.36
PCB-169	0.0885	0.0615	0.117	0.0598	0.9	0.368	0.469	0.798
PCB-189	0.505	1.15	0.916	<0.34	4.65	1.4	<9.68	9.55
Total								
Σ Co-PCBs	1.6735	362.0315	304.953	13.0628	525.36	243.638	3.529	441.078
Σ TEQ (Co-PCBs)	0.058	0.161	0.14	0.037	0.571	0.264	0.396	0.588

Cuadro A87. Concentraciones atmosféricas de BPC-Co (pg m^{-3}) en sitios remotos de la RMMDFAA en 2009

Station Name	San Pedro Mártir				Perote			
Sampling Period	1	2	3	4	1	2	3	4
Sampling Date	2/18/09	6/10/09	8/12/09		2/11/09	6/10/09	8/12/09	11/24/09
Sampling Volume (m3)	7175	6753	7031		5729	5869	6106	5793
PCB Congeners								
PCB-81	2.75	0.898	0.789		1.27	1.35	0.735	1.86
PCB-77	53.5	21.3	26.5		<24.5	13.9	8.07	18.4
PCB-123	5.65	2.2	2.21		<5.4	2.54	1.11	<3.91
PCB-118	139	70.3	90.9		<193	78.5	45.6	<164
PCB-114	7.32	2.96	3.07		<8.44	3.44	1.85	<6.21
PCB-105	64.9	28.2	35.8		<112	30.5	18.7	<78.2
PCB-126	0.437	0.61	0.774		2.89	1.68	0.863	1.7
PCB-167	<3.92	<2.36	2.69		12	6.1	3.17	5.12
PCB-156	<10.7	<5.49	5.3		18.4	12.2	6.33	<11.9
PCB-157	<1.73	<0.743	1.06		2.68	2.15	1.12	<1.88
PCB-169	0.063	0.093	0.099		0.478	0.244	0.125	0.273
PCB-189	<0.708	<0.584	0.529		2.93	1.19	0.733	1.85
Total								
Σ Co-PCBs	273.62	126.561	169.721		40.648	153.794	88.406	29.203
Σ TEQ (Co-PCBs)	0.059	0.07	0.088		0.317	0.181	0.093	0.189

Cuadro A88. Concentraciones atmosféricas de BPC-Co (pg m^{-3}) en sitios remotos de la RMMDFAA en 2010

Station Name	San Pedro Mártir				Perote			
	1	2	3	4	1	2	3	4
Sampling Period								
Sampling Date	3/30/10	5/24/10	8/10/10	11/8/10	3/23/10	5/25/10	8/10/10	11/9/10
Sampling Volume (m3)	7447	7011	6192	6112	6052	4593	5381	6154
PCB Congeners								
PCB-81	<0.714	0.813	<1.61	<0.871	2.94	1.43	<1.86	3.1
PCB-77	<14.3	25.7	29.9	<12.6	39.4	18	<25.4	31.3
PCB-123	<5.82	<2.54	<6.49	QA failure	<7.17	<3.88	<7.47	7.71
PCB-118	<276	<100	<263	QA failure	<341	<153	<303	246
PCB-114	<8.79	<3.38	<9.2	QA failure	<10.8	<5.15	<10.6	10.4
PCB-105	<143	<45.2	<123	QA failure	<176	<69	<142	115
PCB-126	<0.542	0.721	0.963	<0.421	3.53	2.1	<0.812	2.79
PCB-167	<9.5	<3.7	<9.61	<6.31	<11.7	<5.65	<11.1	11.3
PCB-156	<28.4	<9.62	<24.9	<15.4	<34.9	<14.7	<28.7	24
PCB-157	<5.49	<1.57	<3.94	<2.16	<6.76	<2.4	<4.53	4.53
PCB-169	0.0505	0.0853	0.108	0.0978	0.44	0.32	0.0795	0.356
PCB-189	<0.508	<0.557	<1.33	<1.52	2.42	1.6	<1.53	1.83
Total								
Σ Co-PCBs	0.0505	27.3193	30.971	0.0978	48.73	23.45	0.0795	458.316
Σ TEQ (Co-PCBs)	0.072	0.082	0.116	NA	0.389	0.229	0.102	0.306

Cuadro A89. Concentraciones atmosféricas de BPC-Co (pg m^{-3}) en sitios remotos de la RMMDFAA en 2011

Station Name	Perote	
	1	2
Sampling Period		
Sampling Date	9/9/11	11/8/11
Sampling Volume (m3)	5920	6060
PCB Congeners		
PCB-81	<2.63	2.322
PCB-77	<75.5	58.7
PCB-123	4.218	14.432
PCB-118	201.785	683.502
PCB-114	<6	21.431
PCB-105	<85.6	207.699
PCB-126	0.913	2.203
PCB-167	4.193	10.034
PCB-156	<9.61	20.88
PCB-157	1.781	4.167
PCB-169	0.086	0.258
PCB-189	<0.848	1.344
Total		
Σ Co-PCBs	212.976	1026.972
Σ TEQ (Co-PCBs)	0.112	0.264

Cuadro A90. Concentraciones atmosféricas de BPC-Co (pg m^{-3}) en sitios remotos de la RMMDFAA en 2012

Station Name	Perote	
Sampling Period	1	2
Sampling Date	2/28/12	5/31/12
Sampling Volume (m3)		
PCB Congeners		
PCB-81	2.835	2.606
PCB-77	40.502	41.747
PCB-123	18.864	25.967
PCB-118	1025.138	1377.844
PCB-114	29.958	39.718
PCB-105	292.603	395.436
PCB-126	3.411	2.103
PCB-167	13.779	15.5
PCB-156	27.213	32.094
PCB-157	5.478	6.031
PCB-169	0.433	0.165
PCB-189	1.852	1.565
Total		
Σ Co-PCBs	1462.066	1940.776
Σ TEQ (Co-PCBs)	0.401	0.277

Cuadro A91. Concentraciones atmosféricas de BPC-Co (pg m^{-3}) en sitios rurales de la RMMDFAA en 2008

Station Name	Montes Azules				La Campana				Vaquerías			
Sampling Period	1	2	3	4	1	2	3	4	1	2	3	4
Sampling Date		5/28/08	8/20/08	11/20/08	3/5/08	5/28/08	8/20/08	11/19/08	3/5/08	5/27/08	8/20/08	11/19/08
Sampling Volume (m3)		6234	7694	7298	8076	7602	7059	8113	7262	7662	5292	7478
PCB Congeners												
PCB-81		0.889	0.67	1.11	0.584	0.86	1.09	1.17	2.18	2	<2.12	1.82
PCB-77		17.7	<8.01	8.5	<8.79	15.6	17	5.27	24.2	35.3	<41.8	13.4
PCB-123		2.51	2.97	1.25	<1.96	2.4	<1.14	1.24	4.96	3.9	16.1	5.24
PCB-118		113	<69.3	44.9	<87.3	104	<44.1	34.6	380	183	680	232
PCB-114		4.06	<2.65	1.86	<3.17	3.62	<1.6	1.97	9.21	6.36	24	7.95
PCB-105		57.8	<31.5	18	<44.9	46.4	<19.1	15.3	127	81.2	282	87.9
PCB-126		1.67	0.746	0.74	0.763	1.35	0.891	1.3	3.65	2.74	2.21	2.3
PCB-167		7.23	3.12	1.72	4.01	4.33	<1.19	1.74	33.1	13.6	16.7	7.74
PCB-156		14.9	<4.57	3.37	9.68	9.92	<3.22	4.81	69.4	31.4	39.5	17.8
PCB-157		2.36	<0.928	0.654	1.9	1.91	<0.644	1	9.24	5.11	7.21	3.4
PCB-169		0.232	0.103	0.0787	0.174	0.22	0.119	0.353	0.6	0.4	0.249	0.467
PCB-189		1.72	0.558	0.384	1.02	1.02	0.623	0.969	2.79	2.78	1.96	1.97
Total												
Σ Co-PCBs		224.071	8.167	82.5667	18.131	191.63	19.723	69.722	666.33	367.79	1069.929	381.987
Σ TEQ (Co-PCBs)		0.182	0.082	0.08	0.087	0.149	0.097	0.143	0.405	0.3	0.265	0.257

Cuadro A92. Concentraciones atmosféricas de BPC-Co ($\mu\text{g m}^{-3}$) en sitios rurales de la RMMDFAA en 2009

Station Name	Montes Azules				La Campana				Vaquerías			
	1	2	3	4	1	2	3	4	1	2	3	4
Sampling Period												
Sampling Date	2/12/09	6/10/09	8/11/09	11/23/09	2/11/09	6/10/09	8/12/09	11/23/09	2/11/09	6/10/09	8/12/09	11/24/09
Sampling Volume (m3)	8299	7607	8498	9418	7350	4272	7014	7237	8078	4435	8139	7520
PCB Congeners												
PCB-81	<0.776	0.385	0.608	<0.704	<0.876	0.944	0.821	0.933	2.2	2.49	1.32	2.54
PCB-77	<16.9	<5.19	6.19	<11.1	<19.1	16.3	9.72	<14.5	<17.4	28.8	14.6	<13.9
PCB-123	<3.73	<1.31	0.919	<2.4	<4.21	3.68	1.87	<3.13	<3.83	7.29	2.88	<3.01
PCB-118	<133	<52.8	28.7	<101	<150	118	79.5	<131	111	322	120	<126
PCB-114	<5.83	<1.89	1.38	<3.82	<6.58	5.86	2.67	<4.97	<5.99	10.3	4.15	<4.79
PCB-105	<77.5	<21.6	12.5	<48.1	<87.5	61.5	25.8	<62.6	<79.6	122	45.5	<60.3
PCB-126	0.295	0.857	0.602	0.39	0.47	0.792	0.881	0.607	3.12	3.69	1.24	1.89
PCB-167	<3.39	<2.09	<1.14	<2.85	<3.83	<3.72	2.231	<3.71	6.38	11.9	3.45	<3.58
PCB-156	<9.21	<4.88	<2.75	<7.31	<10.4	<8.68	4.28	<9.51	12.1	26.8	7.45	<9.15
PCB-157	<1.5	<0.659	0.393	<1.16	<1.69	<1.17	0.932	<1.51	3.11	5.71	1.52	<1.45
PCB-169	0.107	0.143	0.0642	0.065	0.184	0.112	0.15	0.188	0.945	0.675	0.197	0.475
PCB-189	<0.612	<0.518	<0.322	<0.417	<0.691	<0.923	0.471	<0.542	2.71	2.43	0.774	1.16
Total												
Σ Co-PCBs	0.402	1.385	51.3562	0.455	0.654	207.188	129.326	1.728	141.565	544.085	203.081	6.065
Σ TEQ (Co-PCBs)	0.042	0.093	0.064	0.047	0.063	0.091	0.097	0.075	0.349	0.408	0.137	0.212

Cuadro A93. Concentraciones atmosféricas de BPC-Co ($\mu\text{g m}^{-3}$) en sitios rurales de la RMMDFAA en 2010

Station Name	Montes Azules				La Campana				Vaquerías			
	1	2	3	4	1	2	3	4	1	2	3	4
Sampling Period												
Sampling Date	4/12/10	5/25/10	8/13/10	11/9/10	3/22/10	5/25/10	8/9/10	11/8/10	3/24/10	6/1/10	8/10/10	11/10/10
Sampling Volume (m3)	7535	6382	9593	8462	7240	7292	7384	7473	7705	5608	5931	5650
PCB Congeners												
PCB-81	2.77	<0.764	<1.04	1.61	1.18	<0.669	<1.35	0.869	2.14	1.55	1.86	3
PCB-77	24.2	<13.1	<14.2	13.8	<14.7	<11.5	<18.5	<10.3	<13.8	<14.9	<23	<13.6
PCB-123	<5.76	<2.79	<4.19	<2.32	<5.99	<2.44	<5.45	<2.62	<5.63	<3.18	<6.78	<3.47
PCB-118	<273	<110	<170	<93.2	<285	<96.1	<221	<106	<267	<125	<275	<140
PCB-114	<8.69	<3.71	<5.94	<3.4	<9.05	<3.23	<7.71	<3.85	<8.5	<4.22	<9.6	<5.09
PCB-105	<141	<49.6	<79.4	<40.7	<147	<45.4	<103	<46.1	<138	<56.5	<128	<61
PCB-126	2.33	0.59	<0.456	1.86	0.897	0.936	0.6	1.03	2.83	1.74	1.43	2.16
PCB-167	<9.39	<4.07	<6.2	<4.56	<9.77	<3.56	<8.06	<5.16	<9.18	<4.63	<10	<6.83
PCB-156	<28.1	<10.6	<16.1	<11.1	<29.2	9.36	<20.9	<12.6	<27.4	<12	<26	<16.7
PCB-157	<5.43	<1.73	<2.54	<1.56	<5.65	2.1	<3.3	<1.76	<5.31	<1.97	<4.11	<2.33
PCB-169	0.444	0.105	0.0515	0.346	0.204	0.16	0.0924	0.236	0.837	0.348	0.278	0.492
PCB-189	1.17	<0.612	<0.857	<1.1	0.572	0.714	<1.11	<1.24	1.52	1.03	<1.39	<1.64
Total												
Σ Co-PCBs	30.914	0.695	0.0515	17.616	2.853	13.27	0.6924	2.135	7.327	4.668	3.568	5.652
Σ TEQ (Co-PCBs)	0.264	0.069	0.057	0.203	0.112	0.105	0.076	0.117	0.324	0.193	0.168	0.24

Cuadro A94. Concentraciones atmosféricas de BPC-Co (pg m^{-3}) en sitios semirrales de la RMMDFAA en 2008

Station Name	Celestún				Coquimatlán			
	1	2	3	4	1	2	3	4
Sampling Period								
Sampling Date	3/4/08	5/28/08	8/20/08	11/19/08	3/5/08	5/28/08	8/20/08	11/19/08
Sampling Volume (m3)	8373	8724	8400	8623	8038	6955	6491	8812
PCB Congeners								
PCB-81	7.7	2.57	4.37	6.29	12.1	5.68	5.24	8.76
PCB-77	56.7	53	57	53.3	68	67.3	81.7	64.8
PCB-123	5.39	4.44	<1.69	6.82	6.71	7.07	7.6	5.84
PCB-118	201	167	<66.4	207	174	213	268	171
PCB-114	7.91	7.18	<2.56	9.71	10.1	11.1	12.4	9.5
PCB-105	84.5	79.1	<26.7	81	81.6	118	146	79.3
PCB-126	6.92	5	7.83	6.56	14.3	9.72	9.88	10.4
PCB-167	9.02	6.95	<1.12	4.86	8.52	10.5	9.87	9.02
PCB-156	18.7	13.3	<2.93	11.25	18.8	22.4	21.4	18.7
PCB-157	4.34	3.46	<0.531	3.23	5.89	5.74	5.5	4.68
PCB-169	1.23	0.751	1.23	1.29	3.66	2.03	1.97	2.64
PCB-189	3.1	1.82	2.54	2.72	6.14	3.58	3.17	5.24
Total								
∑ Co-PCBs	406.51	344.571	72.97	394.03	409.82	476.12	572.73	389.88
∑ TEQ (Co-PCBs)	0.747	0.537	0.83	0.712	1.56	1.053	1.071	1.137

Cuadro A95. Concentraciones atmosféricas de BPC-Co (pg m^{-3}) en sitios semirrales de la RMMDFAA en 2009

Station Name	Celestún				Coquimatlán			
	1	2	3	4	1	2	3	4
Sampling Period								
Sampling Date	2/11/09	6/10/09	8/12/09		2/11/09	6/10/09	8/12/09	11/24/09
Sampling Volume (m3)	8137	8322	8132	0	8203	8469	9039	8494
PCB Congeners								
PCB-81	5.191	2.43	3.26		10.3	3.6	4.78	7.27
PCB-77	46.2	38	42.2		71.5	53.7	49.8	61
PCB-123	5.97	3.56	3.82		6.5	4.05	4.73	QA failure
PCB-118	175	124	151		QA failure	130	142	QA failure
PCB-114	8.59	5.15	6.91		QA failure	6.29	8.82	QA failure
PCB-105	72.3	58	79.7		QA failure	72.9	78.4	7.88
PCB-126	6	5.84	5.89		10.4	6	6.84	9.23
PCB-167	5.26	5.22	5.5		7.16	5.66	6.88	16.5
PCB-156	10.69	15.6	11.6		13.2	11.4	14.1	5.32
PCB-157	3.14	3.72	3.36		4.3	3.21	4	1.91
PCB-169	1.245	1.02	1.06		2.41	1.24	1.8	4.05
PCB-189	2.24	3.36	2.16		5.04	2.26	4.08	4.05
Total								
∑ Co-PCBs	341.826	265.9	316.46		130.81	300.31	326.23	117.21
∑ TEQ (Co-PCBs)	0.652	0.626	0.634		NA	0.651	0.752	NA

Cuadro A96. Concentraciones atmosféricas de BPC-Co (pg m^{-3}) en sitios semirurales de la RMMDFAA en 2010

Station Name	Celestún				Coquimatlán			
	1	2	3	4	1	2	3	4
Sampling Period								
Sampling Date	3/23/10	5/25/10	8/10/10	11/17/10	3/25/10	5/24/10	8/9/10	11/9/10
Sampling Volume (m3)	7777	8047	9345	8807	6582	7327	6403	7368
PCB Congeners								
PCB-81	3.5	6.78	47	5.62	0.397	5.6	5.17	9.21
PCB-77	42.8	89	113	49.9	2.85	106	61.7	78.3
PCB-123	<5.59	7.34	7.93	2.58	<6.59	10.8	<6.28	QA failure
PCB-118	<265	209	<174	<89.5	<313	415	<255	QA failure
PCB-114	<8.43	13	25.3	5.77	2.93	16.5	<8.89	QA failure
PCB-105	<137	97.6	<81.5	<39.1	<162	247	<119	99.2
PCB-126	5.59	17.4	48.7	6.7	0.427	11.9	4.94	12.5
PCB-167	<9.11	4.63	8.94	<4.38	<10.7	13.2	<9.29	13.9
PCB-156	<27.2	14.1	34.7	<10.7	<32.1	28.7	<24.1	20.3
PCB-157	<5.27	5.62	12.6	2.96	<6.21	7.64	<3.81	6.19
PCB-169	1	2.82	12.9	1.82	0.104	2.15	0.834	2.99
PCB-189	1.74	5.2	22.2	3.91	0.236	3.78	1.96	6.68
Total								
∑ Co-PCBs	54.63	472.49	333.27	79.26	6.944	868.27	74.604	249.27
∑ TEQ (Co-PCBs)	0.608	1.846	5.293	0.736	0.062	1.289	0.54	NA

Cuadro A97. Concentraciones atmosféricas de BPC-Co (pg m^{-3}) en sitios semirurales de la RMMDFAA en 2011

Station Name	Celestún	
	1	2
Sampling Period		
Sampling Date	8/2/11	11/8/11
Sampling Volume (m3)	7520	6596
PCB Congeners		
PCB-81	4.197	3.867
PCB-77	79.324	<55.3
PCB-123	3.877	3.798
PCB-118	<102	<117
PCB-114	5.883	4.775
PCB-105	55.327	<62.7
PCB-126	5.783	4.595
PCB-167	5.495	3.649
PCB-156	11.689	7.889
PCB-157	3.362	2.389
PCB-169	1.129	0.974
PCB-189	2.314	1.811
Total		
∑ Co-PCBs	178.38	33.747
∑ TEQ (Co-PCBs)	0.627	0.502

Cuadro A98. Concentraciones atmosféricas de BPC-Co (pg m^{-3}) en sitios semirurales de la RMMDFAA en 2012

Station Name	Celestún	
Sampling Period	1	2
Sampling Date	2/21/12	5/15/12
Sampling Volume (m3)		
PCB Congeners		
PCB-81	9.21	3.316
PCB-77	55.458	35.913
PCB-123	4.436	21.5
PCB-118	<113	918
PCB-114	8.794	33.8
PCB-105	<45.5	371
PCB-126	17.561	4.117
PCB-167	6.599	33.9
PCB-156	16.748	76.9
PCB-157	7.631	1.918
PCB-169	4.601	0.683
PCB-189	7.646	9
Total		
Σ Co-PCBs	138.684	1510.047
Σ TEQ (Co-PCBs)	1.909	0.481

Cuadro A99. Concentraciones atmosféricas de BPC-Co (pg m^{-3}) en sitios urbanos de la RMMDFAA en 2008

Station Name	Mexico City				Monterrey			
Sampling Period	1	2	3	4	1	2	3	4
Sampling Date	3/5/08	5/28/08	8/20/08	11/19/08				11/26/08
Sampling Volume (m3)	7682	8570	8048	7608				8045
PCB Congeners								
PCB-81	47.9	115	103	155				310
PCB-77	543	1700	147	1970				1130
PCB-123	67.8	205	143	226				99.1
PCB-118	4070	9540	4670	9920				1150
PCB-114	96.3	312	219	297				97.4
PCB-105	1050	3120	1990	3160				745
PCB-126	116	190	87.2	239				340
PCB-167	677	841	350	1560				84.4
PCB-156	1420	1600	632	3250				195
PCB-157	171	222	90.8	381				76.4
PCB-169	25.9	33.6	12.9	45				57.7
PCB-189	294	276	115	768				59.5
Total								
Σ Co-PCBs	8578.9	18154.6	8559.9	21971				4344.5
Σ TEQ (Co-PCBs)	12.681	20.696	9.399	26.08				36.012

Cuadro A100. Concentraciones atmosféricas de BPC-Co (pg m^{-3}) en sitios urbanos de la RMMDFAA en 2009

Station Name	Mexico City				Monterrey			
	1	2	3	4	1	2	3	4
Sampling Period								
Sampling Date	2/11/09	6/10/09	8/12/09	11/24/09	2/11/09	6/10/09	8/12/09	11/22/09
Sampling Volume (m3)	6159	6661	6938	6633	8113	7601	7941	7852
PCB Congeners								
PCB-81	119	142	154	131	188	76.9	57.9	350
PCB-77	1580	1950	2250	1670	730	537	551	1350
PCB-123	130	191	206	144	64	46.3	48.6	117
PCB-118	6740	7410	7550	5560	1080	1420	1640	1880
PCB-114	204	277	311	218	70.4	67	69.8	111
PCB-105	2060	2820	3130	2130	520	957	846	879
PCB-126	195	142	129	149	187	176	158	355
PCB-167	946	557	513	413	66.4	95.5	80.5	100
PCB-156	1810	1020	934	789	152	209	171	239
PCB-157	227	139	139	127	59.4	66.5	56.6	94.6
PCB-169	42	20.4	17.5	34.5	35.5	25.3	22	51.8
PCB-189	410	179	156	178	44.3	35.5	31	64.4
Total								
Σ Co-PCBs	14463	14847.4	15489.5	11543.5	3197	3712	3732.4	5591.8
Σ TEQ (Co-PCBs)	21.33	15.427	14.084	16.428	19.956	18.523	16.621	37.399

Cuadro A101. Concentraciones atmosféricas de BPC-Co (pg m^{-3}) en sitios urbanos de la RMMDFAA en 2010

Station Name	Mexico City				Monterrey			
	1	2	3	4	1	2	3	4
Sampling Period								
Sampling Date	3/22/10	5/25/10	8/11/10	11/12/10	3/22/10	5/25/10	8/10/10	11/8/10
Sampling Volume (m3)	6557	7115	6285	5873	8011	7945	5773	5193
PCB Congeners								
PCB-81	95.3	77	88.8	134	458	160	248	409
PCB-77	1460	1301	1130	1520	2120	1060	1140	1440
PCB-123	147	139	112	358	159	76.9	79.4	119
PCB-118	5280	5116	4360	13000	1910	1620	1680	1870
PCB-114	204	205	169	611	152	90.1	95.1	120
PCB-105	1980	2021	1730	5850	1050	1140	878	870
PCB-126	135	106	83.5	205	728	502	358	364
PCB-167	378	314	257	610	133	126	103	109
PCB-156	642	545	457	1540	280	269	220	256
PCB-157	115	93	80.1	352	129	106	81.1	92.5
PCB-169	23.2	15.9	12.5	48.9	106	67.2	49	59.6
PCB-189	125	96	78.4	220	86.1	61	51.9	67.6
Total								
Σ Co-PCBs	10584.5	10028.9	8558.3	24448.9	7311.1	5278.2	4983.5	5776.7
Σ TEQ (Co-PCBs)	14.637	11.486	9.082	22.835	76.446	52.475	37.554	38.56